

英文版由Springer出版全球发行

机器人科学
与技术丛书

机器人控制系统的设计 与MATLAB仿真

基本设计方法 (第2版)

刘金琨◎著
Liu Jinkun




ROBOT
CONTROL
SYSTEM DESIGN
AND MATLAB SIMULATION

The Basic Design Method
Second Edition

清华大学出版社



 机器人科学
与技术丛书

刘金琨◎著

机器人控制系统的设计 与MATLAB仿真 基本设计方法 (第2版)



清华大学出版社
北京

内 容 简 介

本书系统地介绍了机械手控制的几种先进设计方法,是作者多年来从事机器人控制系统教学和科研工作的结晶,同时融入了国内外同行近年来所取得的最新成果。

本书主要以机械手的控制为论述对象,共包括 16 章内容,分别介绍机械手 PD 控制、神经网络自适应控制、模糊自适应控制、迭代学习控制、反演控制、滑模控制、自适应鲁棒控制、末端轨迹及力的连续切换滑模控制、重复控制的基本原理及设计方法、机械手容错控制、基于事件驱动的机械手反演控制、基于输入延迟的机械手控制、基于执行器量化的控制、基于控制方向未知的控制和多智能体系统一致性控制的设计与分析。每种方法都给出了算法推导、实例分析和相应的 MATLAB 仿真设计程序。

本书各部分内容既相互联系又相互独立,读者可根据自己的需要选择学习。本书适合从事生产过程自动化、计算机应用、机械电子和电气自动化领域工作的工程技术人员阅读,也可作为高等院校工业自动化、自动控制、机械电子、自动化仪表、计算机应用等专业的教学参考书。

本书封面贴有清华大学出版社防伪标签,无标签者不得销售。

版权所有,侵权必究。举报:010-62782989, beiqinquan@tup.tsinghua.edu.cn。

图书在版编目(CIP)数据

机器人控制系统的设计与 MATLAB 仿真:基本设计方法/刘金琨著.—2 版.—北京:清华大学出版社,2022.3

(机器人科学与技术丛书)

ISBN 978-7-302-59240-2

I. ①机… II. ①刘… III. ①机器人控制—控制系统设计 ②计算机仿真—Matlab 软件
IV. ①TP24 ②TP317

中国版本图书馆 CIP 数据核字(2021)第 191801 号

策划编辑:盛东亮

责任编辑:钟志芳

封面设计:李召霞

责任校对:时翠兰

责任印制:杨 艳

出版发行:清华大学出版社

网 址: <http://www.tup.com.cn>, <http://www.wqbook.com>

地 址:北京清华大学学研大厦 A 座 邮 编:100084

社 总 机:010-83470000 邮 购:010-83470235

投稿与读者服务:010-62776969, c-service@tup.tsinghua.edu.cn

质量反馈:010-62772015, zhiliang@tup.tsinghua.edu.cn

课件下载: <http://www.tup.com.cn>, 010-83470236

印 装 者:北京嘉实印刷有限公司

经 销:全国新华书店

开 本:185mm×260mm 印 张:28.5

字 数:692 千字

版 次:2016 年 12 月第 1 版 2022 年 4 月第 2 版

印 次:2022 年 4 月第 1 次印刷

印 数:1~2500

定 价:108.00 元

产品编号:092964-01

| 作 | 者 | 简 | 介 |

刘金琨 北京航空航天大学教授，博士生导师。分别于1989年7月、1994年3月和1997年3月获东北大学工学学士、工学硕士和工学博士学位。1997年3月—1998年12月在浙江大学工业控制技术研究所做博士后研究工作；1999年1月—1999年7月在香港科技大学从事合作研究；1999年11月至今在北京航空航天大学自动化科学与电气工程学院从事教学与科研工作，主讲“智能控制”“先进控制系统设计”“系统辨识”等课程，主要研究方向为控制理论与应用。先后主持国家自然科学基金等科研项目10余项，发表学术论文100余篇，出版《先进PID控制MATLAB仿真》《滑模变结构控制MATLAB仿真》《机器人控制系统的设计与MATLAB仿真》《RBF神经网络自适应控制MATLAB仿真》《系统辨识》和《智能控制——理论基础、算法设计与应用》等著作。

| 学 | 习 | 资 | 源 |

为便于读者学习与动手实践，本书配套提供程序代码，关注“人工智能科学与技术”微信公众号，在“知识”→“资源下载”→“配书资源”菜单获取下载链接（或到清华大学出版社网站本书页面获取下载链接）。

前言

PREFACE

有关机器人控制理论及其工程应用,近年来已有大量的论文发表。作者多年来一直从事控制理论及应用方面的教学和研究工作,为了促进机器人控制和自动化技术的进步,反映机器人控制设计与应用中的最新研究成果,并使广大研究人员和工程技术人员能了解、掌握和应用这一领域的最新技术,学会用 MATLAB 语言进行各种机器人控制算法的分析和设计,作者编写了本书,以抛砖引玉,供广大读者学习参考。

本书是在总结作者多年研究成果的基础上,进一步理论化、系统化、规范化、实用化而成的,特点如下:

(1) 控制算法取材新颖,内容先进,重点置于学科交叉部分的前沿研究和介绍一些有潜力的新思想、新方法和新技术,取材着重于基本概念、基本理论和基本方法。

(2) 针对每种控制算法给出了完整的 MATLAB 仿真程序,并给出了程序的说明和仿真结果,具有很强的可读性。

(3) 着重从应用角度出发,突出理论联系实际,面向广大工程技术人员,具有很强的工程性和实用性。书中有大量应用实例及结果分析,为读者提供了有益的借鉴。

(4) 所给出的各种控制算法完整,结构设计力求简单明了,便于自学和进一步开发。

(5) 所介绍的方法不局限于机械手的控制,同时也适合解决运动控制领域其他背景的控制问题。

本书主要以机器人力臂为被控对象,此外,为了介绍一些新的运动控制方法,本书还以机械系统、电机、倒立摆为被控对象辅助说明。

本书是在原有《机器人控制系统的设计与 MATLAB 仿真》基础上撰写而成的,并增加、修改和删除了部分内容。全书共包括 16 章内容。第 1 章为绪论,介绍机器人的几种控制方法及模型特性;第 2 章介绍机械手 PD 控制的几种基本设计方法,通过仿真和分析进行了说明;第 3 章介绍机械手神经网络自适应控制的几种设计方法;第 4 章介绍基于 LMI 的模糊鲁棒控制方法和几种机械手模糊自适应控制器的设计方法;第 5 章介绍机械手迭代学习控制设计方法;第 6 章介绍机械手反演控制的设计方法;第 7 章介绍机械手滑模控制基本设计方法;第 8 章介绍机械手自适应鲁棒控制方法,包括鲁棒控制器和自适应控制器的设计;第 9 章介绍机械手末端轨迹及力控制设计方法;第 10 章介绍重复控制的基本原理及设计方法;第 11 章介绍机械手容错控制器的设计和分析方法;第 12 章介绍基于事件驱动的机械手反演控制设计方法;第 13 章介绍在带有输入延迟的输入受限控制下的机械手控制器设计和分析方法;第 14 章介绍基于随机量化的执行器量化控制器设计和分析方法;第 15 章介绍基于控制方向未知的反演控制器设计和分析方法;第 16 章介绍多智能体系统一致性控制的设计与分析。

本书介绍的控制方法有些选自高水平国际期刊中的经典控制方法,并对其其中的一些算法进行了修正或补充。通过对一些典型控制器设计方法进行详细的理论分析和仿真分析,使一些深奥的控制理论易于掌握,为读者的深入研究打下基础。

本书是基于英文版 MATLAB 环境下开发(书中仿真图的图字均为英文)。书中各章节的内容具有很强的独立性,读者可以结合自己的方向深入地进行研究。

作者在研究过程中,东北大学徐心和教授和薛定宇教授在机器人控制及仿真等方面给予作者很多的指点,北京航空航天大学尔联洁教授在控制理论方面给予作者多年的指导,在此深表感谢。

由于作者水平有限,书中难免存在一些不足之处,真诚欢迎广大读者批评指正。

刘金琨

2022 年 1 月

于北京航空航天大学

仿真程序使用说明

- (1) 所有仿真算法程序按章归类,程序名与书中一一对应。
- (2) 将下载的仿真程序复制到硬盘中 MATLAB 运行的路径中,便可仿真运行。
- (3) 本书算法程序在当前 MATLAB 版本下运行成功,并适用于其他更高级版本。
- (4) 程序下载:到清华大学出版社网站(www.tup.tsinghua.edu.cn)本书页面下载。

目 录

CONTENTS

第 1 章 绪论	1
1.1 机器人控制方法简介	1
1.1.1 机器人常用的控制方法	1
1.1.2 不确定机器人系统的控制	2
1.2 机器人动力学模型及其结构特性	3
1.3 基于 S 函数的 Simulink 仿真	3
1.3.1 S 函数简介	4
1.3.2 S 函数使用步骤	4
1.3.3 S 函数的基本功能及重要参数设定	4
1.3.4 S 函数描述实例	5
第 2 章 机械手 PD 控制	7
2.1 机械手独立 PD 控制	7
2.1.1 控制律的设计	7
2.1.2 收敛性分析	7
2.1.3 仿真实例	8
2.2 基于重力补偿的机械手 PD 控制	12
2.2.1 控制律的设计	12
2.2.2 控制律分析	12
2.3 基于模型补偿的机械手 PD 控制	13
2.3.1 系统描述	13
2.3.2 控制器的设计	13
2.3.3 仿真实例	13
参考文献	19
第 3 章 机械手神经网络自适应控制	20
3.1 一种简单的 RBF 网络自适应滑模控制	20
3.1.1 问题描述	20
3.1.2 RBF 网络原理	21
3.1.3 控制算法设计与分析	21
3.1.4 仿真实例	22
3.2 基于 RBF 网络逼近的机械手自适应控制	26
3.2.1 问题的提出	26

3.2.2	基于 RBF 网络逼近的控制器	27
3.2.3	针对 $f(x)$ 中各项分别进行神经网络逼近	30
3.2.4	仿真实例	31
参考文献		41

第 4 章 机械手模糊自适应控制 42

4.1	单力臂机械手直接自适应模糊控制	42
4.1.1	问题描述	42
4.1.2	模糊控制器的设计	42
4.1.3	自适应律的设计	43
4.1.4	仿真实例	45
4.2	单力臂机械手间接自适应模糊控制	51
4.2.1	问题描述	51
4.2.2	自适应模糊滑模控制器的设计	52
4.2.3	稳定性分析	53
4.2.4	仿真实例	55
4.3	单级倒立摆的监督模糊控制	62
4.3.1	模糊系统的设计	62
4.3.2	模糊监督控制器的设计	63
4.3.3	稳定性分析	64
4.3.4	仿真实例	65
4.4	基于模糊补偿的机械手自适应模糊控制	72
4.4.1	系统描述	72
4.4.2	基于传统模糊补偿的控制	72
4.4.3	基于模型信息已知的模糊补偿控制	74
4.4.4	仿真实例	77
4.5	基于线性矩阵不等式的单级倒立摆 T-S 模糊控制	101
4.5.1	基于 LMI 的 T-S 型模糊系统控制器的设计	102
4.5.2	LMI 不等式的设计及分析	103
4.5.3	不等式的转换	105
4.5.4	LMI 设计实例说明	106
4.5.5	单级倒立摆的 T-S 模型模糊控制	106
参考文献		119

第 5 章 机械手迭代学习控制 121

5.1	迭代学习控制的数学基础	121
5.1.1	矩阵的迹及初等性质	121
5.1.2	向量范数和矩阵范数	121
5.2	迭代学习控制方法介绍	123
5.2.1	迭代学习控制基本原理	123
5.2.2	基本的迭代学习控制算法	123
5.2.3	迭代学习控制主要分析方法	124
5.2.4	迭代学习控制的关键技术	125

5.3	机械手轨迹跟踪迭代学习控制仿真实例	126
5.3.1	控制器的设计	126
5.3.2	仿真实例	126
5.4	线性时变连续系统迭代学习控制	133
5.4.1	系统描述	133
5.4.2	控制器设计及收敛性分析	133
5.4.3	仿真实例	135
5.5	任意初始状态下的迭代学习控制	142
5.5.1	问题的提出	142
5.5.2	控制器的设计	143
5.5.3	仿真实例	145
	参考文献	150

第6章 机械手反演控制 151

6.1	简单反演控制器的设计	151
6.1.1	基本原理	151
6.1.2	仿真实例	152
6.2	单关节机械手的反演控制	156
6.2.1	系统描述	156
6.2.2	反演控制器的设计	157
6.2.3	仿真实例	158
6.3	双耦合电机的反演控制	162
6.3.1	系统描述	162
6.3.2	反演控制器的设计	163
6.3.3	仿真实例	165
	参考文献	168

第7章 机械手滑模控制 169

7.1	机械手动力学模型及特性	169
7.2	基于计算力矩法的滑模控制	170
7.2.1	系统描述	170
7.2.2	控制律的设计	170
7.2.3	仿真实例	171
7.3	基于输入输出稳定性理论的滑模控制	176
7.3.1	系统描述	176
7.3.2	控制律的设计	176
7.3.3	仿真实例	178
7.4	基于LMI的指数收敛非线性干扰观测器的控制	184
7.4.1	非线性干扰观测器的问题描述	184
7.4.2	非线性干扰观测器的设计	184
7.4.3	LMI不等式的求解	186
7.4.4	计算力矩法的滑模控制	186
7.4.5	仿真实例	187

7.5 欠驱动两杆机械臂 Pendubot 滑模控制	198
7.5.1 Pendubot 控制问题	198
7.5.2 Pendubot 机械臂建模	198
7.5.3 Pendubot 动力学模型	201
7.5.4 Pendubot 模型的分析	203
7.5.5 滑模控制律的设计	204
7.5.6 闭环稳定性分析	205
7.5.7 基于 Hurwitz 的参数设计	207
7.5.8 仿真实例	209
参考文献	217
第8章 机械手自适应鲁棒控制	218
8.1 单力臂机械系统的鲁棒自适应控制	218
8.1.1 问题描述	218
8.1.2 鲁棒模型参考自适应控制	219
8.1.3 仿真实例	220
8.2 二级倒立摆的 H_∞ 鲁棒控制	226
8.2.1 系统的描述	226
8.2.2 基于 LMI 的控制律的设计	226
8.2.3 二级倒立摆系统的描述	226
8.2.4 仿真实例	227
参考文献	235
第9章 机械手末端轨迹及力的连续切换滑模控制	236
9.1 基于双曲正切函数切换的滑模控制	236
9.1.1 双曲正切函数的特性	236
9.1.2 仿真实例	236
9.1.3 基于双曲正切函数的滑模控制	237
9.1.4 仿真实例	239
9.2 基于位置动力学模型的机械手末端轨迹滑模控制	244
9.2.1 工作空间直角坐标与关节角位置的转换	244
9.2.2 机械手在工作空间的建模	245
9.2.3 滑模控制器的设计	246
9.2.4 仿真实例	247
9.3 基于角度动力学模型的机械手末端轨迹滑模控制	254
9.3.1 机械手在工作空间的建模	254
9.3.2 工作空间直角坐标与关节角位置的转换	254
9.3.3 滑模控制器的设计	254
9.3.4 仿真实例	255
9.4 工作空间中双关节机械手末端的阻抗滑模控制	265
9.4.1 问题的提出	265
9.4.2 阻抗模型的建立	266
9.4.3 滑模控制器的设计	266

9.4.4	仿真实例	268
9.4.5	仿真中的代数环问题	271
9.5	受约束条件下双关节机械手末端力及关节角度的滑模控制	279
9.5.1	问题的提出	279
9.5.2	模型的降阶	280
9.5.3	控制律的设计	281
9.5.4	稳定性分析	282
9.5.5	仿真实例	282
	参考文献	290
第 10 章	重复控制的基本原理及设计方法	291
10.1	重复控制的基本原理	291
10.1.1	重复控制的理论基础	291
10.1.2	基本的重复控制系统结构	292
10.1.3	基本重复控制系统稳定性分析	292
10.1.4	仿真实例	294
10.2	一种具有多路周期指令信号的数字重复控制	296
10.2.1	系统的结构	296
10.2.2	控制器的设计方法	297
10.2.3	仿真实例	300
	参考文献	303
第 11 章	机械手容错控制	304
11.1	执行器容错的输入受限控制	304
11.1.1	系统描述	304
11.1.2	控制器的设计及分析	304
11.1.3	仿真实例	306
11.2	传感器和执行器同时容错的反演自适应控制	311
11.2.1	系统描述	311
11.2.2	控制器的设计与分析	312
11.2.3	仿真实例	314
11.3	传感器和执行器同时容错的 RBF 网络输入受限控制	319
11.3.1	系统描述	319
11.3.2	RBF 神经网络逼近	320
11.3.3	控制器的设计及分析	320
11.3.4	仿真实例	322
	参考文献	327
第 12 章	基于事件驱动的机械手反演控制	328
12.1	基于固定阈值的事件驱动反演控制	328
12.1.1	基本原理	328
12.1.2	控制器的设计与分析	328
12.1.3	时间驱动有限次触发分析	330

12.1.4	仿真实例	330
12.2	基于时变阈值的事件驱动反演控制	332
12.2.1	基本原理	333
12.2.2	控制器的设计与分析	333
12.2.3	仿真实例	335
参考文献	参考文献	338
第 13 章	基于输入延迟的机械手控制	339
13.1	带有输入延迟的输入受限控制	339
13.1.1	系统描述	339
13.1.2	控制器的设计与分析	339
13.1.3	仿真实例	341
13.2	基于干扰观测器且带有输入延迟的输入受限控制	345
13.2.1	系统描述	345
13.2.2	控制器的设计与分析	345
13.2.3	仿真实例	347
13.3	基于状态观测器的输入延迟控制	354
13.3.1	系统描述	354
13.3.2	控制器的设计与分析	354
13.3.3	仿真实例	356
参考文献	参考文献	362
第 14 章	基于执行器量化的控制	363
14.1	基于执行器容错的控制输入量化控制	363
14.1.1	系统描述	363
14.1.2	量化控制器的设计与分析	363
14.1.3	仿真实例	365
14.2	基于状态观测器的输入量化反馈控制	370
14.2.1	系统描述	370
14.2.2	控制器的设计与分析	370
14.2.3	仿真实例	373
14.3	基于状态观测器的输入输出量化反馈控制	377
14.3.1	系统描述	377
14.3.2	控制器的设计与分析	377
14.3.3	仿真实例	380
参考文献	参考文献	385
第 15 章	基于控制方向未知的控制	386
15.1	基本知识	386
15.2	基于控制方向未知的状态跟踪	386
15.2.1	系统描述	386
15.2.2	控制律的设计	387
15.2.3	仿真实例	388

15.3	控制方向未知的反演控制	392
15.3.1	系统描述	392
15.3.2	控制律的设计及分析	392
15.3.3	仿真实例	393
15.4	控制方向未知的自适应反演控制	396
15.4.1	系统描述	396
15.4.2	控制律的设计与分析	397
15.4.3	仿真实例	398
	参考文献	402

第 16 章 多智能体系统一致性控制的设计与分析 403

16.1	多智能体系统介绍	403
16.1.1	多智能体系统特点	403
16.1.2	多智能体系统应用领域	403
16.1.3	多智能体系统在机器人控制中的应用	404
16.1.4	多智能体控制展望	405
16.2	一阶多智能体系统的一致性控制	405
16.2.1	系统描述	405
16.2.2	控制器的设计	405
16.2.3	稳定性分析	406
16.2.4	仿真实例	406
16.3	非线性多智能体系统一致性控制	413
16.3.1	问题描述	413
16.3.2	控制器的设计与分析	413
16.3.3	仿真实例	414
16.4	线性多智能体系统一致性控制	418
16.4.1	系统描述	418
16.4.2	控制律的设计	419
16.4.3	仿真实例	420
16.5	基于 RBF 网络的多智能体系统一致性控制	428
16.5.1	系统描述	428
16.5.2	基于 RBF 网络逼近 $f(\cdot)$ 的滑模控制	429
16.5.3	控制律的设计	429
16.5.4	仿真实例	430
	参考文献	438

1.1 机器人控制方法简介

机器人学科是一门迅速发展的综合性前沿学科,受到工业界和学术界的高度重视。机器人的核心是机器人控制系统,从控制工程的角度来看,机器人是一个非线性和不确定性系统,机器人智能控制是近年来机器人控制领域研究的前沿课题,已取得了相当丰富的成果。

机器人轨迹跟踪控制系统的主要目的是通过给定各关节的驱动力矩,使得机器人的位置、速度等状态变量跟踪给定的理想轨迹。

1.1.1 机器人常用的控制方法

常用的机器人控制方法有以下几种。

(1) 基于模型的控制方法:与一般的机械系统一样,当机器人的结构及其机械参数确定后,其动态特性将由动力学方程即数学模型来描述。因此,可以采用自动控制理论所提供的设计方法,通过基于数学模型的方法设计机器人控制器。基于被控对象数学模型的控制方法有前馈补偿控制、计算力矩法、最优控制方法、非线性反馈控制方法等。但在实际工程中,由于机器人是一个非线性和不确定性系统,很难得到精确的机器人数学模型,使这些方法很难得到实际应用。

(2) PID 控制:机器人控制常采用 PD 控制和 PID 控制,其优点是控制律简单,易于实现,无须建模,但这类方法有两个明显的缺点,一是难以保证受控机器人具有良好的动态和静态品质;二是需要较大的控制能量。

(3) 自适应控制:自适应控制是根据要求的性能指标与实际系统的性能指标相比较所获得的信息来修正控制规律或控制器参数,使系统能够保持最优或次最优工作状态的控制方法。具体地讲,就是控制器能够及时修正自己的特性以适应控制对象和外部扰动的动态特性变化,使整个控制系统始终获得满意的性能,其缺点是在线辨识参数所需的庞大计算,对实时性要求严格、实现比较复杂,特别是存在非参数不确定性时,自适应控制难以保证系统稳定和达到一定的控制性能指标。

(4) 鲁棒控制:是一种保证不确定系统的稳定性以及达到满意控制效果的控制方法。鲁棒控制器的设计仅需知道限制不确定性的最大可能值的边界即可,鲁棒控制可同时补偿

结构和非结构不确定性的影响,这也正是鲁棒控制优于自适应控制之处。除此之外,与自适应控制方法相比,鲁棒控制还有实现简单(没有自适应律),对时变参数以及非结构非线性不确定性的影响有更好的补偿效果,更易于保证稳定性等优点。

(5) 神经网络控制和模糊控制:神经网络和模糊系统具有高度的非线性逼近映射能力,神经网络和模糊系统技术的发展为解决复杂的非线性、不确定及不确定系统的控制开辟了新途径。采用神经网络和模糊系统,可实现对机器人动力学方程中未知部分的在线精确逼近,从而可通过在线建模和前馈补偿,实现机器人的高精度跟踪。

(6) 迭代学习控制:是智能控制中具有严格数学描述的一个分支,适合于解决强非线性、强耦合、建模难、运动具有重复性的对象的高精度控制问题。迭代学习控制方法不依赖于系统的精确数学模型,算法简单。与鲁棒控制一样,迭代学习控制也能处理实际系统中的不确定性,但它能实现完全跟踪,控制器形式更为简单且需要较少的先验知识。机器人轨迹跟踪控制是迭代学习控制应用的典型代表。

(7) 变结构控制:其本质上是一类特殊的非线性控制,其非线性表现为控制的不连续性。由于滑动模态可以进行设计且与对象参数及扰动无关,这就使得变结构控制具有快速响应、对参数变化及扰动不灵敏、无须系统在线辨识、物理实现简单等优点。这种控制方法通过控制量的切换使系统状态沿着滑模面滑动,使系统在受到参数摄动和外干扰的时候具有不变性,正是这种特性使得变结构控制方法在机器人控制中得到广泛的应用。

(8) 反演控制设计方法:其基本思想是将复杂的非线性系统分解成不超过系统阶数的子系统,然后为每个子系统分别设计李雅普诺夫函数和中间虚拟控制量,一直“后退”到整个系统,直到完成整个控制律的设计。利用反演控制技术设计机器人控制器,可以解决系统中的非匹配不确定性。通过在虚拟控制中引入微分阻尼项,可有效地改善系统动态性能;通过在虚拟控制中引入模糊系统或神经网络,可实现无须建模的自适应反演控制;通过在虚拟控制中引入切换函数,可实现具有滑模控制特性的反演控制。

1.1.2 不确定机器人系统的控制

机器人控制系统的主要目的是通过给定各关节的驱动力矩,使得机器人的位置、速度等状态变量跟踪给定的理想轨迹。与一般的机械系统一样,当机器人的结构及其机械参数确定以后,其动态特性将由运动方程即数学模型来描述。因此,可以应用自动控制理论所提供的设计方法,基于数学模型来设计机器人的控制器。

在实际工程中要想得到精确的数学模型是十分困难的,因此在建立机器人的数学模型时,需要做合理的近似处理,忽略一些不确定性因素,这些不确定因素包括以下几方面:

(1) 参数不确定性:例如,负载质量、连杆质量、长度及连杆质心等物理量未知或部分已知。

(2) 非参数不确定性:高频未建模动态,包括驱动器动力学、结构共振模式等;低频未建模动态,包括动/静摩擦力、关节柔性等。

(3) 作业环境干扰、驱动器饱和、测量误差、舍入误差及采样延时等因素。

上述因素的存在可能会引起控制系统质的变化,甚至成为系统不稳定的原因。

应用于不确定性机器人的先进控制策略可分为三大类,即自适应控制、变结构控制和鲁棒控制。通过与自适应控制、变结构控制和鲁棒控制方法相结合,PID控制、神经网络

络控制、模糊控制、迭代学习控制和反演控制方法也可以实现对不确定机器人系统的精确控制。

1.2 机器人动力学模型及其结构特性

一个典型的多关节机器人如图 1-1 所示。

考虑一个 n 关节机器人,其动态性能可由二阶非线性微分方程描述:

$$M(q)\ddot{q} + C(q, \dot{q})\dot{q} + G(q) + F(\dot{q}) + \tau_d = \tau \quad (1.1)$$

其中, $q \in \mathbb{R}^n$ 为关节角位移量, $M(q) \in \mathbb{R}^{n \times n}$ 为机器人的惯性矩阵, $C(q, \dot{q}) \in \mathbb{R}^n$ 表示离心力和哥氏力, $G(q) \in \mathbb{R}^n$ 为重力项, $F(\dot{q}) \in \mathbb{R}^n$ 表示摩擦力矩, $\tau \in \mathbb{R}^n$ 为控制力矩, $\tau_d \in \mathbb{R}^n$ 为外加扰动。

机器人系统的动力学特性如下:

(1) $\dot{M}(q) - 2C(q, \dot{q})$ 是一个斜对称矩阵, $x^T(\dot{M}(q) - 2C(q, \dot{q}))x = 0$ 。

(2) 惯性矩阵 $M(q)$ 是对称正定矩阵, 存在正数 m_1, m_2 , 满足如下不等式:

$$m_1 \|x\|^2 \leq x^T M(q)x \leq m_2 \|x\|^2 \quad (1.2)$$

(3) 存在一个依赖于机械手参数的参数向量, 使得 $M(q), C(q, \dot{q}), G(q), F(\dot{q})$ 满足线性关系:

$$M(q)\vartheta + C(q, \dot{q})\rho + G(q) + F(\dot{q}) = \Phi(q, \dot{q}, \rho, \vartheta)P \quad (1.3)$$

其中, $\Phi(q, \dot{q}, \vartheta, \rho) \in \mathbb{R}^{n \times m}$ 为已知关节变量函数的回归矩阵, 它是机器人广义坐标及其各阶导数的已知函数矩阵, $P \in \mathbb{R}^m$ 是描述机器人质量特性的未知定常参数向量。

一个典型的双关节刚性机械手示意图如图 1-2 所示。本书中的大多数仿真实例都采用该机械手进行验证。

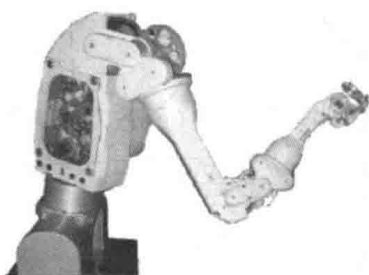


图 1-1 典型的多关节机器人

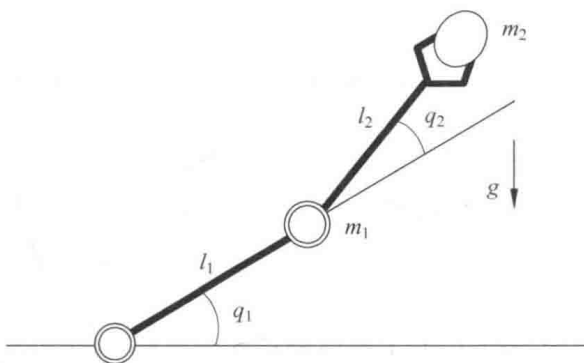


图 1-2 典型的双关节刚性机械手示意图

1.3 基于 S 函数的 Simulink 仿真

S 函数是 Simulink 的重要部分, 它为 Simulink 环境下的仿真提供了强有力的拓展能力。S 函数可以用计算机语言来描述动态系统。在控制系统设计中, S 函数可以用来描述控制算法、自适应算法和模型动力学方程。



S 函数中使用文本方式输入公式和方程,适合复杂动态系统的数学描述,并且在仿真过程中可以对仿真参数进行更精确的描述。在本书的机器人控制系统的 Simulink 仿真中,主要使用 S 函数来实现控制律、自适应律和被控对象的描述。

1.3.1 S 函数简介

S 函数模块是整个 Simulink 动态系统的核心,也可以说 S 函数是 Simulink 最具魅力的地方。

S 函数是系统函数(system function)的简称,是指采用非图形化的方式(即计算机语言,区别于 Simulink 的系统模块)描述的一个功能块。用户可以采用 MATLAB 代码、C、C++ 等语言编写 S 函数。S 函数由一种特定的语法构成,用来描述并实现连续系统、离散系统以及复合系统等动态系统,S 函数能够接收来自 Simulink 求解器的相关信息,并对求解器发出的命令做出适当的响应,这种交互作用非常类似于 Simulink 系统模块与求解器的交互作用。一个结构体系完整的 S 函数包含了描述动态系统所需的全部能力,所有其他的使用情况都是这个结构体系的特例。

1.3.2 S 函数使用步骤

一般而言,S 函数的使用步骤如下:

(1) 创建 S 函数源文件。创建 S 函数源文件有多种方法,Simulink 提供了很多 S 函数模板和例子,用户可以根据自己的需要修改相应的模板或例子即可。

(2) 在动态系统的 Simulink 模型框图中添加 S-function 模块,并进行正确的设置。

(3) 在 Simulink 模型框图中按照定义好的功能连接输入输出端口。

为了方便 S 函数的使用和编写,Simulink 的 Functions&Tables 模块库还提供了 S-function demos 模块组,该模块组为用户提供了编写 S 函数的各种例子,以及 S 函数模板模块。

1.3.3 S 函数的基本功能及重要参数设定

S 函数的基本功能及重要参数设定如下:

(1) S 函数功能模块:各种功能模块完成不同的任务,这些功能模块(函数)称为仿真例程或回调函数(call-back functions),包括初始化(initialization)、导数 mdlDerivative)、输出(mdlOutput)等。

(2) NumContStates 表示 S-函数描述的模块中连续状态的个数。

(3) NumDiscStates 表示离散状态的个数。

(4) NumOutputs 和 NumInputs 分别表示模块输出和输入的个数。

(5) 直接馈通(dirFeedthrough)为输入信号是否在输出端出现的标识,取值为 0 或 1。例如,形如 $y = k \times u$ 的系统需要输入(即直接反馈),其中, u 是输入, k 是增益, y 是输出,形如等式 $y = x, \dot{x} = u$ 的系统不需要输入(即不存在直接反馈),其中, x 是状态, u 是输入, y 为输出。

(6) NumSampleTimes 为模块采样周期的个数,S 函数支持多采样周期的系统。

除了 sys 外,还应设置系统的初始状态变量 x_0 、说明变量 str 和采样周期变量 t_s 。 t_s 变

量为双列矩阵,其中,每一行对应一个采样周期。对连续系统和单个采样周期的系统来说,该变量为 $[t_1, t_2]$, t_1 为采样周期, $t_1 = -1$ 表示继承输入信号的采样周期, t_2 为偏移量,一般取为 0。对连续系统来说, t_s 取为 $[-1, 0]$ 。

1.3.4 S 函数描述实例

在控制系统设计中, S 函数可以用于控制器、自适应律和模型描述。以模型 $J\ddot{\theta} = u + d(t)$ 的 S 函数描述为例,其中, u 为控制输入, $d(t)$ 为加在控制输入端的扰动,模型输出为 θ 和 $\dot{\theta}$, 即转动角度和转动角速度, J 为转动惯量。该模型可描述如下:

$$\begin{aligned}\dot{x}_1 &= x_2 \\ \dot{x}_2 &= \frac{1}{J}(u + d(t))\end{aligned}$$

其中, $x_1 = \theta$, $x_2 = \dot{\theta}$ 。

针对该模型的 S 函数描述介绍如下:

(1) 模型初始化 Initialization 函数。

采用 S 函数描述动力学方程,可选取 1 输入 2 输出系统,如果角度 θ 和角速度 $\dot{\theta}$ 的初始值取零,则模型初始化参数写为 $[0, 0]$,模型初始化 S 函数描述如下:

```
function [sys,x0,str,ts] = mdlInitializeSizes
sizes = simsizes;
sizes.NumContStates = 2;
sizes.NumDiscStates = 0;
sizes.NumOutputs = 2;
sizes.NumInputs = 1;
sizes.DirFeedthrough = 0;
sizes.NumSampleTimes = 1;
sys = simsizes(sizes);
x0 = [0,0];
str = [];
ts = [0 0];
```

(2) 微分方程描述的 mdlDerivative 函数。

mdlDerivative 函数可用于描述微分方程并实现数值求解。在控制系统中,可采用该函数来描述被控对象和自适应律等,并通过 Simulink 环境下选择数值分析方法(如 ODE 方法)实现模型的数值求解。取 $J = 2$, $d(t) = \sin t$,则采用 S 函数可实现该模型角度 θ 和角速度 $\dot{\theta}$ 的求解,描述如下:

```
function sys = mdlDerivatives(t,x,u)
J = 2;
dt = sin(t);
ut = u(1);
sys(1) = x(2);
sys(2) = 1/J * (ut + dt);
```

(3) 用于输出的 mdlOutput 函数。

S 函数的 mdlOutput 函数通常用于描述控制器或模型的输出。采用 S 函数的 mdlOutput 模块来描述模型角度 θ 和角速度 $\dot{\theta}$ 的输出：

```
function sys = mdlOutputs(t,x,u)
sys(1) = x(1);
sys(2) = x(2);
```

2.1 机械手独立 PD 控制

2.1.1 控制律的设计

当忽略重力和外加干扰时,采用独立的 PD 控制,能满足机械手定点控制的要求^[1]。

设 n 关节机械手方程为

$$D(q)\ddot{q} + C(q, \dot{q})\dot{q} = \tau \quad (2.1)$$

其中, $D(q)$ 为 $n \times n$ 阶正定惯性矩阵, $C(q, \dot{q})$ 为 $n \times n$ 阶离心和哥氏力项。

独立的 PD 控制律为

$$\tau = K_d \dot{e} + K_p e \quad (2.2)$$

取跟踪误差为 $e = q_d - q$, 采用定点控制时, q_d 为常值, 则 $\dot{q}_d = \ddot{q}_d = 0$ 。

此时, 机械手方程为

$$D(q)(\ddot{q}_d - \ddot{q}) + C(q, \dot{q})(\dot{q}_d - \dot{q}) + K_d \dot{e} + K_p e = 0$$

亦即

$$D(q)\ddot{e} + C(q, \dot{q})\dot{e} + K_p e = -K_d \dot{e} \quad (2.3)$$

取 Lyapunov(李雅普诺夫)函数为

$$V = \frac{1}{2} \dot{e}^T D(q) \dot{e} + \frac{1}{2} e^T K_p e$$

由 $D(q)$ 及 K_p 的正定性知, V 是全局正定的, 则

$$\dot{V} = \dot{e}^T D \ddot{e} + \frac{1}{2} \dot{e}^T \dot{D} \dot{e} + \dot{e}^T K_p e$$

利用 $\dot{D} - 2C$ 的斜对称性知 $\dot{e}^T \dot{D} \dot{e} = 2\dot{e}^T C \dot{e}$, 则

$$\dot{V} = \dot{e}^T D \ddot{e} + \dot{e}^T C \dot{e} + \dot{e}^T K_p e = \dot{e}^T (D \ddot{e} + C \dot{e} + K_p e) = -\dot{e}^T K_d \dot{e}, \quad \dot{e} \leq 0$$

2.1.2 收敛性分析

由于 \dot{V} 是半负定的, 且 K_d 为正定, 当 $\dot{V} = 0$ 时, 有 $\dot{e} = 0$, 从而 $\ddot{e} = 0$ 。代入方程(2.3), 有 $K_p e = 0$, 再由 K_p 的可逆性知 $e = 0$ 。由 LaSalle 定理^[2]知, $(e, \dot{e}) = (0, 0)$ 是受控机械手全局渐进稳定的平衡点, 即从任意初始条件 (q_0, \dot{q}_0) 出发, 当 $t \rightarrow \infty$ 时, $q \rightarrow q_d, \dot{q} \rightarrow 0$ 。

2.1.3 仿真实例

针对被控对象式(2.1),选二关节机械手系统(不考虑重力、摩擦力和干扰),其动力学模型为

$$D(q)\ddot{q} + C(q, \dot{q})\dot{q} = \tau$$

其中,

$$D(q) = \begin{bmatrix} p_1 + p_2 + 2p_3 \cos q_2 & p_2 + p_3 \cos q_2 \\ p_2 + p_3 \cos q_2 & p_2 \end{bmatrix}$$

$$C(q, \dot{q}) = \begin{bmatrix} -p_3 \dot{q}_2 \sin q_2 & -p_3 (\dot{q}_1 + \dot{q}_2) \sin q_2 \\ p_3 \dot{q}_1 \sin q_2 & 0 \end{bmatrix}$$

取 $p = [2.90 \quad 0.76 \quad 0.87 \quad 3.04 \quad 0.87]^T$, $q_0 = [0.0 \quad 0.0]^T$, $\dot{q}_0 = [0.0 \quad 0.0]^T$ 。

位置指令为 $q_d(0) = [1.0 \quad 1.0]^T$, 在控制器式(2.2)中, 取 $K_p = \begin{bmatrix} 100 & 0 \\ 0 & 100 \end{bmatrix}$, $K_d = \begin{bmatrix} 100 & 0 \\ 0 & 100 \end{bmatrix}$, 仿真结果如图 2-1 和图 2-2 所示。

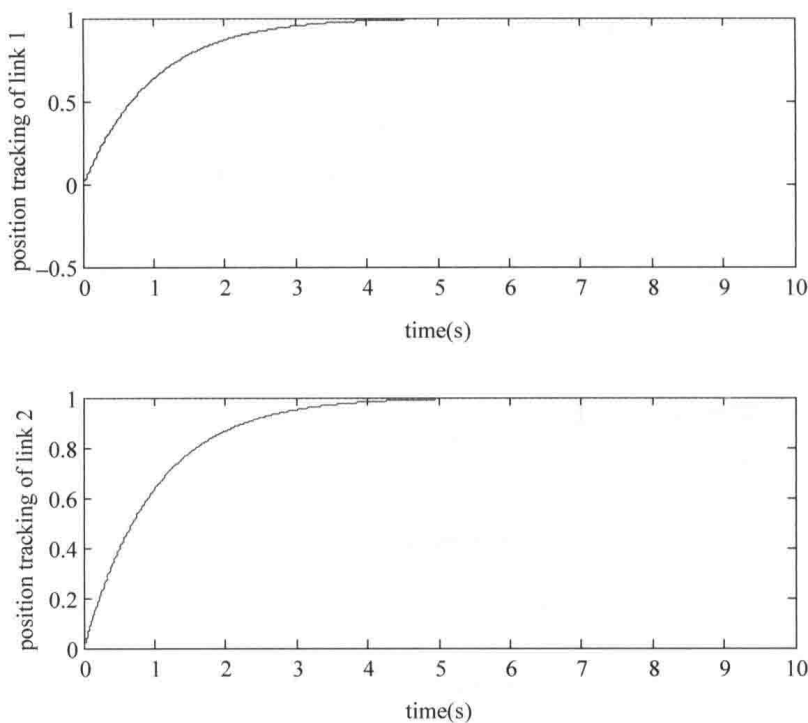


图 2-1 双力臂的阶跃响应仿真结果

仿真中,当改变参数 K_p, K_d 时,只要满足 $K_d > 0, K_p > 0$,都能获得比较好的仿真结果。完全不受外力,没有任何干扰的机械手系统是不存在的,独立的 PD 控制只能作为基础来考虑分析,但对它的分析有重要意义。

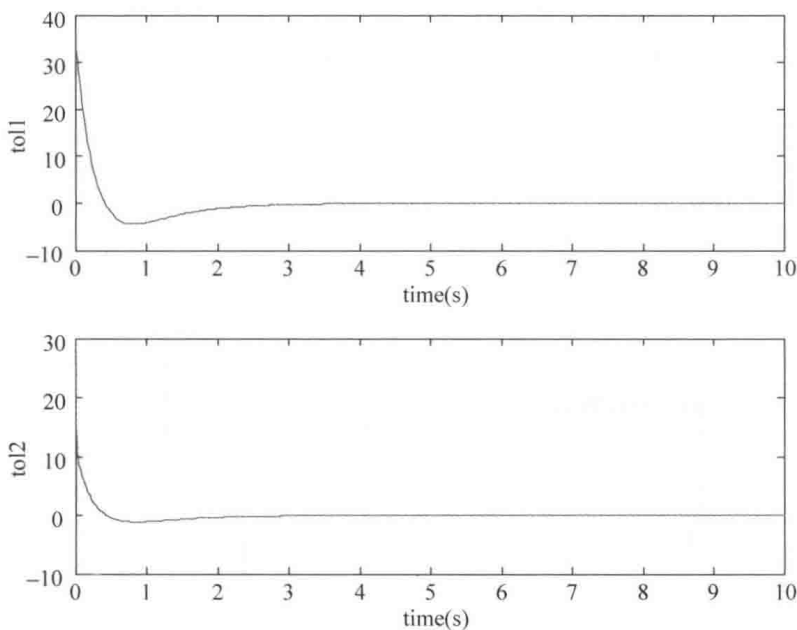
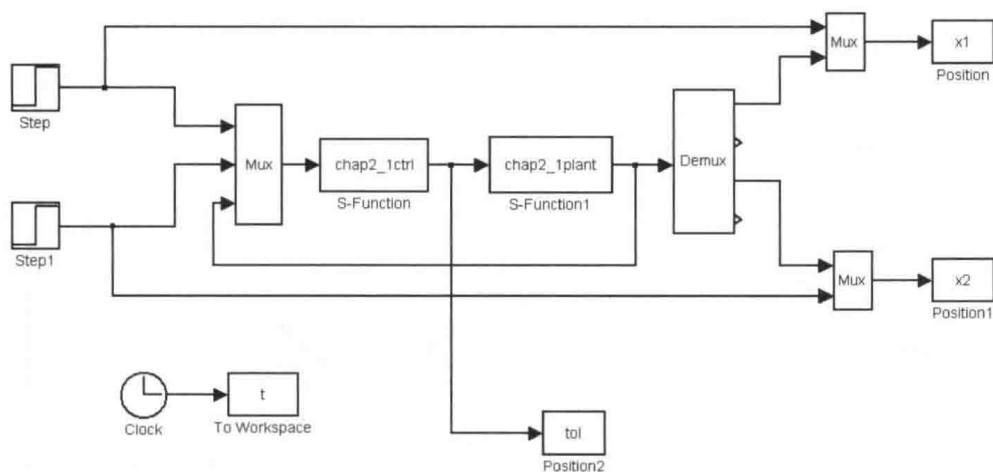


图 2-2 独立 PD 控制的控制输入仿真结果

仿真程序如下：

(1) Simulink 主程序：chap2_1sim.mdl。



(2) 控制器子程序：chap2_1ctrl.m。

```
function [sys,x0,str,ts] = spacemodel(t,x,u,flag)
```

```
switch flag,
case 0,
    [sys,x0,str,ts] = mdlInitializeSizes;
case 3,
    sys = mdlOutputs(t,x,u);
case {2,4,9}
    sys = [];
otherwise
    error(['Unhandled flag = ',num2str(flag)]);
end
```



```
function [sys,x0,str,ts] = mdlInitializeSizes
sizes = simsizes;
sizes.NumOutputs    = 2;
sizes.NumInputs     = 6;
sizes.DirFeedthrough = 1;
sizes.NumSampleTimes = 1;
sys = simsizes(sizes);
x0  = [];
str = [];
ts  = [0 0];
```

```
function sys = mdlOutputs(t,x,u)
R1 = u(1);dr1 = 0;
R2 = u(2);dr2 = 0;
```

```
x(1) = u(3);
x(2) = u(4);
x(3) = u(5);
x(4) = u(6);
```

```
e1 = R1 - x(1);
e2 = R2 - x(3);
e  = [e1;e2];
```

```
de1 = dr1 - x(2);
de2 = dr2 - x(4);
de  = [de1;de2];
```

```
Kp = [30 0;0 30];
Kd = [30 0;0 30];
```

```
tol = Kp * e + Kd * de;
```

```
sys(1) = tol(1);
sys(2) = tol(2);
```

(3) 被控对象子程序：chap2_1plant.m。

```
% S - function for continuous state equation
function [sys,x0,str,ts] = s_function(t,x,u,flag)
```

```
switch flag,
% Initialization
case 0,
    [sys,x0,str,ts] = mdlInitializeSizes;
case 1,
    sys = mdlDerivatives(t,x,u);
% Outputs
case 3,
    sys = mdlOutputs(t,x,u);
% Unhandled flags
case {2, 4, 9}
    sys = [];
```

```

% Unexpected flags
otherwise
    error(['Unhandled flag = ', num2str(flag)]);
end

% mdlInitializeSizes
function [sys,x0,str,ts] = mdlInitializeSizes
global p g
sizes = simsizes;
sizes.NumContStates = 4;
sizes.NumDiscStates = 0;
sizes.NumOutputs = 4;
sizes.NumInputs = 2;
sizes.DirFeedthrough = 0;
sizes.NumSampleTimes = 0;
sys = simsizes(sizes);
x0 = [0 0 0 0];
str = [];
ts = [];

p = [2.9 0.76 0.87 3.04 0.87];
g = 9.8;
function sys = mdlDerivatives(t,x,u)
global p g

D0 = [p(1) + p(2) + 2 * p(3) * cos(x(3)) p(2) + p(3) * cos(x(3));
      p(2) + p(3) * cos(x(3)) p(2)];
C0 = [-p(3) * x(4) * sin(x(3)) - p(3) * (x(2) + x(4)) * sin(x(3));
      p(3) * x(2) * sin(x(3)) 0];
tol = u(1:2);
dq = [x(2);x(4)];

S = inv(D0) * (tol - C0 * dq);

sys(1) = x(2);
sys(2) = S(1);
sys(3) = x(4);
sys(4) = S(2);
function sys = mdlOutputs(t,x,u)
sys(1) = x(1);
sys(2) = x(2);
sys(3) = x(3);
sys(4) = x(4);

```

(4) 绘图子程序: chap2_1plot.m。

```

close all;

figure(1);
subplot(211);
plot(t,x1(:,1),'r',t,x1(:,2),'b');
xlabel('time(s)');ylabel('position tracking of link 1');
subplot(212);
plot(t,x2(:,1),'r',t,x2(:,2),'b');

```

```

xlabel('time(s)');ylabel('position tracking of link 2');

figure(2);
subplot(211);
plot(t,tol(:,1),'r');
xlabel('time(s)');ylabel('tol1');
subplot(212);
plot(t,tol(:,2),'r');
xlabel('time(s)');ylabel('tol2');

```

2.2 基于重力补偿的机械手 PD 控制

2.2.1 控制律的设计

当考虑重力时,采用基于重力补偿的 PD 控制,能满足机械手定点控制的要求^[1]。

设 n 关节机械手方程为

$$D(q)\ddot{q} + C(q, \dot{q})\dot{q} + G(q) = \tau \quad (2.4)$$

其中, $D(q)$ 为 $n \times n$ 阶正定惯性矩阵, $C(q, \dot{q})$ 为 $n \times n$ 阶离心和哥氏力项, $G(q)$ 为重力矩向量。

基于重力补偿的 PD 控制律为

$$\tau = K_d \dot{e} + K_p e + \hat{G}(q) \quad (2.5)$$

其中, $\hat{G}(q)$ 为对重力矩的估计值。

取跟踪误差为 $e = q_d - q$, 采用定点控制时, q_d 为常值, 则 $\dot{q}_d = \ddot{q}_d = 0$ 。

此时, 机械手动力学方程为

$$D(q)(\ddot{q}_d - \ddot{q}) + C(q, \dot{q})(\dot{q}_d - \dot{q}) + K_d \dot{e} + K_p e + \hat{G}(q) - G(q) = 0$$

2.2.2 控制律分析

控制律式(2.5)的实现关键在于对重力矩 $\hat{G}(q)$ 的估计, 针对重力矩的估计方法有以下两大类。

(1) 当对重力矩的估计值准确时, $\hat{G}(q) = G(q)$, 有

$$D(q)\ddot{e} + (C(q, \dot{q}) + K_d)\dot{e} + K_p e = 0 \quad (2.6)$$

此时, 控制的稳定性和收敛性分析过程同 2.1 节的“机械手独立 PD 控制”。

(2) 当对重力矩的估计值不准确时, 需要设计重力补偿算法。目前, 有代表性的重力补偿 PD 控制方法有以下两种:

- 在线估计重力补偿的 PD 控制: 文献[3]针对双柔性关节机械臂, 设计了在线估计重力的自适应算法, 实现了基于在线重力补偿的 PD 控制。
- 具有固定重力补偿的 PD 控制: 由于在线估计重力补偿项 $\hat{G}(q)$ 会加重计算机实时计算的负担, 为此, Takegaki 等^[4]采用事先计算出的固定重力项作为补偿, 采用增加反馈增益来减小稳态误差, 并采用系统的 Hamilton 函数作为其李雅普诺夫函数, 证明了该方法的稳定性和收敛性。

2.3 基于模型补偿的机械手 PD 控制

2.3.1 系统描述

双关节机械臂动力学方程可写为

$$\mathbf{H}(\mathbf{q})\ddot{\mathbf{q}} + \mathbf{C}(\mathbf{q}, \dot{\mathbf{q}})\dot{\mathbf{q}} + \mathbf{G}(\mathbf{q}) = \boldsymbol{\tau} \quad (2.7)$$

其中, $\mathbf{q} = [q_1 \ q_2]^T$, $\boldsymbol{\tau} = [\tau_1 \ \tau_2]^T$ 。

2.3.2 控制器的设计

定义 $\dot{\mathbf{q}}_r = \dot{\mathbf{q}}_d - \boldsymbol{\Lambda} \bar{\mathbf{q}}$, $\ddot{\mathbf{q}}_r = \ddot{\mathbf{q}}_d - \boldsymbol{\Lambda} \dot{\bar{\mathbf{q}}}$, 设计滑模函数为

$$\mathbf{s} = \dot{\bar{\mathbf{q}}} + \boldsymbol{\Lambda} \bar{\mathbf{q}} \quad (2.8)$$

其中, $\boldsymbol{\Lambda}$ 是一个常数阵, $\boldsymbol{\Lambda} > 0$ 。

设计基于模型补偿的 PD 型控制律为

$$\boldsymbol{\tau} = \mathbf{H}\ddot{\mathbf{q}}_r + \mathbf{C}\dot{\mathbf{q}}_r + \mathbf{G} - \mathbf{K}_D \mathbf{s} \quad (2.9)$$

其中, \mathbf{K}_D 为正定矩阵。

构造李雅普诺夫函数

$$V(t) = \frac{1}{2} \mathbf{s}^T \mathbf{H} \mathbf{s}$$

则

$$\begin{aligned} \dot{V}(t) &= \mathbf{s}^T \mathbf{H} \dot{\mathbf{s}} + \frac{1}{2} \mathbf{s}^T \dot{\mathbf{H}} \mathbf{s} \\ &= \mathbf{s}^T (\mathbf{H} \ddot{\mathbf{q}} - \mathbf{H} \ddot{\mathbf{q}}_r) + \frac{1}{2} \mathbf{s}^T \dot{\mathbf{H}} \mathbf{s} \\ &= \mathbf{s}^T (\boldsymbol{\tau} - \mathbf{C} \dot{\mathbf{q}} - \mathbf{G} - \mathbf{H} \ddot{\mathbf{q}}_r) + \frac{1}{2} \mathbf{s}^T \dot{\mathbf{H}} \mathbf{s} \\ &= \mathbf{s}^T (\mathbf{H} \ddot{\mathbf{q}}_r + \mathbf{C} \dot{\mathbf{q}}_r + \mathbf{G} - \mathbf{K}_D \mathbf{s} - \mathbf{C}(\mathbf{s} + \dot{\mathbf{q}}_r) - \mathbf{G} - \mathbf{H} \ddot{\mathbf{q}}_r) + \frac{1}{2} \mathbf{s}^T \dot{\mathbf{H}} \mathbf{s} \\ &= \mathbf{s}^T (-\mathbf{K}_D \mathbf{s} - \mathbf{C} \mathbf{s}) + \frac{1}{2} \mathbf{s}^T \dot{\mathbf{H}} \mathbf{s} \\ &= -\mathbf{K}_D \mathbf{s}^T \mathbf{s} + \frac{1}{2} \mathbf{s}^T (\dot{\mathbf{H}} - 2\mathbf{C}) \mathbf{s} \\ &= -\mathbf{K}_D \mathbf{s}^T \mathbf{s} \leq 0 \end{aligned}$$

由于 \dot{V} 是半负定的, 且 \mathbf{K}_D 为正定的, 当 $\dot{V} \equiv 0$ 时, 有 $\mathbf{s} \equiv 0$, 从而 $\dot{\mathbf{q}} \equiv 0$, $\ddot{\mathbf{q}} \equiv 0$ 。由 LaSalle 定理^[2]知, $(\dot{\mathbf{q}}, \ddot{\mathbf{q}}) = (0, 0)$ 是受控机械手全局渐进稳定的平衡点, 即从任意初始条件 $(\mathbf{q}_0, \dot{\mathbf{q}}_0)$ 出发, 当 $t \rightarrow \infty$ 时, 均有 $\mathbf{q} \rightarrow \mathbf{q}_d$, $\dot{\mathbf{q}} \rightarrow \dot{\mathbf{q}}_d$ 。

2.3.3 仿真实例

二关节平面机械臂具有 4 个物理参数^[5], 分别为质量 m_e , 转动惯量 I_e , 质量中心距第二关节处的距离 l_{ce} , 质量中心与第二机械臂的夹角 δ_e 。机械臂的实际物理参数值见表 2-1。

表 2-1 机械臂的实际物理参数值

m_1/kg	l_1/m	l_{c1}/m	I_1/kg	m_e/kg	l_{ce}/m	I_e/kg	δ_e	e_1	e_2
1	1	1/2	1/12	3	1	2/5	0	-7/12	9.81

被控对象取式(2.7),两力臂机械手的位置指令分别为 $q_{d1} = \sin(2\pi t)$, $q_{d2} = \sin(2\pi t)$ 。采用控制律(2.9), $\mathbf{K}_d = \begin{bmatrix} 100 & 0 \\ 0 & 100 \end{bmatrix}$, $\mathbf{A} = \begin{bmatrix} 5 & 0 \\ 0 & 5 \end{bmatrix}$,第一关节和第二关节的位置及速度跟踪及控制输入仿真结果如图 2-3~图 2-5 所示。

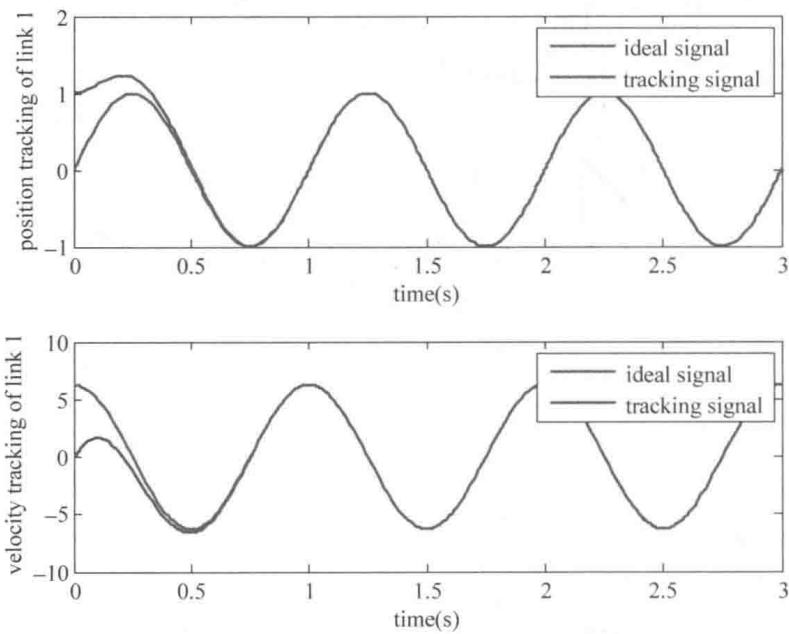


图 2-3 第一关节的位置及速度跟踪仿真结果

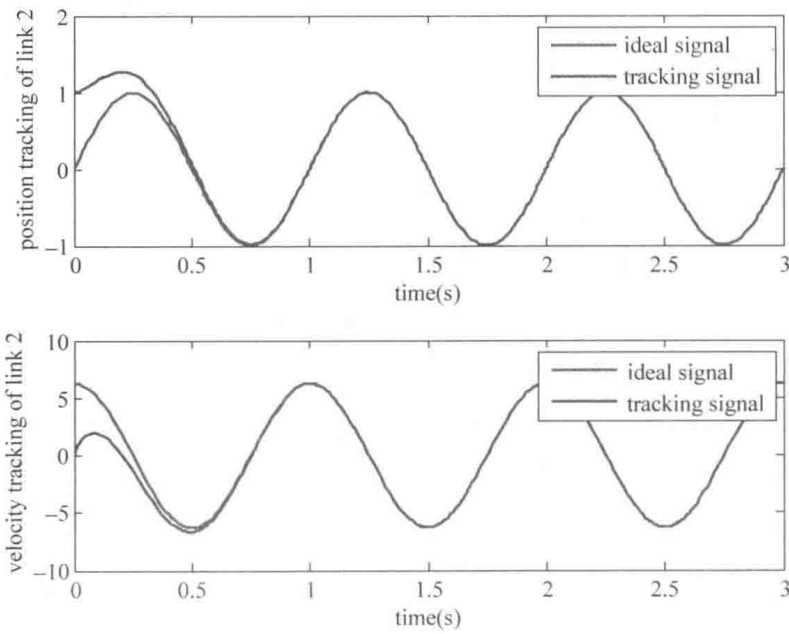


图 2-4 第二关节的位置及速度跟踪仿真结果

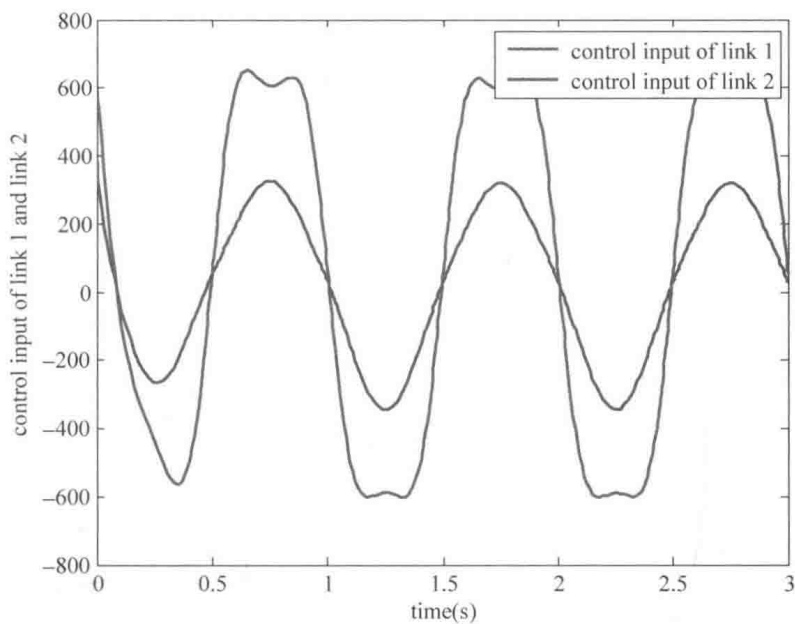
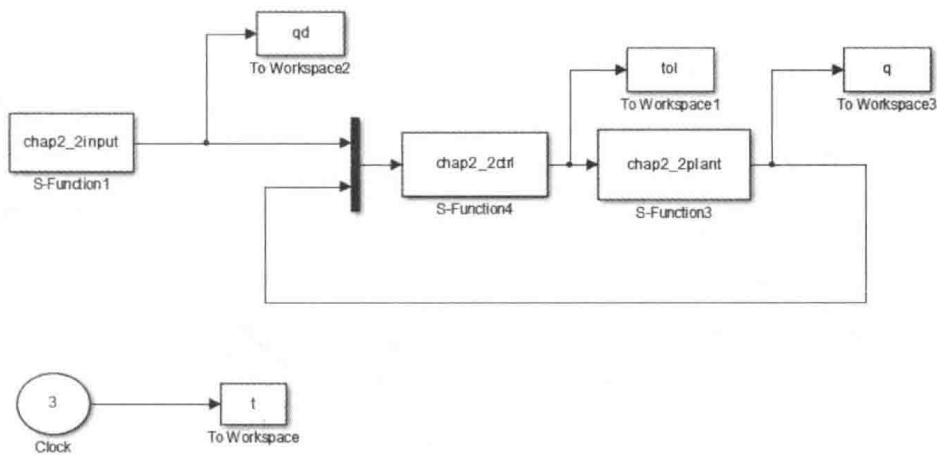


图 2-5 第一和第二关节的控制输入仿真结果

仿真程序如下：

(1) Simulink 主程序：chap2_2sim.mdl。



(2) 输入指令程序：chap2_2input.m。

```
function [sys,x0,str,ts] = input(t,x,u,flag)

switch flag,
case 0,
    [sys,x0,str,ts] = mdlInitializeSizes;
case 3,
    sys = mdlOutputs(t,x,u);
case {2,4,9}
    sys = [];
otherwise
    error(['Unhandled flag = ',num2str(flag)]);
```

```
end
```

```
function [sys,x0,str,ts] = mdlInitializeSizes
sizes = simsizes;
sizes.NumOutputs = 6;
sizes.NumInputs = 0;
sizes.DirFeedthrough = 0;
sizes.NumSampleTimes = 0;
sys = simsizes(sizes);
x0 = [];
str = [];
ts = [];
```

```
function sys = mdlOutputs(t,x,u)
q1_d = sin(2 * pi * t);
q2_d = sin(2 * pi * t);
dq1_d = 2 * pi * cos(2 * pi * t);
dq2_d = 2 * pi * cos(2 * pi * t);
ddq1_d = -(2 * pi)^2 * sin(2 * pi * t);
ddq2_d = -(2 * pi)^2 * sin(2 * pi * t);
```

```
sys(1) = q1_d;
sys(2) = dq1_d;
sys(3) = ddq1_d;
sys(4) = q2_d;
sys(5) = dq2_d;
sys(6) = ddq2_d;
```

(3) 控制器程序：chap2_2ctrl.m。

```
function [sys,x0,str,ts] = control_strategy(t,x,u,flag)
switch flag,
case 0,
    [sys,x0,str,ts] = mdlInitializeSizes;
case 3,
    sys = mdlOutputs(t,x,u);
case {2,4,9}
    sys = [];
otherwise
    error(['Unhandled flag = ',num2str(flag)]);
end
```

```
function [sys,x0,str,ts] = mdlInitializeSizes
sizes = simsizes;
sizes.NumOutputs = 2;
sizes.NumInputs = 10;
sizes.DirFeedthrough = 1;
sizes.NumSampleTimes = 0;
sys = simsizes(sizes);
x0 = [];
str = [];
```

```

ts = [];
function sys = mdlOutputs(t,x,u)
alfa = 6.7;beta = 3.4;epc = 3.0;eta = 0;

q1_d = u(1);dq1_d = u(2);ddq1_d = u(3);
q2_d = u(4);dq2_d = u(5);ddq2_d = u(6);
q1 = u(7);dq1 = u(8);
q2 = u(9);dq2 = u(10);

m1 = 1;l1 = 1;
lc1 = 1/2;I1 = 1/12;
g = 9.8;
e1 = m1 * l1 * lc1 - I1 - m1 * l1^2;
e2 = g/l1;

dq_d = [dq1_d,dq2_d]';
ddq_d = [ddq1_d,ddq2_d]';

q_error = [q1 - q1_d,q2 - q2_d]';
dq_error = [dq1 - dq1_d,dq2 - dq2_d]';

H = [ alfa + 2 * epc * cos(q2) + 2 * eta * sin(q2),beta + epc * cos(q2) + eta * sin(q2);
      beta + epc * cos(q2) + eta * sin(q2),beta];
C = [ (- 2 * epc * sin(q2) + 2 * eta * cos(q2)) * dq2, (- epc * sin(q2) + eta * cos(q2)) * dq2;
      (epc * sin(q2) - eta * cos(q2)) * dq1,0];
G = [epc * e2 * cos(q1 + q2) + eta * e2 * sin(q1 + q2) + (alfa - beta + e1) * e2 * cos(q1);
      epc * e2 * cos(q1 + q2) + eta * e2 * sin(q1 + q2)];

Fai = 5 * eye(2);
dqr = dq_d - Fai * q_error;
ddqr = ddq_d - Fai * dq_error;
s = Fai * q_error + dq_error;
Kd = 100 * eye(2);
tol = H * ddqr + C * dqr + G - Kd * s;
sys(1) = tol(1);
sys(2) = tol(2);

```

(4) 被控对象程序: chap2_2plant.m。

```

function [sys,x0,str,ts] = s_function(t,x,u,flag)
switch flag,
case 0,
    [sys,x0,str,ts] = mdlInitializeSizes;
case 1,
    sys = mdlDerivatives(t,x,u);
case 3,
    sys = mdlOutputs(t,x,u);
case {2, 4, 9}
    sys = [];
otherwise
    error(['Unhandled flag = ',num2str(flag)]);

```



```
end
```

```
function [sys,x0,str,ts] = mdlInitializeSizes
```

```
sizes = simsizes;
```

```
sizes.NumContStates = 4;
```

```
sizes.NumDiscStates = 0;
```

```
sizes.NumOutputs = 4;
```

```
sizes.NumInputs = 2;
```

```
sizes.DirFeedthrough = 0;
```

```
sizes.NumSampleTimes = 0;
```

```
sys = simsizes(sizes);
```

```
x0 = [1.0,0,1.0,0];
```

```
str = [];
```

```
ts = [];
```

```
function sys = mdlDerivatives(t,x,u)
```

```
tol = [u(1);u(2)];
```

```
q1 = x(1);
```

```
dq1 = x(2);
```

```
q2 = x(3);
```

```
dq2 = x(4);
```

```
alfa = 6.7;
```

```
beta = 3.4;
```

```
epc = 3.0;
```

```
eta = 0;
```

```
m1 = 1;l1 = 1;
```

```
lc1 = 1/2;I1 = 1/12;
```

```
g = 9.8;
```

```
e1 = m1 * l1 * lc1 - I1 - m1 * l1^2;
```

```
e2 = g/l1;
```

```
H = [alfa + 2 * epc * cos(q2) + 2 * eta * sin(q2), beta + epc * cos(q2) + eta * sin(q2);
```

```
beta + epc * cos(q2) + eta * sin(q2), beta];
```

```
C = [( - 2 * epc * sin(q2) + 2 * eta * cos(q2)) * dq2, ( - epc * sin(q2) + eta * cos(q2)) * dq2;
```

```
(epc * sin(q2) - eta * cos(q2)) * dq1, 0];
```

```
G = [epc * e2 * cos(q1 + q2) + eta * e2 * sin(q1 + q2) + (alfa - beta + e1) * e2 * cos(q1);
```

```
epc * e2 * cos(q1 + q2) + eta * e2 * sin(q1 + q2)];
```

```
S = inv(H) * (tol - C * [dq1;dq2] - G);
```

```
sys(1) = x(2);
```

```
sys(2) = S(1);
```

```
sys(3) = x(4);
```

```
sys(4) = S(2);
```

```
function sys = mdlOutputs(t,x,u)
```

```
sys(1) = x(1);
```

```
sys(2) = x(2);
```

```
sys(3) = x(3);
```

```
sys(4) = x(4);
```

(5) 作图程序: chap2_2plot.m。

```
close all;

figure(1);
subplot(211);
plot(t,qd(:,1),'r',t,q(:,1),'b','linewidth',2);
xlabel('time(s)');ylabel('position tracking of link 1');
legend('ideal signal','tracking signal');
subplot(212);
plot(t,qd(:,2),'r',t,q(:,2),'b','linewidth',2);
xlabel('time(s)');ylabel('velocity tracking of link 1');
legend('ideal signal','tracking signal');

figure(2);
subplot(211);
plot(t,qd(:,4),'r',t,q(:,3),'b','linewidth',2);
xlabel('time(s)');ylabel('position tracking of link 2');
legend('ideal signal','tracking signal');
subplot(212);
plot(t,qd(:,5),'r',t,q(:,4),'b','linewidth',2);
xlabel('time(s)');ylabel('velocity tracking of link 2');
legend('ideal signal','tracking signal');

figure(3);
plot(t,tol(:,1),'r',t,tol(:,2),'b','linewidth',2);
xlabel('time(s)');ylabel('control input of link 1 and link 2');
legend('control input of link 1','control input of link 2');
```

参考文献

- [1] 霍伟. 机器人动力学与控制[M]. 北京: 高等教育出版社, 2005.
- [2] LaSalle J, Lefschetz S. Stability by Lyapunov's direct method[M]. New York: Academic Press, 1961.
- [3] Luca A D, Siciliano B, Zollo L. PD control with on-line gravity compensation for robots with elastic joints: Theory and experiments[J]. Automatica, 2005, 41(10): 1809-1819.
- [4] Takegaki M, Arimoto S. A new feedback method for dynamic control of manipulators[J]. Journal of Dynamic Systems Measurement and Control, 1981, 103(2): 119.
- [5] Slotine J E, Li W P. On the adaptive control of robot manipulators[J]. The International Journal of Robotics Research, 1987, 6(3): 49-59.

如果被控对象的数学模型已知,滑模控制器可以使系统输出直接跟踪期望指令,但较大的建模不确定性需要较大的切换增益,这就造成抖振,抖振是滑模控制中难以避免的问题。

将滑模控制结合神经网络逼近用于非线性系统的控制中,采用神经网络实现模型未知部分的自适应逼近,可有效地降低切换增益。神经网络自适应律通过 Lyapunov 方法导出,通过自适应权重的调节保证整个闭环系统的稳定性和收敛性。

RBF(Radial Basis Function,径向基函数)神经网络于 1988 年提出。相比多层前馈 BP (Back Propagation,反向传播)网络,RBF 网络由于具有良好的泛化能力,网络结构简单,避免不必要和冗长的计算而备受关注。关于 RBF 网络的研究表明 RBF 神经网络能在一个紧凑集和任意精度下,逼近任何非线性函数^[1]。目前,已经有许多针对非线性系统的 RBF 神经网络控制研究成果发表。

3.1 一种简单的 RBF 网络自适应滑模控制

3.1.1 问题描述

考虑一种简单的动力学系统:

$$\ddot{\theta} = f(\theta, \dot{\theta}) + u \quad (3.1)$$

其中, θ 为转动角度, u 为控制输入。

写成状态方程形式为

$$\begin{cases} \dot{x}_1 = x_2 \\ \dot{x}_2 = f(x) + u \end{cases} \quad (3.2)$$

其中, $x_1 = \theta$, $x_2 = \dot{\theta}$, $f(x)$ 为未知。

角度指令为 x_d , 则误差及其导数为

$$e = x_1 - x_d, \quad \dot{e} = x_2 - \dot{x}_d$$

定义滑模函数

$$s = ce + \dot{e}, \quad c > 0 \quad (3.3)$$

则

$$\dot{s} = c\dot{e} + \ddot{e} = c\dot{e} + \dot{x}_2 - \ddot{x}_d = c\dot{e} + f(x) + u - \ddot{x}_d$$

由式(3.3)可见,如果 $s \rightarrow 0$, 则 $e \rightarrow 0$ 且 $\dot{e} \rightarrow 0$ 。

3.1.2 RBF 网络原理

由于 RBF 网络具有万能逼近特性^[1],采用 RBF 神经网络逼近 $f(x)$,网络算法为

$$h_j = \exp\left(-\frac{\|x - c_j\|^2}{2b_j^2}\right) \quad (3.4)$$

$$f = W^*{}^T h(x) + \epsilon \quad (3.5)$$

其中, x 为网络的输入, j 为网络隐含层第 j 个节点, $h = [h_j]^T$ 为网络的高斯基函数输出, W^* 为网络的理想权值, ϵ 为网络的逼近误差, $|\epsilon| \leq \epsilon_N$ 。

网络输入取 $x = [x_1 \ x_2]^T$, 则网络输出为

$$\hat{f}(x) = \hat{W}^T h(x) \quad (3.6)$$

3.1.3 控制算法设计与分析

由于 $f(x) - \hat{f}(x) = W^*{}^T h(x) + \epsilon - \hat{W}^T h(x) = -\tilde{W}^T h(x) + \epsilon$ 。

定义 Lyapunov 函数为

$$V = \frac{1}{2}s^2 + \frac{1}{2\gamma}\tilde{W}^T\tilde{W} \quad (3.7)$$

其中, $\gamma > 0$, $\tilde{W} = \hat{W} - W^*$ 。

则

$$\begin{aligned} \dot{V} &= s\dot{s} + \frac{1}{\gamma}\tilde{W}^T\dot{\tilde{W}} \\ &= s(c\dot{e} + f(x) + u - \ddot{x}_d) + \frac{1}{\gamma}\tilde{W}^T\dot{\tilde{W}} \end{aligned}$$

设计控制律为

$$u = -c\dot{e} - \hat{f}(x) + \ddot{x}_d - \eta \operatorname{sgn}(s) \quad (3.8)$$

则

$$\begin{aligned} \dot{V} &= s(f(x) - \hat{f}(x) - \eta \operatorname{sgn}(s)) + \frac{1}{\gamma}\tilde{W}^T\dot{\tilde{W}} \\ &= s(-\tilde{W}^T h(x) + \epsilon - \eta \operatorname{sgn}(s)) + \frac{1}{\gamma}\tilde{W}^T\dot{\tilde{W}} \\ &= \epsilon s - \eta |s| + \tilde{W}^T \left(\frac{1}{\gamma}\dot{\tilde{W}} - s h(x) \right) \end{aligned}$$

取 $\eta > \epsilon_N$, 自适应律为

$$\dot{\tilde{W}} = \gamma s h(x) \quad (3.9)$$

则 $\dot{V} = \epsilon s - \eta |s| \leq 0$ 。

可见，控制律中的鲁棒项 $\eta \operatorname{sgn}(s)$ 的作用是克服神经网络的逼近误差，以保证系统稳定。

由于当且仅当 $s=0$ 时， $\dot{V}=0$ 。即当 $\dot{V} \equiv 0$ 时， $s \equiv 0$ 。根据 LaSalle 不变性原理，闭环系统为渐进稳定，即当 $t \rightarrow \infty$ 时， $s \rightarrow 0$ 。系统的收敛速度取决于 η 。

由于 $V \geq 0, \dot{V} \leq 0$ ，则当 $t \rightarrow \infty$ 时， V 有界，因此，可以证明 \hat{W} 有界，但无法保证 \hat{W} 收敛于 W^* 。

3.1.4 仿真实例

考虑如下被控对象

$$\begin{cases} \dot{x}_1 = x_2 \\ \dot{x}_2 = f(x) + u \end{cases}$$

其中， $f(x) = 10x_1x_2$ 。

被控对象的初始状态取 $[0.15 \ 0]$ ，位置指令为 $x_d = \sin t$ ，控制律采用式 (3.8)，自适应律采用式 (3.9)，取 $\gamma = 1500, \eta = 1.5$ 。根据网络输入 x_1 和 x_2 的实际范围设计高斯基函数的参数^[2]，参数 c_j 和 b_j 取值分别为 $0.5 \times [-2 \ -1 \ 0 \ 1 \ 2]$ 和 3.0。仿真程序中为了避免混淆，将 $s = ce + \dot{e}$ 中的 c 写为 λ ，取 $\lambda = 10$ 。网络权值中各个元素的初始值取 0.10。仿真结果如图 3-1 和图 3-2 所示。

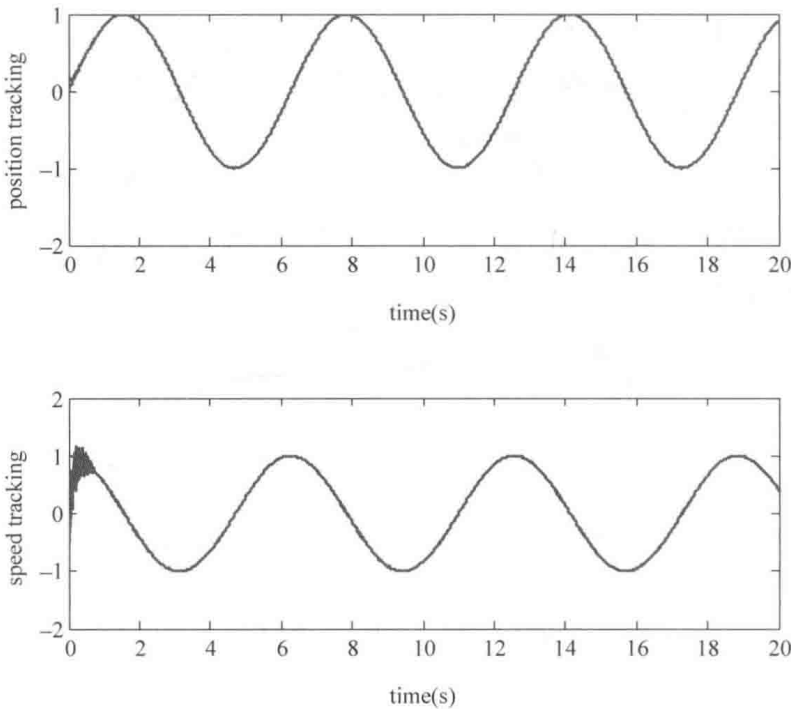
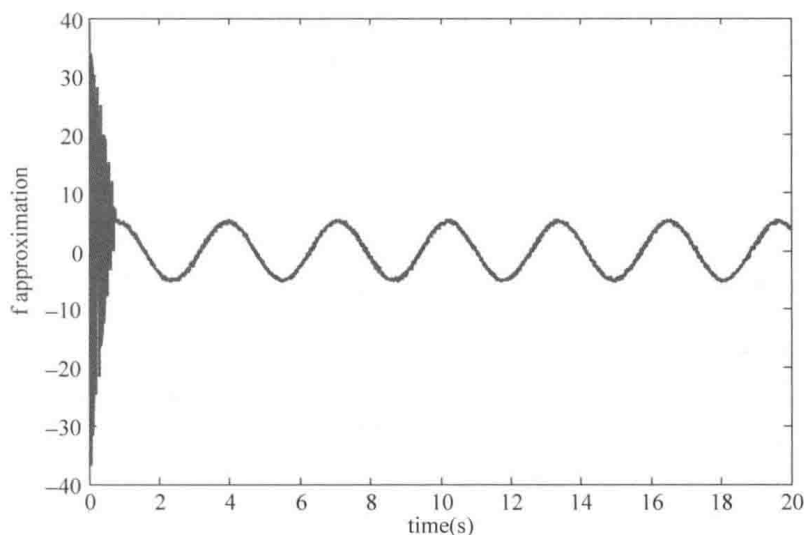
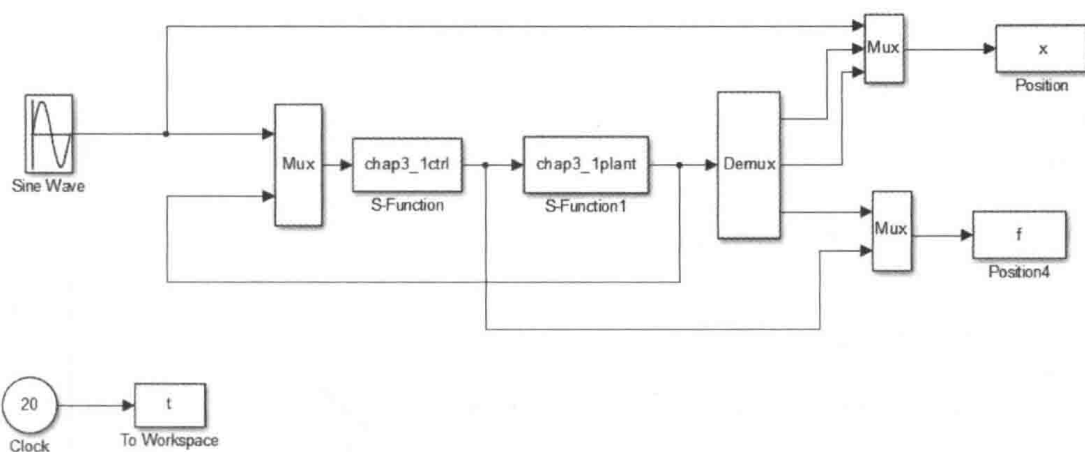


图 3-1 角度和角速度跟踪仿真结果

图 3-2 $f(x)$ 及逼近的仿真结果

仿真程序如下：

(1) Simulink 主程序：chap3_1sim.mdl。



(2) 控制律及自适应律 S 函数：chap3_1ctrl.m。

```
function [sys,x0,str,ts] = spacemodel(t,x,u,flag)
switch flag,
case 0,
    [sys,x0,str,ts] = mdlInitializeSizes;
case 1,
    sys = mdlDerivatives(t,x,u);
case 3,
    sys = mdlOutputs(t,x,u);
case {2,4,9}
    sys = [];
otherwise
    error(['Unhandled flag = ',num2str(flag)]);
end
```

```

function [sys,x0,str,ts] = mdlInitializeSizes
global b c lama
sizes = simsizes;
sizes.NumContStates = 5;
sizes.NumDiscStates = 0;
sizes.NumOutputs = 2;
sizes.NumInputs = 4;
sizes.DirFeedthrough = 1;
sizes.NumSampleTimes = 1;
sys = simsizes(sizes);
x0 = 0.1 * ones(1,5);
str = [];
ts = [0 0];
c = 0.5 * [-2 -1 0 1 2;
          -2 -1 0 1 2];
b = 3.0;
lama = 10;
function sys = mdlDerivatives(t,x,u)
global b c lama
xd = sin(t);
dxd = cos(t);

x1 = u(2);
x2 = u(3);
e = x1 - xd;
de = x2 - dxd;
s = lama * e + de;

W = [x(1) x(2) x(3) x(4) x(5)]';
xi = [x1;x2];

h = zeros(5,1);
for j = 1:1:5
    h(j) = exp(-norm(xi - c(:,j))^2/(2 * b^2));
end

gama = 1500;
for i = 1:1:5
    sys(i) = gama * s * h(i);
end

function sys = mdlOutputs(t,x,u)
global b c lama
xd = sin(t);
dxd = cos(t);
ddxd = -sin(t);

x1 = u(2);
x2 = u(3);
e = x1 - xd;
de = x2 - dxd;

```

```

s = lama * e + de;

W = [x(1) x(2) x(3) x(4) x(5)];
xi = [x1;x2];

h = zeros(5,1);
for j = 1:1:5
    h(j) = exp(- norm(xi - c(:,j))^2/(2 * b^2));
end
fn = W * h;
xite = 1.50;

% fn = 10 * x1 + x2;    % Precise f
ut = - lama * de + ddx - fn - xite * sign(s);

sys(1) = ut;
sys(2) = fn;

```

(3) 被控对象 S 函数: chap3_1plant.m。

```

function [sys,x0,str,ts] = s_function(t,x,u,flag)
switch flag,
case 0,
    [sys,x0,str,ts] = mdlInitializeSizes;
case 1,
    sys = mdlDerivatives(t,x,u);
case 3,
    sys = mdlOutputs(t,x,u);
case {2, 4, 9}
    sys = [];
otherwise
    error(['Unhandled flag = ',num2str(flag)]);
end
function [sys,x0,str,ts] = mdlInitializeSizes
sizes = simsizes;
sizes.NumContStates = 2;
sizes.NumDiscStates = 0;
sizes.NumOutputs = 3;
sizes.NumInputs = 2;
sizes.DirFeedthrough = 0;
sizes.NumSampleTimes = 0;
sys = simsizes(sizes);
x0 = [0.15;0];
str = [];
ts = [];
function sys = mdlDerivatives(t,x,u)
ut = u(1);

f = 10 * x(1) * x(2);
sys(1) = x(2);
sys(2) = f + ut;
function sys = mdlOutputs(t,x,u)
f = 10 * x(1) * x(2);

```



```
sys(1) = x(1);
sys(2) = x(2);
sys(3) = f;
```

(4) 作图程序: chap3_1plot.m。

```
close all;
```

```
figure(1);
subplot(211);
plot(t, x(:,1), 'r', t, x(:,2), 'b', 'linewidth', 2);
xlabel('time(s)'); ylabel('position tracking');
subplot(212);
plot(t, cos(t), 'r', t, x(:,3), 'b', 'linewidth', 2);
xlabel('time(s)'); ylabel('speed tracking');
```

```
figure(2);
plot(t, f(:,1), 'r', t, f(:,3), 'b', 'linewidth', 2);
xlabel('time(s)'); ylabel('f approximation');
```

3.2 基于 RBF 网络逼近的机械手自适应控制

通过对文献[3]的控制方法进行详细推导及仿真分析,研究一类机械臂神经网络自适应控制的设计方法。

3.2.1 问题的提出

设 n 关节机械手方程为

$$M(q)\ddot{q} + C(q, \dot{q})\dot{q} + G(q) + F(\dot{q}) + \tau_d = \tau \quad (3.10)$$

其中, $M(q)$ 为 $n \times n$ 阶正定惯性矩阵, $C(q, \dot{q})$ 为 $n \times n$ 阶惯性矩阵, $G(q)$ 为 $n \times 1$ 阶惯性向量, $F(\dot{q})$ 为摩擦力, τ_d 为未知外加干扰, τ 为控制输入。

跟踪误差为

$$e(t) = q_d(t) - q(t)$$

定义滑模函数为

$$r = \dot{e} + \Lambda e \quad (3.11)$$

其中, $\Lambda = \Lambda^T > 0$, 则

$$\begin{aligned} \dot{q} &= -r + \dot{q}_d + \Lambda e \\ M\dot{r} &= M(\ddot{q}_d - \ddot{q} + \Lambda \dot{e}) = M(\ddot{q}_d + \Lambda \dot{e}) - M\ddot{q} \\ &= M(\ddot{q}_d + \Lambda \dot{e}) + C\dot{q} + G + F + \tau_d - \tau \\ &= M(\ddot{q}_d + \Lambda \dot{e}) - Cr + C(\dot{q}_d + \Lambda e) + G + F + \tau_d - \tau \\ &= -Cr - \tau + f(x) + \tau_d \end{aligned} \quad (3.12)$$

其中, $f(x) = M(\ddot{q}_d + \Lambda \dot{e}) + C(q_d + \Lambda e) + G + F$ 。

在实际工程中,模型不确定项 $f(x)$ 为未知,为此,需要对不确定项 $f(x)$ 进行逼近。

采用 RBF 网络逼近 $f(x)$, 根据 $f(x)$ 的表达式, 网络输入取

$$x = [e^T \quad \dot{e}^T \quad q_d^T \quad \dot{q}_d^T \quad \ddot{q}_d^T]^T$$

设计控制律为

$$\tau = \hat{f}(x) + K_v r \quad (3.13)$$

其中, $\hat{f}(x)$ 为 RBF 网络的估计值。

将控制律式(3.13)代入式(3.12), 得

$$\begin{aligned} M\dot{r} &= -Cr - \hat{f}(x) - K_v r + f(x) + \tau_d \\ &= -(K_v + C)r + \tilde{f}(x) + \tau_d = -(K_v + C)r + \zeta_0 \end{aligned} \quad (3.14)$$

其中, $\tilde{f}(x) = f(x) - \hat{f}(x)$, $\zeta_0 = \tilde{f} + \tau_d$ 。

如果定义 Lyapunov 函数

$$L = \frac{1}{2} r^T M r$$

则

$$\begin{aligned} \dot{L} &= r^T M \dot{r} + \frac{1}{2} r^T \dot{M} r = -r^T K_v r + \frac{1}{2} r^T (\dot{M} - 2C) r + r^T \zeta_0 \\ &= r^T \zeta_0 - r^T K_v r \end{aligned}$$

这说明在 K_v 固定条件下, 控制系统的稳定依赖于 ζ_0 , 即 \hat{f} 对 f 的逼近精度及干扰 τ_d 的大小。

采用 RBF 网络对不确定项 f 进行逼近。理想的 RBF 网络算法为

$$\begin{aligned} \phi_j &= g(\|x - c_i\|^2 / b_j^2) \\ y &= W\varphi(x) \end{aligned}$$

其中, x 为网络的输入信号, $\varphi(x) = [\phi_1 \quad \phi_2 \quad \cdots \quad \phi_n]$, j 为隐层节点的个数, i 为网络输入的个数。

3.2.2 基于 RBF 网络逼近的控制器

1. 控制器的设计

采用 RBF 网络逼近 $f(x)$, 则 RBF 神经网络的输出为

$$\hat{f}(x) = \hat{W}^T \varphi(x) \quad (3.15)$$

取

$$\tilde{W} = W - \hat{W}, \quad \|W\|_F \leq W_{\max}$$

设计控制律为

$$\tau = \hat{W}^T \varphi(x) + K_v r - v \quad (3.16)$$

其中, v 为用于克服神经网络逼近误差 ϵ 的鲁棒项。

将控制律式(3.16)代入式(3.12), 得

$$M\dot{r} = -(K_v + C)r + \tilde{W}^T \varphi(x) + (\epsilon + \tau_d) + v = -(K_v + C)r + \zeta_1 \quad (3.17)$$

其中, $\zeta_1 = \tilde{W}^T \varphi(x) + (\epsilon + \tau_d) + v$ 。

2. 稳定性及收敛性分析

根据控制律式(3.16)中是否有 $v(t)$ 项, ϵ 和 τ_d 是否存在以及神经网络自适应律设计不同,系统的收敛性不同。

1) 取 $v(t)=0$,存在 ϵ 和 τ_d 的情况

定义 Lyapunov 函数

$$L = \frac{1}{2} \mathbf{r}^T \mathbf{M} \mathbf{r} + \frac{1}{2} \text{tr}(\tilde{\mathbf{W}}^T \mathbf{F}^{-1} \tilde{\mathbf{W}}) \quad (3.18)$$

则

$$\dot{L} = \mathbf{r}^T \mathbf{M} \dot{\mathbf{r}} + \frac{1}{2} \mathbf{r}^T \dot{\mathbf{M}} \mathbf{r} + \text{tr}(\tilde{\mathbf{W}}^T \mathbf{F}^{-1} \dot{\tilde{\mathbf{W}}})$$

将式(3.17)代入上式,得

$$\dot{L} = -\mathbf{r}^T \mathbf{K}_v \mathbf{r} + \frac{1}{2} \mathbf{r}^T (\dot{\mathbf{M}} - 2\mathbf{C}) \mathbf{r} + \text{tr} \tilde{\mathbf{W}}^T (\mathbf{F}^{-1} \dot{\tilde{\mathbf{W}}} + \boldsymbol{\varphi} \mathbf{r}^T) + \mathbf{r}^T (\boldsymbol{\epsilon} + \boldsymbol{\tau}_d) \quad (3.19)$$

考虑机械手特性,并取

$$\dot{\tilde{\mathbf{W}}} = -\mathbf{F} \boldsymbol{\varphi} \mathbf{r}^T$$

即神经网络自适应律为

$$\dot{\hat{\mathbf{W}}} = \mathbf{F} \boldsymbol{\varphi} \mathbf{r}^T \quad (3.20)$$

则

$$\dot{L} = -\mathbf{r}^T \mathbf{K}_v \mathbf{r} + \mathbf{r}^T (\boldsymbol{\epsilon} + \boldsymbol{\tau}_d) \leq -K_{vmin} \|\mathbf{r}\|^2 + (\epsilon_N + b_d) \|\mathbf{r}\|$$

其中, $\|\boldsymbol{\epsilon}\| \leq \epsilon_N$, $\|\boldsymbol{\tau}_d\| \leq b_d$ 。

当满足下列收敛条件时, $\dot{L} \leq 0$:

$$\|\mathbf{r}\| \geq (\epsilon_N + b_d) / K_{vmin} \quad (3.21)$$

2) 取 $v(t)=0$, $\epsilon=0$, $\tau_d=0$ 的情况

Lyapunov 函数为

$$L = \frac{1}{2} \mathbf{r}^T \mathbf{M} \mathbf{r} + \frac{1}{2} \text{tr}(\tilde{\mathbf{W}}^T \mathbf{F}^{-1} \tilde{\mathbf{W}}) \quad (3.22)$$

此时控制律和自适应律为

$$\boldsymbol{\tau} = \hat{\mathbf{W}}^T \boldsymbol{\varphi}(\mathbf{x}) + \mathbf{K}_v \mathbf{r} \quad (3.23)$$

$$\dot{\hat{\mathbf{W}}} = \mathbf{F} \boldsymbol{\varphi} \mathbf{r}^T \quad (3.24)$$

由式(3.17)知

$$\mathbf{M} \dot{\mathbf{r}} = -(\mathbf{K}_v + \mathbf{C}) \mathbf{r} + \tilde{\mathbf{W}}^T \boldsymbol{\varphi}(\mathbf{x})$$

则

$$\dot{L} = \mathbf{r}^T \mathbf{M} \dot{\mathbf{r}} + \frac{1}{2} \mathbf{r}^T \dot{\mathbf{M}} \mathbf{r} = -\mathbf{r}^T \mathbf{K}_v \mathbf{r} \leq 0$$

3) 取 $v(t)=0$,存在 ϵ 和 τ_d ,自适应律采取 UUB 的形式

Lyapunov 函数和控制律取式(3.22)和式(3.23)。

自适应律为

$$\dot{\hat{\mathbf{W}}} = \mathbf{F} \boldsymbol{\varphi} \mathbf{r}^T - k \mathbf{F} \|\mathbf{r}\| \hat{\mathbf{W}} \quad (3.25)$$

则根据式(3.19),有

$$\dot{L} = -\mathbf{r}^T \mathbf{K}_v \mathbf{r} + \frac{1}{2} \mathbf{r}^T (\dot{\mathbf{M}} - 2\mathbf{C}) \mathbf{r} + \text{tr} \tilde{\mathbf{W}}^T (\mathbf{F}^{-1} \dot{\tilde{\mathbf{W}}} + \boldsymbol{\varphi} \mathbf{r}^T) + \mathbf{r}^T (\boldsymbol{\varepsilon} + \boldsymbol{\tau}_d)$$

将式(3.25)代入上式,得

$$\begin{aligned} \dot{L} &= -\mathbf{r}^T \mathbf{K}_v \mathbf{r} + \text{tr} \tilde{\mathbf{W}}^T (-\boldsymbol{\varphi} \mathbf{r}^T + k \|\mathbf{r}\| \hat{\mathbf{W}} + \boldsymbol{\varphi} \mathbf{r}^T) + \mathbf{r}^T (\boldsymbol{\varepsilon} + \boldsymbol{\tau}_d) \\ &= -\mathbf{r}^T \mathbf{K}_v \mathbf{r} + k \|\mathbf{r}\| \text{tr} \tilde{\mathbf{W}}^T (\mathbf{W} - \tilde{\mathbf{W}}) + \mathbf{r}^T (\boldsymbol{\varepsilon} + \boldsymbol{\tau}_d) \end{aligned}$$

由于

$$\text{tr} \tilde{\mathbf{W}}^T (\mathbf{W} - \tilde{\mathbf{W}}) = (\tilde{\mathbf{W}}, \mathbf{W})_F - \|\mathbf{W}\|_F^2 \leq \|\tilde{\mathbf{W}}\|_F \|\mathbf{W}\|_F - \|\tilde{\mathbf{W}}\|_F^2$$

则

$$\begin{aligned} \dot{L} &\leq -K_{vmin} \|\mathbf{r}\|^2 + k \|\mathbf{r}\| \|\tilde{\mathbf{W}}\|_F (W_{max} - \|\tilde{\mathbf{W}}\|_F) + (\varepsilon_N + b_d) \|\mathbf{r}\| \\ &= -\|\mathbf{r}\| (K_{vmin} \|\mathbf{r}\| + k \|\tilde{\mathbf{W}}\|_F (\|\tilde{\mathbf{W}}\|_F - W_{max}) - (\varepsilon_N + b_d)) \end{aligned}$$

由于

$$\begin{aligned} &K_{vmin} \|\mathbf{r}\| + k \|\tilde{\mathbf{W}}\|_F (\|\tilde{\mathbf{W}}\|_F - W_{max}) - (\varepsilon_N + b_d) \\ &= k (\|\tilde{\mathbf{W}}\|_F - W_{max}/2)^2 - kW_{max}^2/4 + K_{vmin} \|\mathbf{r}\| - (\varepsilon_N + b_d) \end{aligned}$$

则要使 $\dot{L} \leq 0$, 需要

$$\|\mathbf{r}\| \geq \frac{kW_{max}^2/4 + (\varepsilon_N + b_d)}{K_{vmin}} \quad (3.26)$$

或

$$\|\tilde{\mathbf{W}}\|_F \geq W_{max}/2 + \sqrt{W_{max}^2/4 + (\varepsilon_N + b_d)/k} \quad (3.27)$$

4) 存在 $\boldsymbol{\varepsilon}$ 和 $\boldsymbol{\tau}_d$, 考虑鲁棒项 $\mathbf{v}(t)$ 设计的情况

将鲁棒项 \mathbf{v} 设计为

$$\mathbf{v} = -(\varepsilon_N + b_d) \text{sgn}(\mathbf{r}) \quad (3.28)$$

控制律取式(3.16), 神经网络自适应律取式(3.20)。

定义 Lyapunov 函数为

$$L = \frac{1}{2} \mathbf{r}^T \mathbf{M} \mathbf{r} + \frac{1}{2} \text{tr}(\tilde{\mathbf{W}}^T \mathbf{F}^{-1} \tilde{\mathbf{W}})$$

则

$$\dot{L} = \mathbf{r}^T \mathbf{M} \dot{\mathbf{r}} + \frac{1}{2} \mathbf{r}^T \dot{\mathbf{M}} \mathbf{r} + \text{tr}(\tilde{\mathbf{W}}^T \mathbf{F}^{-1} \dot{\tilde{\mathbf{W}}})$$

将(3.17)式代入上式,得

$$\dot{L} = -\mathbf{r}^T \mathbf{K}_v \mathbf{r} + \frac{1}{2} \mathbf{r}^T (\dot{\mathbf{M}} - 2\mathbf{C}) \mathbf{r} + \text{tr} \tilde{\mathbf{W}}^T (\mathbf{F}^{-1} \dot{\tilde{\mathbf{W}}} + \boldsymbol{\varphi} \mathbf{r}^T) + \mathbf{r}^T (\boldsymbol{\varepsilon} + \boldsymbol{\tau}_d + \mathbf{v})$$

则

$$\dot{L} = -\mathbf{r}^T \mathbf{K}_v \mathbf{r} + \mathbf{r}^T (\boldsymbol{\varepsilon} + \boldsymbol{\tau}_d + \mathbf{v})$$

由于

$$\mathbf{r}^T (\boldsymbol{\varepsilon} + \boldsymbol{\tau}_d + \mathbf{v}) = \mathbf{r}^T (\boldsymbol{\varepsilon} + \boldsymbol{\tau}_d) + \mathbf{r}^T \mathbf{v} = \mathbf{r}^T (\boldsymbol{\varepsilon} + \boldsymbol{\tau}_d) - \|\mathbf{r}\| (\varepsilon_N + b_d) \leq 0$$

则

$$\dot{L} \leq 0$$

针对以上 4 种情况,由于当 $\dot{L} \equiv 0$ 时, $r \equiv 0$, 根据 LaSalle 不变性原理, 闭环系统渐进稳定, $t \rightarrow \infty$ 时, $r \rightarrow 0$ 。由于 $L \geq 0, \dot{L} \leq 0$, 则 L 有界, 从而 \tilde{W} 有界, 但无法保证 \tilde{W} 收敛于 0。

3.2.3 针对 $f(x)$ 中各项分别进行神经网络逼近

控制律为

$$\tau = \hat{W}^T \varphi(x) + K_v r - v \quad (3.29)$$

鲁棒项 v 取式(3.28)。由式(3.12)知, 被控对象中的 $f(x)$ 项可写为

$$f(x) = M(q)\ddot{\zeta}_1(t) + C(q, \dot{q})\dot{\zeta}_2(t) + G(q) + F(\dot{q})$$

其中, $\zeta_1(t) = \ddot{q}_d + \Lambda \dot{e}$, $\zeta_2(t) = \dot{q}_d + \Lambda e$ 。

采用 RBF 神经网络, 可以对 $f(x)$ 中的各项分别进行逼近:

$$\hat{M}(q) = W_M^T \varphi_M(q)$$

$$\hat{C}(q, \dot{q}) = W_V^T \varphi_V(q, \dot{q})$$

$$\hat{G}(q) = W_G^T \varphi_G(q)$$

$$\hat{F}(\dot{q}) = W_F^T \varphi_F(\dot{q})$$

则

$$\hat{f}(x) = [W_M^T \zeta_1(t) \quad W_V^T \zeta_2(t) \quad W_G^T \quad W_F^T] \begin{bmatrix} \varphi_M \\ \varphi_V \\ \varphi_G \\ \varphi_F \end{bmatrix} \quad (3.30)$$

$$\text{其中, } \varphi(x) = \begin{bmatrix} \varphi_M \\ \varphi_V \\ \varphi_G \\ \varphi_F \end{bmatrix}, W^T = [W_M^T \quad W_V^T \quad W_G^T \quad W_F^T]。$$

自适应律为

$$\dot{\hat{W}}_M = F_M \varphi_M r^T - k_M F_M \|r\| \hat{W}_M \quad (3.31)$$

$$\dot{\hat{W}}_V = F_V \varphi_V r^T - k_V F_V \|r\| \hat{W}_V \quad (3.32)$$

$$\dot{\hat{W}}_G = F_G \varphi_G r^T - k_G F_G \|r\| \hat{W}_G \quad (3.33)$$

$$\dot{\hat{W}}_F = F_F \varphi_F r^T - k_F F_F \|r\| \hat{W}_F \quad (3.34)$$

其中, $k_M > 0, k_V > 0, k_G > 0, k_F > 0$ 。

稳定性分析如下:

定义 Lyapunov 函数为

$$L = \frac{1}{2} r^T M r + \frac{1}{2} \text{tr}(\tilde{W}_M^T F_M^{-1} \tilde{W}_M) + \frac{1}{2} \text{tr}(\tilde{W}_V^T F_V^{-1} \tilde{W}_V) +$$

则

$$\frac{1}{2}\text{tr}(\tilde{\mathbf{W}}_G^T \mathbf{F}_G^{-1} \tilde{\mathbf{W}}_G) + \frac{1}{2}\text{tr}(\tilde{\mathbf{W}}_F^T \mathbf{F}_F^{-1} \tilde{\mathbf{W}}_F)$$

$$\begin{aligned} \dot{L} = & \mathbf{r}^T \mathbf{M} \dot{\mathbf{r}} + \frac{1}{2} \mathbf{r}^T \dot{\mathbf{M}} \mathbf{r} + \text{tr}(\tilde{\mathbf{W}}_M^T \mathbf{F}_M^{-1} \dot{\tilde{\mathbf{W}}}_M) + \text{tr}(\tilde{\mathbf{W}}_V^T \mathbf{F}_V^{-1} \dot{\tilde{\mathbf{W}}}_V) + \\ & \text{tr}(\tilde{\mathbf{W}}_G^T \mathbf{F}_G^{-1} \dot{\tilde{\mathbf{W}}}_G) + \text{tr}(\tilde{\mathbf{W}}_F^T \mathbf{F}_F^{-1} \dot{\tilde{\mathbf{W}}}_F) \end{aligned}$$

将式(3.17)代入上式,得

$$\begin{aligned} \dot{L} = & -\mathbf{r}^T \mathbf{K}_v \mathbf{r} + \frac{1}{2} \mathbf{r}^T (\dot{\mathbf{M}} - 2\mathbf{V}_m) \mathbf{r} + \mathbf{r}^T (\boldsymbol{\epsilon} + \boldsymbol{\tau}_d) + \mathbf{r}^T \mathbf{v} + \text{tr} \tilde{\mathbf{W}}_M^T (\mathbf{F}_M^{-1} \dot{\tilde{\mathbf{W}}}_M + \boldsymbol{\varphi}_M \mathbf{r}^T) + \\ & \text{tr} \tilde{\mathbf{W}}_V^T (\mathbf{F}_V^{-1} \dot{\tilde{\mathbf{W}}}_V + \boldsymbol{\varphi}_V \mathbf{r}^T) + \text{tr} \tilde{\mathbf{W}}_G^T (\mathbf{F}_G^{-1} \dot{\tilde{\mathbf{W}}}_G + \boldsymbol{\varphi}_M \mathbf{r}^T) + \text{tr} \tilde{\mathbf{W}}_F^T (\mathbf{F}_F^{-1} \dot{\tilde{\mathbf{W}}}_F + \boldsymbol{\varphi}_F \mathbf{r}^T) \quad (3.35) \end{aligned}$$

考虑机械手特性,并将神经网络自适应律式(3.31)~式(3.34)代入上式,得

$$\begin{aligned} \dot{L} = & -\mathbf{r}^T \mathbf{K}_v \mathbf{r} + k_M \|\mathbf{r}\| \text{tr} \tilde{\mathbf{W}}_M^T (\mathbf{W}_M - \tilde{\mathbf{W}}_M) + k_V \|\mathbf{r}\| \text{tr} \tilde{\mathbf{W}}_V^T (\mathbf{W}_V - \tilde{\mathbf{W}}_V) + \\ & k_G \|\mathbf{r}\| \text{tr} \tilde{\mathbf{W}}_G^T (\mathbf{W}_G - \tilde{\mathbf{W}}_G) + k_F \|\mathbf{r}\| \text{tr} \tilde{\mathbf{W}}_F^T (\mathbf{W}_F - \tilde{\mathbf{W}}_F) + \mathbf{r}^T (\boldsymbol{\epsilon} + \boldsymbol{\tau}_d) + \mathbf{r}^T \mathbf{v} \end{aligned}$$

由于

$$\text{tr} \tilde{\mathbf{W}}^T (\mathbf{W} - \tilde{\mathbf{W}}) = (\tilde{\mathbf{W}}, \mathbf{W})_F - \|\tilde{\mathbf{W}}\|_F^2 \leq \|\tilde{\mathbf{W}}\|_F \|\mathbf{W}\|_F - \|\tilde{\mathbf{W}}\|_F^2$$

考虑鲁棒项(3.28),则

$$\begin{aligned} \dot{L} \leq & -K_{vmin} \|\mathbf{r}\|^2 + k_M \|\mathbf{r}\| \|\tilde{\mathbf{W}}_M\|_F (W_{Mmax} - \|\tilde{\mathbf{W}}_M\|_F) + \\ & k_V \|\mathbf{r}\| \|\tilde{\mathbf{W}}_V\|_F (W_{Vmax} - \|\tilde{\mathbf{W}}_V\|_F) + \\ & k_G \|\mathbf{r}\| \|\tilde{\mathbf{W}}_G\|_F (W_{Gmax} - \|\tilde{\mathbf{W}}_G\|_F) + k_M \|\mathbf{r}\| \|\tilde{\mathbf{W}}_F\|_F (W_{Fmax} - \|\tilde{\mathbf{W}}_F\|_F) \\ = & -\|\mathbf{r}\| [K_{vmin} \|\mathbf{r}\| + k_M \|\tilde{\mathbf{W}}_M\|_F (\|\tilde{\mathbf{W}}_M\|_F - W_{Mmax}) + \\ & k_V \|\tilde{\mathbf{W}}_V\|_F (\|\tilde{\mathbf{W}}_V\|_F - W_{Vmax}) + k_G \|\tilde{\mathbf{W}}_G\|_F (\|\tilde{\mathbf{W}}_G\|_F - W_{Gmax}) + \\ & k_F \|\tilde{\mathbf{W}}_F\|_F (\|\tilde{\mathbf{W}}_F\|_F - W_{Fmax})] \end{aligned}$$

由于

$$k \|\tilde{\mathbf{W}}\|_F (\|\tilde{\mathbf{W}}\|_F - W_{max}) = k (\|\tilde{\mathbf{W}}\|_F - W_{max}/2)^2 - kW_{max}^2/4$$

要使 $\dot{L} \leq 0$, 需要

$$\|\mathbf{r}\| \geq \frac{k_M W_{Mmax}^2/4 + k_V W_{Vmax}^2/4 + k_G W_{Gmax}^2/4 + k_F W_{Fmax}^2/4}{K_{vmin}} \quad (3.36)$$

或

$$\|\tilde{\mathbf{W}}_M\|_F \leq W_{Mmax} \text{ 且 } \|\tilde{\mathbf{W}}_V\|_F \leq W_{Vmax} \text{ 且 } \|\tilde{\mathbf{W}}_G\|_F \leq W_{Gmax} \text{ 且 } \|\tilde{\mathbf{W}}_F\|_F \leq W_{Fmax} \quad (3.37)$$

考虑 $\dot{L} \leq 0$ 时,如取 k_v 足够大,当 $t \rightarrow \infty$ 时, $\mathbf{r} \rightarrow 0$, 从而 $\mathbf{e} \rightarrow 0, \dot{\mathbf{e}} \rightarrow 0$ 。由于 $L \geq 0, \dot{L} \leq 0$, 则 L 有界,从而 \mathbf{r} 和 $\tilde{\mathbf{W}}_M, \tilde{\mathbf{W}}_V, \tilde{\mathbf{W}}_G, \tilde{\mathbf{W}}_F$ 有界,但无法保证 $\tilde{\mathbf{W}}_M, \tilde{\mathbf{W}}_V, \tilde{\mathbf{W}}_G, \tilde{\mathbf{W}}_F$ 收敛于零。

3.2.4 仿真实例

选择二关节机械臂系统,其动力学模型为

$$\mathbf{M}(\mathbf{q})\ddot{\mathbf{q}} + \mathbf{V}(\mathbf{q}, \dot{\mathbf{q}})\dot{\mathbf{q}} + \mathbf{G}(\mathbf{q}) + \mathbf{F}(\dot{\mathbf{q}}) + \boldsymbol{\tau}_d = \boldsymbol{\tau}$$

其中,

$$\mathbf{M}(\mathbf{q}) = \begin{bmatrix} p_1 + p_2 + 2p_3 \cos q_2 & p_2 + p_3 \cos q_2 \\ p_2 + p_3 \cos q_2 & p_2 \end{bmatrix}$$

$$\mathbf{V}(\mathbf{q}, \dot{\mathbf{q}}) = \begin{bmatrix} -p_3 \dot{q}_2 \sin q_2 & -p_3 (\dot{q}_1 + \dot{q}_2) \sin q_2 \\ p_3 \dot{q}_1 \sin q_2 & 0 \end{bmatrix}$$

$$\mathbf{G}(\mathbf{q}) = \begin{bmatrix} p_4 g \cos q_1 + p_5 g \cos(q_1 + q_2) \\ p_5 g \cos(q_1 + q_2) \end{bmatrix}$$

$$\mathbf{F}(\dot{\mathbf{q}}) = 0.2 \operatorname{sgn}(\dot{\mathbf{q}}), \quad \boldsymbol{\tau}_d = [0.1 \sin(t) \quad 0.1 \sin(t)]^T$$

取 $\mathbf{p} = [p_1, p_2, p_3, p_4, p_5] = [2.9, 0.76, 0.87, 3.04, 0.87]$ 。RBF 网络高斯基函数参数的取值对神经网络控制的作用很重要,如果参数取值不合适,将使高斯基函数无法得到有效的映射,从而导致 RBF 网络无效。故 c 按网络输入值的范围取值,取 $b_j = 0.20$,

$$\mathbf{c} = 0.1 \times \begin{bmatrix} -1.5 & -1 & -0.5 & 0 & 0.5 & 1 & 1.5 \\ -1.5 & -1 & -0.5 & 0 & 0.5 & 1 & 1.5 \\ -1.5 & -1 & -0.5 & 0 & 0.5 & 1 & 1.5 \\ -1.5 & -1 & -0.5 & 0 & 0.5 & 1 & 1.5 \\ -1.5 & -1 & -0.5 & 0 & 0.5 & 1 & 1.5 \end{bmatrix}, \text{网络的初始权值取零,网络输入取}$$

$$\mathbf{z} = [e \quad \dot{e} \quad q_d \quad \dot{q}_d \quad \ddot{q}_d]^T。$$

系统的初始状态为 $[0.09 \quad 0 \quad -0.09 \quad 0]$,两个关节的角度指令分别为 $q_{1d} = 0.1 \sin t$, $q_{2d} = 0.1 \sin t$,控制参数取 $\mathbf{K}_v = \operatorname{diag}\{20, 20\}$, $\mathbf{F} = \operatorname{diag}\{1.5, 1.5\}$, $\boldsymbol{\Lambda} = \operatorname{diag}\{5, 5\}$,在鲁棒项中,取 $\epsilon_N = 0.20, b_d = 0.10$ 。

采用 Simulink 和 S 函数进行控制系统的设计,神经网络权值矩阵中任意元素初值取 0.10。总体逼近控制器子程序 chap3_9ctrl.m,按 3.2.2 节第 4 种情况设计控制律,控制律取式(3.16), v 取式(3.28),自适应律取式(3.20)。采用总体逼近控制器,仿真结果如图 3-3~图 3-6 所示。

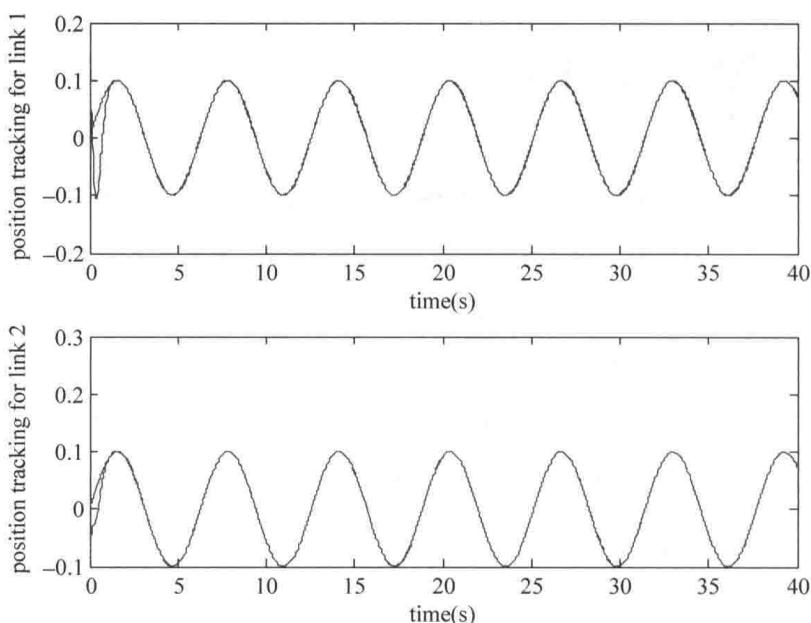


图 3-3 关节 1 及关节 2 的角度跟踪仿真结果

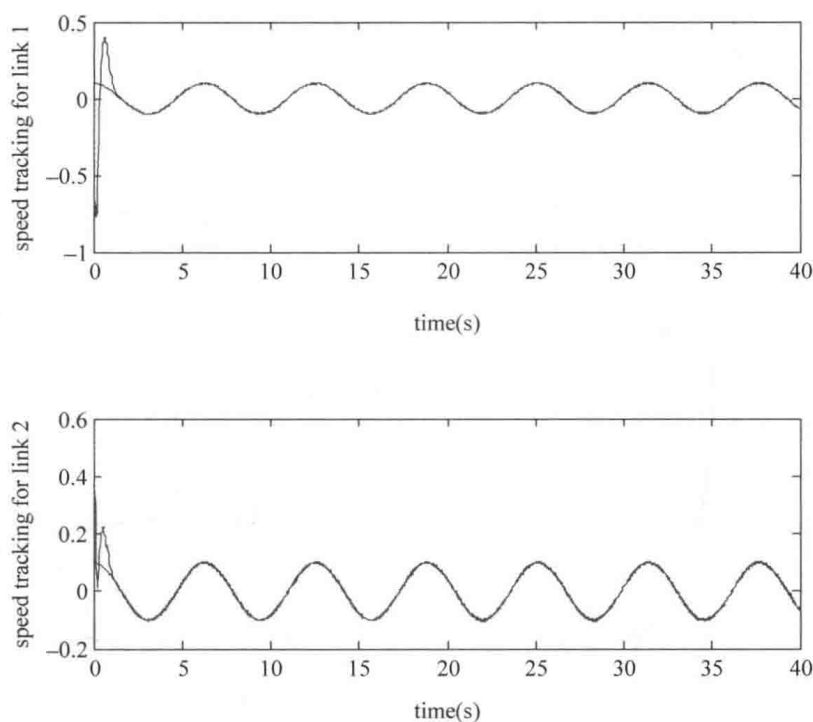


图 3-4 关节 1 及关节 2 的角速度跟踪仿真结果

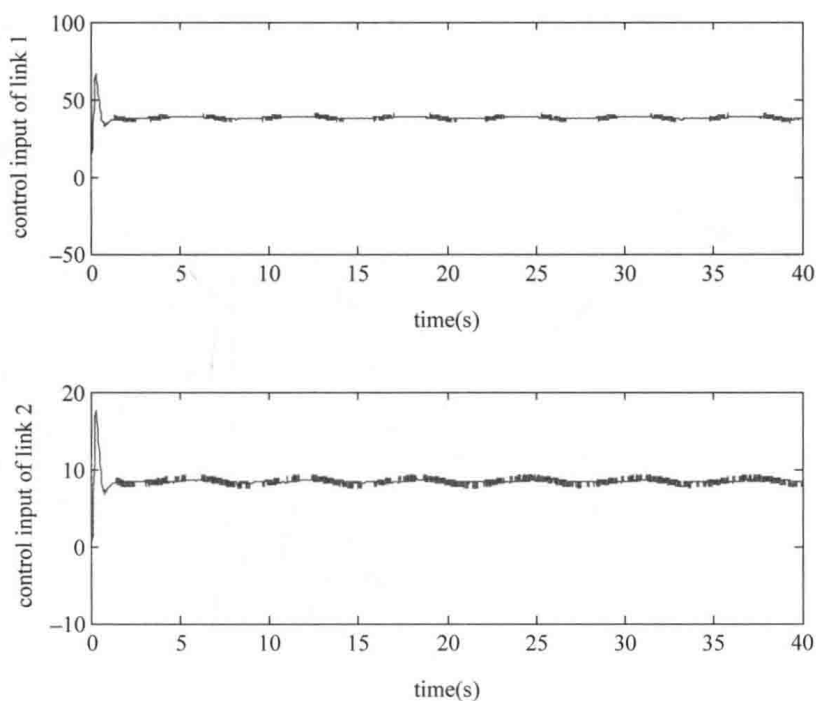


图 3-5 关节 1 及关节 2 的控制输入仿真结果

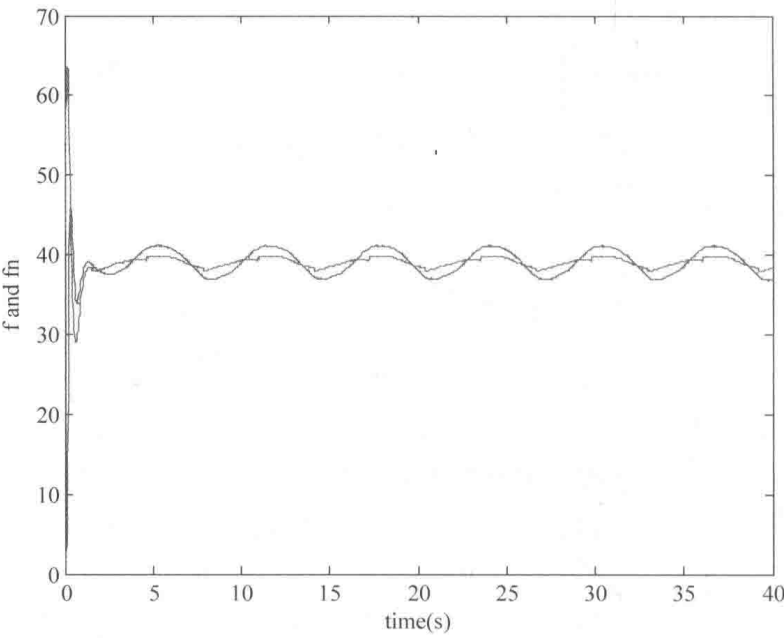
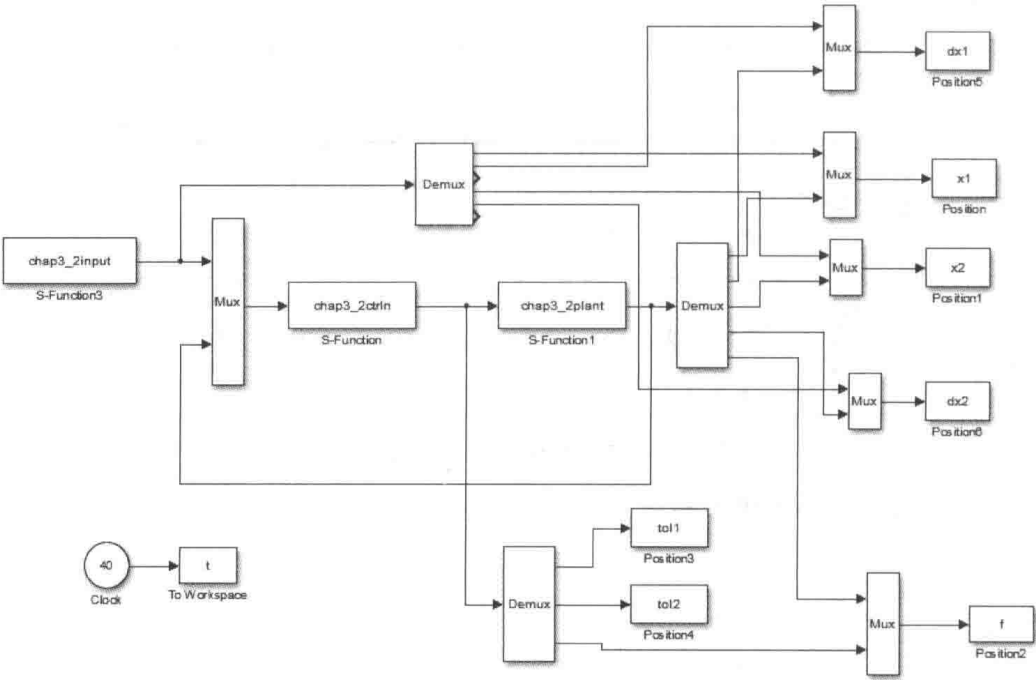


图 3-6 关节 1 及关节 2 的 $\|f(x)\|$ 及其逼近 $\|\hat{f}(x)\|$ 的仿真结果

仿真程序如下：

(1) Simulink 主程序：chap3_2sim.mdl。



(2) 位置指令子程序：chap3_2input.m。

```
function [sys,x0,str,ts] = spacemodel(t,x,u,flag)
switch flag,
case 0,
    [sys,x0,str,ts]= mdlInitializeSizes;
```

```

case 1,
    sys = mdlDerivatives(t,x,u);
case 3,
    sys = mdlOutputs(t,x,u);
case {2,4,9}
    sys = [];
otherwise
    error(['Unhandled flag = ',num2str(flag)]);
end
function [sys,x0,str,ts] = mdlInitializeSizes
sizes = simsizes;
sizes.NumContStates = 0;
sizes.NumDiscStates = 0;
sizes.NumOutputs = 6;
sizes.NumInputs = 0;
sizes.DirFeedthrough = 0;
sizes.NumSampleTimes = 1;
sys = simsizes(sizes);
x0 = [];
str = [];
ts = [0 0];
function sys = mdlOutputs(t,x,u)
qd1 = 0.1 * sin(t);
d_qd1 = 0.1 * cos(t);
dd_qd1 = -0.1 * sin(t);
qd2 = 0.1 * sin(t);
d_qd2 = 0.1 * cos(t);
dd_qd2 = -0.1 * sin(t);

sys(1) = qd1;
sys(2) = d_qd1;
sys(3) = dd_qd1;
sys(4) = qd2;
sys(5) = d_qd2;
sys(6) = dd_qd2;

```

(3) 总体逼近控制器子程序: chap3_2ctrl.m。

```

function [sys,x0,str,ts] = spacemodel(t,x,u,flag)
switch flag,
case 0,
    [sys,x0,str,ts] = mdlInitializeSizes;
case 1,
    sys = mdlDerivatives(t,x,u);
case 3,
    sys = mdlOutputs(t,x,u);
case {2,4,9}
    sys = [];
otherwise
    error(['Unhandled flag = ',num2str(flag)]);
end

```

```
function [sys,x0,str,ts]=mdlInitializeSizes
global node c b Fai
node = 7;
c = 0.1 * [ -1.5 -1 -0.5 0 0.5 1 1.5;
            -1.5 -1 -0.5 0 0.5 1 1.5;
            -1.5 -1 -0.5 0 0.5 1 1.5;
            -1.5 -1 -0.5 0 0.5 1 1.5;
            -1.5 -1 -0.5 0 0.5 1 1.5];
b = 10;
Fai = 5 * eye(2);

sizes = simsizes;
sizes.NumContStates = 2 * node;
sizes.NumDiscStates = 0;
sizes.NumOutputs = 3;
sizes.NumInputs = 11;
sizes.DirFeedthrough = 1;
sizes.NumSampleTimes = 0;
sys = simsizes(sizes);
x0 = 0.1 * ones(1,2 * node);
str = [];
ts = [];
function sys=mdlDerivatives(t,x,u)
global node c b Fai
qd1 = u(1);
d_qd1 = u(2);
dd_qd1 = u(3);
qd2 = u(4);
d_qd2 = u(5);
dd_qd2 = u(6);

q1 = u(7);
d_q1 = u(8);
q2 = u(9);
d_q2 = u(10);

q = [q1;q2];

e1 = qd1 - q1;
e2 = qd2 - q2;
de1 = d_qd1 - d_q1;
de2 = d_qd2 - d_q2;
e = [e1;e2];
de = [de1;de2];
r = de + Fai * e;

qd = [qd1;qd2];
dqd = [d_qd1;d_qd2];
dqr = dqd + Fai * e;
ddqd = [dd_qd1;dd_qd2];
ddqr = ddqd + Fai * de;
```

```

z1 = [e(1);de(1);qd(1);dq(1);ddqd(1)];
z2 = [e(2);de(2);qd(2);dq(2);ddqd(2)];
for j = 1:1:node
    h1(j) = exp(- norm(z1 - c(:,j))^2/(b * b));
    h2(j) = exp(- norm(z2 - c(:,j))^2/(b * b));
end

```

```

F = 1.5 * eye(node);

```

```

for i = 1:1:node
    sys(i) = 1.5 * h1(i) * r(1);
    sys(i + node) = 1.5 * h2(i) * r(2);
end

```

```

function sys = mdlOutputs(t,x,u)
global node c b Fai

```

```

qd1 = u(1);
d_qd1 = u(2);
dd_qd1 = u(3);
qd2 = u(4);
d_qd2 = u(5);
dd_qd2 = u(6);

```

```

q1 = u(7);
d_q1 = u(8);
q2 = u(9);
d_q2 = u(10);

```

```

q = [q1;q2];

```

```

e1 = qd1 - q1;
e2 = qd2 - q2;
de1 = d_qd1 - d_q1;
de2 = d_qd2 - d_q2;
e = [e1;e2];
de = [de1;de2];
r = de + Fai * e;

```

```

qd = [qd1;qd2];
dq = [d_qd1;d_qd2];
dqr = dq + Fai * e;
ddqd = [dd_qd1;dd_qd2];
ddqr = ddqd + Fai * de;

```

```

z = [e;de;qd;dq;ddqd];
W_f1 = [x(1:node)]';
W_f2 = [x(node + 1:node * 2)]';

```

```

z1 = [e(1);de(1);qd(1);dq(1);ddqd(1)];

```

```

z2 = [e(2); de(2); qd(2); dqd(2); ddqd(2)];
for j = 1:1:node
    h1(j) = exp(-norm(z1 - c(:,j))^2/(b*b));
    h2(j) = exp(-norm(z2 - c(:,j))^2/(b*b));
end

```

```

fn = [W_f1 * h1';
      W_f2 * h2'];
Kv = 20 * eye(2);

```

```

epN = 0.20;
bd = 0.1;
v = -(epN + bd) * sign(r);
tol = fn + Kv * r - v;
fn_norm = norm(fn);

```

```

sys(1) = tol(1);
sys(2) = tol(2);
sys(3) = fn_norm;

```

(4) 被控对象子程序: chap3_2plant.m。

```

function [sys,x0,str,ts] = s_function(t,x,u,flag)

```

```

switch flag,
case 0,
    [sys,x0,str,ts] = mdlInitializeSizes;
case 1,
    sys = mdlDerivatives(t,x,u);
case 3,
    sys = mdlOutputs(t,x,u);
case {2, 4, 9}
    sys = [];
otherwise
    error(['Unhandled flag = ',num2str(flag)]);
end

```

```

function [sys,x0,str,ts] = mdlInitializeSizes

```

```

global p g
sizes = simsizes;
sizes.NumContStates = 4;
sizes.NumDiscStates = 0;
sizes.NumOutputs = 5;
sizes.NumInputs = 3;
sizes.DirFeedthrough = 0;
sizes.NumSampleTimes = 0;
sys = simsizes(sizes);
x0 = [0.09 0 -0.09 0];
str = [];
ts = [];

```

```

p = [2.9 0.76 0.87 3.04 0.87];

```

```

g = 9.8;
function sys = mdlDerivatives(t,x,u)
global p g

M = [p(1) + p(2) + 2 * p(3) * cos(x(3)) p(2) + p(3) * cos(x(3));
      p(2) + p(3) * cos(x(3)) p(2)];
V = [-p(3) * x(4) * sin(x(3)) -p(3) * (x(2) + x(4)) * sin(x(3));
      p(3) * x(2) * sin(x(3)) 0];
G = [p(4) * g * cos(x(1)) + p(5) * g * cos(x(1) + x(3));
      p(5) * g * cos(x(1) + x(3))];
dq = [x(2);x(4)];
F = 0.2 * sign(dq);
told = [0.1 * sin(t);0.1 * sin(t)];

tol = u(1:2);

S = inv(M) * (tol - V * dq - G - F - told);

sys(1) = x(2);
sys(2) = S(1);
sys(3) = x(4);
sys(4) = S(2);
function sys = mdlOutputs(t,x,u)
global p g
M = [p(1) + p(2) + 2 * p(3) * cos(x(3)) p(2) + p(3) * cos(x(3));
      p(2) + p(3) * cos(x(3)) p(2)];
V = [-p(3) * x(4) * sin(x(3)) -p(3) * (x(2) + x(4)) * sin(x(3));
      p(3) * x(2) * sin(x(3)) 0];
G = [p(4) * g * cos(x(1)) + p(5) * g * cos(x(1) + x(3));
      p(5) * g * cos(x(1) + x(3))];
dq = [x(2);x(4)];
F = 0.2 * sign(dq);
told = [0.1 * sin(t);0.1 * sin(t)];

qd1 = sin(t);
d_qd1 = cos(t);
dd_qd1 = -sin(t);
qd2 = sin(t);
d_qd2 = cos(t);
dd_qd2 = -sin(t);
qd1 = 0.1 * sin(t);
d_qd1 = 0.1 * cos(t);
dd_qd1 = -0.1 * sin(t);
qd2 = 0.1 * sin(t);
d_qd2 = 0.1 * cos(t);
dd_qd2 = -0.1 * sin(t);

q1 = x(1);
d_q1 = dq(1);
q2 = x(3);
d_q2 = dq(2);

```



```

q = [q1;q2];
e1 = qd1 - q1;
e2 = qd2 - q2;
de1 = d_qd1 - d_q1;
de2 = d_qd2 - d_q2;
e = [e1;e2];
de = [de1;de2];
Fai = 5 * eye(2);
dq = [d_qd1;d_qd2];
dqr = dq + Fai * e;
ddq = [dd_qd1;dd_qd2];
ddqr = ddq + Fai * de;
f = M * ddqr + V * dqr + G + F;
f_norm = norm(f);

```

```

sys(1) = x(1);
sys(2) = x(2);
sys(3) = x(3);
sys(4) = x(4);
sys(5) = f_norm;

```

(5) 绘图子程序: chap3_2plot.m。

```

close all;

figure(1);
subplot(211);
plot(t,x1(:,1),'r',t,x1(:,2),'b');
xlabel('time(s)');ylabel('position tracking for link 1');
subplot(212);
plot(t,x2(:,1),'r',t,x2(:,2),'b');
xlabel('time(s)');ylabel('position tracking for link 2');

figure(2);
subplot(211);
plot(t,dx1(:,1),'r',t,dx1(:,2),'b');
xlabel('time(s)');ylabel('speed tracking for link 1');
subplot(212);
plot(t,dx2(:,1),'r',t,dx2(:,2),'b');
xlabel('time(s)');ylabel('speed tracking for link 2');

figure(3);
subplot(211);
plot(t,tol1(:,1),'r');
xlabel('time(s)');ylabel('control input of link 1');
subplot(212);
plot(t,tol2(:,1),'r');
xlabel('time(s)');ylabel('control input of link 2');

figure(4);
plot(t,f(:,1),'r',t,f(:,2),'b');
xlabel('time(s)');ylabel('f and fn');

```

参考文献

- [1] Park J, Sandberg I W. Universal approximation using radial basis function networks [J]. Neural Computation, 1991, 3(2): 246-257.
- [2] 刘金琨. RBF 神经网络自适应控制 MATLAB 仿真[M]. 北京: 清华大学出版社, 2014.
- [3] Lewis F L, Liu K, Yesildirek A. Neural net robot controller with guaranteed tracking performance [J]. IEEE Transactions on Neural Networks, 1995, 6(3): 703-715.

4.1 单力臂机械手直接自适应模糊控制

直接模糊自适应控制和间接自适应模糊控制所采用的规则形式不同。间接自适应模糊控制利用的是被控对象的知识,而直接模糊自适应控制采用的是控制知识。

4.1.1 问题描述

考虑如下方程所描述的研究对象

$$\begin{cases} \dot{x}^{(n)} = f(x, \dot{x}, \dots, x^{(n-1)}) + bu \\ y = x \end{cases} \quad (4.1)$$

$$y = x \quad (4.2)$$

其中, f 为未知函数, b 为未知的正常数。

直接自适应模糊控制采用下面 IF-THEN 模糊规则来描述控制知识:

$$\text{如果 } x_1 \text{ 是 } P_1^r \text{ 且 } \dots \text{ 且 } x_n \text{ 是 } P_n^r, \text{ 则 } u \text{ 是 } Q^r \quad (4.3)$$

其中, P_i^r, Q^r 为 \mathbf{R} 中模糊集合, 且 $r=1, 2, \dots, L_n, i=1, 2, \dots, n$ 。

设位置指令为 y_m , 令

$$e = y_m - y = y_m - x, \quad \mathbf{e} = (e, \dot{e}, \dots, e^{(n-1)})^T \quad (4.4)$$

选择 $\mathbf{K} = (k_n, \dots, k_1)^T$, 使多项式 $s^n + k_1 s^{(n-1)} + \dots + k_n$ 的所有根都在复平面左半平面上。取控制律为

$$u^* = \frac{1}{b} [-f(\mathbf{x}) + y_m^{(n)} + \mathbf{K}^T \mathbf{e}] \quad (4.5)$$

将式(4.5)代入式(4.1), 得到闭环控制系统的方程为

$$e^{(n)} + k_1 e^{(n-1)} + \dots + k_n e = 0 \quad (4.6)$$

通过 \mathbf{K} 的选取, 可使当 $t \rightarrow \infty$ 时, $e(t) \rightarrow 0$, 即系统的输出 y 渐进地收敛于理想输出 y_m 。

直接型模糊自适应控制是基于模糊系统设计一个反馈控制器 $u = u(\mathbf{x} | \boldsymbol{\theta})$ 和一个调整参数向量 $\boldsymbol{\theta}$ 的自适应律, 使得系统输出 y 尽可能地跟踪理想输出 y_m 。

4.1.2 模糊控制器的设计

直接自适应模糊控制器为

$$u = u_D(\mathbf{x} | \boldsymbol{\theta}) \quad (4.7)$$

其中, u_D 是一个模糊系统, θ 是可调参数集合。

根据模糊系统万能逼近定理, 模糊系统 u_D 可由以下两步来构造^[1]:

(1) 对变量 x_i ($i=1, 2, \dots, n$), 定义 m_i 个模糊集合 $A_i^{l_i}$ ($l_i=1, 2, \dots, m_i$);

(2) 用以下 $\prod_{i=1}^n m_i$ 条模糊规则来构造模糊系统 $u_D(x|\theta)$:

$$\text{IF } x_1 \text{ is } A_1^{l_1} \text{ AND } \dots \text{ AND } x_n \text{ is } A_n^{l_n}, \quad \text{THEN } u_D \text{ is } S^{l_1 \dots l_n} \quad (4.8)$$

其中, $l_i=1, 2, \dots, m_i$; $i=1, 2, \dots, n$ 。

采用乘积推理机、单值模糊器和中心平均解模糊器设计模糊控制器, 即

$$u_D(x|\theta) = \frac{\sum_{l_1=1}^{m_1} \dots \sum_{l_n=1}^{m_n} y_u^{l_1 \dots l_n} \left(\prod_{i=1}^n \mu_{A_i^{l_i}}(x_i) \right)}{\sum_{l_1=1}^{m_1} \dots \sum_{l_n=1}^{m_n} \left(\prod_{i=1}^n \mu_{A_i^{l_i}}(x_i) \right)} \quad (4.9)$$

令 $y_u^{l_1 \dots l_n}$ 是自由参数, 分别放在集合 $\theta \in \mathbf{R}^{\prod_{i=1}^n m_i}$ 中, $\mu_{A_i^{l_i}}(x_i)$ 为变量 x_i 属于模糊集合 $A_i^{l_i}$ 的隶属函数, 则模糊控制器为

$$u = u_D(x|\theta) = \theta^T \xi(x) \quad (4.10)$$

其中, $\xi(x)$ 为 $\prod_{i=1}^n m_i$ 维向量, 其第 l_1, l_2, \dots, l_n 个元素为

$$\xi_{l_1 \dots l_n}(x) = \frac{\prod_{i=1}^n \mu_{A_i^{l_i}}(x_i)}{\sum_{l_1=1}^{m_1} \dots \sum_{l_n=1}^{m_n} \left(\prod_{i=1}^n \mu_{A_i^{l_i}}(x_i) \right)}$$

模糊控制规则式(4.3)是通过设置其初始参数而被嵌入模糊控制器中的。

采用模糊系统实现 u^* 的逼近 u_D , 控制律为

$$u_D = u^* + w$$

其中, w 为逼近误差, w 有界。

则

$$u = u_D = u^* + (u_D - u^*) \quad (4.11)$$

4.1.3 自适应律的设计

将式(4.5)、式(4.7)代入式(4.1), 并整理得

$$e^{(n)} = -\mathbf{K}^T \mathbf{e} + \mathbf{b}[u^* - u_D(x|\theta)] \quad (4.12)$$

令

$$\mathbf{A} = \begin{bmatrix} 0 & 1 & 0 & 0 & \dots & 0 & 0 \\ 0 & 0 & 1 & 0 & \dots & 0 & 0 \\ \vdots & \vdots & \vdots & \vdots & \ddots & \vdots & \vdots \\ 0 & 0 & 0 & 0 & \dots & 0 & 1 \\ -k_n & -k_{n-1} & & & \dots & & -k_1 \end{bmatrix}, \quad \mathbf{b} = \begin{bmatrix} 0 \\ 0 \\ \vdots \\ 0 \\ b \end{bmatrix} \quad (4.13)$$

则闭环系统动态方程式(4.12)可写成向量形式

$$\dot{e} = \Lambda e + b[u^* - u_D(x | \theta)] \quad (4.14)$$

定义最优参数为

$$\theta^* = \arg \min_{\substack{\theta \in \mathbf{R}^n \\ \prod_{i=1}^n m_i}} \left[\sup_{x \in \mathbf{R}^n} |u_D'(x | \theta) - u^*| \right] \quad (4.15)$$

定义最小逼近误差为

$$w = u_D(x | \theta^*) - u^* \quad (4.16)$$

由式(4.14)可得

$$\dot{e} = \Lambda e + b(u_D(x | \theta^*) - u_D(x | \theta)) - b(u_D(x | \theta^*) - u^*) \quad (4.17)$$

由式(4.10), 可将误差方程式(4.17)改写为

$$\dot{e} = \Lambda e + b(\theta^* - \theta)^T \xi(x) - bw \quad (4.18)$$

定义 Lyapunov 函数为

$$V = \frac{1}{2} e^T P e + \frac{b}{2\gamma} (\theta^* - \theta)^T (\theta^* - \theta) \quad (4.19)$$

其中, 参数 γ 是正的常数。

P 为一个正定矩阵且满足 Lyapunov 方程

$$\Lambda^T P + P \Lambda = -Q \quad (4.20)$$

其中, Q 是一个任意的 $n \times n$ 正定矩阵, Λ 由式(4.13)给出。

取 $V_1 = \frac{1}{2} e^T P e$, $V_2 = \frac{b}{2\gamma} (\theta^* - \theta)^T (\theta^* - \theta)$, 令 $M = b(\theta^* - \theta)^T \xi(x) - bw$, 则式(4.18)变为

$$\begin{aligned} \dot{e} &= \Lambda e + M \\ \dot{V}_1 &= \frac{1}{2} \dot{e}^T P e + \frac{1}{2} e^T P \dot{e} = \frac{1}{2} (e^T \Lambda^T + M^T) P e + \frac{1}{2} e^T P (\Lambda e + M) \\ &= \frac{1}{2} e^T (\Lambda^T P + P \Lambda) e + \frac{1}{2} M^T P e + \frac{1}{2} e^T P M \\ &= -\frac{1}{2} e^T Q e + \frac{1}{2} (M^T P e + e^T P M) = -\frac{1}{2} e^T Q e + e^T P M \end{aligned}$$

即

$$\begin{aligned} \dot{V}_1 &= -\frac{1}{2} e^T Q e + e^T P b((\theta^* - \theta)^T \xi(x) - w) \\ \dot{V}_2 &= -\frac{b}{\gamma} (\theta^* - \theta)^T \dot{\theta} \end{aligned}$$

V 的导数为

$$\dot{V} = -\frac{1}{2} e^T Q e + e^T P b[(\theta^* - \theta)^T \xi(x) - w] - \frac{b}{\gamma} (\theta^* - \theta)^T \dot{\theta} \quad (4.21)$$

令 p_n 为 P 的最后一列, 由 $b = [0, \dots, 0, b]^T$ 可知 $e^T P b = e^T p_n b$ 。则式(4.21)变为

$$\dot{V} = -\frac{1}{2} e^T Q e + \frac{b}{\gamma} (\theta^* - \theta)^T [\gamma e^T p_n \xi(x) - \dot{\theta}] - e^T p_n b w \quad (4.22)$$

取自适应律

$$\dot{\theta} = \gamma e^T p_n \xi(x) \quad (4.23)$$

则

$$\dot{V} = -\frac{1}{2}e^T Q e - e^T p_n b w \quad (4.24)$$

由于 $Q > 0$, w 是最小逼近误差, 通过设计足够多规则的模糊系统 $u_D(x|\theta)$, 可使 w 充分小, 并满足 $|e^T p_n b w| \leq \frac{1}{2}e^T Q e$, 从而使得 $\dot{V} \leq 0$, 闭环系统为渐进稳定。

根据 LaSalle 不变性原理, 当 $\dot{V} \equiv 0$ 时, $-\frac{1}{2}e^T Q e - e^T p_n b w \equiv 0$, 当 w 充分小, $t \rightarrow \infty$ 时, $e \rightarrow 0$ 。系统的收敛速度取决于 Q 。

由于 $V \geq 0$, $\dot{V} \leq 0$, 则 V 有界, 因此 e 和 θ 有界, 但无法保证 θ 收敛于 θ^* 。

直接型自适应模糊控制系统的结构如图 4-1 所示。

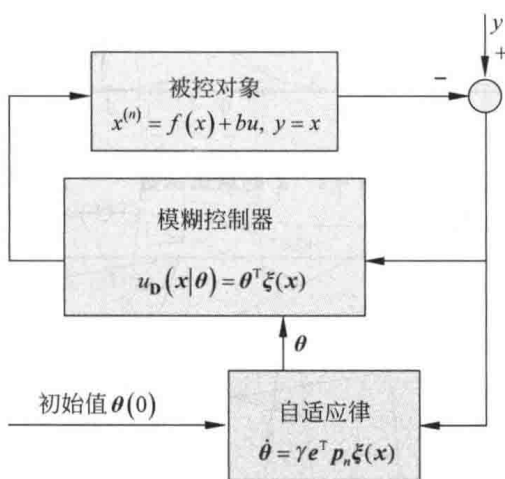


图 4-1 直接型自适应模糊控制系统的结构

4.1.4 仿真实例

被控对象为单力臂机械手:

$$\ddot{\theta} = -\frac{1}{I}(d\dot{\theta} + mgl \cos\theta) + \frac{1}{I}(\tau - \tau_d)$$

其中, τ_d 为摩擦模型。

摩擦模型为库仑摩擦+黏性摩擦模型, 即

$$\tau_d = \text{sgn}(\dot{\theta}(t))(k_1 |\dot{\theta}(t)| + k_2)$$

其中, k_1 和 k_2 为正的常数。

角度指令为 $x_d(t) = \sin(\pi t)$ 。取以下 6 种隶属函数: $\mu_{N3}(x) = 1/(1 + \exp(5(x+2)))$, $\mu_{N2}(x) = \exp(-(x+1.5)^2)$, $\mu_{N1}(x) = \exp(-(x+0.5)^2)$, $\mu_{P1}(x) = \exp(-(x-0.5)^2)$, $\mu_{P2}(x) = \exp(-(x-1.5)^2)$, $\mu_{P3}(x) = 1/(1 + \exp(-5(x-2)))$ 。

系统初始状态为 $[1, 0]$, θ 的初始值取 0, 采用控制律(4.10)、自适应律取式(4.23), 按式(4.20)求 P , 取 $Q = \begin{bmatrix} 50 & 0 \\ 0 & 50 \end{bmatrix}$, $k_1 = 1$, $k_2 = 10$, 自适应参数取 $\gamma = 100$ 。

根据隶属函数设计程序, 可得到隶属函数, 如图 4-2 所示。在控制系统仿真程序中, 分

别用 FS_2 、 FS_1 和 FS 表示模糊系统 $\xi(x)$ 的分子、分母及 $\xi(x)$ ，仿真结果如图 4-3 和图 4-4 所示。

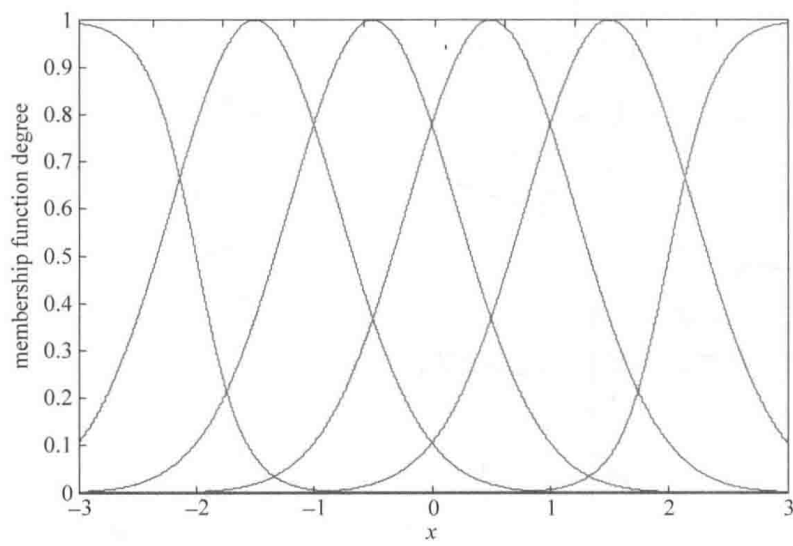


图 4-2 x 的隶属函数

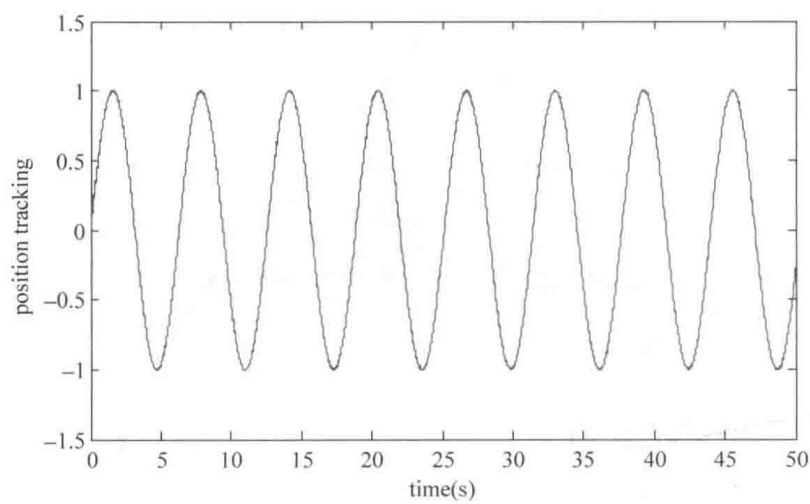


图 4-3 角度跟踪

仿真程序如下：

(1) 隶属函数设计：chap4_1mf.m。

```
clear all;
close all;
```

```
L1 = -3;
L2 = 3;
L = L2 - L1;
```

```
T = 0.001;
```

```
x = L1:T:L2;
```

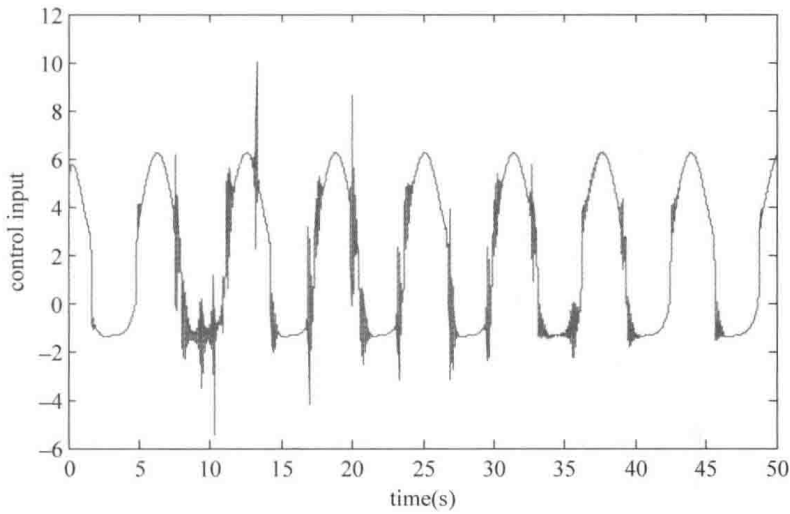
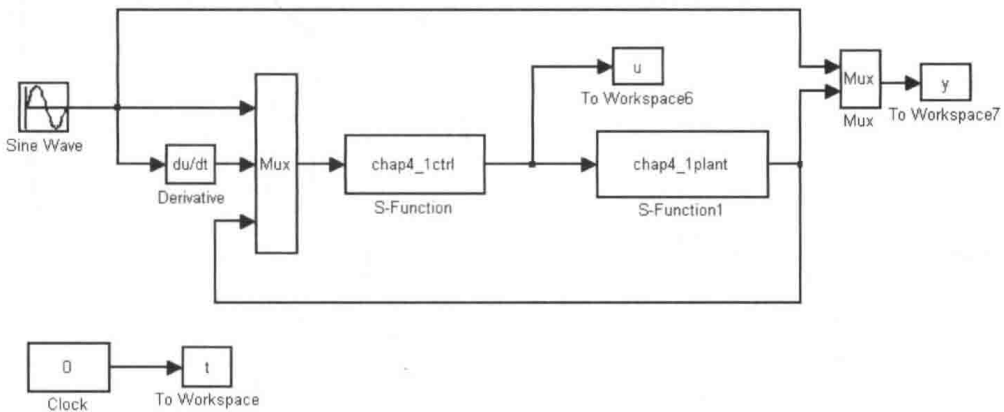


图 4-4 控制输入信号

```
figure(1);
for i = 1:1:6
    if i == 1
        u = 1./(1 + exp(5 * (x + 2)));
    elseif i == 6
        u = 1./(1 + exp(-5 * (x - 2)));
    else
        u = exp(-(x + 2.5 - (i - 1)).^2);
    end
    hold on;
    plot(x,u);
end
xlabel('x'); ylabel('membership function degree');
```

(2) Simulink 主程序: chap4_1sim.mdl。



(3) 控制器 S 函数: chap4_1ctrl.m。

```
function [sys,x0,str,ts] = spacemodel(t,x,u,flag)
switch flag,
case 0,
```



```

[sys,x0,str,ts]=mdlInitializeSizes;
case 1,
    sys = mdlDerivatives(t,x,u);
case 3,
    sys = mdlOutputs(t,x,u);
case {2,4,9}
    sys = [];
otherwise
    error(['Unhandled flag = ',num2str(flag)]);
end
function [sys,x0,str,ts]=mdlInitializeSizes
sizes = simsizes;
sizes.NumContStates = 36;
sizes.NumDiscStates = 0;
sizes.NumOutputs = 1;
sizes.NumInputs = 4;
sizes.DirFeedthrough = 1;
sizes.NumSampleTimes = 0;
sys = simsizes(sizes);
x0 = [zeros(36,1)];
str = [];
ts = [];
function sys = mdlDerivatives(t,x,u)
r = u(1);
dr = u(2);
xi(1) = u(3);
xi(2) = u(4);

e = r - xi(1);
de = dr - xi(2);

gama = 100;

k2 = 1;
k1 = 10;
E = [e,de]';
A = [0 -k2;
     1 -k1];
Q = [150 0;0 150];
P = lyap(A,Q);
%%%%%%%%%%%%%%%%%%%%%%%%%%%%%%%%%%%%%%%%%%%%%%%%%%%%%%%%%%%%%%%%%%%%%%%%
FS1 = 0;

u1(1) = 1/(1 + exp(5 * (xi(1) + 2)));
u1(6) = 1/(1 + exp(- 5 * (xi(1) - 2)));
for i = 2:1:5
    u1(i) = exp(-(xi(1) + 1.5 - (i - 2))^2);
end

u2(1) = 1/(1 + exp(5 * (xi(2) + 2)));
u2(6) = 1/(1 + exp(- 5 * (xi(2) - 2)));

```

```

for i = 2:1:5
    u2(i) = exp( - (xi(2) + 1.5 - (i - 2))^2);
end

```

```

for i = 1:1:6
    for j = 1:1:6
        FS2(6 * (i - 1) + j) = u1(i) * u2(j);
        FS1 = FS1 + u1(i) * u2(j);
    end
end
FS = FS2/FS1;

```

```

b = [0;1];
S = gama * E' * P(:,2) * FS;

```

```

for i = 1:1:36
    sys(i) = S(i);
end

```

```

function sys = mdlOutputs(t,x,u)

```

```

r = u(1);
dr = u(2);
xi(1) = u(3);
xi(2) = u(4);

```

```

for i = 1:1:36
    thtau(i,1) = x(i);
end

```

```

FS1 = 0;
u1(1) = 1/(1 + exp(5 * (xi(1) + 2)));
u1(6) = 1/(1 + exp( - 5 * (xi(1) - 2)));
for i = 2:1:5
    u1(i) = exp( - (xi(1) + 1.5 - (i - 2))^2);
end

```

```

u2(1) = 1/(1 + exp(5 * (xi(2) + 2)));
u2(6) = 1/(1 + exp( - 5 * (xi(2) - 2)));
for i = 2:1:5
    u2(i) = exp( - (xi(2) + 1.5 - (i - 2))^2);
end

```

```

for i = 1:1:6
    for j = 1:1:6
        FS2(6 * (i - 1) + j) = u1(i) * u2(j);
        FS1 = FS1 + u1(i) * u2(j);
    end
end
FS = FS2/FS1;

```



```
ut = t*tau' * FS';
sys(1) = ut;
```

(4) 被控对象 S 函数: chap4_1plant.m。

```
% S - function for continuous state equation
function [sys,x0,str,ts] = s_function(t,x,u,flag)
```

```
switch flag,
% Initialization
    case 0,
        [sys,x0,str,ts] = mdlInitializeSizes;
    case 1,
        sys = mdlDerivatives(t,x,u);
% Outputs
    case 3,
        sys = mdlOutputs(t,x,u);
% Unhandled flags
    case {2, 4, 9 }
        sys = [];
% Unexpected flags
    otherwise
        error(['Unhandled flag = ',num2str(flag)]);
end
```

```
function [sys,x0,str,ts] = mdlInitializeSizes
sizes = simsizes;
sizes.NumContStates = 2;
sizes.NumDiscStates = 0;
sizes.NumOutputs = 2;
sizes.NumInputs = 1;
sizes.DirFeedthrough = 0;
sizes.NumSampleTimes = 0;
```

```
sys = simsizes(sizes);
x0 = [0.15 0];
str = [];
ts = [];
function sys = mdlDerivatives(t,x,u)
g = 9.8;
m = 1;
l = 0.25;
d = 2.0;
I = 4/3 * m * l^2;

tol = u;
k1 = 0.30;
k2 = 1.5;
told = sign(x(2)) * (k1 * abs(x(2)) + k2);
```

```
fx = 1/I * (-d * x(2) - m * g * l * cos(x(1)));
gx = 1/I;
```

```
sys(1) = x(2);
sys(2) = fx + gx * (tol - told);
function sys = mdlOutputs(t, x, u)
sys(1) = x(1);
sys(2) = x(2);
```

(5) 作图程序: chap4_1plot。

```
close all;

figure(1);
plot(t, y(:, 1), 'r', t, y(:, 2), 'b');
xlabel('time(s)'); ylabel('position tracking');

figure(2);
plot(t, u(:, 1), 'r');
xlabel('time(s)'); ylabel('control input');
```

4.2 单力臂机械手间接自适应模糊控制

模糊控制器的设计不依靠被控对象的模型,但它却非常依靠控制专家或操作者的经验知识。模糊控制的突出优点是能够比较容易地将人的控制经验融入控制器中,但若缺乏这样的控制经验,很难设计出高水平的模糊控制器。而且,由于模糊控制器采用了 IF-THEN 控制规则,不便于控制参数的学习和调整,使得构造具有自适应的模糊控制器较困难。

自适应模糊控制有两种不同的形式:一种是直接自适应模糊控制,即根据实际系统性能与理想性能之间的偏差,通过一定的方法来直接调整控制器的参数;另一种是间接自适应模糊控制,即通过在线辨识获得控制对象的模型,然后根据所得模型在线设计模糊控制器。

4.2.1 问题描述

考虑如下 n 阶非线性系统:

$$\dot{\mathbf{x}}^{(n)} = f(\mathbf{x}, \dot{\mathbf{x}}, \dots, \mathbf{x}^{(n-1)}) + g(\mathbf{x}, \dot{\mathbf{x}}, \dots, \mathbf{x}^{(n-1)})u \quad (4.25)$$

其中, f 和 g 为未知非线性函数, $u \in \mathbf{R}^n$ 和 $y \in \mathbf{R}^n$ 分别为系统的输入和输出。

设位置指令为 y_m , 令

$$\mathbf{e} = y_m - y = y_m - x, \quad \dot{\mathbf{e}} = (e, \dot{e}, \dots, e^{(n-1)})^T \quad (4.26)$$

选择 $\mathbf{K} = (k_n, \dots, k_1)^T$, 使多项式 $s^n + k_1 s^{(n-1)} + \dots + k_n$ 的所有根部都在复平面左半平面上。

取控制律为

$$u^* = \frac{1}{g(x)} [-f(x) + y_m^{(n)} + K^T e] \quad (4.27)$$

将式(4.27)代入式(4.25),得到闭环控制系统的方程

$$e^{(n)} + k_1 e^{(n-1)} + \cdots + k_n e = 0 \quad (4.28)$$

由 K 的选取,可得 $t \rightarrow \infty$ 时 $e(t) \rightarrow 0$,即系统的输出 y 渐进地收敛于理想输出 y_m 。

如果非线性函数 $f(x)$ 和 $g(x)$ 是已知的,则可以选择控制 u 来消除其非线性的性质,然后再根据线性控制理论设计控制器。

4.2.2 自适应模糊滑模控制器的设计

如果 $f(x)$ 和 $g(x)$ 未知,控制律式(4.27)很难实现。可采用模糊系统 $\hat{f}(x)$ 和 $\hat{g}(x)$ 代替 $f(x)$ 和 $g(x)$,实现自适应模糊控制。

1. 基本的模糊系统

以 $\hat{f}(x|\theta_f)$ 来逼近 $f(x)$ 为例,可用以下两步构造模糊系统 $\hat{f}(x|\theta_f)^{[1]}$:

(1) 对变量 $x_i (i=1,2,\cdots,n)$,定义 p_i 个模糊集合 $A_i^{l_i} (l_i=1,2,\cdots,p_i)$;

(2) 采用以下 $\prod_{i=1}^n p_i$ 条模糊规则来构造模糊系统 $\hat{f}(x|\theta_f)$:

$$R^{(j)}: \text{IF } x_1 \text{ is } A_1^{l_1} \text{ and } \cdots \text{ and } x_n \text{ is } A_n^{l_n} \text{ THEN } \hat{f} \text{ is } E^{l_1 \cdots l_n} \quad (4.29)$$

其中, $l_i=1,2,\cdots,p_i, i=1,2,\cdots,n$ 。

采用乘积推理机、单值模糊器和中心平均解模糊器,则模糊系统的输出为

$$\hat{f}(x|\theta_f) = \frac{\sum_{l_1=1}^{p_1} \cdots \sum_{l_n=1}^{p_n} \bar{y}_f^{l_1 \cdots l_n} \left(\prod_{i=1}^n \mu_{A_i^{l_i}}(x_i) \right)}{\sum_{l_1=1}^{p_1} \cdots \sum_{l_n=1}^{p_n} \left(\prod_{i=1}^n \mu_{A_i^{l_i}}(x_i) \right)} \quad (4.30)$$

其中, $\mu_{A_i^{l_i}}(x_i)$ 为 x_i 的隶属函数。

令 $\bar{y}_f^{l_1 \cdots l_n}$ 是自由参数,放在集合 $\theta_f \in R^{\prod_{i=1}^n p_i}$ 中。引入向量 $\xi(x)$,式(4.30)变为

$$\hat{f}(x|\theta_f) = \theta_f^T \xi(x) \quad (4.31)$$

其中, $\xi(x)$ 为 $\prod_{i=1}^n p_i$ 维向量,其第 l_1, l_2, \cdots, l_n 个元素为

$$\xi_{l_1 \cdots l_n}(x) = \frac{\prod_{i=1}^n \mu_{A_i^{l_i}}(x_i)}{\sum_{l_1=1}^{p_1} \cdots \sum_{l_n=1}^{p_n} \left(\prod_{i=1}^n \mu_{A_i^{l_i}}(x_i) \right)} \quad (4.32)$$

2. 自适应模糊滑模控制器的设计

采用模糊系统逼近 f 和 g ,则控制律式(4.27)变为

$$u = \frac{1}{\hat{g}(x|\theta_g)} [-\hat{f}(x|\theta_f) + y_m^{(n)} + K^T e] \quad (4.33)$$

$$\hat{f}(x|\theta_f) = \theta_f^T \xi(x), \quad \hat{g}(x|\theta_g) = \theta_g^T \eta(x) \quad (4.34)$$

其中, $\xi(x)$ 为模糊向量, 参数 θ_f^T 和 θ_g^T 根据自适应律而变化。

设计自适应律为

$$\dot{\theta}_f = -\gamma_1 e^T P b \xi(x) \quad (4.35)$$

$$\dot{\theta}_g = -\gamma_2 e^T P b \eta(x) u \quad (4.36)$$

其中, $\eta(x)$ 为用于逼近 g 的模糊向量。

自适应模糊控制系统如图 4-5 所示。

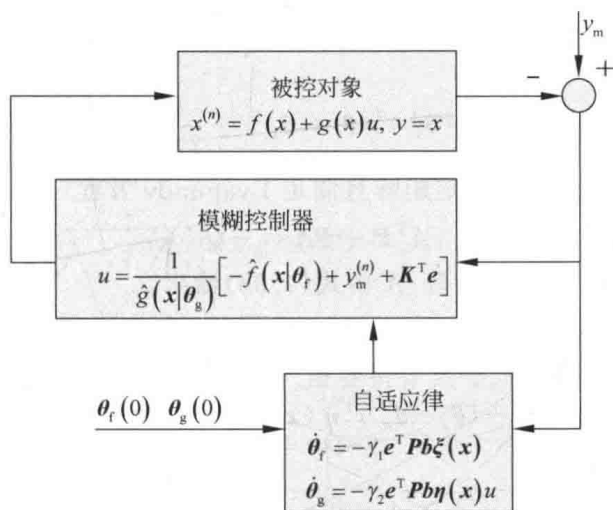


图 4-5 自适应模糊控制系统

4.2.3 稳定性分析

由式(4.33)代入式(4.25)可得如下模糊控制系统的闭环动态

$$\dot{e}^{(n)} = -K^T e + [\hat{f}(x | \theta_f) - f(x)] + [\hat{g}(x | \theta_g) - g(x)] u \quad (4.37)$$

令

$$\Lambda = \begin{bmatrix} 0 & 1 & 0 & 0 & \cdots & 0 & 0 \\ 0 & 0 & 1 & 0 & \cdots & 0 & 0 \\ \vdots & \vdots & \vdots & \vdots & \ddots & \vdots & \vdots \\ 0 & 0 & 0 & 0 & \cdots & 0 & 1 \\ -k_n & -k_{n-1} & & & \cdots & & -k_1 \end{bmatrix}, \quad b = \begin{bmatrix} 0 \\ 0 \\ \vdots \\ 0 \\ 1 \end{bmatrix} \quad (4.38)$$

则动态方程式(4.37)可写为向量形式

$$\dot{e} = \Lambda e + b \{(\hat{f}(x | \theta_f) - f(x)) + (\hat{g}(x | \theta_g) - g(x)) u\} \quad (4.39)$$

设最优参数为

$$\theta_f^* = \arg \min_{\theta_f \in \Omega_f} \left[\sup_{x \in \mathbb{R}^n} |\hat{f}(x | \theta_f) - f(x)| \right] \quad (4.40)$$

$$\theta_g^* = \arg \min_{\theta_g \in \Omega_g} \left[\sup_{x \in \mathbb{R}^n} |\hat{g}(x | \theta_g) - g(x)| \right] \quad (4.41)$$

其中, Ω_f 和 Ω_g 分别为 θ_f 和 θ_g 的集合。

定义最小逼近误差为

$$w = \hat{f}(x | \theta_f^*) - f(x) + (\hat{g}(x | \theta_g^*) - g(x))u \quad (4.42)$$

式(4.39)可写为

$$\dot{e} = \Lambda e + b \{ [\hat{f}(x | \theta_f) - \hat{f}(x | \theta_f^*)] + [\hat{g}(x | \theta_g) - \hat{g}(x | \theta_g^*)]u + w \} \quad (4.43)$$

将式(4.34)代入式(4.43),可得闭环动态方程

$$\dot{e} = \Lambda e + b [(\theta_f - \theta_f^*)^T \xi(x) + (\theta_g - \theta_g^*)^T \eta(x)u + w] \quad (4.44)$$

该方程清晰地描述了跟踪误差和控制参数 θ_f 和 θ_g 之间的关系。自适应律的任务是为 θ_f 和 θ_g 确定一个调节机理,使得跟踪误差 e 和参数误差 $\theta_f - \theta_f^*$ 和 $\theta_g - \theta_g^*$ 达到最小。

定义 Lyapunov 函数为

$$V = \frac{1}{2} e^T P e + \frac{1}{2\gamma_1} (\theta_f - \theta_f^*)^T (\theta_f - \theta_f^*) + \frac{1}{2\gamma_2} (\theta_g - \theta_g^*)^T (\theta_g - \theta_g^*) \quad (4.45)$$

其中, γ_1, γ_2 是正常数, P 为一个正定矩阵且满足 Lyapunov 方程

$$\Lambda^T P + P \Lambda = -Q \quad (4.46)$$

其中, Q 是一个任意的 $n \times n$ 正定矩阵, Λ 由式(4.38)给出。

$$\text{取 } V_1 = \frac{1}{2} e^T P e, V_2 = \frac{1}{2\gamma_1} (\theta_f - \theta_f^*)^T (\theta_f - \theta_f^*), V_3 = \frac{1}{2\gamma_2} (\theta_g - \theta_g^*)^T (\theta_g - \theta_g^*).$$

令 $M = b [(\theta_f - \theta_f^*)^T \xi(x) + (\theta_g - \theta_g^*)^T \eta(x)u + w]$, 则式(4.44)变为

$$\dot{e} = \Lambda e + M$$

$$\begin{aligned} \dot{V}_1 &= \frac{1}{2} \dot{e}^T P e + \frac{1}{2} e^T P \dot{e} = \frac{1}{2} (e^T \Lambda^T + M^T) P e + \frac{1}{2} e^T P (\Lambda e + M) \\ &= \frac{1}{2} e^T (\Lambda^T P + P \Lambda) e + \frac{1}{2} M^T P e + \frac{1}{2} e^T P M \\ &= -\frac{1}{2} e^T Q e + \frac{1}{2} (M^T P e + e^T P M) = -\frac{1}{2} e^T Q e + e^T P M \end{aligned}$$

即

$$\dot{V}_1 = -\frac{1}{2} e^T Q e + e^T P b w + (\theta_f - \theta_f^*)^T e^T P b \xi(x) + (\theta_g - \theta_g^*)^T e^T P b \eta(x)u$$

$$\dot{V}_2 = \frac{1}{\gamma_1} (\theta_f - \theta_f^*)^T \dot{\theta}_f$$

$$\dot{V}_3 = \frac{1}{\gamma_2} (\theta_g - \theta_g^*)^T \dot{\theta}_g$$

V 的导数为

$$\begin{aligned} \dot{V} &= \dot{V}_1 + \dot{V}_2 + \dot{V}_3 = -\frac{1}{2} e^T Q e + e^T P b w + \frac{1}{\gamma_1} (\theta_f - \theta_f^*)^T [\dot{\theta}_f + \gamma_1 e^T P b \xi(x)] + \\ &\quad \frac{1}{\gamma_2} (\theta_g - \theta_g^*)^T [\dot{\theta}_g + \gamma_2 e^T P b \eta(x)u] \end{aligned} \quad (4.47)$$

将自适应律式(4.35)和式(4.36)代入上式,得

$$\dot{V} = -\frac{1}{2} e^T Q e + e^T P b w \quad (4.48)$$

由于 $-\frac{1}{2} e^T Q e \leq 0$,通过选取最小逼近误差 w 非常小的模糊系统,可实现 $\dot{V} \leq 0$ 。

由于 $Q > 0$, w 是最小逼近误差, 通过设计足够多规则的模糊系统, 可使 w 充分小, 并满足 $|e^T P b w| \leq \frac{1}{2} e^T Q e$, 从而使得 $\dot{V} \leq 0$, 闭环系统为渐进稳定。

根据 LaSalle 不变性原理, 当 $\dot{V} \equiv 0$ 时, $-\frac{1}{2} e^T Q e + e^T P b w \equiv 0$, 当 w 充分小, $t \rightarrow \infty$ 时, $e \rightarrow 0$ 。系统的收敛速度取决于 Q 。

由于 $V \geq 0, \dot{V} \leq 0$, 则 V 有界, 因此 e, θ_f 和 θ_g 有界, 但无法保证 θ_f 和 θ_g 收敛于 θ_f^* 和 θ_g^* 即无法保证 $f(x)$ 和 $g(x)$ 的精确逼近。

4.2.4 仿真实例

被控对象为一单力臂机械手:

$$\ddot{\theta} = -\frac{1}{I}(d\dot{\theta} + mgl \cos \theta) + \frac{1}{I}(1.0 + \theta + \dot{\theta})\tau$$

其中, τ_d 为摩擦模型。

取 $m=1, l=0.25, d=2.0, I=\frac{4}{3}ml^2$ 。角度指令为 $y_m(t)=0.1\sin(t)$ 。针对 $\xi(x)$ 和 $\eta(x)$, 取以下 5 种隶属函数: $\mu_{NM}(x_i) = \exp[-((x_i + \pi/6)/(\pi/24))^2]$, $\mu_{NS}(x_i) = \exp[-((x_i + \pi/12)/(\pi/24))^2]$, $\mu_Z(x_i) = \exp[-(x_i/(\pi/24))^2]$, $\mu_{PS}(x_i) = \exp[-((x_i - \pi/12)/(\pi/24))^2]$, $\mu_{PM}(x_i) = \exp[-((x_i - \pi/6)/(\pi/24))^2]$ 。则用于逼近 f 和 g 的模糊规则分别有 25 条。

根据隶属函数设计程序, 可得到隶属函数图, 如图 4-6 所示。

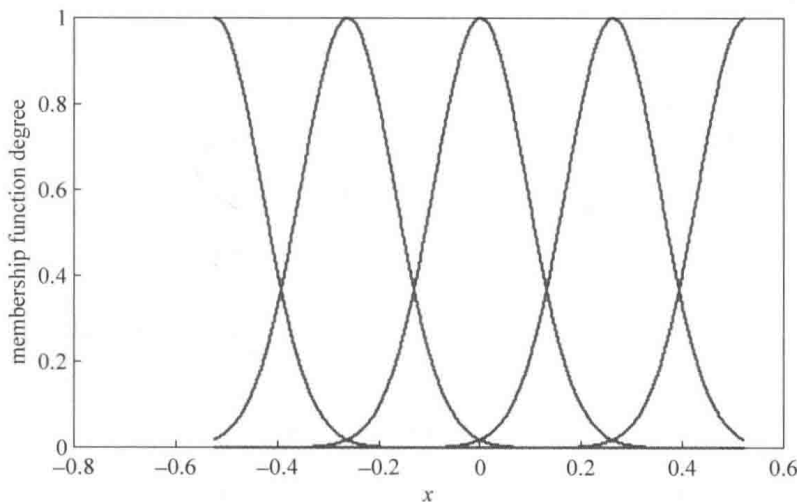


图 4-6 隶属函数

机械手初始状态为 $[0.15, 0]$, θ_f 和 θ_g 的初始值取 0.10, 采用控制律式 (4.33), 按式 (4.46)

求 P , 取 $Q = \begin{bmatrix} 10 & 0 \\ 0 & 10 \end{bmatrix}$, $k_1=2, k_2=1$, 自适应参数取 $\gamma_1=10, \gamma_2=1$, 自适应律取式 (4.35) 和式 (4.36)。

在程序中,分别用 FS_2 、 FS_1 和 FS 表示模糊系统 $\xi(x)$ 的分子、分母及 $\xi(x)$, 仿真结果如图 4-7~图 4-10 所示。

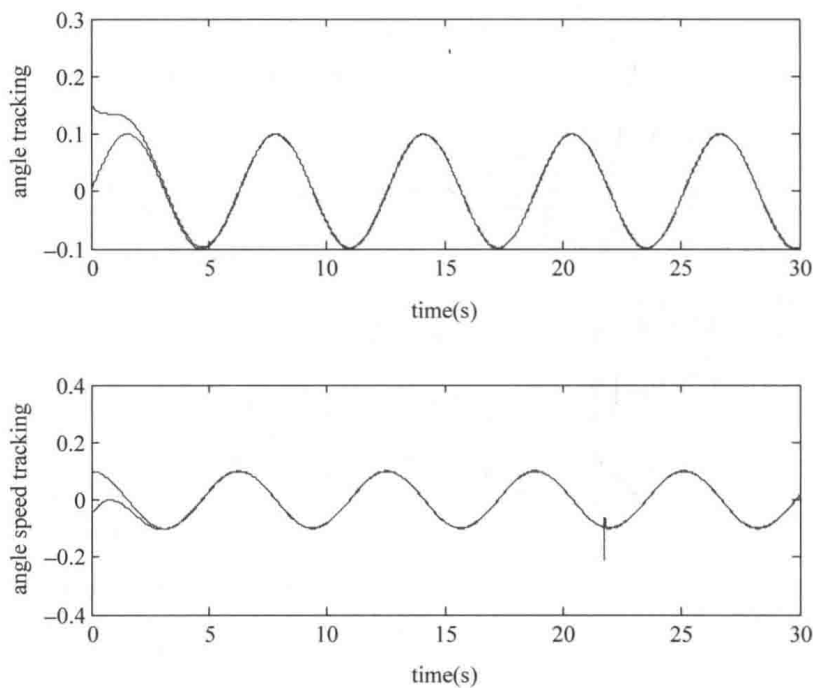


图 4-7 角度及角速度跟踪

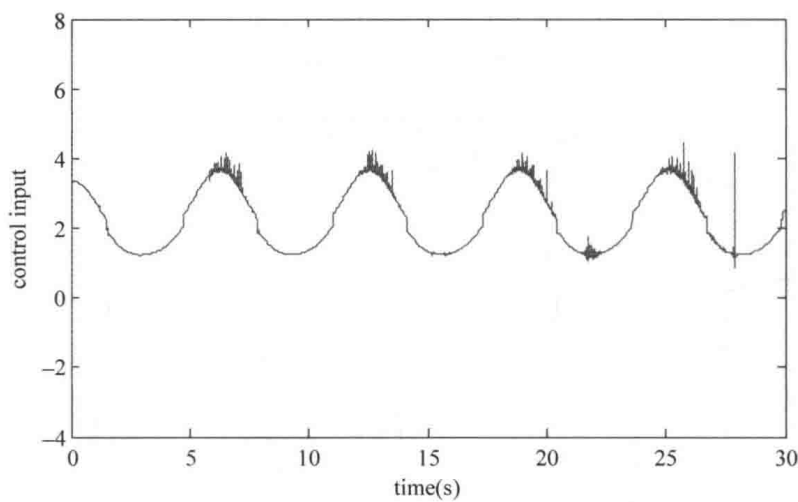


图 4-8 控制输入信号

间接模糊自适应控制仿真程序有 5 个。

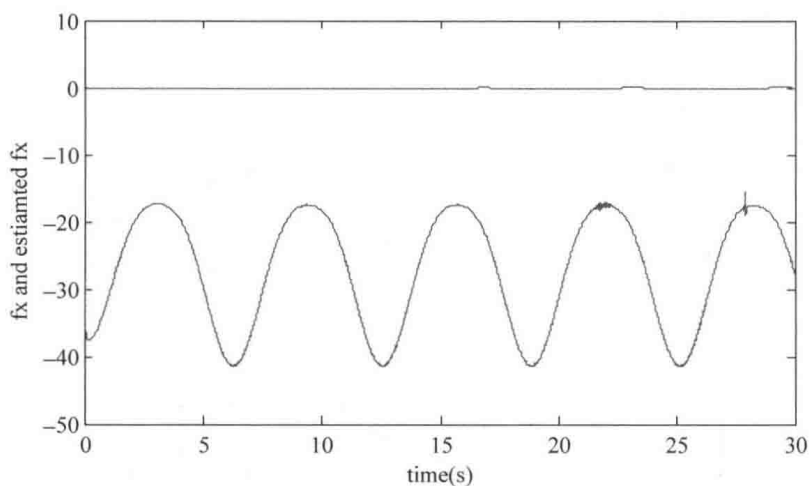
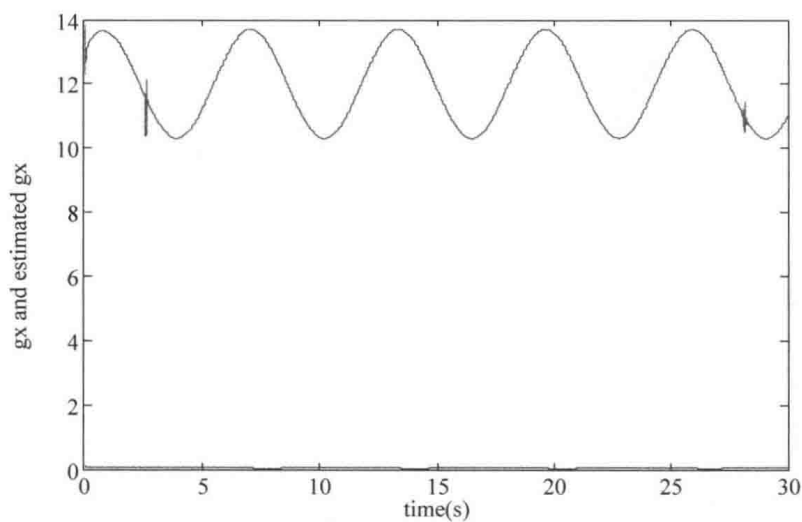
仿真程序如下：

(1) 隶属函数设计：chap4_2mf.m。

```
clear all;
```

```
close all;
```

```
L1 = -pi/6;
```

图 4-9 $f(x, t)$ 及 $\hat{f}(x, t)$ 的变化图 4-10 $g(x, t)$ 及 $\hat{g}(x, t)$ 的变化

```

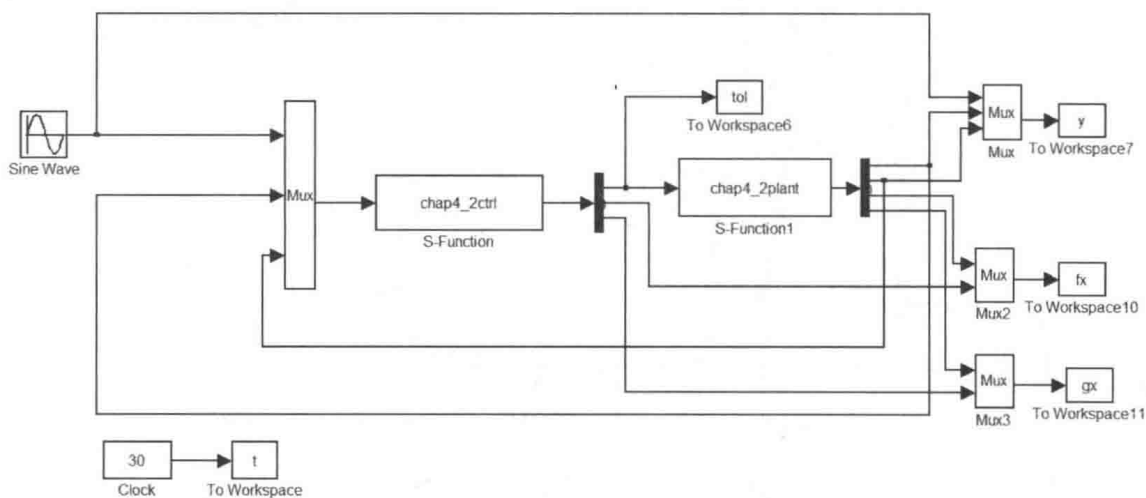
L2 = pi/6;
L = L2 - L1;

T = L * 1/1000;

x = L1:T:L2;
figure(1);
for i = 1:1:5
    gs = - [(x + pi/6 - (i - 1) * pi/12)/(pi/24)].^2;
    u = exp(gs);
    hold on;
    plot(x, u);
end
xlabel('x');ylabel('membership function degree');

```


(2) Simulink 主程序：chap4_2sim.mdl。



(3) 控制器 S 函数：chap4_2ctrl.m。

```
function [sys,x0,str,ts] = spacemodel(t,x,u,flag)
```

```
switch flag,
case 0,
    [sys,x0,str,ts] = mdlInitializeSizes;
case 1,
    sys = mdlDerivatives(t,x,u);
case 3,
    sys = mdlOutputs(t,x,u);
case {2,4,9}
    sys = [];
otherwise
    error(['Unhandled flag = ',num2str(flag)]);
end
```

```
function [sys,x0,str,ts] = mdlInitializeSizes
```

```
sizes = simsizes;
sizes.NumContStates = 50;
sizes.NumDiscStates = 0;
sizes.NumOutputs = 3;
sizes.NumInputs = 3;
sizes.DirFeedthrough = 1;
sizes.NumSampleTimes = 0;
sys = simsizes(sizes);
x0 = [0.1 * ones(50,1)];
str = [];
ts = [];
```

```
function sys = mdlDerivatives(t,x,u)
```

```
gama1 = 10;
gama2 = 1;
```

```

ym = u(1); dym = 0.1 * cos(t); ddym = -0.1 * sin(t);
x1 = u(2); x2 = u(3);
e = ym - x1; de = ym - x2;

k1 = 2;
k2 = 1;
k = [k2; k1];
E = [e, de]';

for i = 1:1:25
    thtaf(i,1) = x(i);
end
for i = 1:1:25
    thtag(i,1) = x(i + 25);
end
%%%%%%%%%%%%%%%%%%%%%%%%%%%%%%%%%%%%%%%%%%%%%%%%%%%%%%%%%%%%%%%%%%%%%%%%
A = [0 -k2;
     1 -k1];
Q = [10 0; 0 10];
P = lyap(A, Q);
%%%%%%%%%%%%%%%%%%%%%%%%%%%%%%%%%%%%%%%%%%%%%%%%%%%%%%%%%%%%%%%%%%%%%%%%
FS1 = 0;
for l1 = 1:1:5
    gs1 = -[(x1 + pi/6 - (l1 - 1) * pi/12)/(pi/24)]^2;
    u1(l1) = exp(gs1);
end

for l2 = 1:1:5
    gs2 = -[(x2 + pi/6 - (l2 - 1) * pi/12)/(pi/24)]^2;
    u2(l2) = exp(gs2);
end

for l1 = 1:1:5
    for l2 = 1:1:5
        FS2(5 * (l1 - 1) + l2) = u1(l1) * u2(l2);
        FS1 = FS1 + u1(l1) * u2(l2);
    end
end

FS = FS2/(FS1 + 0.001);

fx1 = thtaf' * FS';
gx1 = thtag' * FS' + 0.001;

ut = 1/gx1 * (-fx1 + ddym + k' * E);

b = [0; 1];
S1 = -gama1 * E' * P * b * FS;
S2 = -gama2 * E' * P * b * FS * ut;

for i = 1:1:25

```

```

        sys(i) = S1(i);
    end
    for j = 26:1:50
        sys(j) = S2(j - 25);
    end

    function sys = mdlOutputs(t,x,u)
        ym = u(1);
        dym = 0.1 * cos(t); ddym = - 0.1 * sin(t);
        x1 = u(2); x2 = u(3);
        e = ym - x1; de = dym - x2;

        k1 = 2;
        k2 = 1;
        k = [k2;k1];
        E = [e,de]';

        for i = 1:1:25
            thtaf(i,1) = x(i);
        end
        for i = 1:1:25
            thtag(i,1) = x(i + 25);
        end

        FS1 = 0;
        for l1 = 1:1:5
            gs1 = - [(x1 + pi/6 - (l1 - 1) * pi/12)/(pi/24)]^2;
            u1(l1) = exp(gs1);
        end

        for l2 = 1:1:5
            gs2 = - [(x2 + pi/6 - (l2 - 1) * pi/12)/(pi/24)]^2;
            u2(l2) = exp(gs2);
        end

        for l1 = 1:1:5
            for l2 = 1:1:5
                FS2(5 * (l1 - 1) + l2) = u1(l1) * u2(l2);
                FS1 = FS1 + u1(l1) * u2(l2);
            end
        end
        FS = FS2/(FS1 + 0.001);

        fx1 = thtaf' * FS';
        gx1 = thtag' * FS' + 0.001;

        ut = 1/gx1 * (- fx1 + ddym + k' * E);

        sys(1) = ut;
        sys(2) = fx1;
        sys(3) = gx1;

```

(4) 被控对象 S 函数: chap4_2plant.m。

```
% S - function for continuous state equation
function [sys,x0,str,ts] = s_function(t,x,u,flag)
```

```
switch flag,
% Initialization
    case 0,
        [sys,x0,str,ts] = mdlInitializeSizes;
    case 1,
        sys = mdlDerivatives(t,x,u);
% Outputs
    case 3,
        sys = mdlOutputs(t,x,u);
% Unhandled flags
    case {2, 4, 9 }
        sys = [];
% Unexpected flags
    otherwise
        error(['Unhandled flag = ',num2str(flag)]);
end
```

```
function [sys,x0,str,ts] = mdlInitializeSizes
sizes = simsizes;
sizes.NumContStates = 2;
sizes.NumDiscStates = 0;
sizes.NumOutputs = 4;
sizes.NumInputs = 1;
sizes.DirFeedthrough = 0;
sizes.NumSampleTimes = 0;
```

```
sys = simsizes(sizes);
x0 = [0.15 0];
str = [];
ts = [];
function sys = mdlDerivatives(t,x,u)
g = 9.8;
m = 1;
l = 0.25;
d = 2.0;
I = 4/3 * m * l^2;
```

```
tol = u(1);
```

```
fx = 1/I * (- d * x(2) - m * g * l * cos(x(1)));
gx = (1 + x(1) + x(2))/I;
```

```
sys(1) = x(2);
sys(2) = fx + gx * (tol - told);
function sys = mdlOutputs(t,x,u)
g = 9.8;
```

```

m = 1;
l = 0.25;
d = 2.0;
I = 4/3 * m * l^2;

tol = u(1);

fx = 1/I * (-d * x(2) - m * g * l * cos(x(1)));
gx = (1 + x(1) + x(2))/I;

sys(1) = x(1);
sys(2) = x(2);
sys(3) = fx;
sys(4) = gx;

```

(5) 作图程序: chap4_2plot。

```

close all;

figure(1);
subplot(211);
plot(t, y(:, 1), 'r', t, y(:, 2), 'b');
xlabel('time(s)'); ylabel('angle tracking');

subplot(212);
plot(t, 0.1 * cos(t), 'r', t, y(:, 3), 'b');
xlabel('time(s)'); ylabel('angle speed tracking');

figure(2);
plot(t, tol(:, 1), 'r');
xlabel('time(s)'); ylabel('control input');

figure(3);
plot(t, fx(:, 1), 'r', t, fx(:, 2), 'b');
xlabel('time(s)'); ylabel('fx and estimated fx');

figure(4);
plot(t, gx(:, 1), 'r', t, gx(:, 2), 'b');
xlabel('time(s)'); ylabel('gx and estimated gx');

```

4.3 单级倒立摆的监督模糊控制

倒立摆仿真或实物控制实验是控制领域中用来检验某种控制理论或方法的典型方案。倒立摆系统是行走机器人等许多控制对象的最简单的模型,是一个复杂的非线性的、不确定的高阶系统,系统中的参数也具有不确定性,因此倒立摆控制器的设计应保证有良好的鲁棒稳定性。

4.3.1 模糊系统的设计

设二维模糊系统为集合 $U = [\alpha_1, \beta_1] \times [\alpha_2, \beta_2] \subset \mathbf{R}^2$ 上的一个函数,其解析式形式未知。

假设对任意一个 $x \in U$, 则可设计一个模糊系统。模糊系统可由以下两步来构造:

- (1) 在 $[\alpha_i, \beta_i]$ 上定义 N_i ($i=1, 2$) 个标准的、一致的和完备的模糊集 $A_i^1, A_i^2, \dots, A_i^{N_i}$ 。
- (2) 组建 $M = N_1 \times N_2$ 条模糊集 IF-THEN 规则, 第 $i_1 i_2$ 条规则表示为:

$$R_{i_1 i_2}^{i_1 i_2}: \text{IF } x_1 \text{ is } A_{i_1}^{i_1} \text{ AND } x_2 \text{ is } A_{i_2}^{i_2}, \text{ THEN } y \text{ is } B^{i_1 i_2}$$

其中, $i_1 = 1, 2, \dots, N_1, i_2 = 1, 2, \dots, N_2$, 将模糊集 $B^{i_1 i_2}$ 的中心(用 $\bar{y}^{i_1 i_2}$ 表示)选择为

$$\bar{y}^{i_1 i_2} = g(e_1^{i_1}, e_2^{i_2}) \quad (4.49)$$

采用乘积推理机、单值模糊器和中心平均解模糊器, 根据 $M = N_1 \times N_2$ 条规则构造模糊系统 $f(x)$, $f(x)$ 具体表示如下:

$$u_{\text{fuzz}}(x) = \frac{\sum_{i_1=1}^{N_1} \sum_{i_2=1}^{N_2} \bar{y}^{i_1 i_2} (\mu_{A_{i_1}^{i_1}}(x_1) \mu_{A_{i_2}^{i_2}}(x_2))}{\sum_{i_1=1}^{N_1} \sum_{i_2=1}^{N_2} (\mu_{A_{i_1}^{i_1}}(x_1) \mu_{A_{i_2}^{i_2}}(x_2))} \quad (4.50)$$

4.3.2 模糊监督控制器的设计

从概念上讲, 至少有两种不同的方法确保模糊控制系统的稳定性: 第一种方法是为模糊控制器选择特殊的结构和参数, 使带有模糊控制器的闭环系统稳定; 第二种方法是设计模糊控制器时先不考虑稳定性, 而是将另一个非模糊控制器添加到模糊控制器上以满足稳定性需要。第二种方法中模糊控制器的设计有很大的自由度和灵活性, 所以用此方法设计的模糊控制系统可获得更好的性能。

第二种方法的关键是设计添加的第二层非模糊控制器, 使稳定性得到保证。模糊控制器执行主要控制操作, 是主控制器, 第二层控制器执行监督功能, 如果模糊控制器运行良好, 则第二层控制器停止工作, 如果模糊控制系统趋于不稳定, 则第二层控制器开始工作, 以确保稳定性。第二层控制器称为监督控制器。

考虑如下非线性系统:

$$\dot{x}^{(n)} = f(x, \dot{x}, \dots, x^{(n-1)}) + g(x, \dot{x}, \dots, x^{(n-1)}) \quad (4.51)$$

其中, $x \in \mathbf{R}$ 是系统输出, $u \in \mathbf{R}$ 为控制输入, $x = (x, \dot{x}, \dots, x^{(n-1)})^T$ 是系统状态向量, f 和 g 为未知非线性函数, 并假设 $g > 0$ 。

在系统(4.51)中, 假设 $|f(x)|$ 的上界和 $g(x)$ 的下界已知, 即存在可确定函数 $f^U(x)$ 和 $g_L(x)$, 使得 $|f(x)| \leq f^U(x), 0 < g_L(x) \leq g(x)$ 。

主模糊控制器设计为

$$u = u_{\text{fuzz}}(x) \quad (4.52)$$

为了确保闭环系统的稳定性, 需要设计一个控制器, 且要求带有此控制器的闭环系统是全局稳定的。在模糊控制器 $u_{\text{fuzz}}(x)$ 上添加一个监督控制器 $u_s(x)$, $u_s(x)$ 只是在状态变量达到约束集 $\{x: |x| \leq M_x\}$ 的边界时才不为零, 其中, M_x 为设计者给定的大于零的实数。

监督控制器设计为

$$u = u_{\text{fuzz}}(x) + I^* u_s(x) \quad (4.53)$$

其中, I^* 为指示函数。

控制的主要任务仍然由模糊控制器 $u_{\text{fuzz}}(\mathbf{x})$ 承担, 通过设计监督控制器 u_s , 使对所有的 $t > 0$, 有 $\|\mathbf{x}\| \leq M_x$ 。监督控制器式(4.53)的控制策略为

(1) 当 $\|\mathbf{x}\| \geq M_x$ 时, $I^* = 1$ 。

(2) 当 $\|\mathbf{x}\| \leq M_x$ 时, $I^* = 0$ 。

将式(4.53)代入式(4.51), 得

$$\dot{\mathbf{x}}^{(n)} = f(\mathbf{x}) + g(\mathbf{x})(u_{\text{fuzz}}(\mathbf{x}) + I^* u_s(\mathbf{x})) \quad (4.54)$$

为了证明稳定性, 需要将闭环系统的方程写成向量形式。

由被控对象式(4.51)的表达形式, 可定义使闭环系统稳定的理想控制器为

$$u^* = \frac{1}{g(\mathbf{x})}(-f(\mathbf{x}) - \mathbf{k}^T \mathbf{x}) \quad (4.55)$$

其中, $\mathbf{k} = (k_n, \dots, k_1)^T \in \mathbf{R}^n$, 使得多项式 $s^{(n)} + k_1 s^{(n-1)} + \dots + k_n$ 的所有根都在复平面的左半平面上。

将式(4.55)代入式(4.54), 得

$$\begin{aligned} \dot{\mathbf{x}}^{(n)} &= f(\mathbf{x}) + g(\mathbf{x})u^* - g(\mathbf{x})u^* + g(\mathbf{x})[u_{\text{fuzz}}(\mathbf{x}) + I^* u_s(\mathbf{x})] \\ &= -\mathbf{k}^T \mathbf{x} + g(\mathbf{x})[u_{\text{fuzz}}(\mathbf{x}) - u^* + I^* u_s] \end{aligned} \quad (4.56)$$

定义

$$\mathbf{A} = \begin{bmatrix} 0 & 1 & 0 & 0 & \cdots & 0 & 0 \\ 0 & 0 & 1 & 0 & \cdots & 0 & 0 \\ \vdots & \vdots & \vdots & \vdots & \ddots & \vdots & \vdots \\ 0 & 0 & 0 & 0 & \cdots & 0 & 1 \\ -k_n & -k_{n-1} & & & \cdots & & -k_1 \end{bmatrix}, \quad \mathbf{b} = \begin{bmatrix} 0 \\ \vdots \\ 0 \\ g(\mathbf{x}) \end{bmatrix} \quad (4.57)$$

则式(4.56)可以写成向量形式

$$\dot{\mathbf{x}} = \mathbf{A}\mathbf{x} + \mathbf{b}[u_{\text{fuzz}}(\mathbf{x}) - u^* + I^* u_s] \quad (4.58)$$

4.3.3 稳定性分析

定义 Lyapunov 函数为

$$V = \frac{1}{2} \mathbf{x}^T \mathbf{P} \mathbf{x} \quad (4.59)$$

其中, \mathbf{P} 是满足 Lyapunov 方程的正定对称矩阵, 且满足

$$\mathbf{A}^T \mathbf{P} + \mathbf{P} \mathbf{A} = -\mathbf{Q} \quad (4.60)$$

其中, $\mathbf{Q} > 0$ 由设计者给定。因为 \mathbf{A} 是稳定的, 所以这样的 \mathbf{P} 总是存在的。

利用式(4.58)和式(4.60), 并考虑到 $\|\mathbf{x}\| \geq M_x$ 时, $I^* = 1$, 得

$$\begin{aligned} \dot{V} &= \frac{1}{2} \dot{\mathbf{x}}^T \mathbf{P} \mathbf{x} + \frac{1}{2} \mathbf{x}^T \mathbf{P} \dot{\mathbf{x}} \\ &= \frac{1}{2} (\mathbf{A}\mathbf{x} + \mathbf{b}(u_{\text{fuzz}} - u^* + u_s))^T \mathbf{P} \mathbf{x} + \frac{1}{2} \mathbf{x}^T \mathbf{P} (\mathbf{A}\mathbf{x} + \mathbf{b}(u_{\text{fuzz}} - u^* + u_s)) \\ &= \frac{1}{2} \mathbf{x}^T (\mathbf{A}^T \mathbf{P} + \mathbf{P} \mathbf{A}) \mathbf{x} + \frac{1}{2} \mathbf{b}^T \mathbf{P} \mathbf{x} (u_{\text{fuzz}} - u^* + u_s) + \frac{1}{2} \mathbf{x}^T \mathbf{P} \mathbf{b} (u_{\text{fuzz}} - u^* + u_s) \end{aligned}$$

$$= -\frac{1}{2} \mathbf{x}^T \mathbf{Q} \mathbf{x} + \mathbf{x}^T \mathbf{P} \mathbf{b} (u_{\text{fuzz}} - u^* + u_s)$$

可得

$$\dot{V} \leq -\frac{1}{2} \mathbf{x}^T \mathbf{Q} \mathbf{x} + |\mathbf{x}^T \mathbf{P} \mathbf{b}| (|u_{\text{fuzz}}| + |u^*|) + \mathbf{x}^T \mathbf{P} \mathbf{b} u_s$$

为保证 $\dot{V} \leq 0$, 设计监督控制项 u_s 为

$$u_s(\mathbf{x}) = -\text{sgn}(\mathbf{x}^T \mathbf{P} \mathbf{b}) \left(\frac{1}{g_L} (f^U + |\mathbf{k}^T \mathbf{x}|) + |u_{\text{fuzz}}| \right) \quad (4.61)$$

则

$$\begin{aligned} \dot{V} &\leq -\frac{1}{2} \mathbf{x}^T \mathbf{Q} \mathbf{x} + |\mathbf{x}^T \mathbf{P} \mathbf{b}| (|u_{\text{fuzz}}| + |u^*|) - |\mathbf{x}^T \mathbf{P} \mathbf{b}| \left(\frac{1}{g_L} (f^U + |\mathbf{k}^T \mathbf{x}|) + |u_{\text{fuzz}}| \right) \\ &\leq -\frac{1}{2} \mathbf{x}^T \mathbf{Q} \mathbf{x} \leq 0 \end{aligned} \quad (4.62)$$

式(4.53)中的 I^* 是一个阶跃函数, 每到 \mathbf{x} 碰到边界 $\|\mathbf{x}\| = M_x$ 时, 监督控制器就开始工作, 每当 \mathbf{x} 回到约束条件 $\|\mathbf{x}\| = M_x$ 的内部时, 监督控制器就停止工作, 因此系统在跨越边界时将受到冲击。克服这种“振荡”的一个办法就是, 令 I^* 在 $0 \sim 1$ 连续变化。可以选择如下:

$$I^* = \begin{cases} 0 & \|\mathbf{x}\| < a \\ \frac{\|\mathbf{x}\| - a}{M_x - a} & a \leq \|\mathbf{x}\| < M_x \\ 1 & \|\mathbf{x}\| \geq M_x \end{cases} \quad (4.63)$$

其中, $a \in (0, M_x)$ 为设计者给定的一个常数。 I^* 形如式(4.51), 则当 \mathbf{x} 从 a 变到 M_x 时, 监督控制器 u_s 将从停止状态连续变化到“最大值”1。

通过上述分析可知, 通过设计监督控制器 u_s , 可以保证 $\|\mathbf{x}\| \leq M_x$ 。

根据 LaSalle 不变性原理, 由式(4.62)可知, 当 $\dot{V} \equiv 0$ 时, $\mathbf{x} \equiv 0$, 则 $t \rightarrow \infty$ 时, $\mathbf{x} \rightarrow 0$ 。系统的收敛速度取决于 \mathbf{Q} 。

4.3.4 仿真实例

被控对象取单级倒立摆, 如图 4-11 所示, 其控制目标为使摆直立, 并保证静止。单级倒立摆动态方程为

$$\begin{cases} \dot{x}_1 = x_2 \\ \dot{x}_2 = \frac{g \sin x_1 - \frac{m l x_2^2 \cos x_1 \sin x_1}{m_c + m}}{l \left(\frac{4}{3} - \frac{m \cos^2 x_1}{m_c + m} \right)} + \frac{\frac{\cos x_1}{m_c + m} u}{l \left(\frac{4}{3} - \frac{m \cos^2 x_1}{m_c + m} \right)} \end{cases}$$

其中, x_1 和 x_2 分别为摆角和摆速, $g=9.8$, $m_c=1$ 为小车质量, m 为摆杆质量, $m=0.1$, l 为摆长的一半, $l=\frac{1}{2}L$, $l=0.5$, u 为控制输入。

模糊控制 u_{fuzz} 是依据以下 4 条模糊规则设计的:

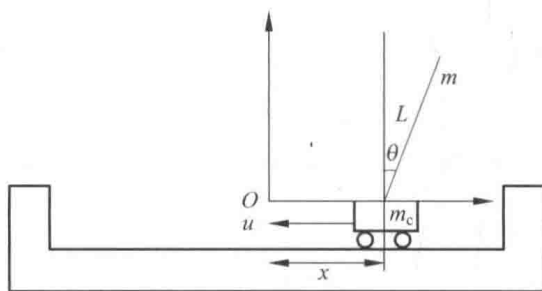


图 4-11 单级倒立摆系统示意图

- (1) 如果 x_1 是正且 x_2 是正, 则 u 是负最大值。
- (2) 如果 x_1 是正且 x_2 是负, 则 u 是零。
- (3) 如果 x_1 是负且 x_2 是正, 则 u 是零。
- (4) 如果 x_1 是负且 x_2 是负, 则 u 是正最大值。

模糊集“正”“负”“负最大值”“零”和“正最大值”的隶属函数分别为 $\mu_{\text{正}}(x) = \frac{1}{1+e^{-30x}}$,

$$\mu_{\text{负}}(x) = \frac{1}{1+e^{30x}}, \mu_{\text{负最大值}}(u) = e^{-(u+5)^2}, \mu_{\text{零}}(u) = e^{-u^2}, \mu_{\text{正最大值}}(u) = e^{-(u-5)^2}。$$

要设计监督控制器, 首先要确定边界 f^U 和 g_L 。对本系统, 如果要求 $|x_1| \leq \pi/9$, 则有

$$\begin{aligned} |f(x_1, x_2)| &= \left| \frac{g \sin x_1 - \frac{m l x_2^2 \cos x_1 \sin x_1}{m_c + m}}{l \left(\frac{4}{3} - \frac{m \cos^2 x_1}{m_c + m} \right)} \right| \leq \frac{9.8 + \frac{0.1 \times 0.5 \times 0.5 \sin(2x_1)}{1 + 0.1} x_2^2}{0.5 \times \left(\frac{4}{3} - \frac{0.1 \cos^2 x_1}{1 + 0.1} \right)} \\ &\leq \frac{9.8 + \frac{0.025}{1.1} x_2^2}{\frac{2}{3} - \frac{0.05}{1.1}} \\ &= 15.78 + 0.0366 x_2^2 = f^U(x_1, x_2) \end{aligned}$$

$$\begin{aligned} |g(x_1, x_2)| &= \frac{\frac{\cos x_1}{m_c + m}}{l \left(\frac{4}{3} - \frac{m \cos^2 x_1}{m_c + m} \right)} = \frac{\frac{\cos(\pi/9)}{0.1 + 1}}{0.5 \times \left(\frac{4}{3} - \frac{0.1}{1.1} \cos^2 x_1 \right)} \\ &\geq \frac{\cos(\pi/9)}{1.1 \times \left(\frac{2}{3} + \frac{0.05}{1.1} \cos^2 \pi \right)} = 1.1 = g_L(x_1, x_2) \end{aligned}$$

控制的目标是能将任意初始角度 $x_1 \in [-\pi/9, \pi/9]$ 的倒立摆控制到平衡点, 取 $x_2(0) = 0$, 则 $\|(x_1, x_2)\|_2 \leq \pi/9$, 取 $M_x = \pi/9$ 。

采用乘积推理机, 单值模糊器和中心平均解模糊器, 根据 $M = N_1 \times N_2$ ($N_1 = 2, N_2 = 2$) 条规则来构造模糊控制器 u_{fuzz} 。由四条规则的结论可知: $\bar{y}^{11} = -5, \bar{y}^{12} = 0, \bar{y}^{21} = 0, \bar{y}^{22} = 5$, 则由式(4.50)得模糊控制器为

$$u_{\text{fuzz}} = \frac{\bar{y}^{11} \mu_{\text{正}}(x_1) \mu_{\text{正}}(x_2) + \bar{y}^{21} \mu_{\text{负}}(x_1) \mu_{\text{正}}(x_2) + \bar{y}^{12} \mu_{\text{正}}(x_1) \mu_{\text{负}}(x_2) + \bar{y}^{22} \mu_{\text{负}}(x_1) \mu_{\text{负}}(x_2)}{\mu_{\text{正}}(x_1) \mu_{\text{正}}(x_2) + \mu_{\text{负}}(x_1) \mu_{\text{正}}(x_2) + \mu_{\text{正}}(x_1) \mu_{\text{负}}(x_2) + \mu_{\text{负}}(x_1) \mu_{\text{负}}(x_2)}$$

$$\begin{aligned}
 &= \frac{-5\mu_{\text{正}}(x_1)\mu_{\text{正}}(x_2) + 5\mu_{\text{负}}(x_1)\mu_{\text{负}}(x_2)}{\mu_{\text{正}}(x_1)\mu_{\text{正}}(x_2) + \mu_{\text{负}}(x_1)\mu_{\text{正}}(x_2) + \mu_{\text{正}}(x_1)\mu_{\text{负}}(x_2) + \mu_{\text{负}}(x_1)\mu_{\text{负}}(x_2)} \\
 &= \frac{-5 \frac{1}{1+e^{-30x}} \frac{1}{1+e^{-30x}} + 5 \frac{1}{1+e^{30x}} \frac{1}{1+e^{30x}}}{\frac{1}{1+e^{-30x}} \frac{1}{1+e^{-30x}} + \frac{1}{1+e^{30x}} \frac{1}{1+e^{-30x}} + \frac{1}{1+e^{-30x}} \frac{1}{1+e^{30x}} + \frac{1}{1+e^{30x}} \frac{1}{1+e^{30x}}}
 \end{aligned}$$

根据隶属函数设计程序,可得到隶属函数图,如图 4-12 和图 4-13 所示。倒立摆初始状态为 $[\pi/60, 0]$,采用控制律式(4.50)、式(4.53)、式(4.61)。取 $Q = \begin{bmatrix} 10 & 0 \\ 0 & 10 \end{bmatrix}$, $k_1=2, k_2=1$,则求解 Lyapunov 方程式(4.60)得: $P = \begin{bmatrix} 15 & 5 \\ 5 & 5 \end{bmatrix}$ 。考虑 $x_1(0)=\pi/60$,可取 $x_2(0)=0, M_x=\pi/9$, $a=\pi/18$,仿真结果如图 4-14~图 4-16 所示。

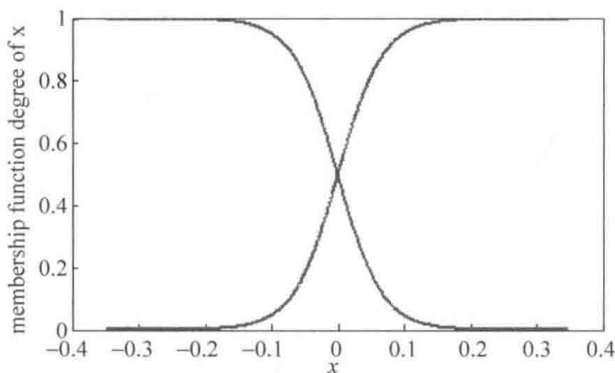
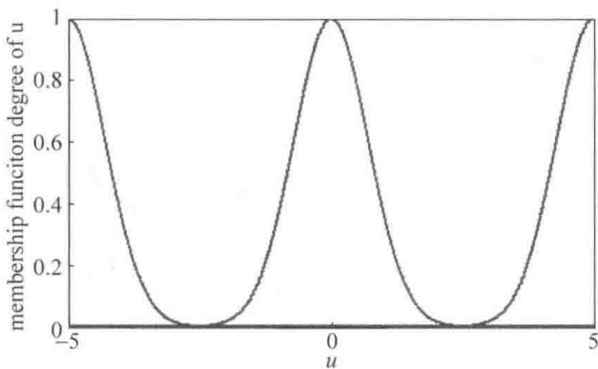
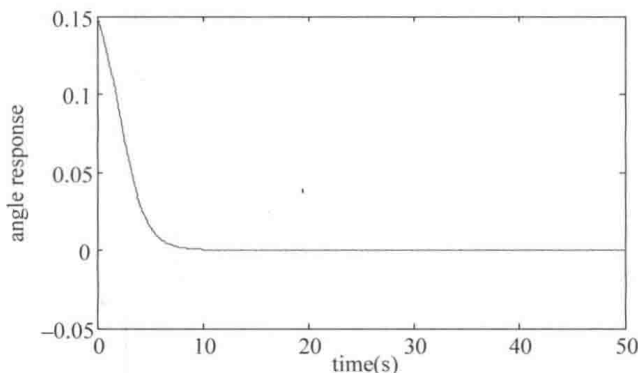

 图 4-12 角度 x_1 的隶属函数

 图 4-13 控制输入 u 的隶属函数


图 4-14 角度响应

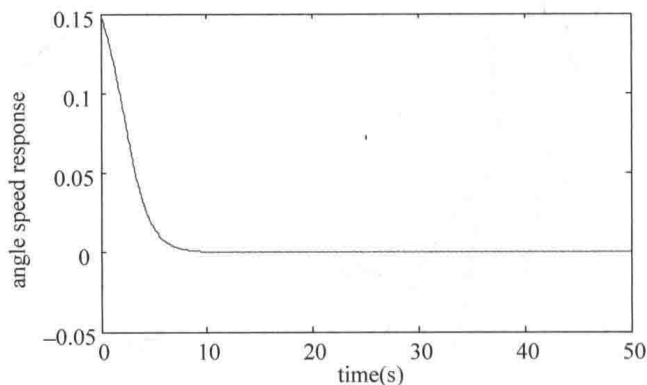
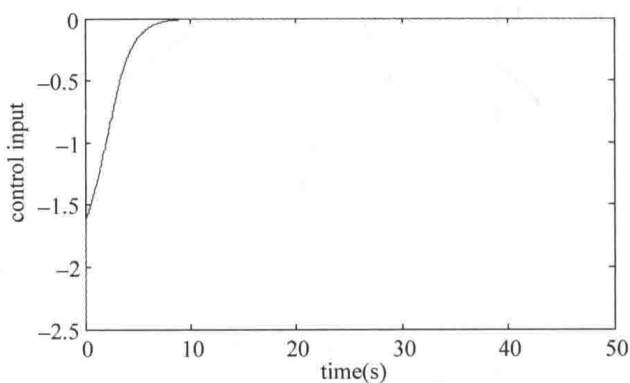


图 4-15 角速度响应

图 4-16 控制输入信号 u

仿真程序如下：

(1) 隶属函数设计程序：chap4_3mf.m。

```
clear all;
close all;
T = 0.001;

x = -pi/9:T:pi/9;
figure(1);
for i = 1:1:2
    if i == 1
        niux = 1./(1 + exp(- 30 * x));
    elseif i == 2
        niux = 1./(1 + exp(30 * x));
    end
    hold on;
    plot(x,niux);
end
xlabel('x');ylabel('membership function degree of x');

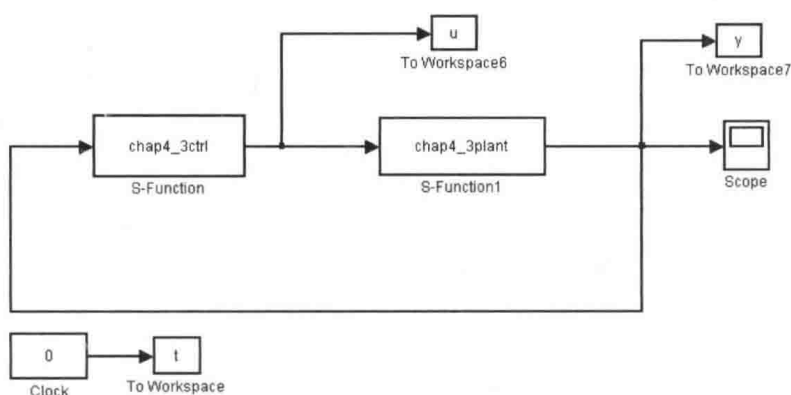
u = -5:T:5;
figure(2);
for i = 1:1:3
```

```

if i == 1
    niuu = exp(-(u + 5).^2);
elseif i == 2
    niuu = exp(-u.^2);
elseif i == 3
    niuu = exp(-(u - 5).^2);
end
hold on;
plot(u, niuu);
end
xlabel('u'); ylabel('membership function degree of u');

```

(2) Simulink 主程序: chap4_3sim.mdl。



(3) 控制器 S 函数: chap4_3ctrl.m。

```

function [sys,x0,str,ts] = spacemodel(t,x,u,flag)
switch flag,
case 0,
    [sys,x0,str,ts] = mdlInitializeSizes;
case 3,
    sys = mdlOutputs(t,x,u);
case {2,4,9}
    sys = [];
otherwise
    error(['Unhandled flag = ',num2str(flag)]);
end
function [sys,x0,str,ts] = mdlInitializeSizes
sizes = simsizes;
sizes.NumContStates = 0;
sizes.NumDiscStates = 0;
sizes.NumOutputs = 3;
sizes.NumInputs = 2;
sizes.DirFeedthrough = 1;
sizes.NumSampleTimes = 0;
sys = simsizes(sizes);
x0 = [];
str = [];
ts = [];

```

```

function sys = mdlOutputs(t,x,u)
x1 = u(1);
x2 = u(2);

k1 = 2;k2 = 1;
k = [k2;k1];
%%%%%%%%%%%%%%%%%%%%%%%%%%%%%%%%%%%%%%%%%%%%%%%%%%%%%%%%%%%%%%%%%%%%%%%%
u1_1 = 1/(1 + exp(- 30 * x1));
u1_2 = 1/(1 + exp(30 * x1));

u2_1 = 1/(1 + exp(- 30 * x2));
u2_2 = 1/(1 + exp(30 * x2));

Fnum = - 5 * u1_1 * u2_1 + 5 * u1_2 * u2_2;
Fden = u1_1 * u2_1 + u1_2 * u2_1 + u1_1 * u2_2 + u1_2 * u2_2;
ufuzz = Fnum/Fden;
%%%%%%%%%%%%%%%%%%%%%%%%%%%%%%%%%%%%%%%%%%%%%%%%%%%%%%%%%%%%%%%%%%%%%%%%
A = [0 -k2;
     1 -k1];
Q = [10 0;0 10];
P = lyap(A,Q);

b = [0;1];
x = [x1;x2];

gL = 1.1;
fU = 15.78 + 0.0366 * x2^2;
us = - sign(x' * P * b) * (1/gL * (fU + abs(k' * x)) + abs(ufuzz));

a = pi/18;
Mx = pi/9;

S = 1;
if S == 1
    if norm(x) >= Mx
        I = 1;
    else
        I = 0;
    end
elseif S == 2
    if norm(x) < a
        I = 0;
    elseif norm(x) < Mx & norm(x) >= a
        I = (norm(x) - a) / (Mx - a);
    else
        I = 1;
    end
end

ut = ufuzz + I * us;
sys(1) = ufuzz;
sys(2) = us;

```

```
sys(3) = ut;
```

(4) 被控对象 S 函数: chap4_3plant.m。

```
function [sys,x0,str,ts] = s_function(t,x,u,flag)
switch flag,
case 0,
    [sys,x0,str,ts] = mdlInitializeSizes;
case 1,
    sys = mdlDerivatives(t,x,u);
case 3,
    sys = mdlOutputs(t,x,u);
case {2, 4, 9}
    sys = [];
otherwise
    error(['Unhandled flag = ',num2str(flag)]);
end
function [sys,x0,str,ts] = mdlInitializeSizes
sizes = simsizes;
sizes.NumContStates = 2;
sizes.NumDiscStates = 0;
sizes.NumOutputs = 2;
sizes.NumInputs = 3;
sizes.DirFeedthrough = 0;
sizes.NumSampleTimes = 0;
sys = simsizes(sizes);
x0 = [pi/60 0];
str = [];
ts = [];
function sys = mdlDerivatives(t,x,u)
g = 9.8;
mc = 1.0;
m = 0.1;
l = 0.5;

S = 1 * (4/3 - m * (cos(x(1)))^2/(mc + m));
fx = g * sin(x(1)) - m * l * x(2)^2 * cos(x(1)) * sin(x(1))/(mc + m);
fx = fx/S;
gx = cos(x(1))/(mc + m);
gx = gx/S;

ut = u(3);
sys(1) = x(2);
sys(2) = fx + gx * ut;
function sys = mdlOutputs(t,x,u)
sys(1) = x(1);
sys(2) = x(2);
```

(5) 作图程序: chap4_3plot.m。

```
close all;
```

```

figure(1);
plot(t,y(:,1),'r');
xlabel('time(s)');ylabel('angle response');
figure(2);
plot(t,y(:,1),'r');
xlabel('time(s)');ylabel('angle speed response');
figure(3);
subplot(311);
plot(t,u(:,1),'r');
xlabel('time(s)');ylabel('control input ufuzz');
subplot(312);
plot(t,u(:,2),'r');
xlabel('time(s)');ylabel('control input us');
subplot(313);
plot(t,u(:,3),'r');
xlabel('time(s)');ylabel('control input ut');

```

4.4 基于模糊补偿的机械手自适应模糊控制

通过对文献[2]的部分控制方法进行详细推导及仿真分析,研究基于模糊补偿的机械手控制的设计方法。由于传统的模糊自适应控制方法对于存在较大扰动等外界因素时,控制效果较差。为了减弱这些外界干扰因素的影响,可以采用模糊补偿器,同时为了减少模糊逼近的计算量,提高运算效率,采用对不同的扰动补偿项加以区分、分别逼近的方法。仿真试验表明这种改进的带模糊补偿器的自适应模糊控制方法可以很好地抑制摩擦、扰动、负载变化等因素影响。

4.4.1 系统描述

机械手的动态方程为

$$D(q)\ddot{q} + C(q, \dot{q})\dot{q} + G(q) + F(q, \dot{q}, \ddot{q}) = \tau \quad (4.64)$$

其中, $D(q)$ 为惯性力矩, $C(q, \dot{q})$ 是向心力和哥氏力矩, $G(q)$ 是重力项, $F(q, \dot{q}, \ddot{q})$ 是由摩擦 F_r 、扰动 τ_d 、负载变化的不确定项组成, q 为关节角度。

4.4.2 基于传统模糊补偿的控制

假设 $D(q)$ 、 $C(q, \dot{q})$ 和 $G(q)$ 已知, 且所有状态变量可测得。

定义滑模函数为

$$s = \dot{\bar{q}} + \Lambda \bar{q} \quad (4.65)$$

其中, Λ 为正定阵, $\bar{q}(t)$ 为跟踪误差, $\bar{q} = q - q_d$, q_d 为理想角度。

定义

$$\dot{\bar{q}}_r(t) = \dot{\bar{q}}_d(t) - \Lambda \bar{q}(t) \quad (4.66)$$

定义 Lyapunov 函数

$$V(t) = \frac{1}{2} \left(s^T D s + \sum_{i=1}^n \bar{\Theta}_i^T \Gamma_i \bar{\Theta}_i \right) \quad (4.67)$$

其中, $\tilde{\Theta}_i = \Theta_i^* - \Theta_i$, Θ_i^* 为理想参数, $\Gamma_i > 0$ 。

由于 $s = \dot{\tilde{q}} + \Lambda \tilde{q} = \dot{q} - \dot{q}_d + \Lambda \tilde{q} = \dot{q} - \dot{q}_r$, 则

$$\begin{aligned} s &= \dot{\tilde{q}} + \Lambda \tilde{q} = \dot{q} - \dot{q}_d + \Lambda \tilde{q} = \dot{q} - \dot{q}_r \\ D\dot{s} &= D\ddot{q} - D\ddot{q}_r = \tau - C\dot{q} - G - F - D\ddot{q}_r \end{aligned}$$

于是

$$\begin{aligned} \dot{V}(t) &= s^T D\dot{s} + \frac{1}{2} s^T \dot{D}s + \sum_{i=1}^n \tilde{\Theta}_i^T \Gamma_i \dot{\tilde{\Theta}}_i \\ &= -s^T [-\tau + C\dot{q} + G + F(q, \dot{q}, \ddot{q}) + D\ddot{q}_r - Cs] + \sum_{i=1}^n \tilde{\Theta}_i^T \Gamma_i \dot{\tilde{\Theta}}_i \\ &= -s^T [D\ddot{q}_r + C\dot{q}_r + G + F(q, \dot{q}, \ddot{q}) - \tau] + \sum_{i=1}^n \tilde{\Theta}_i^T \Gamma_i \dot{\tilde{\Theta}}_i \end{aligned} \quad (4.68)$$

其中, $F(q, \dot{q}, \ddot{q})$ 为未知非线性函数, 采用基于 MIMO 的模糊系统 $\hat{F}(q, \dot{q}, \ddot{q} | \Theta)$ 来逼近 $F(q, \dot{q}, \ddot{q})$ 。

下面设计两种基于模糊补偿的自适应控制律。

1. 自适应控制律的设计

设计控制律为

$$\tau = D(q)\ddot{q}_r + C(q, \dot{q})\dot{q}_r + G(q) + \hat{F}(q, \dot{q}, \ddot{q} | \Theta) - K_D s \quad (4.69)$$

其中, $K_D = \text{diag}(K_i)$, $K_i > 0$, $i = 1, 2, \dots, n$, 且

$$\hat{F}(q, \dot{q}, \ddot{q} | \Theta) = \begin{bmatrix} \hat{F}_1(q, \dot{q}, \ddot{q} | \Theta_1) \\ \hat{F}_2(q, \dot{q}, \ddot{q} | \Theta_2) \\ \vdots \\ \hat{F}_n(q, \dot{q}, \ddot{q} | \Theta_n) \end{bmatrix} = \begin{bmatrix} \Theta_1^T \xi(q, \dot{q}, \ddot{q}) \\ \Theta_2^T \xi(q, \dot{q}, \ddot{q}) \\ \vdots \\ \Theta_n^T \xi(q, \dot{q}, \ddot{q}) \end{bmatrix} \quad (4.70)$$

模糊逼近误差为

$$w = F(q, \dot{q}, \ddot{q}) - \hat{F}(q, \dot{q}, \ddot{q} | \Theta^*) \quad (4.71)$$

将控制律式(4.69)代入式(4.68), 得

$$\begin{aligned} \dot{V}(t) &= -s^T (F(q, \dot{q}, \ddot{q}) - \hat{F}(q, \dot{q}, \ddot{q} | \Theta) + K_D s) + \sum_{i=1}^n \tilde{\Theta}_i^T \Gamma_i \dot{\tilde{\Theta}}_i \\ &= -s^T (F(q, \dot{q}, \ddot{q}) - \hat{F}(q, \dot{q}, \ddot{q} | \Theta) + \hat{F}(q, \dot{q}, \ddot{q} | \Theta^*) - \\ &\quad \hat{F}(q, \dot{q}, \ddot{q} | \Theta^*) + K_D s) + \sum_{i=1}^n \tilde{\Theta}_i^T \Gamma_i \dot{\tilde{\Theta}}_i \\ &= -s^T (\tilde{\Theta}^T \xi(q, \dot{q}, \ddot{q}) + w + K_D s) + \sum_{i=1}^n \tilde{\Theta}_i^T \Gamma_i \dot{\tilde{\Theta}}_i \\ &= -s^T K_D s - s^T w + \sum_{i=1}^n (\tilde{\Theta}_i^T \Gamma_i \dot{\tilde{\Theta}}_i - s_i \tilde{\Theta}_i^T \xi(q, \dot{q}, \ddot{q})) \end{aligned}$$

其中, $\tilde{\Theta} = \Theta^* - \Theta$, $\xi(q, \dot{q}, \ddot{q})$ 为模糊系统。

自适应律为

$$\dot{\Theta}_i = -\Gamma_i^{-1} s_i \xi(q, \dot{q}, \ddot{q}), \quad i = 1, 2, \dots, n \quad (4.72)$$

则

$$\dot{V}(t) = -s^T K_D s - s^T w$$

只要将 K_D 设计足够大,可保证 $\dot{V} \leq 0, t \rightarrow \infty$ 时, $s \rightarrow 0$, 从而 $\tilde{q} \rightarrow 0, \dot{\tilde{q}} \rightarrow 0$ 。系统的收敛速度取决于 K_D 。由于 $V \geq 0, \dot{V} \leq 0$, 则 V 有界, 因此 s 和 $\tilde{\Theta}_i$ 有界, 但无法保证 $\tilde{\Theta}_i$ 收敛于零。

2. 鲁棒自适应控制律

为了消除逼近误差造成的影响, 保证系统稳定, 在控制律中采用了鲁棒项。设计鲁棒自适应律为

$$\tau = D(q)\ddot{q}_r + C(q, \dot{q})\dot{q}_r + G(q) + \hat{F}(q, \dot{q}, \ddot{q} | \Theta) - K_D s - W \operatorname{sgn}(s) \quad (4.73)$$

其中, $W = \operatorname{diag}[w_{M_1}, w_{M_2}, \dots, w_{M_n}]$, $w_{M_i} \geq |w_i|, i = 1, 2, \dots, n$ 。

将控制律式(4.73)代入式(4.68), 得

$$\dot{V}(t) = -s^T K_D s \leq 0$$

收敛性分析同上面第1部分。

分析: 假设机械手关节个数为 n 个, 如果采用基于 MIMO 的模糊系统 $\hat{F}(q, \dot{q}, \ddot{q} | \Theta)$ 来逼近 $F(q, \dot{q}, \ddot{q})$, 则对每个关节来说, 输入变量个数为 3。如果针对 n 个关节机械手, 对每个输入变量设计 k 个隶属函数, 则规则总数为 k^{3n} 。

例如, 机械手关节个数为 2, 每个关节输入变量个数为 3, 每个输入变量设计 5 个隶属函数, 则规则总数为 $5^{3 \times 2} = 5^6 = 15625$, 如此多的模糊规则会导致计算量过大。为了减少模糊规则的个数, 应针对 $F(q, \dot{q}, \ddot{q}, t)$ 的具体表达形式分别进行设计。

4.4.3 基于模型信息已知的模糊补偿控制

假设 $D(q)$ 、 $C(q, \dot{q})$ 和 $G(q)$ 为已知, 且所有状态变量可测得。

1. 基于摩擦的模糊补偿控制

只考虑针对摩擦进行模糊逼近的模糊补偿控制, 由于摩擦力只与速度信号有关, 则用于逼近摩擦的模糊系统可表示为 $\hat{F}(\dot{q} | \theta)$, 可根据基于传统模糊补偿的控制器设计方法, 即用式(4.69)、式(4.72)和式(4.73)设计控制律。

模糊自适应控制律设计为

$$\tau = D(q)\ddot{q}_r + C(q, \dot{q})\dot{q}_r + G(q) + \hat{F}(\dot{q} | \theta) - K_D s \quad (4.74)$$

鲁棒模糊自适应控制律设计为

$$\tau = D(q)\ddot{q}_r + C(q, \dot{q})\dot{q}_r + G(q) + \hat{F}(\dot{q} | \theta) - K_D s - W \operatorname{sgn}(s) \quad (4.75)$$

自适应律设计为

$$\dot{\theta}_i = -\Gamma_i^{-1} s_i \xi(\dot{q}), \quad i = 1, 2, \dots, n \quad (4.76)$$

模糊系统设计为

$$\hat{F}(\dot{q}|\theta) = \begin{bmatrix} \hat{F}_1(\dot{q}_1) \\ \hat{F}_2(\dot{q}_2) \\ \vdots \\ \hat{F}_n(\dot{q}_n) \end{bmatrix} = \begin{bmatrix} \theta_1^T \xi^1(\dot{q}_1) \\ \theta_2^T \xi^2(\dot{q}_2) \\ \vdots \\ \theta_n^T \xi^n(\dot{q}_n) \end{bmatrix}$$

2. 基于外加干扰的模糊补偿控制

只考虑针对外加干扰进行模糊逼近的模糊补偿控制,如果外加干扰与角度和角速度信号有关,则用于逼近外加干扰的模糊系统可表示为 $\hat{F}(q, \dot{q}|\Theta)$,可根据基于传统模糊补偿的控制器设计方法,即用式(4.69)、式(4.72)和式(4.73)设计控制律。

模糊自适应控制律设计为

$$\tau = D(q)\ddot{q}_r + C(q, \dot{q})\dot{q}_r + G(q) + \hat{F}(q, \dot{q}|\Theta) - K_D s \quad (4.77)$$

鲁棒模糊自适应控制律设计为

$$\tau = D(q)\ddot{q}_r + C(q, \dot{q})\dot{q}_r + G(q) + \hat{F}(q, \dot{q}|\Theta) - K_D s - W \operatorname{sgn}(s) \quad (4.78)$$

自适应律设计为

$$\dot{\Theta}_i = -\Gamma_i^{-1} s_i \xi(q, \dot{q}), \quad i = 1, 2, \dots, n \quad (4.79)$$

模糊系统设计为

$$\hat{F}(q, \dot{q}|\Theta) = \begin{bmatrix} \hat{F}_1(q, \dot{q}|\Theta_1) \\ \hat{F}_2(q, \dot{q}|\Theta_2) \\ \vdots \\ \hat{F}_n(q, \dot{q}|\Theta_n) \end{bmatrix} = \begin{bmatrix} \Theta_1^T \xi(q, \dot{q}) \\ \Theta_2^T \xi(q, \dot{q}) \\ \vdots \\ \Theta_n^T \xi(q, \dot{q}) \end{bmatrix}$$

3. 基于摩擦、外加干扰和负载变化的模糊补偿控制

考虑机械手不确定部分同时包括摩擦、外加干扰和负载变化的情况,由于负载变化与加速度有关,则用于逼近外加干扰的模糊系统可表示为 $\hat{F}(q, \dot{q}, \ddot{q}|\Theta)$,为了减少模糊规则的数量,将不确定项 $F(q, \dot{q}, \ddot{q}|\Theta)$ 进行分解,并根据基于传统模糊补偿的控制器设计方法,即用式(4.69)、式(4.72)和式(4.73)设计控制律。

机械手动态方程为

$$D(q)\ddot{q} + C(q, \dot{q})\dot{q} + G(q) + e(q, \dot{q}, \ddot{q}, t) + F_r(\dot{q}) + \tau_d = \tau \quad (4.80)$$

其中,

$$D(q) = D(m_n, q)$$

$$C(q, \dot{q}) = C(m_n, q, \dot{q})$$

$$G(q) = G(m_n, q)$$

$$e(q, \dot{q}, \ddot{q}, t) = e_D[D(q)\ddot{q}] + e_C[C(q, \dot{q})\dot{q}] + e_G[G(q)]$$

而且

$$\begin{aligned}
e_D &= D(m_{nc}, q)\ddot{q} - D(m_n, q)\ddot{q} \\
e_C &= C(m_{nc}, q, \dot{q})\dot{q} - C(m_n, q, \dot{q})\dot{q} \\
e_G &= G(m_{nc}, q) - G(m_n, q) \\
e(q, \dot{q}, \ddot{q}) &= e_D[D(q)\ddot{q}] + e_C[C(q, \dot{q})\dot{q}] + e_G[G(q)]
\end{aligned}$$

m_n 为已知的名义值, m_{nc} 为实际值。

不确定部分可表示为

$$F(q, \dot{q}, \ddot{q}) = e(q, \dot{q}, \ddot{q}, t) + F_r(\dot{q}) + \tau_d \quad (4.81)$$

上式可分解为

$$F(q, \dot{q}, \ddot{q}) = F^1(q, \dot{q}) + F^2(q, \ddot{q}) \quad (4.82)$$

其中,

$$F^1(q, \dot{q}) = e_C[C(q, \dot{q})\dot{q}] + e_G[G(q)] + F_r(\dot{q}) + \tau_d$$

$$F^2(q, \ddot{q}) = e_D[D(q)\ddot{q}]$$

模糊自适应控制律设计为

$$\tau = D(q)\ddot{q}_r + C(q, \dot{q})\dot{q}_r + G(q) + \hat{F}^1(q, \dot{q} \mid \Theta^1) + \hat{F}^2(q, \dot{q} \mid \Theta^2) - K_D s \quad (4.83)$$

自适应律设计为

$$\dot{\Theta}_i^1 = -\Gamma_{1i}^{-1} s_i \xi^1(q, \dot{q}), \quad i = 1, 2, \dots, n \quad (4.84)$$

$$\dot{\Theta}_i^2 = -\Gamma_{2i}^{-1} s_i \xi^2(q, \ddot{q}), \quad i = 1, 2, \dots, n \quad (4.85)$$

定义 Lyapunov 函数为

$$V(t) = \frac{1}{2} \left(s^T D s + \sum_{i=1}^n \tilde{\Theta}_i^{1T} \Gamma_{1i} \tilde{\Theta}_i^1 + \sum_{i=1}^n \tilde{\Theta}_i^{2T} \Gamma_{2i} \tilde{\Theta}_i^2 \right)$$

则

$$\dot{V}(t) = -s^T (D\ddot{q}_r + C\dot{q}_r + G + F - \tau) + \sum_{i=1}^n \tilde{\Theta}_i^{1T} \Gamma_{1i} \dot{\tilde{\Theta}}_i^1 + \sum_{i=1}^n \tilde{\Theta}_i^{2T} \Gamma_{2i} \dot{\tilde{\Theta}}_i^2$$

模糊逼近误差分别为

$$w^1 = F^1(q, \dot{q}) - \hat{F}^1(q, \dot{q} \mid \Theta^{1*})$$

$$w^2 = F^2(q, \ddot{q}) - \hat{F}^2(q, \ddot{q} \mid \Theta^{2*})$$

则

$$\begin{aligned}
\dot{V}(t) &= -s^T K_D s - s^T (w^1 + w^2) + \sum_{i=1}^n (\tilde{\Theta}_i^{1T} \Gamma_{1i} \dot{\tilde{\Theta}}_i^1 - s_i \tilde{\Theta}_i^{1T} \xi^1(q, \dot{q})) + \\
&\quad \sum_{i=1}^n (\tilde{\Theta}_i^{2T} \Gamma_{2i} \dot{\tilde{\Theta}}_i^2 - s_i \tilde{\Theta}_i^{2T} \xi^2(q, \ddot{q})) \\
&= -s^T K_D s - s^T (w^1 + w^2)
\end{aligned}$$

如果设计足够大的 K_D , 则 $t \rightarrow \infty$ 时, $s \rightarrow 0$, 从而 $\ddot{q} \rightarrow 0, \dot{q} \rightarrow 0$ 。系统的收敛速度取决于 K_D 。由于 $V \geq 0, \dot{V} \leq 0$, 则 V 有界, 因此 $\tilde{\Theta}_i^{1T}$ 和 $\tilde{\Theta}_i^{2T}$ 有界, 但无法保证 $\tilde{\Theta}_i^{1T}$ 和 $\tilde{\Theta}_i^{2T}$ 收敛于零。

为了消除逼近误差造成的影响, 设计鲁棒自适应律为

$$\tau = D(q)\ddot{q}_r + C(q, \dot{q})\dot{q}_r + G(q) + \hat{F}^1(q, \dot{q} | \Theta^1) + \hat{F}^2(q, \dot{q} | \Theta^2) - K_D s - W \operatorname{sgn}(s) \quad (4.86)$$

其中, $W = \operatorname{diag}[w_{M_1}, w_{M_2}, \dots, w_{M_n}]$, $w_{M_i} \geq |w_i^1| + |w_i^2|$, $i = 1, 2, \dots, n$ 。

模糊系统设计为

$$\hat{F}(q, \dot{q}, \ddot{q} | \Theta) = \begin{bmatrix} \hat{F}_1^1(q, \dot{q} | \Theta_1^1) + \hat{F}_1^2(q, \dot{q} | \Theta_1^2) \\ \hat{F}_2^1(q, \dot{q} | \Theta_2^1) + \hat{F}_2^2(q, \dot{q} | \Theta_2^2) \\ \vdots \\ \hat{F}_n^1(q, \dot{q} | \Theta_n^1) + \hat{F}_n^2(q, \dot{q} | \Theta_n^2) \end{bmatrix}$$

关于基于模型信息未知的模糊补偿控制的设计及其推导过程详见文献[2], 其仿真设计可参考以下的仿真实例。

4.4.4 仿真实例

针对双关节刚性机械手, 其动力学方程为(4.64), 具体表达如下:

$$\begin{bmatrix} D_{11}(q_2) & D_{12}(q_2) \\ D_{21}(q_2) & D_{22}(q_2) \end{bmatrix} \begin{bmatrix} \ddot{q}_1 \\ \ddot{q}_2 \end{bmatrix} + \begin{bmatrix} -C_{12}(q_2)\dot{q}_2 & -C_{12}(q_2)(\dot{q}_1 + \dot{q}_2) \\ C_{12}(q_2)\dot{q}_1 & 0 \end{bmatrix} \begin{bmatrix} g_1(q_1 + q_2)g \\ g_2(q_1 + q_2)g \end{bmatrix} + F(q, \dot{q}, \ddot{q}) = \begin{bmatrix} \tau_1 \\ \tau_2 \end{bmatrix}$$

其中,

$$D_{11}(q_2) = (m_1 + m_2)r_1^2 + m_2r_2^2 + 2m_2r_1r_2\cos(q_2)$$

$$D_{12}(q_2) = D_{21}(q_2) = m_2r_2^2 + m_2r_1r_2\cos(q_2)$$

$$D_{22}(q_2) = m_2r_2^2$$

$$C_{12}(q_2) = m_2r_1r_2\sin(q_2)$$

令 $y = [q_1, q_2]^T$, $\tau = [\tau_1, \tau_2]^T$, $x = [q_1, \dot{q}_1, q_2, \dot{q}_2]^T$ 。取系统参数为 $r_1 = 1\text{m}$, $r_2 = 0.8\text{m}$, $m_1 = 1\text{kg}$, $m_2 = 1.5\text{kg}$ 。

控制目标是使双关节的输出 q_1, q_2 分别跟踪期望轨迹 $q_{d1} = 0.3\sin t$ 和 $q_{d2} = 0.3\sin t$ 。

定义隶属函数为

$$\mu_{A_i^l}(x_i) = \exp\left(-\left(\frac{x_i - \bar{x}_i^l}{\pi/24}\right)^2\right)$$

其中, \bar{x}_i^l 分别为 $-\pi/6, -\pi/12, 0, \pi/12, \pi/6$; $i = 1, 2, 3, 4, 5$; A_i 分别为 NB, NS, ZO, PS, PB。

仿真实例 1: 针对带有摩擦的情况, 采用基于摩擦模糊补偿的机械手控制, 取控制器设计参数为 $\lambda_1 = 10, \lambda_2 = 10, K_D = 20I, \Gamma_1 = \Gamma_2 = 0.0001$ 。取系统初始状态为 $q_1(0) = q_2(0) =$

$\dot{q}_1(0) = \dot{q}_2(0) = 0$, 取摩擦项 $F(\dot{q}) = \begin{bmatrix} 10\dot{q}_1 + 3\operatorname{sgn}(\dot{q}_1) \\ 10\dot{q}_2 + 3\operatorname{sgn}(\dot{q}_2) \end{bmatrix}$ 。在鲁棒控制律中, 取 $W = \operatorname{diag}[2, 2]$,

模糊系统权值中每个元素初值取 0.1。

仿真中考虑带鲁棒项和不带鲁棒项两种情况, 分别取 $M = 1$ 和 $M = 2$, 采用控制律式(4.74)、鲁棒控制律式(4.75)及自适应律式(4.76)。取 $M = 1$, 仿真结果见图 4-17~图 4-19。

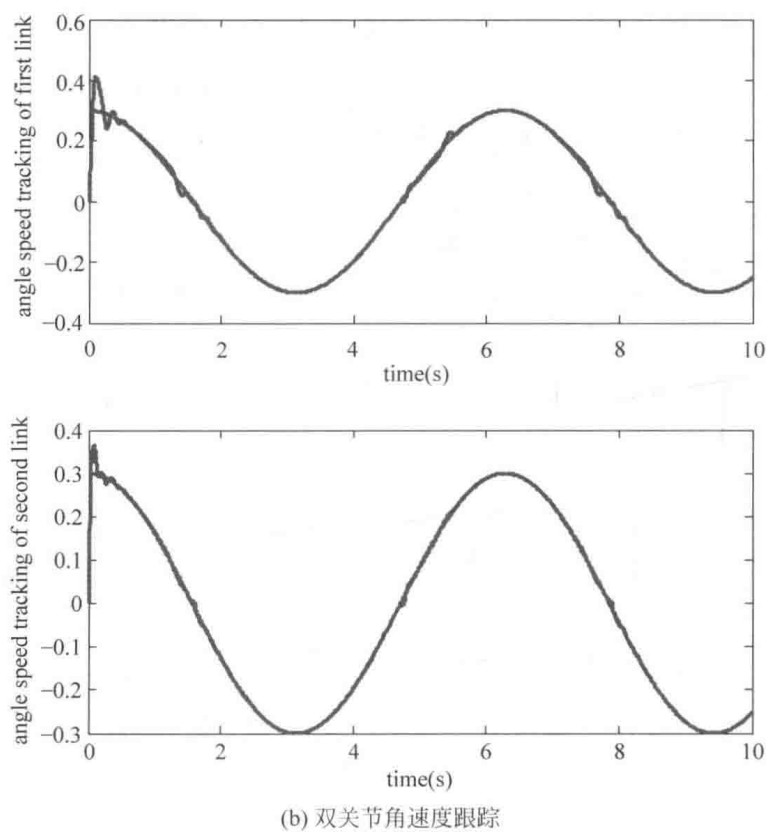
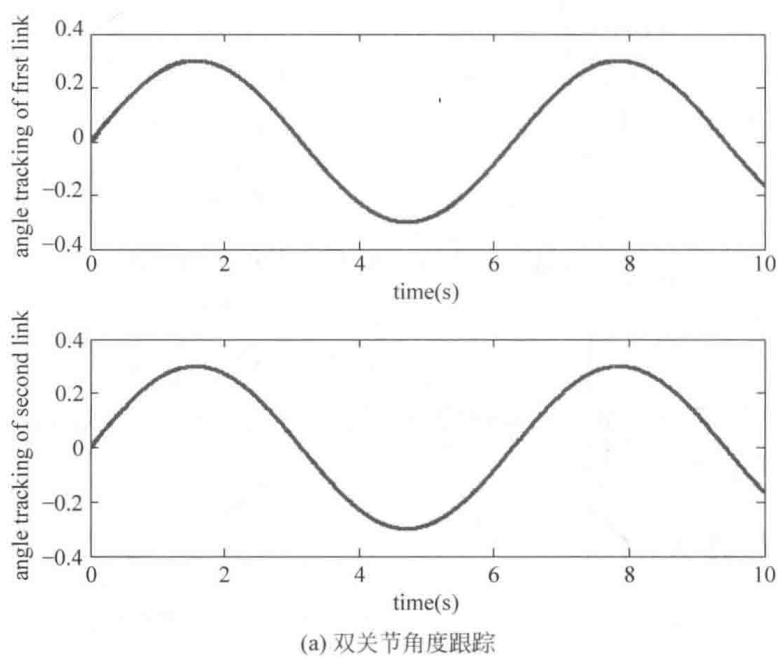


图 4-17 双关节角度与角速度跟踪

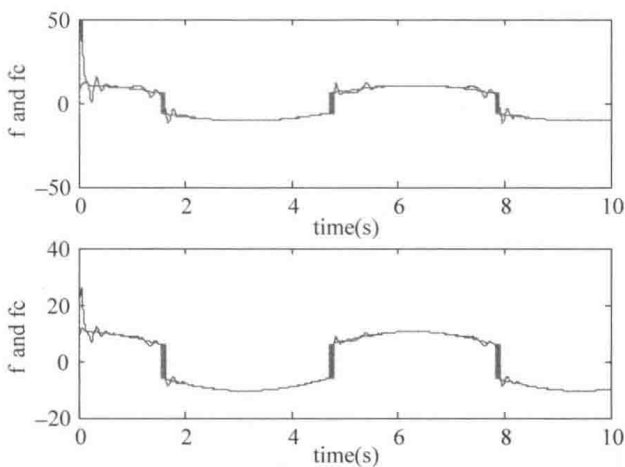


图 4-18 双关节摩擦及其补偿

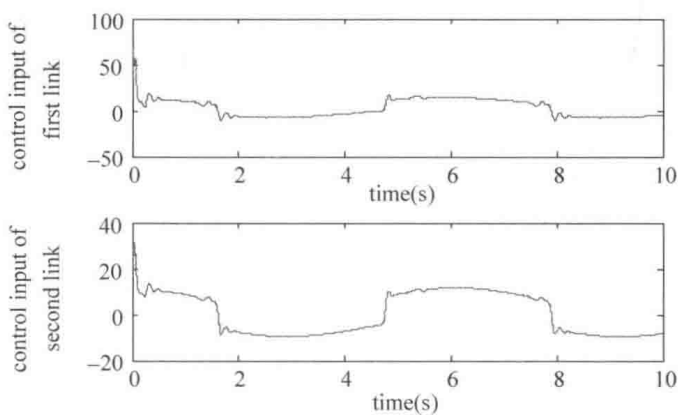
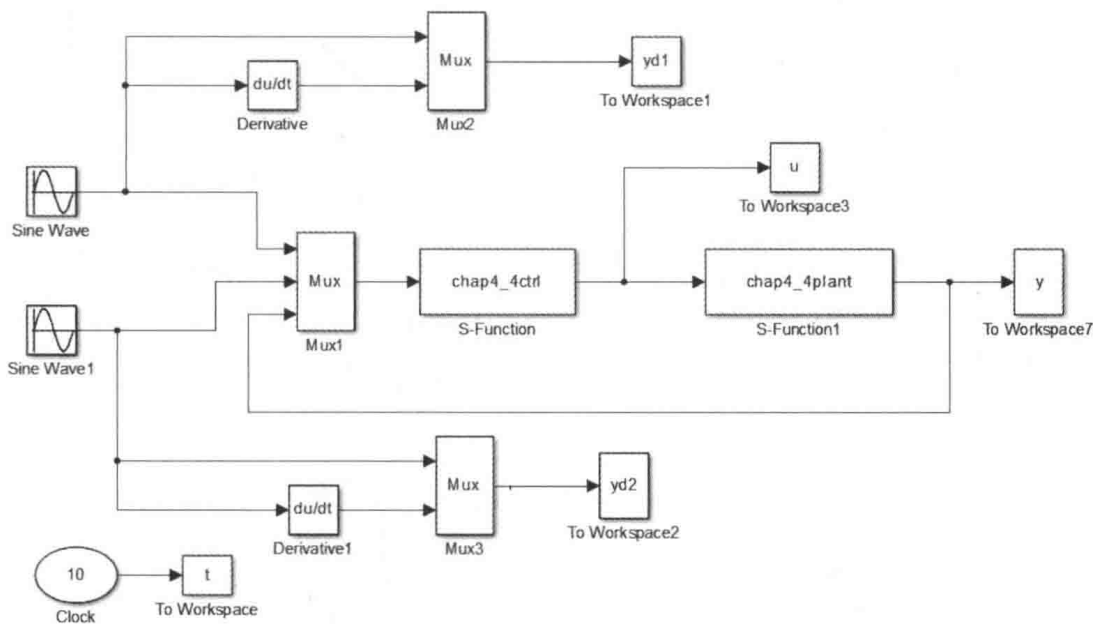


图 4-19 双关节控制输入

基于摩擦模糊补偿的机械手控制的仿真程序如下：

(1) Simulink 主程序：chap4_4sim.mdl。



(2) 控制器 S 函数：chap4_4ctrl.m。

```
function [sys,x0,str,ts] = MIMO_Tong_s(t,x,u,flag)
switch flag,
case 0,
    [sys,x0,str,ts] = mdlInitializeSizes;
case 1,
    sys = mdlDerivatives(t,x,u);
case 3,
    sys = mdlOutputs(t,x,u);
case {2,4,9}
    sys = [];
otherwise
    error(['Unhandled flag = ',num2str(flag)]);
end
function [sys,x0,str,ts] = mdlInitializeSizes
global nm1 nm2 Fai
nm1 = 10;nm2 = 10;
Fai = [nm1 0;0 nm2];
sizes = simsizes;
sizes.NumContStates = 10;
sizes.NumDiscStates = 0;
sizes.NumOutputs = 4;
sizes.NumInputs = 8;
sizes.DirFeedthrough = 1;
sizes.NumSampleTimes = 0;
sys = simsizes(sizes);
x0 = [0.1 * ones(10,1)];
str = [];
ts = [];
function sys = mdlDerivatives(t,x,u)
global nm1 nm2 Fai
qd1 = u(1);
qd2 = u(2);
dq1 = 0.3 * cos(t);
dq2 = 0.3 * cos(t);
dqd = [dq1 dq2]';

ddqd1 = -0.3 * sin(t);
ddqd2 = -0.3 * sin(t);
ddqd = [ddqd1 ddqd2]';

q1 = u(3);dq1 = u(4);
q2 = u(5);dq2 = u(6);
%%%%%%%%%%%%%%%%%%%%%%%%%%%%%%%%%%%%%%%%%%%%%%%%%%%%%%%%%%%%%%%%%%%%%%%%
fsd1 = 0;
for l1 = 1:1:5
    gs1 = - [(dq1 + pi/6 - (l1 - 1) * pi/12)/(pi/24)]^2;
    u1(l1) = exp(gs1);
```

```

end
fsd2 = 0;
for l2 = 1:1:5
    gs2 = -[(dq2 + pi/6 - (l2 - 1) * pi/12)/(pi/24)]^2;
    u2(l2) = exp(gs2);
end
for l1 = 1:1:5
    fsu1(l1) = u1(l1);
    fsd1 = fsd1 + u1(l1);
end
for l2 = 1:1:5
    fsu2(l2) = u2(l2);
    fsd2 = fsd2 + u2(l2);
end
fs1 = fsu1/(fsd1 + 0.001);
fs2 = fsu2/(fsd2 + 0.001);
%%%%%%%%%%%%%%%%%%%%%%%%%%%%%%%%%%%%%%%%%%%%%%%%%%%%%%%%%%%%%%%%%%%%%%%%
e1 = q1 - qd1;
e2 = q2 - qd2;
e = [e1 e2]';
de1 = dq1 - dqd1;
de2 = dq2 - dqd2;
de = [de1 de2]';

s = de + Fai * e;
Gama1 = 0.0001; Gama2 = 0.0001;

S1 = -1/Gama1 * s(1) * fs1;
S2 = -1/Gama2 * s(2) * fs2;
for i = 1:1:5
    sys(i) = S1(i);
end
for j = 6:1:10
    sys(j) = S2(j - 5);
end

function sys = mdlOutputs(t,x,u)
global nm1 nm2 Fai
q1 = u(3); dq1 = u(4);
q2 = u(5); dq2 = u(6);

r1 = 1; r2 = 0.8;
m1 = 1; m2 = 1.5;

D11 = (m1 + m2) * r1^2 + m2 * r2^2 + 2 * m2 * r1 * r2 * cos(q2);
D22 = m2 * r2^2;
D21 = m2 * r2^2 + m2 * r1 * r2 * cos(q2);
D12 = D21;

```



```

D = [D11 D12; D21 D22];

C12 = m2 * r1 * sin(q2);
C = [-C12 * dq2 - C12 * (dq1 + dq2); C12 * q1 0];

g1 = (m1 + m2) * r1 * cos(q2) + m2 * r2 * cos(q1 + q2);
g2 = m2 * r2 * cos(q1 + q2);
G = [g1; g2];

qd1 = u(1);
qd2 = u(2);
dqd1 = 0.3 * cos(t);
dqd2 = 0.3 * cos(t);
dqd = [dqd1 dqd2]';

ddqd1 = -0.3 * sin(t);
ddqd2 = -0.3 * sin(t);
ddqd = [ddqd1 ddqd2]';

e1 = q1 - qd1;
e2 = q2 - qd2;
e = [e1 e2]';
de1 = dq1 - dqd1;
de2 = dq2 - dqd2;
de = [de1 de2]';

s = de + Fai * e;

dqr = dqd - Fai * e;
ddqr = ddqd - Fai * de;

for i = 1:1:5
    thta1(i,1) = x(i);
end
for i = 1:1:5
    thta2(i,1) = x(i + 5);
end

fsd1 = 0;
for l1 = 1:1:5
    gs1 = -[(dq1 + pi/6 - (l1 - 1) * pi/12)/(pi/24)]^2;
    u1(l1) = exp(gs1);
end
fsd2 = 0;
for l2 = 1:1:5
    gs2 = -[(dq2 + pi/6 - (l2 - 1) * pi/12)/(pi/24)]^2;
    u2(l2) = exp(gs2);
end

```

```

for l1 = 1:1:5
    fsu1(l1) = u1(l1);
    fsd1 = fsd1 + u1(l1);
end
for l2 = 1:1:5
    fsu2(l2) = u2(l2);
    fsd2 = fsd2 + u2(l2);
end
fs1 = fsu1/(fsd1 + 0.001);
fs2 = fsu2/(fsd2 + 0.001);

Fp(1) = thtal' * fs1';
Fp(2) = thta2' * fs2';

KD = 20 * eye(2);
W = [2 0; 0 2];

M = 1;
if M == 1
    tol = D * ddqr + C * dqr + G + 1 * Fp' - KD * s; % (4.74)
elseif M == 2
    tol = D * ddqr + C * dqr + G + 1 * Fp' - KD * s - W * sign(s); % (4.75)
end

sys(1) = tol(1);
sys(2) = tol(2);
sys(3) = Fp(1);
sys(4) = Fp(2);

```

(3) 被控对象 S 函数: chap4_4plant.m。

```

function [sys,x0,str,ts] = MIMO_Tong_plant(t,x,u,flag)
switch flag,
case 0,
    [sys,x0,str,ts] = mdlInitializeSizes;
case 1,
    sys = mdlDerivatives(t,x,u);
case 3,
    sys = mdlOutputs(t,x,u);
case {2, 4, 9}
    sys = [];
otherwise
    error(['Unhandled flag = ',num2str(flag)]);
end
function [sys,x0,str,ts] = mdlInitializeSizes
sizes = simsizes;
sizes.NumContStates = 4;
sizes.NumDiscStates = 0;
sizes.NumOutputs = 6;
sizes.NumInputs = 4;
sizes.DirFeedthrough = 0;

```

```

sizes.NumSampleTimes = 0;
sys = simsizes(sizes);
x0 = [0 0 0 0];
str = [];
ts = [];
function sys = mdlDerivatives(t,x,u)
r1 = 1;r2 = 0.8;
m1 = 1;m2 = 1.5;

D11 = (m1 + m2) * r1^2 + m2 * r2^2 + 2 * m2 * r1 * r2 * cos(x(3));
D22 = m2 * r2^2;
D21 = m2 * r2^2 + m2 * r1 * r2 * cos(x(3));
D12 = D21;
D = [D11 D12;D21 D22];

C12 = m2 * r1 * sin(x(3));
C = [-C12 * x(4) -C12 * (x(2) + x(4));C12 * x(1) 0];

g1 = (m1 + m2) * r1 * cos(x(3)) + m2 * r2 * cos(x(1) + x(3));
g2 = m2 * r2 * cos(x(1) + x(3));
G = [g1;g2];

Fr = [10 * x(2) + 3 * sign(x(2));10 * x(4) + 3 * sign(x(4))];

tol = [u(1) u(2)]';
S = inv(D) * (tol - C * [x(2);x(4)] - G - Fr);

sys(1) = x(2);
sys(2) = S(1);
sys(3) = x(4);
sys(4) = S(2);
function sys = mdlOutputs(t,x,u)
Fr = [10 * x(2) + 3 * sign(x(2));10 * x(4) + 3 * sign(x(4))];

sys(1) = x(1);
sys(2) = x(2);
sys(3) = x(3);
sys(4) = x(4);
sys(5) = Fr(1);
sys(6) = Fr(2);

```

(4) 作图程序：chap4_4plot.m。

```

close all;

figure(1);
subplot(211);
plot(t,yd1(:,1),'r',t,y(:,1),'b','linewidth',2);
xlabel('time(s)');ylabel('angle tracking of first link');
subplot(212);
plot(t,yd2(:,1),'r',t,y(:,3),'b','linewidth',2);

```

```

xlabel('time(s)');ylabel('angle tracking of second link');

figure(2);
subplot(211);
plot(t,0.3*cos(t),'r',t,y(:,2),'b','linewidth',2);
xlabel('time(s)');ylabel('angle speed tracking of first link');
subplot(212);
plot(t,0.3*cos(t),'r',t,y(:,4),'b','linewidth',2);
xlabel('time(s)');ylabel('angle speed tracking of second link');

figure(3);
subplot(211);
plot(t,y(:,5),'r',t,u(:,3),'b','linewidth',2);
xlabel('time(s)');ylabel('f and fc');
subplot(212);
plot(t,y(:,6),'r',t,u(:,4),'b','linewidth',2);
xlabel('time(s)');ylabel('f and fc');

figure(4);
subplot(211);
plot(t,u(:,1),'r');
xlabel('time(s)');ylabel('control input of first link','linewidth',2);
subplot(212);
plot(t,u(:,2),'r');
xlabel('time(s)');ylabel('control input of second link','linewidth',2);

```

仿真实例 2: 针对带有干扰的情况,取干扰项为 $\tau_d = \begin{bmatrix} 0.25 & \sin 2t \\ 0.25 & \sin 2t \end{bmatrix}$,采用基于干扰模糊

补偿的机械手控制,仿真中分别考虑带鲁棒项和不带鲁棒项两种情况,分别取 $M=1$ 和 $M=2$,采用控制律式(4.77)、鲁棒控制律式(4.78)及自适应律式(4.79)。取 $M=1$,取

$k_D = \begin{bmatrix} 10 & 0 \\ 0 & 10 \end{bmatrix}$, $W = \begin{bmatrix} 0.2 & 0 \\ 0 & 0.2 \end{bmatrix}$,仿真结果见图 4-20~图 4-23。

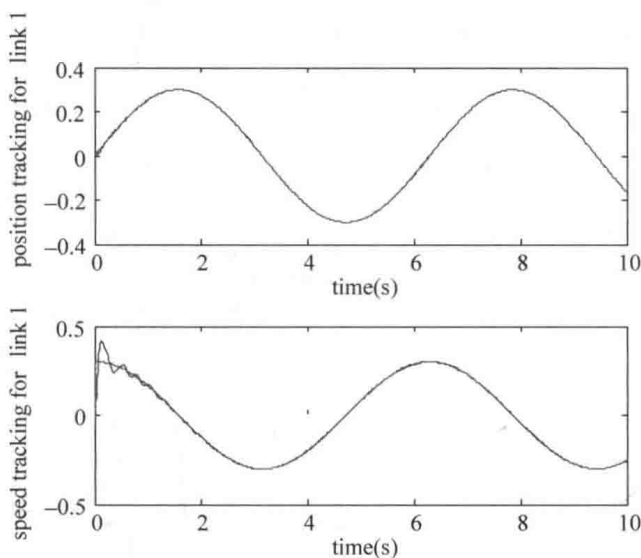


图 4-20 关节 1 的角度和角速度跟踪

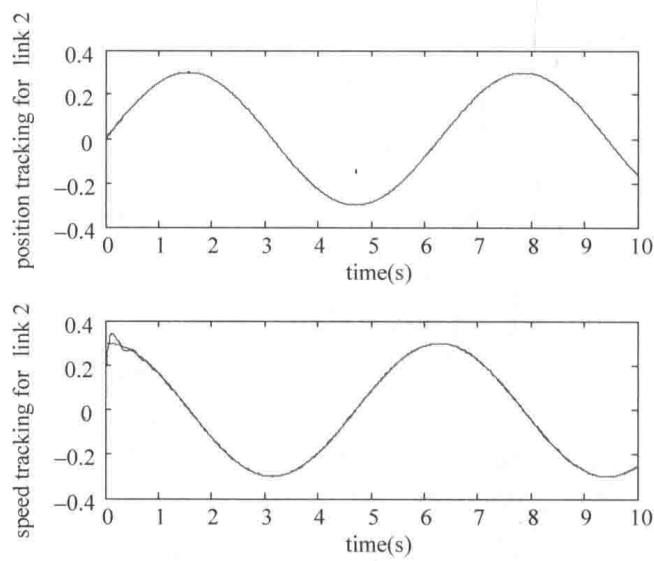


图 4-21 关节 2 的角度和角速度跟踪

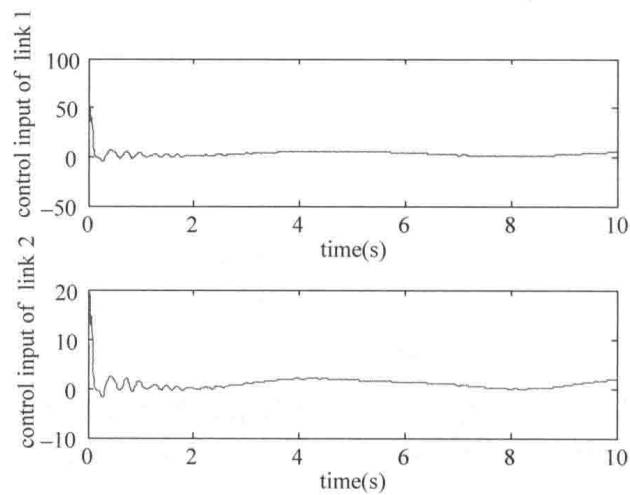


图 4-22 双关节控制输入

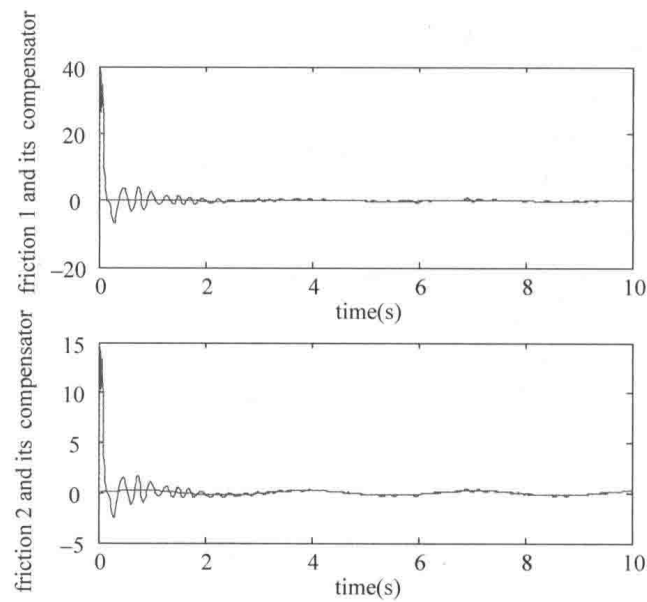
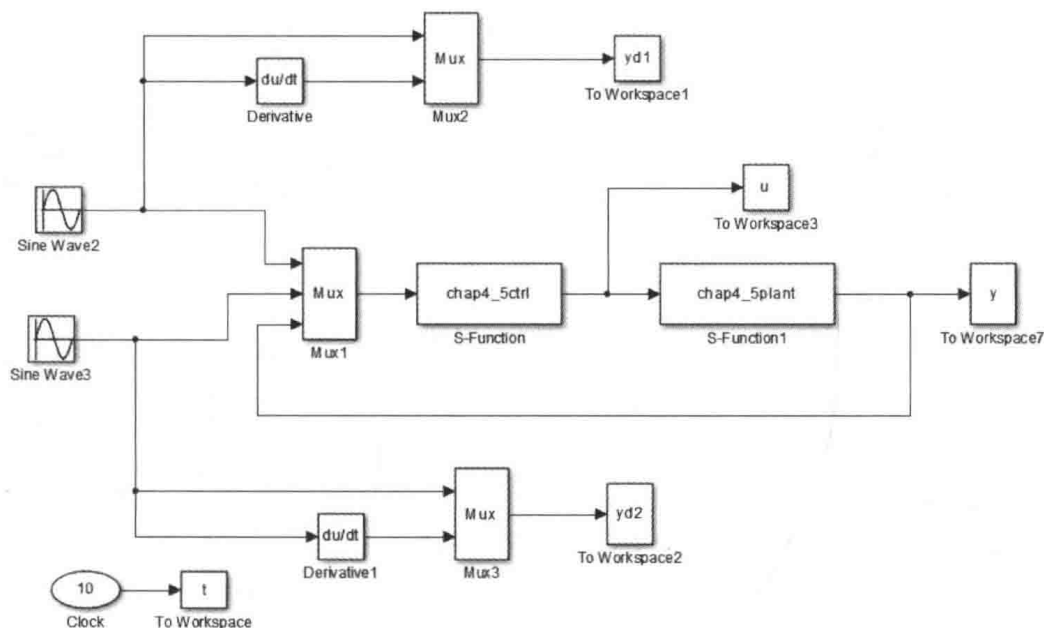


图 4-23 双关节摩擦及其补偿

基于外加干扰模糊补偿的机械手控制的仿真程序如下：

(1) Simulink 主程序：chap4_5sim.mdl。



(2) 控制器 S 函数：chap4_5ctrl.m。

```
function [sys,x0,str,ts] = MIMO_Tong_s(t,x,u,flag)
switch flag,
case 0,
    [sys,x0,str,ts] = mdlInitializeSizes;
case 1,
    sys = mdlDerivatives(t,x,u);
case 3,
    sys = mdlOutputs(t,x,u);
case {2,4,9}
    sys = [];
otherwise
    error(['Unhandled flag = ',num2str(flag)]);
end
```

```
function [sys,x0,str,ts] = mdlInitializeSizes
global nmn1 nmn2 Fai
nmn1 = 5; nmn2 = 5;
Fai = [nmn1 0; 0 nmn2];
sizes = simsizes;
sizes.NumContStates = 2 * 5^4;
sizes.NumDiscStates = 0;
sizes.NumOutputs = 4;
sizes.NumInputs = 8;
sizes.DirFeedthrough = 1;
sizes.NumSampleTimes = 0;
sys = simsizes(sizes);
x0 = [0.1 * ones(2 * 5^4, 1)];
```

```

str = [];
ts = [];
function sys = mdlDerivatives(t,x,u)
global nm1 nm2 Fai
qd1 = u(1);
qd2 = u(2);
dq1 = 0.3 * cos(t);
dq2 = 0.3 * cos(t);
dqd = [dq1 dq2]';

ddqd1 = -0.3 * sin(t);
ddqd2 = -0.3 * sin(t);
ddqd = [ddqd1 ddqd2]';

q1 = u(3);dq1 = u(4);
q2 = u(5);dq2 = u(6);

for l1 = 1:1:5
    gs1 = - [(q1 + pi/6 - (l1 - 1) * pi/12)/(pi/24)]^2;
    u1(l1) = exp(gs1);
end
for l2 = 1:1:5
    gs2 = - [(dq1 + pi/6 - (l2 - 1) * pi/12)/(pi/24)]^2;
    u2(l2) = exp(gs2);
end
for l3 = 1:1:5
    gs3 = - [(q2 + pi/6 - (l3 - 1) * pi/12)/(pi/24)]^2;
    u3(l3) = exp(gs3);
end
for l4 = 1:1:5
    gs4 = - [(dq2 + pi/6 - (l4 - 1) * pi/12)/(pi/24)]^2;
    u4(l4) = exp(gs4);
end

fsd = 0;
fsu = zeros(5^4,1);
for l1 = 1:5
    for l2 = 1:5
        for l3 = 1:5
            for l4 = 1:5
                fsu(5^3 * (l1 - 1) + 5^2 * (l2 - 1) + 5 * (l3 - 1) + l4) = u1(l1) * u2(l2) * u3(l3) * u4(l4);
                fsd = fsd + u1(l1) * u2(l2) * u3(l3) * u4(l4);
            end
        end
    end
end
fs = fsu/(fsd + 0.001);

e1 = q1 - qd1;
e2 = q2 - qd2;
e = [e1 e2]';

```

```

de1 = dq1 - dqd1;
de2 = dq2 - dqd2;
de = [de1 de2]';

s = de + Fai * e;
Gama1 = 0.0001;
Gama2 = 0.0001;

S1 = -1/Gama1 * s(1) * fs;
S2 = -1/Gama2 * s(2) * fs;
for i = 1:1:5^4
    sys(i) = S1(i);
end
for j = 5^4 + 1:1:2 * 5^4
    sys(j) = S2(j - 5^4);
end

function sys = mdlOutputs(t,x,u)
global nm1 nm2 Fai

q1 = u(3);dq1 = u(4);
q2 = u(5);dq2 = u(6);

r1 = 1;r2 = 0.8;
m1 = 1;m2 = 1.5;

D11 = (m1 + m2) * r1^2 + m2 * r2^2 + 2 * m2 * r1 * r2 * cos(q2);
D22 = m2 * r2^2;
D21 = m2 * r2^2 + m2 * r1 * r2 * cos(q2);
D12 = D21;
D = [D11 D12;D21 D22];

C12 = m2 * r1 * sin(q2);
C = [-C12 * dq2 -C12 * (dq1 + dq2);C12 * q1 0];

g1 = (m1 + m2) * r1 * cos(q2) + m2 * r2 * cos(q1 + q2);
g2 = m2 * r2 * cos(q1 + q2);
G = [g1;g2];

qd1 = u(1);
qd2 = u(2);
dqd1 = 0.3 * cos(t);
dqd2 = 0.3 * cos(t);
dqd = [dqd1 dqd2]';

ddqd1 = -0.3 * sin(t);
ddqd2 = -0.3 * sin(t);
ddqd = [ddqd1 ddqd2]';

e1 = q1 - qd1;
e2 = q2 - qd2;

```



```

e = [e1 e2]';
de1 = dq1 - dqd1;
de2 = dq2 - dqd2;
de = [de1 de2]';

s = de + Fai * e;
dqr = dqd - Fai * e;
ddqr = ddqd - Fai * de;

for i = 1:1:5^4
    thta1(i,1) = x(i);
end
for i = 1:1:5^4
    thta2(i,1) = x(i + 5^4);
end

for l1 = 1:1:5
    gs1 = - [(q1 + pi/6 - (l1 - 1) * pi/12)/(pi/24)]^2;
    u1(l1) = exp(gs1);
end
for l2 = 1:1:5
    gs2 = - [(dq1 + pi/6 - (l2 - 1) * pi/12)/(pi/24)]^2;
    u2(l2) = exp(gs2);
end
for l3 = 1:1:5
    gs3 = - [(q2 + pi/6 - (l3 - 1) * pi/12)/(pi/24)]^2;
    u3(l3) = exp(gs3);
end
for l4 = 1:1:5
    gs4 = - [(dq2 + pi/6 - (l4 - 1) * pi/12)/(pi/24)]^2;
    u4(l4) = exp(gs4);
end

fsd = 0;
fsu = zeros(5^4,1);
for l1 = 1:5
    for l2 = 1:5
        for l3 = 1:5
            for l4 = 1:5
                fsu(5^3 * (l1 - 1) + 5^2 * (l2 - 1) + 5 * (l3 - 1) + l4) = u1(l1) * u2(l2) * u3(l3) * u4(l4);
                fsd = fsd + u1(l1) * u2(l2) * u3(l3) * u4(l4);
            end
        end
    end
end
fs = fsu/(fsd + 0.001);

Fp(1) = thta1' * fs;
Fp(2) = thta2' * fs;

KD = 10 * eye(2);

```

```

W = [0.2 0; 0 0.2];

M = 1;
if M == 1
    tol = D * ddqr + C * dqr + G + 1 * Fp' - KD * s; % (4.77)
elseif M == 2
    tol = D * ddqr + C * dqr + G + Fp' - KD * s - W * sign(s); % (4.78)
end
sys(1) = tol(1);
sys(2) = tol(2);
sys(3) = Fp(1);
sys(4) = Fp(2);

```

(3) 被控对象 S 函数: chap4_5plant.m。

```

function [sys,x0,str,ts] = MIMO_Tong_plant(t,x,u,flag)
switch flag,
case 0,
    [sys,x0,str,ts] = mdlInitializeSizes;
case 1,
    sys = mdlDerivatives(t,x,u);
case 3,
    sys = mdlOutputs(t,x,u);
case {2, 4, 9}
    sys = [];
otherwise
    error(['Unhandled flag = ',num2str(flag)]);
end
function [sys,x0,str,ts] = mdlInitializeSizes
sizes = simsizes;
sizes.NumContStates = 4;
sizes.NumDiscStates = 0;
sizes.NumOutputs = 6;
sizes.NumInputs = 4;
sizes.DirFeedthrough = 0;
sizes.NumSampleTimes = 0;
sys = simsizes(sizes);
x0 = [0 0 0 0];
str = [];
ts = [];
function sys = mdlDerivatives(t,x,u)
r1 = 1; r2 = 0.8;
m1 = 1; m2 = 1.5;

D11 = (m1 + m2) * r1^2 + m2 * r2^2 + 2 * m2 * r1 * r2 * cos(x(3));
D22 = m2 * r2^2;
D21 = m2 * r2^2 + m2 * r1 * r2 * cos(x(3));
D12 = D21;
D = [D11 D12; D21 D22];

C12 = m2 * r1 * sin(x(3));

```

```

C = [-C12 * x(4) - C12 * (x(2) + x(4)); C12 * x(1) 0];

g1 = (m1 + m2) * r1 * cos(x(3)) + m2 * r2 * cos(x(1) + x(3));
g2 = m2 * r2 * cos(x(1) + x(3));
G = [g1; g2];

told = [0.25 * sin(2 * t); 0.25 * sin(2 * t)];
F = told;

tol = [u(1) u(2)]';
S = inv(D) * (tol - C * [x(2); x(4)] - G - told);

sys(1) = x(2);
sys(2) = S(1);
sys(3) = x(4);
sys(4) = S(2);
function sys = mdlOutputs(t, x, u)
told = [0.25 * sin(2 * t); 0.25 * sin(2 * t)];
F = told;

sys(1) = x(1);
sys(2) = x(2);
sys(3) = x(3);
sys(4) = x(4);
sys(5) = F(1);
sys(6) = F(2);

```

(4) 作图程序：chap4_5plot.m。

```

close all;

figure(1);
subplot(211);
plot(t, yd1(:, 1), 'r', t, y(:, 1), 'b');
xlabel('time(s)'); ylabel('position tracking for link 1');
subplot(212);
plot(t, yd1(:, 2), 'r', t, y(:, 2), 'b');
xlabel('time(s)'); ylabel('speed tracking for link 1');

figure(2);
subplot(211);
plot(t, yd2(:, 1), 'r', t, y(:, 3), 'b');
xlabel('time(s)'); ylabel('position tracking for link 2');
subplot(212);
plot(t, yd2(:, 2), 'r', t, y(:, 4), 'b');
xlabel('time(s)'); ylabel('speed tracking for link 2');

figure(3);
subplot(211);
plot(t, u(:, 1), 'r');
xlabel('time(s)'); ylabel('control input of link 1');

```

```

subplot(212);
plot(t,u(:,2),'r');
xlabel('time(s)');ylabel('control input of link 2');

figure(4);
subplot(211);
plot(t,y(:,5),'r',t,u(:,3),'b');
xlabel('time(s)');ylabel('friction 1 and its compensator');
subplot(212);
plot(t,y(:,6),'r',t,u(:,4),'b');
xlabel('time(s)');ylabel('friction 2 and its compensator');

```

仿真实例 3: 针对带有基于摩擦、外加干扰模糊补偿的机械手控制的情况,采用基于模糊补偿的机械手控制,仿真中分别考虑带鲁棒项和不带鲁棒项两种情况,分别取 $M=1$ 和 $M=2$,采用控制律式(4.83)、自适应律式(4.84)、式(4.85)及鲁棒控制律式(4.86)。取

$M=1$,摩擦项为 $\mathbf{F}(\dot{\mathbf{q}}) = \begin{bmatrix} 3\dot{q}_1 + 0.2\text{sgn}\dot{q}_1 \\ 2\dot{q}_2 + 0.2\text{sgn}\dot{q}_2 \end{bmatrix}$,干扰项为 $\boldsymbol{\tau}_d = \begin{bmatrix} 0.05 \sin 20t \\ 0.1 \sin 20t \end{bmatrix}$,取 $\mathbf{k}_D = \begin{bmatrix} 10 & 0 \\ 0 & 10 \end{bmatrix}$,

$\mathbf{W} = \begin{bmatrix} 2 & 0 \\ 0 & 2 \end{bmatrix}$ 。采用控制律式(4.83),仿真结果见图 4-24~图 4-26。

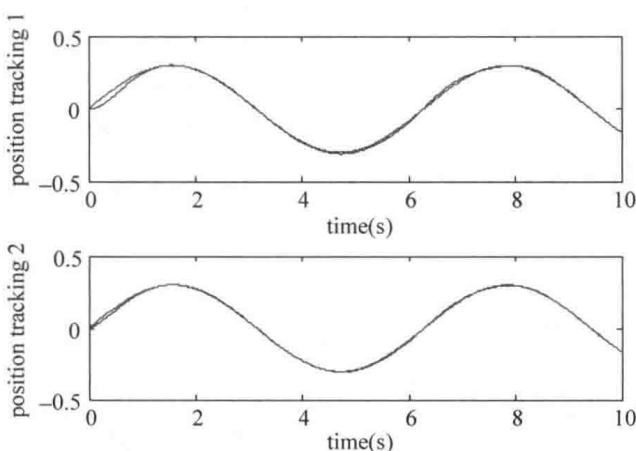


图 4-24 双关节角度跟踪

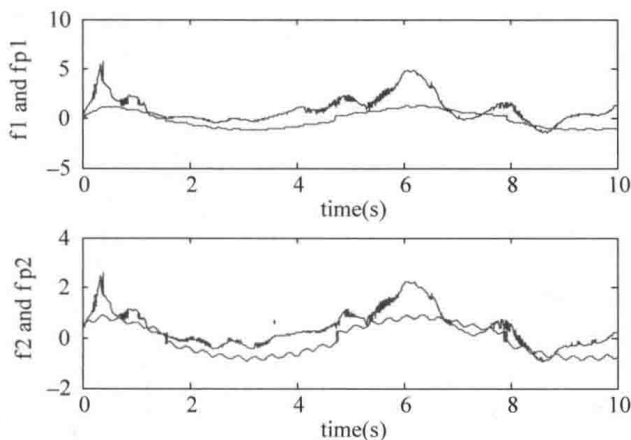


图 4-25 双关节摩擦及其补偿

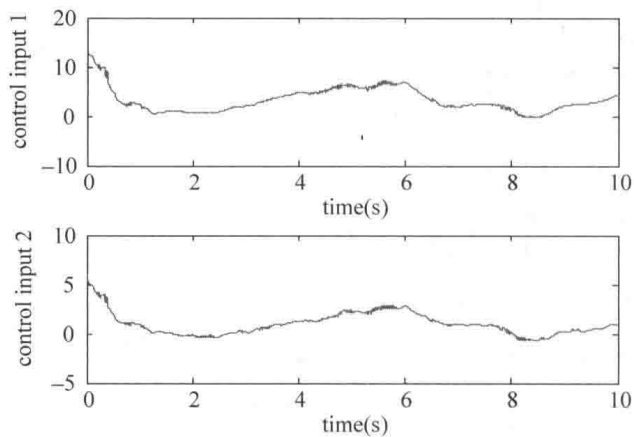
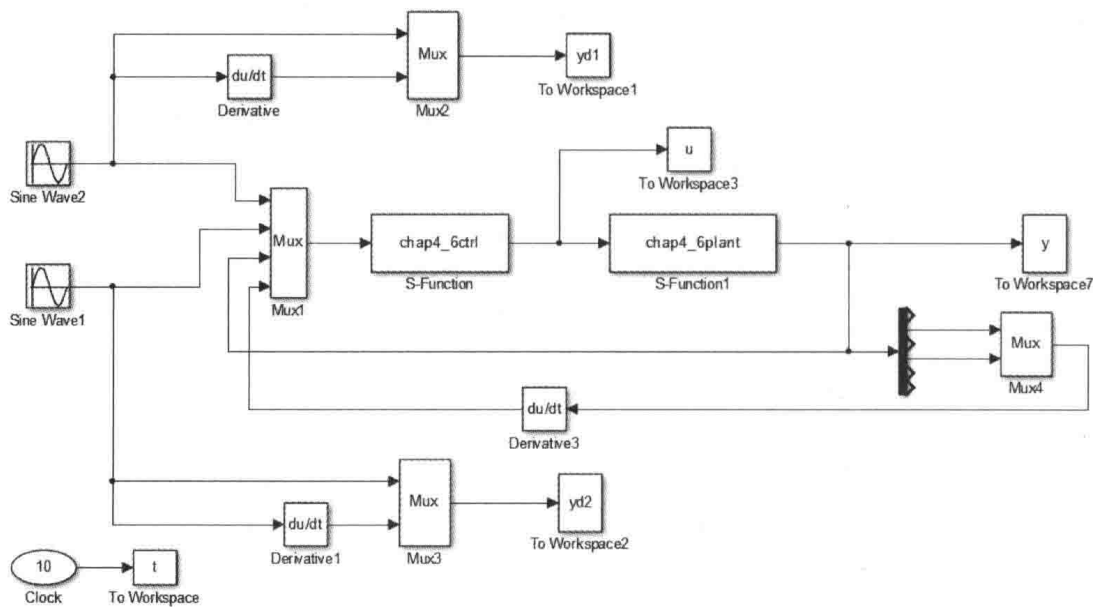


图 4-26 双关节控制输入

基于摩擦、外加干扰和负载变化模糊补偿的机械手控制的仿真程序如下：

(1) Simulink 主程序：chap4_6sim.mdl。



(2) 控制器 S 函数：chap4_6ctrl.m。

```
function [sys,x0,str,ts] = MIMO_Tong_s(t,x,u,flag)
switch flag,
case 0,
    [sys,x0,str,ts]= mdlInitializeSizes;
case 1,
    sys = mdlDerivatives(t,x,u);
case 3,
    sys = mdlOutputs(t,x,u);
case {2,4,9}
    sys = [];
otherwise
```

```

    error(['Unhandled flag = ', num2str(flag)]);
end

function [sys,x0,str,ts] = mdlInitializeSizes
global nmnl nm2 Fai
nmnl = 5; nm2 = 5;
Fai = [nmnl 0; 0 nm2];
sizes = simsizes;
sizes.NumContStates = 4 * 5^4;
sizes.NumDiscStates = 0;
sizes.NumOutputs = 4;
sizes.NumInputs = 10;
sizes.DirFeedthrough = 1;
sizes.NumSampleTimes = 0;
sys = simsizes(sizes);
x0 = [0.1 * ones(4 * 5^4, 1)];
str = [];
ts = [];
function sys = mdlDerivatives(t,x,u)
global nmnl nm2 Fai
qd1 = u(1);
qd2 = u(2);
dqd1 = 0.3 * cos(t);
dqd2 = 0.3 * cos(t);
dqd = [dqd1 dqd2]';

ddqd1 = -0.3 * sin(t);
ddqd2 = -0.3 * sin(t);
ddqd = [ddqd1 ddqd2]';

q1 = u(3); dq1 = u(4);
q2 = u(5); dq2 = u(6);
ddq1 = u(9); ddq2 = u(10);

for l1 = 1:1:5
    gs1 = -[(q1 + pi/6 - (l1 - 1) * pi/12)/(pi/24)]^2;
    u1(l1) = exp(gs1);
end
for l2 = 1:1:5
    gs2 = -[(dq1 + pi/6 - (l2 - 1) * pi/12)/(pi/24)]^2;
    u2(l2) = exp(gs2);
end
for l3 = 1:1:5
    gs3 = -[(q2 + pi/6 - (l3 - 1) * pi/12)/(pi/24)]^2;
    u3(l3) = exp(gs3);
end
for l4 = 1:1:5
    gs4 = -[(dq2 + pi/6 - (l4 - 1) * pi/12)/(pi/24)]^2;
    u4(l4) = exp(gs4);
end
end

```

```

for l5 = 1:1:5
    gs5 = - [(ddq1 + pi/6 - (l5 - 1) * pi/12)/(pi/24)]^2;
    u5(l5) = exp(gs5);
end
for l6 = 1:1:5
    gs6 = - [(ddq2 + pi/6 - (l6 - 1) * pi/12)/(pi/24)]^2;
    u6(l6) = exp(gs6);
end

fsd = 0;
fsu = zeros(5^4, 1);
for l1 = 1:5
    for l2 = 1:5
        for l3 = 1:5
            for l4 = 1:5
                fsu(5^3 * (l1 - 1) + 5^2 * (l2 - 1) + 5 * (l3 - 1) + l4) = u1(l1) * u2(l2) * u3(l3) * u4(l4);
                fsd = fsd + u1(l1) * u2(l2) * u3(l3) * u4(l4);
            end
        end
    end
end
fs = fsu/(fsd + 0.001);

fsd1 = 0;
fsu1 = zeros(5^4, 1);
for l1 = 1:5
    for l2 = 1:5
        for l5 = 1:5
            for l6 = 1:5
                fsu1(5^3 * (l1 - 1) + 5^2 * (l2 - 1) + 5 * (l5 - 1) + l6) = u1(l1) * u2(l2) * u5(l5) * u6(l6);
                fsd1 = fsd1 + u1(l1) * u2(l2) * u5(l5) * u6(l6);
            end
        end
    end
end
fs1 = fsu1/(fsd1 + 0.001);

e1 = q1 - qd1;
e2 = q2 - qd2;
e = [e1 e2]';
de1 = dq1 - dqd1;
de2 = dq2 - dqd2;
de = [de1 de2]';

s = de + Fai * e;
Gama11 = 0.01; Gama12 = 0.01;
Gama21 = 0.01; Gama22 = 0.01;

S11 = -1/Gama11 * s(1) * fs;
S12 = -1/Gama12 * s(2) * fs;
S21 = -1/Gama21 * s(1) * fs1;

```

```

S22 = -1/Gama22 * s(2) * fs1;
for i = 1:1:5^4
    sys(i) = S11(i);
end
for j = 5^4 + 1:1:2 * 5^4
    sys(j) = S12(j - 5^4);
end
for j = 2 * 5^4 + 1:1:3 * 5^4
    sys(j) = S21(j - 2 * 5^4);
end
for j = 3 * 5^4 + 1:1:4 * 5^4
    sys(j) = S22(j - 3 * 5^4);
end

function sys = mdlOutputs(t,x,u)
global nmnl nm2 Fai
qd1 = u(1);
qd2 = u(2);
dqd1 = 0.3 * cos(t);
dqd2 = 0.3 * cos(t);
dqd = [dqd1 dqd2]';

ddqd1 = -0.3 * sin(t);
ddqd2 = -0.3 * sin(t);
ddqd = [ddqd1 ddqd2]';

q1 = u(3); dq1 = u(4);
q2 = u(5); dq2 = u(6);
ddq1 = u(9); ddq2 = u(10);

for l1 = 1:1:5
    gs1 = - [(q1 + pi/6 - (l1 - 1) * pi/12)/(pi/24)]^2;
    u1(l1) = exp(gs1);
end
for l2 = 1:1:5
    gs2 = - [(dq1 + pi/6 - (l2 - 1) * pi/12)/(pi/24)]^2;
    u2(l2) = exp(gs2);
end
for l3 = 1:1:5
    gs3 = - [(q2 + pi/6 - (l3 - 1) * pi/12)/(pi/24)]^2;
    u3(l3) = exp(gs3);
end
for l4 = 1:1:5
    gs4 = - [(dq2 + pi/6 - (l4 - 1) * pi/12)/(pi/24)]^2;
    u4(l4) = exp(gs4);
end

for l5 = 1:1:5
    gs5 = - [(ddq1 + pi/6 - (l5 - 1) * pi/12)/(pi/24)]^2;
    u5(l5) = exp(gs5);
end

```



```

for l6 = 1:1:5
    gs6 = - [(ddq2 + pi/6 - (l6 - 1) * pi/12)/(pi/24)]^2;
    u6(l6) = exp(gs6);
end

fsd = 0;
fsu = zeros(5^4,1);
for l1 = 1:5
    for l2 = 1:5
        for l3 = 1:5
            for l4 = 1:5
                fsu(5^3 * (l1 - 1) + 5^2 * (l2 - 1) + 5 * (l3 - 1) + l4) = u1(l1) * u2(l2) * u3(l3) * u4(l4);
                fsd = fsd + u1(l1) * u2(l2) * u3(l3) * u4(l4);
            end
        end
    end
end
fs = fsu/(fsd + 0.001);

fsd1 = 0;
fsu1 = zeros(5^4,1);
for l1 = 1:5
    for l2 = 1:5
        for l5 = 1:5
            for l6 = 1:5
                fsu1(5^3 * (l1 - 1) + 5^2 * (l2 - 1) + 5 * (l5 - 1) + l6) = u1(l1) * u2(l2) * u5(l5) * u6(l6);
                fsd1 = fsd1 + u1(l1) * u2(l2) * u5(l5) * u6(l6);
            end
        end
    end
end
fs1 = fsu1/(fsd1 + 0.001);

e1 = q1 - qd1;
e2 = q2 - qd2;
e = [e1 e2]';
de1 = dq1 - dqd1;
de2 = dq2 - dqd2;
de = [de1 de2]';

s = de + Fai * e;
dqr = dqd - Fai * e;
ddqr = ddqd - Fai * de;

for i = 1:1:5^4
    thta1(i,1) = x(i);
end
for i = 1:1:5^4
    thta2(i,1) = x(i + 5^4);
end
for i = 1:1:5^4

```

```

    thta3(i,1) = x(i + 2 * 5^4);
end
for i = 1:1:5^4
    thta4(i,1) = x(i + 3 * 5^4);
end
% //////////////////////////////////////

r1 = 1; r2 = 0.8;
m1 = 1; m2 = 0.8;

D11 = (m1 + m2) * r1^2 + m2 * r2^2 + 2 * m2 * r1 * r2 * cos(q2);
D22 = m2 * r2^2;
D21 = m2 * r2^2 + m2 * r1 * r2 * cos(q2);
D12 = D21;
D = [D11 D12; D21 D22];

C12 = m2 * r1 * sin(q2);
C = [-C12 * dq2 - C12 * (dq1 + dq2); C12 * q1 0];

g1 = (m1 + m2) * r1 * cos(q2) + m2 * r2 * cos(q1 + q2);
g2 = m2 * r2 * cos(q1 + q2);
G = [g1; g2];

Fp11 = thta1' * fs;
Fp12 = thta2' * fs;
Fp21 = thta3' * fs1;
Fp22 = thta4' * fs1;

Fp1 = [Fp11 Fp12]';
Fp2 = [Fp21 Fp22]';

KD = 10 * eye(2);
W = [2 0; 0 2];

M = 1;
if M == 1
    tol = D * ddqr + C * dqr + G + Fp1 + Fp2 - KD * s; % (4.83)
elseif M == 2
    tol = D * ddqr + C * dqr + G + Fp1 + Fp2 - KD * s - W * sign(s); % (4.86)
end
sys(1) = tol(1);
sys(2) = tol(2);
sys(3) = Fp1(1) + Fp2(1);
sys(4) = Fp1(2) + Fp2(2);

```

(3) 被控对象 S 函数: chap4_6plant.m。

```

function [sys,x0,str,ts] = MIMO_Tong_plant(t,x,u,flag)
switch flag,
case 0,
    [sys,x0,str,ts] = mdlInitializeSizes;
case 1,

```

```

        sys = mdlDerivatives(t,x,u);
    case 3,
        sys = mdlOutputs(t,x,u);
    case {2, 4, 9}
        sys = [];
    otherwise
        error(['Unhandled flag = ',num2str(flag)]);
    end
function [sys,x0,str,ts] = mdlInitializeSizes
    sizes = simsizes;
    sizes.NumContStates = 4;
    sizes.NumDiscStates = 0;
    sizes.NumOutputs = 6;
    sizes.NumInputs = 4;
    sizes.DirFeedthrough = 0;
    sizes.NumSampleTimes = 0;
    sys = simsizes(sizes);
    x0 = [0 0 0 0];
    str = [];
    ts = [];
    function sys = mdlDerivatives(t,x,u)
        r1 = 1;r2 = 0.8;
        m1 = 1;m2 = 1.5;

        D11 = (m1 + m2) * r1^2 + m2 * r2^2 + 2 * m2 * r1 * r2 * cos(x(3));
        D22 = m2 * r2^2;
        D21 = m2 * r2^2 + m2 * r1 * r2 * cos(x(3));
        D12 = D21;
        D = [D11 D12;D21 D22];

        C12 = m2 * r1 * sin(x(3));
        C = [- C12 * x(4) - C12 * (x(2) + x(4));C12 * x(1) 0];

        g1 = (m1 + m2) * r1 * cos(x(3)) + m2 * r2 * cos(x(1) + x(3));
        g2 = m2 * r2 * cos(x(1) + x(3));
        G = [g1;g2];

        Fr = [3 * x(2) + 0.2 * sign(x(2));2 * x(4) + 0.2 * sign(x(4))];
        told = [0.05 * sin(20 * t);0.1 * sin(20 * t)];
        F = told + Fr;

        tol = [u(1) u(2)]';
        S = inv(D) * (tol - C * [x(2);x(4)] - G - F);

        sys(1) = x(2);
        sys(2) = S(1);
        sys(3) = x(4);
        sys(4) = S(2);
    function sys = mdlOutputs(t,x,u)
        Fr = [3 * x(2) + 0.2 * sign(x(2));2 * x(4) + 0.2 * sign(x(4))];
        told = [0.05 * sin(20 * t);0.1 * sin(20 * t)];

```

```
F = told + Fr;
```

```
sys(1) = x(1);
sys(2) = x(2);
sys(3) = x(3);
sys(4) = x(4);
sys(5) = F(1);
sys(6) = F(2);
```

(4) 作图程序: chap4_6plot.m。

```
close all;
```

```
figure(1);
subplot(211);
plot(t, yd1(:, 1), 'r', t, y(:, 1), 'b');
xlabel('time(s)'); ylabel('position tracking 1');
subplot(212);
plot(t, yd2(:, 1), 'r', t, y(:, 3), 'b');
xlabel('time(s)'); ylabel('position tracking 2');
```

```
figure(4);
subplot(211);
plot(t, y(:, 5), 'r', t, u(:, 3), 'b');
xlabel('time(s)'); ylabel('f1 and fp1');
subplot(212);
plot(t, y(:, 6), 'r', t, u(:, 4), 'b');
xlabel('time(s)'); ylabel('f2 and fp2');
```

```
figure(3);
subplot(211);
plot(t, u(:, 1), 'r');
xlabel('time(s)'); ylabel('control input 1');
subplot(212);
plot(t, u(:, 2), 'r');
xlabel('time(s)'); ylabel('control input 2');
```

4.5 基于线性矩阵不等式的单级倒立摆 T-S 模糊控制

单级倒立摆系统是一种特殊的单力臂机器人被控对象,是一个复杂的非线性的、不确定系统,其控制器的设计应保证有良好的鲁棒稳定性。

线性矩阵不等式(Linear Matrix Inequality, LMI)是控制领域的一个强有力的设计工具。许多控制理论及分析与综合问题都可简化为相应的 LMI 问题,通过构造有效的计算机算法求解。

随着控制技术的迅速发展,在反馈控制系统的设计中,常需要考虑许多系统的约束条件,例如,系统的不确定性约束等。在处理系统鲁棒控制问题以及其他控制理论引起的许多控制问题时,都可将所控制问题转化为一个线性矩阵不等式或带有线性矩阵不等式约束的

最优化问题。目前线性矩阵不等式技术已成为控制工程、系统辨识、结构设计等领域的有效工具。利用线性矩阵不等式技术来求解一些控制问题,是目前和今后控制理论发展的一个重要方向。

采用 T-S 模糊系统进行非线性系统建模的研究是近年来控制理论的研究热点之一。实践证明,具有线性的 Takagi-Sugeno 模糊模型以模糊规则的形式充分利用系统局部信息和专家控制经验,可任意精度逼近实际被控对象。T-S 模糊系统的稳定性条件可表述成线性矩阵不等式的形式,基于 T-S 模糊模型的非线性系统鲁棒稳定和自适应控制的研究是控制理论研究的热点。

4.5.1 基于 LMI 的 T-S 型模糊系统控制器的设计

针对 n 个状态变量、 m 个控制输入的连续非线性系统,其 T-S 型模糊模型可描述为以下 r 条模糊规则:

规则 i :

$$\text{IF } x_1(t) \text{ is } M_1^i \text{ and } x_2(t) \text{ is } M_2^i \text{ and } \cdots x_n(t) \text{ is } M_n^i \quad (4.87)$$

$$\text{THEN } \dot{\mathbf{x}}(t) = \mathbf{A}_i \mathbf{x}(t) + \mathbf{B}_i \mathbf{u}(t), \quad i = 1, 2, \cdots, r$$

其中, x_j 为系统的第 j 个状态变量, M_j^i 为第 i 条规则的第 j 个隶属函数, $\mathbf{x}(t)$ 为状态向量, $\mathbf{x}(t) = [x_1(t) \ x_2(t) \ \cdots \ x_n(t)]^T \in \mathbf{R}^n$, $\mathbf{u}(t)$ 为控制输入向量, $\mathbf{u}(t) = [u_1(t) \ u_2(t) \ \cdots \ u_m(t)]^T \in \mathbf{R}^m$, $\mathbf{A}_i \in \mathbf{R}^{n \times n}$, $\mathbf{B}_i \in \mathbf{R}^{n \times m}$ 。

根据模糊系统的反模糊化定义,由模糊规则(4.87)构成的模糊模型总的输出为

$$\dot{\mathbf{x}}(t) = \frac{\sum_{i=1}^r w_i [\mathbf{A}_i \mathbf{x}(t) + \mathbf{B}_i \mathbf{u}(t)]}{\sum_{i=1}^r w_i} \quad (4.88)$$

其中, w_i 为规则 i 的隶属函数, $w_i = \prod_{k=1}^n M_k^i(x_k(t))$, 以 4 条规则为例, 规则前提为 x_1 , $k=1$, $i=1, 2, 3, 4$, 则 $w_1 = M_1^1(x_1)$, $w_2 = M_1^2(x_1)$, $w_3 = M_1^3(x_1)$, $w_4 = M_1^4(x_1)$ 。

针对每条 T-S 模糊规则,采用状态反馈方法,可设计以下 r 条模糊控制规则。

控制规则 i :

$$\text{IF } x_1(t) \text{ is } M_1^i \text{ and } x_2(t) \text{ is } M_2^i \text{ and } \cdots x_n(t) \text{ is } M_n^i \quad (4.89)$$

$$\text{THEN } \mathbf{u}(t) = \mathbf{K}_i \mathbf{x}(t), \quad i = 1, 2, \cdots, r$$

并行分布补偿(Parallel Distributed Compensation, PDC)方法是由 Sugeno 等^[3]提出的一种基于模型的模糊控制器设计方法,该方法的稳定性分析由文献[4]给出,适用于解决基于 T-S 模糊建模的非线性系统控制问题^[5]。

关于利用 LMI 方法设计基于 T-S 模糊建模的非线性系统控制问题,文献[6,7]有许多描述。根据模糊系统的反模糊化定义,针对连续非线性系统式(4.87),根据模糊控制按规则式(4.89),采用 PDC 方法设计 T-S 型模糊控制器为

$$\mathbf{u}(t) = \frac{\sum_{j=1}^r w_j \mathbf{K}_j \mathbf{x}(t)}{\sum_{j=1}^r w_j} \quad (4.90)$$

4.5.2 LMI 不等式的设计及分析

定理 4.1^[8]: 存在正定阵 Q , 当满足下面条件时, T-S 模糊系统(4.87)渐进稳定。

$$\begin{cases} QA_i^T + A_iQ + V_i^TB_i^T + B_iV_i < 0, & i = 1, 2, \dots, r \\ QA_i^T + A_iQ + QA_j^T + A_jQ + V_j^TB_i^T + B_iV_j + V_i^TB_j^T + B_jV_i < 0, & i < j \leq r \\ Q = P^{-1} > 0 \end{cases} \quad (4.91)$$

其中, $V_i = K_iQ$, 即 $K_i = V_iQ^{-1} = V_iP$, $V_j = K_jQ$, 即 $K_j = V_jQ^{-1} = V_jP$ 。

定理 4.1 的给出见文献[8]。根据式(4.91), 利用 LMI 方法可求出控制器式(4.90)的增益 K_i 。下面给出定理 4.1 的具体分析过程。

取 Lyapunov 函数

$$V(t) = \frac{1}{2}x^TPx$$

其中, 矩阵 P 为正定对称矩阵。

则有

$$\begin{aligned} \dot{V}(t) &= \frac{1}{2}(\dot{x}^TPx + x^TP\dot{x}) = \frac{1}{2}\dot{x}^TPx + \frac{1}{2}x^TP\dot{x} \\ &= \frac{1}{2}\left\{\frac{\sum_{i=1}^r w_i [A_i x + B_i u]}{\sum_{i=1}^r w_i}\right\}^T Px + \frac{1}{2}x^TP\left\{\frac{\sum_{i=1}^r w_i [A_i x + B_i u]}{\sum_{i=1}^r w_i}\right\} \end{aligned}$$

将控制律式(4.90)代入上式, 可得

$$\begin{aligned} \dot{V}(t) &= \frac{1}{2}\left\{\frac{\sum_{i=1}^r w_i \left[A_i x + B_i \frac{\sum_{j=1}^r w_j K_j x}{\sum_{j=1}^r w_j}\right]}{\sum_{i=1}^r w_i}\right\}^T Px + \frac{1}{2}x^TP\left\{\frac{\sum_{i=1}^r w_i \left[A_i x + B_i \frac{\sum_{j=1}^r w_j K_j x}{\sum_{j=1}^r w_j}\right]}{\sum_{i=1}^r w_i}\right\} \\ &= \frac{1}{2}\left\{\frac{\sum_{i=1}^r w_i \left[\sum_{j=1}^r w_j A_i x + B_i \sum_{j=1}^r w_j K_j x\right]}{\sum_{i=1}^r w_i \sum_{j=1}^r w_j}\right\}^T Px + \frac{1}{2}x^TP\left\{\frac{\sum_{i=1}^r w_i \left[\sum_{j=1}^r w_j A_i x + B_i \sum_{j=1}^r w_j K_j x\right]}{\sum_{i=1}^r w_i \sum_{j=1}^r w_j}\right\} \\ &= \frac{1}{2}\left[\frac{\sum_{i=1}^r w_i \sum_{j=1}^r w_j (A_i x + B_i K_j x)}{\sum_{i=1}^r \sum_{j=1}^r w_i w_j}\right]^T Px + \frac{1}{2}x^TP\left[\frac{\sum_{i=1}^r w_i \sum_{j=1}^r w_j (A_i x + B_i K_j x)}{\sum_{i=1}^r \sum_{j=1}^r w_i w_j}\right] \\ &= \frac{1}{2}\frac{\sum_{i=1}^r \sum_{j=1}^r w_i w_j x^T (A_i + B_i K_j)^T}{\sum_{i=1}^r \sum_{j=1}^r w_i w_j} Px + \frac{1}{2}x^TP\frac{\sum_{i=1}^r \sum_{j=1}^r w_i w_j (A_i + B_i K_j) x}{\sum_{i=1}^r \sum_{j=1}^r w_i w_j} \end{aligned}$$

$$\begin{aligned}
&= \frac{1}{2} \mathbf{x}^T \frac{\sum_{i=1}^r \sum_{j=1}^r w_i w_j (\mathbf{A}_i + \mathbf{B}_i \mathbf{K}_j)^T}{\sum_{i=1}^r \sum_{j=1}^r w_i w_j} \mathbf{P} \mathbf{x} + \frac{1}{2} \mathbf{x}^T \mathbf{P} \frac{\sum_{i=1}^r \sum_{j=1}^r w_i w_j (\mathbf{A}_i + \mathbf{B}_i \mathbf{K}_j)}{\sum_{i=1}^r \sum_{j=1}^r w_i w_j} \mathbf{x} \\
&= \frac{1}{2} \mathbf{x}^T \left\{ \frac{\sum_{i=1}^r \sum_{j=1}^r w_i w_j [(\mathbf{A}_i + \mathbf{B}_i \mathbf{K}_j)^T \mathbf{P} + \mathbf{P}(\mathbf{A}_i + \mathbf{B}_i \mathbf{K}_j)]}{\sum_{i=1}^r \sum_{j=1}^r w_i w_j} \right\} \mathbf{x}
\end{aligned}$$

分别考虑 $i=j$ 和 $i \neq j$ 两种情况, 将式 $\dot{\mathbf{V}}(t)$ 展开, 得

$$\begin{aligned}
\sum_{i=1}^r \sum_{j=1}^r w_i w_j [(\mathbf{A}_i + \mathbf{B}_i \mathbf{K}_j)^T \mathbf{P} + \mathbf{P}(\mathbf{A}_i + \mathbf{B}_i \mathbf{K}_j)] &= \sum_{i=j=1}^r w_i w_i [(\mathbf{A}_i + \mathbf{B}_i \mathbf{K}_i)^T \mathbf{P} + \mathbf{P}(\mathbf{A}_i + \mathbf{B}_i \mathbf{K}_i)] + \\
&\quad \sum_{i < j}^r w_i w_j [(\mathbf{A}_i + \mathbf{B}_i \mathbf{K}_j)^T \mathbf{P} + \mathbf{P}(\mathbf{A}_i + \mathbf{B}_i \mathbf{K}_j)] + \\
&\quad \sum_{i > j}^r w_i w_j [(\mathbf{A}_i + \mathbf{B}_i \mathbf{K}_j)^T \mathbf{P} + \mathbf{P}(\mathbf{A}_i + \mathbf{B}_i \mathbf{K}_j)]
\end{aligned} \tag{4.92}$$

注: 以 $r=2$ 为例, 可得如下展开

$$\sum_{i=1}^2 \sum_{j=1}^2 w_i w_j = \sum_{i=j=1}^2 w_i w_i + \sum_{i < j}^2 w_i w_j + \sum_{i > j}^2 w_i w_j = w_1 w_1 + w_2 w_2 + w_1 w_2 + w_2 w_1$$

由于 i 和 j 交换不影响结果, 则

$$\sum_{i > j}^r w_i w_j [(\mathbf{A}_i + \mathbf{B}_i \mathbf{K}_j)^T \mathbf{P} + \mathbf{P}(\mathbf{A}_i + \mathbf{B}_i \mathbf{K}_j)] = \sum_{j > i}^r w_j w_i [(\mathbf{A}_j + \mathbf{B}_j \mathbf{K}_i)^T \mathbf{P} + \mathbf{P}(\mathbf{A}_j + \mathbf{B}_j \mathbf{K}_i)]$$

从而

$$\begin{aligned}
&\sum_{i=1}^r \sum_{j=1}^r w_i w_j [(\mathbf{A}_i + \mathbf{B}_i \mathbf{K}_j)^T \mathbf{P} + \mathbf{P}(\mathbf{A}_i + \mathbf{B}_i \mathbf{K}_j)] \\
&= \sum_{i=j=1}^r w_i w_i [(\mathbf{A}_i + \mathbf{B}_i \mathbf{K}_i)^T \mathbf{P} + \mathbf{P}(\mathbf{A}_i + \mathbf{B}_i \mathbf{K}_i)] + \\
&\quad \sum_{i < j}^r w_i w_j [(\mathbf{A}_i + \mathbf{B}_i \mathbf{K}_j)^T \mathbf{P} + \mathbf{P}(\mathbf{A}_i + \mathbf{B}_i \mathbf{K}_j)] + \sum_{j > i}^r w_j w_i [(\mathbf{A}_j + \mathbf{B}_j \mathbf{K}_i)^T \mathbf{P} + \mathbf{P}(\mathbf{A}_j + \mathbf{B}_j \mathbf{K}_i)] \\
&= \sum_{i=j=1}^r w_i w_i [(\mathbf{A}_i + \mathbf{B}_i \mathbf{K}_i)^T \mathbf{P} + \mathbf{P}(\mathbf{A}_i + \mathbf{B}_i \mathbf{K}_i)] + \\
&\quad \sum_{i < j}^r w_i w_j [((\mathbf{A}_i + \mathbf{B}_i \mathbf{K}_j) + (\mathbf{A}_j + \mathbf{B}_j \mathbf{K}_i))^T \mathbf{P} + \mathbf{P}((\mathbf{A}_i + \mathbf{B}_i \mathbf{K}_j) + (\mathbf{A}_j + \mathbf{B}_j \mathbf{K}_i))]
\end{aligned}$$

则

$$\dot{\mathbf{V}}(t) = \frac{1}{2} \mathbf{x}^T \frac{1}{\sum_{i=1}^r \sum_{j=1}^r w_i w_j} \sum_{i=j=1}^r w_i w_i [(\mathbf{A}_i + \mathbf{B}_i \mathbf{K}_i)^T \mathbf{P} + \mathbf{P}(\mathbf{A}_i + \mathbf{B}_i \mathbf{K}_i)] \mathbf{x} +$$

$$\frac{1}{2} \mathbf{x}^T \frac{1}{\sum_{i=1}^r \sum_{j=1}^r w_i w_j} \sum_{i < j} w_i w_j [((\mathbf{A}_i + \mathbf{B}_i \mathbf{K}_j) + (\mathbf{A}_j + \mathbf{B}_j \mathbf{K}_i))^T \mathbf{P} + \mathbf{P}((\mathbf{A}_i + \mathbf{B}_i \mathbf{K}_j) + (\mathbf{A}_j + \mathbf{B}_j \mathbf{K}_i))] \mathbf{x}$$

令 $\mathbf{G}_{ij} = (\mathbf{A}_i + \mathbf{B}_i \mathbf{K}_j) + (\mathbf{A}_j + \mathbf{B}_j \mathbf{K}_i)$, 可得

$$\begin{aligned} \dot{\mathbf{V}}(t) &= \frac{1}{2} \mathbf{x}^T \frac{1}{\sum_{i=1}^r \sum_{j=1}^r w_i w_j} \sum_{i=j=1}^r w_i w_i [(\mathbf{A}_i + \mathbf{B}_i \mathbf{K}_i)^T \mathbf{P} + \mathbf{P}(\mathbf{A}_i + \mathbf{B}_i \mathbf{K}_i)] \mathbf{x} + \\ &\quad \frac{1}{2} \mathbf{x}^T \frac{1}{\sum_{i=1}^r \sum_{j=1}^r w_i w_j} \sum_{i < j} w_i w_j [\mathbf{G}_{ij}^T \mathbf{P} + \mathbf{P} \mathbf{G}_{ij}] \mathbf{x} \end{aligned}$$

则当满足如下不等式

$$\begin{cases} (\mathbf{A}_i + \mathbf{B}_i \mathbf{K}_i)^T \mathbf{P} + \mathbf{P}(\mathbf{A}_i + \mathbf{B}_i \mathbf{K}_i) < 0, & i = j = 1, 2, \dots, r \\ \mathbf{G}_{ij}^T \mathbf{P} + \mathbf{P} \mathbf{G}_{ij} < 0, & i < j \leq r \end{cases}$$

有 $\dot{\mathbf{V}}(t) \leq 0$ 。

由式(4.92)可见, 当 $\dot{\mathbf{V}} \equiv 0$ 时, $\mathbf{x} \equiv 0$, 根据 LaSalle 不变性原理, $t \rightarrow \infty$ 时, $\mathbf{x} \rightarrow 0$ 。

4.5.3 不等式的转换

首先考虑 $(\mathbf{A}_i + \mathbf{B}_i \mathbf{K}_i)^T \mathbf{P} + \mathbf{P}(\mathbf{A}_i + \mathbf{B}_i \mathbf{K}_i) < 0, i = j = 1, 2, \dots, r$ 。取 $\mathbf{Q} = \mathbf{P}^{-1}$, 则 \mathbf{Q} 也是正定对称矩阵, 令 $\mathbf{V}_i = \mathbf{K}_i \mathbf{Q}$, 则

$$\mathbf{A}_i^T \mathbf{P} + \mathbf{K}_i^T \mathbf{B}_i^T \mathbf{P} + \mathbf{P} \mathbf{A}_i + \mathbf{P} \mathbf{B}_i \mathbf{K}_i < 0$$

上式中的每个式子两边分别乘以 \mathbf{P}^{-1} , 得

$$\mathbf{P}^{-1} \mathbf{A}_i^T + \mathbf{P}^{-1} \mathbf{K}_i^T \mathbf{B}_i^T + \mathbf{A}_i \mathbf{P}^{-1} + \mathbf{B}_i \mathbf{K}_i \mathbf{P}^{-1} < 0$$

即

$$\mathbf{Q} \mathbf{A}_i^T + \mathbf{V}_i^T \mathbf{B}_i^T + \mathbf{A}_i \mathbf{Q} + \mathbf{B}_i \mathbf{V}_i < 0$$

即

$$\mathbf{Q} \mathbf{A}_i^T + \mathbf{A}_i \mathbf{Q} + \mathbf{V}_i^T \mathbf{B}_i^T + \mathbf{B}_i \mathbf{V}_i < 0$$

然后考虑 $\mathbf{G}_{ij}^T \mathbf{P} + \mathbf{P} \mathbf{G}_{ij} < 0, \mathbf{G}_{ij} = (\mathbf{A}_i + \mathbf{B}_i \mathbf{K}_j) + (\mathbf{A}_j + \mathbf{B}_j \mathbf{K}_i), i < j \leq r$ 。取 $\mathbf{Q} = \mathbf{P}^{-1}$, 则 \mathbf{Q} 也是正定对称矩阵。令 $\mathbf{V}_i = \mathbf{K}_i \mathbf{Q}, \mathbf{V}_j = \mathbf{K}_j \mathbf{Q}$, 即

$$((\mathbf{A}_i + \mathbf{B}_i \mathbf{K}_j) + (\mathbf{A}_j + \mathbf{B}_j \mathbf{K}_i))^T \mathbf{P} + \mathbf{P}((\mathbf{A}_i + \mathbf{B}_i \mathbf{K}_j) + (\mathbf{A}_j + \mathbf{B}_j \mathbf{K}_i)) < 0$$

上式中的每个式子两边分别乘以 \mathbf{P}^{-1} , 并考虑 $\mathbf{Q} = \mathbf{Q}^T$, 得

$$\mathbf{Q}^T ((\mathbf{A}_i + \mathbf{B}_i \mathbf{K}_j) + (\mathbf{A}_j + \mathbf{B}_j \mathbf{K}_i))^T + ((\mathbf{A}_i + \mathbf{B}_i \mathbf{K}_j) + (\mathbf{A}_j + \mathbf{B}_j \mathbf{K}_i)) \mathbf{Q} < 0$$

即

$$(\mathbf{A}_i \mathbf{Q} + \mathbf{B}_i \mathbf{K}_j \mathbf{Q} + \mathbf{A}_j \mathbf{Q} + \mathbf{B}_j \mathbf{K}_i \mathbf{Q})^T + \mathbf{A}_i \mathbf{Q} + \mathbf{B}_i \mathbf{K}_j \mathbf{Q} + \mathbf{A}_j \mathbf{Q} + \mathbf{B}_j \mathbf{K}_i \mathbf{Q} < 0$$

从而得

$$(\mathbf{A}_i \mathbf{Q} + \mathbf{B}_i \mathbf{V}_j + \mathbf{A}_j \mathbf{Q} + \mathbf{B}_j \mathbf{V}_i)^T + \mathbf{A}_i \mathbf{Q} + \mathbf{B}_i \mathbf{V}_j + \mathbf{A}_j \mathbf{Q} + \mathbf{B}_j \mathbf{V}_i < 0$$

即

$$\mathbf{Q} \mathbf{A}_i^T + \mathbf{A}_i \mathbf{Q} + \mathbf{Q} \mathbf{A}_j^T + \mathbf{A}_j \mathbf{Q} + \mathbf{V}_j^T \mathbf{B}_i^T + \mathbf{B}_i \mathbf{V}_j + \mathbf{V}_i^T \mathbf{B}_j^T + \mathbf{B}_j \mathbf{V}_i < 0$$

4.5.4 LMI 设计实例说明

实例 1: 如模糊系统由 2 条模糊规则, $r=2$, 有 $i=1, 2$, 则 LMI 不等式如下:

$$QA_1^T + A_1Q + V_1^TB_1^T + B_1V_1 < 0$$

$$QA_2^T + A_2Q + V_2^TB_2^T + B_2V_2 < 0$$

针对 $i < j \leq r$, 有 $i=1, j=2$, 2 条规则隶属函数相互作用, 则 LMI 不等式如下:

$$QA_1^T + A_1Q + QA_2^T + A_2Q + V_2^TB_1^T + B_1V_2 + V_1^TB_2^T + B_2V_1 < 0$$

写成 MATLAB 程序如下:

$$L1 = Q * A1' + A1 * Q + V1' * B1' + B1 * V1;$$

$$L2 = Q * A2' + A2 * Q + V2' * B2' + B2 * V2;$$

$$L3 = Q * A1' + A1 * Q + Q * A2' + A2 * Q + V2' * B1' + B1 * V2 + V1' * B2' + B2 * V1;$$

实例 2: 如模糊系统由 4 条模糊规则, $r=4$ 。

考虑单条规则, 有 $i=1, 2, 3, 4$, 则可构造 4 条 LMI 不等式如下:

$$QA_1^T + A_1Q + V_1^TB_1^T + B_1V_1 < 0$$

$$QA_2^T + A_2Q + V_2^TB_2^T + B_2V_2 < 0$$

$$QA_3^T + A_3Q + V_3^TB_3^T + B_3V_3 < 0$$

$$QA_4^T + A_4Q + V_4^TB_4^T + B_4V_4 < 0$$

写成 MATLAB 程序如下:

$$L1 = Q * A1' + A1 * Q + V1' * B1' + B1 * V1;$$

$$L2 = Q * A2' + A2 * Q + V2' * B2' + B2 * V2;$$

$$L3 = Q * A3' + A3 * Q + V3' * B3' + B3 * V3;$$

$$L4 = Q * A4' + A4 * Q + V4' * B4' + B4 * V4;$$

针对 $i < j \leq r$, 则可构造如下 LMI 不等式。根据 $QA_i^T + A_iQ + QA_j^T + A_jQ + V_j^TB_i^T + B_iV_j + V_i^TB_j^T + B_jV_i < 0$, 可能存在的不等式如下: $i=1, j=2, i=1, j=3, i=1, j=4; i=2, j=3, i=2, j=4; i=3, j=4$ 。设计 LMI 不等式时, 应考虑隶属函数 i 和隶属函数 j 是否有隶属函数相互作用。

考虑第 3 条规则的隶属函数和第 4 条规则的隶属函数相互作用, 即 $i=3, j=4$, 所对应的 LMI 不等式如下:

$$QA_3^T + A_3Q + QA_4^T + A_4Q + V_4^TB_3^T + B_3V_4 + V_3^TB_4^T + B_4V_3 < 0$$

写成 MATLAB 程序如下:

$$L = Q * A3' + A3 * Q + Q * A4' + A4 * Q + V4' * B3' + B3 * V4 + V3' * B4' + B4 * V3;$$

4.5.5 单级倒立摆的 T-S 模型模糊控制

倒立摆系统的控制问题一直是控制研究中的一个典型问题。控制的目标是通过给小车底座施加一个力 u (控制量), 使小车停留在预定的位置, 并使摆不倒下, 即不超过预先定义好的垂直偏离角度范围。

单级倒立摆模型为

$$\begin{cases} \dot{x}_1 = x_2 \\ \dot{x}_2 = \frac{g \sin x_1 - a m l x_2^2 \sin(2x_1)/2 - a u \cos x_1}{4l/3 - a m l \cos^2 x_1} \end{cases} \quad (4.93)$$

其中, x_1 为摆的角度, x_2 为摆的角速度, $2l$ 为摆长, u 为加在小车上的控制输入,

$a = \frac{1}{M+m}$, M 和 m 分别为小车和摆的质量。

1. 基于 2 条模糊规则的设计

根据倒立摆模型式(4.93)可知, 当 $x_1 \rightarrow 0$ 时, $\sin x_1 \rightarrow x_1$, $\cos x_1 \rightarrow 1$; $x_1 \rightarrow \pm \frac{\pi}{2}$ 时, $\sin x_1 \rightarrow \pm 1 \rightarrow \frac{2}{\pi} x_1$, 由此可得以下两条 T-S 型模糊规则:

规则 1: IF $x_1(t)$ is about 0, THEN $\dot{x}(t) = A_1 x(t) + B_1 u(t)$;

规则 2: IF $x_1(t)$ is about $\pm \frac{\pi}{2}$ ($|x_1| < \frac{\pi}{2}$), THEN $\dot{x}(t) = A_2 x(t) + B_2 u(t)$ 。

$$\text{其中, } A_1 = \begin{bmatrix} 0 & 1 \\ \frac{g}{4l/3 - aml} & 0 \end{bmatrix}, B_1 = \begin{bmatrix} 0 \\ \frac{\alpha}{4l/3 - aml} \end{bmatrix}, A_2 = \begin{bmatrix} 0 & 1 \\ \frac{2g}{\pi(4l/3 - aml\beta^2)} & 0 \end{bmatrix},$$

$$B_2 = \begin{bmatrix} 0 \\ -\frac{\alpha\beta}{4l/3 - aml\beta^2} \end{bmatrix}, \beta = \cos(88^\circ)。$$

根据 4.5.4 节实例 1, 倒立摆的线性矩阵不等式可表示为

$$Q A_1^T + A_1 Q + V_1^T B_1^T + B_1 V_1 < 0,$$

$$Q A_2^T + A_2 Q + V_2^T B_2^T + B_2 V_2 < 0,$$

$$Q A_1^T + A_1 Q + Q A_2^T + A_2 Q + V_2^T B_1^T + B_1 V_2 + V_1^T B_2^T + B_2 V_1 < 0$$

$$Q = P^{-1} > 0$$

其中, $K_1 = V_1 P$, $K_2 = V_2 P$, $i = 1, 2$ 。

针对上述线性矩阵不等式, 可采用 MATLAB 的 LMI 工具箱进行求解。针对倒立摆模型, 取 $g = 9.8 \text{ m/s}^2$, 摆的质量 $m = 2.0 \text{ kg}$, 小车质量 $M = 8.0 \text{ kg}$, $2l = 1.0 \text{ m}$ 。

根据倒立摆的运动情况, 设计 2 条模糊控制规则:

规则 1: IF $x_1(t)$ is about 0 THEN $u = K_1 x(t)$

规则 2: IF $x_1(t)$ is about $\pm \frac{\pi}{2}$ ($|x_1(t)| < \frac{\pi}{2}$) THEN $u = K_2 x(t)$

采用 PDC 方法, 根据式(4.90), 设计基于 T-S 型的模糊控制器为

$$u = w_1(x_1) K_1 x(t) + w_2(x_1) K_2 x(t)$$

其中, $w_1 + w_2 = 1$ 。

根据倒立摆的两条 T-S 模糊模型规则, 隶属函数应按图 4-27 进行设计。仿真中采用三角形隶属函数(见图 4-28)实现摆角度 $x_1(t)$ 的模糊化。摆角初始状态为 $\begin{bmatrix} \frac{\pi}{3} & 0 \end{bmatrix}$ 。

采用 LMI 求解工具箱-YALMIP 工具箱(见本章附录介绍), 控制器增益的 LMI 求解程序为 chap4_7LMI_design.m, 求解线性矩阵不等式, 求得 Q, V_1, V_2 , 从而得到状态反馈增益: $K_1 = [2400.8 \quad 692.3]$, $K_2 = [5171.6 \quad 1515.3]$ 。然后运行 Simulink 主程序 chap4_7sim。

mdl,仿真结果如图 4-29 和图 4-30 所示。

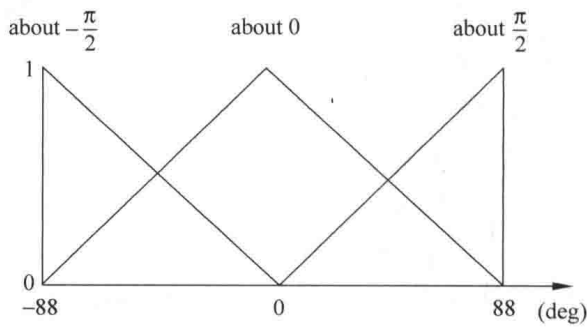


图 4-27 模糊隶属函数示意图

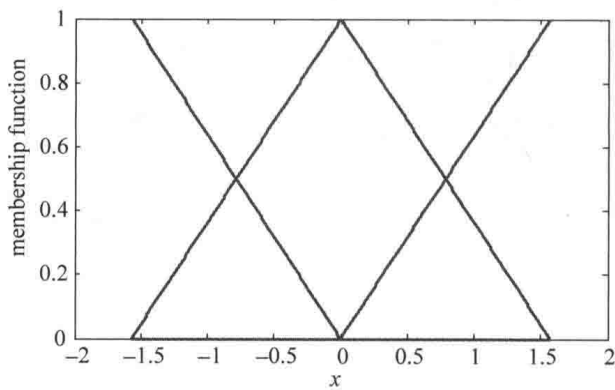


图 4-28 仿真中的模糊隶属函数

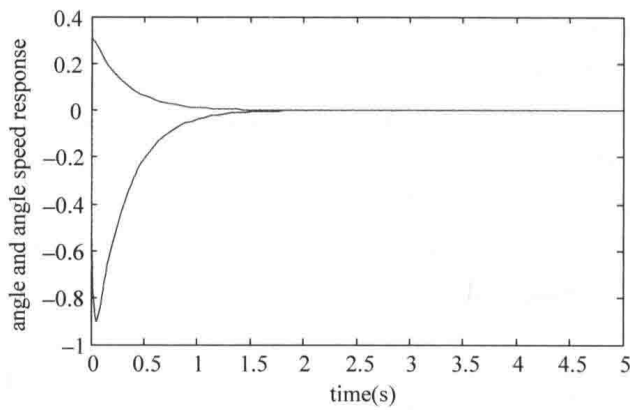


图 4-29 角度和角速度响应

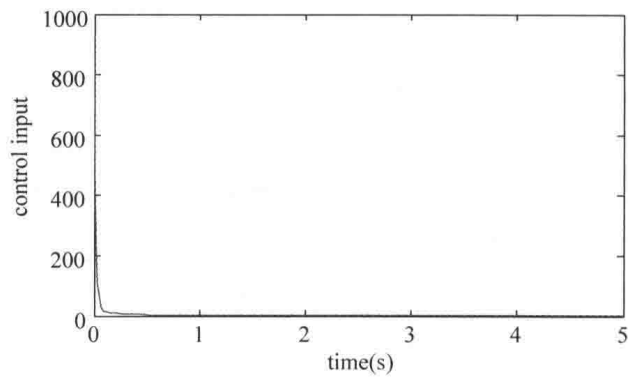


图 4-30 控制输入

仿真程序如下：

(1) 基于 LMI 的控制器增益求解程序：chap4_7LMI_design.m。

```
clear all;
close all;

g = 9.8; m = 2.0; M = 8.0; l = 0.5;
a = 1/(m + M); beta = cos(88 * pi/180);

a1 = 4 * l/3 - a * m * l;
A1 = [0 1; g/a1 0];
B1 = [0; -a/a1];
a2 = 4 * l/3 - a * m * l * beta^2;
A2 = [0 1; 2 * g/(pi * a2) 0];
B2 = [0; -a * beta/a2];

Q = sdpvar(2, 2);
V1 = sdpvar(1, 2);
V2 = sdpvar(1, 2);

L1 = Q * A1' + A1 * Q + V1' * B1' + B1 * V1;
L2 = Q * A2' + A2 * Q + V2' * B2' + B2 * V2;
L3 = Q * A1' + A1 * Q + Q * A2' + A2 * Q + V2' * B1' + B1 * V2 + V1' * B2' + B2 * V1;

F = set(L1 < 0) + set(L2 < 0) + set(L3 < 0) + set(Q > 0);
solvesdp(F); % To get Q, V1, V2

Q = double(Q);
V1 = double(V1);
V2 = double(V2);

P = inv(Q);
K1 = V1 * P;
K2 = V2 * P;
save K_file K1 K2;
```

(2) 隶属函数设计程序：chap4_7mf.m。

```
clear all;
close all;
L1 = -pi/2; L2 = pi/2;
L = L2 - L1;

h = pi/2;
N = L/h;
T = 0.01;

x = L1:T:L2;
for i = 1:N + 1
    e(i) = L1 + L/N * (i - 1);
```

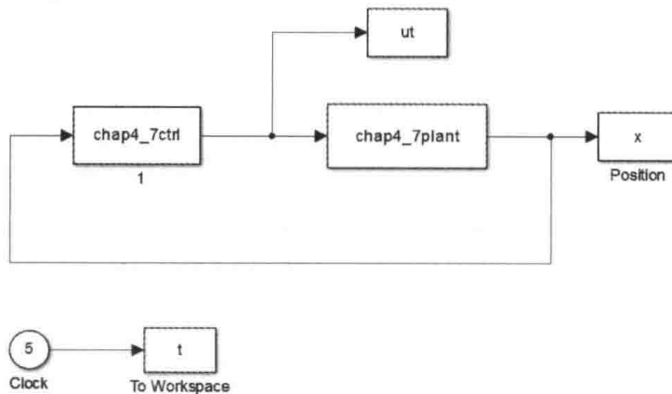
```

end
u = trimf(x, [e(1), e(2), e(3)]); % The middle MF
plot(x, u, 'r', 'linewidth', 2);

for j = 1:N
    if j == 1
        u = trimf(x, [e(1), e(1), e(2)]); % The first MF
    elseif j == N
        u = trimf(x, [e(N), e(N+1), e(N+1)]); % The last MF
    end
    hold on;
    plot(x, u, 'b', 'linewidth', 2);
end
xlabel('x'); ylabel('membership function');
legend('first rule', 'second rule');

```

(3) Simulink 主程序：chap4_7sim.mdl。



(4) 模糊控制 S 函数：chap4_7ctrl.m。

```

function [sys,x0,str,ts] = spacemodel(t,x,u,flag)
switch flag,
case 0,
    [sys,x0,str,ts] = mdlInitializeSizes;
case 3,
    sys = mdlOutputs(t,x,u);
case {2,4,9}
    sys = [];
otherwise
    error(['Unhandled flag = ', num2str(flag)]);
end
function [sys,x0,str,ts] = mdlInitializeSizes
sizes = simsizes;
sizes.NumContStates = 0;
sizes.NumDiscStates = 0;
sizes.NumOutputs = 1;
sizes.NumInputs = 2;

```

```

sizes.DirFeedthrough = 1;
sizes.NumSampleTimes = 1;
sys = simsizes(sizes);
x0 = [];
str = [];
ts = [0 0];
function sys = mdlOutputs(t,x,u)
x = [u(1);u(2)];

load K_file;
ut1 = K1 * x;
ut2 = K2 * x;

L1 = -pi/2;L2 = pi/2;
L = L2 - L1;

N = 2;
for i = 1:N+1
    e(i) = L1 + L/N * (i-1);
end

h1 = trimf(x(1),[e(1),e(2),e(3)]); % The middle
if x(1)<= 0
    h2 = trimf(x(1),[e(1),e(1),e(2)]); % The first
else
    h2 = trimf(x(1),[e(2),e(3),e(3)]); % The last
end
% h1 + h2
ut = (h1 * ut1 + h2 * ut2)/(h1 + h2);
sys(1) = ut;

```

(5) 作图程序: chap4_7plot. m。

```

close all;

figure(1);
plot(t,x(:,1),'r',t,x(:,2),'b');
xlabel('time(s)');ylabel('angle and angle speed response');

figure(2);
plot(t,ut(:,1),'r');
xlabel('time(s)');ylabel('control input');

```

2. 基于 4 条模糊规则的设计

为了能在大范围的初始角度下进行控制,在上述 2 条规则的基础上,需要增加模糊规则数量。

根据倒立摆模型式(4.93)可知, $x_1 \rightarrow \pm \frac{\pi}{2}$ ($|x_1| > \frac{\pi}{2}$) 时, $\sin x_1 \rightarrow \pm 1 \rightarrow \frac{2}{\pi} x_1$, 由于 $\beta = \cos 88^\circ$, 则 $\cos x_1 = \cos(180^\circ - 88^\circ) = -\cos 88^\circ = -\beta$; 当 $x_1 \rightarrow \pi$ 时, $\sin x_1 \rightarrow 0$, $\cos x_1 \rightarrow -1$, 则

近似有 $\dot{x}_2 = \frac{au}{4l/3 - aml}$ 。由此可得以下另外两条 T-S 型模糊规则。

规则 3: IF $x_1(t)$ is about $\pm \frac{\pi}{2}$ ($|x_1| > \frac{\pi}{2}$), THEN $\dot{x}(t) = A_3 x(t) + B_3 u(t)$ 。

规则 4: IF $x_1(t)$ is about $\pm \pi$, THEN $\dot{x}(t) = A_4 x(t) + B_4 u(t)$ 。

其中, $A_3 = \begin{bmatrix} 0 & 1 \\ \frac{2g}{\pi(4l/3 - aml\beta^2)} & 0 \end{bmatrix}$, $B_3 = \begin{bmatrix} 0 \\ \frac{\alpha\beta}{4l/3 - aml\beta^2} \end{bmatrix}$, $A_4 = \begin{bmatrix} 0 & 1 \\ 0 & 0 \end{bmatrix}$, $B_4 = \begin{bmatrix} 0 \\ \frac{\alpha}{4l/3 - aml} \end{bmatrix}$ 。

根据倒立摆的运动情况,设计上述两条模糊控制规则:

规则 3: IF $x_1(t)$ is about $\pm \frac{\pi}{2}$ ($|x_1| > \frac{\pi}{2}$) THEN $u = K_3 x(t)$ 。

规则 4: IF $x_1(t)$ is about $\pm \pi$ THEN $u = K_4 x(t)$ 。

如图 4-31 所示,为具有 4 条规则的隶属函数示意图,隶属函数有交集的规则分别是规则 1 和 2,规则 3 和 4,带有交点的规则才能构成一个不等式。故针对 $i < j \leq r$,只能构造 2 个 LMI,根据 4.5.4 节的实例 2,所对应的 LMI 不等式如下:

$$\begin{aligned} Q A_1^T + A_1 Q + Q A_2^T + A_2 Q + V_2^T B_1^T + B_1 V_2 + V_1^T B_2^T + B_2 V_1 &< 0 \\ Q A_3^T + A_3 Q + Q A_4^T + A_4 Q + V_4^T B_3^T + B_3 V_4 + V_3^T B_4^T + B_4 V_3 &< 0 \end{aligned}$$

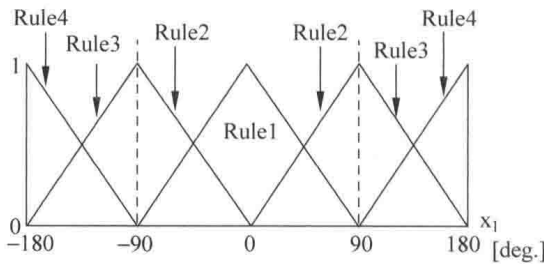


图 4-31 模糊隶属函数示意图

写成 MATLAB 程序如下:

```
L5 = Q * A1' + A1 * Q + Q * A2' + A2 * Q + V2' * B1' + B1 * V2 + V1' * B2' + B2 * V1;  
L6 = Q * A3' + A3 * Q + Q * A4' + A4 * Q + V4' * B3' + B3 * V4 + V3' * B4' + B4 * V3;
```

采用 PDC 方法,根据式(4.90),设计基于 T-S 型的模糊控制器为

$$u = w_1(x_1)K_1 x(t) + w_2(x_1)K_2 x(t) + w_3(x_1)K_3 x(t) + w_4(x_1)K_4 x(t)$$

根据倒立摆的两条 T-S 型模糊规则,隶属函数应按图 4-32 进行设计。仿真中采用三角形隶属函数实现摆角度 $x_1(t)$ 的模糊化。摆角初始状态为 $[\pi \ 0]$ 。

采用 LMI 求解工具箱—YALMIP 工具箱(见本章附录介绍),控制器增益的 LMI 求解程序为 chap4_8LMI_design.m,求解线性矩阵不等式,求得 Q, V_1, V_2, V_3, V_4 ,从而得到状态反馈增益: $K_1 = [3301.3 \ 969.9]$, $K_2 = [6366.3 \ 1879.7]$, $K_3 = [-6189.6 \ -1883.7]$, $K_4 = [-3105.2 \ -969.9]$ 。然后运行 Simulink 主程序 chap4_8sim.mdl,仿真结果如图 4-33 和图 4-34 所示。

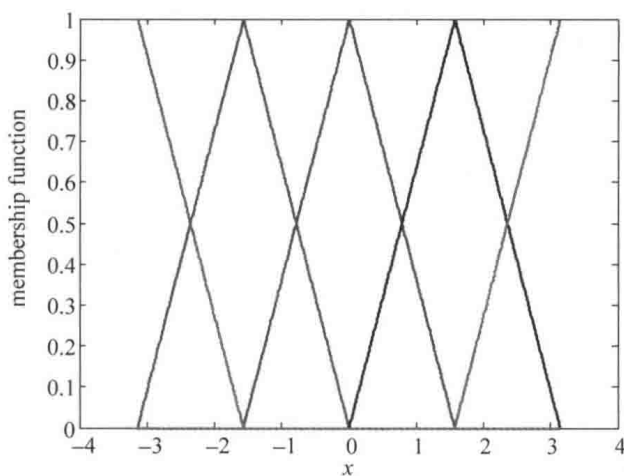


图 4-32 模糊隶属函数

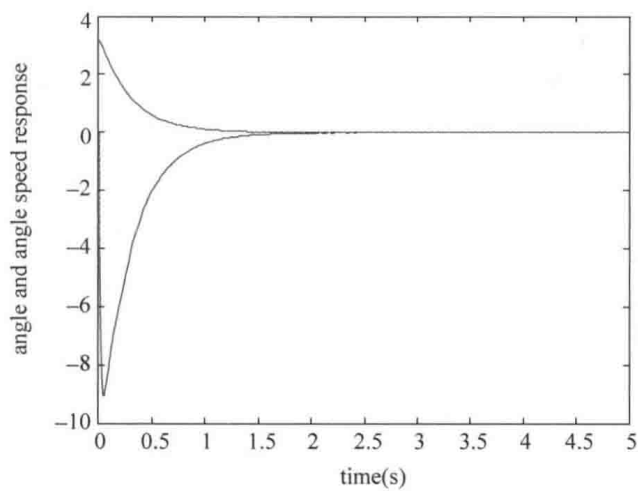


图 4-33 角度和角速度响应

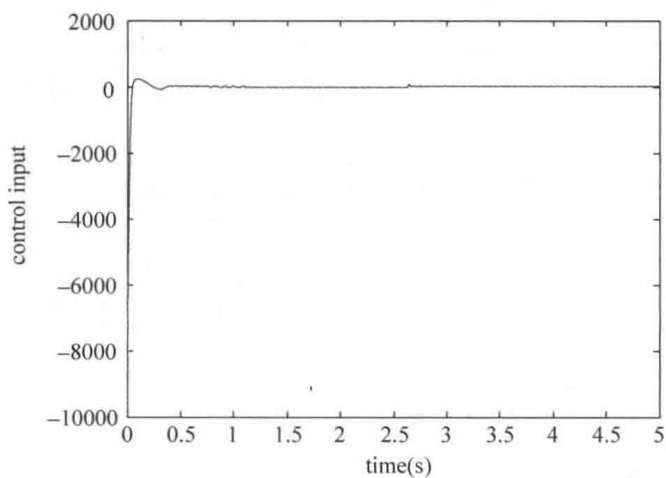


图 4-34 控制输入

仿真程序如下：

(1) 基于 LMI 的控制器增益求解程序：chap4_8LMI_design.m。

```
clear all;
close all;

g = 9.8; m = 2.0; M = 8.0; l = 0.5;
a = 1/(m + M); beta = cos(88 * pi/180);

a1 = 4 * l/3 - a * m * l;
A1 = [0 1; g/a1 0];
B1 = [0; -a/a1];

a2 = 4 * l/3 - a * m * l * beta^2;

A2 = [0 1; 2 * g/(pi * a2) 0];
B2 = [0; -a * beta/a2];

A3 = [0 1; 2 * g/(pi * a2) 0];
B3 = [0; a * beta/a2];

A4 = [0 1; 0 0];
B4 = [0; a/a1];

Q = sdpvar(2,2);
V1 = sdpvar(1,2);
V2 = sdpvar(1,2);
V3 = sdpvar(1,2);
V4 = sdpvar(1,2);

L1 = Q * A1' + A1 * Q + V1' * B1' + B1 * V1;
L2 = Q * A2' + A2 * Q + V2' * B2' + B2 * V2;
L3 = Q * A3' + A3 * Q + V3' * B3' + B3 * V3;
L4 = Q * A4' + A4 * Q + V4' * B4' + B4 * V4;

L5 = Q * A1' + A1 * Q + Q * A2' + A2 * Q + V2' * B1' + B1 * V2 + V1' * B2' + B2 * V1; % from R1 and R2
L6 = Q * A3' + A3 * Q + Q * A4' + A4 * Q + V4' * B3' + B3 * V4 + V3' * B4' + B4 * V3; % from R3 and R4

F = set(L1 < 0) + set(L2 < 0) + set(L3 < 0) + set(L4 < 0) + set(L5 < 0) + set(L6 < 0) + set(Q > 0);
solvesdp(F); % To get Q, V1, V2, V3, V4

Q = double(Q);
V1 = double(V1);
V2 = double(V2);
V3 = double(V3);
V4 = double(V4);

P = inv(Q);
```

```

K1 = V1 * P
K2 = V2 * P
K3 = V3 * P
K4 = V4 * P

```

```
save K_file K1 K2 K3 K4;
```

(2) 隶属函数设计程序: chap4_8mf.m。

```

clear all;
close all;
L1 = -pi; L2 = pi;
L = L2 - L1;

h = pi/2;
N = L/h;
T = 0.01;

x = L1:T:L2;
for i = 1:N+1
    e(i) = L1 + L/N * (i - 1);
end
figure(2);
% h1
h1 = trimf(x, [e(2), e(3), e(4)]); % Rule 1: x1 is to zero
plot(x, h1, 'r', 'linewidth', 2);
% h2, Rule 2: x1 is about +-pi/2, but smaller
% if x <= 0
h2 = trimf(x, [e(2), e(2), e(3)]);
hold on
plot(x, h2, 'b', 'linewidth', 2);
% else
h2 = trimf(x, [e(3), e(4), e(4)]);
hold on
plot(x, h2, 'b', 'linewidth', 2);
% end

% h3, Rule 3: x1 is about +-pi/2, but bigger
% if x < 0
h3 = trimf(x, [e(1), e(2), e(2)]);
hold on;
plot(x, h3, 'g', 'linewidth', 2);
% else
h3 = trimf(x, [e(4), e(4), e(5)]);
hold on;
plot(x, h3, 'g', 'linewidth', 2);
% end

% h4, Rule 4: x1 is about +-pi
% if x < 0
h4 = trimf(x, [e(1), e(1), e(2)]);

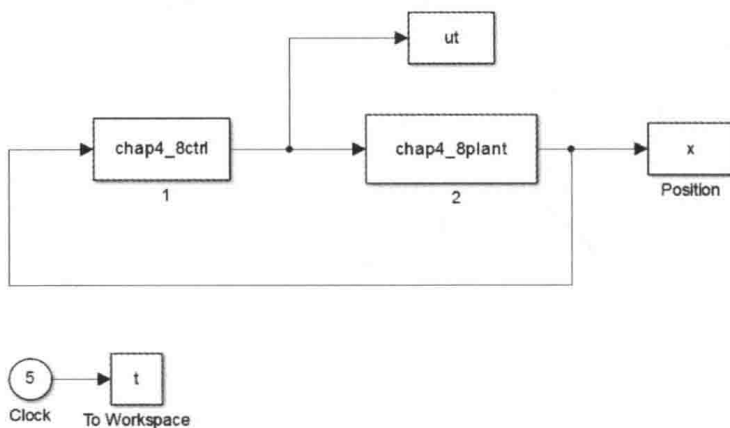
```

```

    hold on;
    plot(x, h4, 'k', 'linewidth', 2);
% else
    h4 = trimf(x, [e(4), e(5), e(5)]);
    hold on;
    plot(x, h4, 'k', 'linewidth', 2);
% end

```

(3) Simulink 主程序: chap4_8sim.mdl。



(4) 模糊控制 S 函数: chap4_8ctrl.m。

```

function [sys,x0,str,ts] = spacemodel(t,x,u,flag)
switch flag,
case 0,
    [sys,x0,str,ts] = mdlInitializeSizes;
case 3,
    sys = mdlOutputs(t,x,u);
case {2,4,9}
    sys = [];
otherwise
    error(['Unhandled flag = ',num2str(flag)]);
end
function [sys,x0,str,ts] = mdlInitializeSizes
sizes = simsizes;
sizes.NumContStates = 0;
sizes.NumDiscStates = 0;
sizes.NumOutputs = 1;
sizes.NumInputs = 2;
sizes.DirFeedthrough = 1;
sizes.NumSampleTimes = 1;
sys = simsizes(sizes);
x0 = [];
str = [];
ts = [0 0];
function sys = mdlOutputs(t,x,u)
x = [u(1);u(2)];

```

```

load K_file;
ut1 = K1 * x;
ut2 = K2 * x;
ut3 = K3 * x;
ut4 = K4 * x;

L1 = -pi; L2 = pi;
L = L2 - L1;

h = pi/2;
N = L/h;

for i = 1:N+1
    e(i) = L1 + L/N * (i-1);
end

% h1
h1 = trimf(x(1), [e(2), e(3), e(4)]); % Rule 1: x1 is to zero

% h2, Rule 2: x1 is about +- pi/2, but smaller
if x(1) <= 0
    h2 = trimf(x(1), [e(2), e(2), e(3)]);
else
    h2 = trimf(x(1), [e(3), e(4), e(4)]);
end

% h3, Rule 3: x1 is about +- pi/2, but bigger
if x(1) < 0
    h3 = trimf(x(1), [e(1), e(2), e(2)]);
else
    h3 = trimf(x(1), [e(4), e(4), e(5)]);
end

% h4, Rule 4: x1 is about +- pi
if x(1) < 0
    h4 = trimf(x(1), [e(1), e(1), e(2)]);
else
    h4 = trimf(x(1), [e(4), e(5), e(5)]);
end

h1 + h2 + h3 + h4;
ut = (h1 * ut1 + h2 * ut2 + h3 * ut3 + h4 * ut4) / (h1 + h2 + h3 + h4);
sys(1) = ut;

```

(5) 作图程序: chap4_8plot. m。

```

close all;

figure(1);
plot(t, x(:, 1), 'r', t, x(:, 2), 'b');
xlabel('time(s)'); ylabel('angle and angle speed response');

```

```
figure(2);
plot(t, ut(:,1), 'r');
xlabel('time(s)'); ylabel('control input');
```

附录 新的 LMI 求解工具箱——YALMIP 工具箱

线性矩阵不等式(Linear Matrix Inequality, LMI)是控制领域的一个强有力的设计工具。许多控制理论及分析与综合问题都可简化为相应的 LMI 问题,通过构造有效的计算机算法求解。

随着控制技术的迅速发展,在反馈控制系统的设计中,常需要考虑许多系统的约束条件,例如,系统的不确定性约束等。在处理系统鲁棒控制问题以及其他控制理论引起的许多控制问题时,都可将所控制问题转化为一个线性矩阵不等式或带有线性矩阵不等式约束的最优化问题。目前线性矩阵不等式(LMI)技术已成为控制工程、系统辨识、结构设计等领域的有效工具。利用线性矩阵不等式技术来求解一些控制问题,是目前和今后控制理论发展的一个重要方向。

YALMIP 是 MATLAB 的一个独立的工具箱,具有很强的优化求解能力,该工具箱具有以下 3 个特点^①:

- (1) 是基于符号运算工具箱编写的工具箱。
- (2) 是一种定义和求解高级优化问题的模化语言。
- (3) 该工具箱用于求解线性规划、整数规划、非线性规划、混合规划等标准优化问题以及 LMI 问题。

采用 YALMIP 工具箱求解 LMI 问题,通过 set 指令可以很容易描述 LMI 约束条件,不需具体说明不等式中各项的位置和内容,运行的结果可以用 double 语句查看。

使用工具箱中的集成命令,只需直接写出不等式的表达式,就可很容易地求解不等式了。YALMIP 工具箱的关键集成命令有以下 4 种:

- (1) 实型变量 sdpvar 是 YALMIP 的一种核心对象,它所代表的是优化问题中的实型决策变量。
- (2) 约束条件 set 是 YALMIP 的另外一种关键对象,用它来囊括优化问题的所有约束条件。
- (3) 求解函数 solvesdp 用来求解优化问题。
- (4) 求解未知量 x 完成后,用 $x = \text{double}(x)$ 提取解矩阵。

YALMIP 工具箱可从网络上免费下载,工具箱名称为 yalmip.rar。工具箱安装方法:
 ① 先把 rar 文件解压到 MATLAB 安装目录下的 Toolbox 子文件夹;② 然后在 MATLAB 界面下 File→set path 单击 add with subfolders,然后找到解压文件目录。这样 MATLAB 就能自动找到工具箱里的命令了。

例如,求解下列 LMI 问题: LMI 不等式为

$$A^T P + F^T B^T P + PA + PBF < 0$$

① 见东北大学王琪撰写的《YALMIP 工具箱简介》。

已知矩阵 A 、 B 、 P ，求矩阵 F 。

具体的一个求解实例如下：

取

$$A = \begin{bmatrix} -2.548 & 9.1 & 0 \\ 1 & -1 & 0 \\ 0 & -14.2 & 0 \end{bmatrix}$$

$$B = \begin{bmatrix} 1 & 0 & 0 \\ 0 & 1 & 0 \\ 0 & 0 & 1 \end{bmatrix}$$

$$P = \begin{bmatrix} 1000000 & 0 & 0 \\ 0 & 1000000 & 0 \\ 0 & 0 & 1000000 \end{bmatrix}$$

解该 LMI 式，可得

$$F = \begin{bmatrix} -492.4768 & -5.05 & 0 \\ -5.05 & -494.0248 & 6.6 \\ 0 & 6.6 & -495.0248 \end{bmatrix}$$

仿真程序：chap4_9.m。

```
clear all;
close all;

% First example
A = [-2.548 9.1 0; 1 -1 1; 0 -14.2 0];
B = [1 0 0; 0 1 0; 0 0 1];
F = sdpvar(3,3);
P = 1000000 * eye(3);

FAI = (A' + F' * B') * P + P * (A + B * F);

% LMI description
L = set(FAI < 0);
solvesdp(L);
F = double(F)
```

参考文献

- [1] 王立新. 模糊系统与模糊控制教程[M]. 北京：清华大学出版社，2003.
- [2] Yoo B K, Ham W C. Adaptive control of robot manipulator using fuzzy compensator[J]. IEEE Transactions on Fuzzy Systems, 2000, 8(2): 186-199.
- [3] Sugeno M, Kang G T. Fuzzy modeling and control of multilayer incinerator[J]. Fuzzy Sets Systems, 1986, 18: 329-346.
- [4] Tanaka K, Sugeno M. Stability analysis and design of fuzzy control systems[J]. Fuzzy Sets Systems, 1992, 45(2): 135-156.

- [5] Wang H O, Tanaka K, Griffin M F. Parallel distributed compensation of nonlinear systems by Takagi-Sugeno fuzzy model[C]//Proc. Fuzz-IEEE/IFES' 95, 1995, 531-538.
- [6] Farinwata S, Filev D, Langari R. Fuzzy control: synthesis and analysis[M]. New York: John Wiley & Sons, Ltd, 2000.
- [7] Tanaka K, Wang H O. Fuzzy control systems design and analysis: a linear matrix inequality approach [M]. New York: John Wiley & Sons, Inc, 2000.
- [8] Wang H O, Tanaka K, Griffin M. An analytical framework of fuzzy modeling and control of nonlinear systems: stability and design issues[C]//Proceedings of the IEEE American Control Conference, 1995, 3: 2272-2276.

5.1 迭代学习控制的数学基础

迭代学习控制是通过迭代修正达到某种控制目标的改善,它的算法较为简单,且能在给定的时间范围内实现未知对象实际运行轨迹以高精度跟踪给定期望轨迹,且不依赖系统的精确数学模型,因而一经推出,就在控制领域得到了广泛的运用。下面介绍学习控制的稳定性和收敛性分析时用到的基本数学知识^[1,2]。

5.1.1 矩阵的迹及初等性质

定义 设 A 是 n 阶方阵,则称 A 的主对角元素的和为 A 的迹,记作 $\text{tr}(A)$ 。即若

$$A = \begin{bmatrix} a_{11} & a_{12} & \cdots & a_{1n} \\ a_{21} & a_{22} & \cdots & a_{2n} \\ \vdots & \vdots & \ddots & \vdots \\ a_{i1} & a_{i2} & a_{ii} & a_{in} \\ \vdots & \vdots & \ddots & \vdots \\ a_{n1} & a_{n2} & \cdots & a_{nn} \end{bmatrix} \quad (5.1)$$

则

$$\text{tr}(A) = \sum_{i=1}^n a_{ii} \quad (5.2)$$

设 A, B 都是 n 阶方阵, λ, μ 为任意复数,则矩阵的迹具有如下性质:

- (1) $\text{tr}(\lambda A + \mu B) = \lambda \text{tr}(A) + \mu \text{tr}(B)$ 。
- (2) $\text{tr}(A) = \text{tr}(A^T)$ 。
- (3) 若 $A \in C^{m \times n}, B \in C^{n \times m}$, 则 $\text{tr}(AB) = \text{tr}(BA)$ 。

5.1.2 向量范数和矩阵范数

1. 向量范数

任取 $x \in C^n$, 且 $x = (\xi_1 \ \xi_2 \ \cdots \ \xi_n)^T$, 可定义

$$\|x\|_1 = \sum_{i=1}^n |\xi_i| \quad (5.3)$$

$$\| \mathbf{x} \|_2 = \left(\sum_{i=1}^n |\xi_i|^2 \right)^{1/2} \quad (5.4)$$

$$\| \mathbf{x} \|_\infty = \max_{1 \leq i \leq n} |\xi_i| \quad (5.5)$$

上述三个范数都是 C^n 中的向量范数, 分别称为 1-范数, 2-范数和 ∞ -范数, 这三个范数实际上都是 p -范数的特殊情形。

p -范数定义如下:

$$\| \mathbf{x} \|_p = \left(\sum_{i=1}^n |\xi_i|^p \right)^{1/p}, \quad 1 \leq p < +\infty \quad (5.6)$$

2. 矩阵范数

定义: 若对任意矩阵 $\mathbf{A} \in C^{m \times n}$, 都有实数 $\| \mathbf{A} \|$ 与之对应, 且满足下面的范数公理:

(1) 正定性: $\| \mathbf{A} \| \geq 0$, 当且仅当 $\mathbf{A} = \mathbf{0}$ 时 $\| \mathbf{A} \| = 0$ 。

(2) 齐次性: 对任何 $\lambda \in C$, $\| \lambda \mathbf{A} \| = |\lambda| \| \mathbf{A} \|$ 。

(3) 三角不等式: 对任何 $\mathbf{A}, \mathbf{B} \in C^{m \times n}$, 有

$$\| \mathbf{A} + \mathbf{B} \| \leq \| \mathbf{A} \| + \| \mathbf{B} \|$$

则称这个实数 $\| \mathbf{A} \|$ 为矩阵 \mathbf{A} 的范数。

$$\| \mathbf{A} \|_{v_1} \stackrel{\text{def}}{=} \sum_{j=1}^m \sum_{i=1}^n |a_{ij}| \quad (5.7)$$

$$\| \mathbf{A} \|_{v_\infty} \stackrel{\text{def}}{=} \max_{i,j} |a_{ij}| \quad (\text{契比雪夫范数}) \quad (5.8)$$

$$\| \mathbf{A} \|_{v_p} \stackrel{\text{def}}{=} \left(\sum_{j=1}^m \sum_{i=1}^n |a_{ij}|^p \right)^{1/p}, \quad 1 \leq p \leq +\infty \quad (5.9)$$

当 $p=2$ 时, 称 $\| \mathbf{A} \|_{v_2} = \| \mathbf{A} \|_F \stackrel{\text{def}}{=} \left(\sum_{j=1}^m \sum_{i=1}^n |a_{ij}|^2 \right)^{1/2}$ 为 \mathbf{A} 的 Frobenius 范数, 简称 F-范数, 是最常用的范数之一。它就是酉矩阵 $C^{m \times n}$ 中的内积 $\mathbf{A} | \mathbf{B} = \text{tr}(\mathbf{B}^H \mathbf{A})$ 所诱导的范数:

$$\| \mathbf{A} \|_F^2 = (\mathbf{A} | \mathbf{A}) = \text{tr}(\mathbf{B}^H \mathbf{A}) = \sum_{j=1}^m \sum_{i=1}^n |a_{ij}|^2 \quad (5.10)$$

F-范数具有下列良好的性质:

性质 1 设 $\mathbf{A} \in C^{m \times n}$, 对酉矩阵 $\mathbf{U} \in C^{m \times m}$, $\mathbf{V} \in C^{n \times n}$, 恒有

$$\| \mathbf{A} \|_F = \| \mathbf{U} \mathbf{A} \|_F = \| \mathbf{A} \mathbf{V} \|_F = \| \mathbf{U} \mathbf{A} \mathbf{V} \|_F \quad (5.11)$$

性质 2 设 $\mathbf{A} \in C^{m \times n}$, $\mathbf{B} \in C^{n \times l}$, 则有

$$\| \mathbf{A} \|_F \leq \| \mathbf{A} \|_F \| \mathbf{B} \|_F \quad (5.12)$$

性质 3 在矩阵空间 $C^{n \times n}$ 上的任意实函数, 记为 $\| \cdot \|$, 如果对所有的 $\mathbf{A}, \mathbf{B} \in C^{n \times n}$, $\lambda \in C$, 都满足以下 4 个条件:

(1) $\| \mathbf{A} \| \geq 0$, 当且仅当 $\mathbf{A} = \mathbf{0}$ 时, 有 $\| \mathbf{A} \| = 0$ 。

(2) $\| \lambda \mathbf{A} \| = |\lambda| \| \mathbf{A} \|$ 。

(3) $\| \mathbf{A} + \mathbf{B} \| \leq \| \mathbf{A} \| + \| \mathbf{B} \|$ 。

(4) $\| \mathbf{A} \mathbf{B} \| \leq \| \mathbf{A} \| \| \mathbf{B} \|$ 。

则称 $\| \cdot \|$ 为相容的矩阵范数, 或简称矩阵范数。显然, 矩阵的 F-范数是一种相容的矩阵范数。

5.2 迭代学习控制方法介绍

迭代学习控制(iterative learning control, ILC)是智能控制中具有严格数学描述的一个分支。1984年, Arimoto^[1]等提出了迭代学习控制的概念, 该控制方法适合于具有重复运动性质的被控对象, 它不依赖于系统的精确数学模型, 能以非常简单的方式处理不确定度相当高的非线性强耦合动态系统。目前, 迭代学习控制在学习算法、收敛性、鲁棒性、学习速度及工程应用研究上取得了巨大的进展。

近年来, 迭代学习控制理论和应用在国外得到快速发展, 取得了许多成果。在国内, 迭代学习控制理论也得到广泛的重视, 有许多重要著作出版^[2~5], 发表了许多综述性论文^[6~9]。

5.2.1 迭代学习控制基本原理

设被控对象的动态过程为

$$\dot{\mathbf{x}}(t) = \mathbf{f}(\mathbf{x}(t), \mathbf{u}(t), t), \quad \mathbf{y}(t) = \mathbf{g}(\mathbf{x}(t), \mathbf{u}(t), t) \quad (5.13)$$

其中, $\mathbf{x} \in \mathbf{R}^n$ 、 $\mathbf{y} \in \mathbf{R}^m$ 、 $\mathbf{u} \in \mathbf{R}^r$ 分别为系统的状态、输出和输入变量, $\mathbf{f}(\cdot)$ 、 $\mathbf{g}(\cdot)$ 为适当维数的向量函数, 其结构与参数均未知。若期望控制 $\mathbf{u}_d(t)$ 存在, 则迭代学习控制的目标为: 给定期望输出 $\mathbf{y}_d(t)$ 和每次运行的初始状态 $\mathbf{x}_k(0)$, 要求在给定的时间 $t \in [0, T]$ 内, 按照一定的学习控制算法通过多次重复的运行, 使控制输入 $\mathbf{u}_k(t) \rightarrow \mathbf{u}_d(t)$, 而系统输出 $\mathbf{y}_k(t) \rightarrow \mathbf{y}_d(t)$ 。第 k 次运行时, 式(5.13) 表示为

$$\dot{\mathbf{x}}_k(t) = \mathbf{f}(\mathbf{x}_k(t), \mathbf{u}_k(t), t), \quad \mathbf{y}_k(t) = \mathbf{g}(\mathbf{x}_k(t), \mathbf{u}_k(t), t) \quad (5.14)$$

跟踪误差为

$$\mathbf{e}_k(t) = \mathbf{y}_d(t) - \mathbf{y}_k(t) \quad (5.15)$$

迭代学习控制可分为以下开环学习和闭环学习两种方法:

(1) 开环学习控制的方法是: 第 $k+1$ 次的控制等于第 k 次控制再加上第 k 次输出误差的校正项, 即

$$\mathbf{u}_{k+1}(t) = \mathbf{L}(\mathbf{u}_k(t), \mathbf{e}_k(t)) \quad (5.16)$$

(2) 闭环学习控制的方法是: 取第 $k+1$ 次运行的误差作为学习的修正项, 即

$$\mathbf{u}_{k+1}(t) = \mathbf{L}(\mathbf{u}_k(t), \mathbf{e}_{k+1}(t)) \quad (5.17)$$

其中, \mathbf{L} 为线性或非线性算子。

5.2.2 基本的迭代学习控制算法

Arimoto 等首先给出了线性时变连续系统的 D 型迭代学习控制律^[1]

$$\mathbf{u}_{k+1}(t) = \mathbf{u}_k(t) + \mathbf{\Gamma} \dot{\mathbf{e}}_k(t) \quad (5.18)$$

其中, $\mathbf{\Gamma}$ 为常数增益矩阵。在 D 型算法的基础上, 相继出现了 P 型、PI 型、PD 型迭代学习控制律。从一般意义来看它们都是 PID 型迭代学习控制律的特殊形式, PID 迭代学习控制律表示为

$$\mathbf{u}_{k+1}(t) = \mathbf{u}_k(t) + \mathbf{\Gamma} \dot{\mathbf{e}}_k(t) + \mathbf{\Phi} \mathbf{e}_k(t) + \mathbf{\Psi} \int_0^t \mathbf{e}_k(\tau) d\tau \quad (5.19)$$

其中, Γ 、 Φ 、 Ψ 为学习增益矩阵。算法中的误差信息使用 $e_k(t)$ 称为开环迭代学习控制, 如果使用 $e_{k+1}(t)$ 则称为闭环迭代学习控制, 如果同时使用 $e_k(t)$ 和 $e_{k+1}(t)$ 则称为开闭环迭代学习控制。

此外, 还有高阶迭代学习控制算法、最优迭代学习控制算法、遗忘因子迭代学习控制算法和反馈-前馈迭代学习控制算法等。

5.2.3 迭代学习控制主要分析方法

学习算法的收敛性分析是迭代学习控制的核心问题, 这方面的研究成果很丰富。

1. 基本的收敛性分析方法

对于如下线性离散系统:

$$\begin{cases} x(t+1) = Ax(t) + Bu(t) \\ y(t) = Cx(t) \end{cases} \quad (5.20)$$

迭代学习控制算法为

$$u_{k+1}(t) = u_k(t) + \Gamma e_k(t+1) \quad (5.21)$$

针对学习算法式(5.21)的收敛性, 有以下两种分析方法:

(1) 压缩映射方法: 即系统要求满足全局 Lipschitz 条件和相同的初始条件, 如果 $\|I - CB\Gamma\| < 1$, 则有

$$\|e_{k+1}\| = \|(I - CB\Gamma)e_k\| < \|I - CB\Gamma\| \|e_k\| < \|e_k\| \quad (5.22)$$

此时算法是单调收敛的。该方法依赖于范数的选择, 常用的有 l_1 -范数、 l_2 -范数、 l_∞ -范数及 λ -范数。在收敛性证明过程中常用到 Bellman-Gronwall 引理。

(2) 谱半径条件法: 如果谱半径 ρ 满足 $\rho(I - CB\Gamma) \leq \rho < 1$, 则有

$$\lim_{k \rightarrow \infty} \|e_k\| = \lim_{k \rightarrow \infty} \|(I - CB\Gamma)e_{k-1}\| = \lim_{k \rightarrow \infty} \rho(I - CB\Gamma)^k \|e_0\| \quad (5.23)$$

即 $\lim_{k \rightarrow \infty} \|e_k\| = 0$ 。

2. 基于 2-D 理论的分析方法

迭代学习控制系统的学习是按两个相互独立的方向进行: 时间轴方向和迭代次数轴方向, 因此迭代学习过程本质上是二维系统, 可利用成熟的 2-D 系统理论系统地研究和分析时间域的稳定性 and 迭代次数域的收敛性问题。2-D 系统的稳定性理论为迭代学习控制的收敛性证明提供了一种非常有效的方法, 2-D 系统理论中的 Roesser 模型成为迭代学习控制中最基本的分析模型。

3. 基于 Lyapunov 直接法的设计方法

Lyapunov 直接法已广泛用于非线性动态系统的控制器设计和分析中, 在研究非线性不确定系统时, 该方法是最重要的应用工具之一。受 Lyapunov 直接法的启发, 在时间域和迭代域能量函数的概念得到研究, 它为学习控制在迭代域设计和收敛性分析方面提供了一种新的研究方法。

在迭代域能量函数的迭代学习控制方法基础上, 发展了鲁棒和自适应迭代学习控制, 可解决具有参数或非参数不确定性非线性系统控制器的设计。近年来反映时间域和迭代域系统能量的组合能量函数方法也应用于迭代学习控制, 它可保证在迭代域跟踪误差的渐进收敛以及在时间域具有有界和逐点跟踪的动态特性, 并且控制输入在整个迭代区间内是范数

收敛的,适用于一类不具有全局 Lipschitz 条件的非线性系统。通过能量函数的方法,许多新的控制方法,如反演设计和非线性优化方法都作为系统设计工具应用到迭代学习控制中。此外,还有最优化分析方法、频域分析法等分析方法。

5.2.4 迭代学习控制的关键技术

1. 学习算法的稳定性和收敛性

稳定性与收敛性是研究当学习律与被控系统满足什么条件时,迭代学习控制过程才是稳定收敛的。算法的稳定性保证了随着学习次数的增加,控制系统不发散,但是对于学习控制系统而言,仅仅稳定是没有实际意义的,只有使学习过程收敛到真值,才能保证得到的控制为某种意义下最优的控制。收敛是对学习控制的最基本要求,多数学者在提出新的学习律的同时,基于被控对象的一些假设,给出了收敛的条件。例如,Arimoto 在最初提出 PID 型学习控制律时,仅针对线性系统在 D 型学习律下的稳定性和收敛条件作了证明。

2. 初始值问题

运用迭代学习控制技术设计控制器时,只需要通过重复操作获得的受控对象的误差或误差导数信号。在这种控制技术中,迭代学习总要从某初始点开始,初始点指初始状态或初始输出。几乎所有的收敛性证明都要求初始条件是相同的,解决迭代学习控制理论中的初始条件问题一直是人们追求的目标之一。目前已提出的迭代学习控制算法大多数要求被控系统每次运行时的初始状态在期望轨迹对应的初始状态上,即满足初始条件:

$$x_k(0) = x_d(0), \quad k = 0, 1, 2, \dots \quad (5.24)$$

当系统的初始状态不在期望轨迹上,而在期望轨迹的某一很小的邻域内时,通常把这类问题归结为学习控制的鲁棒性问题研究。

3. 学习速度问题

在迭代学习算法研究中,其收敛条件基本上都是在学习次数 $k \rightarrow \infty$ 下给出的。而在实际应用场合,学习次数 $k \rightarrow \infty$ 显然是没有任何实际意义的。因此,如何使迭代学习过程更快地收敛于期望值是迭代学习控制研究中的另一个重要问题。

ILC 本质上是一种前馈控制技术,大部分学习律尽管证明了学习收敛的充分条件,但收敛速度还是很慢。可利用多次学习过程中得到的知识来改进后续学习过程的速度,例如,采用高阶迭代控制算法、带遗忘因子的学习律、利用当前项或反馈配置等方法构造学习律,可使收敛速度大大加快。

4. 鲁棒性问题

迭代学习控制理论的提出有浓厚的工程背景,因此仅仅在无干扰条件下讨论收敛性问题是远远不够的,还应讨论存在各种干扰的情形下系统的跟踪性能。一个实际运行的迭代学习控制系统除了存在初始偏移外,还或多或少存在状态扰动、测量噪声、输入扰动等各种干扰。鲁棒性问题讨论存在各种干扰时迭代学习控制系统的跟踪性能。具体地说,一个迭代学习控制系统是鲁棒的,指系统在各种有界干扰的影响下,其迭代轨迹能收敛到期望轨迹的邻域内,而当这些干扰消除时,迭代轨迹会收敛到期望轨迹。

5.3 机械手轨迹跟踪迭代学习控制仿真实例

5.3.1 控制器的设计

考虑一个 n 关节的机械手,其动态性能可以由以下二阶非线性微分方程描述:

$$\mathbf{M}(\mathbf{q})\ddot{\mathbf{q}} + \mathbf{C}(\mathbf{q}, \dot{\mathbf{q}})\dot{\mathbf{q}} + \mathbf{G}(\mathbf{q}) = \mathbf{u} - \boldsymbol{\tau}_d \quad (5.25)$$

其中, $\mathbf{q} \in \mathbf{R}^n$ 为关节角位移量, $\mathbf{M}(\mathbf{q}) \in \mathbf{R}^{n \times n}$ 为机械手的惯性矩阵, $\mathbf{C}(\mathbf{q}, \dot{\mathbf{q}}) \in \mathbf{R}^n$ 表示离心力和哥氏力, $\mathbf{G}(\mathbf{q}) \in \mathbf{R}^n$ 为重力项, $\boldsymbol{\tau} \in \mathbf{R}^n$ 为控制力矩, $\boldsymbol{\tau}_d \in \mathbf{R}^n$ 为各种误差和扰动。

设系统所要跟踪的期望轨迹为 $\mathbf{y}_d(t)$, $t \in [0, T]$ 。系统第 i 次输出为 $\mathbf{y}_i(t)$, 令 $\mathbf{e}_i(t) = \mathbf{y}_d(t) - \mathbf{y}_i(t)$ 。

在学习开始时,系统的初始状态为 $\mathbf{x}_0(0)$ 。学习控制的任务为通过学习控制律设计 $\mathbf{u}_{i+1}(t)$, 使第 $i+1$ 次运动误差 $\mathbf{e}_{i+1}(t)$ 减少。采用以下三种基于反馈的迭代学习控制律:

(1) 闭环 D 型:

$$\mathbf{u}_{k+1}(t) = \mathbf{u}_k(t) + \mathbf{K}_d(\dot{\mathbf{q}}_d(t) - \dot{\mathbf{q}}_{k+1}(t)) \quad (5.26)$$

(2) 闭环 PD 型:

$$\mathbf{u}_{k+1}(t) = \mathbf{u}_k(t) + \mathbf{K}_p(\mathbf{q}_d(t) - \mathbf{q}_{k+1}(t)) + \mathbf{K}_d(\dot{\mathbf{q}}_d(t) - \dot{\mathbf{q}}_{k+1}(t)) \quad (5.27)$$

(3) 指数变增益 D 型:

$$\mathbf{u}_{k+1}(t) = \mathbf{u}_k(t) + \mathbf{K}_p(\mathbf{q}_d(t) - \mathbf{q}_{k+1}(t)) + \mathbf{K}_d(\dot{\mathbf{q}}_d(t) - \dot{\mathbf{q}}_{k+1}(t)) \quad (5.28)$$

5.3.2 仿真实例

本节针对二关节机械手,介绍一种机械手 PD 型反馈迭代学习控制的仿真设计方法。针对二关节机械手控制系统式(5.25),各项表示为:

$$\mathbf{M} = [\mathbf{m}_{ij}]_{2 \times 2}$$

其中, $m_{11} = m_1 l_{c1}^2 + m_2(l_1^2 + l_{c2}^2 + 2l_1 l_{c2} \cos q_2) + I_1 + I_2$, $m_{12} = m_{21} = m_2(l_{c2}^2 + l_1 l_{c2} \cos q_2) + l_2$, $m_{22} = m_2 l_{c2}^2 + I_2$,

$$\mathbf{C} = [\mathbf{c}_{ij}]_{2 \times 2}$$

其中, $c_{11} = h\dot{q}_2$, $c_{12} = h\dot{q}_1 + h\dot{q}_2$, $c_{21} = -h\dot{q}_1$, $c_{22} = 0$, $h = -m_2 l_1 l_{c2} \sin q_2$

$$\mathbf{G} = [\mathbf{G}_1 \quad \mathbf{G}_2]^T$$

其中, $\mathbf{G}_1 = (m_1 l_{c1} + m_2 l_1)g \cos q_1 + m_2 l_{c2} g \cos(q_1 + q_2)$, $\mathbf{G}_2 = m_2 l_{c2} g \cos(q_1 + q_2)$, 干扰项为 $\boldsymbol{\tau}_d = [0.3 \sin t \quad 0.1(1 - e^{-t})]^T$ 。

机械手系统参数为 $m_1 = 10$, $m_2 = 5$, $l_1 = 1$, $l_2 = 0.5$, $l_{c1} = 0.5$, $l_{c2} = 0.25$, $I_1 = 0.83$, $I_2 = 0.3$, $g = 9.8$ 。

根据式(5.26)~式(5.28),采用三种闭环迭代学习控制律,其中, $M=1$ 为 D 型迭代学习控制, $M=2$ 为 PD 型迭代学习控制, $M=3$ 为指数变增益 D 型迭代学习控制。

两个关节的角度指令分别为 $\sin(3t)$ 和 $\cos(3t)$, 为了保证被控对象初始输出与指令初值一致,取被控对象的初始状态为 $\mathbf{x}(0) = [0 \quad 3 \quad 1 \quad 0]^T$ 。取 PD 型迭代学习控制,即 $M=2$,仿真结果如图 5-1~图 5-3 所示。

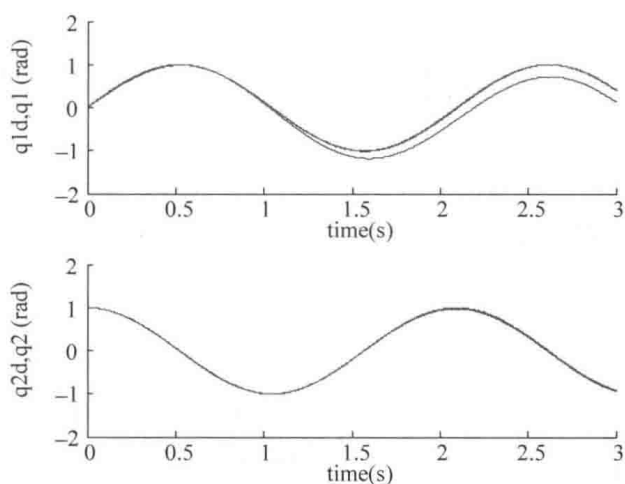


图 5-1 20 次迭代学习的角度跟踪过程

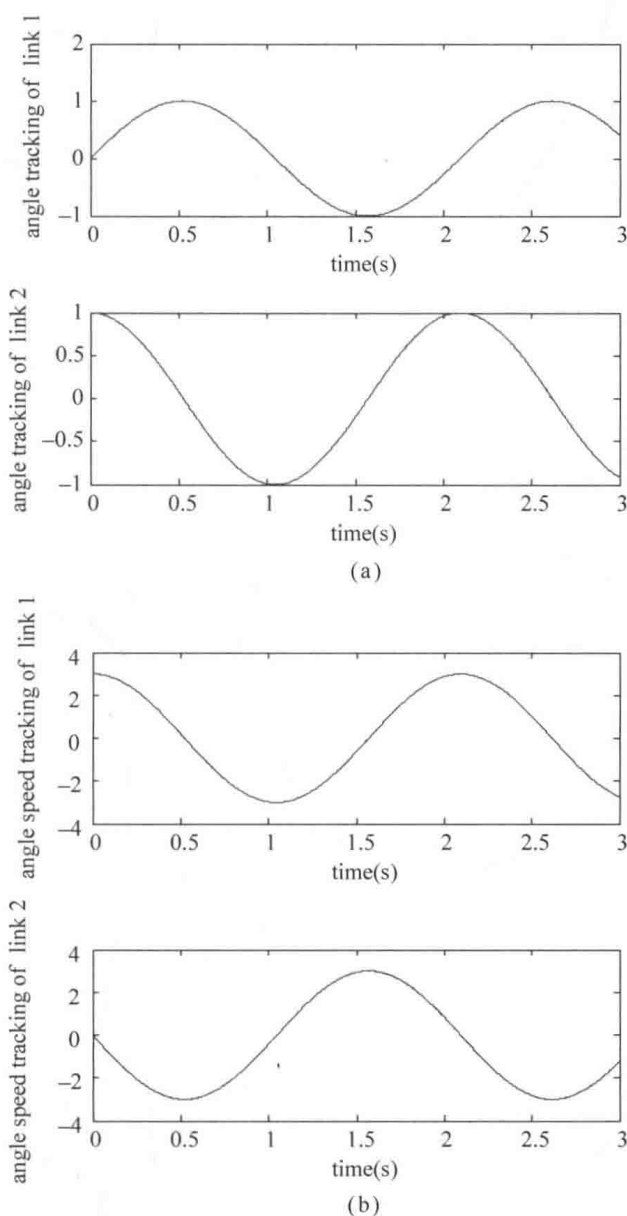


图 5-2 第 20 次迭代学习的角度跟踪

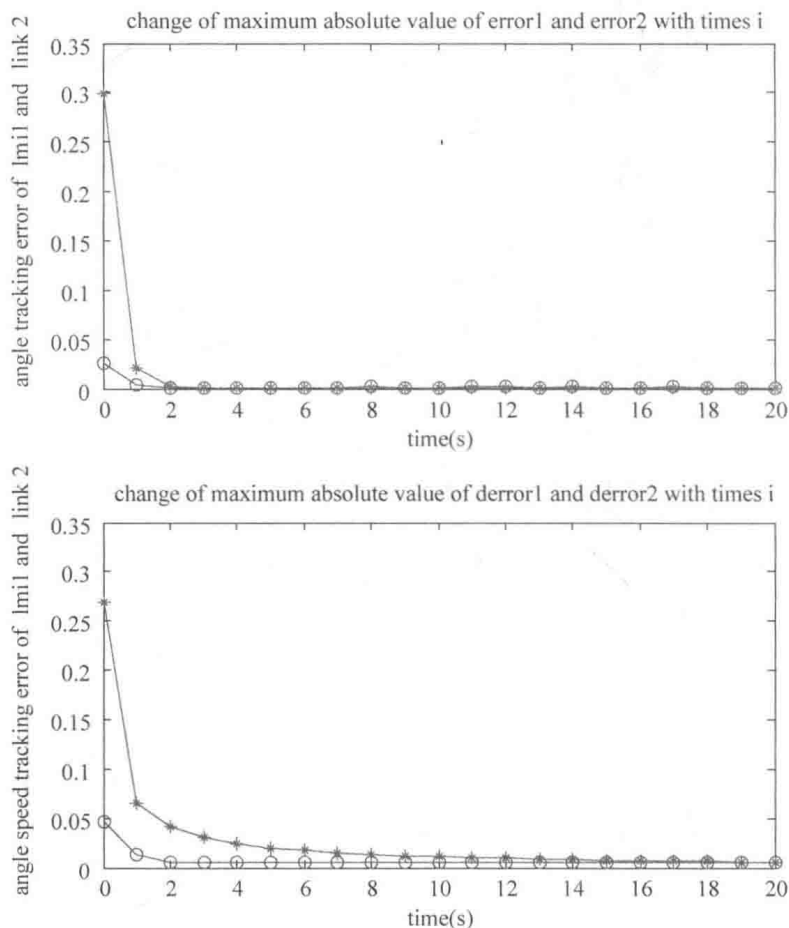


图 5-3 第 20 次迭代学习角度和角速度跟踪误差收敛过程

仿真程序如下：

(1) 主程序：chap5_1main.m。

```
clear all;
close all;

t = [0:0.01:3]';
k(1:301) = 0; % Total initial points
k = k';
T1(1:301) = 0;
T1 = T1';
T2 = T1;
T = [T1 T2];

%%%%%%%%%%%%%%%%%%%%%%%%%%%%%%%%%%%%%%%%%%%%%%%%%%%%%%%%%%%%%%%%%%%%%%%%
M = 20;
for i = 0:1:M % Start Learning Control
    i
    pause(0.01);

    sim('chap5_1sim',[0,3]);
```

```

q1 = q(:,1);
dq1 = q(:,2);
q2 = q(:,3);
dq2 = q(:,4);

q1d = qd(:,1);
dq1d = qd(:,2);
q2d = qd(:,3);
dq2d = qd(:,4);

e1 = q1d - q1;
e2 = q2d - q2;
de1 = dq1d - dq1;
de2 = dq2d - dq2;

figure(1);
subplot(211);
hold on;
plot(t, q1, 'b', t, q1d, 'r');
xlabel('time(s)'); ylabel('q1d, q1 (rad)');

subplot(212);
hold on;
plot(t, q2, 'b', t, q2d, 'r');
xlabel('time(s)'); ylabel('q2d, q2 (rad)');

j = i + 1;
times(j) = i;
e1i(j) = max(abs(e1));
e2i(j) = max(abs(e2));
de1i(j) = max(abs(de1));
de2i(j) = max(abs(de2));
end % End of i
%%%%%%%%%%%%%%%%%%%%%%%%%%%%%%%%%%%%%%%%%%%%%%%%%%%%%%%%%%%%%%%%%%%%%%%%
figure(2);
subplot(211);
plot(t, q1d, 'r', t, q1, 'b');
xlabel('time(s)'); ylabel('angle tracking of link 1');
subplot(212);
plot(t, q2d, 'r', t, q2, 'b');
xlabel('time(s)'); ylabel('angle tracking of link 2');

figure(3);
subplot(211);
plot(t, dq1d, 'r', t, dq1, 'b');
xlabel('time(s)'); ylabel('angle speed tracking of link 1');
subplot(212);
plot(t, dq2d, 'r', t, dq2, 'b');
xlabel('time(s)'); ylabel('angle speed tracking of link 2');

figure(4);

```

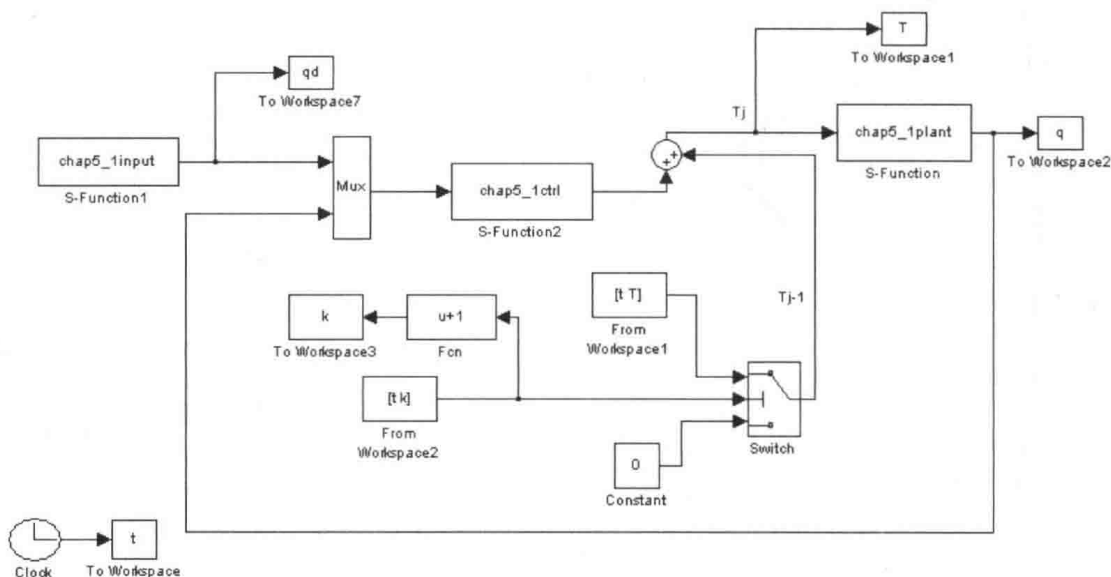


```

subplot(211);
plot(times,e1i,'*-r',times,e2i,'o-b');
title('change of maximum absolute value of error1 and error2 with times i');
xlabel('time(s)');ylabel('angle tracking error of lm1 and link 2');
subplot(212);
plot(times,de1i,'*-r',times,de2i,'o-b');
title('change of maximum absolute value of derror1 and derror2 with times i');
xlabel('time(s)');ylabel('angle speed tracking error of lm1 and link 2');

```

(2) Simulink 子程序: chap5_1sim.mdl。



(3) 被控对象子程序: chap5_1plant.m。

```

function [sys,x0,str,ts] = spacemodel(t,x,u,flag)
switch flag,
case 0,
    [sys,x0,str,ts] = mdlInitializeSizes;
case 1,
    sys = mdlDerivatives(t,x,u);
case 3,
    sys = mdlOutputs(t,x,u);
case {2,4,9}
    sys = [];
otherwise
    error(['Unhandled flag = ',num2str(flag)]);
end
function [sys,x0,str,ts] = mdlInitializeSizes
sizes = simsizes;
sizes.NumContStates = 4;
sizes.NumDiscStates = 0;
sizes.NumOutputs = 4;
sizes.NumInputs = 2;
sizes.DirFeedthrough = 1;

```

```

sizes.NumSampleTimes = 1;
sys = simsizes(sizes);
x0 = [0;3;1;0];           % Must be equal to x(0) of ideal input
str = [];
ts = [0 0];
function sys = mdlDerivatives(t,x,u)
Tol = [u(1) u(2)]';

g = 9.8;
m1 = 10;m2 = 5;
l1 = 1;l2 = 0.5;
lc1 = 0.5;lc2 = 0.25;
I1 = 0.83;I2 = 0.3;

d11 = m1 * lc1^2 + m2 * (l1^2 + lc2^2 + 2 * l1 * lc2 * cos(x(3))) + I1 + I2;
d12 = m2 * (lc2^2 + l1 * lc2 * cos(x(3))) + I2;
d21 = d12;
d22 = m2 * lc2^2 + I2;
D = [d11 d12;d21 d22];
h = - m2 * l1 * lc2 * sin(x(3));
c11 = h * x(4);
c12 = h * x(4) + h * x(2);
c21 = - h * x(2);
c22 = 0;
C = [c11 c12;c21 c22];
g1 = (m1 * lc1 + m2 * l1) * g * cos(x(1)) + m2 * lc2 * g * cos(x(1) + x(3));
g2 = m2 * lc2 * g * cos(x(1) + x(3));
G = [g1;g2];

a = 1.0;
d1 = a * 0.3 * sin(t);
d2 = a * 0.1 * (1 - exp(-t));
Td = [d1;d2];

S = - inv(D) * C * [x(2);x(4)] - inv(D) * G + inv(D) * (Tol - Td);

sys(1) = x(2);
sys(2) = S(1);
sys(3) = x(4);
sys(4) = S(2);
function sys = mdlOutputs(t,x,u)
sys(1) = x(1);           % Angle1:q1
sys(2) = x(2);           % Angle1 speed:dq1
sys(3) = x(3);           % Angle2:q2
sys(4) = x(4);           % Angle2 speed:dq2

```

(4) 控制器子程序: chap5_lctrl.m。

```

function [sys,x0,str,ts] = spacemodel(t,x,u,flag)
switch flag,
case 0,

```

```

    [sys,x0,str,ts] = mdlInitializeSizes;
case 3,
    sys = mdlOutputs(t,x,u);
case {2,4,9}
    sys = [];
otherwise
    error(['Unhandled flag = ',num2str(flag)]);
end
function [sys,x0,str,ts] = mdlInitializeSizes
    sizes = simsizes;
    sizes.NumContStates = 0;
    sizes.NumDiscStates = 0;
    sizes.NumOutputs = 2;
    sizes.NumInputs = 8;
    sizes.DirFeedthrough = 1;
    sizes.NumSampleTimes = 1;
    sys = simsizes(sizes);
    x0 = [];
    str = [];
    ts = [0 0];
function sys = mdlOutputs(t,x,u)
    q1d = u(1);dq1d = u(2);
    q2d = u(3);dq2d = u(4);

    q1 = u(5);dq1 = u(6);
    q2 = u(7);dq2 = u(8);

    e1 = q1d - q1;
    e2 = q2d - q2;
    e = [e1 e2]';
    de1 = dq1d - dq1;
    de2 = dq2d - dq2;
    de = [de1 de2]';

    Kp = [100 0;0 100];
    Kd = [500 0;0 500];

    M = 2;
    if M == 1
        Tol = Kd * de; % D Type
    elseif M == 2
        Tol = Kp * e + Kd * de; % PD Type
    elseif M == 3
        Tol = Kd * exp(0.8 * t) * de; % Exponential Gain D Type
    end
    sys(1) = Tol(1);
    sys(2) = Tol(2);

```

(5) 指令程序：chap5_lininput.m。

```
function [sys,x0,str,ts] = spacemodel(t,x,u,flag)
```

```

switch flag,
case 0,
    [sys,x0,str,ts] = mdlInitializeSizes;
case 3,
    sys = mdlOutputs(t,x,u);
case {2,4,9}
    sys = [];
otherwise
    error(['Unhandled flag = ',num2str(flag)]);
end
function [sys,x0,str,ts] = mdlInitializeSizes
sizes = simsizes;
sizes.NumContStates = 0;
sizes.NumDiscStates = 0;
sizes.NumOutputs = 4;
sizes.NumInputs = 0;
sizes.DirFeedthrough = 1;
sizes.NumSampleTimes = 1;
sys = simsizes(sizes);
x0 = [];
str = [];
ts = [0 0];
function sys = mdlOutputs(t,x,u)
q1d = sin(3 * t);
dq1d = 3 * cos(3 * t);
q2d = cos(3 * t);
dq2d = -3 * sin(3 * t);

sys(1) = q1d;
sys(2) = dq1d;
sys(3) = q2d;
sys(4) = dq2d;

```

5.4 线性时变连续系统迭代学习控制

5.4.1 系统描述

Arimoto^[1]等给出了线性时变连续系统为

$$\begin{cases} \dot{\mathbf{x}}(t) = \mathbf{A}(t)\mathbf{x}(t) + \mathbf{B}(t)\mathbf{u}(t) \\ \mathbf{y}(t) = \mathbf{C}(t)\mathbf{x}(t) \end{cases} \quad (5.29)$$

其开环 PID 型迭代学习控制律为

$$\mathbf{u}_{k+1}(t) = \mathbf{u}_k(t) + \left(\mathbf{\Gamma} \frac{d}{dt} + \mathbf{L} + \mathbf{\Psi} \int dt \right) \mathbf{e}_k(t) \quad (5.30)$$

其中, $\mathbf{\Gamma}$, \mathbf{L} , $\mathbf{\Psi}$ 为学习增益矩阵。

5.4.2 控制器设计及收敛性分析

定理 5.1^[4] 若由式(5.29)和式(5.30)描述的系统满足如下条件:

$$(1) \|I - C(t)B(t)\Gamma(t)\| \leq \bar{\rho} < 1.$$

(2) 每次迭代初始条件一致, 即 $x_k(0) = x_0 (k=1, 2, 3, \dots)$, $y_0(0) = y_d(0)$, 则当 $k \rightarrow \infty$ 时, 有 $y_k(t) \rightarrow y_d(t), \forall t \in [0, T]$ 。

下面给出该定理的简单分析, 可参考文献[4]的证明过程。

由式(5.29)及条件式(5.30)得

$$y_{k+1}(0) = Cx_{k+1}(0) = Cx_k(0) = y_k(0)$$

则 $e_k(0) = 0 (k=0, 1, 2, \dots)$, 即系统满足初始条件。

非齐次一阶线性微分方程 $\dot{x}(t) = A(t)x(t) + B(t)u(t)$ 的解为

$$\begin{aligned} x(t) &= C \exp\left(\int_0^t A d\tau\right) + \exp\left(\int_0^t A d\tau\right) \int_0^t B(\tau)u(\tau) \exp\left(\int_0^\tau -A d\delta\right) d\tau \\ &= C \exp(At) + \exp(At) \int_0^t B(\tau)u(\tau) \exp(-A\tau) d\tau \\ &= C \exp(At) + \int_0^t \exp(A(t-\tau))B(\tau)u(\tau) d\tau \end{aligned}$$

取 $\Phi(t, \tau) = \exp(A(t-\tau))$, 则

$$x_k(t) - x_{k+1}(t) = \int_0^t \Phi(t, \tau)B(\tau)(u_k(\tau) - u_{k+1}(\tau)) d\tau$$

由于 $e_k(t) = y_d(t) - y_k(t)$, $e_{k+1}(t) = y_d(t) - y_{k+1}(t)$, 则

$$\begin{aligned} e_{k+1}(t) - e_k(t) &= y_k(t) - y_{k+1}(t) = C(t)(x_k(t) - x_{k+1}(t)) \\ &= \int_0^t C(t) \Phi(t, \tau)B(\tau)(u_k(\tau) - u_{k+1}(\tau)) d\tau \end{aligned}$$

即

$$e_{k+1}(t) = e_k(t) - \int_0^t C(t) \Phi(t, \tau)B(\tau)(u_{k+1}(\tau) - u_k(\tau)) d\tau$$

将 PID 型控制律式(5.30)代入上式, 则第 $k+1$ 次输出的误差为:

$$e_{k+1}(t) = e_k(t) - \int_0^t C(t) \Phi(t, \tau)B(\tau) [\Gamma(\tau)\dot{e}_k(\tau) + L(\tau)e_k(\tau) + \Psi(\tau) \int_0^\tau e_k(\delta) d\delta] d\tau \quad (5.31)$$

利用分部积分公式, 令 $G(t, \tau) = C(t)B(\tau)\Gamma(\tau)$, 有

$$\begin{aligned} \int_0^t C(t)B(\tau)\Gamma(\tau)\dot{e}_k(\tau) d\tau &= G(t, \tau)e_k(\tau) \Big|_0^t - \int_0^t \frac{\partial}{\partial \tau} G(t, \tau)e_k(\tau) d\tau \\ &= C(t)B(\tau)\Gamma(\tau)e_k(\tau) - \int_0^t \frac{\partial}{\partial \tau} G(t, \tau)e_k(\tau) d\tau \quad (5.32) \end{aligned}$$

将式(5.32)代入式(5.31), 得

$$\begin{aligned} e_{k+1}(t) &= [I - C(t)B(t)\Gamma(t)]e_k(t) + \int_0^t \frac{\partial}{\partial \tau} G(t, \tau)e_k(\tau) d\tau - \\ &\quad \int_0^t C(t) \Phi(t, \tau)B(\tau)L(\tau)e_k(\tau) d\tau - \\ &\quad \int_0^t \int_0^\tau C(t) \Phi(t, \tau)B(\tau)\psi(\tau)e_k(\sigma) d\sigma d\tau \quad (5.33) \end{aligned}$$

将式(5.33)两端取范数, 有

$$\begin{aligned}
\|e_{k+1}(t)\| &\leq \|I - C(t)B(t)\Gamma(t)\| \|e_k(t)\| + \int_0^t \left\| \frac{\partial}{\partial \tau} G(t, \tau) \right\| \|e_k(\tau)\| d\tau + \\
&\quad \int_0^t \|C(t)\Phi(t, \tau)B(\tau)L(\tau)\| \|e_k(\tau)\| d\tau + \\
&\quad \int_0^t \int_0^\tau \|C(t)\Phi(t, \tau)B(\tau)\psi(\tau)\| \|e_k(\sigma)\| d\sigma d\tau \\
&\leq \|I - C(t)B(t)\Gamma(t)\| \|e_k(t)\| + \int_0^t b_1 \|e_k(\tau)\| d\tau + \\
&\quad \int_0^t \int_0^\tau b_2 \|e_k(\sigma)\| d\sigma d\tau
\end{aligned} \tag{5.34}$$

其中,

$$\begin{aligned}
b_1 &= \max \left\{ \sup_{t, \tau \in [0, T]} \left\| \frac{\partial}{\partial \tau} G(t, \tau) \right\|, \sup_{t, \tau \in [0, T]} \|C(t)\Phi(t, \tau)B(\tau)L(\tau)\| \right\} \\
b_2 &= \sup_{t, \tau \in [0, T]} \|C(t)\Phi(t, \tau)B(\tau)\psi(\tau)\|
\end{aligned}$$

将式(5.34)两端同乘以 $\exp(-\lambda t)$, $\lambda > 0$, 并考虑 $\int_0^t \exp(\lambda \tau) d\tau = \frac{\exp(\lambda t) - 1}{\lambda}$, 有

$$\begin{aligned}
\exp(-\lambda t) \int_0^t b_1 \|e_k(\tau)\| d\tau &= \exp(-\lambda t) \int_0^t b_1 \|e_k(\tau)\| \exp(-\lambda \tau) \exp(\lambda \tau) d\tau \\
&\leq b_1 \exp(-\lambda t) \|e_k(\tau)\|_\lambda \int_0^t \exp(\lambda \tau) d\tau \\
&= b_1 \exp(-\lambda t) \|e_k(\tau)\|_\lambda \frac{\exp(\lambda t) - 1}{\lambda} \\
&= \frac{b_1}{\lambda} \|e_k(\tau)\|_\lambda \exp(-\lambda t) (\exp(\lambda t) - 1) \\
&= b_1 \frac{(1 - \exp(-\lambda t))}{\lambda} \|e_k(\tau)\|_\lambda \\
&\leq b_1 \frac{(1 - \exp(-\lambda T))}{\lambda} \|e_k(\tau)\|_\lambda
\end{aligned}$$

根据范数的性质^[4], 有

$$\exp(-\lambda t) \int_0^t \int_0^\tau b_2 \|e_k(\sigma)\| d\sigma d\tau \leq b_2 \left(\frac{1 - \exp(-\lambda T)}{\lambda} \right)^2 \|e_k(\tau)\|_\lambda$$

则

$$\|e_{k+1}\|_\lambda \leq \bar{\rho} \|e_k\|_\lambda \tag{5.35}$$

其中, $\bar{\rho} = \bar{\rho} + b_1 \frac{1 - \exp(-\lambda T)}{\lambda} + b_2 \left(\frac{1 - \exp(-\lambda T)}{\lambda} \right)^2$ 。由于 $\bar{\rho} < 1$, 则当 λ 取足够大时, 可使 $\bar{\rho} < 1$ 。因此 $\lim_{k \rightarrow \infty} \|e_k\|_\lambda = 0$ 。

如果将式(5.30)中的 $e(k)$ 改为 $e(k+1)$, 则为闭环 PID 型迭代学习控制律。同定理 5.1 的分析过程, 可证明闭环 PID 迭代学习控制律。

5.4.3 仿真实例

考虑二输入、二输出线性系统:

$$\begin{aligned}\begin{bmatrix}\dot{x}_1(t) \\ \dot{x}_2(t)\end{bmatrix} &= \begin{bmatrix}-2 & 3 \\ 1 & 1\end{bmatrix} \begin{bmatrix}x_1(t) \\ x_2(t)\end{bmatrix} + \begin{bmatrix}1 & 1 \\ 0 & 1\end{bmatrix} \begin{bmatrix}u_1(t) \\ u_2(t)\end{bmatrix} \\ \begin{bmatrix}y_1(t) \\ y_2(t)\end{bmatrix} &= \begin{bmatrix}2 & 0 \\ 0 & 1\end{bmatrix} \begin{bmatrix}x_1(t) \\ x_2(t)\end{bmatrix}.\end{aligned}$$

期望跟踪轨迹为

$$\begin{bmatrix}y_{1d}(t) \\ y_{2d}(t)\end{bmatrix} = \begin{bmatrix}\sin(3t) \\ \cos(3t)\end{bmatrix}, \quad t \in [0, 1]$$

由于 $CB = \begin{bmatrix}2 & 2 \\ 0 & 1\end{bmatrix}$, 取 $\Gamma = \begin{bmatrix}0.95 & 0 \\ 0 & 0.95\end{bmatrix}$, 可满足定理 5.1 中的条件(1), 在控制律式(5.30)

中取 $L = \begin{bmatrix}2.0 & 0 \\ 0 & 2.0\end{bmatrix}$, 系统的初始状态为 $\begin{bmatrix}x_{1(0)}(0) \\ x_{2(0)}(0)\end{bmatrix} = \begin{bmatrix}0 \\ 1\end{bmatrix}$ 。

在 chap5_2sim.mdl 程序中, 选择 Simulink 的 Manual Switch 开关, 将开关向下, 取 PD 型开环迭代学习控制律, 仿真结果如图 5-4~图 5-6 所示。将开关向上, 采用 PD 型闭环迭代学习控制律, 仿真结果如图 5-7~图 5-9 所示。可见, 闭环收敛速度好于开环收敛速度。

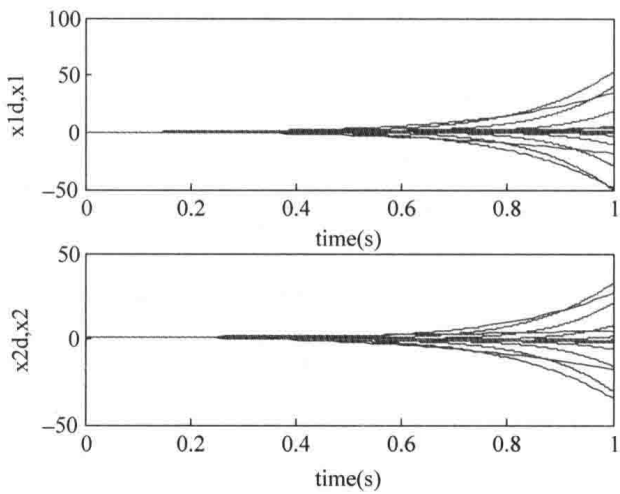


图 5-4 30 次迭代学习的跟踪过程(开环 PD 控制)

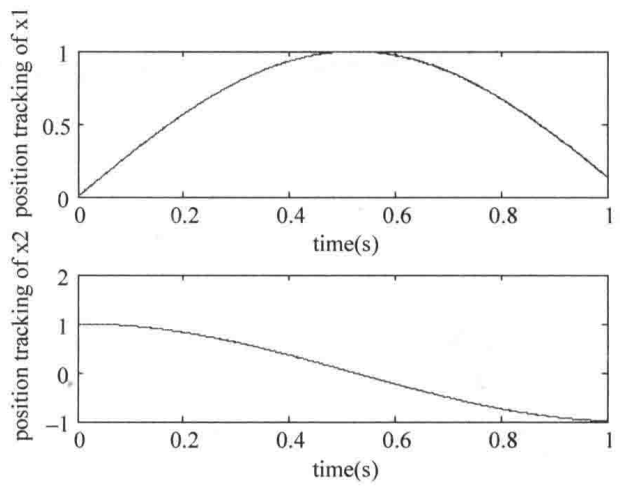


图 5-5 第 30 次迭代学习的位置跟踪(开环 PD 控制)

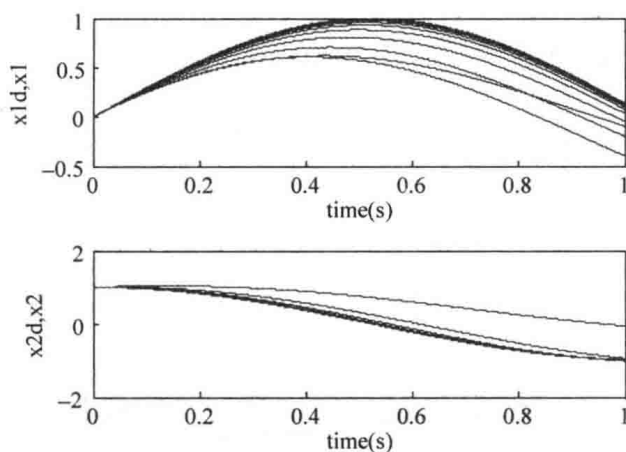


图 5-6 30 次迭代学习的跟踪过程(闭环 PD 控制)

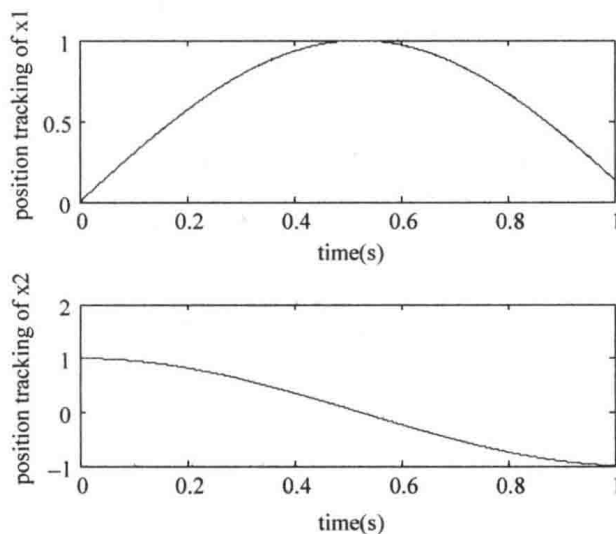


图 5-7 第 30 次迭代学习的位置跟踪(闭环 PD 控制)

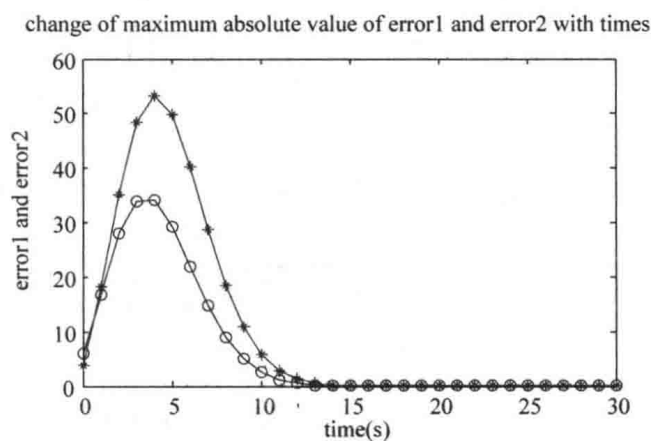


图 5-8 30 次迭代过程中误差最大绝对值的收敛过程(开环 PD 控制)

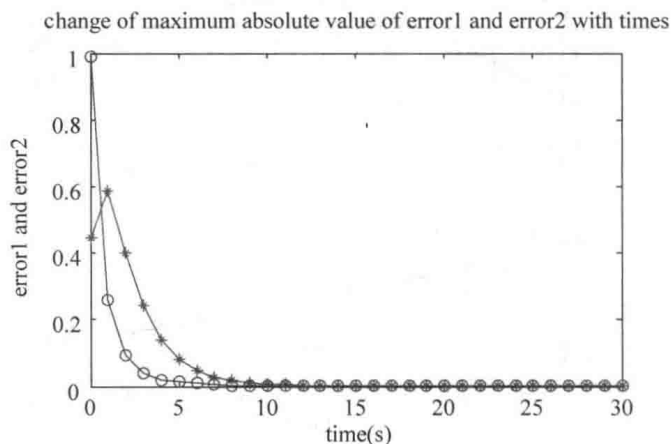


图 5-9 30 次迭代过程中误差最大绝对值的收敛过程(闭环 PD 控制)

仿真程序如下：

(1) 主程序：chap5_2main.m。

```
% Iterative D-Type Learning Control
clear all;
close all;

t = [0:0.01:1]';
k(1:101) = 0;           % Total initial points
k = k';
T1(1:101) = 0;
T1 = T1';
T2 = T1;
T = [T1 T2];

k1(1:101) = 0;          % Total initial points
k1 = k1';
E1(1:101) = 0;
E1 = E1';
E2 = E1;
E3 = E1;
E4 = E1;
E = [E1 E2 E3 E4];

%%%%%%%%%%%%%%%%%%%%%%%%%%%%%%%%%%%%%%%%%%%%%%%%%%%%%%%%%%%%%%%%%%%%%%%%
M = 30;
for i = 0:1:M           % Start Learning Control
    i
    pause(0.01);

    sim('chap5_2sim',[0,1]);

    x1 = x(:,1);
```

```

x2 = x(:, 2);

x1d = xd(:, 1);
x2d = xd(:, 2);
dx1d = xd(:, 3);
dx2d = xd(:, 4);

e1 = E(:, 1);
e2 = E(:, 2);
de1 = E(:, 3);
de2 = E(:, 4);
e = [e1 e2]';
de = [de1 de2]';

figure(1);
subplot(211);
hold on;
plot(t, x1, 'b', t, x1d, 'r');
xlabel('time(s)'); ylabel('x1d, x1');

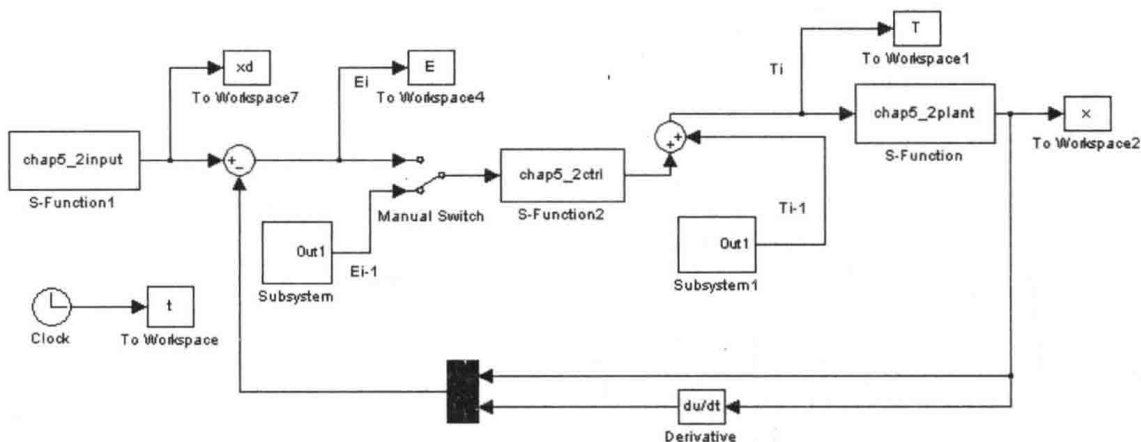
subplot(212);
hold on;
plot(t, x2, 'b', t, x2d, 'r');
xlabel('time(s)'); ylabel('x2d, x2');

j = i + 1;
times(j) = i;
eli(j) = max(abs(e1));
e2i(j) = max(abs(e2));
de1i(j) = max(abs(de1));
de2i(j) = max(abs(de2));
end % End of i
%%%%%%%%%%%%%%%%%%%%%%%%%%%%%%%%%%%%%%%%%%%%%%%%%%%%%%%%%%%%%%%%%%%%%%%%
figure(2);
subplot(211);
plot(t, x1d, 'r', t, x1, 'b');
xlabel('time(s)'); ylabel('position tracking of x1');
subplot(212);
plot(t, x2d, 'r', t, x2, 'b');
xlabel('time(s)'); ylabel('position tracking of x2');

figure(3);
plot(times, eli, ' * - r', times, e2i, 'o - b');
title('Change of maximum absolute value of error1 and error2 with times');
xlabel('time(s)'); ylabel('error1 and error2');

```

(2) Simulink 程序: chap5_2sim.mdl。



(3) 被控对象子程序: chap5_2plant.m。

```
function [sys,x0,str,ts] = spacemodel(t,x,u,flag)
switch flag,
case 0,
    [sys,x0,str,ts] = mdlInitializeSizes;
case 1,
    sys = mdlDerivatives(t,x,u);
case 3,
    sys = mdlOutputs(t,x,u);
case {2,4,9}
    sys = [];
otherwise
    error(['Unhandled flag = ',num2str(flag)]);
end
function [sys,x0,str,ts] = mdlInitializeSizes
sizes = simsizes;
sizes.NumContStates = 2;
sizes.NumDiscStates = 0;
sizes.NumOutputs = 2;
sizes.NumInputs = 2;
sizes.DirFeedthrough = 0;
sizes.NumSampleTimes = 1;
sys = simsizes(sizes);
x0 = [0;1];
str = [];
ts = [0 0];
function sys = mdlDerivatives(t,x,u)
A = [-2 3;1 1];
C = [1 0;0 1];
B = [1 1;0 1];
Gama = 0.95;
norm(eye(2) - C * B * Gama); % Must be smaller than 1.0

U = [u(1);u(2)];
```

```

dx = A * x + B * U;
sys(1) = dx(1);
sys(2) = dx(2);
function sys = mdlOutputs(t,x,u)
sys(1) = x(1);
sys(2) = x(2);

```

(4) 控制器子程序: chap5_2ctrl. m。

```

function [sys,x0,str,ts] = spacemodel(t,x,u,flag)
switch flag,
case 0,
    [sys,x0,str,ts] = mdlInitializeSizes;
case 3,
    sys = mdlOutputs(t,x,u);
case {2,4,9}
    sys = [];
otherwise
    error(['Unhandled flag = ',num2str(flag)]);
end
function [sys,x0,str,ts] = mdlInitializeSizes
sizes = simsizes;
sizes.NumContStates = 0;
sizes.NumDiscStates = 0;
sizes.NumOutputs = 2;
sizes.NumInputs = 4;
sizes.DirFeedthrough = 1;
sizes.NumSampleTimes = 1;
sys = simsizes(sizes);
x0 = [];
str = [];
ts = [0 0];
function sys = mdlOutputs(t,x,u)
e1 = u(1);e2 = u(2);
de1 = u(3);de2 = u(4);

e = [e1 e2]';
de = [de1 de2]';

Kp = 2.0;
Gama = 0.95;
Kd = Gama * eye(2);

Tol = Kp * e + Kd * de; % PD Type

sys(1) = Tol(1);
sys(2) = Tol(2);

```

(5) 指令程序: chap5_2input. m。

```

function [sys,x0,str,ts] = spacemodel(t,x,u,flag)
switch flag,

```

```

case 0,
    [sys,x0,str,ts] = mdlInitializeSizes;
case 3,
    sys = mdlOutputs(t,x,u);
case {2,4,9}
    sys = [];
otherwise
    error(['Unhandled flag = ',num2str(flag)]);
end
function [sys,x0,str,ts] = mdlInitializeSizes
sizes = simsizes;
sizes.NumContStates = 0;
sizes.NumDiscStates = 0;
sizes.NumOutputs = 4;
sizes.NumInputs = 0;
sizes.DirFeedthrough = 1;
sizes.NumSampleTimes = 1;
sys = simsizes(sizes);
x0 = [];
str = [];
ts = [0 0];
function sys = mdlOutputs(t,x,u)
x1d = sin(3 * t);
dx1d = 3 * cos(3 * t);
x2d = cos(3 * t);
dx2d = -3 * sin(3 * t);

sys(1) = x1d;
sys(2) = x2d;
sys(3) = dx1d;
sys(4) = dx2d;

```

5.5 任意初始状态下的迭代学习控制

下面介绍一种任意初始状态下的学习控制方法^[10]及其仿真设计方法。

5.5.1 问题的提出

假设一种系统为

$$\begin{cases} \dot{\mathbf{x}}(t) = \mathbf{A}\mathbf{x}(t) + \mathbf{B}\mathbf{u}(t) \\ \mathbf{y}(t) = \mathbf{C}\mathbf{x}(t) \\ \mathbf{x}(t_0) = \mathbf{x}(0) \end{cases} \quad (5.36)$$

其中, $\mathbf{x}(t) \in \mathbf{R}^n$, $\mathbf{u}(t), \mathbf{y}(t) \in \mathbf{R}^m$, $\mathbf{A}, \mathbf{B}, \mathbf{C}$ 为相应维数的常阵且满足假设

$$\text{rank}(\mathbf{CB}) = m \quad (5.37)$$

设系统所要跟踪的期望轨迹为 $\mathbf{y}_d(t), t \in [0, T]$ 。系统第 i 次输出为 $\mathbf{y}_i(t)$, 令 $\mathbf{e}_i(t) = \mathbf{y}_d(t) - \mathbf{y}_i(t)$ 。

在学习开始时, 系统的初始状态为 $\mathbf{x}_0(0)$, 初始控制输入为 $\mathbf{u}_0(t)$ 。学习控制的任务为

已知第 i 次运动的 $u_i(t)$ 、 $x_i(0)$ 和 $e_i(t)$ ，通过学习控制律设计 $u_{i+1}(t)$ 和 $x_{i+1}(0)$ ，第 $i+1$ 次运动误差 $e_{i+1}(t)$ 将减少。

5.5.2 控制器的设计

首先介绍范数如下：

$$\|e(t)\|_{\infty} = \max_{1 \leq i \leq m} |e^{(i)}(t)| \quad (5.38)$$

$$\|G\|_{\infty} = \max_{1 \leq i \leq m} \left\{ \sum_{j=1}^m |g^{(i,j)}| \right\} \quad (5.39)$$

$$\|e(t)\|_{\lambda} = \sup_{1 \leq t \leq T} \{\exp(-\lambda t) \|e(t)\|_{\infty}\} \quad (5.40)$$

其中， $e^{(i)}(t)$ 为 $e(t) \in \mathbf{R}^m$ 中的第 i 个元素， $g^{(i,j)}$ 是 $G \in \mathbf{R}^{m \times m}$ 中的第 i, j 个元素， $\lambda > 0$ 。

学习控制律及初始状态学习律分别为

$$u_{i+1}(t) = u_i(t) + L\dot{e}_i(t) \quad (5.41)$$

$$x_{i+1}(0) = x_i(0) + BL e_i(0) \quad (5.42)$$

其中， $L \in \mathbf{R}^{m \times m}$ 为常阵。

定理 5.2^[10] 若学习控制律(5.41)及初始状态学习律(5.42)满足以下条件：

(1) $u_0(t)$ 在 $[0, T]$ 上连续， $y_d(t)$ 在 $[0, T]$ 上连续可微。

(2) $\|I_{\infty} - CBL\| < 1$ 。

则当 $i \rightarrow \infty$ 时，有

$$y_i(t) \rightarrow y_d(t), \quad t \in [0, T]$$

下面给出该定理的详细分析过程，可参考文献[10]的证明过程。

由方程式(5.36)的解为

$$x(t) = \exp(At)x(0) + \int_0^t \exp(A(t-\tau))Bu(\tau)d\tau$$

则

$$x_{i+1}(t) = \exp(At)x_{i+1}(0) + \int_0^t \exp(A(t-\tau))Bu_{i+1}(\tau)d\tau$$

将式(5.41)和(5.42)代入上式，得

$$x_{i+1}(t) = \exp(At)[x_i(0) + BL e_i(0)] + \int_0^t \exp(A(t-\tau))[Bu_i(\tau) + L\dot{e}_i(\tau)]d\tau$$

则

$$\begin{aligned} e_{i+1}(t) &= y_d(t) - y_{i+1}(t) = y_d(t) - Cx_{i+1}(t) \\ &= y_d(t) - C \left\{ \exp(At)[x_i(0) + BL e_i(0)] + \int_0^t \exp(A(t-\tau))[Bu_i(\tau) + L\dot{e}_i(\tau)]d\tau \right\} \\ &= y_d(t) - \left[C \exp(At)x_i(0) + C \exp(At)BL e_i(0) + \right. \\ &\quad \left. \int_0^t C \exp(A(t-\tau))Bu_i(\tau)d\tau + \int_0^t C \exp(A(t-\tau))BL\dot{e}_i(\tau)d\tau \right] \end{aligned}$$

采用分部积分方法：

$$\int_0^t x \dot{y} dt = xy \Big|_0^t - \int_0^t \dot{x} y dt$$

则

$$\begin{aligned}
 & \int_0^t \mathbf{C} \exp(\mathbf{A}(t-\tau)) \mathbf{B} \dot{\mathbf{e}}_i(t) d\tau \\
 &= [\mathbf{C} \exp(\mathbf{A}(t-\tau)) \mathbf{B} \mathbf{Le}_i(t)] \Big|_0^t - \int_0^t (-1) \mathbf{CA} \exp(\mathbf{A}(t-\tau)) \mathbf{B} \mathbf{Le}_i(t) d\tau \\
 &= \mathbf{CB} \mathbf{Le}_i(t) - \mathbf{C} \exp(\mathbf{A}t) \mathbf{B} \mathbf{Le}_i(0) + \int_0^t \mathbf{CA} \exp(\mathbf{A}(t-\tau)) \mathbf{B} \mathbf{Le}_i(\tau) d\tau \\
 \mathbf{e}_{i+1}(t) &= \mathbf{y}_d(t) - \mathbf{C} \exp(\mathbf{A}t) \mathbf{x}_i(0) - \mathbf{C} \exp(\mathbf{A}t) \mathbf{B} \mathbf{Le}_i(0) - \int_0^t \mathbf{C} \exp(\mathbf{A}(t-\tau)) \mathbf{B} \mathbf{u}_i(\tau) d\tau - \\
 & \quad \mathbf{CB} \mathbf{Le}_i(t) + \mathbf{C} \exp(\mathbf{A}t) \mathbf{B} \mathbf{Le}_i(0) - \int_0^t \mathbf{CA} \exp(\mathbf{A}(t-\tau)) \mathbf{B} \mathbf{Le}_i(\tau) d\tau \\
 &= \mathbf{y}_d(t) - \mathbf{C} \left[\exp(\mathbf{A}t) \mathbf{x}_i(0) + \int_0^t \exp(\mathbf{A}(t-\tau)) \mathbf{B} \mathbf{u}_i(\tau) d\tau \right] - \\
 & \quad \mathbf{CB} \mathbf{Le}_i(t) - \int_0^t \mathbf{CA} \exp(\mathbf{A}(t-\tau)) \mathbf{B} \mathbf{Le}_i(\tau) d\tau \\
 &= \mathbf{y}_d(t) - \mathbf{y}_i(t) - \mathbf{CB} \mathbf{Le}_i(t) - \int_0^t \mathbf{CA} \exp(\mathbf{A}(t-\tau)) \mathbf{B} \mathbf{Le}_i(\tau) d\tau
 \end{aligned}$$

即

$$\begin{aligned}
 \mathbf{e}_{i+1}(t) &= \mathbf{e}_i(t) - \mathbf{CB} \mathbf{Le}_i(t) - \int_0^t \mathbf{CA} \exp(\mathbf{A}(t-\tau)) \mathbf{B} \mathbf{Le}_i(\tau) d\tau \\
 &= (\mathbf{I}_m - \mathbf{CBL}) \mathbf{e}_i(t) - \int_0^t \mathbf{CA} \exp(\mathbf{A}(t-\tau)) \mathbf{B} \mathbf{Le}_i(\tau) d\tau
 \end{aligned}$$

上式两边同乘以 $e^{-\lambda t}$, 取范数, 并考虑

$$\|\mathbf{XY}\| \leq \|\mathbf{X}\| \|\mathbf{Y}\|, \quad \|\mathbf{X} + \mathbf{Y}\| \leq \|\mathbf{X}\| + \|\mathbf{Y}\|$$

则

$$\begin{aligned}
 & \exp(-\lambda t) \|\mathbf{e}_{i+1}(t)\|_{\infty} \\
 & \leq \|(\mathbf{I}_m - \mathbf{CBL}) \mathbf{e}_i(t)\|_{\infty} \exp(-\lambda t) + \left\| \int_0^t \mathbf{CA} \exp(\mathbf{A}(t-\tau)) \mathbf{B} \mathbf{Le}_i(\tau) d\tau \right\|_{\infty} \exp(-\lambda t) \\
 & \leq \|(\mathbf{I}_m - \mathbf{CBL})\|_{\infty} \|\mathbf{e}_i(t)\|_{\infty} \exp(-\lambda t) + \left\| \int_0^t \mathbf{CA} \exp(\mathbf{A}(t-\tau)) \mathbf{B} \mathbf{Le}_i(\tau) d\tau \right\|_{\infty} \exp(-\lambda t) \\
 & = \|(\mathbf{I}_m - \mathbf{CBL})\|_{\infty} \|\mathbf{e}_i(t)\|_{\lambda} + \|\mathbf{CABL}\|_{\infty} \left\| \int_0^t \exp(\mathbf{A}(t-\tau)) \mathbf{e}_i(\tau) d\tau \right\|_{\infty} \exp(-\lambda t) \\
 & = \|(\mathbf{I}_m - \mathbf{CBL})\|_{\infty} \|\mathbf{e}_i(t)\|_{\lambda} + \|\mathbf{CABL}\|_{\infty} \|\mathbf{h}(t)\|_{\lambda}
 \end{aligned}$$

其中, $\mathbf{h}(t) = \int_0^t \exp(\mathbf{A}(t-\tau)) \mathbf{e}_i(\tau) d\tau$ 。

根据 λ 范数的性质^[4], 当 $\lambda > \mathbf{A}$ 时, 有

$$\|\mathbf{h}(t)\|_{\lambda} \leq \frac{1 - \exp((\mathbf{A} - \lambda)T)}{\lambda - \mathbf{A}} \|\mathbf{e}_i(t)\|_{\lambda}$$

则

$$\|\mathbf{e}_{i+1}(t)\|_{\lambda} \leq \left(\|\mathbf{I}_m - \mathbf{CBL}\|_{\infty} + \|\mathbf{CABL}\|_{\infty} \frac{1 - \exp((\mathbf{A} - \lambda)T)}{\lambda - \mathbf{A}} \right) \|\mathbf{e}_i(t)\|_{\lambda} = \rho \|\mathbf{e}_i(t)\|_{\lambda}$$

定义

$$\rho = \|I_m - CBL\|_{\infty} + \|CABL\|_{\infty} \frac{1 - \exp((A - \lambda)T)}{\lambda - A} \quad (5.43)$$

当 λ 足够大时, $\frac{1 - \exp((A - \lambda)T)}{\lambda - A} \rightarrow 0$, 考虑条件(2), 则

$$\rho < 1$$

当 $i \rightarrow \infty$ 时, 有

$$\|e_{i+1}(t)\|_{\lambda} \rightarrow 0, \quad t \in [0, T]$$

由 ρ 的定义可知, 当取 $L = (CB)^{-1}$ 时, $\|I_m - CBL\|_{\infty} = 0$, ρ 的值最小, 收敛速度最快。

5.5.3 仿真实例

考虑多输入多输出非线性系统:

$$\begin{aligned} \begin{bmatrix} \dot{x}_1(t) \\ \dot{x}_2(t) \end{bmatrix} &= \begin{bmatrix} -2 & 3 \\ 1 & 1 \end{bmatrix} \begin{bmatrix} x_1(t) \\ x_2(t) \end{bmatrix} + \begin{bmatrix} 1 & 1 \\ 0 & 1 \end{bmatrix} \begin{bmatrix} u_1(t) \\ u_2(t) \end{bmatrix} \\ \begin{bmatrix} y_1(t) \\ y_2(t) \end{bmatrix} &= \begin{bmatrix} 2 & 0 \\ 0 & 1 \end{bmatrix} \begin{bmatrix} x_1(t) \\ x_2(t) \end{bmatrix} \end{aligned}$$

期望跟踪轨迹为

$$\begin{bmatrix} y_{1d}(t) \\ y_{2d}(t) \end{bmatrix} = \begin{bmatrix} 1.5t \\ 1.5t \end{bmatrix}, \quad t \in [0, 1]$$

由于 $CB = \begin{bmatrix} 2 & 2 \\ 0 & 1 \end{bmatrix}$, 故取 $L = (CB)^{-1} = \begin{bmatrix} 0.5 & -1 \\ 0 & 1 \end{bmatrix}$, 可满足定理 5.2 中的条件(2)。

根据式(5.41)和式(5.42), 学习控制律及初始状态学习律分别为

$$\begin{aligned} \begin{bmatrix} u_{1(i+1)}(t) \\ u_{2(i+1)}(t) \end{bmatrix} &= \begin{bmatrix} u_{1(i)}(t) \\ u_{2(i)}(t) \end{bmatrix} + \begin{bmatrix} 0.4 & -0.5 \\ 0 & 0.5 \end{bmatrix} \begin{bmatrix} \dot{e}_{1(i)}(t) \\ \dot{e}_{2(i)}(t) \end{bmatrix} \\ \begin{bmatrix} x_{1(i+1)}(0) \\ x_{2(i+1)}(0) \end{bmatrix} &= \begin{bmatrix} x_{1(i)}(0) \\ x_{2(i)}(0) \end{bmatrix} + \begin{bmatrix} 0.4 & 0 \\ 0 & 0.5 \end{bmatrix} \begin{bmatrix} e_{1(i)}(0) \\ e_{2(i)}(0) \end{bmatrix} \end{aligned}$$

系统的初始控制输入为 $\begin{bmatrix} u_{1(0)}(t) \\ u_{2(0)}(t) \end{bmatrix} = \begin{bmatrix} 0 \\ 0 \end{bmatrix}$, 系统的初始状态为 $\begin{bmatrix} x_{1(0)}(0) \\ x_{2(0)}(0) \end{bmatrix} = \begin{bmatrix} 2 \\ 1 \end{bmatrix}$ 。仿真结

果如图 5-10~图 5-15 所示。

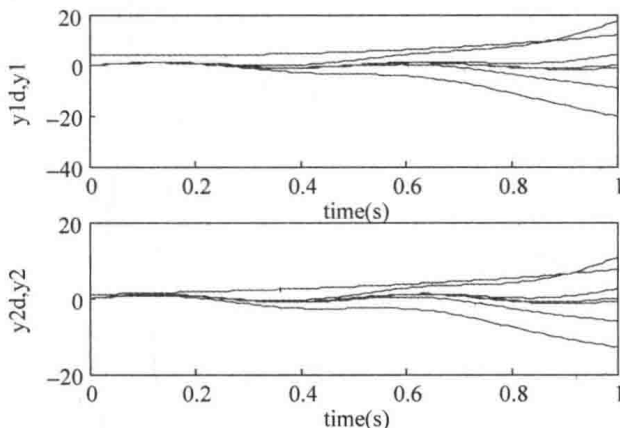


图 5-10 5 次迭代对象输出的跟踪过程

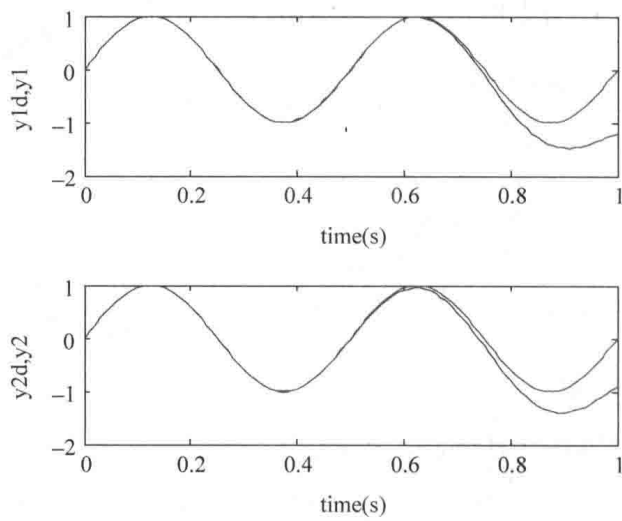


图 5-11 5 次迭代后正弦位置跟踪

change of maximum absolute value of error1 and error2 with times i

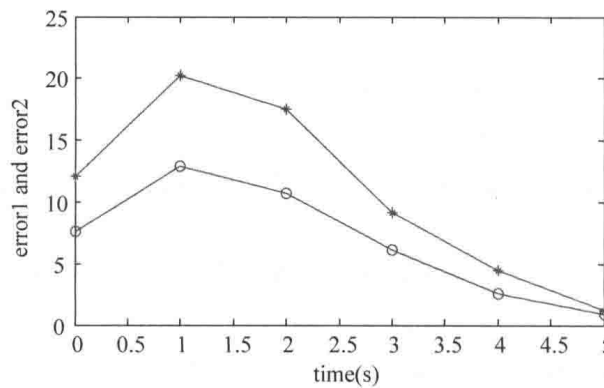


图 5-12 5 次迭代过程中误差范数的收敛过程

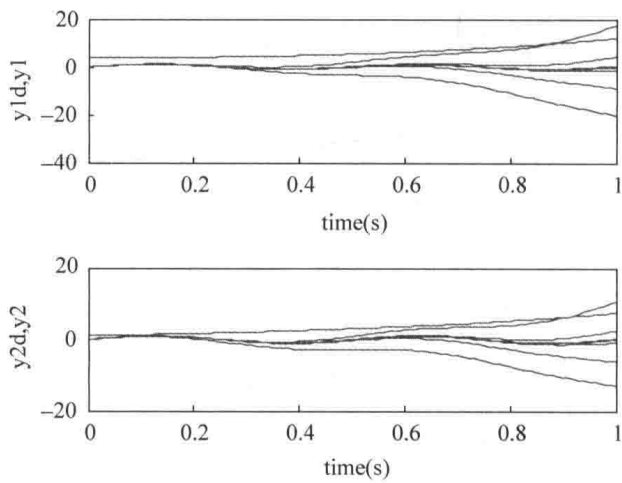


图 5-13 10 次迭代对象输出的跟踪过程

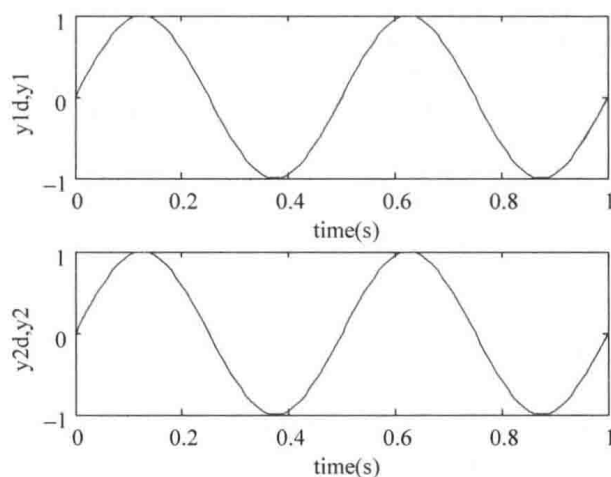


图 5-14 10 次迭代后正弦位置跟踪

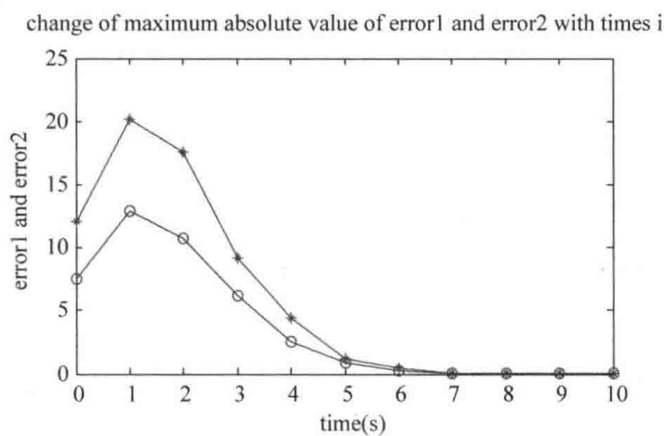


图 5-15 10 次迭代过程中误差范数的收敛过程

仿真程序如下：

(1) 主程序：chap5_3.m。

```
% Learning Control with an arbitrary initial state
```

```
clear all;
```

```
close all;
```

```
global A B
```

```
A = [-2 3; 1 1];
```

```
B = [1 1; 0 1];
```

```
C = [2 0; 0 1];
```

```
L = inv(C * B);
```

```
ts = 0.01;
```

```
for k = 1:1:101
```

```
    u1(k) = 0; u2(k) = 0;
```

```
end
```

```
xk0 = [2; 1];
```

```

% xk0 = [-2; -1];
%%%%%%%%%%%%%%%%%%%%%%%%%%%%%%%%%%%%%%%%%%%%%%%%%%%%%%%%%%%%%%%%%%%%%%%%
M = 10;
for i = 0:1:M          % Start Learning Control
    i
    pause(0.005);
    if i == 0
        xki = xk0;
    else
        yd0 = 0;
        yi0 = [2 * xk0(1); xk0(2)];
        e0 = yd0 - yi0;
        xki = xk0 + B * L * e0;
    end
    xk0 = xki;          % 用 xk0 存储上次运行的初始状态

%%%%%%%%%%%%%%%%%%%%%%%%%%%%%%%%%%%%%%%%%%%%%%%%%%%%%%%%%%%%%%%%%%%%%%%%
for k = 1:1:101
    time(k) = (k - 1) * ts;

    S = 2;
    if S == 1
        y1d_1(k) = 1.5 * (k - 1) * ts;
        y2d_1(k) = 1.5 * (k - 1) * ts;
        y1d(k) = 1.5 * k * ts;
        y2d(k) = 1.5 * k * ts;
    elseif S == 2
        y1d_1(k) = sin(4 * pi * (k - 1) * ts);
        y2d_1(k) = sin(4 * pi * (k - 1) * ts);
        y1d(k) = sin(4 * pi * k * ts);
        y2d(k) = sin(4 * pi * k * ts);
    end

    TimeSet = [(k - 1) * ts k * ts];
    para = [u1(k); u2(k)];
    if k == 1          % Initial state at times M
        xk = xk0;
    end

    y1_1(k) = 2 * xk(1);
    y2_1(k) = xk(2);
    % xk
    [tt, xx] = ode45('chap5_3plant', TimeSet, xk, [], para);
    % xx
    xk = xx(length(xx), :);
    y1(k) = 2 * xk(1);
    y2(k) = xk(2);

    e1_1(k) = y1d_1(k) - y1_1(k);
    e2_1(k) = y2d_1(k) - y2_1(k);

```

```

e1(k) = y1d(k) - y1(k);
e2(k) = y2d(k) - y2(k);

de1(k) = (e1(k) - e1_1(k))/ts;
de2(k) = (e2(k) - e2_1(k))/ts;
dek = [de1(k); de2(k)];
Uk = [u1(k); u2(k)];
U = Uk + L * dek;          % Control law: Uk is U(i-1), dek is near to de(i-1)

u1(k) = U(1);
u2(k) = U(2);
end                          % End of k

figure(1);
subplot(211);
hold on;
plot(time, y1d_1, 'r', time, y1_1, 'b');
xlabel('time(s)'); ylabel('y1d, y1');

subplot(212);
hold on;
plot(time, y2d_1, 'r', time, y2_1, 'b');
xlabel('time(s)'); ylabel('y2d, y2');

i = i + 1;
times(i) = i - 1;
eli(i) = max(abs(e1_1));
e2i(i) = max(abs(e2_1));
end                          % End of i
%%%%%%%%%%%%%%%%%%%%%%%%%%%%%%%%%%%%%%%%%%%%%%%%%%%%%%%%%%%%%%%%%%%%%%%%
figure(2);
subplot(211);
plot(time, y1d_1, 'r', time, y1_1, 'b');
xlabel('time(s)'); ylabel('y1d, y1');
subplot(212);
plot(time, y2d_1, 'r', time, y2_1, 'b');
xlabel('time(s)'); ylabel('y2d, y2');

figure(3);
plot(times, eli, ' * - r', times, e2i, 'o - b');
title('change of maximum absolute value of error1 and error2 with times i');
xlabel('times'); ylabel('error1 and error2');

```

(2) 子程序: chap5_3plant.m。

```

function dx = PlantModel(t, x, flag, para)
global A B
dx = zeros(2, 1);

u = para;
dx = A * x + B * u;

```

实际工程中,机械手常在有限时间内执行重复性的控制任务。针对这种有限区间执行重复性的控制任务,迭代学习控制是一种有效的控制方法。因此,机械臂轨迹跟踪的迭代学习控制得到广泛研究^[11~15]。

常规的机械手迭代学习控制方法需要假设机械臂初始状态与期望轨迹初始状态相等,而这在实际过程中常常无法满足,因而针对带有初始角度偏移的机械手迭代学习控制问题的研究具有一定工程意义^[14,15]。

参考文献

- [1] Arimoto S, Kawamura S, Miyazaki F. Bettering operation of robotics by leaning[J]. Journal of Robotic System, 1984, 1(2): 123-140.
- [2] 林辉, 王林. 迭代学习控制理论[M]. 西安: 西北工业大学出版社, 1998.
- [3] 孙明轩, 黄宝健. 迭代学习控制[M]. 北京: 国防工业出版社, 1999.
- [4] 谢胜利. 迭代学习控制的理论与应用[M]. 北京: 科学出版社, 2005.
- [5] 于少娟, 齐向东, 吴聚华. 迭代学习控制理论及应用[M]. 北京: 机械工业出版社, 2005.
- [6] 方忠, 韩正之, 陈彭年. 迭代学习控制新进展[J]. 控制理论与应用, 2002, 19(2): 161-165.
- [7] 石成英, 林辉. 迭代学习控制技术的原理、算法及应用[J]. 机床与液压, 2004, 19: 80-83.
- [8] 许建新, 侯忠生. 学习控制的现状与展望[J]. 自动化学报, 2005, 31(6): 943-955.
- [9] 李仁俊, 韩正之. 迭代学习控制综述[J]. 控制与决策, 2005, 20(9): 961-966.
- [10] 任雪梅, 高为炳. 任意初始状态下的迭代学习控制[J]. 自动化学报, 1994, 20(1): 74-79.
- [11] Ouyang P R, Zhang W J, Gupta M M. An adaptive switching learning control method for trajectory tracking of robot manipulators[J]. Mechatronics, 2006, 16: 51-61.
- [12] Tayebi A. Adaptive iterative learning control for robot manipulators[J]. Automatica, 2004, 40: 1195-1203.
- [13] Kang M K, Lee J S, Han K L. Kinematic path-tracking of mobile robot using iterative learning control[J]. Journal of Robotic Systems, 2005, 22(2): 111-121.
- [14] Chen Y Q, Wen C, Gong Z, et al. An iterative learning controller with initial state learning[J]. IEEE Transaction on Automatic Control, 1999, 44(2): 371-376.
- [15] Park K H, Bien Z. A generalized iterative learning controller against initial state error [J]. International Journal of Control, 2000, 73(10): 871-881.

6.1 简单反演控制器的设计

反演(backstepping)设计方法的基本思想是将复杂的非线性系统分解成不超过系统阶数的子系统,然后为每个子系统分别设计李雅普诺夫函数和中间虚拟控制量,一直“后退”到整个系统,直到完成整个控制律的设计。

反演设计方法,又称反步法、回推法或后推法,通常与李雅普诺夫型自适应律结合使用,综合考虑控制律和自适应律,使整个闭环系统满足期望的动、静态性能指标。

6.1.1 基本原理

假设被控对象为

$$\begin{cases} \dot{x}_1 = x_1 + x_2 \\ \dot{x}_2 = f(x, t) + g(x, t)u \end{cases} \quad (6.1)$$

其中, $g(x, t) \neq 0$ 。

控制目标是使系统的输出 x_1 可以很好地跟踪系统的期望轨迹 z_d , 并且所有的信号有界。

定义角度误差

$$z_1 = x_1 - z_d$$

则

$$\dot{z}_1 = \dot{x}_1 - \dot{z}_d = x_1 + x_2 - \dot{z}_d$$

基本的 backstepping 控制方法设计有以下 2 个步骤:

(1) 定义 Lyapunov 函数为

$$V_1 = \frac{1}{2} z_1^2 \quad (6.2)$$

则

$$\dot{V}_1 = z_1 \dot{z}_1 = z_1 (x_1 + x_2 - \dot{z}_d)$$

取 $x_2 = -x_1 - c_1 z_1 + \dot{z}_d + z_2$, 其中, $c_1 > 0$, z_2 为虚拟控制量, 即

$$z_2 = x_1 + x_2 + c_1 z_1 - \dot{z}_d$$

则

$$\dot{V}_1 = -c_1 z_1^2 + z_1 z_2$$

如果 $z_2 = 0$, 则 $\dot{V}_1 \leq 0$ 。为此, 需要进行下一步设计。

(2) 定义 Lyapunov 函数为

$$V_2 = V_1 + \frac{1}{2} z_2^2 \quad (6.3)$$

由于 $\dot{z}_2 = \dot{x}_1 + f(x, t) + g(x, t)u + c_1 \dot{z}_1 - \ddot{z}_d$, 则

$$\begin{aligned} \dot{V}_2 &= \dot{V}_1 + z_2 \dot{z}_2 \\ &= -c_1 z_1^2 + z_1 z_2 + z_2 (x_1 + x_2 + f(x, t) + g(x, t)u + c_1 \dot{z}_1 - \ddot{z}_d) \end{aligned}$$

为使 $\dot{V}_2 \leq 0$, 设计控制器为

$$u = \frac{1}{g(x, t)} (-x_1 - x_2 - f(x, t) - c_1 \dot{z}_1 + \ddot{z}_d - c_2 z_2 - z_1) \quad (6.4)$$

其中, c_2 为大于零的正常数。

于是

$$\dot{V}_2 = -c_1 z_1^2 - c_2 z_2^2 \leq 0$$

即 $\dot{V}_2 = -\eta V_2$, 积分得 $\int_0^t \frac{1}{V_2} dV_2 = -\int_0^t \eta dt$, 则

$$\ln V_2 \Big|_0^t = -\eta t$$

其中, $\eta = 2\max(c_1, c_2)$ 。

从而得到指数收敛的形式

$$V_2(t) = V_2(0)e^{-\eta t}$$

由于 $V_2 = \frac{1}{2} z_1^2 + \frac{1}{2} z_2^2$, 则 z_1 和 z_2 指数收敛, 且当 $t \rightarrow \infty$ 时, $z_1 \rightarrow 0$ 和 $z_2 \rightarrow 0$ 。又由于 $z_2 = x_1 + x_2 + c_1 z_1 - \dot{z}_d$, 则 $x_1 + x_2 \rightarrow \dot{z}_d$, 从而 x_2 有界。

6.1.2 仿真实例

被控对象的动态方程如下:

$$\begin{cases} \dot{x}_1 = x_1 + x_2 \\ \dot{x}_2 = \frac{g \sin x_1 - m l x_2^2 \cos x_1 \sin x_1 / (m_c + m)}{l [4/3 - m \cos^2 x_1 / (m_c + m)]} + \frac{\cos x_1 / (m_c + m)}{l [4/3 - m \cos^2 x_1 / (m_c + m)]} u \end{cases}$$

其中, x_1 为位置信号, $g = 9.8$, $m_c = 1$, $m = 0.1$, $l = 0.5$, u 为控制输入。

位置指令为 $z_d(t) = 0.1 \sin(\pi t)$, 采用控制律式(6.4), 取 $c_1 = 35$, $c_2 = 35$, 系统初始状态为 $[\pi/60, 0]$ 。仿真结果如图 6-1 和图 6-2 所示。

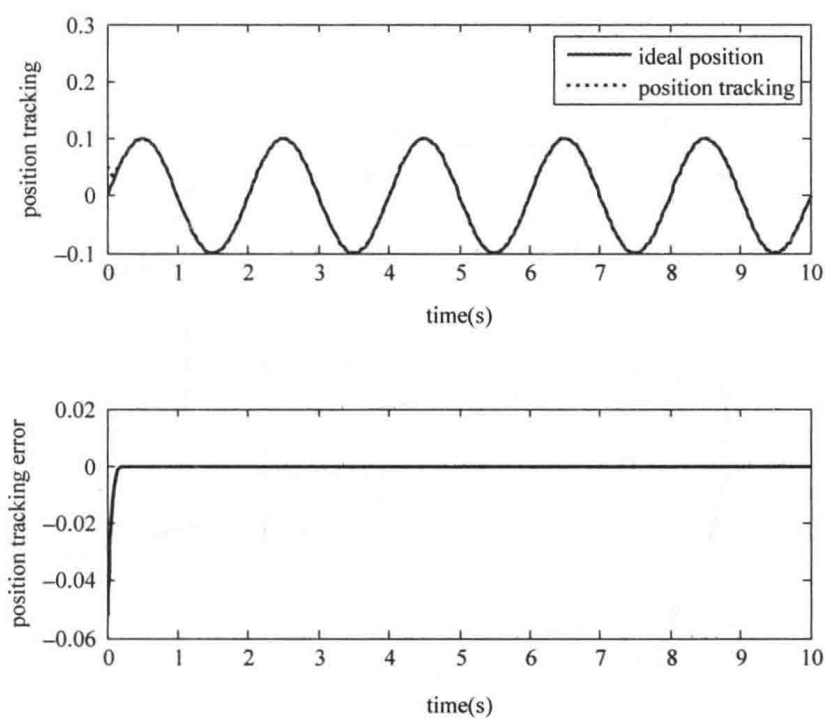


图 6-1 位置跟踪及跟踪误差

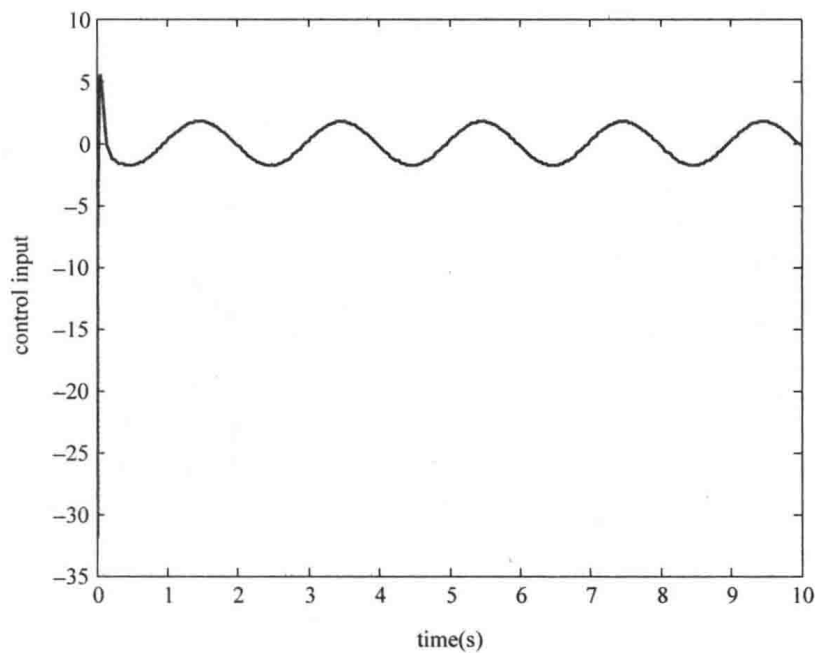
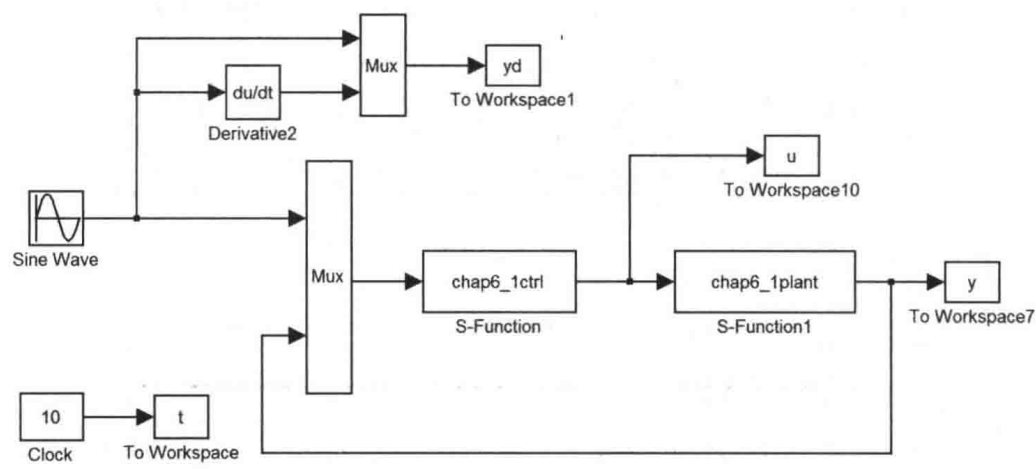


图 6-2 控制输入

仿真程序如下：

(1) Simulink 主程序：chap6_1sim.mdl。



(2) 控制器子程序 chap6_1ctrl.m。

```
function [sys,x0,str,ts] = spacemodel(t,x,u,flag)
switch flag,
case 0,
    [sys,x0,str,ts] = mdlInitializeSizes;
case 3,
    sys = mdlOutputs(t,x,u);
case {2,4,9}
    sys = [];
otherwise
    error(['Unhandled flag = ',num2str(flag)]);
end
function [sys,x0,str,ts]=mdlInitializeSizes
sizes = simsizes;
sizes.NumContStates = 0;
sizes.NumDiscStates = 0;
sizes.NumOutputs = 1;
sizes.NumInputs = 5;
sizes.DirFeedthrough = 1;
sizes.NumSampleTimes = 0;
sys = simsizes(sizes);
x0 = [];
str = [];
ts = [];
function sys = mdlOutputs(t,x,u)
zd = u(1);
dzd = 0.1 * pi * cos(pi * t);
ddzd = - 0.1 * pi * pi * sin(pi * t);

x1 = u(2);
x2 = u(3);
fx = u(4);
```

```

gx = u(5);
c1 = 35; c2 = 35;

z1 = x1 - zd;
z2 = x1 + x2 + c1 * z1 - ddzd;
dz1 = x1 + x2 - ddzd;
ut = (-x1 - x2 - fx - c1 * dz1 + ddzd - c2 * z2 - z1)/(gx + 0.001);
sys(1) = ut;

```

(3) 被控对象子程序 chap6_1plant.m。

```

function [sys,x0,str,ts] = s_function(t,x,u,flag)
switch flag,
case 0,
    [sys,x0,str,ts] = mdlInitializeSizes;
case 1,
    sys = mdlDerivatives(t,x,u);
case 3,
    sys = mdlOutputs(t,x,u);
case {2, 4, 9}
    sys = [];
otherwise
    error(['Unhandled flag = ',num2str(flag)]);
end
function [sys,x0,str,ts] = mdlInitializeSizes
sizes = simsizes;
sizes.NumContStates = 2;
sizes.NumDiscStates = 0;
sizes.NumOutputs = 4;
sizes.NumInputs = 1;
sizes.DirFeedthrough = 0;
sizes.NumSampleTimes = 0;
sys = simsizes(sizes);
x0 = [pi/60 0];
str = [];
ts = [];
function sys = mdlDerivatives(t,x,u)
g = 9.8; mc = 1.0; m = 0.1; l = 0.5;
S = l * (4/3 - m * (cos(x(1)))^2/(mc + m));
fx = g * sin(x(1)) - m * l * x(2)^2 * cos(x(1)) * sin(x(1))/(mc + m);
fx = fx/S;
gx = cos(x(1))/(mc + m);
gx = gx/S;
ut = u(1);
sys(1) = x(1) + x(2);
sys(2) = fx + gx * ut;
function sys = mdlOutputs(t,x,u)
g = 9.8; mc = 1.0; m = 0.1; l = 0.5;
S = l * (4/3 - m * (cos(x(1)))^2/(mc + m));
fx = g * sin(x(1)) - m * l * x(2)^2 * cos(x(1)) * sin(x(1))/(mc + m);
fx = fx/S;

```

```

gx = cos(x(1))/(mc + m);
gx = gx/S;
sys(1) = x(1);
sys(2) = x(2);
sys(3) = fx;
sys(4) = gx;

```

(4) 作图程序: chap6_lplot.m。

```

close all;

figure(1);
subplot(211);
plot(t, yd(:,1), 'r', t, y(:,1), 'k:', 'linewidth', 2);
xlabel('time(s)'); ylabel('position tracking');
legend('ideal position', 'position tracking');
subplot(212);
plot(t, yd(:,1) - y(:,1), 'k', 'linewidth', 2);
xlabel('time(s)'); ylabel('position tracking error');

figure(2);
plot(t, ut(:,1), 'r', 'linewidth', 2);
xlabel('time(s)'); ylabel('control input');

```

6.2 单关节机械手的反演控制

反演控制的设计方法实际上是一种逐步递推的设计方法,反演控制设计方法中引进的虚拟控制本质上是一种静态补偿思想,前面的子系统必须通过后边子系统的虚拟控制才能达到目的,因此该方法要求系统结构必须是严格参数反馈系统或可经过变换,转化为该种类型的非线性系统。反演控制设计方法在设计不确定性系统(特别是当干扰或不确定性不满足匹配条件时)的鲁棒控制器或自适应控制器方面已经显示出它的优越性。

6.2.1 系统描述

采用电机驱动的单机械臂进行仿真,系统的动态方程如下:

$$\begin{cases} \dot{x}_1 = x_2 \\ \dot{x}_2 = -\frac{B}{M_t}x_2 + \frac{N}{M_t}f(x_1, x_2) + \frac{K_t}{M_t}x_3 \\ \dot{x}_3 = -\frac{R}{L}x_3 - \frac{K_b}{L}x_2 + \frac{1}{L}u \\ y = x_1 \end{cases} \quad (6.5)$$

其中, $x_1 = \theta$, $x_2 = \dot{\theta}$, $x_3 = I$, $M_t = J + \frac{1}{3}ml^2 + \frac{1}{10}Ml^2$, D , $N = mgl + Mgl$, g 为重力加速度常量, f 为已知非线性函数, θ 为连杆角度, I 为电流, K_t 是扭矩常量, K_b 是反电动势系数, B 是轴承黏滞摩擦系数, D 是负载直径, l 是连杆长度, M 是负载质量, m 是连杆重量, L 是电

抗, R 为电阻, u 为电机控制电压, J 为执行器转矩。

控制目标是使系统的角度输出 x_1 跟踪的期望轨迹 z_d , 角速度 x_2 跟踪期望速度轨迹 \dot{z}_d , 并且所有的信号有界。

6.2.2 反演控制器的设计

被控对象可写为

$$\begin{cases} \dot{x}_1 = x_2 \\ \dot{x}_2 = a_1 x_2 + a_2(x) + a_3 x_3 \\ \dot{x}_3 = b_1 x_3 + b_2 x_2 + b_3 u \\ y = x_1 \end{cases} \quad (6.6)$$

其中, $a_1 = -\frac{B}{M_t}$, $a_2 = \frac{N}{M_t} f(x_1, x_2)$, $a_3 = \frac{K_t}{M_t}$, $b_1 = -\frac{R}{L}$, $b_2 = -\frac{K_b}{L}$, $b_3 = \frac{1}{L}$ 。

上述模型属于非匹配系统, 很难采用传统的控制方法(如滑模控制方法)设计控制律, 适合采用反演控制方法进行设计。定义角度误差 $z_1 = x_1 - z_d$, 则

$$\dot{z}_1 = \dot{x}_1 - \dot{z}_d = x_2 - \dot{z}_d$$

反演控制的设计过程是通过逐步构造中间量完成的, 最后的虚拟控制量是施加于系统实际控制量的一部分。针对模型式(6.6)的反演控制方法设计步骤如下。

(1) 定义 Lyapunov 函数

$$V_1 = \frac{1}{2} z_1^2$$

则

$$\dot{V}_1 = z_1 \dot{z}_1 = z_1 (x_2 - \dot{z}_d)$$

取 $x_2 = -c_1 z_1 + \dot{z}_d + z_2$, 其中, $c_1 > 0$, z_2 为虚拟控制量, 即

$$z_2 = x_2 + c_1 z_1 - \dot{z}_d \quad (6.7)$$

则

$$\dot{V}_1 = -c_1 z_1^2 + z_1 z_2$$

如果 $z_2 = 0$, 则 $\dot{V}_1 \leq 0$ 。为此, 需要进行下一步设计。

(2) 定义 Lyapunov 函数

$$V_2 = V_1 + \frac{1}{2} z_2^2$$

由于 $\dot{z}_2 = a_1 x_2 + a_2(x) + a_3 x_3 + c_1 \dot{z}_1 - \ddot{z}_d$, 则

$$\dot{V}_2 = \dot{V}_1 + z_2 \dot{z}_2 = -c_1 z_1^2 + z_1 z_2 + z_2 (a_1 x_2 + a_2(x) + a_3 x_3 + c_1 \dot{z}_1 - \ddot{z}_d)$$

取 $a_3 x_3 = -a_1 x_2 - a_2(x) - c_1 \dot{z}_1 + \ddot{z}_d - c_2 z_2 - z_1 + z_3$, 其中, $c_2 > 0$, z_3 为虚拟控制量, 即

$$z_3 = a_3 x_3 + a_1 x_2 + a_2(x) + c_1 \dot{z}_1 - \ddot{z}_d + c_2 z_2 + z_1 \quad (6.8)$$

则

$$\dot{V}_2 = \dot{V}_1 + z_2 \dot{z}_2 = -c_1 z_1^2 - c_2 z_2^2 + z_2 z_3$$

如果 $z_3=0$, 则 $\dot{V}_2 \leq 0$ 。为此, 需要进行下一步设计。

第3步: 定义 Lyapunov 函数

$$V_3 = V_2 + \frac{1}{2} z_3^2$$

由于 $\dot{z}_3 = a_3 \dot{x}_3 + a_1 \dot{x}_2 + \dot{a}_2(x) + c_1 \ddot{z}_1 - \ddot{z}_d + c_2 \dot{z}_2 + \dot{z}_1$, 则

$$\begin{aligned} \dot{V}_3 = \dot{V}_2 + z_3 \dot{z}_3 = & -c_1 z_1^2 - c_2 z_2^2 + z_2 z_3 + \\ & z_3 \left[a_3 \left(b_1 x_3 + b_2 x_2 + \frac{1}{L} u \right) + a_1 \dot{x}_2 + \dot{a}_2(x) + c_1 \ddot{z}_1 - \ddot{z}_d + c_2 \dot{z}_2 + \dot{z}_1 \right] \end{aligned}$$

令 $T = a_3 \left(b_1 x_3 + b_2 x_2 + \frac{1}{L} u \right)$, 则

$$\dot{V}_3 = -c_1 z_1^2 - c_2 z_2^2 + z_2 z_3 + z_3 (T + a_1 \dot{x}_2 + \dot{a}_2(x) + c_1 \ddot{z}_1 - \ddot{z}_d + c_2 \dot{z}_2 + \dot{z}_1)$$

为使 $\dot{V}_3 \leq 0$, 设计控制器为

$$T = -a_1 \dot{x}_2 - \dot{a}_2(x) - c_1 \ddot{z}_1 + \ddot{z}_d - c_2 \dot{z}_2 - \dot{z}_1 - z_2 - c_3 z_3 \quad (6.9)$$

其中, c_3 为大于零的正常数。

实际的控制律为

$$u = L \left(\frac{1}{a_3} T - b_1 x_3 - b_2 x_2 \right) \quad (6.10)$$

则

$$\dot{V}_3 = -c_1 z_1^2 - c_2 z_2^2 - c_3 z_3^2 \leq 0$$

即

$$\dot{V}_3 \leq -\eta V_3$$

其中, $\eta = 2\min(c_1, c_2, c_3)$ 。

引理 6.1^[2] 针对 $V: [0, \infty) \in \mathbf{R}$, 不等式方程 $\dot{V} \leq -\alpha V + f, \forall t \geq t_0 \geq 0$ 的解为

$$V(t) \leq e^{-\alpha(t-t_0)} V(t_0) + \int_{t_0}^t e^{-\alpha(t-\tau)} f(\tau) d\tau$$

其中, α 为任意常数。

采用引理 6.1, 针对不等式方程 $\dot{V}_3 \leq -\eta V_3$, 有 $\alpha = \eta, f = 0$, 解为

$$V_3(t) \leq e^{-\eta(t-t_0)} V_3(t_0)$$

可见, V_3 指数收敛至零, 收敛速度取决于 η 。

由于 $V_3 = \frac{1}{2} z_1^2 + \frac{1}{2} z_2^2 + \frac{1}{2} z_3^2$, 则 z_1, z_2 和 z_3 指数收敛, 且当 $t \rightarrow \infty$ 时, $z_1 \rightarrow 0, z_2 \rightarrow 0, z_3 \rightarrow 0$, 从而 $x_1 \rightarrow z_d, x_2 \rightarrow \dot{z}_d$ 。

又由于 $z_2 = x_2 + c_1 z_1 - \dot{z}_d, z_3 = a_3 x_3 + a_1 x_2 + a_2(x) + c_1 \dot{z}_1 - \ddot{z}_d + c_2 z_2 + z_1, \dot{z}_1 = x_2 - \dot{z}_d$, 则 x_3 有界。

6.2.3 仿真实例

针对被控对象式(6.5), 取期望轨迹 $z_d = \sin t$, 非线性函数为 $f(x) = x_1^2 + x_2^2$ 。单机械

臂的参数为 $B=0.015, L=0.0008, D=0.05, R=0.075, m=0.01, J=0.05, l=0.6, K_b=0.085, M=0.05, K_l=1, g=9.8$ 。

系统的初始状态为 $\mathbf{x}(0)=[0.5, 0, 0]^T$, 控制器参数取 $c_1=500, c_2=c_3=10$, 控制律采用虚拟控制式(6.7)、虚拟控制式(6.8)及实际控制律式(6.10), 仿真结果如图 6-3 和图 6-4 所示。

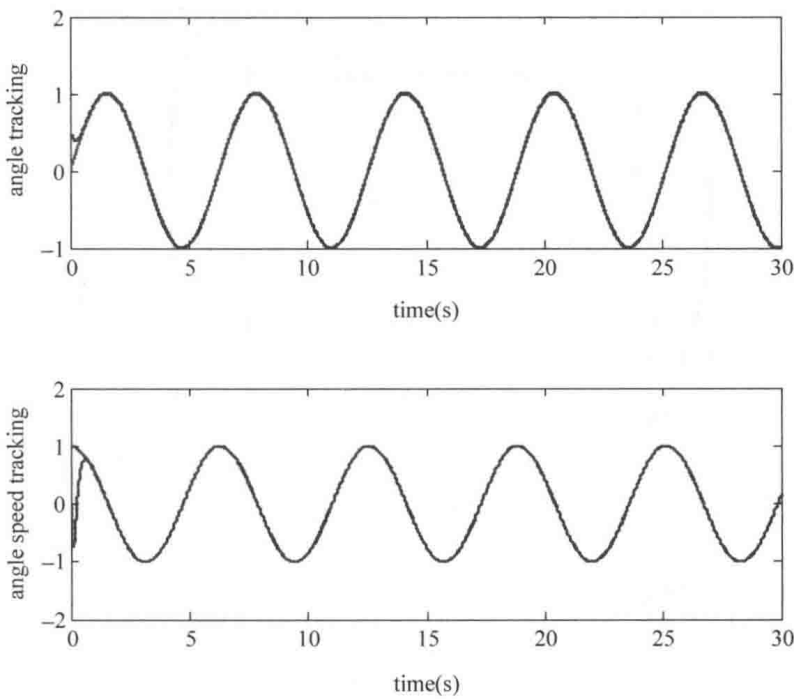


图 6-3 角度和角速度跟踪

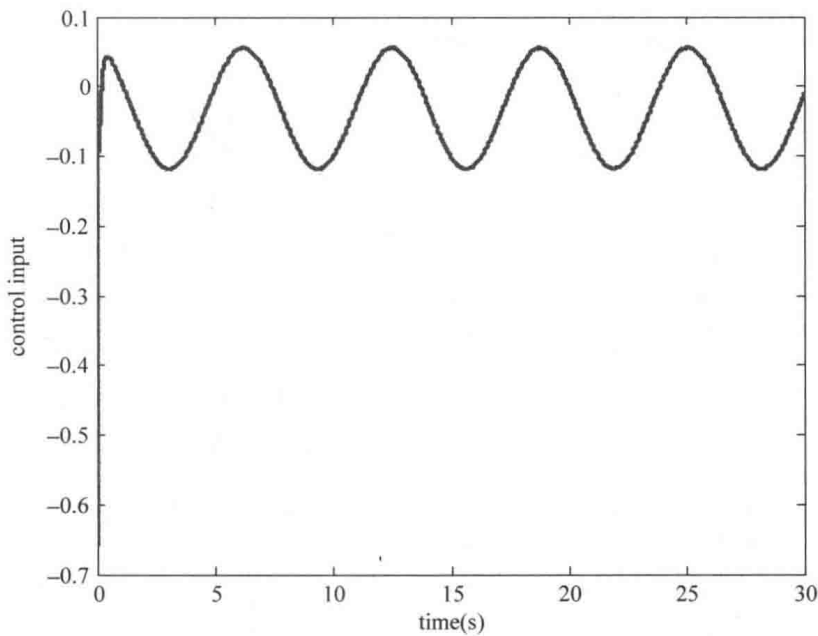
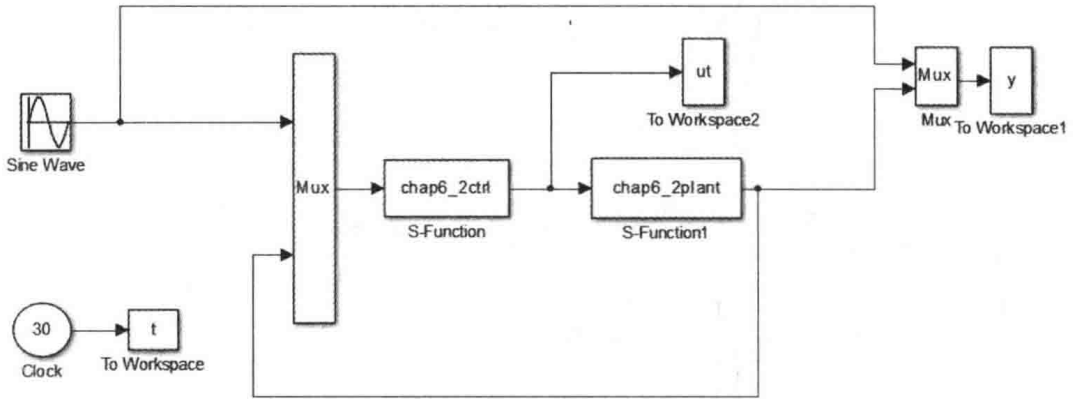


图 6-4 控制输入信号

仿真程序如下：

(1) Simulink 主程序：chap6_2sim.mdl。



(2) 控制器 S 函数：chap6_2ctrl.m。

```
function [sys,x0,str,ts] = spacemodel(t,x,u,flag)
switch flag,
case 0,
    [sys,x0,str,ts] = mdlInitializeSizes;
case 3,
    sys = mdlOutputs(t,x,u);
case {1,2,4,9}
    sys = [];
otherwise
    error(['Unhandled flag = ',num2str(flag)]);
end

function [sys,x0,str,ts] = mdlInitializeSizes
sizes = simsizes;
sizes.NumContStates = 0;
sizes.NumDiscStates = 0;
sizes.NumOutputs = 1;
sizes.NumInputs = 4;
sizes.DirFeedthrough = 1;
sizes.NumSampleTimes = 0;
sys = simsizes(sizes);
x0 = [];
str = [];
ts = [];
function sys = mdlOutputs(t,x,u)
B = 0.015;L = 0.0008;D = 0.05;R = 0.075;m = 0.01;J = 0.05;
l = 0.6;Kb = 0.085;M = 0.05;Kt = 1;g = 9.8;
Mt = J + 1/3 * m * l^2 + 1/10 * M * l^2 * D;
N = m * g * l + M * g * l;

zd = u(1);
dzd = cos(t);
```

```

ddzd = - sin(t);
x1 = u(2);
x2 = u(3);
x3 = u(4);
fx = x1^2 + x2^2;

z1 = x1 - zd;
c1 = 500; c2 = 10; c3 = 10;

a1 = - B/Mt; a2 = N/Mt * fx; a3 = Kt/Mt;
b1 = - R/L; b2 = - Kb/L; b3 = 1/L;

dx2 = a1 * x2 + a2 + a3 * x3;
dfx = 2 * x1 * x2 + 2 * x2 * dx2;

da2 = N/Mt * dfx;
dz1 = x2 - dzd;
ddz1 = dx2 - ddzd;
z2 = x2 + c1 * z1 - dzd;
dz2 = dx2 + c1 * dz1 - ddzd;
z3 = a3 * x3 + a1 * x2 + a2 + c1 * dz1 - dddzd + c2 * z2 + z1;
T = - a1 * dx2 - da2 - c1 * ddz1 + ddzd - c2 * dz2 - dz1 - z2 - c3 * z3;
ut = L * (1/a3 * T - b1 * x3 - b2 * x2);

sys(1) = ut;

```

(3) 被控对象 S 函数: chap6_2plant.m。

```

function [sys,x0,str,ts] = s_function(t,x,u,flag)
switch flag,
case 0,
    [sys,x0,str,ts] = mdlInitializeSizes;
case 1,
    sys = mdlDerivatives(t,x,u);
case 3,
    sys = mdlOutputs(t,x,u);
case {2, 4, 9}
    sys = [];
otherwise
    error(['Unhandled flag = ',num2str(flag)]);
end
function [sys,x0,str,ts] = mdlInitializeSizes
sizes = simsizes;
sizes.NumContStates = 3;
sizes.NumDiscStates = 0;
sizes.NumOutputs = 3;
sizes.NumInputs = 1;
sizes.DirFeedthrough = 0;
sizes.NumSampleTimes = 0;
sys = simsizes(sizes);
x0 = [0.5 0 0];

```



```

str = [];
ts = [];
function sys = mdlDerivatives(t,x,u)
B = 0.015;L = 0.0008;D = 0.05;R = 0.075;m = 0.01;J = 0.05;
l = 0.6;Kb = 0.085;M = 0.05;Kt = 1;g = 9.8;
Mt = J + 1/3 * m * l^2 + 1/10 * M * l^2 * D;
N = m * g * l + M * g * l;

fx = x1^2 + x2^2;
sys(1) = x(2);
sys(2) = -B/Mt * x(2) + N/Mt * fx + Kt/Mt * x(3);
sys(3) = -R/L * x(3) - Kb/L * x(2) + 1/L * u;
function sys = mdlOutputs(t,x,u)
sys(1) = x(1);
sys(2) = x(2);
sys(3) = x(3);

```

(4) 作图程序: chap6_2plot.m。

```

close all;

figure(1);
subplot(211);
plot(t,y(:,1),'r',t,y(:,2),'b','linewidth',2);
xlabel('time(s)');ylabel('angle tracking');
subplot(212);
plot(t,cos(t),'r',t,y(:,3),'b','linewidth',2);
xlabel('time(s)');ylabel('angle speed tracking');

figure(2);
plot(t,ut,'r','linewidth',2);
xlabel('time(s)');ylabel('control input');

```

6.3 双耦合电机的反演控制

双耦合电机控制系统是一种特殊机械手的结构形式^[1],本节介绍一类双耦合电机控制系统反演控制的设计方法。

6.3.1 系统描述

两个耦合电机的模型为

$$J_d \ddot{\theta}_1 + c_1 \dot{\theta}_1 + k g_r^{-1} (g_r^{-1} \theta_1 - \theta_2) = u \quad (6.11)$$

$$J_l \ddot{\theta}_2 + c_2 \dot{\theta}_2 + k (\theta_2 - g_r^{-1} \theta_1) = 0 \quad (6.12)$$

其中, θ_1 为驱动器转动角度, θ_2 为负载转动角度, J_l 为负载转动惯量, J_d 为驱动器转动惯量, $g_r = \frac{r_1 r_{pl}}{r_{p2} r_d}$ 为齿轮齿数比, u 为控制输入, c_1 为驱动器阻尼, c_2 为负载阻尼, $k = 2k_1 r_1^2$ 为扭转弹性常数。

双电机耦合运动系统示意图如图 6-5 所示。

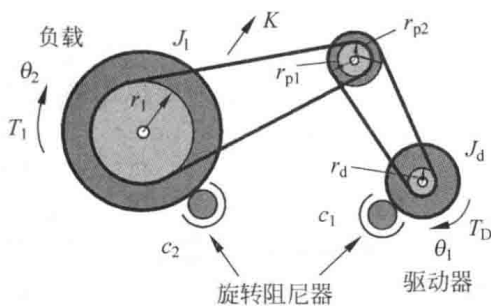


图 6-5 双电机耦合运动系统示意图

控制目标是负载转动角度 θ_2 跟踪期望负载角度 θ_{2d} ，角速度 $\dot{\theta}_2$ 跟踪期望负载角速度 $\dot{\theta}_{2d}$ ，并且所有的信号有界。

上述模型属于非匹配系统，很难采用传统的控制方法（如滑模控制方法）设计控制律，适合采用反演控制方法进行设计。

6.3.2 反演控制器的设计

定义误差为 $e = \theta_{2d} - \theta_2$ ，滑模函数为

$$r = \dot{e} + \lambda e, \quad \dot{r} = \ddot{e} + \lambda \dot{e} \quad (6.13)$$

其中， $\lambda > 0$ 。

则

$$\begin{aligned} J_l \dot{r} &= J_l (\ddot{e} + \lambda \dot{e}) = J_l \ddot{\theta}_{2d} - J_l \ddot{\theta}_2 + J_l \lambda \dot{e} \\ &= J_l \ddot{\theta}_{2d} - F_1 + J_l \lambda \dot{e} \end{aligned}$$

其中， $F_1 = J_l \ddot{\theta}_2 = -c_2 \dot{\theta}_2 - k(\theta_2 - g_r^{-1} \theta_1)$ 。

(1) 考虑滑模函数 r ，定义 Lyapunov 函数

$$V_1 = \frac{1}{2} J_l r^2$$

则

$$\dot{V}_1 = J_l r \dot{r} = r (J_l \ddot{\theta}_{2d} - F_1 + J_l \lambda \dot{e})$$

取 $J_l \ddot{\theta}_{2d} - F_1 + J_l \lambda \dot{e} = -k_1 r + z_2$ ， z_2 为虚拟控制量，则

$$\dot{V}_1 = -k_1 r^2 + z_2 r$$

其中， $k_1 > 0$ ，且

$$z_2 = J_l \ddot{\theta}_{2d} - F_1 + J_l \lambda \dot{e} + k_1 r \quad (6.14)$$

如果 $z_2 = 0$ ，则 $\dot{V}_1 \leq 0$ 。为此，需要进行下一步设计。

(2) 考虑 z_2 ，定义 Lyapunov 函数

$$V_2 = V_1 + \frac{1}{2} z_2^2$$

则 $\dot{z}_2 = J_1 \ddot{\theta}_{2d} - \dot{F}_1 + J_1 \lambda \ddot{e} + k_1 \dot{r}$, 且

$$\dot{V}_2 = \dot{V}_1 + z_2 \dot{z}_2 = -k_1 r^2 + z_2 r + z_2 (J_1 \ddot{\theta}_{2d} - \dot{F}_1 + J_1 \lambda \ddot{e} + k_1 \dot{r})$$

取 $J_1 \ddot{\theta}_{2d} - \dot{F}_1 + J_1 \lambda \ddot{e} + k_1 \dot{r} = -k_2 z_2 - r + z_3$, z_3 为虚拟控制量, 则

$$\dot{V}_2 = -k_1 r^2 - k_2 z_2^2 + z_2 z_3$$

其中, $k_2 > 0$, 且

$$z_3 = J_1 \ddot{\theta}_{2d} - \dot{F}_1 + J_1 \lambda \ddot{e} + k_1 \dot{r} + k_2 z_2 + r \quad (6.15)$$

$$\dot{F}_1 = -c_2 \ddot{\theta}_2 - k(\dot{\theta}_2 - g_r^{-1} \dot{\theta}_1) = -\frac{c_2}{J_1} F_1 - k(\dot{\theta}_2 - g_r^{-1} \dot{\theta}_1)$$

如果 $z_3 = 0$, 则 $\dot{V}_2 \leq 0$ 。为此, 需要进行下一步设计。

第三步: 考虑 z_3 , 定义 Lyapunov 函数

$$V_3 = V_2 + \frac{1}{2} z_3^2$$

则

$$\dot{V}_3 = \dot{V}_2 + z_3 \dot{z}_3 = -k_1 r^2 - k_2 z_2^2 + z_2 z_3 + z_3 \dot{z}_3$$

z_3 为虚拟控制量, 且

$$\dot{z}_3 = J_1 \ddot{\theta}_{2d} - \ddot{F}_1 + J_1 \lambda \ddot{e} + k_1 \ddot{r} + k_2 \dot{z}_2 + \dot{r} \quad (6.16)$$

其中,

$$\ddot{F}_1 = -\frac{c_2}{J_1} \dot{F}_1 - k(\ddot{\theta}_2 - g_r^{-1} \ddot{\theta}_1) = -\frac{c_2}{J_1} \dot{F}_1 - k\left(\frac{1}{J_1} F_1 - g_r^{-1} \ddot{\theta}_1\right)$$

取 $F_2 = J_d \ddot{\theta}_1$, $F_3 = c_1 \dot{\theta}_1 + k g_r^{-1} (g_r^{-1} \theta_1 - \theta_2)$, 则

$$F_2 = J_d \ddot{\theta}_1 = u - F_3 \quad (6.17)$$

$$\ddot{F}_1 = -\frac{c_2}{J_1} \dot{F}_1 - k\left(\frac{1}{J_1} F_1 - \frac{1}{g_r J_d} (u - F_3)\right) \quad (6.18)$$

由式(6.16)可知, 如果取

$$\ddot{F}_1 = J_1 \ddot{\theta}_{2d} + J_1 \lambda \ddot{e} + k_1 \ddot{r} + k_2 \dot{z}_2 + \dot{r} + z_2 + k_3 z_3 \quad (6.19)$$

其中, $k_3 > 0$ 。

则 $\dot{z}_3 = -z_2 - k_3 z_3$, 从而

$$\dot{V}_3 = -k_1 r^2 - k_2 z_2^2 - k_2 z_3^2 \quad (6.20)$$

即

$$\dot{V}_3 \leq -\eta V_3$$

其中, $\eta = 2\max(c_1, c_2, c_3)$ 。

按式(6.19)设计 \ddot{F}_1 , 则由式(6.18)可得控制律为

$$u = \frac{g_r J_d}{k} \left(\frac{k}{J_1} F_1 + \frac{c_2}{J_1} \dot{F}_1 + \ddot{F}_1 \right) + F_3 \quad (6.21)$$

采用 6.2 节的引理 6.1, 针对不等式方程 $\dot{V}_3 \leq -\eta V_3$, 有 $\alpha = \eta, f = 0$, 解为

$$V_3(t) \leq e^{-\eta(t-t_0)} V_3(t_0)$$

可见, $V_3(t)$ 指数收敛至零, 收敛速度取决于 η 。由于 $V_3 = \frac{1}{2}J_1\dot{r}^2 + \frac{1}{2}z_2^2 + \frac{1}{2}z_3^2$, 则 r 、 z_2 和 z_3 指数收敛, 且当 $t \rightarrow \infty$ 时, $e \rightarrow 0$, $\dot{e} \rightarrow 0$, $z_2 \rightarrow 0$, $z_3 \rightarrow 0$ 。

6.3.3 仿真实例

被控对象为式(6.11)和式(6.12), 取 $J_1 = 0.3575$, $J_d = 0.000425$, $g_r = 4$, $c_1 = 0.004$, $c_2 = 0.05$, $k = 8.45$, 采用控制律式(6.14)、式(6.15)和式(6.21), 取 $k_1 = 10$, $k_2 = 10$, $k_3 = 10$, 仿真结果如图 6-6 和图 6-7 所示。

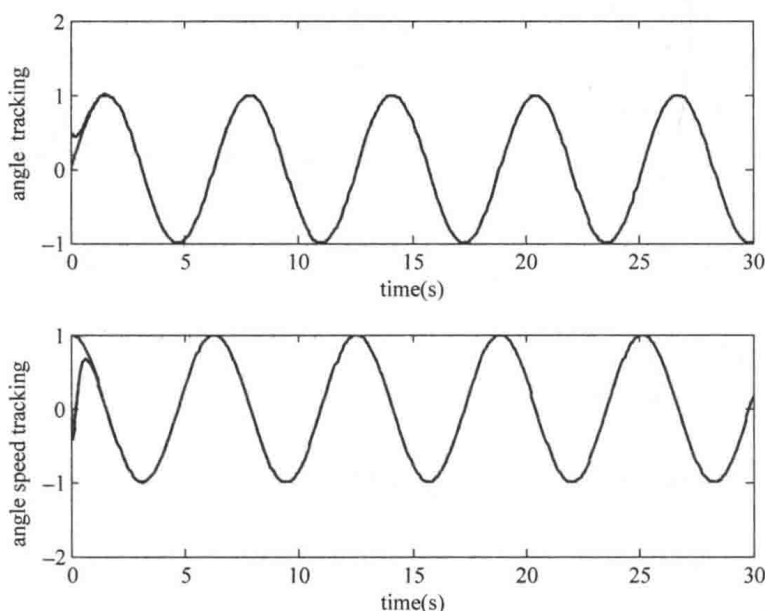


图 6-6 角度和角速度跟踪

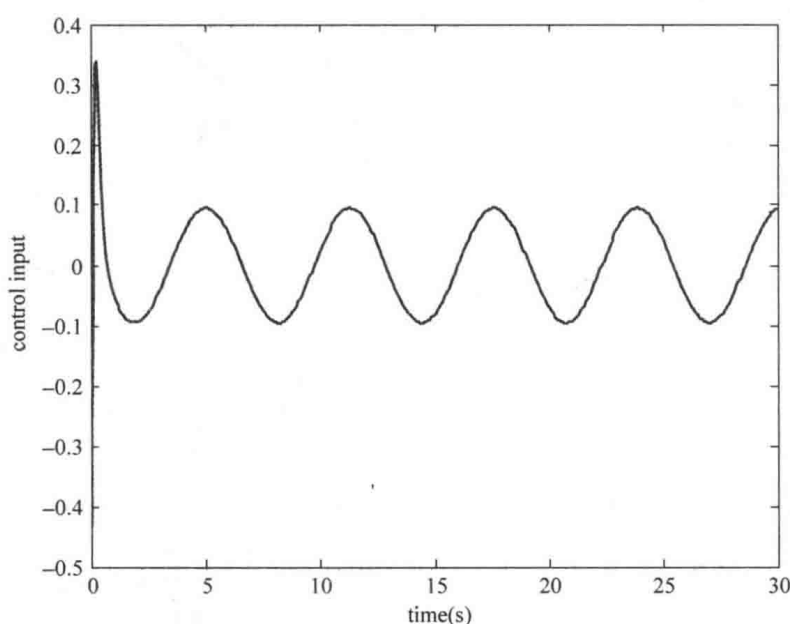
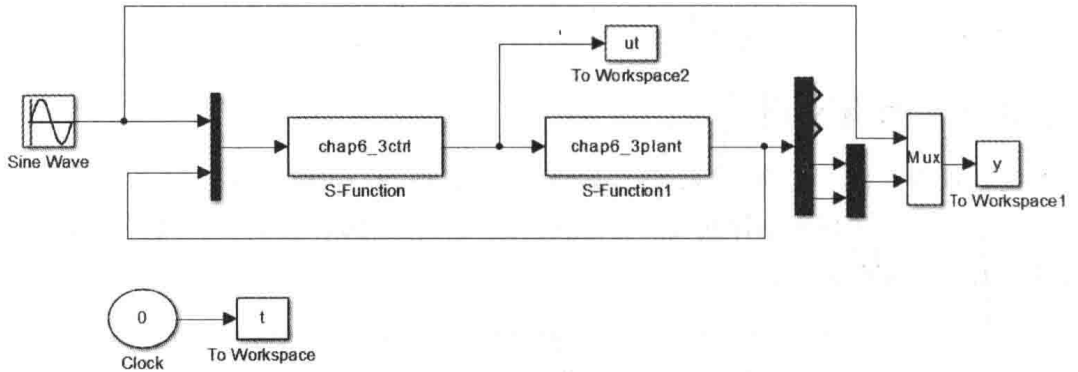


图 6-7 控制输入

仿真程序如下：

(1) Simulink 主程序：chap6_3sim.mdl。



(2) 控制器 S 函数：chap6_3ctrl.m。

```
function [sys,x0,str,ts] = spacemodel(t,x,u,flag)
switch flag,
case 0,
    [sys,x0,str,ts] = mdlInitializeSizes;
case 3,
    sys = mdlOutputs(t,x,u);
case {2,4,9}
    sys = [];
otherwise
    error(['Unhandled flag = ',num2str(flag)]);
end
function [sys,x0,str,ts] = mdlInitializeSizes
sizes = simsizes;
sizes.NumContStates = 0;
sizes.NumDiscStates = 0;
sizes.NumOutputs = 1;
sizes.NumInputs = 5;
sizes.DirFeedthrough = 1;
sizes.NumSampleTimes = 0;
sys = simsizes(sizes);
x0 = [];
str = [];
ts = [];
function sys = mdlOutputs(t,x,u)
Jl = 0.3575;Jd = 0.000425;
gr = 4;c1 = 0.004;c2 = 0.05;k = 8.45;

k1 = 10;k2 = 10;k3 = 10;

th2d = u(1);
dth2d = cos(t);
ddth2d = -sin(t);
dddth2d = -cos(t);
ddddth2d = sin(t);
```

```

th1 = u(2);dth1 = u(3);
th2 = u(4);dth2 = u(5);
ddth2 = - 1/J1 * (c2 * dth2 + k * (th2 - 1/gr * th1));
dddth2 = - 1/J1 * (c2 * ddth2 + k * (dth2 - 1/gr * dth1));

e = th2d - th2;
de = dth2d - dth2;
dde = ddth2d - ddth2;
ddde = dddth2d - dddth2;

nmn = 3;
r = de + nmn * e;
dr = dde + nmn * de;
ddr = ddde + nmn * dde;

F1 = - c2 * dth2 - k * (th2 - 1/gr * th1);
dF1 = - c2/J1 * F1 - k * (dth2 - 1/gr * dth1);

z2 = J1 * ddth2d - F1 + J1 * nmn * de + k1 * r;
dz2 = J1 * dddth2d - dF1 + J1 * nmn * dde + k1 * dr;

z3 = J1 * dddth2d - dF1 + J1 * nmn * dde + k1 * dr + k2 * z2 + r;

ddF1 = J1 * dddth2d + J1 * nmn * ddde + k1 * ddr + k2 * dz2 + dr + z2 + k3 * z3;
F3 = c1 * dth1 + k * 1/gr * (1/gr * th1 - th2);

ut = gr * Jd/k * (k/J1 * F1 + c2/J1 * dF1 + ddF1) + F3;

sys(1) = ut;

```

(3) 被控对象 S 函数: chap6_3plant.m。

```

function [sys,x0,str,ts] = s_function(t,x,u,flag)
switch flag,
case 0,
    [sys,x0,str,ts] = mdlInitializeSizes;
case 1,
    sys = mdlDerivatives(t,x,u);
case 3,
    sys = mdlOutputs(t,x,u);
case {2, 4, 9}
    sys = [];
otherwise
    error(['Unhandled flag = ',num2str(flag)]);
end
function [sys,x0,str,ts] = mdlInitializeSizes
sizes = simsizes;
sizes.NumContStates = 4;
sizes.NumDiscStates = 0;
sizes.NumOutputs = 4;
sizes.NumInputs = 1;

```

```

sizes.DirFeedthrough = 1;
sizes.NumSampleTimes = 0;
sys = simsizes(sizes);
x0 = [0.5 0 0.5 0];
str = [];
ts = [];
function sys = mdlDerivatives(t,x,u)
Jl = 0.3575;Jd = 0.000425;
gr = 4;c1 = 0.004;c2 = 0.05;k = 8.45;

th1 = x(1);dth1 = x(2);
th2 = x(3);dth2 = x(4);

ut = u(1);

S1 = 1/Jd * (ut - c1 * dth1 - k * 1/gr * (1/gr * th1 - th2));
S2 = -1/Jl * (c2 * dth2 + k * (th2 - 1/gr * th1));

sys(1) = x(2);
sys(2) = S1;
sys(3) = x(4);
sys(4) = S2;
function sys = mdlOutputs(t,x,u)
sys(1) = x(1);
sys(2) = x(2);
sys(3) = x(3);
sys(4) = x(4);

```

(4) 作图程序：chap6_3plot.m。

```

close all;

figure(1);
subplot(211);
plot(t,sin(t),'r',t,y(:,2),'b','linewidth',2);
xlabel('time(s)');ylabel('angle tracking');
subplot(212);
plot(t,cos(t),'r',t,y(:,3),'b','linewidth',2);
xlabel('time(s)');ylabel('angle speed tracking');

figure(2);
plot(t,ut,'r','linewidth',2);
xlabel('time(s)');ylabel('control input');

```

参考文献

- [1] Ognjen K,Nitin S,Frank L L,et al. Design and implementation of industrial neural network controller using backstepping[J]. IEEE Transactions on Industrial Electronics,2003,50(1): 193-201.
- [2] Ioannou P A,Sun J. Robust adaptive control[M]. PTR Prentice-Hall,1996,75-76.

7.1 机械手动力学模型及特性

一个典型的多关节机械手如图 7-1 所示。

考虑一个 n 关节机械手,其动态性能可由二阶非线性微分方程描述:

$$M(q)\ddot{q} + C(q, \dot{q})\dot{q} + G(q) + F(\dot{q}) + \tau_d = \tau \quad (7.1)$$

式中, $q \in \mathbf{R}^n$ 为关节角位移量, $M(q) \in \mathbf{R}^{n \times n}$ 为机械手的惯性矩阵, $C(q, \dot{q}) \in \mathbf{R}^n$ 表示离心力和哥氏力, $G(q) \in \mathbf{R}^n$ 为重力项, $F(\dot{q}) \in \mathbf{R}^n$ 表示摩擦力矩, $\tau \in \mathbf{R}^n$ 为控制力矩, $\tau_d \in \mathbf{R}^n$ 为外加扰动。

机械手动力学特性如下^[1]:

(1) $M(q) - 2C(q, \dot{q})$ 是一个斜对称矩阵。

(2) 惯性矩阵 $M(q)$ 是对称正定矩阵, 存在正数 m_1, m_2 , 满足如下不等式:

$$m_1 \|x\|^2 \leq x^T M(q)x \leq m_2 \|x\|^2 \quad (7.2)$$

(3) 存在一个依赖于机械手参数的参数向量, 使得 $M(q), C(q, \dot{q}), G(q), F(\dot{q})$ 满足线性关系:

$$M(q)\vartheta + C(q, \dot{q})\rho + G(q) + F(\dot{q}) = \Phi(q, \dot{q}, \rho, \vartheta)P \quad (7.3)$$

其中, $\Phi(q, \dot{q}, \rho, \vartheta) \in \mathbf{R}^{n \times m}$ 为已知关节变量函数的回归矩阵, 它是机械手广义坐标及其各阶导数的已知函数矩阵, $P \in \mathbf{R}^m$ 是描述机械手质量特性的未知定常参数向量。

一个典型的双关节刚性机械手示意图如图 7-2 所示, 本书中的大多数仿真实例都采用该机械手进行验证。

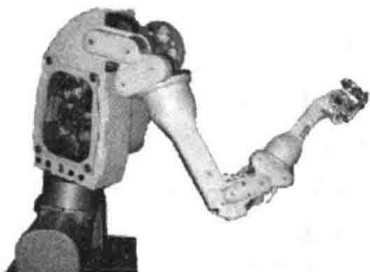


图 7-1 一个 8 关节机械手

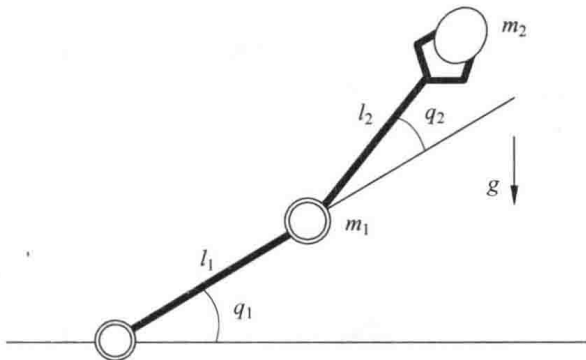


图 7-2 双关节刚性机械手示意图

7.2 基于计算力矩法的滑模控制

计算力矩法是机械手控制中较常用的方法^[4],该方法基于机械手模型中各项的估计值进行控制律的设计。

7.2.1 系统描述

机械手的模型为

$$M(q)\ddot{q} + C(q, \dot{q})\dot{q} + G(q) = \tau \quad (7.4)$$

其中, $M(q)$ 为正定质量惯性矩阵, $C(q, \dot{q})$ 为哥氏力、离心力, $G(q)$ 为重力。

7.2.2 控制律的设计

当不知道机械手模型的惯性参数时,根据计算力矩法,取控制律为

$$\tau = \hat{M}(q)v + \hat{C}(q, \dot{q})\dot{q} + \hat{G}(q) \quad (7.5)$$

其中, $\hat{M}(q)$ 、 $\hat{C}(q, \dot{q})$ 和 $\hat{G}(q)$ 为利用惯性参数估计值 \hat{p} 计算出的 M 、 C 和 G 估计值。

闭环系统方程为

$$M(q)\ddot{q} + C(q, \dot{q})\dot{q} + G(q) = \hat{M}(q)v + \hat{C}(q, \dot{q})\dot{q} + \hat{G}(q) \quad (7.6)$$

则

$$\begin{aligned} M(q)\ddot{q} &= \hat{M}(q)v + \hat{C}(q, \dot{q})\dot{q} + \hat{G}(q) - C(q, \dot{q})\dot{q} - G(q) \\ &= M(q)v - \tilde{C}(q, \dot{q})\dot{q} - \tilde{G}(q) \end{aligned}$$

将上式两边分别减去 $\tilde{M}\ddot{q}$, 得

$$\begin{aligned} \hat{M}\ddot{q} &= \hat{M}(q)v - [\tilde{M}(q)\ddot{q} + \tilde{C}(q, \dot{q})\dot{q} + \tilde{G}(q)] \\ &= \hat{M}(q)v - Y(q, \dot{q}, \ddot{q})\tilde{p} \end{aligned} \quad (7.7)$$

其中, $\tilde{M} = M - \hat{M}$, $\tilde{C} = C - \hat{C}$, $\tilde{G} = G - \hat{G}$, $\tilde{p} = p - \hat{p}$ 。

若惯性参数的估计值 \hat{p} 使得 $\hat{M}(q)$ 可逆, 则闭环系统方程(7.7)可写为

$$\ddot{q} = v - [\hat{M}(q)]^{-1}Y(q, \dot{q}, \ddot{q})\tilde{p} = v - \varphi(q, \dot{q}, \ddot{q}, \hat{p})\tilde{p} \quad (7.8)$$

定义

$$\varphi(q, \dot{q}, \ddot{q}, \hat{p})\tilde{p} = \tilde{d}$$

其中, $\tilde{d} = [\tilde{d}_1, \tilde{d}_2, \dots, \tilde{d}_n]^T$, $d = [d_1, d_2, \dots, d_n]^T$ 。

取滑模函数为

$$s = \dot{e} + \Lambda e$$

其中, $e = q_d - q$, $\dot{e} = \dot{q}_d - \dot{q}$, $s = [s_1, \dots, s_n]^T$, Λ 为正对角矩阵。

则

$$\dot{s} = \ddot{e} + \Lambda \dot{e} = (\ddot{q}_d - \ddot{q}) + \Lambda \dot{e} = \ddot{q}_d - v + \tilde{d} + \Lambda \dot{e}$$

取

$$v = \ddot{q}_d + \Lambda \dot{e} + \dot{q}_d \quad (7.9)$$

式中, \mathbf{d} 为待设计的向量。

则

$$\dot{\mathbf{s}} = \tilde{\mathbf{d}} - \mathbf{y}_d \quad (7.10)$$

选取

$$\mathbf{y}_d = (\bar{\mathbf{d}} + \boldsymbol{\eta}) \operatorname{sgn}(\mathbf{s}), \quad \|\tilde{\mathbf{d}}\| \leq \bar{\mathbf{d}} \quad (7.11)$$

其中, $\boldsymbol{\eta} > 0$ 。

定义 Lyapunov 函数:

$$V = \frac{1}{2} \mathbf{s}^T \mathbf{s}$$

则

$$\dot{V} = \dot{\mathbf{s}}^T \mathbf{s} = (\tilde{\mathbf{d}} - \mathbf{d})^T \mathbf{s} = \tilde{\mathbf{d}}^T \mathbf{s} - \bar{\mathbf{d}}^T \operatorname{sgn}(\mathbf{s}) \mathbf{s} - \boldsymbol{\eta}^T \operatorname{sgn}(\mathbf{s}) \mathbf{s} \leq -\boldsymbol{\eta}^T |\mathbf{s}| \leq 0$$

根据 LaSalle 不变性原理, 当 $\dot{V} \equiv 0$ 时, $\mathbf{s} \equiv 0$, 则当 $t \rightarrow \infty$ 时, $\mathbf{s} \rightarrow 0$, 从而 $\mathbf{e} \rightarrow 0, \dot{\mathbf{e}} \rightarrow 0$ 。

由式(7.5)和式(7.9), 得滑模控制律为

$$\boldsymbol{\tau} = \hat{\mathbf{M}}(\mathbf{q}) \mathbf{v} + \hat{\mathbf{C}}(\mathbf{q}, \dot{\mathbf{q}}) \dot{\mathbf{q}} + \hat{\mathbf{G}}(\mathbf{q}) \quad (7.12)$$

其中, $\mathbf{v} = \ddot{\mathbf{q}}_d + \boldsymbol{\Lambda} \dot{\mathbf{e}} + \mathbf{y}_d, \mathbf{y}_d = (\bar{\mathbf{d}} + \boldsymbol{\eta}) \operatorname{sgn}(\mathbf{s})$ 。

由控制律式(7.12)中的 \mathbf{y}_d 表达式可知, 若参数估计值 $\hat{\mathbf{p}}$ 越准确, 则 $\|\tilde{\mathbf{p}}\|$ 越小, $\bar{\mathbf{d}}$ 越小, 滑模控制产生的抖振越小。

7.2.3 仿真实例

选二关节机械手力臂系统, 其动力学模型为

$$\mathbf{M}(\mathbf{q}) \ddot{\mathbf{q}} + \mathbf{C}(\mathbf{q}, \dot{\mathbf{q}}) \dot{\mathbf{q}} + \mathbf{G}(\mathbf{q}) + \mathbf{F}(\dot{\mathbf{q}}) + \boldsymbol{\tau}_d = \boldsymbol{\tau}$$

其中, $\mathbf{q} = [q_1, q_2]^T, \boldsymbol{\tau} = [\tau_1, \tau_2]^T$ 。

取

$$\begin{aligned} \mathbf{M}(\mathbf{q}) &= \begin{bmatrix} \alpha + 2\epsilon \cos(q_2) + 2\eta \sin(q_2) & \beta + \epsilon \cos(q_2) + \eta \sin(q_2) \\ \beta + \epsilon \cos(q_2) + \eta \sin(q_2) & \beta \end{bmatrix} \\ \mathbf{C}(\mathbf{q}, \dot{\mathbf{q}}) &= \begin{bmatrix} (-2\epsilon \sin(q_2) + 2\eta \cos(q_2)) \dot{q}_2 & (-\epsilon \sin(q_2) + \eta \cos(q_2)) \dot{q}_2 \\ (\epsilon \sin(q_2) - \eta \cos(q_2)) \dot{q}_1 & 0 \end{bmatrix} \\ \mathbf{G}(\mathbf{q}) &= \begin{bmatrix} \epsilon e_2 \cos(q_1 + q_2) + \eta e_2 \sin(q_1 + q_2) + (\alpha - \beta + e_1) e_2 \cos(q_1) \\ \epsilon e_2 \cos(q_1 + q_2) + \eta e_2 \sin(q_1 + q_2) \end{bmatrix} \end{aligned}$$

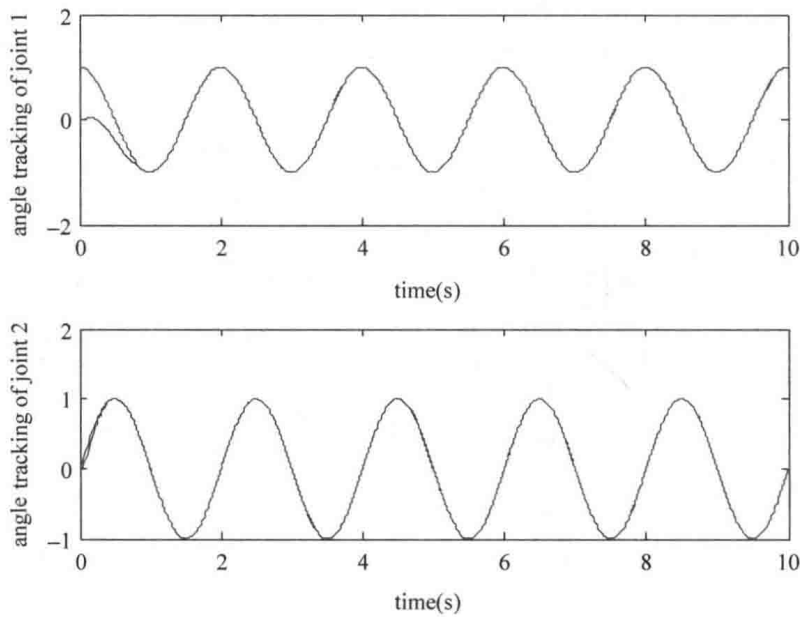
其中, $\alpha = I_1 + m_1 l_{c1}^2 + I_e + m_e l_{ce}^2 + m_e l_1^2, \beta = I_e + m_e l_{ce}^2, \epsilon = m_e l_1 l_{ce} \cos(\delta_e), \eta = m_e l_1 l_{ce} \sin(\delta_e)$ 。

机械臂的实际物理参数值见表 7-1。

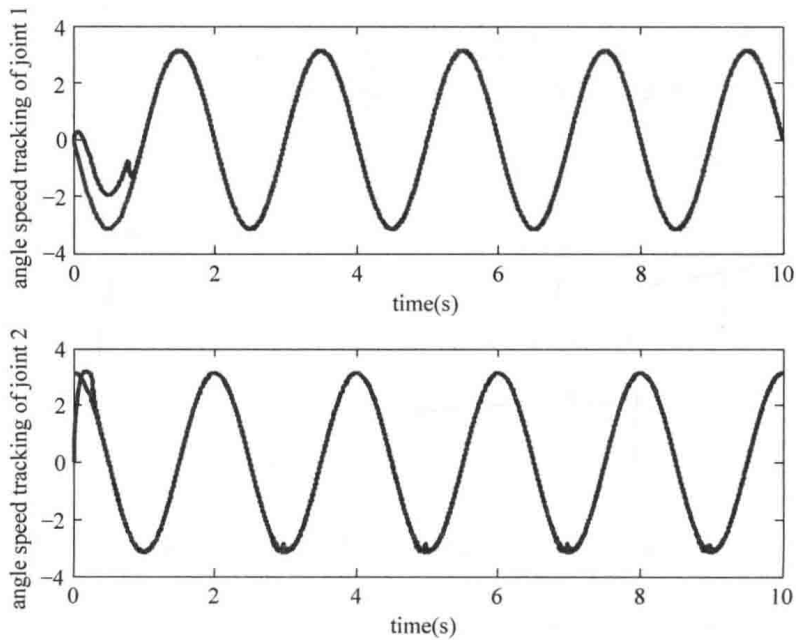
表 7-1 机械臂的实际物理参数值

m_1/kg	l_1/m	l_{c1}/m	I_1/kg	m_e/kg	l_{ce}/m	I_e/kg	δ_e	e_1	e_2
1	1	1/2	1/12	3	1	2/5	0	-7/12	9.81

模型初始值为 $[0 \ 0 \ 0 \ 0]$,采用滑模控制律式(7.12),取角度指令分别为 $q_{d1} = \cos(\pi t), q_{d2} = \sin(\pi t), \hat{M}=0.6M, \hat{C}=0.6C, \hat{G}=0.6G, \bar{d}=30, \eta=0.10, \Lambda = \begin{bmatrix} 25 & 0 \\ 0 & 25 \end{bmatrix}$ 。仿真结果如图 7-3 和图 7-4 所示。



(a) 双机械臂角速度跟踪



(b) 双机械臂角速度跟踪

图 7-3 双机械臂角度和角速度跟踪

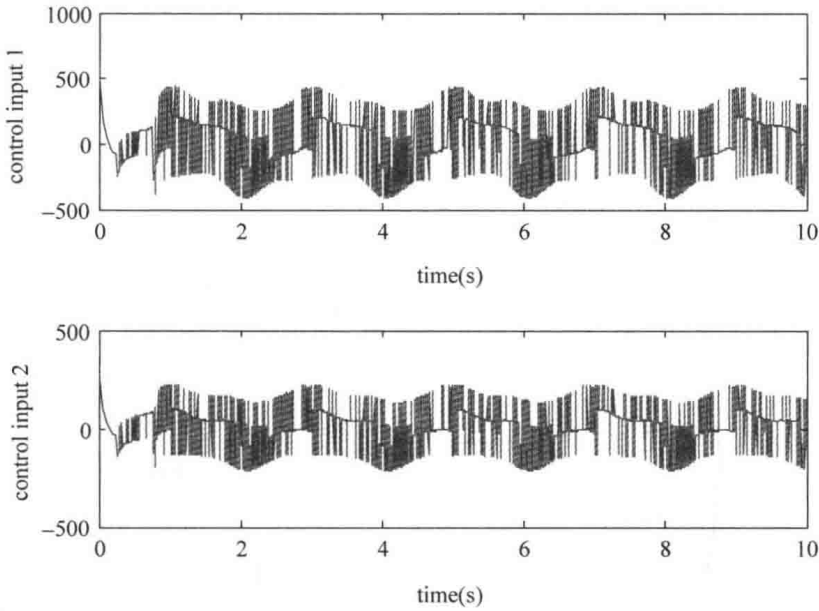
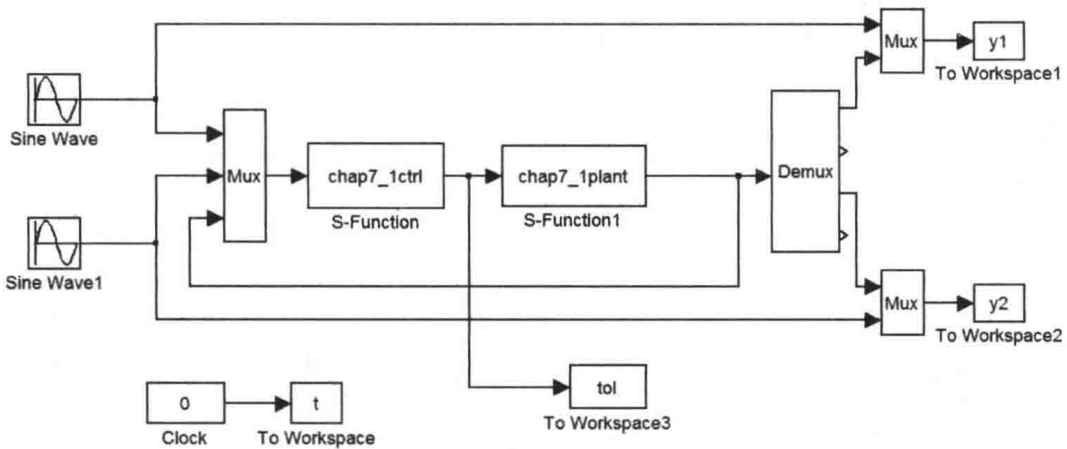


图 7-4 双机械臂控制输入

仿真程序如下：

(1) Simulink 主程序：chap7_1sim.mdl。



(2) 控制律子程序：chap7_1ctrl.m。

```
function [sys,x0,str,ts] = spacemodel(t,x,u,flag)
switch flag,
case 0,
    [sys,x0,str,ts] = mdlInitializeSizes;
case 3,
    sys = mdlOutputs(t,x,u);
case {2,4,9}
    sys = [];
otherwise
    error(['Unhandled flag = ',num2str(flag)]);
end
function [sys,x0,str,ts] = mdlInitializeSizes
global nmn
```

```

nmn = 25 * eye(2);
sizes = simsizes;
sizes.NumContStates = 0;
sizes.NumDiscStates = 0;
sizes.NumOutputs = 2;
sizes.NumInputs = 6;
sizes.DirFeedthrough = 1;
sizes.NumSampleTimes = 1;
sys = simsizes(sizes);
x0 = [];
str = [];
ts = [0 0];
function sys = mdlOutputs(t,x,u)
global nmn
qd1 = u(1);
dq1 = -pi * sin(pi * t);
ddq1 = -pi^2 * cos(pi * t);
qd2 = u(2);
dq2 = pi * cos(pi * t);
ddq2 = -pi^2 * sin(pi * t);
ddqd = [ddq1;ddq2];

dq1 = [dq1;dq2];
ddqd = [ddqd1;ddqd2];

q1 = u(3);dq1 = u(4);
q2 = u(5);dq2 = u(6);
dq = [dq1;dq2];

e1 = qd1 - q1;
e2 = qd2 - q2;
e = [e1;e2];
de1 = dq1 - dq1;
de2 = dq2 - dq2;
de = [de1;de2];

alfa = 6.7;beta = 3.4;
epc = 3.0;eta = 0;
m1 = 1;l1 = 1;
lc1 = 1/2;I1 = 1/12;
g = 9.8;
e1 = m1 * l1 * lc1 - I1 - m1 * l1^2;
e2 = g/l1;
M = [alfa + 2 * epc * cos(q2) + 2 * eta * sin(q2),beta + epc * cos(q2) + eta * sin(q2);
      beta + epc * cos(q2) + eta * sin(q2),beta];
C = [( - 2 * epc * sin(q2) + 2 * eta * cos(q2)) * dq2, ( - epc * sin(q2) + eta * cos(q2)) * dq2;
      (epc * sin(q2) - eta * cos(q2)) * dq1,0];
G = [epc * e2 * cos(q1 + q2) + eta * e2 * sin(q1 + q2) + (alfa - beta + e1) * e2 * cos(q1);
      epc * e2 * cos(q1 + q2) + eta * e2 * sin(q1 + q2)];
M0 = 0.6 * M;
C0 = 0.6 * C;
G0 = 0.6 * G;

s = de + nmn * e;
d_up = 30;
xite = 0.10;
xite_d = (d_up + xite) * sign(s);

```

```
v = ddqd + nm * de + xite_d;
```

```
tol = M0 * v + C0 * dq + G0;
```

```
sys(1) = tol(1);
```

```
sys(2) = tol(2);
```

(3) 被控对象子程序: chap7_1plant.m。

```
function [sys,x0,str,ts] = s_function(t,x,u,flag)
```

```
switch flag,
```

```
case 0,
```

```
    [sys,x0,str,ts] = mdlInitializeSizes;
```

```
case 1,
```

```
    sys = mdlDerivatives(t,x,u);
```

```
case 3,
```

```
    sys = mdlOutputs(t,x,u);
```

```
case {2, 4, 9 }
```

```
    sys = [];
```

```
otherwise
```

```
    error(['Unhandled flag = ',num2str(flag)]);
```

```
end
```

```
function [sys,x0,str,ts] = mdlInitializeSizes
```

```
sizes = simsizes;
```

```
sizes.NumContStates = 4;
```

```
sizes.NumDiscStates = 0;
```

```
sizes.NumOutputs = 4;
```

```
sizes.NumInputs = 2;
```

```
sizes.DirFeedthrough = 0;
```

```
sizes.NumSampleTimes = 0;
```

```
sys = simsizes(sizes);
```

```
x0 = [0;0;0;0];
```

```
str = [];
```

```
ts = [];
```

```
function sys = mdlDerivatives(t,x,u)
```

```
q1 = x(1);dq1 = x(2);
```

```
q2 = x(3);dq2 = x(4);
```

```
dq = [dq1;dq2];
```

```
% The model is given by Slotine and Weiping Li(MIT 1987)
```

```
alfa = 6.7;beta = 3.4;
```

```
epc = 3.0;eta = 0;
```

```
m1 = 1;l1 = 1;
```

```
lc1 = 1/2;I1 = 1/12;
```

```
g = 9.8;
```

```
e1 = m1 * l1 * lc1 - I1 - m1 * l1^2;
```

```
e2 = g/l1;
```

```
M = [alfa + 2 * epc * cos(q2) + 2 * eta * sin(q2), beta + epc * cos(q2) + eta * sin(q2);
```

```
    beta + epc * cos(q2) + eta * sin(q2), beta];
```

```
C = [( - 2 * epc * sin(q2) + 2 * eta * cos(q2)) * dq2, ( - epc * sin(q2) + eta * cos(q2)) * dq2;
```

```
    (epc * sin(q2) - eta * cos(q2)) * dq1, 0];
```

```
G = [epc * e2 * cos(q1 + q2) + eta * e2 * sin(q1 + q2) + (alfa - beta + e1) * e2 * cos(q1);
```

```
    epc * e2 * cos(q1 + q2) + eta * e2 * sin(q1 + q2)];
```

```
tol(1) = u(1);
```

```
tol(2) = u(2);
```

```

ddq = inv(M) * (tol' - C * dq - G);
sys(1) = x(2);
sys(2) = ddq(1);
sys(3) = x(4);
sys(4) = ddq(2);
function sys = mdlOutputs(t,x,u)
sys(1) = x(1);
sys(2) = x(2);
sys(3) = x(3);
sys(4) = x(4);

```

(4) 作图子程序: chap7_1plot.m。

```

close all;

figure(1);
subplot(211);
plot(t, y1(:,1), 'r', t, y1(:,2), 'b', 'linewidth', 2);
xlabel('time(s)'); ylabel('angle tracking of joint 1');
subplot(212);
plot(t, y2(:,1), 'r', t, y2(:,2), 'b', 'linewidth', 2);
xlabel('time(s)'); ylabel('angle tracking of joint 2');

figure(2);
subplot(211);
plot(t, -pi * sin(pi * t), 'r', t, y1(:,3), 'b', 'linewidth', 2);
xlabel('time(s)'); ylabel('angle speed tracking of joint 1');
subplot(212);
plot(t, pi * cos(pi * t), 'r', t, y2(:,3), 'b', 'linewidth', 2);
xlabel('time(s)'); ylabel('angle speed tracking of joint 2');

figure(3);
subplot(211);
plot(t, tol(:,1), 'r', 'linewidth', 2);
xlabel('time(s)'); ylabel('control input 1');
subplot(212);
plot(t, tol(:,2), 'r', 'linewidth', 2);
xlabel('time(s)'); ylabel('control input 2');

```

7.3 基于输入输出稳定性理论的滑模控制

7.3.1 系统描述

机械手 n 关节机械手的动态模型为

$$M(q)\ddot{q} + C(q, \dot{q})\dot{q} + G(q) = \tau \quad (7.13)$$

其中, $M(q)$ 为正定质量惯性矩阵, $C(q, \dot{q})$ 为哥氏力和离心力项, $G(q)$ 为重力, τ 为控制输入信号。

7.3.2 控制律的设计

设机械手所要完成的任务是跟踪时变期望轨迹 $q_d(t)$, 位置跟踪误差为

$$e = q_d - q$$

定义

$$\dot{q}_r = \dot{q}_d + \Lambda (q_d - q)$$

根据式(7.3)及附录式(3),机械手动力学系统具有如下动力学特性:存在向量 $p \in \mathbf{R}^m$, 满足

$$\begin{cases} M(q)\ddot{q}_r + C(q, \dot{q})\dot{q}_r + G(q) = Y(q, \dot{q}, \ddot{q}_r)p \\ \tilde{M}(q)\ddot{q}_r + \tilde{C}(q, \dot{q})\dot{q}_r + \tilde{G}(q) = Y(q, \dot{q}, \ddot{q}_r)\tilde{p} \end{cases} \quad (7.14)$$

取滑模面

$$s = \dot{q}_r - \dot{q} = (\dot{q}_d - \dot{q}) + \Lambda (q_d - q) = \dot{e} + \Lambda e \quad (7.15)$$

其中, Λ 为正对角矩阵。

令 Lyapunov 函数为

$$V(t) = \frac{1}{2} s^T M(q) s$$

则

$$\begin{aligned} \dot{V}(t) &= s^T M(q) \dot{s} + \frac{1}{2} s^T \dot{M}(q) s = s^T M(q) \dot{s} + s^T C(q, \dot{q}) s \\ &= s^T [M(q)(\ddot{q}_r - \ddot{q}) + C(q, \dot{q})(\dot{q}_r - \dot{q})] \\ &= s^T [M(q)\ddot{q}_r + C(q, \dot{q})\dot{q}_r + G(q) - \tau] \end{aligned} \quad (7.16)$$

可采用以下两种方法实现滑模控制。

方法一: 基于估计模型的滑模控制。

设计控制律为

$$\tau = \hat{M}(q)\ddot{q}_r + \hat{C}(q, \dot{q})\dot{q}_r + \hat{G}(q) + \tau_s \quad (7.17)$$

其中, τ_s 为待设计项。

将式(7.17)代入式(7.16)得

$$\begin{aligned} \dot{V}(t) &= s^T [M(q)\ddot{q}_r + C(q, \dot{q})\dot{q}_r + G(q) - \hat{M}(q)\ddot{q}_r - \hat{C}(q, \dot{q})\dot{q}_r - \hat{G}(q) - \tau_s] \\ &= s^T [\tilde{M}(q)\ddot{q}_r + \tilde{C}(q, \dot{q})\dot{q}_r + \tilde{G}(q) - \tau_s] = s^T (Y(q, \dot{q}, \ddot{q}_r)\tilde{p} - \tau_s) \end{aligned}$$

其中,

$$\tilde{p} = [\tilde{p}_1, \tilde{p}_2, \dots, \tilde{p}_j]^T, \quad |\tilde{p}_j| \leq a_j$$

$$Y(q, \dot{q}, \ddot{q}_r) = [Y_{ij}^r], \quad |Y_{ij}^r| \leq \bar{Y}_{ij}^r, \quad i = 1, 2, \dots, n; j = 1, 2, \dots, m$$

则只要选取

$$\tau_s = k \operatorname{sgn}(s) + s = \begin{bmatrix} k_1 \operatorname{sgn}(s_1) + s_1 \\ \vdots \\ k_n \operatorname{sgn}(s_n) + s_n \end{bmatrix} \quad (7.18)$$

其中, $k = [k_1, k_2, \dots, k_n]^T$, $k_i = \sum_{j=1}^m \bar{Y}_{ij}^r a_j$, $i = 1, 2, \dots, n$ 。

于是有

$$\begin{aligned} \dot{V}(t) &= \sum_{i=1}^n \sum_{j=1}^m s_i Y_{ij}^r \tilde{p}_j - \sum_{i=1}^n s_i k_i \operatorname{sgn}(s_i) - \sum_{i=1}^n s_i^2 \\ &= \sum_{i=1}^n \sum_{j=1}^m s_i Y_{ij}^r \tilde{p}_j - \sum_{i=1}^n \sum_{j=1}^m |s_i| \bar{Y}_{ij}^r a_j - \sum_{i=1}^n s_i^2 \leq - \sum_{i=1}^n s_i^2 \leq 0 \end{aligned}$$

方法二：基于模型上界的滑模控制。

式(7.16)可写为

$$\dot{V}(t) = -s^T[\tau - (M(q)\ddot{q}_r + C(q, \dot{q})\dot{q}_r + G(q))] = -s^T[\tau - Y(q, \dot{q}, \ddot{q}_r, \dot{q}_r)p]$$

若能估计出

$$p = [p_1, p_2, \dots, p_j]^T, \quad |p_j| \leq \bar{p}_j$$

$$Y(q, \dot{q}, \ddot{q}_r, \dot{q}_r) = [Y_{ij}^r], \quad |Y_{ij}^r| \leq \bar{Y}_{ij}^r, \quad i = 1, 2, \dots, n$$

将控制律设计为

$$\tau = \bar{k} \operatorname{sgn}(s) + s = \begin{bmatrix} \bar{k}_1 \operatorname{sgn}(s_1) + s_1 \\ \vdots \\ \bar{k}_n \operatorname{sgn}(s_n) + s_n \end{bmatrix} \quad (7.19)$$

其中, $\bar{k} = [\bar{k}_1, \bar{k}_2, \dots, \bar{k}_n]^T$, $\bar{k}_i = \sum_{j=1}^m \bar{Y}_{ij}^r \bar{p}_j$, $i = 1, 2, \dots, n$ 。

于是有

$$\begin{aligned} \dot{V}(t) &= - \left[\sum_{i=1}^n s_i \bar{k}_i \operatorname{sgn}(s_i) + \sum_{i=1}^n s_i^2 - \sum_{i=1}^n \sum_{j=1}^m s_i Y_{ij}^r p_j \right] \\ &= - \left[\sum_{i=1}^n \sum_{j=1}^m |s_i| \bar{Y}_{ij}^r \bar{p}_j + \sum_{i=1}^n s_i^2 - \sum_{i=1}^n \sum_{j=1}^m s_i Y_{ij}^r p_j \right] \leq - \sum_{i=1}^n s_i^2 \leq 0 \end{aligned}$$

由式(7.19)可知,该控制律计算量较控制律式(7.17)减少,不需要在线估计 \hat{p} 值,但需要较大的控制量。由控制律式(7.19)中切换项增益 \bar{k}_i 和控制律式(7.17)中切换项增益 k_i 的定义可知, \bar{k}_i 要比 k_i 的值大,故控制律式(7.19)造成的抖振比控制律式(7.17)的大。

7.3.3 仿真实例

取双关节机械臂作为被控对象,其动态方程取式(7.13)(动力学方程(7.13)及线性化推导见本章附录),即

$$M(q)\ddot{q} + C(q, \dot{q})\dot{q} + G(q) = \tau$$

其中, $q = [q_1 \quad q_2]^T$, $\tau = [\tau_1 \quad \tau_2]^T$ 。

取

$$M(q) = \begin{bmatrix} \alpha + 2\epsilon \cos(q_2) + 2\eta \sin(q_2) & \beta + \epsilon \cos(q_2) + \eta \sin(q_2) \\ \beta + \epsilon \cos(q_2) + \eta \sin(q_2) & \beta \end{bmatrix}$$

$$C(q, \dot{q}) = \begin{bmatrix} (-2\epsilon \sin(q_2) + 2\eta \cos(q_2))\dot{q}_2 & (-\epsilon \sin(q_2) + \eta \cos(q_2))\dot{q}_2 \\ (\epsilon \sin(q_2) - \eta \cos(q_2))\dot{q}_1 & 0 \end{bmatrix}$$

$$G(q) = \begin{bmatrix} \epsilon e_2 \cos(q_1 + q_2) + \eta e_2 \sin(q_1 + q_2) + (\alpha - \beta + e_1)e_2 \cos(q_1) \\ \epsilon e_2 \cos(q_1 + q_2) + \eta e_2 \sin(q_1 + q_2) \end{bmatrix}$$

其中,参数 $\alpha, \beta, \epsilon, \eta$ 分别是机械力臂方程中未知物理参数的函数, $\alpha = I_1 + m_1 l_{c1}^2 + I_e + m_e l_{ce}^2 + m_e l_1^2$, $\beta = I_e + m_e l_{ce}^2$, $\epsilon = m_e l_1 l_{ce} \cos(\delta_e)$, $\eta = m_e l_1 l_{ce} \sin(\delta_e)$, 机械臂的实际物理参数值见表 7-1。取 $p = [\alpha \quad \beta \quad \epsilon \quad \eta]^T = [6.7 \quad 3.4 \quad 3.0 \quad 0]^T$, $\hat{p} = [\hat{\alpha} \quad \hat{\beta} \quad \hat{\epsilon} \quad \hat{\eta}]^T = 0.95p$, $m = 4, j = 1, 2, 3, 4$ 。

两力臂机械手两个关节的角度指令分别为 $q_{d1} = \sin(2\pi t)$, $q_{d2} = \sin(2\pi t)$ 。滑模控制律中, 取 $\Lambda = \begin{bmatrix} 15 & 0 \\ 0 & 15 \end{bmatrix}$ 。

模型初始值为 $[1 \ 0 \ 1 \ 0]$, 采用控制律(7.17), 取 $\alpha_j = |\bar{p}_j| + 0.50$, 程序中取 $F=1$ 。第一关节和第二关节的角度跟踪仿真结果如图 7-5~图 7-7 所示。同理采用控制律(7.19), 取 $\bar{p}_i = |p_i| + 0.50$, 程序中取 $F=2$, 同样可以得到第一关节和第二关节的角度及角速度跟踪仿真结果。

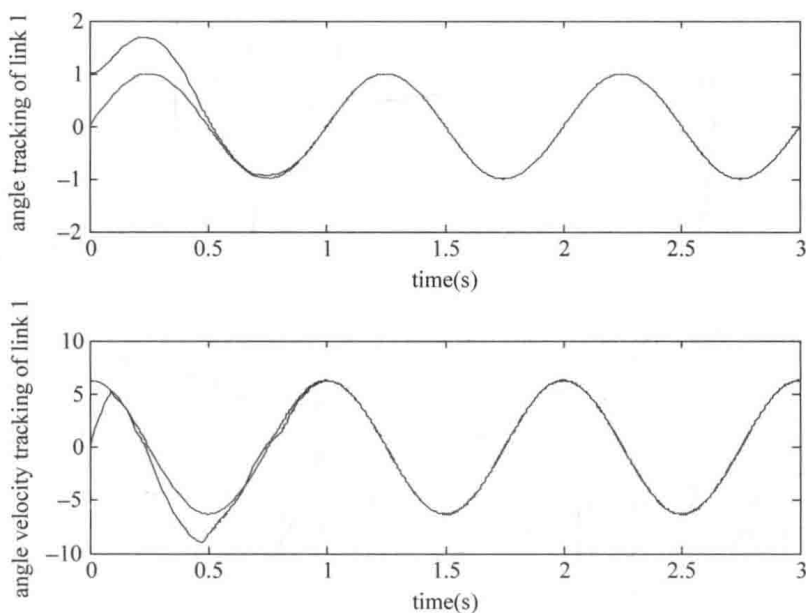


图 7-5 第一关节的角度及角速度跟踪

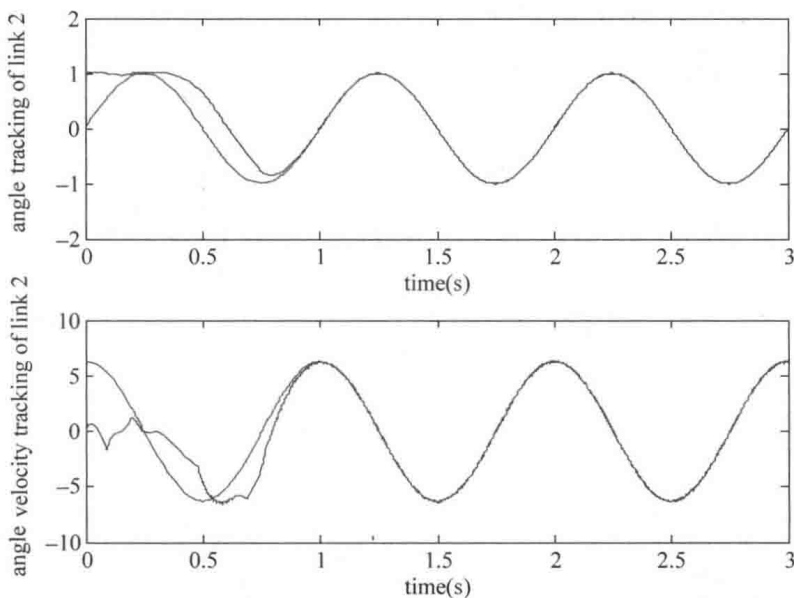


图 7-6 第二关节的角度及角速度跟踪

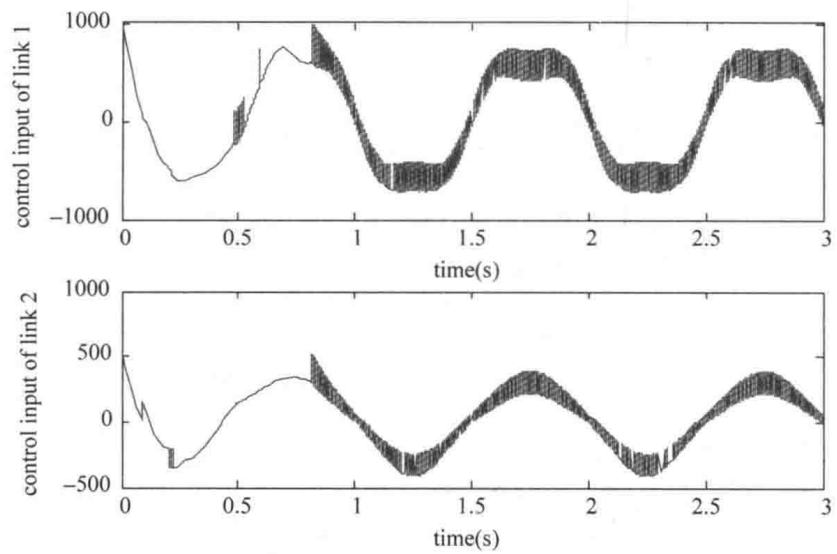
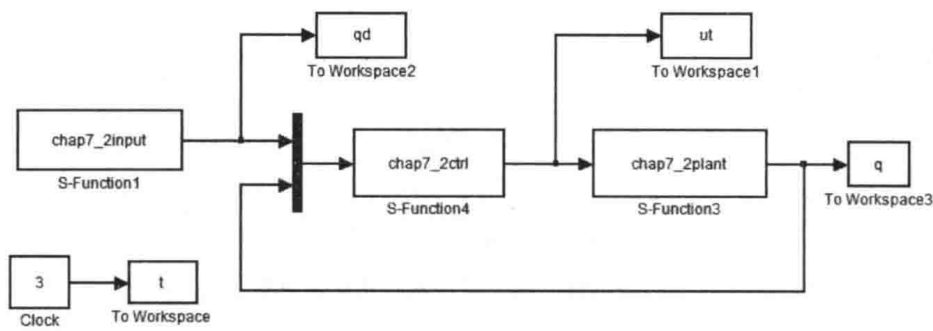


图 7-7 控制输入信号

仿真程序如下：

(1) Simulink 主程序：chap7_2sim.mdl。



(2) 控制律子程序：chap7_2ctrl.m。

```
function [sys,x0,str,ts] = control_strategy(t,x,u,flag)
switch flag,
case 0,
    [sys,x0,str,ts] = mdlInitializeSizes;
case 3,
    sys = mdlOutputs(t,x,u);
case {2,4,9}
    sys = [];
otherwise
    error(['Unhandled flag = ',num2str(flag)]);
end
function [sys,x0,str,ts]=mdlInitializeSizes
sizes = simsizes;
sizes.NumOutputs    = 2;
sizes.NumInputs     = 10;
sizes.DirFeedthrough = 1;
sizes.NumSampleTimes = 0;
sys = simsizes(sizes);
x0 = [];
str = [];
ts = [];
```

```

function sys = mdlOutputs(t,x,u)
q1_d = u(1);dq1_d = u(2);ddq1_d = u(3);
q2_d = u(4);dq2_d = u(5);ddq2_d = u(6);
q1 = u(7);dq1 = u(8);
q2 = u(9);dq2 = u(10);
dq = [dq1;dq2];

p = [6.7 3.4 3.0 0]; % Practical p
ep = 0.95 * p; % Estimated p

alfa_p = ep(1);
beta_p = ep(2);
epc_p = ep(3);
eta_p = ep(4);

m1 = 1;l1 = 1;
lc1 = 1/2;I1 = 1/12;
g = 9.8;
e1 = m1 * l1 * lc1 - I1 - m1 * l1^2;
e2 = g/l1;

dq_d = [dq1_d,dq2_d]';
ddq_d = [ddq1_d,ddq2_d]';

e = [q1_d - q1,q2_d - q2]';
de = [dq1_d - dq1,dq2_d - dq2]';

M_p = [alfa_p + 2 * epc_p * cos(q2) + 2 * eta_p * sin(q2),beta_p + epc_p * cos(q2) + eta_p * sin(q2);
        beta_p + epc_p * cos(q2) + eta_p * sin(q2),beta_p];
C_p = [( - 2 * epc_p * sin(q2) + 2 * eta_p * cos(q2)) * dq2, ( - epc_p * sin(q2) + eta_p * cos(q2))
        * dq2;
        (epc_p * sin(q2) - eta_p * cos(q2)) * dq1,0];
G_p = [epc_p * e2 * cos(q1 + q2) + eta_p * e2 * sin(q1 + q2) + (alfa_p - beta_p + e1) * e2 * cos(q1);
        epc_p * e2 * cos(q1 + q2) + eta_p * e2 * sin(q1 + q2)];

Fai = 15 * eye(2);
s = de + Fai * e;
dqr = dq_d + Fai * e;
ddqr = ddq_d + Fai * de;

Y = [ddqr(1) + e2 * cos(q1),ddqr(2) - e2 * cos(q1),2 * cos(q2) * ddqr(1) + cos(q2) * ddqr(2) - 2 *
sin(q2) * dq2 * dqr(1) - sin(q2) * dq2 * dqr(2) + e2 * cos(q1 + q2),2 * sin(q2) * ddqr(1) + sin(q2)
* ddqr(2) + 2 * cos(q2) * dq2 * dqr(1) + cos(q2) * dq2 * dqr(2) + e2 * sin(q1 + q2);
0,ddqr(1) + ddqr(2),cos(q2) * ddqr(1) + sin(q2) * dq1 * dqr(1) + e2 * cos(q1 + q2),sin(q2) *
ddqr(1) - cos(q2) * dq1 * dqr(1) + e2 * sin(q1 + q2)];
Y_max = abs(Y) + 0.10;
F = 1;
if F == 1
    a = abs(p - ep) + 0.50; % Upper p - ep
    k = Y_max * a';
    tols = [sign(s(1)) 0;0 sign(s(2))]*k + s;
    tol = M_p * ddqr + C_p * dqr + G_p + tols;
elseif F == 2
    p_up = p + 0.50; % Upper p value
    k_up = Y_max * p_up';
    tol = [sign(s(1)) 0;0 sign(s(2))]*k_up + s;
end

```

```
sys(1) = tol(1);
sys(2) = tol(2);
```

(3) 被控对象子程序：chap7_2plant.m。

```
function [sys,x0,str,ts] = s_function(t,x,u,flag)
switch flag,
case 0,
    [sys,x0,str,ts] = mdlInitializeSizes;
case 1,
    sys = mdlDerivatives(t,x,u);
case 3,
    sys = mdlOutputs(t,x,u);
case {2, 4, 9}
    sys = [];
otherwise
    error(['Unhandled flag = ',num2str(flag)]);
end
function [sys,x0,str,ts] = mdlInitializeSizes
sizes = simsizes;
sizes.NumContStates = 4;
sizes.NumDiscStates = 0;
sizes.NumOutputs = 4;
sizes.NumInputs = 2;
sizes.DirFeedthrough = 0;
sizes.NumSampleTimes = 0;
sys = simsizes(sizes);
x0 = [1.0,0,1.0,0];
str = [];
ts = [];
function sys = mdlDerivatives(t,x,u)
tol = [u(1);u(2)];
q1 = x(1);
dq1 = x(2);
q2 = x(3);
dq2 = x(4);

p = [6.7 3.4 3.0 0];

alfa = p(1);
beta = p(2);
epc = p(3);
eta = p(4);

m1 = 1;l1 = 1;
lc1 = 1/2;I1 = 1/12;
g = 9.8;
e1 = m1 * l1 * lc1 - I1 - m1 * l1^2;
e2 = g/l1;

M = [alfa + 2 * epc * cos(q2) + 2 * eta * sin(q2), beta + epc * cos(q2) + eta * sin(q2);
    beta + epc * cos(q2) + eta * sin(q2), beta];
C = [(-2 * epc * sin(q2) + 2 * eta * cos(q2)) * dq2, (-epc * sin(q2) + eta * cos(q2)) * dq2;
    (epc * sin(q2) - eta * cos(q2)) * dq1, 0];
G = [epc * e2 * cos(q1 + q2) + eta * e2 * sin(q1 + q2) + (alfa - beta + e1) * e2 * cos(q1);
    epc * e2 * cos(q1 + q2) + eta * e2 * sin(q1 + q2)];
% robot dynamic equation as
```

```
S = inv(M) * (tol - C * [dq1; dq2] - G);
```

```
sys(1) = x(2);
sys(2) = S(1);
sys(3) = x(4);
sys(4) = S(2);
function sys = mdlOutputs(t,x,u)
sys(1) = x(1);
sys(2) = x(2);
sys(3) = x(3);
sys(4) = x(4);
```

(4) 输入指令子程序: chap7_2input.m。

```
function [sys,x0,str,ts] = input(t,x,u,flag)
switch flag,
case 0,
    [sys,x0,str,ts] = mdlInitializeSizes;
case 3,
    sys = mdlOutputs(t,x,u);
case {2,4,9}
    sys = [];
otherwise
    error(['Unhandled flag = ',num2str(flag)]);
end
function [sys,x0,str,ts] = mdlInitializeSizes
sizes = simsizes;
sizes.NumOutputs = 6;
sizes.NumInputs = 0;
sizes.DirFeedthrough = 0;
sizes.NumSampleTimes = 0;
sys = simsizes(sizes);
x0 = [];
str = [];
ts = [];
function sys = mdlOutputs(t,x,u)
q1_d = sin(2 * pi * t);
q2_d = sin(2 * pi * t);
dq1_d = 2 * pi * cos(2 * pi * t);
dq2_d = 2 * pi * cos(2 * pi * t);
ddq1_d = -(2 * pi)^2 * sin(2 * pi * t);
ddq2_d = -(2 * pi)^2 * sin(2 * pi * t);

sys(1) = q1_d;
sys(2) = dq1_d;
sys(3) = ddq1_d;
sys(4) = q2_d;
sys(5) = dq2_d;
sys(6) = ddq2_d;
```

(5) 绘图子程序: chap7_2plot.m。

```
close all;

figure(1);
subplot(211);
plot(t,qd(:,1),'r',t,q(:,1),'b','linewidth',2);
```

```

xlabel('time(s)');ylabel('angle tracking of link 1');
subplot(212);
plot(t,qd(:,2),'r',t,q(:,2),'b','linewidth',2);
xlabel('time(s)');ylabel('angle velocity tracking of link 1');

figure(2);
subplot(211);
plot(t,qd(:,4),'r',t,q(:,3),'b','linewidth',2);
xlabel('time(s)');ylabel('angle tracking of link 2');
subplot(212);
plot(t,qd(:,5),'r',t,q(:,4),'b','linewidth',2);
xlabel('time(s)');ylabel('angle velocity tracking of link 2');

figure(3);
subplot(211);
plot(t,ut(:,1),'r','linewidth',2);
xlabel('time(s)');ylabel('control input of link 1');
subplot(212);
plot(t,ut(:,2),'r','linewidth',2);
xlabel('time(s)');ylabel('control input of link 2');

```

7.4 基于 LMI 的指数收敛非线性干扰观测器的控制

7.4.1 非线性干扰观测器的问题描述

考虑双关节机械手动力学方程：

$$J(\theta)\ddot{\theta} + C(\theta, \dot{\theta})\dot{\theta} + G(\theta) = \tau + d \quad (7.20)$$

其中, $J(\theta) \in \mathbb{R}^{2 \times 2}$ 为机械手的惯性矩阵, $C(\theta, \dot{\theta}) \in \mathbb{R}^2$ 表示离心力和哥氏力项, $G(\theta) \in \mathbb{R}^2$ 为重力项, $\theta \in \mathbb{R}^2$, $\dot{\theta} \in \mathbb{R}^2$ 和 $\tau \in \mathbb{R}^2$ 分别代表角度、角速度和控制输入, $d \in \mathbb{R}^2$ 为外界干扰。

文献[2]中所设计的非线性干扰观测器的不足之处：要求模型中的惯性矩阵 $J(\theta)$ 必须

满足特殊形式, 即 $J(\theta) = \begin{bmatrix} 1 & 1 \\ 0 & 1 \end{bmatrix} \bar{J}(\theta) \begin{bmatrix} 1 & 0 \\ 1 & 1 \end{bmatrix}$, 其中, $\bar{J}(\theta)$ 必须满足 $\bar{J}(\theta) = \begin{bmatrix} j_1 - 2j_2 + j_3 & j_2 - j_3 + X_p \cos(\theta_2) \\ j_2 - j_3 + X_p \cos(\theta_2) & j_3 \end{bmatrix}$, 即 $\bar{J}(\theta)$ 中主对角项需要为常数, 这就限制了该观测器在其他类模型的应用。

为了克服上述缺陷, 文献[3]提出了一种改进的设计算法, 本节讨论采用该方法设计机械手非线性干扰观测器及相应的控制器的设计方法。

7.4.2 非线性干扰观测器的设计

非线性干扰观测器设计为

$$\begin{cases} \dot{z} = L(\theta)(C(\theta, \dot{\theta})\dot{\theta} + G(\theta) - \tau) - L(\theta)\hat{d} \\ \hat{d} = z + p(\dot{\theta}) \end{cases} \quad (7.21)$$

为了克服观测器的不足之处, 文献[3]中取

$$L(\theta) = X^{-1}J^{-1}(\theta) \quad (7.22)$$

$$p(\dot{\theta}) = X^{-1}\dot{\theta} \quad (7.23)$$

其中, X 为可逆矩阵, 通过线性矩阵不等式来求。

令

$$\dot{p}(\dot{\theta}) = L(\theta)J(\theta)\ddot{\theta}$$

式(7.21)、式(7.22)和式(7.23)构成了非线性干扰观测器。一般没有干扰 d 的微分的先验知识, 假设相对于观测器的动态特性干扰的变化是缓慢的^[2], 则可取 $\dot{d} = 0$ 。

设计 Lyapunov 函数为

$$V_o = \bar{d}^T X^T J(\theta) X \bar{d}$$

其中, $J(\theta) = J(\theta)^T > 0$ 。

于是

$$\dot{V}_o = \dot{\bar{d}}^T X^T J(\theta) X \bar{d} + \bar{d}^T X^T \dot{J}(\theta) X \bar{d} + \bar{d}^T X^T J(\theta) X \dot{\bar{d}}$$

根据观测器式(7.21), 可得

$$\begin{aligned} \dot{\bar{d}} &= \dot{d} - \hat{\dot{d}} = \dot{d} - \dot{z} - \dot{p}(\dot{\theta}) \\ &= \dot{d} - L(\theta)(C(\theta, \dot{\theta})\dot{\theta} + G(\theta) - \tau) + L(\theta)\hat{d} - L(\theta)J(\theta)\ddot{\theta} \\ &= \dot{d} + L(\theta)\hat{d} - L(\theta)(J(\theta)\ddot{\theta} + C(\theta, \dot{\theta})\dot{\theta} + G(\theta) - \tau) \\ &= \dot{d} + L(\theta)\hat{d} - L(\theta)d \\ &= \dot{d} - L(\theta)\bar{d} \end{aligned}$$

因而得到观测误差方程为

$$\dot{\bar{d}} + L(\theta)\bar{d} = 0 \quad (7.24)$$

从而得到

$$\begin{aligned} \dot{\bar{d}} &= -L(\theta)\bar{d} = -X^{-1}J^{-1}(\theta)\bar{d} \\ \dot{\bar{d}}^T &= -(X^{-1}J^{-1}(\theta)\bar{d})^T = -\bar{d}^T J^{-T}(\theta)X^{-T} \end{aligned}$$

则

$$\begin{aligned} \dot{V}_o &= \dot{\bar{d}}^T X^T J(\theta) X \bar{d} + \bar{d}^T X^T \dot{J}(\theta) X \bar{d} + \bar{d}^T X^T J(\theta) X \dot{\bar{d}} \\ &= -\bar{d}^T J^{-T}(\theta)X^{-T}X^T J(\theta)X \bar{d} + \bar{d}^T X^T \dot{J}(\theta)X \bar{d} - \bar{d}^T X^T J(\theta)XX^{-1}J^{-1}(\theta)\bar{d} \\ &= -\bar{d}^T X \bar{d} + \bar{d}^T X^T \dot{J}(\theta)X \bar{d} - \bar{d}^T X^T \bar{d} \\ &= -\bar{d}^T (X - X^T \dot{J}(\theta)X + X^T) \bar{d} \end{aligned}$$

构造如下不等式:

$$X + X^T - X^T \dot{J}(\theta)X \geq \Gamma \quad (7.25)$$

其中, $\Gamma > 0$ 为对称正定阵。

于是

$$\dot{V}_o \leq -\bar{d}^T \Gamma \bar{d}$$

可见, 干扰观测器指数收敛, 收敛精度取决于参数 Γ 值, Γ 值越大, 收敛速度越快, 精

度越高。

7.4.3 LMI 不等式的求解

由不等式(7.25)可见,式中含有非线性项,必须转换为线性矩阵不等式才能求解。令 $Y=X^{-1}$,将 $Y^T=(X^{-1})^T$ 和 $Y=X^{-1}$ 分别乘以式(7.25)的左右两边,得

$$Y^T + Y - j(\theta) \geq Y^T \Gamma Y$$

即

$$Y^T + Y - Y^T \Gamma Y \geq j(\theta)$$

由于 $\|j(\theta)\| \leq \zeta$,则 $j(\theta) \leq \zeta I$,则上式成立的充分条件为

$$Y^T + Y - Y^T \Gamma Y \geq \zeta I$$

即

$$Y^T + Y - \zeta I - Y^T \Gamma Y \geq 0$$

根据 Schur 补定理^[4]:假设 C 为正定矩阵,则 $A - BC^{-1}B^T \geq 0$ 等价于 $\begin{bmatrix} A & B \\ B^T & C \end{bmatrix} \geq 0$ 。

则上式等价于

$$\begin{bmatrix} Y^T + Y - \zeta I & Y^T \\ Y & \Gamma^{-1} \end{bmatrix} \geq 0 \tag{7.26}$$

通过 MATLAB 下的 LMI 工具箱(建议采用新的 LMI 求解工具箱——YALMIP 工具箱)求解式(7.26),便可求得 Y ,从而得到 X 。该不等式的求解是否有效取决于 ζ 和 Γ 值。 ζ 越小、 Γ 越小,越容易得到有效的解。

7.4.4 计算力矩法的滑模控制

采用观测器式(7.21)观测干扰 d ,在滑模控制中对干扰进行补偿,可有效地降低切换增益,从而有效地降低抖振。

关节的理想角度为 θ_d ,取跟踪误差 $e = \theta - \theta_d$,定义滑模函数为

$$s = \dot{e} + \Lambda e \tag{7.27}$$

其中, $\Lambda = \begin{bmatrix} \lambda_1 & 0 \\ 0 & \lambda_2 \end{bmatrix}$ 。

于是

$$\dot{s} = \ddot{\theta} - \ddot{\theta}_d + \Lambda \dot{e} = J^{-1}(\tau - C\dot{\theta} - G + d) - \ddot{\theta}_d + \Lambda \dot{e}$$

设计控制器为

$$\tau = Jv + C\dot{\theta} + G - \eta \operatorname{sgns} - \hat{d} - Cs \tag{7.28}$$

其中, $\eta = \begin{bmatrix} \eta_1 & 0 \\ 0 & \eta_2 \end{bmatrix}$, $\eta_i > |\hat{d}(0)| + \eta_{i0}$, $\eta_{i0} > 0, i = 1, 2$ 。

从而有

$$J\dot{s} = Jv - \eta \operatorname{sgns} - \hat{d} + d - Cs + J(\Lambda \dot{e} - \ddot{\theta}_d) = J(v + \Lambda \dot{e} - \ddot{\theta}_d) - \eta \operatorname{sgns} + \tilde{d} - Cs$$

其中, $\tilde{d} = d - \hat{d}$, 取

$$v = \ddot{\theta}_d - \Lambda \dot{e} \quad (7.29)$$

则 $J\dot{s} = -\eta \operatorname{sgn}s + \tilde{d} - Cs$, 由于 $J(\theta)$ 为正定阵, 设计闭环系统 Lyapunov 函数为

$$V = \frac{1}{2} s^T J s + V_0.$$

由于干扰观测器指数收敛, 则 $\|\tilde{d}\| \leq \|\tilde{d}(t_0)\|$ 。取 $\|\eta\| > \|\tilde{d}(t_0)\|$, 则有

$$\dot{V} = s^T J \dot{s} + \frac{1}{2} s^T \dot{J} s + \dot{V}_0 = s^T (-Cs - \eta \operatorname{sgn}s + \tilde{d}) + \frac{1}{2} s^T \dot{J} s + \dot{V}_0.$$

$$= -\eta \|s\| - s^T \tilde{d} + \frac{1}{2} s^T (\dot{J} - 2C)s + \dot{V}_0.$$

$$= -\eta \|s\| - s^T \tilde{d} + \dot{V}_0 \leq -\eta_0 \|s\| - \tilde{d}^T \Gamma \tilde{d}$$

当 $\dot{V} \equiv 0$ 时, $s \equiv 0, \tilde{d} = 0$, 根据 LaSalle 不变性原理, 闭环系统为渐进稳定, 当 $t \rightarrow \infty$ 时, $s \rightarrow 0, \tilde{d} \rightarrow 0$ 。系统的收敛速度取决于 η_0 和 Γ 。

7.4.5 仿真实例

仿真实例 1: 干扰观测器开环测试。

考虑稳定的 SISO 系统, 模型为

$$\ddot{\theta} = -25\dot{\theta} + 133(\tau + d)$$

对比 $J(\theta)\ddot{\theta} + C(\theta, \dot{\theta})\dot{\theta} + G(\theta) = \tau + d$, 可知 $J = \frac{1}{133}, C = \frac{25}{133}$ 。不等式(7.25)变为 $X + X^T \geq \Gamma$, 取 $X = \Gamma = 1$, 可满足该不等式的要求。

分别取 $d(t) = -5$ 和 $d(t) = 0.05 \sin t$ 。干扰观测器采用式(7.21)~式(7.23), 仿真结果如图 7-8 和图 7-9 所示。

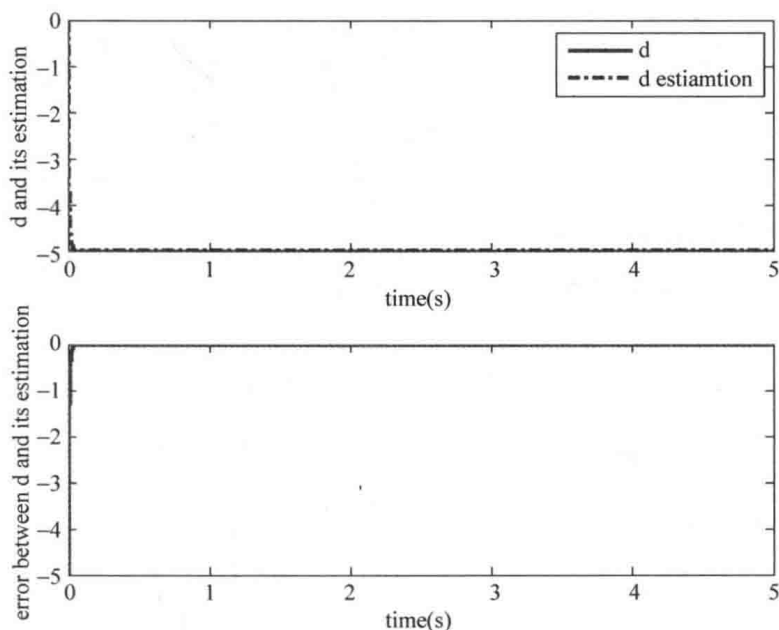


图 7-8 $d(t) = -5$ 的干扰观测及观测误差

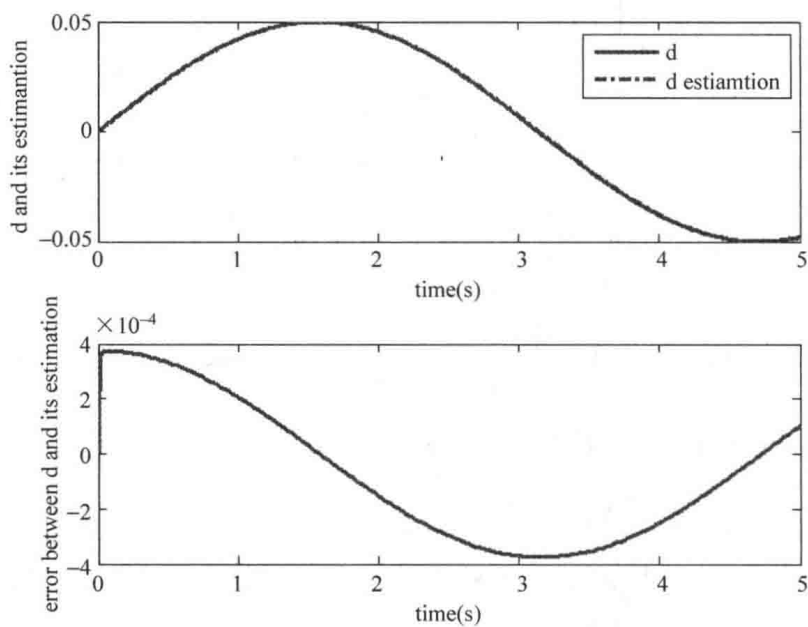
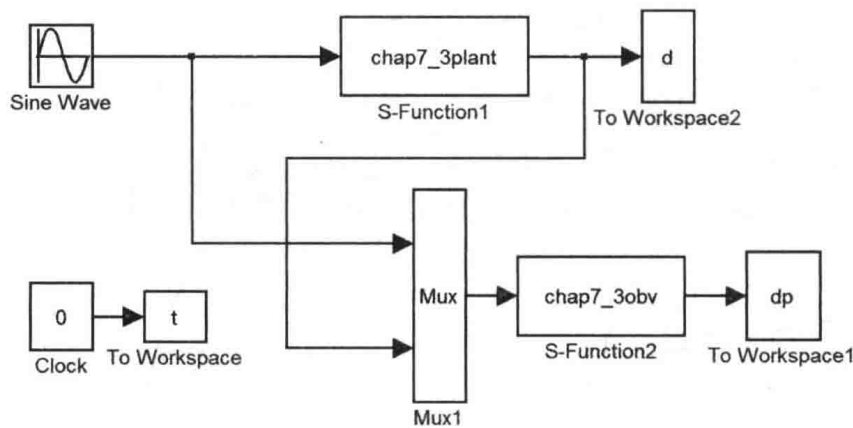


图 7-9 $d(t)=0.05\sin t$ 的干扰观测及观测误差

仿真程序如下：

(1) Simulink 主程序：chap7_3sim.mdl。



(2) 被控对象程序：chap7_3plant.m。

```
function [sys,x0,str,ts] = NDO_plant (t,x,u,flag)
switch flag,
case 0,
    [sys,x0,str,ts] = mdlInitializeSizes;
case 1,
    sys = mdlDerivatives(t,x,u);
case 3,
    sys = mdlOutputs(t,x,u);
case {2, 4, 9}
    sys = [];
otherwise
    error(['Unhandled flag = ',num2str(flag)]);
```

```

end
function [sys,x0,str,ts] = mdlInitializeSizes
sizes = simsizes;
sizes.NumContStates = 2;
sizes.NumDiscStates = 0;
sizes.NumOutputs = 3;
sizes.NumInputs = 1;
sizes.DirFeedthrough = 1;
sizes.NumSampleTimes = 0;
sys = simsizes(sizes);
x0 = [0.1, 0];
str = [];
ts = [];
function sys = mdlDerivatives(t,x,u)
ut = u(1);
% dt = -5;
dt = 0.05 * sin(t);
sys(1) = x(2);
sys(2) = -25 * x(2) + 133 * (ut + dt);
function sys = mdlOutputs(t,x,u)
% dt = -5;
dt = 0.05 * sin(t);
sys(1) = x(1);
sys(2) = x(2);
sys(3) = dt;

```

(3) 干扰观测器程序: chap7_3obv. m。

```

function [sys,x0,str,ts] = NDO(t,x,u,flag)
switch flag,
case 0,
[sys,x0,str,ts] = mdlInitializeSizes;
case 1,
sys = mdlDerivatives(t,x,u);
case 3,
sys = mdlOutputs(t,x,u);
case {2, 4, 9}
sys = [];
otherwise
error(['Unhandled flag = ',num2str(flag)]);
end
function [sys,x0,str,ts] = mdlInitializeSizes
sizes = simsizes;
sizes.NumContStates = 1;
sizes.NumDiscStates = 0;
sizes.NumOutputs = 1;
sizes.NumInputs = 4;
sizes.DirFeedthrough = 1;
sizes.NumSampleTimes = 0;
sys = simsizes(sizes);
x0 = [0];
str = [];
ts = [];
function sys = mdlDerivatives(t,x,u)

```

```

J = 1/133; C = 25/133; G = 0;

tol = u(1);
dth = u(3);
z = x(1);

X = 1;
L = inv(X) * inv(J);
p = inv(X) * dth;
d = z + p;

dz = L * (C * dth + G - tol) - L * d;
sys(1) = dz;
function sys = mdlOutputs(t, x, u)
dth = u(3);
z = x(1);

X = 1;
p = inv(X) * dth;
d = z + p;

sys(1) = d;

```

(4) 作图程序: chap7_3plot.m。

```

close all;

figure(1);
subplot(211);
plot(t, d(:,3), 'r', t, dp(:,1), '-.b', 'linewidth', 2);
xlabel('time(s)'); ylabel('d and its estimation');
legend('d', 'd estimation');
subplot(212);
plot(t, d(:,3) - dp(:,1), 'r', 'linewidth', 2);
xlabel('time(s)'); ylabel('error between d and its estimation');

```

仿真实例 2: 基于干扰观测器补偿的滑模控制。

二关节机械手动力学方程为

$$J(\theta) \ddot{\theta} + G(\theta) = \tau + d$$

其中, $J(\theta) = \begin{bmatrix} j_1 + 2X_p \cos(\theta_2) & j_2 + X_p \cos(\theta_2) \\ j_2 + X_p \cos(\theta_2) & j_3 \end{bmatrix}$, $C(\theta, \dot{\theta}) = 0$, $G(\theta) = \begin{bmatrix} 0.01g \cos(\theta_1 + \theta_2) \\ 0.01g \cos(\theta_1 + \theta_2) \end{bmatrix}$,
 $j_1 = 0.10$, $j_2 = 0$, $j_3 = 0.01$, $X_p = 0.01$ 。

摩擦模型为 $d(\dot{\theta}) = k\dot{\theta}$, $k_1 = 0.20$, $k_2 = 0.20$ 。关节一和关节二的理想轨迹分别为 $\theta_{d1} = 0.1 \sin t$ 和 $\theta_{d2} = 0.1 \sin t$ 。

干扰观测器采用式(7.21)~式(7.23),该观测器不需要加速度信号,干扰 d 的观测初始值

取 $[0, 0]$ 。由于 $\dot{J}(\theta) = \begin{bmatrix} -2X_p \sin(\theta_2) \cdot \dot{\theta}_2 & -X_p \sin(\theta_2) \cdot \dot{\theta}_2 \\ -X_p \sin(\theta_2) \cdot \dot{\theta}_2 & 0 \end{bmatrix}$, 则根据 $\|\dot{J}(\theta)\| \leq \zeta$, 可取

$\zeta = 3.0$, 考虑两个关节的动态特性不同, 取 $\Gamma = \begin{bmatrix} 0.1 & 0 \\ 0 & 0.3 \end{bmatrix}$, 解不等式(7.26), 可得

$$\mathbf{X} = \begin{bmatrix} 0.2837 & 0 \\ 0 & 0.3503 \end{bmatrix}^{\circ}$$

采用控制器式(7.28)和式(7.29),被控对象初始状态为 $[0.1 \ 0 \ 0.1 \ 0]$,取 $\mathbf{\Lambda} = \begin{bmatrix} 10 & 0 \\ 0 & 10 \end{bmatrix}$, $\boldsymbol{\eta} = \begin{bmatrix} 0.10 & 0 \\ 0 & 0.10 \end{bmatrix}$,采用饱和函数代替连续函数,取边界层厚度为 $\Delta = 0.20$ 。

仿真结果如图 7-10~图 7-13 所示。

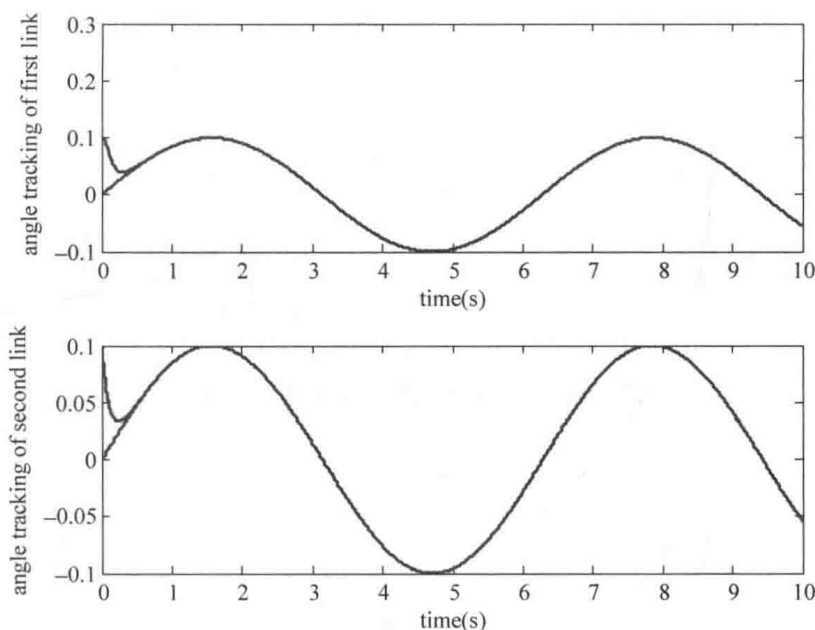


图 7-10 关节一和关节二角度跟踪

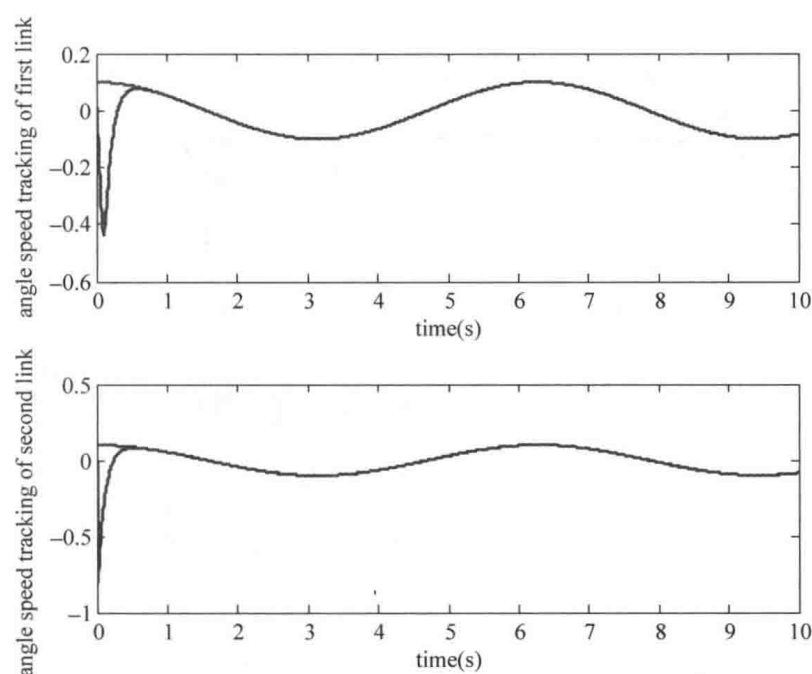


图 7-11 关节一和关节二角速度跟踪

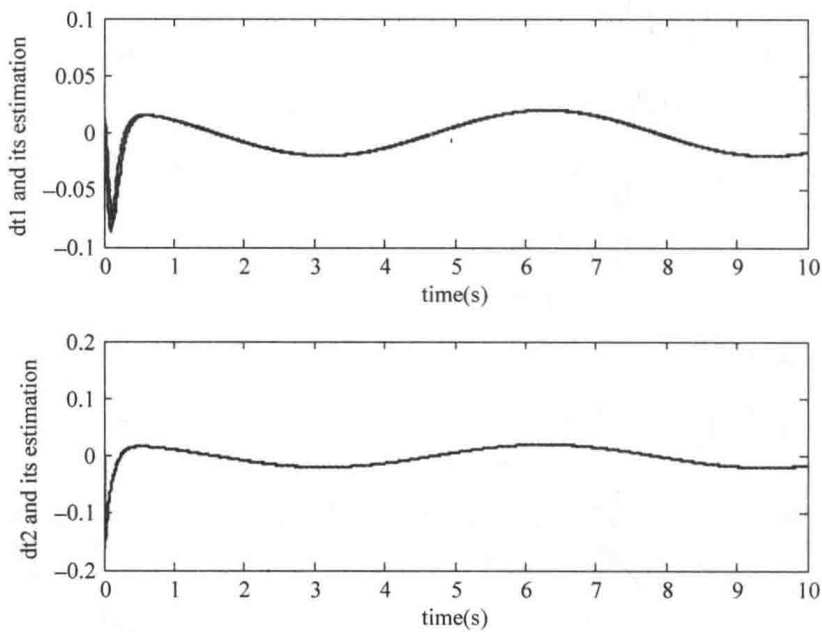


图 7-12 关节一和关节二的干扰观测结果

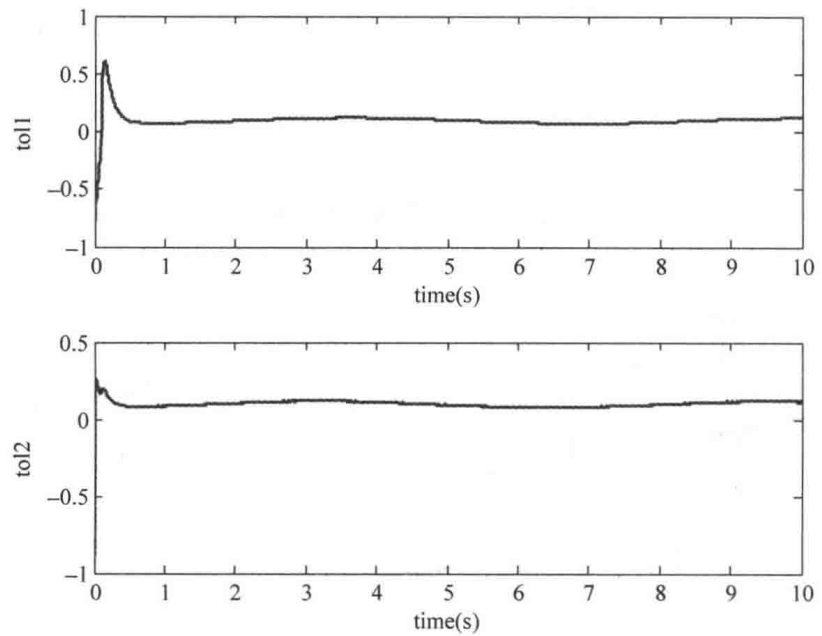


图 7-13 关节一和关节二上的控制输入

仿真程序如下：

(1) LMI 求解程序：lmi_X.m。

```
clear all;
close all;
Y = sdpvar(2,2);
Kesi = 3;
Gama = 0.10 * [1 0;0 3];
```

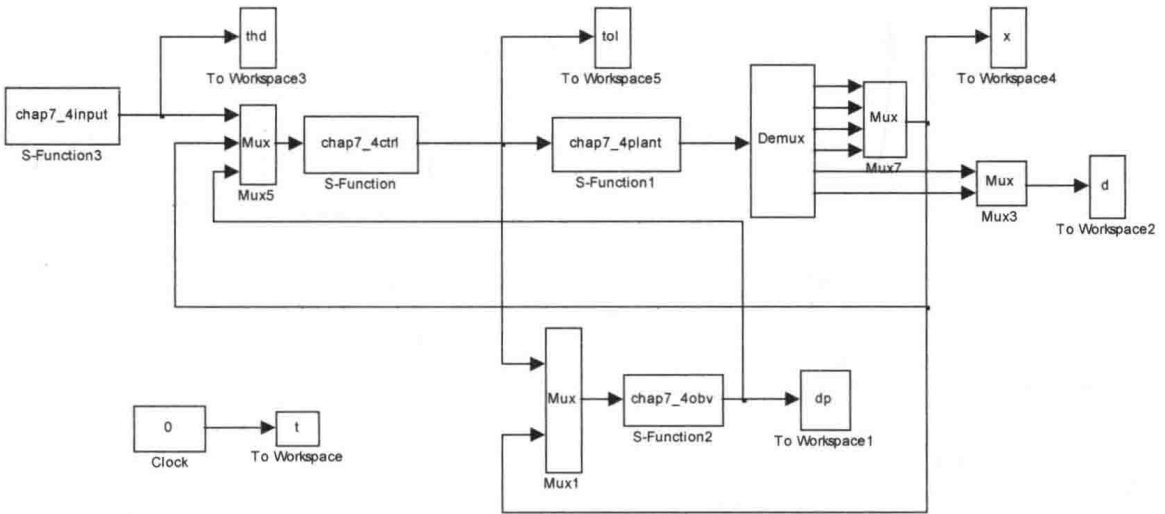
```

FAI = [Y + Y' - Kesi * eye(2) Y'; Y inv(Gama)];
% LMI description
L1 = set(Y > 0);
L2 = set(FAI > 0);
L = L1 + L2;

solvesdp(L);
Y = double(Y);
X = inv(Y)

```

(2) Simulink 主程序: chap7_4sim.mdl。



(3) 控制器程序: chap7_4ctrl.m。

```

function [sys,x0,str,ts] = s_function(t,x,u,flag)
switch flag,
case 0,
    [sys,x0,str,ts] = mdlInitializeSizes;
case 3,
    sys = mdlOutputs(t,x,u);
case {2, 4, 9}
    sys = [];
otherwise
    error(['Unhandled flag = ',num2str(flag)]);
end
function [sys,x0,str,ts] = mdlInitializeSizes
sizes = simsizes;
sizes.NumContStates = 0;
sizes.NumDiscStates = 0;
sizes.NumOutputs = 2;
sizes.NumInputs = 10;
sizes.DirFeedthrough = 1;
sizes.NumSampleTimes = 0;
sys = simsizes(sizes);
x0 = [];
str = [];

```



```

ts = [];
function sys = mdlOutputs(t,x,u)
th1d = 0.1 * sin(t);
dth1d = 0.1 * cos(t);
ddth1d = -0.1 * sin(t);

th2d = 0.1 * sin(t);
dth2d = 0.1 * cos(t);
ddth2d = -0.1 * sin(t);

thd = [th1d th2d]';
dthd = [dth1d dth2d]';
ddthd = [ddth1d ddth2d]';

th1 = u(5);dth1 = u(6);
th2 = u(7);dth2 = u(8);
dp = [u(9) u(10)]';

th = [th1 th2]';
dth = [dth1 dth2]';

e = th - thd;
de = dth - dthd;

Fai = 10 * eye(2);
s = de + Fai * e;

g = 9.8;
j1 = 0.1; j2 = 0; j3 = 0.01; Xp = 0.01;
J = [j1 + 2 * Xp * cos(th2) j2 + Xp * cos(th2)
      j2 + Xp * cos(th2) j3];
C = 0;
G1 = 0.01 * g * cos(th1 + th2);
G2 = 0.01 * g * cos(th1 + th2);
G = [G1;G2];

Xite = 0.10 * eye(2);
% Saturated function
delta = 0.20;
kk = 1/delta;
for i = 1:2
if abs(s(i)) > delta
    sats(i) = sign(s(i));
else
    sats(i) = kk * s(i);
end
end
v = ddthd - Fai * de;
tol = J * v + C * dth + G - Xite * [sats(1) sats(2)]' - dp - C * s;

sys(1) = tol(1);

```

```
sys(2) = tol(2);
```

(4) 被控对象程序: chap7_4plant.m。

```
function [sys,x0,str,ts] = NDO_plant (t,x,u,flag)
switch flag,
case 0,
    [sys,x0,str,ts] = mdlInitializeSizes;
case 1,
    sys = mdlDerivatives(t,x,u);
case 3,
    sys = mdlOutputs(t,x,u);
case {2, 4, 9 }
    sys = [];
otherwise
    error(['Unhandled flag = ',num2str(flag)]);
end
function [sys,x0,str,ts] = mdlInitializeSizes
global k1 k2
k1 = 0.2;k2 = 0.2;
sizes = simsizes;
sizes.NumContStates = 4;
sizes.NumDiscStates = 0;
sizes.NumOutputs = 6;
sizes.NumInputs = 2;
sizes.DirFeedthrough = 1;
sizes.NumSampleTimes = 0;
sys = simsizes(sizes);
x0 = [0.1,0,0.1,0];
str = [];
ts = [];
function sys = mdlDerivatives(t,x,u)
global k1 k2
tol = [u(1);u(2)];
g = 9.8;
j1 = 0.1;j2 = 0;j3 = 0.01;
Xp = 0.01;

J = [j1 + 2 * Xp * cos(x(3)) j2 + Xp * cos(x(3))
      j2 + Xp * cos(x(3)) j3];

G1 = 0.01 * g * cos(x(1) + x(3));
G2 = 0.01 * g * cos(x(1) + x(3));
G = [G1;G2];

dt = [k1 * x(2);k2 * x(4)];

S = inv(J) * (tol + dt - G);
sys(1) = x(2);
sys(2) = S(1);
sys(3) = x(4);
```

```

sys(4) = S(2);
function sys = mdlOutputs(t,x,u)
global k1 k2
dt = [k1 * x(2); k2 * x(4)];

```

```

sys(1) = x(1);
sys(2) = x(2);
sys(3) = x(3);
sys(4) = x(4);
sys(5) = dt(1);
sys(6) = dt(2);

```

(5) 干扰观测器程序: chap7_4obv.m。

```

function [sys,x0,str,ts] = NDO(t,x,u,flag)
switch flag,
case 0,
    [sys,x0,str,ts] = mdlInitializeSizes;
case 1,
    sys = mdlDerivatives(t,x,u);
case 3,
    sys = mdlOutputs(t,x,u);
case {2, 4, 9}
    sys = [];
otherwise
    error(['Unhandled flag = ',num2str(flag)]);
end
function [sys,x0,str,ts] = mdlInitializeSizes
sizes = simsizes;
sizes.NumContStates = 2;
sizes.NumDiscStates = 0;
sizes.NumOutputs = 2;
sizes.NumInputs = 6;
sizes.DirFeedthrough = 1;
sizes.NumSampleTimes = 0;
sys = simsizes(sizes);
x0 = [0 0];
str = [];
ts = [];
function sys = mdlDerivatives(t,x,u)
tol = [u(1);u(2)];
th = [u(3);u(5)];
dth = [u(4);u(6)];

g = 9.8;
j1 = 0.1; j2 = 0; j3 = 0.01; X = 0.01;
J = [j1 + 2 * X * cos(th(2)) j2 + X * cos(th(2))
     j2 + X * cos(th(2)) j3];
G1 = 0.01 * g * cos(th(1) + th(2));
G2 = 0.01 * g * cos(th(1) + th(2));
G = [G1;G2];

```

```

X = [0.2837 0;
      0    0.3503];

z = [x(1) x(2)]';
L = inv(X) * inv(J);
p = inv(X) * dth;
dp = z + p;

dz = L * (G - tol - dp);
sys(1) = dz(1);
sys(2) = dz(2);
function sys = mdlOutputs(t,x,u)
th = [u(1);u(2)];
th = [u(3);u(5)];
dth = [u(4);u(6)];

g = 9.8;
j1 = 0.1; j2 = 0; j3 = 0.01; X = 0.01;
J = [j1 + 2 * X * cos(th(2)) j2 + X * cos(th(2))
      j2 + X * cos(th(2)) j3];
G1 = 0.01 * g * cos(th(1) + th(2));
G2 = 0.01 * g * cos(th(1) + th(2));
G = [G1;G2];

```

```

X = [0.2837 0;
      0    0.3503];

z = [x(1) x(2)]';
L = inv(X) * inv(J);
p = inv(X) * dth;
dp = z + p;

```

```

sys(1) = dp(1);
sys(2) = dp(2);

```

(6) 作图程序: chap7_4plot.m。

```

close all;
figure(1);
subplot(211);
plot(t, thd(:,1), 'r', t, x(:,1), 'b', 'linewidth', 2);
xlabel('time(s)'); ylabel('angle tracking of first link');
subplot(212);
plot(t, thd(:,3), 'r', t, x(:,3), 'b', 'linewidth', 2);
xlabel('time(s)'); ylabel('angle tracking of second link');

figure(2);
subplot(211);
plot(t, thd(:,2), 'r', t, x(:,2), 'b', 'linewidth', 2);
xlabel('time(s)'); ylabel('angle speed tracking of first link');
subplot(212);

```

```
plot(t, thd(:, 4), 'r', t, x(:, 4), 'b', 'linewidth', 2);  
xlabel('time(s)'); ylabel('angle speed tracking of second link');  
  
figure(3);  
subplot(211);  
plot(t, d(:, 1), 'r', t, dp(:, 1), 'b', 'linewidth', 2);  
xlabel('time(s)'); ylabel('dt1 and its estimation');  
subplot(212);  
plot(t, d(:, 2), 'r', t, dp(:, 2), 'b', 'linewidth', 2);  
xlabel('time(s)'); ylabel('dt2 and its estimation');  
  
figure(4);  
subplot(211);  
plot(t(:, 1), tol(:, 1), 'r', 'linewidth', 2);  
xlabel('time(s)'); ylabel('tol1');  
subplot(212);  
plot(t(:, 1), tol(:, 2), 'r', 'linewidth', 2);  
xlabel('time(s)'); ylabel('tol2');
```

7.5 欠驱动两杆机械臂 Pendubot 滑模控制

7.5.1 Pendubot 控制问题

欠驱动旋臂式两杆倒立摆机械臂 Pendubot 作为一类典型的欠驱动机械系统,受到越来越多的学者和研究人员的关注。欠驱动机械系统指系统的独立控制输入个数小于系统自由度个数的非线性系统。Pendubot 是一个带有两个旋转关节的两杆欠驱动机械臂,它在一个垂直平面内运动,其肩关节是驱动的,而肘关节是非驱动的。欠驱动机械系统因为在节约能量、降低造价、减轻重量、增强系统灵活度等方面都较传统的完全驱动机械系统具有优势,使其在许多重要领域都有广泛的应用,如空间机器人、水下机器人、多足机器人、移动机器人、柔性关节机器人、体操机器人等。

目前,针对 Pendubot 系统有许多控制方法。线性二次型调节器(LQR)作为一种平衡控制策略,最早被用于 Pendubot 系统^[5],但对于复杂的非线性、强耦合系统,其抗干扰性和鲁棒性较差。文献[6]根据 Pendubot 系统的无源性设计了基于能量的起摆控制方法。文献[7]提出了基于反馈镇定的倒立平衡点附近的混杂控制方法。文献[8]应用线性调节理论和 T-S 模糊实现了对 Pendubot 的跟踪控制。文献[9]提出了一种基于脉冲动量的起摆控制策略。

7.5.2 Pendubot 机械臂建模

欠驱动倒立摆机械臂 Pendubot 是一个两杆机械臂,它带有两个能够 360 度旋转的关节,在一个垂直平面内运动,由电机驱动的关节称为主动关节或者驱动关节,无电机驱动的关节称为欠驱动关节或者被动关节,和主动关节相连的机械臂称为主动臂,和欠驱动关节相连的机械臂称为欠驱动臂,由于其系统结构与人类的手臂有些相似,所以其主动关节也经常被称为肩关节,其欠驱动关节被称为肘关节。

主动关节处装有一个直流电机,驱动整个机械臂系统的运动。欠驱动机械臂系统中主动关节和欠驱动关节处还安装了两个高精度光电编码器,分别用于提供主动臂和欠驱动臂的位置反馈信号。

如图 7-14 所示,在与水平面垂直的竖直平面上,建立以主动关节中心点为原点、以水平线为横轴 x 轴、以竖直线为纵轴 y 轴的 xOy 直角坐标系,设 q_1 为主动臂相对于水平坐标轴 x 的角度, q_2 为欠驱动臂相对于主动臂的角度, l_1 为主动臂长度, l_{c1} 为主动臂质心到距离, l_{c2} 为欠驱动臂质心到主动关节的距离, I_1 为主动臂质心相对于主动关节的转动惯量, I_2 为欠驱动臂质心相对于主动关节转动惯量, m_1 为主动臂质量, m_2 为欠驱动臂质量, g 为重力加速度, τ 是电机驱动力矩。

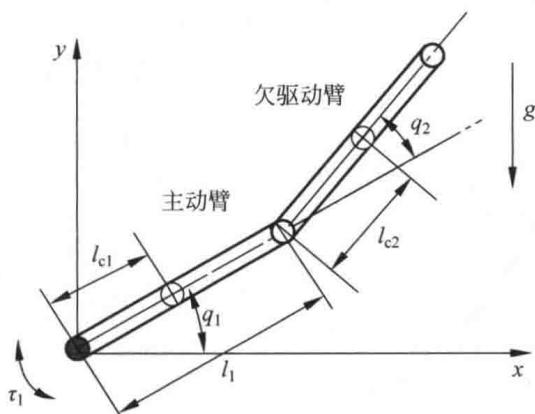


图 7-14 Pendubot 机械臂示意图

首先考虑一般形式的拉格朗日-欧拉运动方程:

$$\frac{d}{dt} \left[\frac{\partial L}{\partial \dot{q}_i} \right] - \frac{\partial L}{\partial q_i} = \tau_i, \quad i = 1, 2, \dots, n \quad (7.30)$$

其中, L 为拉格朗日算子, $L = K - P$, K 为机械臂的总动能, P 为机械臂的总势能, q_i 为机械臂的广义坐标, τ_i 为在关节 i 处作用于系统以驱动杆件的广义力或广义力矩。

定义

$$\mathbf{q} = (q_1 \quad q_2)^T \quad (7.31)$$

根据式(7.30)可得

$$\begin{cases} \frac{d}{dt} \frac{\partial L}{\partial \dot{q}_1} - \frac{\partial L}{\partial q_1} = \tau_1 \\ \frac{d}{dt} \frac{\partial L}{\partial \dot{q}_2} - \frac{\partial L}{\partial q_2} = \tau_2 \end{cases} \quad (7.32)$$

其中, $\tau_2 = 0$ 。

拉格朗日函数为

$$L(\mathbf{q}, \dot{\mathbf{q}}) = K - P \quad (7.33)$$

第一步,计算 Pendubot 主动臂的平移动能 K_1 和势能 P_1

$$K_1 = \frac{1}{2} m_1 l_{c1}^2 \dot{q}_1^2, \quad P_1 = m_1 l_{c1} g \sin q_1$$

第二步,计算 Pendubot 欠驱动臂的平移动能 K_2 和势能 P_2 。根据 Pendubot 动力学模

型示意图,得到欠驱动臂质心的笛卡儿坐标系为

$$\begin{cases} x_2 = l_1 \cos(q_1) + l_{c2} \cos(q_1 + q_2) \\ y_2 = l_1 \sin(q_1) + l_{c2} \sin(q_1 + q_2) \end{cases} \quad (7.34)$$

欠驱动臂速度的笛卡儿坐标分量可以表示为

$$\begin{cases} \dot{x}_2 = -l_1 \sin(q_1) \dot{q}_1 - l_{c2} \sin(q_1 + q_2) (\dot{q}_1 + \dot{q}_2) \\ \dot{y}_2 = l_1 \cos(q_1) \dot{q}_1 + l_{c2} \cos(q_1 + q_2) (\dot{q}_1 + \dot{q}_2) \end{cases} \quad (7.35)$$

欠驱动臂速度的平方值

$$v_2^2 = \dot{x}_2^2 + \dot{y}_2^2 = l_1^2 \dot{q}_1^2 + l_{c2}^2 (\dot{q}_1 + \dot{q}_2)^2 + 2l_1 l_{c2} \cos(q_2) \dot{q}_1 (\dot{q}_1 + \dot{q}_2)$$

则欠驱动臂的平移动能为

$$K_2 = \frac{1}{2} m_2 v_2^2 = \frac{1}{2} m_2 (l_1^2 \dot{q}_1^2 + l_{c2}^2 (\dot{q}_1 + \dot{q}_2)^2 + 2l_1 l_{c2} \cos(q_2) \dot{q}_1 (\dot{q}_1 + \dot{q}_2))$$

欠驱动臂的势能为

$$P_2 = m_2 g y_2 = m_2 g (l_1 \sin(q_1) + l_{c2} \sin(q_1 + q_2))$$

第三步,欠驱动臂的转动动能为

$$\begin{aligned} K_v &= \frac{1}{2} \dot{\mathbf{q}}^T \left\{ I_1 \begin{bmatrix} 1 & 0 \\ 0 & 0 \end{bmatrix} + I_2 \begin{bmatrix} 1 & 1 \\ 1 & 1 \end{bmatrix} \right\} \dot{\mathbf{q}} = \frac{1}{2} \begin{bmatrix} \dot{q}_1 & \dot{q}_2 \end{bmatrix} \begin{bmatrix} I_1 + I_2 & I_2 \\ I_2 & I_2 \end{bmatrix} \begin{bmatrix} \dot{q}_1 \\ \dot{q}_2 \end{bmatrix} \\ &= \frac{1}{2} ((I_1 + I_2) \dot{q}_1^2 + 2I_2 \dot{q}_1 \dot{q}_2 + I_2 \dot{q}_2^2) \end{aligned}$$

根据拉格朗日函数可以得到

$$\begin{aligned} L(\mathbf{q}, \dot{\mathbf{q}}) &= K - P = K_1 + K_2 + K_v - P_1 - P_2 \\ &= \frac{1}{2} m_1 l_{c1}^2 \dot{q}_1^2 + \frac{1}{2} m_2 [l_1^2 \dot{q}_1^2 + l_{c2}^2 (\dot{q}_1 + \dot{q}_2)^2 + 2l_1 l_{c2} \cos(q_2) \dot{q}_1 (\dot{q}_1 + \dot{q}_2)] + \\ &\quad \frac{1}{2} ((I_1 + I_2) \dot{q}_1^2 + 2I_2 \dot{q}_1 \dot{q}_2 + I_2 \dot{q}_2^2) - m_1 l_{c1} g \sin(q_1) - \\ &\quad m_2 g (l_1 \sin(q_1) + l_{c2} \sin(q_1 + q_2)) \end{aligned}$$

根据 Pendubot 的拉格朗日-欧拉方程式(7.32),可求得其中的各项表达式。首先,对主动臂,可得

$$\begin{aligned} \frac{\partial L}{\partial \dot{q}_1} &= m_1 l_{c1}^2 \dot{q}_1 + m_2 l_1^2 \dot{q}_1 + m_2 l_{c2}^2 (\dot{q}_1 + \dot{q}_2) + 2m_2 l_1 l_{c2} \cos(q_2) \dot{q}_1 + \\ &\quad m_2 l_1 l_{c2} \cos(q_2) \dot{q}_2 + (I_1 + I_2) \dot{q}_1 + I_2 \dot{q}_2 \\ \frac{d}{dt} \frac{\partial L}{\partial \dot{q}_1} &= m_1 l_{c1}^2 \ddot{q}_1 + m_2 l_1^2 \ddot{q}_1 + m_2 l_{c2}^2 (\ddot{q}_1 + \ddot{q}_2) + 2m_2 l_1 l_{c2} \cos(q_2) \ddot{q}_1 - 2m_2 l_1 l_{c2} \sin(q_2) \dot{q}_2 \dot{q}_1 + \\ &\quad m_2 l_1 l_{c2} \cos(q_2) \ddot{q}_2 - m_2 l_1 l_{c2} \sin(q_2) \dot{q}_2 \dot{q}_2 + (I_1 + I_2) \ddot{q}_1 + I_2 \ddot{q}_2 \\ &= \{m_1 l_{c1}^2 + m_2 (l_1^2 + l_{c2}^2 + 2l_1 l_{c2} \cos q_2) + (I_1 + I_2)\} \ddot{q}_1 + \\ &\quad \{m_2 (l_{c2}^2 + l_1 l_{c2} \cos q_2) + I_2\} \ddot{q}_2 - 2m_2 l_1 l_{c2} \sin(q_2) \dot{q}_2 \dot{q}_1 - m_2 l_1 l_{c2} \sin(q_2) \dot{q}_2 \dot{q}_2 \\ \frac{\partial L}{\partial q_1} &= \frac{\partial K}{\partial q_1} - \frac{\partial P}{\partial q_1} = 0 - m_1 l_{c1} g \cos(q_1) - m_2 g (l_1 \cos(q_1) + l_{c2} \cos(q_1 + q_2)) \\ &= -(m_1 l_{c1} + m_2 l_1) g \cos(q_1) - m_2 l_{c2} g \cos(q_1 + q_2) \end{aligned}$$

然后,对于欠驱动臂,可得

$$\begin{aligned}\frac{\partial L}{\partial \dot{q}_2} &= m_2 l_{c2}^2 (\dot{q}_1 + \dot{q}_2) + m_2 l_1 l_{c2} \cos(q_2) \dot{q}_1 + I_2 \dot{q}_1 + I_2 \dot{q}_2 \\ &= [m_2 l_{c2}^2 + m_2 l_1 l_{c2} \cos(q_2) + I_2] \dot{q}_1 + (m_2 l_{c2}^2 + I_2) \dot{q}_2 \\ \frac{d}{dt} \frac{\partial L}{\partial \dot{q}_2} &= [m_2 l_{c2}^2 + m_2 l_1 l_{c2} \cos(q_2) + I_2] \ddot{q}_1 + (m_2 l_{c2}^2 + I_2) \ddot{q}_2 - m_2 l_1 l_{c2} \sin(q_2) \dot{q}_2 \dot{q}_1 \\ \frac{\partial L}{\partial q_2} &= -m_2 l_1 l_{c2} \sin(q_2) \dot{q}_1 (\dot{q}_1 + \dot{q}_2) - m_2 l_{c2} g \cos(q_1 + q_2)\end{aligned}$$

从而可得主动臂的拉格朗日动力学方程

$$\begin{aligned}\tau_1 &= \frac{d}{dt} \frac{\partial L}{\partial \dot{q}_1} - \frac{\partial L}{\partial q_1} \\ &= \{m_1 l_{c1}^2 + m_2 (l_1^2 + l_{c2}^2 + 2l_1 l_{c2} \cos q_2) + (I_1 + I_2)\} \ddot{q}_1 + \{m_2 (l_{c2}^2 + l_1 l_{c2} \cos q_2) + I_2\} \ddot{q}_2 - \\ &\quad 2m_2 l_1 l_{c2} \sin(q_2) \dot{q}_2 \dot{q}_1 - m_2 l_1 l_{c2} \sin(q_2) \dot{q}_2 \dot{q}_2 + \\ &\quad (m_1 l_{c1} + m_2 l_1) g \cos q_1 + m_2 l_{c2} g \cos(q_1 + q_2)\end{aligned}$$

其中, $-2m_2 l_1 l_{c2} \sin(q_2) \dot{q}_2 \dot{q}_1 - m_2 l_1 l_{c2} \sin(q_2) \dot{q}_2 \dot{q}_2 = -m_2 l_1 l_{c2} \sin(q_2) \dot{q}_2 \dot{q}_1 - m_2 l_1 l_{c2} \sin(q_2) \dot{q}_2 (\dot{q}_1 + \dot{q}_2)$ 。

欠驱动臂的拉格朗日动力学方程为

$$\begin{aligned}\tau_2 &= \frac{d}{dt} \frac{\partial L}{\partial \dot{q}_2} - \frac{\partial L}{\partial q_2} \\ &= (m_2 l_{c2}^2 + m_2 l_1 l_{c2} \cos(q_2) + I_2) \ddot{q}_1 + (m_2 l_{c2}^2 + I_2) \ddot{q}_2 + \\ &\quad m_2 l_1 l_{c2} \sin(q_2) \dot{q}_1 \dot{q}_1 + m_2 l_{c2} g \cos(q_1 + q_2)\end{aligned}$$

最终,可得到整个 Pendubot 欠驱动系统的动力学方程:

$$\mathbf{M}(\mathbf{q})\ddot{\mathbf{q}} + \mathbf{C}(\mathbf{q}, \dot{\mathbf{q}})\dot{\mathbf{q}} + \mathbf{G}(\mathbf{q}) = \boldsymbol{\tau} \quad (7.36)$$

$$\begin{aligned}\text{其中, } \boldsymbol{\tau} &= [\tau_1 \quad \tau_2]^T, \tau_2 = 0, \mathbf{q} = \begin{bmatrix} q_1 \\ q_2 \end{bmatrix}, \mathbf{M}(\mathbf{q}) = \begin{bmatrix} m_1 l_{c1}^2 + m_2 (l_1^2 + l_{c2}^2 + 2l_1 l_{c2} \cos q_2) + (I_1 + I_2) & m_2 (l_{c2}^2 + l_1 l_{c2} \cos q_2) + I_2 \\ m_2 (l_{c2}^2 + l_1 l_{c2} \cos q_2) + I_2 & m_2 l_{c2}^2 + I_2 \end{bmatrix}, \\ \mathbf{C}(\mathbf{q}, \dot{\mathbf{q}}) &= \begin{bmatrix} -m_2 l_1 l_{c2} \sin(q_2) \dot{q}_2 & -m_2 l_1 l_{c2} \sin(q_2) (\dot{q}_2 + \dot{q}_1) \\ m_2 l_1 l_{c2} \sin(q_2) \dot{q}_1 & 0 \end{bmatrix}, \\ \mathbf{G}(\mathbf{q}) &= \begin{bmatrix} (m_1 l_{c1} + m_2 l_1) g \cos(q_1) + m_2 l_{c2} g \cos(q_1 + q_2) \\ m_2 l_{c2} g \cos(q_1 + q_2) \end{bmatrix}.\end{aligned}$$

7.5.3 Pendubot 动力学模型

带有 m 个欠驱动关节的 n 关节欠驱动机械系统的通用 Pendubot 动力学模型如下^[10]:

$$\mathbf{M}(\mathbf{q})\ddot{\mathbf{q}} + \mathbf{C}(\mathbf{q}, \dot{\mathbf{q}})\dot{\mathbf{q}} + \mathbf{G}(\mathbf{q}) = \boldsymbol{\tau} \quad (7.37)$$

$$\text{其中, } \mathbf{M}(\mathbf{q}) = \begin{bmatrix} M_{11}(\mathbf{q}) & M_{12}(\mathbf{q}) \\ M_{21}(\mathbf{q}) & M_{22}(\mathbf{q}) \end{bmatrix}, \mathbf{C}(\mathbf{q}, \dot{\mathbf{q}}) = \begin{bmatrix} C_{11}(\mathbf{q}, \dot{\mathbf{q}}) & C_{12}(\mathbf{q}, \dot{\mathbf{q}}) \\ C_{21}(\mathbf{q}, \dot{\mathbf{q}}) & C_{22}(\mathbf{q}, \dot{\mathbf{q}}) \end{bmatrix}, \mathbf{G}(\mathbf{q}) = \begin{bmatrix} G_1(\mathbf{q}) \\ G_2(\mathbf{q}) \end{bmatrix},$$

$\boldsymbol{\tau} = \begin{bmatrix} \tau_1 \\ 0 \end{bmatrix}$, $\mathbf{q} = [q_1, q_2]^T \in \mathbf{R}^n$ 是关节变量组成的向量, $\mathbf{q}_1 \in \mathbf{R}^m$ 是代表主动臂的向量, \mathbf{q}_2 是代

表欠驱动臂的向量, $\mathbf{M}(\mathbf{q})$ 是 $n \times n$ 对称正定的惯性矩阵, $\mathbf{C}(\mathbf{q}, \dot{\mathbf{q}})\dot{\mathbf{q}}$ 是哥氏力和离心力的向量, $\boldsymbol{\tau}_1$ 是控制输入力矩的向量。

Pendubot 系统包含两个可旋转关节, 电机位于肩关节, 肘关节没有电机驱动, 如图 7-15 所示。图中 l_1 为主动臂长度, l_{c1} 为主动臂相对于连接点到质心的距离, l_{c2} 为欠驱动臂相对于连接点到质心的距离, q_1 为主动臂相对于水平坐标轴的角度, q_2 为欠驱动臂相对于主动臂的角度, I_1 为主动臂相对于质心转动惯量, I_2 为欠驱动臂相对于质心转动惯量, m_1 为主动臂质量, m_2 为欠驱动臂质量, g 为重力加速度。

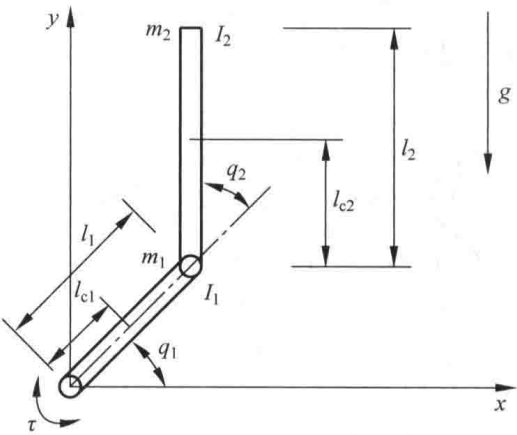


图 7-15 Pendubot 系统动力学模型

二关节 Pendubot 的动力学模型如下：

$$\begin{bmatrix} M_{11} & M_{12} \\ M_{21} & M_{22} \end{bmatrix} \begin{bmatrix} \ddot{q}_1 \\ \ddot{q}_2 \end{bmatrix} + \begin{bmatrix} C_{11} & C_{12} \\ C_{21} & C_{22} \end{bmatrix} \begin{bmatrix} \dot{q}_1 \\ \dot{q}_2 \end{bmatrix} + \begin{bmatrix} G_1 \\ G_2 \end{bmatrix} = \begin{bmatrix} \tau_1 \\ 0 \end{bmatrix} \tag{7.38}$$

其中, $M_{11} = m_1 l_{c1}^2 + m_2 (l_1^2 + l_{c2}^2 + 2l_1 l_{c2} \cos q_2) + (I_1 + I_2)$, $M_{12} = M_{21} = m_2 (l_{c2}^2 + l_1 l_{c2} \cos q_2) + I_2$, $M_{22} = m_2 l_{c2}^2 + I_2$, $C_{11} = -m_2 l_1 l_{c2} \sin(q_2) \dot{q}_2$, $C_{12} = -m_2 l_1 l_{c2} \sin(q_2) (\dot{q}_2 + \dot{q}_1)$, $C_{21} = m_2 l_1 l_{c2} \sin(q_2) \dot{q}_1$, $C_{22} = 0$, $G_1 = (m_1 l_{c1} + m_2 l_1) g \cos q_1 + m_2 l_{c2} g \cos(q_1 + q_2)$, $G_2 = m_2 l_{c2} g \cos(q_1 + q_2)$ 。

通过定义参数, 可将 7 个动力学参数组成最小参数集的 5 个新参数。定义如下：

$$\begin{cases} \theta_1 = m_1 l_{c1}^2 + m_2 l_1^2 + I_1 \\ \theta_2 = m_2 l_{c2}^2 + I_2 \\ \theta_3 = m_2 l_1 l_{c2} \\ \theta_4 = m_1 l_{c1} + m_2 l_1 \\ \theta_5 = m_2 l_{c2} \end{cases}$$

则

$$\begin{cases} M_{11} = \theta_1 + \theta_2 + 2\theta_3 \cos q_2 \\ M_{12} = M_{21} = \theta_2 + \theta_3 \cos q_2 \\ M_{22} = \theta_2 \end{cases}$$

则动力学式(7.38)变为

$$\begin{bmatrix} \theta_1 + \theta_2 + 2\theta_3 \cos(q_2) & \theta_2 + \theta_3 \cos(q_2) \\ \theta_2 + \theta_3 \cos(q_2) & \theta_2 \end{bmatrix} \begin{bmatrix} \ddot{q}_1 \\ \ddot{q}_2 \end{bmatrix} + \theta_3 \sin(q_2) \begin{bmatrix} -\dot{q}_2 & -(\dot{q}_2 + \dot{q}_1) \\ \dot{q}_1 & 0 \end{bmatrix} \begin{bmatrix} \dot{q}_1 \\ \dot{q}_2 \end{bmatrix} + \begin{bmatrix} \theta_4 g \cos(q_1) + \theta_5 g \cos(q_1 + q_2) \\ \theta_5 g \cos(q_1 + q_2) \end{bmatrix} = \begin{bmatrix} \tau_1 \\ 0 \end{bmatrix} \quad (7.39)$$

7.5.4 Pendubot 模型的分析

1. Pendubot 平衡状态的分析

当控制输入力矩 τ_1 为常数时, Pendubot 的平衡状态 $(q_1, q_2, \dot{q}_1, \dot{q}_2) = (q_1, q_2, 0, 0)$, 此时, $\ddot{q}_1 = 0, \ddot{q}_2 = 0$ 。

则由式(7.39)可得 Pendubot 平衡点的约束方程为

$$\begin{cases} \theta_4 g \cos(q_1) + \theta_5 g \cos(q_1 + q_2) = \tau_1 \\ \theta_5 g \cos(q_1 + q_2) = 0 \end{cases} \quad (7.40)$$

平衡状态下 τ_1 很小, 假设 $\frac{\tau_1}{\theta_4 g} \leq 1$, 由于 $q_1 \in (-\pi, \pi], q_2 \in (-\pi, \pi]$, 则可得到平衡点处主动臂和欠驱动臂的角度分别为

$$\begin{cases} q_2 = n \frac{\pi}{2} - q_1, & n = -1, 1, 3 \\ q_1 = \arccos\left(\frac{\tau_1}{\theta_4 g}\right) \end{cases} \quad (7.41)$$

当 $\tau_1 = 0$ 时, Pendubot 处于平衡状态, 通过上式可以得到 Pendubot 在 4 种平衡点处的状态分别为

$$\mathbf{P}_1 = (q_1, q_2, \dot{q}_1, \dot{q}_2) = (-\pi/2, 0, 0, 0)$$

$$\mathbf{P}_2 = (q_1, q_2, \dot{q}_1, \dot{q}_2) = (-\pi/2, \pi, 0, 0)$$

$$\mathbf{P}_3 = (q_1, q_2, \dot{q}_1, \dot{q}_2) = (\pi/2, 0, 0, 0)$$

$$\mathbf{P}_4 = (q_1, q_2, \dot{q}_1, \dot{q}_2) = (\pi/2, \pi, 0, 0)$$

上述 4 种固有平衡状态, 分别对应于 Pendubot 的主动臂和欠驱动臂同时竖直向下、主动臂竖直向下和欠驱动臂竖直向上、主动臂和欠驱动臂同时竖直向上、主动臂竖直向上和欠驱动臂竖直向下四种状态。其中, 只有第一种平衡状态是稳定的, 其余三种都是不稳定的。一个任意小的扰动都会导致 Pendubot 系统远离不稳定的平衡状态, 特别是第三种状态 $\mathbf{P}_3 = (\pi/2, 0, 0, 0)$ 是最难以保持的。

因此, 需要设计既能抗干扰而且鲁棒性又强的控制律, 使得 Pendubot 系统能在其不稳定平衡点处保持稳定。

2. Pendubot 非完整约束性

根据非完整约束阶数的不同, 欠驱动机械手可分为一阶和二阶非完整系统, 其中, 前者具有速度约束不可积, 后者具有加速度约束不可积。Pendubot 系统被看成是一类二阶的非完整约束系统, 具有加速度约束不可积的特性。欠驱动机械系统的可控性和稳定性与可积性密切相关。对于非完整约束系统, 控制难点在于无法用光滑反馈使系统在平衡点附近局

部渐进稳定。针对不同的控制目标,设计非光滑反馈稳定的控制策略。针对 Pendubot 系统的控制一般分为起摆和平衡两个阶段,通过切换控制达到对该非完整约束系统的有效控制。

通过式(7.39)的第二行,可得到在 Pendubot 系统中存在的二阶约束方程如下:

$$(\theta_2 + \theta_3 \cos q_2) \ddot{q}_1 + \theta_2 \ddot{q}_2 + \theta_3 \sin(q_2) \dot{q}_1^2 + \theta_5 g \cos(q_1 + q_2) = 0 \quad (7.42)$$

7.5.5 滑模控制律的设计

以最难以保持的不稳定倒立平衡点 P_3 为例,设计滑模控制律,使其在有限时间内到达平衡点,并且保持稳定。由于 $P_3 = (\pi/2, 0, 0, 0)$, 则各个状态的跟踪误差为

$$e_1 = q_1 - \pi/2, \quad \dot{e}_1 = \dot{q}_1, \quad e_2 = q_2, \quad \dot{e}_2 = \dot{q}_2$$

由式(7.39)可得

$$\begin{bmatrix} \ddot{q}_1 \\ \ddot{q}_2 \end{bmatrix} = M(q)^{-1} [\tau - C(q, \dot{q}) \dot{q} - G(q)] \quad (7.43)$$

$$\text{其中, } M(q) = \begin{bmatrix} \theta_1 + \theta_2 + 2\theta_3 \cos(q_2) & \theta_2 + \theta_3 \cos(q_2) \\ \theta_2 + \theta_3 \cos(q_2) & \theta_2 \end{bmatrix}, H(q, \dot{q}) = C(q, \dot{q}) \dot{q} + G(q)。$$

由于

$$M(q)^{-1} = \frac{M^*}{|M|} = \frac{1}{M_{11}M_{22} - M_{12}M_{21}} \begin{bmatrix} M_{22} & -M_{12} \\ -M_{21} & M_{11} \end{bmatrix}$$

$$H(q, \dot{q}) = C(q, \dot{q}) \dot{q} + G(q)$$

$$\begin{aligned} &= \theta_3 \sin q_2 \begin{bmatrix} -\dot{q}_2 & -(\dot{q}_2 + \dot{q}_1) \\ \dot{q}_1 & 0 \end{bmatrix} \begin{bmatrix} \dot{q}_1 \\ \dot{q}_2 \end{bmatrix} + \begin{bmatrix} \theta_4 g \cos q_1 + \theta_5 g \cos(q_1 + q_2) \\ \theta_5 g \cos(q_1 + q_2) \end{bmatrix} \\ &= \theta_3 \sin q_2 \begin{bmatrix} -2\dot{q}_2 \dot{q}_1 - \dot{q}_2^2 \\ \dot{q}_1^2 \end{bmatrix} + \begin{bmatrix} \theta_4 g \cos q_1 + \theta_5 g \cos(q_1 + q_2) \\ \theta_5 g \cos(q_1 + q_2) \end{bmatrix} \end{aligned}$$

令 $H(q, \dot{q}) = [h_1 \quad h_2]^T$, 则

$$h_1 = -2\theta_3 \sin(q_2) \dot{q}_2 \dot{q}_1 - \theta_3 \sin(q_2) \dot{q}_2^2 + \theta_4 g \cos(q_1) + \theta_5 g \cos(q_1 + q_2)$$

$$h_2 = \theta_3 \sin(q_2) \dot{q}_1^2 + \theta_5 g \cos(q_1 + q_2)$$

从而

$$\begin{aligned} M(q)^{-1} [\tau - C(q, \dot{q}) \dot{q} - G(q)] &= \frac{1}{M_{11}M_{22} - M_{12}M_{21}} \begin{bmatrix} M_{22} & -M_{12} \\ -M_{21} & M_{11} \end{bmatrix} \begin{bmatrix} \tau_1 - h_1 \\ -h_2 \end{bmatrix} \\ &= \frac{1}{M_{11}M_{22} - M_{12}M_{21}} \begin{bmatrix} M_{22}\tau_1 - M_{22}h_1 + M_{12}h_2 \\ -M_{21}\tau_1 + M_{21}h_1 - M_{11}h_2 \end{bmatrix} \\ &= \frac{1}{M_{11}M_{22} - M_{12}M_{21}} \left(\begin{bmatrix} -M_{22}h_1 + M_{12}h_2 \\ M_{21}h_1 - M_{11}h_2 \end{bmatrix} + \begin{bmatrix} M_{22} \\ -M_{21} \end{bmatrix} \tau_1 \right) \end{aligned}$$

则式(7.43)可写为

$$\begin{aligned} \ddot{q}_1 &= f_1 + b_1 \tau_1 + d_1 \\ \ddot{q}_2 &= f_2 + b_2 \tau_1 + d_2 \end{aligned} \quad (7.44)$$

$$\text{其中, } f_1 = \frac{-M_{22}h_1 + M_{12}h_2}{M_{11}M_{22} - M_{12}M_{21}}, b_1 = \frac{M_{22}}{M_{11}M_{22} - M_{12}M_{21}}, f_2 = \frac{M_{21}h_1 - M_{11}h_2}{M_{11}M_{22} - M_{12}M_{21}}, b_2 =$$

$\frac{-M_{21}}{M_{11}M_{22}-M_{12}M_{21}}, d_1, d_2$ 是加在控制输入端的干扰。

控制的目标为 $q_1 \rightarrow \pi/2, \dot{q}_1 \rightarrow 0, q_2 \rightarrow 0, \dot{q}_2 \rightarrow 0$, 定义滑模函数为

$$s = \alpha_1 \dot{e}_1 + \lambda_1 e_1 + \alpha_2 \dot{e}_2 + \lambda_2 e_2 = \alpha_1 \dot{e}_1 + \alpha_2 \dot{e}_2 + s_r \quad (7.45)$$

其中, $s_r = \lambda_1 e_1 + \lambda_2 e_2$, $\alpha_1, \lambda_1, \alpha_2$ 和 λ_2 分别为滑模面系数。

于是

$$\begin{aligned} \dot{s} &= \alpha_1 \ddot{e}_1 + \alpha_2 \ddot{e}_2 + \dot{s}_r = \alpha_1 \ddot{q}_1 + \alpha_2 \ddot{q}_2 + \dot{s}_r \\ &= \alpha_1 (f_1 + b_1 \tau_1 + d_1) + \alpha_2 (f_2 + b_2 \tau_1 + d_2) + \dot{s}_r \\ &= (\alpha_1 b_1 + \alpha_2 b_2) \tau_1 + \alpha_1 f_1 + \alpha_1 d_1 + \alpha_2 f_2 + \alpha_2 d_2 + \dot{s}_r \end{aligned}$$

设计滑模控制律为

$$\tau_1 = -\frac{1}{\alpha_1 b_1 + \alpha_2 b_2} (\alpha_1 f_1 + \alpha_2 f_2 + \dot{s}_r + \eta \operatorname{sgn}(s) + ks) \quad (7.46)$$

其中, $\eta = |\alpha_1| \bar{d}_1 + |\alpha_2| \bar{d}_2, |d_1| < \bar{d}_1, |d_2| < \bar{d}_2, \eta > 0, k > 0$ 。

于是

$$\begin{aligned} \dot{s} &= \alpha_1 \ddot{e}_1 + \alpha_2 \ddot{e}_2 + \dot{s}_r = \alpha_1 \ddot{q}_1 + \alpha_2 \ddot{q}_2 + \dot{s}_r \\ &= \alpha_1 (f_1 + b_1 \tau_1 + d_1) + \alpha_2 (f_2 + b_2 \tau_1 + d_2) + \dot{s}_r \\ &= (\alpha_1 b_1 + \alpha_2 b_2) \tau_1 + \alpha_1 f_1 + \alpha_2 f_2 + \dot{s}_r + \alpha_1 d_1 + \alpha_2 d_2 \\ &= -(\eta \operatorname{sgn}(s) + ks) + \alpha_1 d_1 + \alpha_2 d_2 \end{aligned}$$

设计 Lyapunov 函数为 $V = \frac{1}{2} s^2$, 则

$$\dot{V} = s \dot{s} = -\eta |s| - ks^2 + s(\alpha_1 d_1 + \alpha_2 d_2) \leq -ks^2 = -2kV$$

采用引理 6.1, 针对不等式方程 $\dot{V} \leq -\frac{k}{2}V$, 有 $\alpha = \frac{k}{2}, f=0$, 解为

$$V(t) \leq e^{-\frac{k}{2}(t-t_0)} V(t_0)$$

可见, $V(t)$ 指数收敛至零, 收敛速度取决于 k 。指数项 $-ks$ 能保证当 s 较大时, 滑模函数能以较大的速度趋近于滑动模态。因此, 指数趋近律尤其适合解决具有大阶跃的响应控制问题。

注: 由函数 s 的表达式可知, 上述分析中, 滑模控制律只能实现对 $s \rightarrow 0$ 的鲁棒控制, 但不能实现 $q_1 \rightarrow \pi/2, \dot{q}_1 \rightarrow 0, q_2 \rightarrow 0, \dot{q}_2 \rightarrow 0$ 。

为了实现 $q_1 \rightarrow \pi/2, \dot{q}_1 \rightarrow 0, q_2 \rightarrow 0, \dot{q}_2 \rightarrow 0$, 需要进行闭环系统分析, 从而通过设计滑模函数中的系数, 实现控制的目标。

由于基于 Hurwitz 稳定性判据的控制器设计方法不具有鲁棒性, 因而在下面的闭环系统分析中, 取 $d_1 = 0, d_2 = 0$ 。

7.5.6 闭环稳定性分析

通过上面分析可知, $s \dot{s} \leq 0$ 成立, 则存在 $t > t_0, s = 0$ 。当 $s = 0$ 时, 有 $s = \alpha_1 \dot{e}_1 + \lambda_1 e_1 + \alpha_2 \dot{e}_2 + \lambda_2 e_2 = 0$, 由于 $e_1 = q_1 - \pi/2, \dot{e}_1 = \dot{q}_1, e_2 = q_2, \dot{e}_2 = \dot{q}_2$, 则

$$\alpha_1 \dot{q}_1 + \lambda_1 (q_1 - \pi/2) + \alpha_2 \dot{q}_2 + \lambda_2 q_2 = 0 \quad (7.47)$$

由于

$$\alpha_1 b_1 + \alpha_2 b_2 = \alpha_1 \frac{\theta_2}{\theta_1 \theta_2 - \theta_3^2 \cos^2 q_2} - \alpha_2 \frac{\theta_2 + \theta_3 \cos q_2}{\theta_1 \theta_2 - \theta_3^2 \cos^2 q_2} = \frac{\alpha_1 \theta_2 - \alpha_2 (\theta_2 + \theta_3 \cos q_2)}{\theta_1 \theta_2 - \theta_3^2 \cos^2 q_2}$$

$$\mathbf{M}_{11} \mathbf{M}_{22} - \mathbf{M}_{12} \mathbf{M}_{21} = (\theta_1 + \theta_2 + 2\theta_3 \cos q_2) \theta_2 - (\theta_2 + \theta_3 \cos q_2)^2 = \theta_1 \theta_2 - \theta_3^2 \cos^2 q_2$$

当 $s=0$ 时, 控制律为 $\tau_1 = -\frac{1}{\alpha_1 b_1 + \alpha_2 b_2} (\alpha_1 f_1 + \alpha_2 f_2 + \dot{s}_r)$, 则

$$\begin{aligned} \ddot{q}_2 &= f_2 + b_2 \tau_1 + d_2 = f_2 - \frac{b_2}{\alpha_1 b_1 + \alpha_2 b_2} (\alpha_1 f_1 + \alpha_2 f_2 + \dot{s}_r) \\ &= \frac{f_2 (\alpha_1 b_1 + \alpha_2 b_2) - b_2 (\alpha_1 f_1 + \alpha_2 f_2 + \dot{s}_r)}{\alpha_1 b_1 + \alpha_2 b_2} = \frac{f_2 \alpha_1 b_1 - b_2 \alpha_1 f_1 - b_2 \dot{s}_r}{\alpha_1 b_1 + \alpha_2 b_2} \end{aligned}$$

由于

$$\begin{aligned} f_2 \alpha_1 b_1 - b_2 \alpha_1 f_1 &= \alpha_1 \frac{\mathbf{M}_{22} (\mathbf{M}_{21} h_1 - \mathbf{M}_{11} h_2)}{(\mathbf{M}_{11} \mathbf{M}_{22} - \mathbf{M}_{12} \mathbf{M}_{21})^2} + \alpha_1 \frac{\mathbf{M}_{21} (-\mathbf{M}_{22} h_1 + \mathbf{M}_{12} h_2)}{(\mathbf{M}_{11} \mathbf{M}_{22} - \mathbf{M}_{12} \mathbf{M}_{21})^2} \\ &= \alpha_1 \frac{\mathbf{M}_{22} (\mathbf{M}_{21} h_1 - \mathbf{M}_{11} h_2) + \mathbf{M}_{21} (-\mathbf{M}_{22} h_1 + \mathbf{M}_{12} h_2)}{(\mathbf{M}_{11} \mathbf{M}_{22} - \mathbf{M}_{12} \mathbf{M}_{21})^2} \end{aligned}$$

$$= \alpha_1 \frac{\mathbf{M}_{22} (-\mathbf{M}_{11} h_2) + \mathbf{M}_{21} (\mathbf{M}_{12} h_2)}{(\mathbf{M}_{11} \mathbf{M}_{22} - \mathbf{M}_{12} \mathbf{M}_{21})^2}$$

$$= \alpha_1 \frac{-(\mathbf{M}_{22} \mathbf{M}_{11} - \mathbf{M}_{21} \mathbf{M}_{12}) h_2}{(\mathbf{M}_{11} \mathbf{M}_{22} - \mathbf{M}_{12} \mathbf{M}_{21})^2} = -\alpha_1 \frac{h_2}{\mathbf{M}_{11} \mathbf{M}_{22} - \mathbf{M}_{12} \mathbf{M}_{21}}$$

$$\alpha_1 b_1 + \alpha_2 b_2 = \alpha_1 \frac{\mathbf{M}_{22}}{\mathbf{M}_{11} \mathbf{M}_{22} - \mathbf{M}_{12} \mathbf{M}_{21}} + \alpha_2 \frac{-\mathbf{M}_{21}}{\mathbf{M}_{11} \mathbf{M}_{22} - \mathbf{M}_{12} \mathbf{M}_{21}} = \frac{\alpha_1 \mathbf{M}_{22} - \alpha_2 \mathbf{M}_{21}}{\mathbf{M}_{11} \mathbf{M}_{22} - \mathbf{M}_{12} \mathbf{M}_{21}}$$

则

$$\begin{aligned} \ddot{q}_2 &= \frac{f_2 \alpha_1 b_1 - b_2 \alpha_1 f_1 - b_2 \dot{s}_r}{\alpha_1 b_1 + \alpha_2 b_2} = \frac{-\alpha_1 \frac{h_2}{\mathbf{M}_{11} \mathbf{M}_{22} - \mathbf{M}_{12} \mathbf{M}_{21}}}{\frac{\alpha_1 \mathbf{M}_{22} - \alpha_2 \mathbf{M}_{21}}{\mathbf{M}_{11} \mathbf{M}_{22} - \mathbf{M}_{12} \mathbf{M}_{21}}} - \frac{\frac{-\mathbf{M}_{21}}{\mathbf{M}_{11} \mathbf{M}_{22} - \mathbf{M}_{12} \mathbf{M}_{21}} \dot{s}_r}{\frac{\alpha_1 \mathbf{M}_{22} - \alpha_2 \mathbf{M}_{21}}{\mathbf{M}_{11} \mathbf{M}_{22} - \mathbf{M}_{12} \mathbf{M}_{21}}} \\ &= \frac{-\alpha_1 h_2}{\alpha_1 \mathbf{M}_{22} - \alpha_2 \mathbf{M}_{21}} + \frac{\mathbf{M}_{21} \dot{s}_r}{\alpha_1 \mathbf{M}_{22} - \alpha_2 \mathbf{M}_{21}} \end{aligned}$$

将 h_2 、 \mathbf{M}_{21} 、 $\alpha_1 \mathbf{M}_{22} - \alpha_2 \mathbf{M}_{21} = \alpha_1 \theta_2 - \alpha_2 (\theta_2 + \theta_3 \cos q_2)$ 代入可得

$$\ddot{q}_2 = \frac{-\alpha_1 (\theta_3 \sin(q_2) \dot{q}_1 \dot{q}_1 + \theta_5 g \cos(q_1 + q_2))}{\alpha_1 \theta_2 - \alpha_2 (\theta_2 + \theta_3 \cos q_2)} + \frac{(\theta_2 + \theta_3 \cos q_2) \dot{s}_r}{\alpha_1 \theta_2 - \alpha_2 (\theta_2 + \theta_3 \cos q_2)}$$

由以上分析可得

$$\dot{q}_1 = -\frac{\lambda_1}{\alpha_1} \left(q_1 - \frac{\pi}{2} \right) - \frac{\alpha_2}{\alpha_1} \dot{q}_2 - \frac{\lambda_2}{\alpha_1} q_2 \quad (7.48)$$

$$\ddot{q}_2 = \frac{-\alpha_1 (\theta_3 \sin(q_2) \dot{q}_1 \dot{q}_1 + \theta_5 g \cos(q_1 + q_2))}{\alpha_1 \theta_2 - \alpha_2 (\theta_2 + \theta_3 \cos q_2)} + \frac{\theta_2 + \theta_3 \cos q_2}{\alpha_1 \theta_2 - \alpha_2 (\theta_2 + \theta_3 \cos q_2)} (\lambda_1 \dot{q}_1 + \lambda_2 \dot{q}_2) \quad (7.49)$$

令 $y_1 = q_2$, $y_2 = \dot{q}_2$, $y_3 = q_1 - \pi/2$, 则可得如下降阶系统

$$\begin{aligned}
\dot{y}_1 &= y_2 \\
\dot{y}_2 &= \frac{-\alpha_1 \left[\theta_3 \sin(y_1) \left(-\frac{\lambda_2}{\alpha_1} y_1 - \frac{\alpha_2}{\alpha_1} y_2 - \frac{\lambda_1}{\alpha_1} y_3 \right)^2 + \theta_5 g \cos\left(y_1 + \frac{\pi}{2} + y_3\right) \right]}{\alpha_1 \theta_2 - \alpha_2 (\theta_2 + \theta_3 \cos y_1)} + \\
&\quad \frac{\theta_2 + \theta_3 \cos y_1}{\alpha_1 \theta_2 - \alpha_2 (\theta_2 + \theta_3 \cos y_1)} \left[-\frac{\lambda_1 \lambda_2}{\alpha_1} y_1 + \left(\lambda_2 - \frac{\lambda_1 \alpha_2}{\alpha_1} \right) y_2 - \frac{\lambda_1 \lambda_1}{\alpha_1} y_3 \right] \\
\dot{y}_3 &= -\frac{\lambda_2}{\alpha_1} y_1 - \frac{\alpha_2}{\alpha_1} y_2 - \frac{\lambda_1}{\alpha_1} y_3
\end{aligned} \quad (7.50)$$

下面考虑 Pendubot 系统其不稳定倒立上平衡点 $\mathbf{P}_3 = (q_1, q_2, \dot{q}_1, \dot{q}_2) = (\pi/2, 0, 0, 0)$ 附近的控制问题, 首先针对式(7.50)进行线性化, 由于 $y_1 \rightarrow 0, y_2 \rightarrow 0, y_3 \rightarrow 0$, 则

$$\theta_5 g \cos\left(y_1 + \frac{\pi}{2} + y_3\right) = -\theta_5 g \sin(y_1 + y_3) \approx -\theta_5 g y_1 - \theta_5 g y_3$$

$$\dot{y}_2 = \frac{\alpha_1 (\theta_5 g y_1 + \theta_5 g y_3)}{\alpha_1 \theta_2 - \alpha_2 (\theta_2 + \theta_3)} + \frac{\theta_2 + \theta_3}{\alpha_1 \theta_2 - \alpha_2 (\theta_2 + \theta_3)} \left[-\frac{\lambda_1 \lambda_2}{\alpha_1} y_1 + \left(\lambda_2 - \frac{\lambda_1 \alpha_2}{\alpha_1} \right) y_2 - \frac{\lambda_1 \lambda_1}{\alpha_1} y_3 \right]$$

则式(7.50)可近似为系统 $\dot{\mathbf{y}} = \mathbf{A}\mathbf{y}$, 其中

$$\mathbf{A} = \begin{bmatrix} 0 & 1 & 0 \\ A_{21} & A_{22} & A_{23} \\ -\frac{\lambda_2}{\alpha_1} & -\frac{\alpha_2}{\alpha_1} & -\frac{\lambda_1}{\alpha_1} \end{bmatrix}_{(y_1=0, y_2=0, y_3=0)} \quad (7.51)$$

$$\text{其中, } A_{21} = \frac{\alpha_1 \theta_5 g - (\theta_2 + \theta_3) \left(\frac{\lambda_1 \lambda_2}{\alpha_1} \right)}{\alpha_1 \theta_2 - \alpha_2 (\theta_2 + \theta_3)}, A_{22} = \frac{(\theta_2 + \theta_3) \left(\lambda_2 - \frac{\lambda_1 \alpha_2}{\alpha_1} \right)}{\alpha_1 \theta_2 - \alpha_2 (\theta_2 + \theta_3)}, A_{23} = \frac{\alpha_1 \theta_5 g - (\theta_2 + \theta_3) \frac{\lambda_1^2}{\alpha_1}}{\alpha_1 \theta_2 - \alpha_2 (\theta_2 + \theta_3)}.$$

当状态矩阵 \mathbf{A} 满足 Hurwitz 稳定性判据时, 对于正定矩阵 \mathbf{Q} , 一定存在正定矩阵 \mathbf{P} , 使得 $\mathbf{A}^T \mathbf{P} + \mathbf{P} \mathbf{A} = -\mathbf{Q}$ 。令 Lyapunov 函数为 $V_1 = \mathbf{y}^T \mathbf{P} \mathbf{y}$, 则

$$\begin{aligned}
\dot{V}_1 &= \dot{\mathbf{y}}^T \mathbf{P} \mathbf{y} + \mathbf{y}^T \mathbf{P} \dot{\mathbf{y}} = (\mathbf{A} \mathbf{y})^T \mathbf{P} \mathbf{y} + \mathbf{y}^T \mathbf{P} (\mathbf{A} \mathbf{y}) \\
&= \mathbf{y}^T (\mathbf{A}^T \mathbf{P} + \mathbf{P} \mathbf{A}) \mathbf{y} = -\mathbf{y}^T \mathbf{Q} \mathbf{y} \leq -\|\mathbf{y}^T \mathbf{Q} \mathbf{y}\|_2 \leq -\lambda_{\min}(\mathbf{Q}) \|\mathbf{y}\|_2^2 \leq 0
\end{aligned}$$

其中, $\lambda_{\min}(\mathbf{Q})$ 是正定矩阵 \mathbf{Q} 最小特征值。

根据 LaSalle 不变性原理, 当 $\dot{V}_1 \equiv 0$ 时, $\mathbf{y} \equiv 0$, 则 $t \rightarrow \infty$ 时, $\mathbf{y} \rightarrow 0$, 系统的收敛速度取决于 \mathbf{Q} 。

根据 $y_1 = q_2, y_2 = \dot{q}_2, y_3 = q_1 - \pi/2$, 则 $t \rightarrow \infty$ 时, $q_2 \rightarrow 0, \dot{q}_2 \rightarrow 0, q_1 \rightarrow \pi/2$ 。考虑到 $e_1 = q_1 - \pi/2, \dot{e}_1 = \dot{q}_1, e_2 = q_2, \dot{e}_2 = \dot{q}_2$, 由于 $t \rightarrow \infty$ 时, $s = \alpha_1 \dot{e}_1 + \lambda_1 e_1 + \alpha_2 \dot{e}_2 + \lambda_2 e_2 \rightarrow 0$, 则 $\dot{q}_1 \rightarrow 0$ 。

7.5.7 基于 Hurwitz 的参数设计

根据 \mathbf{A} 满足 Hurwitz 稳定性判据, 求解满足滑模面参数 $\alpha_1, \lambda_1, \alpha_2$ 和 λ_2 。根据式(7.47), 当系统的运动轨迹到达滑模面时, 四个参数中只有三个是独立变量, 另一个是非独立变量, 不妨取 $\alpha_1 = 1$, 则有

$$A_{21} = \frac{\theta_5 g - \lambda_1 \lambda_2 (\theta_2 + \theta_3)}{\theta_2 - \alpha_2 (\theta_2 + \theta_3)}, \quad A_{22} = \frac{(\theta_2 + \theta_3) (\lambda_2 - \lambda_1 \alpha_2)}{\theta_2 - \alpha_2 (\theta_2 + \theta_3)}, \quad A_{23} = \frac{\theta_5 g - \lambda_1^2 (\theta_2 + \theta_3)}{\theta_2 - \alpha_2 (\theta_2 + \theta_3)}$$

且

$$\mathbf{A} = \begin{bmatrix} 0 & 1 & 0 \\ A_{21} & A_{22} & A_{23} \\ -\lambda_2 & -\alpha_2 & -\lambda_1 \end{bmatrix} \quad (7.52)$$

则

$$\begin{aligned} |\lambda \mathbf{I} - \mathbf{A}| &= \begin{vmatrix} \lambda & -1 & 0 \\ -A_{21} & \lambda - A_{22} & -A_{23} \\ \lambda_2 & \alpha_2 & \lambda + \lambda_1 \end{vmatrix} \\ &= \lambda(\lambda - A_{22})(\lambda + \lambda_1) + \lambda_2 A_{23} + \lambda \alpha_2 A_{23} - (\lambda + \lambda_1) A_{21} \\ &= \lambda^3 + (\lambda_1 - A_{22})\lambda^2 - A_{22}\lambda_1\lambda + \lambda_2 A_{23} + \lambda \alpha_2 A_{23} - (\lambda + \lambda_1) A_{21} \\ &= \lambda^3 + (\lambda_1 - A_{22})\lambda^2 + (-A_{22}\lambda_1 + \alpha_2 A_{23} - A_{21})\lambda + (-\lambda_1 A_{21} + \lambda_2 A_{23}) \end{aligned} \quad (7.53)$$

\mathbf{A} 的特征方程为

$$\lambda^3 + (\lambda_1 - A_{22})\lambda^2 + (-A_{22}\lambda_1 + \alpha_2 A_{23} - A_{21})\lambda + (-\lambda_1 A_{21} + \lambda_2 A_{23}) = 0$$

三阶系统特征方程一般形式为

$$a_0\lambda^3 + a_1\lambda^2 + a_2\lambda + a_3 = 0 \quad (7.54)$$

从而得到

$$\begin{aligned} a_0 &= 1 \\ a_1 &= \lambda_1 - A_{22} \\ a_2 &= -A_{22}\lambda_1 + \alpha_2 A_{23} - A_{21} \\ a_3 &= -\lambda_1 A_{21} + \lambda_2 A_{23} \end{aligned} \quad (7.55)$$

定义 $\theta_2 + \theta_3 = \theta$, $\theta_2 - \alpha_2\theta = N$, 则 $A_{21} = \frac{\theta_5 g - \lambda_1 \lambda_2 \theta}{N}$, $A_{22} = \frac{\theta(\lambda_2 - \lambda_1 \alpha_2)}{N}$, $A_{23} = \frac{\theta_5 g - \lambda_1^2 \theta}{N}$ 。

于是

$$\begin{aligned} a_1 &= \lambda_1 - \frac{\theta(\lambda_2 - \lambda_1 \alpha_2)}{N} = \frac{\lambda_1(\theta_2 - \alpha_2\theta) - \theta(\lambda_2 - \lambda_1 \alpha_2)}{N} = \frac{\lambda_1\theta_2 - \lambda_2\theta}{N} \\ a_2 &= -\frac{\theta(\lambda_2 - \lambda_1 \alpha_2)}{N}\lambda_1 + \alpha_2 \frac{\theta_5 g - \lambda_1^2 \theta}{N} - \frac{\theta_5 g - \lambda_1 \lambda_2 \theta}{N} \\ &= \frac{-\theta\lambda_1\lambda_2 + \theta\lambda_1^2\alpha_2 + \theta_5 g\alpha_2 - \lambda_1^2\theta\alpha_2 - \theta_5 g + \lambda_1\lambda_2\theta}{N} \\ &= \frac{\theta_5 g\alpha_2 - \theta_5 g}{N} = \frac{\theta_5 g(\alpha_2 - 1)}{N} \\ a_3 &= -\lambda_1 \frac{\theta_5 g - \lambda_1 \lambda_2 \theta}{N} + \lambda_2 \frac{\theta_5 g - \lambda_1^2 \theta}{N} \\ &= \frac{-\lambda_1(\theta_5 g - \lambda_1 \lambda_2 \theta) + \lambda_2(\theta_5 g - \lambda_1^2 \theta)}{N} = \frac{\theta_5 g(\lambda_2 - \lambda_1)}{N} \end{aligned}$$

由 $a_2 = \frac{\theta_5 g(\alpha_2 - 1)}{N}$ 可得 $a_2 = \frac{\theta_5 g(\alpha_2 - 1)}{\theta_2 - \alpha_2\theta}$, 即 $a_2\theta_2 + \theta_5 g = \alpha_2(\theta_5 g + a_2\theta)$, 从而

$$\alpha_2 = \frac{a_2\theta_2 + \theta_5 g}{\theta_5 g + a_2\theta} \quad (7.56)$$

由 $a_1 = \frac{\lambda_1 \theta_2 - \lambda_2 \theta}{N} = \frac{\lambda_1 \theta_2 - \lambda_2 (\theta_2 + \theta_3)}{N} = \frac{(\lambda_1 - \lambda_2) \theta_2 - \lambda_2 \theta_3}{N}$ 可得 $\lambda_1 - \lambda_2 = \frac{a_1 N + \lambda_2 \theta_3}{\theta_2}$, 由 $a_3 = \frac{\theta_5 g (\lambda_2 - \lambda_1)}{N}$ 可得 $\lambda_1 - \lambda_2 = -\frac{a_3 N}{\theta_5 g}$, 则 $\frac{a_1 N + \lambda_2 \theta_3}{\theta_2} = -\frac{a_3 N}{\theta_5 g}$, 即 $\lambda_2 \theta_3 = -\frac{a_3 N \theta_2}{\theta_5 g} - a_1 N = -\frac{(a_1 \theta_5 g + a_3 \theta_2) N}{\theta_5 g}$, 从而

$$\lambda_2 = -\frac{(a_1 \theta_5 g + a_3 \theta_2) N}{\theta_3 \theta_5 g} \quad (7.57)$$

$$\lambda_1 = \lambda_2 - \frac{a_3 N}{\theta_5 g} \quad (7.58)$$

为了抑制扰动, 实现 $\gamma < \lambda_{\text{left}}(-\mathbf{A})$, 需要将 \mathbf{A} 在左半面的极点设计得大些。

7.5.8 仿真实例

被控对象取式 (7.44), 根据机械手的物理参数, 取 $\theta_1 = 0.0104$, $\theta_2 = 0.0052$, $\theta_3 = 0.0047$, $\theta_4 = 0.0805$, $\theta_5 = 0.0344$, 取 $d_1 = 0$, $d_2 = 0$ 。

按 $(\lambda + 3)^3 = 0$ 设计 \mathbf{A} 的极点, 此时 $\lambda^3 + 9\lambda^2 + 27\lambda + 27 = 0$, 可得 $a_1 = 9$, $a_2 = 27$, $a_3 = 27$ 。根据式 (7.56)~式 (7.58) 设计 α_2 , λ_2 和 λ_1 。控制律式 (7.46) 中, 取 $k = 10$, 按式 $\eta = \alpha_1 \bar{d}_1 + \alpha_2 \bar{d}_2 + \rho$ 设计 η 。针对不稳定倒立平衡点 P_3 , 使初始位置为 $(q_1, q_2, \dot{q}_1, \dot{q}_2) = (\pi/2 - 0.01, 0, 0, 0)$, 为减小控制输入抖振, 仿真中使用边界层厚度 0.05 的饱和函数近似代替符号函数, 仿真结果如图 7-16~图 7-18 所示。

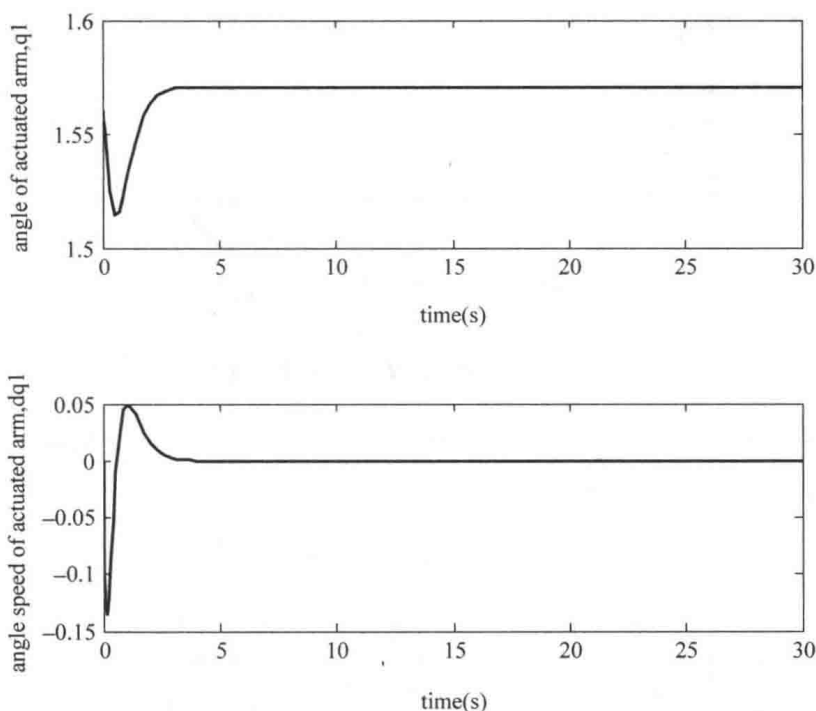


图 7-16 主动臂角位置和角速度输出

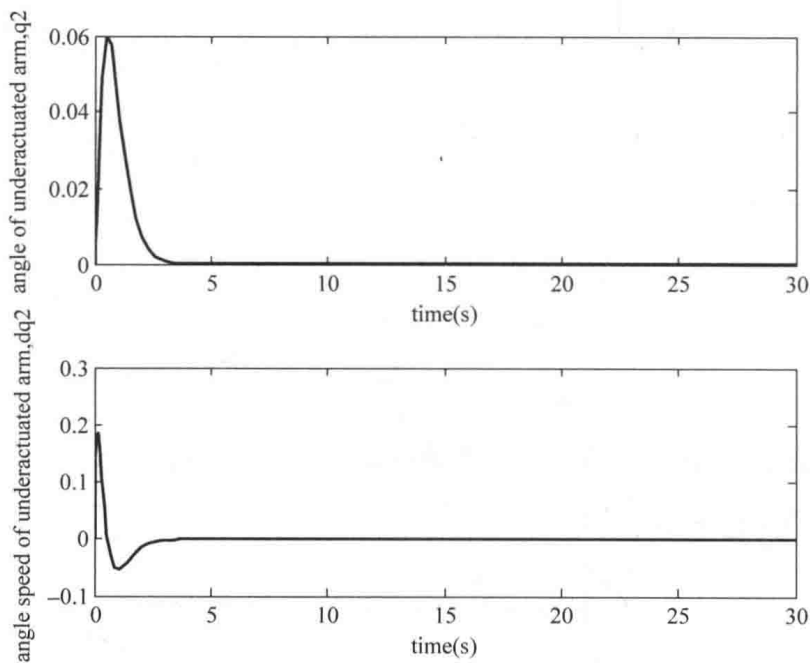


图 7-17 欠驱动臂角度和角速度输出

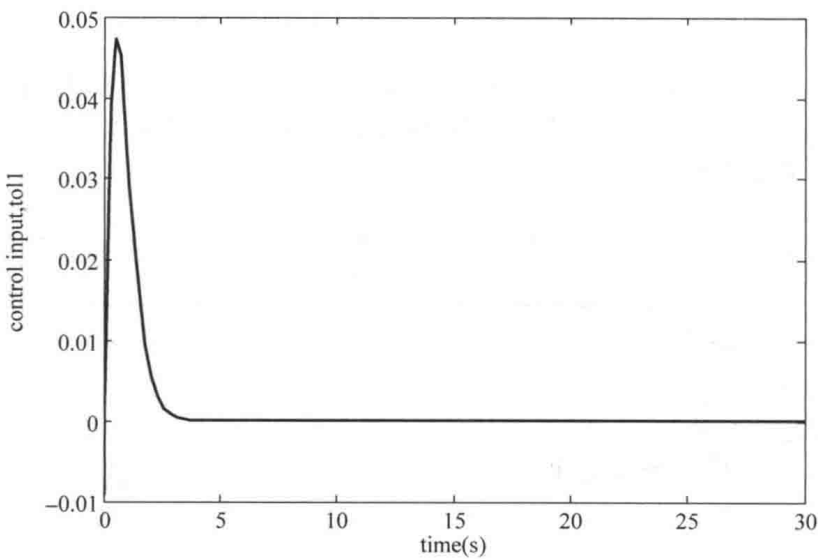
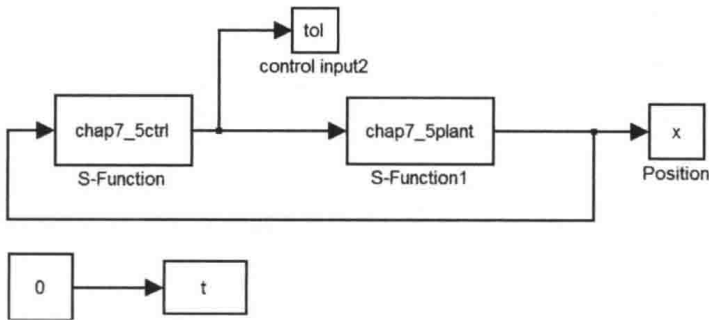


图 7-18 控制输入信号

仿真程序如下：
(1) Simulink 主程序：chap7_5sim.mdl。



(2) 控制器子程序: chap7_5ctrl.m。

```
function [sys,x0,str,ts] = spacemodel(t,x,u,flag)
switch flag,
case 0,
    [sys,x0,str,ts] = mdlInitializeSizes;
case 3,
    sys = mdlOutputs(t,x,u);
case {2,4,9}
    sys = [];
otherwise
    error(['Unhandled flag = ',num2str(flag)]);
end
function [sys,x0,str,ts] = mdlInitializeSizes
sizes = simsizes;
sizes.NumContStates = 0;
sizes.NumDiscStates = 0;
sizes.NumOutputs = 1;
sizes.NumInputs = 4;
sizes.DirFeedthrough = 1;
sizes.NumSampleTimes = 1;
sys = simsizes(sizes);
x0 = [];
str = [];
ts = [0 0];
function sys = mdlOutputs(t,x,u)
q1 = u(1);dq1 = u(2);
q2 = u(3);dq2 = u(4);

theta1 = 0.0104;theta2 = 0.0052;theta3 = 0.0047;theta4 = 0.0805;theta5 = 0.0344;
g = 9.8;

m11 = theta1 + theta2 + 2 * theta3 * cos(q2);
m12 = theta2 + theta3 * cos(q2);
m21 = m12;
m22 = theta2;

h1 = - 2 * theta3 * sin(q2) * dq2 * dq1 - theta3 * sin(q2) * dq2^2 + theta4 * g * cos(q1) + theta5 *
g * cos(q1 + q2);
h2 = theta3 * sin(q2) * dq1^2 + theta5 * g * cos(q1 + q2);
m0 = m11 * m22 - m21 * m12;

f1 = ( - m22 * h1 + m12 * h2)/m0;
b1 = m22/m0;
f2 = (m21 * h1 - m11 * h2)/m0;
b2 = - m21/m0;

a1 = 9;a2 = 27;a3 = 27;
theta = theta2 + theta3;
alfa1 = 1.0;
alfa2 = (a2 * theta2 + theta5 * g)/(theta5 * g + a2 * theta);
```

```

N = theta2 - alfa2 * theta;
lambda2 = - (a1 * theta5 * g + a3 * theta2) * N / (theta3 * theta5 * g);
lambda1 = lambda2 - a3 * N / (theta5 * g);

e1 = q1 - pi/2; de1 = dq1;
e2 = q2; de2 = dq2;

s = alfa1 * de1 + lambda1 * e1 + alfa2 * de2 + lambda2 * e2;

d1_max = 0.0; d2_max = 0.0;
xite = alfa1 * d1_max + alfa2 * d2_max + 0.10;
k = 10;

% Saturated function
delta = 0.05;
kk = 1/delta;
if abs(s) > delta
    sats = sign(s);
else
    sats = kk * s;
end
sr = lambda1 * e1 + lambda2 * e2;
dsr = lambda1 * de1 + lambda2 * de2;
ut = -1/(alfa1 * b1 + alfa2 * b2) * (alfa1 * f1 + alfa2 * f2 + dsr + xite * sats + k * s);
% ut = -1/(alfa1 * b1 + alfa2 * b2) * (alfa1 * f1 + alfa2 * f2 + dsr + xite * sign(s) + k * s);

sys(1) = ut;

```

(3) 被控对象程序：chap7_5plant.m。

```

function [sys,x0,str,ts] = spacemodel(t,x,u,flag) % From chap13_2plant.m in PID Book
switch flag,
case 0,
    [sys,x0,str,ts] = mdlInitializeSizes;
case 1,
    sys = mdlDerivatives(t,x,u);
case 3,
    sys = mdlOutputs(t,x,u);
case {2,4,9}
    sys = [];
otherwise
    error(['Unhandled flag = ',num2str(flag)]);
end
function [sys,x0,str,ts] = mdlInitializeSizes
sizes = simsizes;
sizes.NumContStates = 4;
sizes.NumDiscStates = 0;
sizes.NumOutputs = 4;
sizes.NumInputs = 1;
sizes.DirFeedthrough = 0;

```

```

sizes.NumSampleTimes = 1;
sys = simsizes(sizes);
x0 = [pi/2 - 0.01, 0, 0, 0];
str = [];
ts = [0 0];
function sys = mdlDerivatives(t, x, u)
theta1 = 0.0104;
theta2 = 0.0052;
theta3 = 0.0047;
theta4 = 0.0805;
theta5 = 0.0344;
g = 9.8;

q1 = x(1); dq1 = x(2); q2 = x(3); dq2 = x(4);

m11 = theta1 + theta2 + 2 * theta3 * cos(q2);
m12 = theta2 + theta3 * cos(q2);
m21 = m12;
m22 = theta2;

h1 = - 2 * theta3 * sin(q2) * dq2 * dq1 - theta3 * sin(q2) * dq2^2 + theta4 * g * cos(q1) + theta5 *
g * cos(q1 + q2);
h2 = theta3 * sin(q2) * dq1^2 + theta5 * g * cos(q1 + q2);

m0 = m11 * m22 - m21 * m12;

f1 = ( - m22 * h1 + m12 * h2) / m0;
b1 = m22 / m0;
f2 = (m21 * h1 - m11 * h2) / m0;
b2 = - m21 / m0;

d1 = 0;
d2 = 0;

tol = u(1);
sys(1) = x(2);
sys(2) = f1 + b1 * tol + d1;           % ddq1
sys(3) = x(4);
sys(4) = f2 + b2 * tol + d2;           % ddq2
function sys = mdlOutputs(t, x, u)
sys(1) = x(1);
sys(2) = x(2);
sys(3) = x(3);
sys(4) = x(4);

```

(4) 作图程序: chap7_5plot.m。

```

close all;

figure(1);
subplot(211);

```

```

plot(t,x(:,1),'k','linewidth',2);
xlabel('time(s)');ylabel('angle of actuated arm,q1');
subplot(212);
plot(t,x(:,2),'k','linewidth',2);
xlabel('time(s)');ylabel('angle speed of actuated arm,dq1');
figure(2);
subplot(211);
plot(t,x(:,3),'k','linewidth',2);
xlabel('time(s)');ylabel('angle of underactuated arm,q2');
subplot(212);
plot(t,x(:,4),'k','linewidth',2);
xlabel('time(s)');ylabel('angle speed of underactuated arm,dq2');

figure(3);
plot(t,tol(:,1),'k','linewidth',2);
xlabel('time(s)');ylabel('control input,tol1');

```

附录

1. 机器人动力学表达式(7.13)的推导

根据牛顿力学原理,机械臂动力学方程形式为

$$\begin{bmatrix} \alpha + 2\varepsilon \cos(q_2) + 2\eta \sin(q_2) & \beta + \varepsilon \cos(q_2) + \eta \sin(q_2) \\ \beta + \varepsilon \cos(q_2) + \eta \sin(q_2) & \beta \end{bmatrix} \begin{bmatrix} \ddot{q}_1 \\ \ddot{q}_2 \end{bmatrix} + \begin{bmatrix} \varepsilon Y_1 + \eta Y_2 + (\alpha - \beta + e_1)e_2 \cos(q_1) \\ \varepsilon Y_3 + \eta Y_4 \end{bmatrix} = \begin{bmatrix} \tau_1 \\ \tau_2 \end{bmatrix} \quad (1)$$

其中,

$$Y_1 = -2\sin(q_2)\dot{q}_1\dot{q}_2 - \sin(q_2)\dot{q}_2^2 + e_2\cos(q_1 + q_2)$$

$$Y_2 = 2\cos(q_2)\dot{q}_1\dot{q}_2 + \cos(q_2)\dot{q}_2^2 + e_2\sin(q_1 + q_2)$$

$$Y_3 = \sin(q_2)\dot{q}_1^2 + e_2\cos(q_1 + q_2)$$

$$Y_4 = -\cos(q_2)\dot{q}_1^2 + e_2\sin(q_1 + q_2)$$

$$e_1 = m_1 l_1 l_{c1} - I_1 - m_1 l_1^2$$

$$e_2 = g/l_1, \quad g \text{ 为重力加速度}$$

由 Y_1, Y_2, Y_3, Y_4 的定义,可知

$$\begin{aligned}
 & \varepsilon Y_1 + \eta Y_2 + (\alpha - \beta + e_1)e_2 \cos(q_1) \\
 &= \varepsilon(-2\sin(q_2)\dot{q}_1\dot{q}_2 - \sin(q_2)\dot{q}_2^2 + e_2\cos(q_1 + q_2)) + \eta(2\cos(q_2)\dot{q}_1\dot{q}_2 + \cos(q_2)\dot{q}_2^2 + e_2\sin(q_1 + q_2)) + (\alpha - \beta + e_1)e_2 \cos(q_1) \\
 &= (-2\varepsilon \sin(q_2) + 2\eta \cos(q_2))\dot{q}_2\dot{q}_1 + (-\varepsilon \sin(q_2) + \eta \cos(q_2))\dot{q}_2^2 + \varepsilon e_2 \cos(q_1 + q_2) + \eta e_2 \sin(q_1 + q_2) + (\alpha - \beta + e_1)e_2 \cos(q_1) \\
 & \varepsilon Y_3 + \eta Y_4 = \varepsilon(\sin(q_2)\dot{q}_1^2 + e_2\cos(q_1 + q_2)) + \eta(-\cos(q_2)\dot{q}_1^2 + e_2\sin(q_1 + q_2)) \\
 &= (\varepsilon \sin(q_2) - \eta \cos(q_2))\dot{q}_1^2 + \varepsilon e_2 \cos(q_1 + q_2) + \eta e_2 \sin(q_1 + q_2)
 \end{aligned}$$

则

$$\begin{aligned}
& \begin{bmatrix} \epsilon Y_1 + \eta Y_2 + (\alpha - \beta + e_1)e_2 \cos(q_1) \\ \epsilon Y_3 + \eta Y_4 \end{bmatrix} \\
= & \begin{bmatrix} (-2\epsilon \sin(q_2) + 2\eta \cos(q_2))\dot{q}_2 & (-\epsilon \sin(q_2) + \eta \cos(q_2))\dot{q}_2 \\ (\epsilon \sin(q_2) - \eta \cos(q_2))\dot{q}_1 & 0 \end{bmatrix} \begin{bmatrix} \dot{q}_1 \\ \dot{q}_2 \end{bmatrix} + \\
& \begin{bmatrix} \epsilon e_2 \cos(q_1 + q_2) + \eta e_2 \sin(q_1 + q_2) + (\alpha - \beta + e_1)e_2 \cos(q_1) \\ \epsilon e_2 \cos(q_1 + q_2) + \eta e_2 \sin(q_1 + q_2) \end{bmatrix}
\end{aligned}$$

于是式(1)可写为

$$\begin{aligned}
& \begin{bmatrix} \alpha + 2\epsilon \cos(q_2) + 2\eta \sin(q_2) & \beta + \epsilon \cos(q_2) + \eta \sin(q_2) \\ \beta + \epsilon \cos(q_2) + \eta \sin(q_2) & \beta \end{bmatrix} \begin{bmatrix} \ddot{q}_1 \\ \ddot{q}_2 \end{bmatrix} + \\
& \begin{bmatrix} (-2\epsilon \sin(q_2) + 2\eta \cos(q_2))\dot{q}_2 & (-\epsilon \sin(q_2) + \eta \cos(q_2))\dot{q}_2 \\ (\epsilon \sin(q_2) - \eta \cos(q_2))\dot{q}_1 & 0 \end{bmatrix} \begin{bmatrix} \dot{q}_1 \\ \dot{q}_2 \end{bmatrix} + \\
& \begin{bmatrix} \epsilon e_2 \cos(q_1 + q_2) + \eta e_2 \sin(q_1 + q_2) + (\alpha - \beta + e_1)e_2 \cos(q_1) \\ \epsilon e_2 \cos(q_1 + q_2) + \eta e_2 \sin(q_1 + q_2) \end{bmatrix} = \begin{bmatrix} \tau_1 \\ \tau_2 \end{bmatrix}
\end{aligned}$$

令

$$\begin{aligned}
\mathbf{M}(\mathbf{q}) &= \begin{bmatrix} \alpha + 2\epsilon \cos(q_2) + 2\eta \sin(q_2) & \beta + \epsilon \cos(q_2) + \eta \sin(q_2) \\ \beta + \epsilon \cos(q_2) + \eta \sin(q_2) & \beta \end{bmatrix} \\
\mathbf{C}(\mathbf{q}, \dot{\mathbf{q}}) &= \begin{bmatrix} (-2\epsilon \sin(q_2) + 2\eta \cos(q_2))\dot{q}_2 & (-\epsilon \sin(q_2) + \eta \cos(q_2))\dot{q}_2 \\ (\epsilon \sin(q_2) - \eta \cos(q_2))\dot{q}_1 & 0 \end{bmatrix} \\
\mathbf{G}(\mathbf{q}) &= \begin{bmatrix} \epsilon e_2 \cos(q_1 + q_2) + \eta e_2 \sin(q_1 + q_2) + (\alpha - \beta + e_1)e_2 \cos(q_1) \\ \epsilon e_2 \cos(q_1 + q_2) + \eta e_2 \sin(q_1 + q_2) \end{bmatrix}
\end{aligned}$$

则式(1)可写为标准的机械手动力学方程

$$\mathbf{M}(\mathbf{q})\ddot{\mathbf{q}} + \mathbf{C}(\mathbf{q}, \dot{\mathbf{q}})\dot{\mathbf{q}} + \mathbf{G}(\mathbf{q}) = \boldsymbol{\tau} \quad (2)$$

其中, $\mathbf{q} = [q_1 \quad q_2]^T$, $\boldsymbol{\tau} = [\tau_1 \quad \tau_2]^T$ 。

2. 机器人动力学方程线性化的推导

式(2)中三个矩阵的估计矩阵可表示为

$$\begin{aligned}
\hat{\mathbf{M}} &= \begin{bmatrix} \hat{\alpha} + 2\hat{\epsilon} \cos(q_2) + 2\hat{\eta} \sin(q_2) & \hat{\beta} + \hat{\epsilon} \cos(q_2) + \hat{\eta} \sin(q_2) \\ \hat{\beta} + \hat{\epsilon} \cos(q_2) + \hat{\eta} \sin(q_2) & \hat{\beta} \end{bmatrix} \\
\hat{\mathbf{C}} &= \begin{bmatrix} (-2\hat{\epsilon} \sin(q_2) + 2\hat{\eta} \cos(q_2))\dot{q}_2 & (-\hat{\epsilon} \sin(q_2) + \hat{\eta} \cos(q_2))\dot{q}_2 \\ (\hat{\epsilon} \sin(q_2) - \hat{\eta} \cos(q_2))\dot{q}_1 & 0 \end{bmatrix} \\
\hat{\mathbf{G}} &= \begin{bmatrix} \hat{\epsilon} e_2 \cos(q_1 + q_2) + \hat{\eta} e_2 \sin(q_1 + q_2) + (\hat{\alpha} - \hat{\beta} + e_1)e_2 \cos(q_1) \\ \hat{\epsilon} e_2 \cos(q_1 + q_2) + \hat{\eta} e_2 \sin(q_1 + q_2) \end{bmatrix}
\end{aligned}$$

则相应的估计误差为

$$\tilde{\mathbf{M}} = \hat{\mathbf{M}} - \mathbf{M} = \begin{bmatrix} \tilde{\alpha} + 2\tilde{\epsilon} \cos(q_2) + 2\tilde{\eta} \sin(q_2) & \tilde{\beta} + \tilde{\epsilon} \cos(q_2) + \tilde{\eta} \sin(q_2) \\ \tilde{\beta} + \tilde{\epsilon} \cos(q_2) + \tilde{\eta} \sin(q_2) & \tilde{\beta} \end{bmatrix}$$

$$\tilde{\mathbf{C}} = \hat{\mathbf{C}} - \mathbf{C} = \begin{bmatrix} (-2\tilde{\varepsilon}\sin(q_2) + 2\tilde{\eta}\cos(q_2))\dot{q}_2 & (-\tilde{\varepsilon}\sin(q_2) + \tilde{\eta}\cos(q_2))\dot{q}_2 \\ (\tilde{\varepsilon}\sin(q_2) - \tilde{\eta}\cos(q_2))\dot{q}_1 & 0 \end{bmatrix}$$

$$\tilde{\mathbf{G}} = \hat{\mathbf{G}} - \mathbf{G} = \begin{bmatrix} \tilde{\varepsilon}e_2\cos(q_1 + q_2) + \tilde{\eta}e_2\sin(q_1 + q_2) + (\tilde{\alpha} - \tilde{\beta})e_2\cos(q_1) \\ \tilde{\varepsilon}e_2\cos(q_1 + q_2) + \tilde{\eta}e_2\sin(q_1 + q_2) \end{bmatrix}$$

则

$$\begin{aligned} & \tilde{\mathbf{M}}\ddot{\mathbf{q}}_d + \tilde{\mathbf{C}}\dot{\mathbf{q}}_d + \tilde{\mathbf{G}} \\ &= \begin{bmatrix} (\tilde{\alpha} + 2\tilde{\varepsilon}\cos(q_2) + 2\tilde{\eta}\sin(q_2))\ddot{q}_{d1} + (\tilde{\beta} + \tilde{\varepsilon}\cos(q_2) + \tilde{\eta}\sin(q_2))\ddot{q}_{d2} \\ (\tilde{\beta} + \tilde{\varepsilon}\cos(q_2) + \tilde{\eta}\sin(q_2))\ddot{q}_{d1} + \tilde{\beta}\ddot{q}_{d2} \end{bmatrix} + \\ & \begin{bmatrix} (-2\tilde{\varepsilon}\sin(q_2) + 2\tilde{\eta}\cos(q_2))\dot{q}_2\dot{q}_{d1} + (-\tilde{\varepsilon}\sin(q_2) + \tilde{\eta}\cos(q_2))\dot{q}_2\dot{q}_{d2} \\ (\tilde{\varepsilon}\sin(q_2) - \tilde{\eta}\cos(q_2))\dot{q}_1\dot{q}_{d1} \end{bmatrix} + \tilde{\mathbf{G}} \\ &= \begin{bmatrix} (\ddot{q}_{d1} + e_2\cos(q_1))\tilde{\alpha} + (\ddot{q}_{d2} - e_2\cos(q_1))\tilde{\beta} \\ + (2\cos(q_2)\ddot{q}_{d1} + \cos(q_2)\ddot{q}_{d2} - 2\sin(q_2)\dot{q}_2\dot{q}_{d1} - \sin(q_2)\dot{q}_2\dot{q}_{d2} + e_2\cos(q_1 + q_2))\tilde{\varepsilon} \\ + (2\sin(q_2)\ddot{q}_{d1} + \sin(q_2)\ddot{q}_{d2} + 2\cos(q_2)\dot{q}_2\dot{q}_{d1} + \cos(q_2)\dot{q}_2\dot{q}_{d2} + e_2\sin(q_1 + q_2))\tilde{\eta} \\ 0 \cdot \tilde{\alpha} + (\ddot{q}_{d1} + \ddot{q}_{d2})\tilde{\beta} + (\cos(q_2)\ddot{q}_{d1} + \sin(q_2)\dot{q}_1\dot{q}_{d1} + e_2\cos(q_1 + q_2))\tilde{\varepsilon} \\ + (\sin(q_2)\ddot{q}_{d1} - \cos(q_2)\dot{q}_1\dot{q}_{d1} + e_2\sin(q_1 + q_2))\tilde{\eta} \end{bmatrix} \\ &= \begin{bmatrix} & 2\cos(q_2)\ddot{q}_{d1} + \cos(q_2)\ddot{q}_{d2} & 2\sin(q_2)\ddot{q}_{d1} + \sin(q_2)\ddot{q}_{d2} + \\ \ddot{q}_{d1} + e_2\cos(q_1) & \ddot{q}_{d2} - e_2\cos(q_1) & -2\sin(q_2)\dot{q}_2\dot{q}_{d1} - \sin(q_2)\dot{q}_2\dot{q}_{d2} + 2\cos(q_2)\dot{q}_2\dot{q}_{d1} + \cos(q_2)\dot{q}_2\dot{q}_{d2} + \\ & e_2\cos(q_1 + q_2) & e_2\sin(q_1 + q_2) \\ 0 & \ddot{q}_{d1} + \ddot{q}_{d2} & \cos(q_2)\ddot{q}_{d1} + \sin(q_2)\dot{q}_1\dot{q}_{d1} + \sin(q_2)\ddot{q}_{d1} - \cos(q_2)\dot{q}_1\dot{q}_{d1} + \\ & e_2\cos(q_1 + q_2) & e_2\sin(q_1 + q_2) \end{bmatrix} \cdot \begin{bmatrix} \tilde{\alpha} \\ \tilde{\beta} \\ \tilde{\varepsilon} \\ \tilde{\eta} \end{bmatrix} \end{aligned}$$

上式可写为

$$\tilde{\mathbf{M}}\ddot{\mathbf{q}}_d + \tilde{\mathbf{C}}\dot{\mathbf{q}}_d + \tilde{\mathbf{G}} = \mathbf{Y}(\mathbf{q}, \dot{\mathbf{q}}, \mathbf{q}_d, \dot{\mathbf{q}}_d) \tilde{\mathbf{p}} \quad (3)$$

其中,

$$\begin{aligned} & \mathbf{Y}(\mathbf{q}, \dot{\mathbf{q}}, \mathbf{q}_d, \dot{\mathbf{q}}_d) \\ &= \begin{bmatrix} & 2\cos(q_2)\ddot{q}_{d1} + \cos(q_2)\ddot{q}_{d2} & 2\sin(q_2)\ddot{q}_{d1} + \sin(q_2)\ddot{q}_{d2} + \\ \ddot{q}_{d1} + e_2\cos(q_1) & \ddot{q}_{d2} - e_2\cos(q_1) & -2\sin(q_2)\dot{q}_2\dot{q}_{d1} - \sin(q_2)\dot{q}_2\dot{q}_{d2} + 2\cos(q_2)\dot{q}_2\dot{q}_{d1} + \cos(q_2)\dot{q}_2\dot{q}_{d2} + \\ & e_2\cos(q_1 + q_2) & e_2\sin(q_1 + q_2) \\ 0 & \ddot{q}_{d1} + \ddot{q}_{d2} & \cos(q_2)\ddot{q}_{d1} + \sin(q_2)\dot{q}_1\dot{q}_{d1} + \sin(q_2)\ddot{q}_{d1} - \cos(q_2)\dot{q}_1\dot{q}_{d1} + \\ & e_2\cos(q_1 + q_2) & e_2\sin(q_1 + q_2) \end{bmatrix} \\ & \tilde{\mathbf{p}} = [\tilde{\alpha} \quad \tilde{\beta} \quad \tilde{\varepsilon} \quad \tilde{\eta}]^T \quad (4) \end{aligned}$$

上式中采用 \dot{q}_r, \ddot{q}_r 代替 \dot{q}_d, \ddot{q}_d , 可得 $Y(q, \dot{q}, q_r, \dot{q}_r)$ 的表达式。

$$Y(q, \dot{q}, q_r, \dot{q}_r) = \begin{bmatrix} \ddot{q}_{r1} + e_2 \cos(q_1) & \ddot{q}_{r2} - e_2 \cos(q_1) & 2\cos(q_2)\ddot{q}_{r1} + \cos(q_2)\ddot{q}_{r2} & 2\sin(q_2)\ddot{q}_{r1} + \sin(q_2)\ddot{q}_{r2} + \\ -2\sin(q_2)\dot{q}_2\dot{q}_{r1} - \sin(q_2)\dot{q}_2\dot{q}_{r2} + & 2\cos(q_2)\dot{q}_2\dot{q}_{r1} + \cos(q_2)\dot{q}_2\dot{q}_{r2} + \\ e_2 \cos(q_1 + q_2) & e_2 \sin(q_1 + q_2) \\ 0 & \ddot{q}_{r1} + \ddot{q}_{r2} & \cos(q_2)\ddot{q}_{r1} + \sin(q_2)\dot{q}_1\dot{q}_{r1} + \\ e_2 \cos(q_1 + q_2) & e_2 \sin(q_1 + q_2) \end{bmatrix} \quad (5)$$

参考文献

- [1] 霍伟. 机器人动力学与控制[M]. 北京: 高等教育出版社, 2005.
- [2] Chen W H, Balance D J, Gawthrop P J, et al. A nonlinear disturbance observer for robotic manipulator [J]. IEEE Transactions on Industrial Electronics, 2000, 47(4): 932-938.
- [3] Mohammadi A, Tavakoli M, Marquez H J, et al. Nonlinear disturbance observer design for robotic manipulators[J]. Control Engineering Practice, 2013, 21: 253-267.
- [4] Gahinet P, Nemirovsky A, Laub A J, et al. LMI control toolbox: for use with MATLAB[M]. Natick, MA: The MathWorks, Inc, 1995.
- [5] Block D J. Mechanical design and control of the pendubot[D]. Urbana, IL, USA: University of Illinois at Urbana-Champaign, 1996.
- [6] Fantoni I, Lozano R, Spong M W. Energy based control of the pendubot[J]. IEEE Transaction on Automatic Control, 2000, 45(4): 725-729.
- [7] Zhang Mingjun, Tarn Tzyh-Jong. Hybrid Control of the Pendubot[J]. IEEE/ASME Transactions on Mechatronics, 2002, 7(1): 79-86.
- [8] Begovich O, Sanchez E N, Maldonado M. Takagi-Sugeno fuzzy scheme for real-time trajectory tracking of an underactuated robot[J]. IEEE Transactions on Control Systems Technology, 2002, 10(1): 14-20.
- [9] Albahkali T, Mukherjee R, Das T. Swing-up control of the pendubot: an impulse-momentum approach [J]. IEEE Transactions on Robotics, 2009, 25(4): 975-982.
- [10] Spong M W, Vidyasagar M. Robot dynamics and control[M]. New York: Wiley, 1989.
- [11] Ioannou P A, Sun J. Robust adaptive control[M]. PTR Prentice-Hall, 1996, 75-76.

8.1 单力臂机械系统的鲁棒自适应控制

通过引入直接自适应控制的思想,采用基于 Lyapunov 直接法的鲁棒模型参考自适应控制方法,可以在具有参数不确定性和未知非线性摩擦特性的情况下,使跟踪误差趋于零,其优点在于不需要建立摩擦模型,不需要精确的摩擦参数,而只需摩擦的上界值^[1]。

8.1.1 问题描述

不确定单机械臂为

$$I\ddot{\theta} + (d + \delta_1)\dot{\theta} + \delta_0\theta + mgl\cos\theta = u - f(\dot{\theta}) \quad (8.1)$$

其中, θ 为系统输出转角, $I = \frac{4}{3}ml^2$, I 为转动惯量, mg 为重力, u 为控制输入, $f(\dot{\theta}, u)$ 为未知的非线性摩擦, l 为质心距连杆的转动中心, d 为连杆运动的黏性摩擦系数, δ_1 为黏性摩擦系数的不确定值, δ_0 为弹性摩擦系数。

如果机械臂的运动平面与水平面平行,则机器人运动方程中的重力项可以忽略。则式(8.1)变为

$$\ddot{\theta} + \frac{d + \delta_1}{I}\dot{\theta} + \frac{\delta_0}{I}\theta = \frac{1}{I}(u - f(\dot{\theta}))$$

即

$$\ddot{\theta} + \alpha_1\dot{\theta} + \alpha_0\theta = \beta(u - f(\dot{\theta})) \quad (8.2)$$

其中, $\alpha_1 = \frac{d + \delta_1}{I}$, $\alpha_0 = \frac{\delta_0}{I}$, $\beta = \frac{1}{I}$, α_1, α_0 为非负的有界实数, β 为正实数。

假设 $|f(\dot{\theta})| \leq F_{\max}$, 对式(8.2), 引入参考模型如下:

$$\ddot{\theta}_m + a_1\dot{\theta}_m + a_0\theta_m = br \quad (8.3)$$

其中, θ_m 为模型输出, r 为指令输入, a_1, a_0, b 为正实数。

定义误差信号为

$$e = \theta_m - \theta \quad (8.4)$$

控制目标为当 α_1 、 α_0 和 β 为未知时,通过设计控制律 u ,使得对于任意初态, $t \rightarrow \infty$ 时, $e(t) \rightarrow 0, \dot{e}(t) \rightarrow 0$ 。

8.1.2 鲁棒模型参考自适应控制

由式(8.2)和式(8.3),可得

$$\ddot{\theta}_m + a_1 \dot{\theta}_m + a_0 \theta_m - \ddot{\theta} - \alpha_1 \dot{\theta} - \alpha_0 \theta = br - \beta(u - f(\dot{\theta}))$$

即

$$\ddot{e} + a_1 \dot{e} + a_0 e = br - \beta u + \beta f(\dot{\theta}) + (\alpha_1 - a_1) \dot{\theta} + (\alpha_0 - a_0) \theta \quad (8.5)$$

定义向量 $\mathbf{x} = [e, \dot{e}]^T$,得到上式的状态空间表达形式为

$$\dot{\mathbf{x}} = \mathbf{A} \mathbf{x} - \begin{bmatrix} 0 \\ \beta \end{bmatrix} u + \begin{bmatrix} 0 \\ \Delta \end{bmatrix} = \mathbf{A} \mathbf{x} + \mathbf{Z} \quad (8.6)$$

其中, $\Delta = br + \beta f(\dot{\theta}) + (\alpha_1 - a_1) \dot{\theta} + (\alpha_0 - a_0) \theta$, $\mathbf{A} = \begin{bmatrix} 0 & 1 \\ -a_0 & -a_1 \end{bmatrix}$, $\mathbf{Z} = -\begin{bmatrix} 0 \\ \beta \end{bmatrix} u + \begin{bmatrix} 0 \\ \Delta \end{bmatrix}$ 。

由于矩阵 \mathbf{A} 的特征值具有负实部,则存在正定矩阵 \mathbf{P} 和 \mathbf{Q} ,使得下式成立:

$$\mathbf{A}^T \mathbf{P} + \mathbf{P} \mathbf{A} = -\mathbf{Q} \quad (8.7)$$

定义辅助信号 \hat{e} 为

$$\hat{e} = [0 \quad 1] \mathbf{P} \mathbf{x} = [0 \quad 1] \begin{bmatrix} p_1 & p_2 \\ p_2 & p_3 \end{bmatrix} \begin{bmatrix} e \\ \dot{e} \end{bmatrix} = p_2 e + p_3 \dot{e} \quad (8.8)$$

其中, $\mathbf{P} = \begin{bmatrix} p_1 & p_2 \\ p_2 & p_3 \end{bmatrix}$ 。

取控制律为

$$u = k_0 r + k_1 \theta + k_2 \dot{\theta} + v \quad (8.9)$$

其中, k_0 、 k_1 和 k_2 为待调节的增益系数, v 为鲁棒项。

定理 8.1^[3] 针对系统式(8.6),采用控制律式(8.9),若增益系数自适应律和鲁棒补偿项设计为

$$\dot{k}_0 = \lambda_0 \hat{e} r, \quad \dot{k}_1 = \lambda_1 \hat{e} \theta, \quad \dot{k}_2 = \lambda_2 \hat{e} \dot{\theta}, \quad v = F_{\max} \operatorname{sgn} \hat{e} \quad (8.10)$$

其中, $\operatorname{sgn}(\cdot)$ 为符号函数, λ_0 、 λ_1 、 λ_2 为正实数。则对于任意的 α_0 、 α_1 、 $f(\dot{\theta})$ 及任意的初始条件, $e(t)$ 和 $\dot{e}(t)$ 是有界的且渐进收敛于 0。

参考文献[3]的分析过程,对定理 8.1 分析如下:

定义 Lyapunov 函数为

$$V(t) = \frac{1}{2} \mathbf{x}^T \mathbf{P} \mathbf{x} + \frac{1}{2\lambda_0 \beta} (b - \beta k_0)^2 + \frac{1}{2\lambda_1 \beta} (\alpha_0 - a_0 - \beta k_1)^2 + \frac{1}{2\lambda_2 \beta} (\alpha_1 - a_1 - \beta k_2)^2$$

由于

$$\left(\frac{1}{2} \mathbf{x}^T \mathbf{P} \mathbf{x} \right)' = \frac{1}{2} \dot{\mathbf{x}}^T \mathbf{P} \mathbf{x} + \frac{1}{2} \mathbf{x}^T \mathbf{P} \dot{\mathbf{x}} = \frac{1}{2} (\mathbf{A} \mathbf{x} + \mathbf{Z})^T \mathbf{P} \mathbf{x} + \frac{1}{2} \mathbf{x}^T \mathbf{P} (\mathbf{A} \mathbf{x} + \mathbf{Z})$$

$$\begin{aligned}
&= \frac{1}{2}(\mathbf{x}^T \mathbf{A}^T + \mathbf{Z}^T) \mathbf{P} \mathbf{x} + \frac{1}{2} \mathbf{x}^T \mathbf{P} (\mathbf{A} \mathbf{x} + \mathbf{Z}) \\
&= \frac{1}{2} \mathbf{x}^T (\mathbf{A}^T \mathbf{P} + \mathbf{P} \mathbf{A}) \mathbf{x} + \frac{1}{2} (\mathbf{Z}^T \mathbf{P} \mathbf{x} + \mathbf{x}^T \mathbf{P} \mathbf{Z}) \\
&= \frac{1}{2} \mathbf{x}^T (-\mathbf{Q}) \mathbf{x} + \mathbf{x}^T \mathbf{P} \mathbf{Z}
\end{aligned}$$

$$\mathbf{Z} = - \begin{bmatrix} 0 \\ \beta \end{bmatrix} u + \begin{bmatrix} 0 \\ \Delta \end{bmatrix} = \begin{bmatrix} 0 \\ 1 \end{bmatrix} (\Delta - \beta u)$$

$$\begin{aligned}
\mathbf{x}^T \mathbf{P} \mathbf{Z} &= [e, \dot{e}] \begin{bmatrix} p_1 & p_2 \\ p_2 & p_3 \end{bmatrix} \begin{bmatrix} 0 \\ 1 \end{bmatrix} (\Delta - \beta u) = \hat{e} (\Delta - \beta u) \\
&= \hat{e} (br + \beta f + (\alpha_1 - a_1) \dot{\theta} + (\alpha_0 - a_0) \theta - \beta(k_0 r + k_1 \theta + k_2 \dot{\theta} + v)) \\
&= \hat{e} r (b - \beta k_0) + \hat{e} \theta (\alpha_0 - a_0 - \beta k_1) + \hat{e} \dot{\theta} (\alpha_1 - a_1 - \beta k_2) + \hat{e} \beta (f - v)
\end{aligned}$$

则

$$\begin{aligned}
\dot{V} &= -\frac{1}{2} \mathbf{x}^T \mathbf{Q} \mathbf{x} + \hat{e} r (b - \beta k_0) + \hat{e} \theta (\alpha_0 - a_0 - \beta k_1) + \hat{e} \dot{\theta} (\alpha_1 - a_1 - \beta k_2) + \hat{e} \beta (f - v) - \\
&\quad \frac{\dot{k}_0}{\lambda_0} (b - \beta k_0) - \frac{\dot{k}_1}{\lambda_1} (\alpha_0 - a_0 - \beta k_1) - \frac{\dot{k}_2}{\lambda_2} (\alpha_1 - a_1 - \beta k_2) \\
&= -\frac{1}{2} \mathbf{x}^T \mathbf{Q} \mathbf{x} + \left(\hat{e} r - \frac{\dot{k}_0}{\lambda_0} \right) (b - \beta k_0) + \left(\hat{e} \theta - \frac{\dot{k}_1}{\lambda_1} \right) (\alpha_0 - a_0 - \beta k_1) + \\
&\quad \left(\hat{e} \dot{\theta} - \frac{\dot{k}_2}{\lambda_2} \right) (\alpha_1 - a_1 - \beta k_2) + \hat{e} \beta (f - v)
\end{aligned}$$

将式(8.10)代入,得

$$\dot{V} = -\frac{1}{2} \mathbf{x}^T \mathbf{Q} \mathbf{x} + \hat{e} \beta (f(\dot{\theta}) - v)$$

由于

$$\hat{e} \beta (f - v) = \hat{e} \beta (f - F_{\max} \operatorname{sgn} \hat{e}) = \hat{e} \beta f - \beta F_{\max} |\hat{e}| \leq 0$$

则

$$\dot{V} \leq -\frac{1}{2} \mathbf{x}^T \mathbf{Q} \mathbf{x} \leq -\frac{\lambda_{\max}(\mathbf{Q})}{2} \|\mathbf{x}\|^2 \leq 0$$

其中, $\lambda_{\max}(\mathbf{Q})$ 分别为矩阵 \mathbf{Q} 的最大特征值, $\|\cdot\|$ 为 2 范数。

由于当 $\dot{V} \equiv 0$ 时, $\mathbf{x} \equiv 0$ 。根据 LaSalle 不变性原理, 闭环系统为渐进稳定, 即当 $t \rightarrow \infty$ 时, $\mathbf{x} \rightarrow 0$, 即 $e(t)$ 和 $\dot{e}(t)$ 是有界的且渐进收敛于 0。

由于 $V \geq 0, \dot{V} \leq 0$, 则当 $t \rightarrow \infty$ 时, V 有界, 因此 k_0, k_1 和 k_2 有界。

8.1.3 仿真实例

被控对象的动态方程为

$$\ddot{\theta} + \alpha_1 \dot{\theta} + \alpha_0 \theta = \beta u - \beta f(\dot{\theta})$$

其中, $\alpha_0 = 0.10, \alpha_1 = 0.10, \beta = 10$ 。

摩擦模型表示为 $f(\dot{\theta}) = 0.5\dot{\theta} + 0.1\text{sgn}(\dot{\theta})$ 。参考模型取 $\ddot{\theta}_m + 20\dot{\theta}_m + 30\theta_m = 50r$, $r = \text{sgn}(\sin(0.05\pi t))$, 即模型参数为 $a_1 = 20, a_0 = 30, b = 50$ 。模型及参考模型的初始状态都取 $[0, 0]$ 。

令 $Q = \begin{bmatrix} 15 & 0 \\ 0 & 15 \end{bmatrix}$, 求解 Lyapunov 方程式 (8.7) 得 $P = \begin{bmatrix} 16.625 & 0.25 \\ 0.25 & 0.3875 \end{bmatrix}$, 则辅助信号表示为 $\hat{e} = 0.25e + 0.3875\dot{e}$ 。

由 $f(\dot{\theta})$ 的表达式及仿真测试, 可取 $F_{\max} = 1.0$ 。取控制律式 (8.9), 自适应律式 (8.10), 取 $\lambda_0 = 1.5, \lambda_1 = 1.5, \lambda_2 = 1.5$ 。采用饱和函数 $\text{sat}(\hat{e})$ 代替切换函数 $\text{sgn}(\hat{e})$, 边界层厚度取 0.10, 仿真结果如图 8-1~图 8-3 所示。

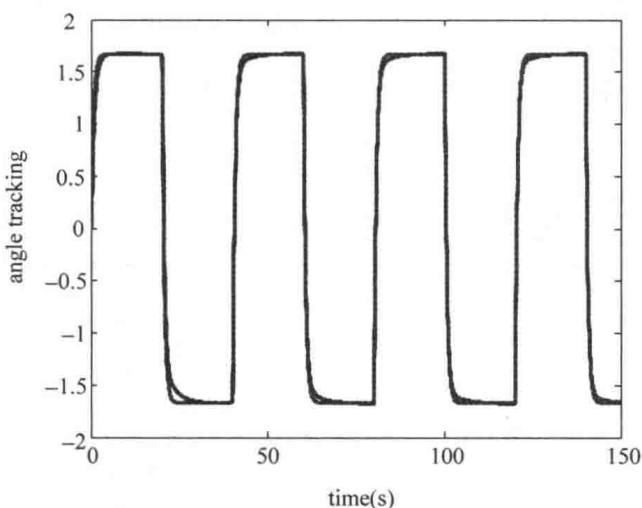


图 8-1 关节角度跟踪

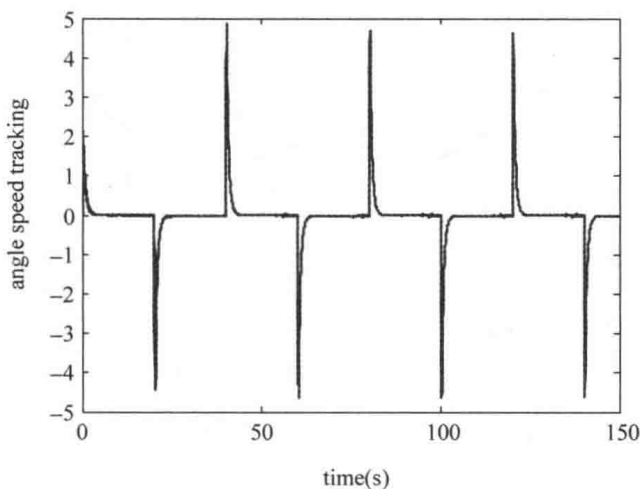


图 8-2 关节角速度跟踪

仿真结果表明, 所采用的鲁棒模型参考自适应控制器, 不依赖于被控对象信息, 适应未知摩擦特性和参数的不确定性, 并能保证对象和模型的高精度跟踪。

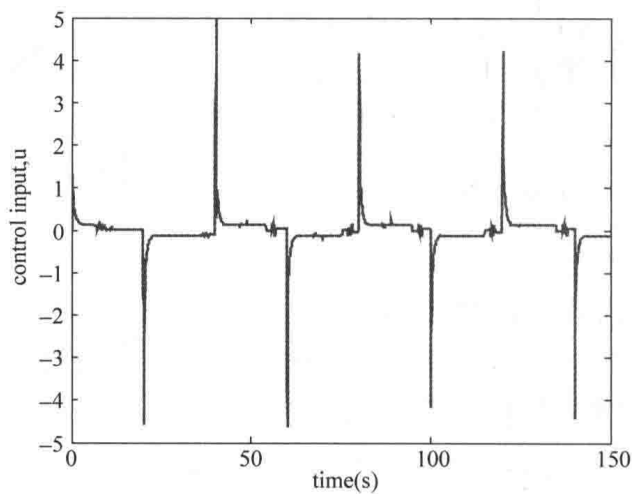
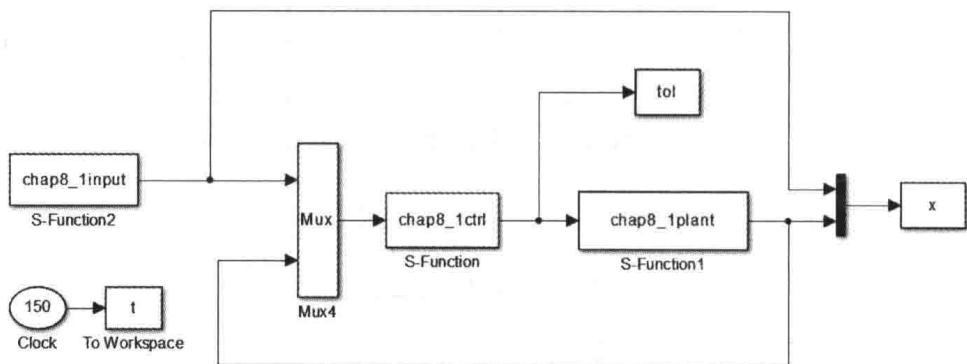


图 8-3 关节控制输入

仿真程序如下：

(1) Simulink 主程序：chap8_1sim.mdl。



(2) 控制器 S 函数：chap8_1ctrl.m。

```
function [sys,x0,str,ts] = spacemodel(t,x,u,flag)
switch flag,
case 0,
    [sys,x0,str,ts]=mdlInitializeSizes;
case 1,
    sys = mdlDerivatives(t,x,u);
case 3,
    sys = mdlOutputs(t,x,u);
case {2,4,9}
    sys = [];
otherwise
    error(['Unhandled flag = ',num2str(flag)]);
end
function [sys,x0,str,ts]=mdlInitializeSizes
global p2 p3
sizes = simsizes;
sizes.NumContStates    = 3;
```

```

sizes.NumDiscStates    = 0;
sizes.NumOutputs        = 1;
sizes.NumInputs         = 4;
sizes.DirFeedthrough    = 1;
sizes.NumSampleTimes    = 0;
sys = simsizes(sizes);
x0 = [0,0,0];
str = [];
ts = [];

a1 = 20;a0 = 30;b = 50;
Am = [0,1;-a0,-a1];
% eig(Am)
Q = [15,0;0,15];

P = lyap(Am',Q);
p2 = P(1,2);
p3 = P(2,2);
function sys = mdlDerivatives(t,x,u)
global p2 p3
r = sign(sin(0.025 * 2 * pi * t));          % Square Signal

thm = u(1);
dthm = u(2);
th = u(3);
dth = u(4);

e = thm - th;
de = dthm - dth;
ep = p2 * e + p3 * de;

lambda0 = 1.5;lambda1 = 1.5;lambda2 = 1.5;
sys(1) = lambda0 * ep * r;                  % dk0
sys(2) = lambda1 * ep * th;                % dk1
sys(3) = lambda2 * ep * dth;               % dk2
function sys = mdlOutputs(t,x,u)
global p2 p3
thm = u(1);
dthm = u(2);
th = u(3);
dth = u(4);

e = thm - th;
de = dthm - dth;
ep = p2 * e + p3 * de;

r = sign(sin(0.025 * 2 * pi * t));          % Square Signal
k0 = x(1);k1 = x(2);k2 = x(3);
Fmax = 1.0;

delta = 0.1;

```

```

kk = 1/delta;
if abs(ep)> delta
    sats = sign(ep);
else
    sats = kk * ep;
end

% v = Fmax * sign(ep);
v = Fmax * sats;
ut = k0 * r + k1 * th + k2 * dth + v;
sys(1) = ut;

```

(3) 参考模型 S 函数: chap8_linput. m。

```

function [sys,x0,str,ts] = spacemodel(t,x,u,flag)
switch flag,
case 0,
    [sys,x0,str,ts] = mdlInitializeSizes;
case 1,
    sys = mdlDerivatives(t,x,u);
case 3,
    sys = mdlOutputs(t,x,u);
case {2,4,9}
    sys = [];
otherwise
    error(['Unhandled flag = ',num2str(flag)]);
end

function [sys,x0,str,ts] = mdlInitializeSizes
sizes = simsizes;
sizes.NumContStates = 2;
sizes.NumDiscStates = 0;
sizes.NumOutputs = 2;
sizes.NumInputs = 0;
sizes.DirFeedthrough = 1;
sizes.NumSampleTimes = 0;
sys = simsizes(sizes);
x0 = [0,0];
str = [];
ts = [];
function sys = mdlDerivatives(t,x,u)
a1 = 20;a0 = 30;b = 50;
r = sign(sin(0.025 * 2 * pi * t));           % Square Signal

sys(1) = x(2);
sys(2) = - a1 * x(2) - a0 * x(1) + b * r;
function sys = mdlOutputs(t,x,u)
sys(1) = x(1);
sys(2) = x(2);

```

(4) 被控对象 S 函数: chap8_lplant. m。

```

function [sys,x0,str,ts] = s_function(t,x,u,flag)

```

```

switch flag,
case 0,
    [sys,x0,str,ts] = mdlInitializeSizes;
case 1,
    sys = mdlDerivatives(t,x,u);
case 3,
    sys = mdlOutputs(t,x,u);
case {2, 4, 9 }
    sys = [];
otherwise
    error(['Unhandled flag = ',num2str(flag)]);
end
function [sys,x0,str,ts] = mdlInitializeSizes
sizes = simsizes;
sizes.NumContStates = 2;
sizes.NumDiscStates = 0;
sizes.NumOutputs = 2;
sizes.NumInputs = 1;
sizes.DirFeedthrough = 0;
sizes.NumSampleTimes = 0;
sys = simsizes(sizes);
x0 = [0;0];
str = [];
ts = [];
function sys = mdlDerivatives(t,x,u)
alfa0 = 0.10;alfa1 = 0.10;
beta = 10;

ut = u(1);
dth = x(2);

f = 0.5 * dth + 0.1 * sign(dth);

sys(1) = x(2);
sys(2) = beta * ut - beta * f - alfa1 * x(2) - alfa0 * x(1);
function sys = mdlOutputs(t,x,u)
sys(1) = x(1);
sys(2) = x(2);

```

(5) 作图程序: chap8_1plot.m。

```

close all;
figure(1);
plot(t,x(:,1),'r',t,x(:,3),'b','linewidth',2);
xlabel('time(s)');ylabel('angle tracking');
figure(2);
plot(t,x(:,2),'r',t,x(:,4),'b','linewidth',2);
xlabel('time(s)');ylabel('angle speed tracking');
figure(3);
plot(t,tol(:,1),'r','linewidth',2);
xlabel('time(s)');ylabel('control input,u');

```


8.2 二级倒立摆的 H^∞ 鲁棒控制

通过对文献[4]中的一种二级倒立摆的 H^∞ 鲁棒控制进行仿真分析, 研究一种基于 LMI 的 H^∞ 鲁棒控制设计方法。

8.2.1 系统的描述

对 n 阶广义受控对象, 有

$$\begin{aligned}\dot{x} &= Ax + B_1\omega + B_2u \\ z &= C_1x + D_{11}\omega + D_{12}u \\ y &= x\end{aligned}\quad (8.11)$$

其中, $x \in \mathbb{R}^{n \times 1}$, $z \in \mathbb{R}^{m \times 1}$, $\omega \in \mathbb{R}^{r \times 1}$, $u \in \mathbb{R}^{p \times 1}$, A 、 B_1 、 B_2 、 C_1 、 D_{11} 、 D_{12} 均为相维数的常阵, ω 为系统的建模误差及外加干扰。

8.2.2 基于 LMI 的控制律的设计

定理 8.2^[4] 对于式(8.11), 给定 $\gamma > 0$, 存在 $P_1 = P_1^T > 0$ 和 P_2 , 如果满足不等式:

$$\begin{bmatrix} AP_1 + P_1A^T + B_2P_2 + P_2^TB_2^T + \gamma^{-2}B_1B_1^T & (C_1P_1 + D_{12}P_2)^T \\ C_1P_1 + D_{12}P_2 & -I \end{bmatrix} < 0 \quad (8.12)$$

则 H^∞ 鲁棒控制的状态反馈控制器为

$$u = Kx = P_2P_1^{-1}x \quad (8.13)$$

其中, $K = [k_1 \ k_2 \ k_3 \ k_4 \ k_5 \ k_6]$ 。

针对二级倒立摆模型, 控制目标设计为:

(1) $x = 0$ 为闭环无扰动系统的局部渐进稳定平衡点, 即对于初始状态 $x(0)$, 有 $x(t) \rightarrow 0$ 。

(2) 对于任意扰动 $\omega \in L_2[0, +\infty)$, 初始状态 $x(0) = 0$, 闭环系统具有扰动抑制性能, 鲁棒性能可表示为

$$\int_0^\infty \{q_1^2 x^2(t) + q_2^2 \dot{x}^2(t) + q_3^2 \theta_1^2(t) + q_4^2 \dot{\theta}_1^2(t) + q_5^2 \theta_2^2(t) + q_6^2 \dot{\theta}_2^2(t) + \rho^2 u^2(t)\} dt < \gamma^2 \int_0^\infty \omega^2(t) dt \quad (8.14)$$

其中, $x = [x \ \dot{x} \ \theta_1 \ \dot{\theta}_1 \ \theta_2 \ \dot{\theta}_2]^T$, $\gamma > 0$ 。

控制目标(1)反映了倒立摆的基本控制要求, $x = 0$ 表明一级、二级摆杆均处于垂直位置, 小车也处于位置零点, 而且小车及一、二级摆杆均没有运动的趋势。

8.2.3 二级倒立摆系统的描述

为了使倒立摆线性化, 必须满足倒立摆的各级摆杆的转角是小角度(小于 5°), 此时 $\sin\theta \approx \theta$, $\cos\theta \approx 1$ 。线性化后的二级倒立摆模型为

$$\begin{cases} \dot{x} = Ax + B_1\omega + B_2u \\ y = x \end{cases} \quad (8.15)$$

对于二级倒立摆系统式(8.15),引入控制输出为

$$\mathbf{Z} = \mathbf{C}_1 \mathbf{x} + \mathbf{D}_{11} \boldsymbol{\omega} + \mathbf{D}_{12} \mathbf{u} \quad (8.16)$$

由于二级倒立摆系统为六阶系统,故取

$$\mathbf{C}_1 = \begin{bmatrix} q_1 & 0 & 0 & 0 & 0 & 0 \\ 0 & q_2 & 0 & 0 & 0 & 0 \\ 0 & 0 & q_3 & 0 & 0 & 0 \\ 0 & 0 & 0 & q_4 & 0 & 0 \\ 0 & 0 & 0 & 0 & q_5 & 0 \\ 0 & 0 & 0 & 0 & 0 & q_6 \\ 0 & 0 & 0 & 0 & 0 & 0 \end{bmatrix}, \quad \mathbf{D}_{12} = [0 \quad 0 \quad 0 \quad 0 \quad 0 \quad 0 \quad \rho]^T, \quad \mathbf{D}_{11} = 0.$$

其中, $q_j \geq 0, j=1, 2, \dots, 6$ 为各状态的加权系数。

于是式(8.16)变为

$$\mathbf{Z} = \mathbf{C}_1 \mathbf{x} + \mathbf{D}_{11} \boldsymbol{\omega} + \mathbf{D}_{12} \mathbf{u} = [q_1 x \quad q_2 \dot{x} \quad q_3 \theta_1 \quad q_4 \dot{\theta}_1 \quad q_5 \theta_2 \quad q_6 \dot{\theta}_2 \quad \rho u]^T$$

则

$$\|\mathbf{z}\|_2^2 = \int_0^\infty \{q_1^2 x^2(t) + q_2^2 \dot{x}^2(t) + q_3^2 \theta_1^2(t) + q_4^2 \dot{\theta}_1^2(t) + q_5^2 \theta_2^2(t) + q_6^2 \dot{\theta}_2^2(t) + \rho^2 u^2(t)\} dt$$

即式(8.14)等价于

$$\|\mathbf{z}\|_2 < \gamma \|\boldsymbol{\omega}\|_2 \quad (8.17)$$

因此,求满足 8.2.2 节的设计目标(1)和(2)的控制器 \mathbf{K} 的问题就等价于求使闭环系统内部稳定且满足式(8.17)的控制器。

将式(8.15)和式(8.16)结合起来,可得用于求解 LMI 的二级倒立摆系统为

$$\begin{cases} \dot{\mathbf{x}} = \mathbf{A} \mathbf{x} + \mathbf{B}_1 \boldsymbol{\omega} + \mathbf{B}_2 \mathbf{u} \\ \mathbf{Z} = \mathbf{C}_1 \mathbf{x} + \mathbf{D}_{11} \boldsymbol{\omega} + \mathbf{D}_{12} \mathbf{u} \\ \mathbf{y} = \mathbf{x} \end{cases} \quad (8.18)$$

实现二级倒立摆控制律的设计,采用定理 8.2 求解倒立摆系统式(8.18)的状态反馈控制增益 \mathbf{K} 时,需要两个 LMI,其中,一个 LMI 为式(8.12),另一个 LMI 为 $\mathbf{P}_1 > 0$,即

$$-\mathbf{P}_1 < 0 \quad (8.19)$$

采用 LMI 求解工具箱——YALMIP 工具箱求解由式(8.12)和式(8.19)构成的 LMI 不等式,从而可以得到 \mathbf{K} 。

8.2.4 仿真实例

二级倒立摆的线性化模型为

$$\begin{cases} \dot{\mathbf{x}} = \mathbf{A} \mathbf{x} + \mathbf{B}_1 \boldsymbol{\omega} + \mathbf{B}_2 \mathbf{u} \\ \mathbf{y} = \mathbf{x} \end{cases}$$

其中, $\mathbf{A} = \begin{bmatrix} \mathbf{O}_3 & \mathbf{I}_3 \\ \mathbf{A}_1 & \mathbf{A}_2 \end{bmatrix}$, $\mathbf{B}_1 = [\mathbf{B}_{11} \quad \mathbf{B}_{12}]$, $\mathbf{B}_2 = [\mathbf{B}_{21} \quad \mathbf{B}_{22}]$, \mathbf{O}_3 为 3 阶零方阵, \mathbf{I}_3 为 3 阶单位阵。

取 $A_1 = \begin{bmatrix} 0 & -3.7864 & 0.2009 \\ 0 & 41.9965 & 9.3378 \\ 0 & -25.0347 & -29.5778 \end{bmatrix}, A_2 = \begin{bmatrix} -4.5480 & 0.0037 & -0.0017 \\ 7.6261 & -0.0570 & 0.0349 \\ 1.0850 & 0.0675 & -0.0543 \end{bmatrix}, B_{11} =$

$B_{21} = [0 \ 0 \ 0]^T, B_{12} = [-1.1902 \ -55.3119 \ 175.2019]^T, B_{22} = [68.6019 \ -115.0316 \ -16.3660]^T。$

在式(8.16)中,取 $\rho=1, q_1=1.69, q_2=1.0, q_3=0.01, q_4=0.3, q_5=0.1, q_6=0.01。$

控制器增益的 LMI 求解程序为 chap8_2LMI_design.m,取 $\gamma=120,$ 求解 LMI 不等式(8.12)和(8.19),得 $K = [-5.4558 \ 17.4984 \ 50.5226 \ -4.7462 \ -1.0376 \ -9.7465]。$

考虑有无干扰两种情况,程序中分别取 $M=1$ 和 $M=2。$ 首先考虑无干扰的情况, $\omega=0,$ 倒立摆的初始状态为 $x(0)=[0.3 \ -0.2 \ 0.2 \ 0 \ 0 \ 0]。$ 仿真程序中,取 $M=1,$ 仿真结果如图 8-4 和图 8-5 所示。

然后考虑有干扰的情况,进行鲁棒性测试。根据 $H\infty$ 理论,仿真中取干扰为能量有界信号,即取 $\omega=\sin(0.1t)/(t+1),$ 取倒立摆的初始状态为 $x(0)=[0 \ 0 \ 0 \ 0 \ 0 \ 0]。$ 仿真程序中,取 $M=2,$ 仿真结果如图 8-6~图 8-8 所示。其中,图 8-8 为式(8.17)的鲁棒性能验证结果。

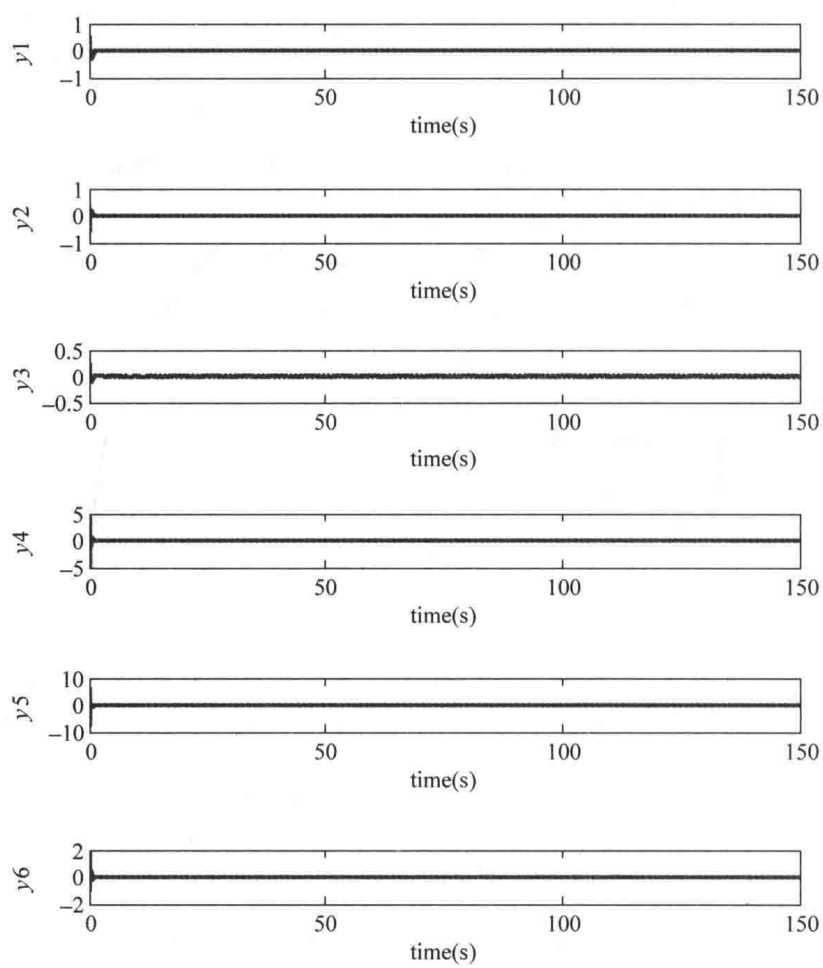


图 8-4 小车、摆 1 及摆 2 的位置和速度响应结果(M=1)

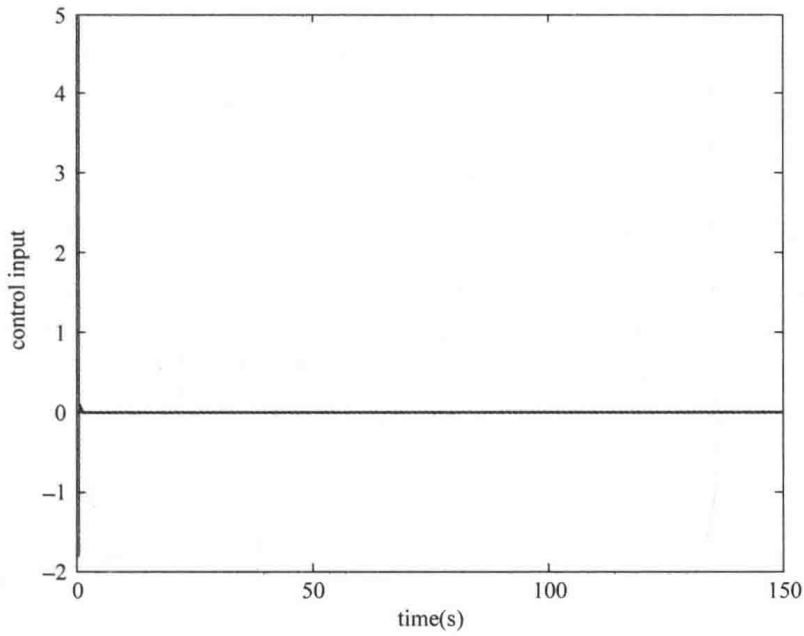


图 8-5 控制输入信号 ($M=1$)

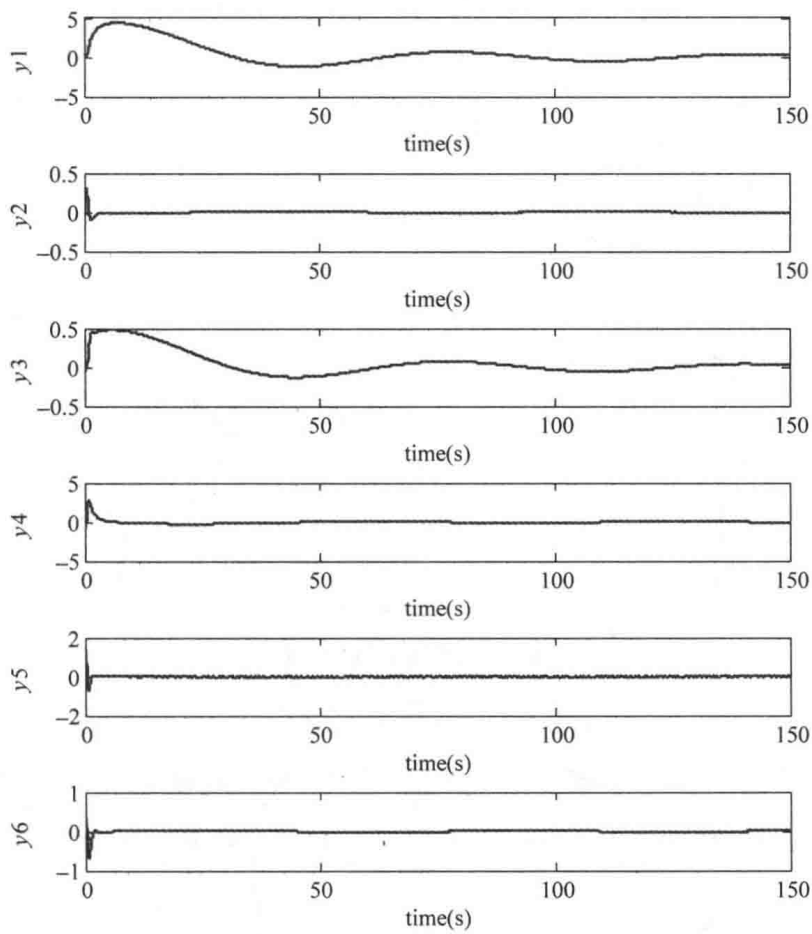


图 8-6 小车、摆 1 及摆 2 的位置和速度响应结果 ($M=2$)

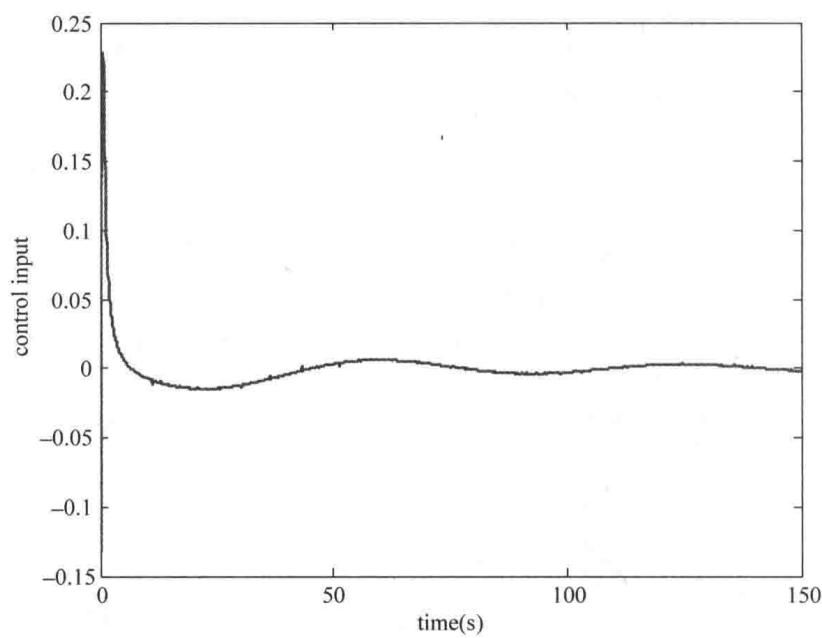


图 8-7 控制输入信号 ($M=2$)

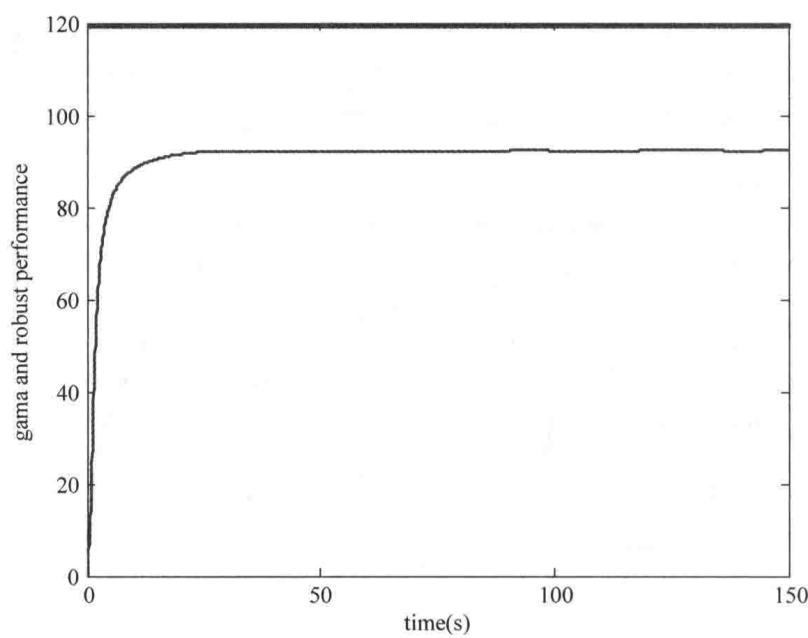


图 8-8 鲁棒性能测试 ($M=2$)

仿真程序如下：

(1) 基于 LMI 的 H^∞ 状态反馈设计程序：chap8_2LMI_design.m。

```
% H Infinity Controller Design based on LMI for Double Inverted Pendulum
clear all;
close all;

A = [0,0,0,1.0,0,0;
     0,0,0,0,1.0,0;
```

```

0,0,0,0,0,-1.0;
0,-3.7864,0.2009,-4.5480,0.0037,-0.0017;
0,41.9965,9.3378,7.6261,-0.0570,0.0349;
0,-25.0347,-29.5778,1.0850,0.0675,-0.0543];
B1=[0;0;0;-1.1902;-55.3119;175.2019];
B2=[0;0;0;68.6019;-115.0316;-16.3660];

C=eye(6);
D=zeros(6,1);

%%%%%%%%%%%%%%%%%%%%%%%%%%%%%%%%%%%%%%%%%%%%%%%%%%%%%%%%%%%%%%%%%%%%%%%%%%%%%%
q1=1.69;q2=2;q3=0.01;q4=0.3;q5=0.1;q6=0.01;
q=[q1,q2,q3,q4,q5,q6];
gama=120;

C1=[diag(q);zeros(1,6)];
rho=1;
D12=[0;0;0;0;0;0;rho];
D11=zeros(7,1);

C2=eye(6);
D21=zeros(6,1);
%%%%%%%%%%%%%%%%%%%%%%%%%%%%%%%%%%%%%%%%%%%%%%%%%%%%%%%%%%%%%%%%%%%%%%%%%%%%%% LMI Model Design %%%%%%%%%%%%%%%%%%%%%%%%%%%%%%%%%%%%%%%%%%%%%%%%%%%%%%%%%%%%%%%%%%%%%%%%%%%%%%%
P1=sdpvar(6,6);
P2=sdpvar(1,6);

FAI=[A*P1+P1*A'+B2*P2+P2'*B2'+1/gama^2*B1*B1'*(C1*P1+D12*P2)';C1*P1+D12*
P2-eye(7)];

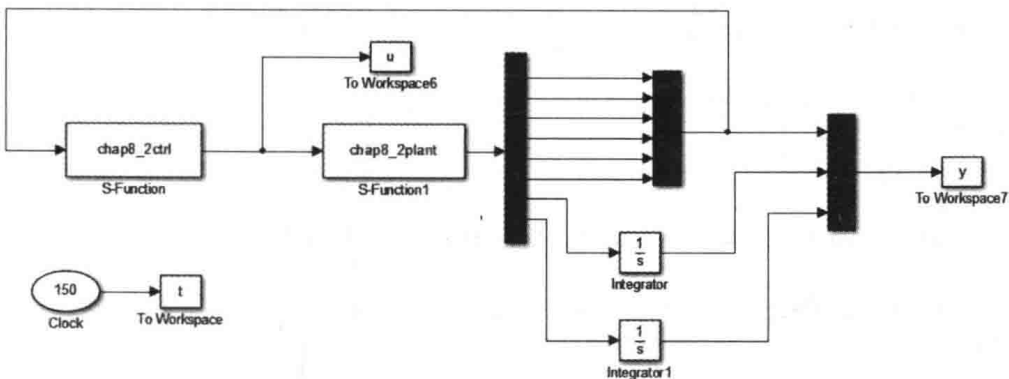
% LMI description
L1=set(P1>0);
L2=set(FAI<0);
LL=L1+L2;

solvesdp(LL);

P1=double(P1);
P2=double(P2);
K=P2*inv(P1)

```

(2) Simulink 主程序: chap8_2sim.mdl。



(3) 控制器 S 函数: chap8_2ctrl.m。

```
function [sys,x0,str,ts] = spacemodel(t,x,u,flag)
switch flag,
case 0,
    [sys,x0,str,ts] = mdlInitializeSizes;
case 3,
    sys = mdlOutputs(t,x,u);
case {2,4,9}
    sys = [];
otherwise
    error(['Unhandled flag = ',num2str(flag)]);
end
function [sys,x0,str,ts] = mdlInitializeSizes
sizes = simsizes;
sizes.NumContStates = 0;
sizes.NumDiscStates = 0;
sizes.NumOutputs = 1;
sizes.NumInputs = 6;
sizes.DirFeedthrough = 1;
sizes.NumSampleTimes = 0;
sys = simsizes(sizes);
x0 = [];
str = [];
ts = [];
function sys = mdlOutputs(t,x,u)
x = u;

K = [-5.4558 17.4984 50.5226 -4.7462 -1.0376 -9.7465];
ut = K * x;

sys(1) = ut;
```

(4) 被控对象 S 函数: chap8_2plant.m。

```
function [sys,x0,str,ts] = s_function(t,x,u,flag)
switch flag,
case 0,
    [sys,x0,str,ts] = mdlInitializeSizes;
case 1,
    sys = mdlDerivatives(t,x,u);
case 3,
    sys = mdlOutputs(t,x,u);
case {2, 4, 9}
    sys = [];
otherwise
    error(['Unhandled flag = ',num2str(flag)]);
end
function [sys,x0,str,ts] = mdlInitializeSizes
global M
M = 1;
```

```

sizes = simsizes;
sizes.NumContStates = 6;
sizes.NumDiscStates = 0;
sizes.NumOutputs = 8;
sizes.NumInputs = 1;
sizes.DirFeedthrough = 1;
sizes.NumSampleTimes = 0;
sys = simsizes(sizes);
if M==1
    x0 = [0.3, -0.2, 0.2, 0, 0, 0];
elseif M==2
    x0 = zeros(1,6);
end
str = [];
ts = [];
function sys = mdlDerivatives(t,x,u)
global M
% Double Link Inverted Pendulum Parameters
A = [0,0,0,1.0,0,0;
      0,0,0,0,1.0,0;
      0,0,0,0,0,-1.0;
      0,-3.7864,0.2009,-4.5480,0.0037,-0.0017;
      0,41.9965,9.3378,7.6261,-0.0570,0.0349;
      0,-25.0347,-29.5778,1.0850,0.0675,-0.0543];
B1 = [0;0;0;-1.1902;-55.3119;175.2019];
B2 = [0;0;0;68.6019;-115.0316;-16.3660];

ut = u(1);
if M==1
    w = 0;
elseif M==2
    w = sin(0.1 * t)/(t + 1);
end

S = A * x + B1 * w' + B2 * ut;
for i = 1:6
    sys(i) = S(i);
end
function sys = mdlOutputs(t,x,u)
global M

if M==1
    w = 0;
elseif M==2
    w = sin(0.1 * t)/(t + 1);
end
q1 = 1.69;q2 = 2;q3 = 0.01;q4 = 0.3;q5 = 0.1;q6 = 0.01;
rho = 1;

z = [q1 * x(1) q2 * x(2) q3 * x(3) q4 * x(4) q5 * x(5) q6 * x(6) rho * u(1)]';

```



```
zp = z' * z;  
wp = w' * w;
```

```
sys(1) = x(1);  
sys(2) = x(2);  
sys(3) = x(3);  
sys(4) = x(4);  
sys(5) = x(5);  
sys(6) = x(6);  
sys(7) = zp;  
sys(8) = wp;
```

(5) 作图程序: chap8_2plot.m。

```
close all;
```

```
figure(1);  
subplot(611);  
plot(t, y(:, 1), 'r');  
xlabel('time(s)'); ylabel('y1');  
subplot(612);  
plot(t, y(:, 2), 'r');  
xlabel('time(s)'); ylabel('y2');  
subplot(613);  
plot(t, y(:, 3), 'r');  
xlabel('time(s)'); ylabel('y3');  
subplot(614);  
plot(t, y(:, 4), 'r');  
xlabel('time(s)'); ylabel('y4');  
subplot(615);  
plot(t, y(:, 5), 'r');  
xlabel('time(s)'); ylabel('y5');  
subplot(616);  
plot(t, y(:, 6), 'r');  
xlabel('time(s)'); ylabel('y6');
```

```
figure(2);  
plot(t, u(:, 1), 'r');  
xlabel('time(s)'); ylabel('control input');
```

```
figure(3);  
zp = y(:, 7);  
wp = y(:, 8);  
gama1 = sqrt(zp ./ (wp + 0.001));  
gama = 120;
```

```
plot(t, gama, 'r', t, gama1, 'b');  
xlabel('time(s)'); ylabel('gama and robust performance');
```

参考文献

- [1] 申铁龙. 机器人鲁棒控制基础[M]. 北京: 清华大学出版社, 2004.
- [2] Shen T L, Tamura K, Kaminaga H. Robust nonlinear control of parametric uncertain systems with unknown friction and its application to a pneumatic control valve[J]. Transactions of the ASME, Journal of Dynamic Systems, Measurement, and Control, 2000, 122, 257-262.
- [3] 刘强, 扈宏杰, 刘金琨, 等. 高精度飞行仿真转台的鲁棒自适应控制[J]. 系统工程与电子技术, 2001, 23(10): 35-38.
- [4] 钟瑞麟, 曾建平, 程鹏. 二级倒立摆的 H^∞ 鲁棒控制器的设计[J]. 北京航空航天大学学报, 2001, 27, 增刊: 61-64.

9.1 基于双曲正切函数切换的滑模控制

9.1.1 双曲正切函数的特性

传统的滑模控制算法存在切换函数,该函数会造成控制输入信号的抖振。为了有效地消除抖振,采用连续的双曲正切函数代替切换函数是一种有效的方法^[1]。通过双曲正切函数的陡度可调节切换的程度。

双曲正切函数定义为

$$\tanh \frac{x}{\epsilon} = \frac{e^{\frac{x}{\epsilon}} - e^{-\frac{x}{\epsilon}}}{e^{\frac{x}{\epsilon}} + e^{-\frac{x}{\epsilon}}} \quad (9.1)$$

其中, $\epsilon > 0$, ϵ 的值决定了双曲正切函数的陡度。

由引理 9.1(见本节附录)可知,双曲正切函数满足 $x \tanh \frac{x}{\epsilon} \geq 0$ 。

9.1.2 仿真实例

取 $\epsilon = 0.50$,双曲正切函数和切换函数如图 9-1 所示。

仿真程序: `tanh_test.m`。

```
clear all;
close all;

xite = 5.0;
ts = 0.01;
for k = 1:1:4000;

s(k) = k * ts - 20;

y1(k) = xite * sign(s(k));

epc = 0.5;
y2(k) = xite * tanh(s(k)/epc);

end
```

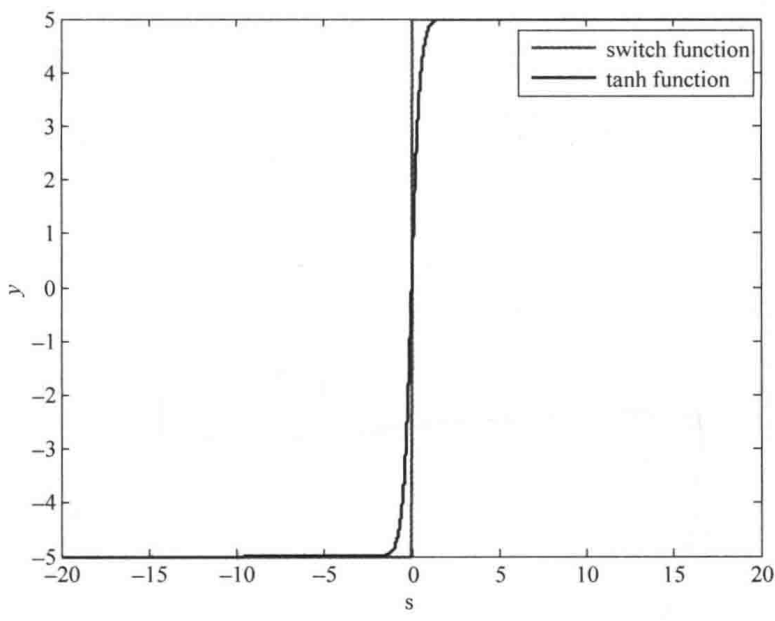


图 9-1 双曲正切函数和切换函数

```
figure(1);
plot(s, y1, 'r', s, y2, 'k', 'linewidth', 2);
xlabel('s'); ylabel('y');
legend('Switch function', 'Tanh function');
```

9.1.3 基于双曲正切函数的滑模控制

考虑如下被控对象

$$J\ddot{\theta}(t) = u(t) + d(t) \tag{9.2}$$

其中, J 为转动惯量, $\theta(t)$ 为角度, $u(t)$ 为控制输入, $d(t)$ 为扰动, $|d(t)| \leq D$ 。

定义滑模函数为

$$s(t) = ce(t) + \dot{e}(t)$$

其中, $c > 0$ 。

则 $e(t) = \theta(t) - \theta_d(t)$, $\dot{e}(t) = \dot{\theta}(t) - \dot{\theta}_d(t)$, 其中, $\theta_d(t)$ 为理想的角速度信号。定义 Lyapunov 函数为

$$V = \frac{1}{2}s^2$$

则 $\dot{s}(t) = c\dot{e}(t) + \ddot{e}(t) = c\dot{e}(t) + \ddot{\theta}(t) - \ddot{\theta}_d(t) = c\ddot{e}(t) + \frac{1}{J}(u + d(t)) - \ddot{\theta}_d(t)$, 从而

$$\dot{V} = s\dot{s} = s\left(c\ddot{e} + \frac{1}{J}(u + d(t)) - \ddot{\theta}_d\right)$$

为了保证闭环系统稳定且滑模函数收敛, 可采用以下两种控制方法。

1. 基于切换函数的滑模控制

$$u(t) = J(-c\ddot{e} + \ddot{\theta}_d - \eta s) - D\text{sgn}(s) \tag{9.3}$$

则

$$\begin{aligned} s\dot{s} &= s \left(c\ddot{e} + (-c\ddot{e} + \ddot{\theta}_d - \eta s) - \frac{1}{J}D \operatorname{sgn}(s) + \frac{1}{J}d(t) - \ddot{\theta}_d \right) \\ &= s \left(-\eta s - \frac{1}{J}D \operatorname{sgn}(s) + \frac{1}{J}d(t) \right) \\ &= -\eta s^2 - \frac{1}{J}D |s| + \frac{1}{J}sd(t) \leq -\eta s^2 = -2\eta V \end{aligned}$$

从而 $\dot{V} \leq -2\eta V$, 根据引理 9.3, 可得

$$V(t) \leq e^{-2\eta(t-t_0)} V(t_0)$$

可见, 采用基于切换函数的控制律, 滑模函数指数收敛, 收敛进度取决于 η 。

2. 基于双曲正切的滑模控制

$$u(t) = J(-c\ddot{e} + \ddot{\theta}_d - \eta s) - D \tanh\left(\frac{s}{\epsilon}\right) \quad (9.4)$$

根据引理 9.2, 有 $|s| - s \tanh\left(\frac{s}{\epsilon}\right) \leq \mu\epsilon$, 则 $D|s| - Ds \tanh\left(\frac{s}{\epsilon}\right) \leq D\mu\epsilon$, 即

$$-Ds \tanh\left(\frac{s}{\epsilon}\right) \leq -D|s| + D\mu\epsilon$$

从而

$$\begin{aligned} s\dot{s} &= s \left(c\ddot{e} + \frac{1}{J}(u + d(t)) - \ddot{\theta}_d \right) \\ &= s \left(c\ddot{e} + (-c\ddot{e} + \ddot{\theta}_d - \eta s) - \frac{1}{J}D \tanh\left(\frac{s}{\epsilon}\right) + \frac{1}{J}d(t) - \ddot{\theta}_d \right) \\ &= s \left(-\eta s - \frac{1}{J}D \tanh\left(\frac{s}{\epsilon}\right) + \frac{1}{J}d(t) \right) \\ &= -\eta s^2 + \frac{1}{J} \left(-Ds \tanh\left(\frac{s}{\epsilon}\right) + sd(t) \right) \\ &\leq -\eta s^2 + \frac{1}{J}(-D|s| + D\mu\epsilon + sd(t)) \\ &\leq -\eta s^2 + \frac{1}{J}D\mu\epsilon = -2\eta V + b \end{aligned}$$

其中, $b = \frac{1}{J}D\mu\epsilon$ 。

即 $\dot{V} \leq -2\eta V + b$ 。根据引理 9.3, 可得

$$\begin{aligned} V(t) &\leq e^{-2\eta(t-t_0)} V(t_0) + be^{-2\eta t} \int_{t_0}^t e^{2\eta\tau} d\tau \\ &= e^{-2\eta(t-t_0)} V(t_0) + \frac{be^{-2\eta t}}{2\eta} (e^{2\eta t} - e^{2\eta t_0}) \\ &= e^{-2\eta(t-t_0)} V(t_0) + \frac{b}{2\eta} (1 - e^{-2\eta(t-t_0)}) \\ &= e^{-2\eta(t-t_0)} V(t_0) + \frac{D\mu\epsilon}{2\eta J} (1 - e^{-2\eta(t-t_0)}) \end{aligned}$$

则

$$\lim_{t \rightarrow \infty} V(t) \leq \frac{D\mu\epsilon}{2\eta J} \tag{9.5}$$

由式(9.5)可知,滑模函数 s 的跟踪误差 e 及其变化率 \dot{e} 渐进收敛,其收敛精度取决于 D 、 η 和 ϵ 。

9.1.4 仿真实例

考虑如下被控对象

$$J\ddot{\theta}(t) = u(t) + d(t)$$

取 $J=10$,理想角度为 $\theta_d(t)=\sin t$,取 $d(t)=50\sin t$,被控对象的初始状态为 $[0.5,1.0]$,取 $c=0.50$, $\eta=10$, $D=50$, $\epsilon=0.02$,分别采用控制律式(9.3)和式(9.4),仿真结果如图 9-2~图 9-5 所示。

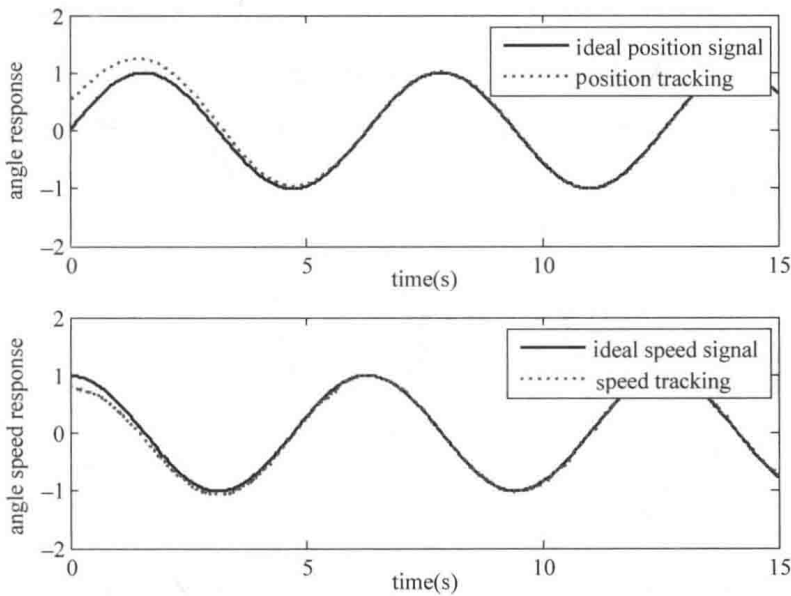


图 9-2 基于切换函数的角度和角速度跟踪

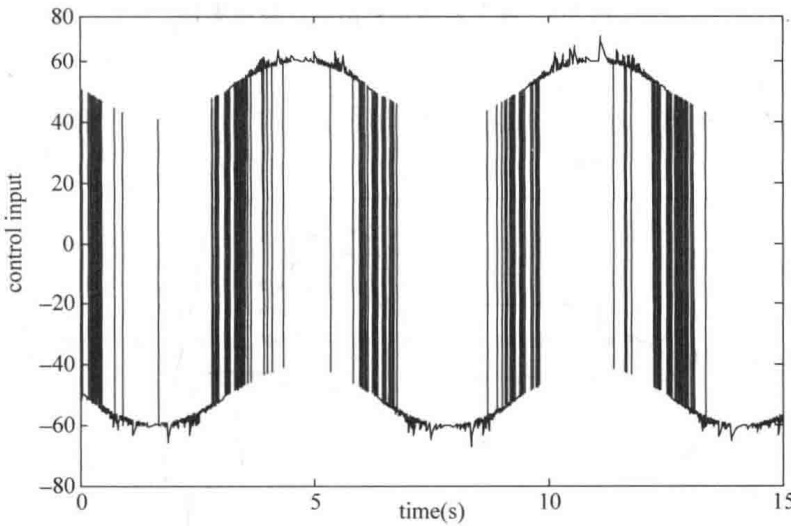


图 9-3 基于切换函数的控制输入

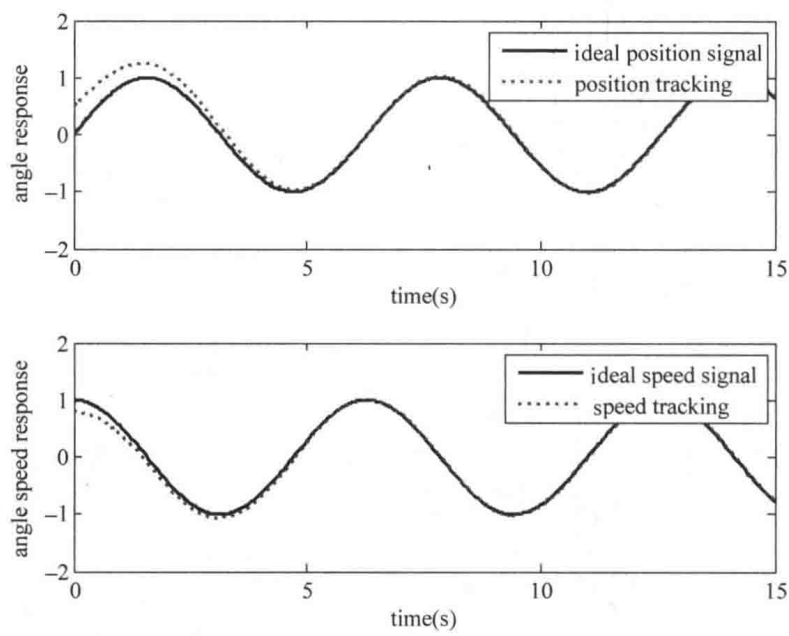


图 9-4 基于双曲正切函数的角度和角速度跟踪

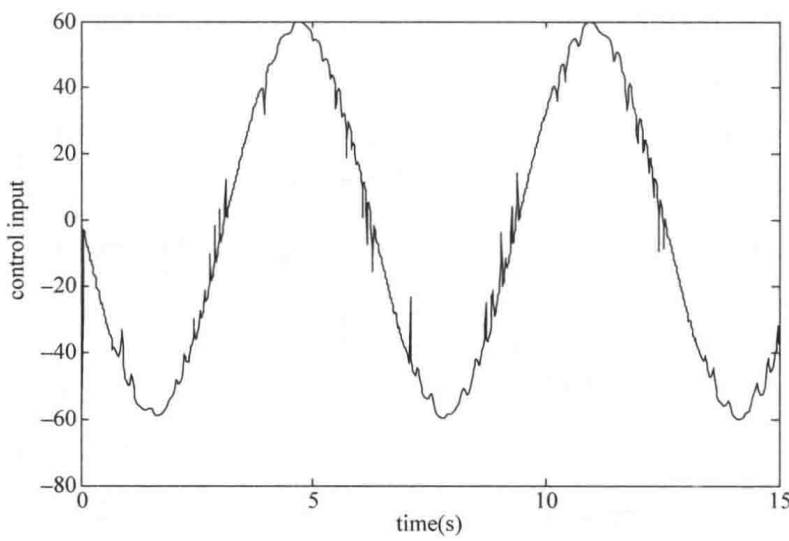
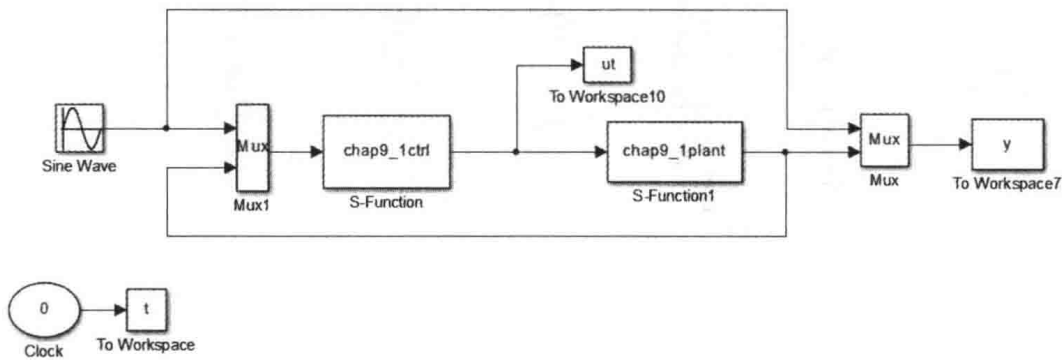


图 9-5 基于双曲正切函数的控制输入

仿真程序如下：
(1) Simulink 主程序：chap9_1sim.mdl。



(2) 控制律 S 函数: chap9_1ctrl.m。

```
function [sys,x0,str,ts] = spacemodel(t,x,u,flag)
switch flag,
case 0,
    [sys,x0,str,ts] = mdlInitializeSizes;
case 3,
    sys = mdlOutputs(t,x,u);
case {2,4,9}
    sys = [];
otherwise
    error(['Unhandled flag = ',num2str(flag)]);
end
function [sys,x0,str,ts] = mdlInitializeSizes
sizes = simsizes;
sizes.NumContStates = 0;
sizes.NumDiscStates = 0;
sizes.NumOutputs = 1;
sizes.NumInputs = 3;
sizes.DirFeedthrough = 1;
sizes.NumSampleTimes = 0;
sys = simsizes(sizes);
x0 = [];
str = [];
ts = [];
function sys = mdlOutputs(t,x,u)
thd = u(1);
dthd = cos(t);
ddthd = -sin(t);

th = u(2);
dth = u(3);

c = 0.5;
e = th - thd;
de = dth - dthd;
s = c * e + de;

J = 10;
xite = 10;
D = 50;
epc = 0.02;

M = 2;
if M == 1
    ut = J * (-c * de + ddthd - xite * s) - D * sign(s);
elseif M == 2
    ut = J * (-c * de + ddthd - xite * s) - D * tanh(s/epc);
end
sys(1) = ut;
```


(3) 被控对象 S 函数: chap9_1plant.m。

```
function [sys,x0,str,ts] = s_function(t,x,u,flag)
switch flag,
case 0,
    [sys,x0,str,ts] = mdlInitializeSizes;
case 1,
    sys = mdlDerivatives(t,x,u);
case 3,
    sys = mdlOutputs(t,x,u);
case {2, 4, 9 }
    sys = [];
otherwise
    error(['Unhandled flag = ',num2str(flag)]);
end
function [sys,x0,str,ts] = mdlInitializeSizes
sizes = simsizes;
sizes.NumContStates    = 2;
sizes.NumDiscStates    = 0;
sizes.NumOutputs       = 2;
sizes.NumInputs        = 1;
sizes.DirFeedthrough   = 0;
sizes.NumSampleTimes   = 0;
sys = simsizes(sizes);
x0 = [0.5 1.0];
str = [];
ts = [];
function sys = mdlDerivatives(t,x,u)
J = 10;
dt = 50 * sin(t);
sys(1) = x(2);
sys(2) = 1/J * (u + dt);
function sys = mdlOutputs(t,x,u)
sys(1) = x(1);
sys(2) = x(2);
```

(4) 作图程序: chap9_1plot.m。

```
close all;

figure(1);
subplot(211);
plot(t,y(:,1),'k',t,y(:,2),'r:','linewidth',2);
legend('ideal position signal','position tracking');
xlabel('time(s)');ylabel('angle response');
subplot(212);
plot(t,cos(t),'k',t,y(:,3),'r:','linewidth',2);
legend('Ideal speed signal','speed tracking');
xlabel('time(s)');ylabel('angle speed response');

figure(2);
plot(t,ut(:,1),'k','linewidth',0.01);
xlabel('time(s)');ylabel('control input');
```

附录

引理 9.1^[1] 针对任意给定的实数 x , 存在下面的不等式

$$x \tanh\left(\frac{x}{\epsilon}\right) = \left| x \tanh\left(\frac{x}{\epsilon}\right) \right| = |x| \left| \tanh\left(\frac{x}{\epsilon}\right) \right| \geq 0$$

其中, $\epsilon > 0$ 。

引理 9.1 说明如下: 根据双曲正切函数的定义, 有

$$x \tanh\left(\frac{x}{\epsilon}\right) = x \frac{e^{\frac{x}{\epsilon}} - e^{-\frac{x}{\epsilon}}}{e^{\frac{x}{\epsilon}} + e^{-\frac{x}{\epsilon}}} = \frac{1}{e^{\frac{2x}{\epsilon}} + 1} x (e^{\frac{2x}{\epsilon}} - 1)$$

由于

$$e^{\frac{2x}{\epsilon}} - 1 \geq 0, \quad x \geq 0$$

$$e^{\frac{2x}{\epsilon}} - 1 < 0, \quad x < 0$$

则 $x(e^{\frac{2x}{\epsilon}} - 1) \geq 0$, 从而 $x \tanh \frac{x}{\epsilon} = \frac{1}{e^{\frac{2x}{\epsilon}} + 1} x (e^{\frac{2x}{\epsilon}} - 1) \geq 0$, 即

$$x \tanh \frac{x}{\epsilon} = \left| x \tanh \frac{x}{\epsilon} \right| = |x| \left| \tanh \frac{x}{\epsilon} \right| \geq 0$$

引理 9.2^[2] 针对任意给定的实数 x , 存在下面的不等式

$$0 \leq |x| - x \tanh\left(\frac{x}{\epsilon}\right) \leq \mu \epsilon, \quad \mu = 0.2785$$

其中, $\epsilon > 0$ 。

引理 9.3^[3] Let $f, V: [0, \infty) \in \mathbf{R}$, 如果 $\dot{V} \leq -\alpha V + f, \forall t \geq t_0 \geq 0$, 则

$$V(t) \leq e^{-\alpha(t-t_0)} V(t_0) + \int_{t_0}^t e^{-\alpha(t-\tau)} f(\tau) d\tau$$

其中, α 为任意实数。

根据文献[3], 可证明引理 9.3。取 $\omega(t) \triangleq \dot{V} + \alpha V - f$, 则 $\omega(t) \leq 0$, 且

$$\dot{V} = -\alpha V + f + \omega$$

解方程可得

$$V(t) = e^{-\alpha(t-t_0)} V(t_0) + \int_{t_0}^t e^{-\alpha(t-\tau)} f(\tau) d\tau + \int_{t_0}^t e^{-\alpha(t-\tau)} \omega(\tau) d\tau$$

由于 $\omega(t) < 0, \forall t \geq t_0 \geq 0$, 则

$$V(t) \leq e^{-\alpha(t-t_0)} V(t_0) + \int_{t_0}^t e^{-\alpha(t-\tau)} f(\tau) d\tau$$

取 $f=0$, 则有 $\dot{V} \leq -\alpha V$, 即

$$V(t) \leq e^{-\alpha(t-t_0)} V(t_0)$$

如果 α 为正实数, 则 $V(t)$ 指数趋近于零。

9.2 基于位置动力学模型的机械手末端轨迹滑模控制

由于机械手通常是以关节角度进行动力学建模的,通过设计执行机构施加的关节扭矩 τ ,可实现关节角度和关节角速度的跟踪。

然而,在实际工程中,通常需要针对机械手末端轨迹的控制,这就需要建立工作空间关节末端节点直角坐标 (x_1, x_2) 的动力学模型,并设计加在关节末端节点的控制律 F_x ,通过 F_x 与 τ 之间的映射关系,求出实际的关节扭矩 $\tau^{[4]}$ 。

9.2.1 工作空间直角坐标与关节角位置的转换

将工作空间中的关节末端节点直角坐标 (x_1, x_2) 转换为二关节角位置 (q_1, q_2) 的问题,即机器人的逆向运动学问题。

根据图 9-6,根据末端端点在工作空间中的位置求关节角度 q_1 和 q_2 ,文献[5]给出了表示方法,但需要修正。

根据图 9-6 可得末端在工作空间中的位置为

$$\begin{cases} x_1 = l_1 \cos q_1 + l_2 \cos(q_1 + q_2) \\ x_2 = l_1 \sin q_1 + l_2 \sin(q_1 + q_2) \end{cases} \quad (9.6)$$

则

$$x_1^2 + x_2^2 = l_1^2 + l_2^2 + 2l_1 l_2 \cos q_2$$

从而可得

$$q_2 = \arccos\left(\frac{x_1^2 + x_2^2 - l_1^2 - l_2^2}{2l_1 l_2}\right) \quad (9.7)$$

根据图 9-6,可得

$$\alpha = \arctan \frac{x_2}{x_1}, \quad x_1 \geq 0 \quad \text{或} \quad \alpha = \pi + \arctan \frac{x_2}{x_1}, \quad x_1 < 0$$

余弦定理是揭示三角形边角关系的重要定理,根据余弦定理,由图 9-6 可得 $l_2^2 = l_1^2 + (x_1^2 + x_2^2) - 2l_1 \sqrt{x_1^2 + x_2^2} \cos \beta$,则

$$\beta = \arccos \frac{x_1^2 + x_2^2 + l_1^2 - l_2^2}{2l_1 \sqrt{x_1^2 + x_2^2}}$$

从而

$$q_1 = \begin{cases} \alpha - \beta, & q_2 > 0 \\ \alpha + \beta, & q_2 \leq 0 \end{cases} \quad (9.8)$$

定义 $\mathbf{x} = [x_1 \quad x_2]$, $\mathbf{q} = [q_1 \quad q_2]$,则 $d\mathbf{x} = \frac{\partial \mathbf{x}}{\partial \mathbf{q}} d\mathbf{q}$,定义 $\mathbf{J} = \frac{\partial \mathbf{x}}{\partial \mathbf{q}}$,则

$$d\mathbf{x} = \mathbf{J} \cdot d\mathbf{q}$$

其中, $\mathbf{J} = \begin{bmatrix} \frac{\partial x_1}{\partial q_1} & \frac{\partial x_1}{\partial q_2} \\ \frac{\partial x_2}{\partial q_1} & \frac{\partial x_2}{\partial q_2} \end{bmatrix}$,表示机械手末端端点速度与机械臂关节角速度之间关系的雅可比

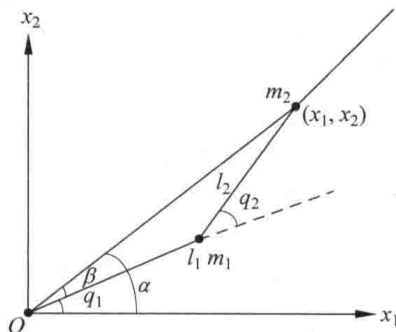


图 9-6 二自由度机械手

矩阵。

由式(9.6)可得 $\frac{\partial x_1}{\partial q_1} = -l_1 \sin q_1 - l_2 \sin(q_1 + q_2)$, $\frac{\partial x_1}{\partial q_2} = -l_2 \sin(q_1 + q_2)$, $\frac{\partial x_2}{\partial q_1} = l_1 \cos q_1 + l_2 \cos(q_1 + q_2)$, $\frac{\partial x_2}{\partial q_2} = l_2 \cos(q_1 + q_2)$, 则

$$\begin{aligned} J(q) &= \begin{bmatrix} -l_1 \sin(q_1) - l_2 \sin(q_1 + q_2) & -l_2 \sin(q_1 + q_2) \\ l_1 \cos(q_1) + l_2 \cos(q_1 + q_2) & l_2 \cos(q_1 + q_2) \end{bmatrix} \\ \dot{J}(q) &= \begin{bmatrix} -l_1 \cos(q_1) - l_2 \cos(q_1 + q_2) & -l_2 \cos(q_1 + q_2) \\ -l_1 \sin(q_1) - l_2 \sin(q_1 + q_2) & -l_2 \sin(q_1 + q_2) \end{bmatrix} \dot{q}_1 + \\ &\quad \begin{bmatrix} -l_2 \cos(q_1 + q_2) & -l_2 \cos(q_1 + q_2) \\ -l_2 \sin(q_1 + q_2) & -l_2 \sin(q_1 + q_2) \end{bmatrix} \dot{q}_2 \end{aligned} \quad (9.9)$$

可见, $J(q)$ 是由结构决定的, 假定它在有界的工作空间 Ω 中是非奇异的。

9.2.2 机械手在工作空间的建模

考虑一个刚性 n 关节机械手, 其动态特性为

$$D(q)\ddot{q} + C(q, \dot{q})\dot{q} + G(q) = \tau \quad (9.10)$$

其中, $q \in \mathbf{R}^n$ 是表示关节变量的向量, $\tau \in \mathbf{R}^n$ 是执行机构施加的关节扭矩向量, $D(q) \in \mathbf{R}^{n \times n}$ 为对称正定惯性矩阵, $C(q, \dot{q}) \in \mathbf{R}^{n \times n}$ 为哥氏力和离心力向量, $G(q) \in \mathbf{R}^n$ 为重力向量。

为了实现末端位置的控制, 需要将关节角度动力学方程转换为基于末端位置的力学方程。

在静态平衡状态下, 传递到机械手末端力的 F_x 与关节力矩 τ 之间存在线性映射关系, 通过虚功原理可得^[6]

$$F_x = J^{-T}(q)\tau \quad (9.11)$$

由于 $\dot{x} = J \cdot \dot{q}$, 则 $\dot{q} = J^{-1}\dot{x}$, $\ddot{x} = \dot{J}\dot{q} + J\ddot{q} = \dot{J}J^{-1}\dot{x} + J\ddot{q}$, 从而

$$\ddot{q} = J^{-1}(\ddot{x} - \dot{J}J^{-1}\dot{x})$$

将上式代入式(9.10), 可得

$$D(q)J^{-1}(\ddot{x} - \dot{J}J^{-1}\dot{x}) + C(q, \dot{q})J^{-1}\dot{x} + G(q) = \tau$$

即

$$D(q)J^{-1}\ddot{x} - D(q)J^{-1}\dot{J}J^{-1}\dot{x} + C(q, \dot{q})J^{-1}\dot{x} + G(q) = \tau$$

整理得

$$D(q)J^{-1}\ddot{x} + (C(q, \dot{q}) - D(q)J^{-1}\dot{J})J^{-1}\dot{x} + G(q) = \tau$$

则

$$J^{-T}(q)(D(q)J^{-1}\ddot{x} + (C(q, \dot{q}) - D(q)J^{-1}\dot{J})J^{-1}\dot{x} + G(q)) = J^{-T}(q)\tau$$

同时, 考虑建模不确定性, 从而得到如下模型

$$D_x(q)\ddot{x} + C_x(q, \dot{q})\dot{x} + G_x(q) + \Delta(q, \dot{q}, \ddot{q}) = F_x \quad (9.12)$$

其中, $D_x(q) = J^{-T}(q)D(q)J^{-1}(q)$, $C_x(q, \dot{q}) = J^{-T}(q)(C(q, \dot{q}) - D(q)J^{-1}(q)\dot{J}(q))J^{-1}(q)$,

$G_x(q)=J^{-T}(q)G(q),\|\Delta(q,\dot{q},\ddot{q})\|\leqslant\eta。$

机械手动态方程具有下面的特性^[4]：

- (1) 惯性矩阵 $D_x(q)$ 对称正定。
- (2) 矩阵 $\dot{D}_x(q)-2C_x(q,\dot{q})$ 是斜对称的。

9.2.3 滑模控制器的设计

设 $x_d(t)$ 是在工作空间中的理想轨迹,则 $\dot{x}_d(t)$ 和 $\ddot{x}_d(t)$ 分别是理想的速度和加速度。
定义

$$\begin{cases} e(t)=x_d(t)-x(t) \\ \dot{x}_r(t)=\dot{x}_d(t)+\Lambda e(t) \\ s(t)=\dot{x}_r(t)-\dot{x}(t)=\ddot{e}(t)+\Lambda e(t) \end{cases}$$

其中, Λ 为正定矩阵。

设计一种具有光滑双曲正切切换的滑模控制器为

$$F_x=D_x(q)\ddot{x}_r+C_x(q,\dot{q})\dot{x}_r+G_x(q)+Ks+\eta\tanh\frac{s}{\epsilon} \tag{9.13}$$

其中, $K>0,\epsilon>0。$

将控制律式(9.13)代入式(9.12),得

$$\begin{aligned} &D_x(q)\ddot{x}+C_x(q,\dot{q})\dot{x}+G_x(q)+\Delta(q,\dot{q},\ddot{q}) \\ &=D_x(q)\ddot{x}_r+C_x(q,\dot{q})\dot{x}_r+G_x(q)+Ks+\eta\tanh\frac{s}{\epsilon} \end{aligned}$$

将 $\dot{x}=\dot{x}_r-s,\ddot{x}=\ddot{x}_r-\dot{s}$ 代入上式得

$$D_x(q)\dot{s}+C_x(q,\dot{q})s+Ks+\eta\tanh\frac{s}{\epsilon}-\Delta(q,\dot{q},\ddot{q})=0$$

由于 $D_x(q)$ 为对称正定,则可定义 Lyapunov 函数

$$V=\frac{1}{2}s^TD_x(q)s$$

则

$$\dot{V}=s^TD_x\dot{s}+\frac{1}{2}s^T\dot{D}_xs$$

由于矩阵 $\dot{D}_x(q)-2C_x(q,\dot{q})$ 是斜对称的,则 $s^T(\dot{D}_x-2C_x)s=0$,即 $\frac{1}{2}s^T\dot{D}_xs=s^TC_xs$,
代入上式得

$$\dot{V}=s^TD_x\dot{s}+s^TC_xs=s^T(D_x\dot{s}+C_xs)=s^T(-Ks-\eta\tanh\frac{s}{\epsilon}+\Delta(q,\dot{q},\ddot{q}))$$

根据引理 9.1 和引理 9.2,有

$$\begin{aligned} s^T\left(-\eta\tanh\frac{s}{\epsilon}+\Delta(q,\dot{q},\ddot{q})\right) &= -\eta s^T\tanh\frac{s}{\epsilon}+s^T\Delta(q,\dot{q},\ddot{q}) \\ &\leqslant -\eta\|s\|+\eta\mu\epsilon+s^T\Delta(q,\dot{q},\ddot{q})\leqslant \eta\mu\epsilon \end{aligned}$$

其中, $\mu=0.2785。$

于是

$$\begin{aligned}\dot{V} &\leq -s^T K s + \eta \mu \epsilon \leq -\lambda_{\min}(K) s^T s + \eta \mu \epsilon \\ &= -\frac{2\lambda_{\min}(K)}{\lambda_{\max}(D_x)} \frac{1}{2} \lambda_{\max}(D_x) s^T s + \eta \mu \epsilon \leq -2\lambda V + b\end{aligned}$$

其中, $\lambda_{\max}(D_x)$ 和 $\lambda_{\min}(K)$ 分别为 D_x 和 K 的最大特征值, $\lambda = \frac{\lambda_{\min}(K)}{\lambda_{\max}(D_x)}$, $b = \eta \mu \epsilon$ 。

根据 $\dot{V} \leq -2\lambda V + b$, 采用引理 9.3^[3], 可得

$$\begin{aligned}V(t) &\leq e^{-2\lambda(t-t_0)} V(t_0) + b e^{-2\lambda t} \int_{t_0}^t e^{2\lambda \tau} d\tau \\ &= e^{-2\lambda(t-t_0)} V(t_0) + \frac{b e^{-2\lambda t}}{2\lambda} (e^{2\lambda t} - e^{2\lambda t_0}) \\ &= e^{-2\lambda(t-t_0)} V(t_0) + \frac{b}{2\lambda} (1 - e^{-2\lambda(t-t_0)})\end{aligned}$$

则

$$\lim_{t \rightarrow \infty} V(t) \leq \frac{\eta \mu \epsilon}{2\lambda}$$

根据上式, 跟踪误差和误差导数渐进收敛, 收敛精度取决于 ϵ 、 λ 和 η , 即 ϵ 越小, K 越大, Δ 越小, 收敛效果就越好。

9.2.4 仿真实例

考虑平面两关节机械手, 机器人的动力学方程为

$$D(q)\ddot{q} + C(q, \dot{q})\dot{q} + G(q) = \tau$$

其中,

$$\begin{aligned}D(q) &= \begin{bmatrix} m_1 + m_2 + 2m_3 \cos q_2 & m_2 + m_3 \cos q_2 \\ m_2 + m_3 \cos q_2 & m_2 \end{bmatrix} \\ C(q, \dot{q}) &= \begin{bmatrix} -m_3 \dot{q}_2 \sin q_2 & -m_3 (\dot{q}_1 + \dot{q}_2) \sin q_2 \\ m_3 \dot{q}_1 \sin q_2 & 0.0 \end{bmatrix} \\ G(q) &= \begin{bmatrix} m_4 g \cos q_1 + m_5 g \cos(q_1 + q_2) \\ m_5 g \cos(q_1 + q_2) \end{bmatrix}\end{aligned}$$

上式中 m_i 值由式 $M = P + p_i L$ 给出, 有

$$M = [m_1 \quad m_2 \quad m_3 \quad m_4 \quad m_5]^T$$

$$P = [p_1 \quad p_2 \quad p_3 \quad p_4 \quad p_5]^T$$

$$L = [l_1^2 \quad l_2^2 \quad l_1 l_2 \quad l_1 \quad l_2]^T$$

其中, p_i 为负载, l_1 和 l_2 分别为关节 1 和关节 2 的长度, P 是机器人自身的参数向量。机械力臂实际参数为 $p_i = 0.50$, $P = [1.66 \quad 0.42 \quad 0.63 \quad 3.75 \quad 1.25]^T$, $l_1 = l_2 = 1$ 。

在笛卡儿空间中的理想跟踪轨迹取 $x_{d1} = \cos t$, $x_{d2} = \sin t$, 该轨迹为一个半径为 1.0, 圆心在 $(x_1, x_2) = (1.0, 1.0)$ 的圆。初始条件为 $x(0) = [1.0 \quad 1.0]^T$, $\dot{x}(0) = [0.0 \quad 0.0]^T$ 。

由于跟踪轨迹为工作空间中的直角坐标, 而不是关节空间中的角位置, 应按式(9.7)和

式(9.8)将工作空间中的关节末端直角坐标 (x_1, x_2) 转换为关节角位置 (q_1, q_2) 。

按工作空间模型式(9.12)实现被控对象的描述,考虑 $\Delta(q, \dot{q}, \ddot{q}) = 10\sin t$, 滑模控制器取式(9.13), 并通过式(9.11)可转换为实际控制器, 控制器的增益选为 $K = \begin{bmatrix} 30 & 0 \\ 0 & 30 \end{bmatrix}$, $\Delta = \begin{bmatrix} 15 & 0 \\ 0 & 15 \end{bmatrix}$, $\eta = 12, \epsilon = 0.10$ 。仿真结果如图 9-7~图 9-10 所示。

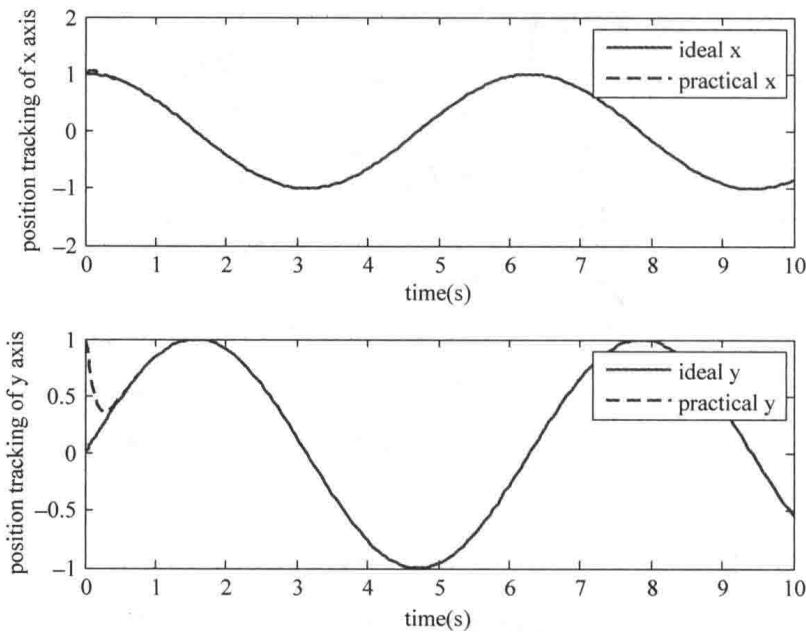


图 9-7 末关节节点的位置跟踪

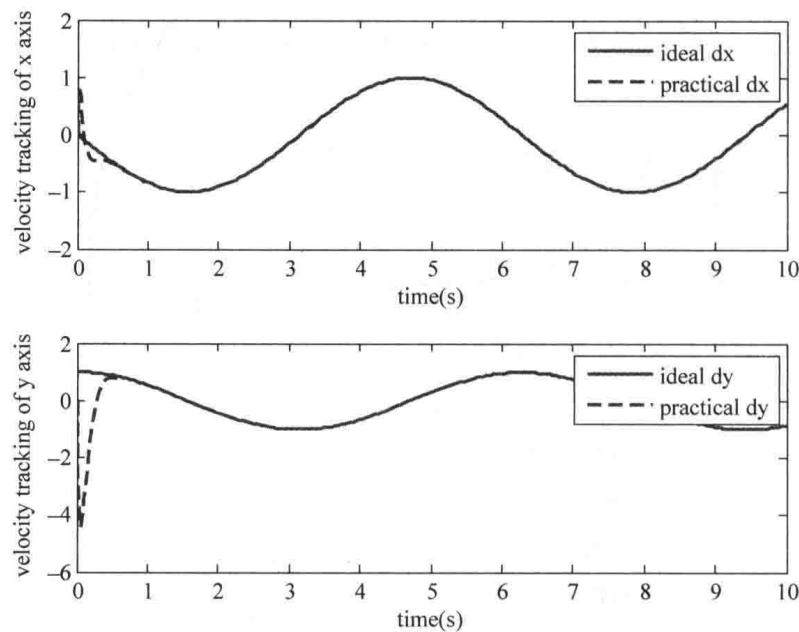


图 9-8 末关节节点的速度跟踪

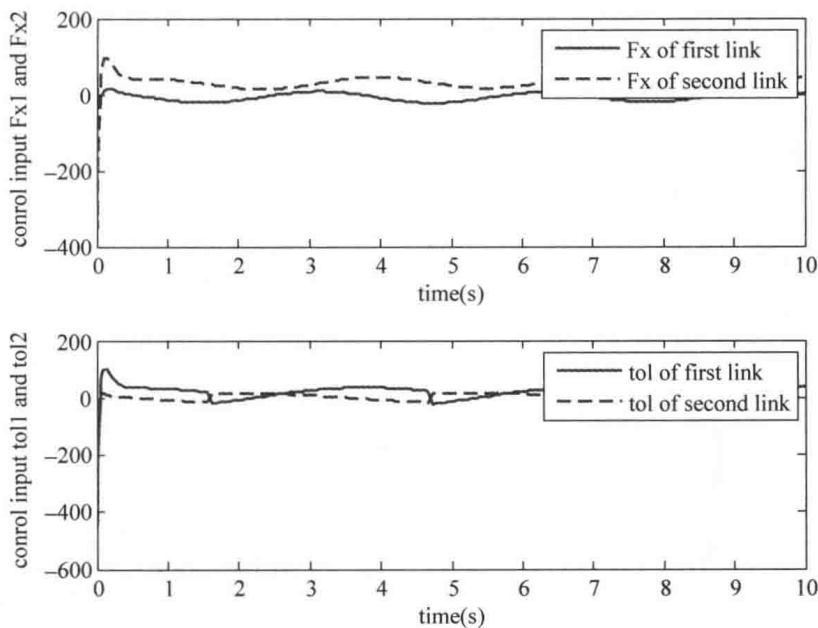
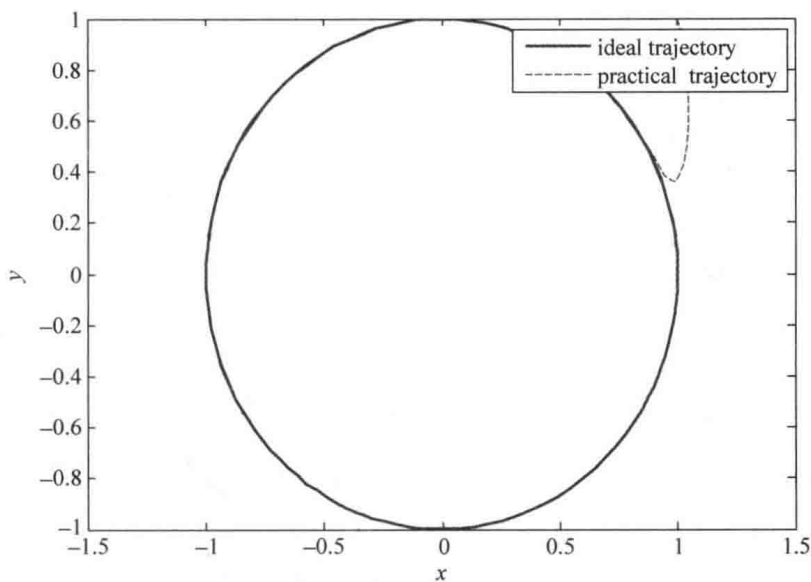
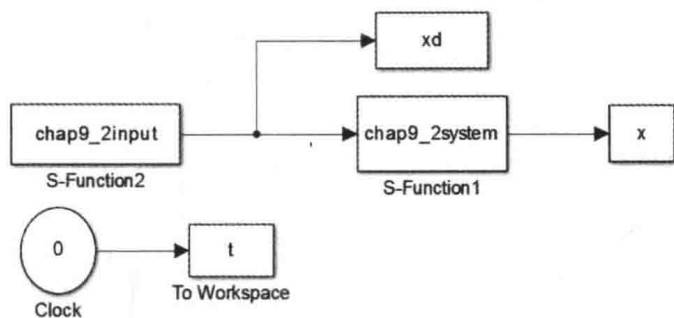

 图 9-9 控制输入 F_x 和 τ


图 9-10 轨迹跟踪效果

仿真程序如下：

(1) Simulink 主程序：chap9_2sim.mdl。



(2) 输入指令 S 函数：chap9_2input.m。

```
function [sys,x0,str,ts] = spacemodel(t,x,u,flag)
switch flag,
case 0,
    [sys,x0,str,ts] = mdlInitializeSizes;
case 1,
    sys = mdlDerivatives(t,x,u);
case 3,
    sys = mdlOutputs(t,x,u);
case {2,4,9}
    sys = [];
otherwise
    error(['Unhandled flag = ',num2str(flag)]);
end
function [sys,x0,str,ts] = mdlInitializeSizes
sizes = simsizes;
sizes.NumContStates = 0;
sizes.NumDiscStates = 0;
sizes.NumOutputs = 6;
sizes.NumInputs = 0;
sizes.DirFeedthrough = 1;
sizes.NumSampleTimes = 1;
sys = simsizes(sizes);
x0 = [];
str = [];
ts = [0 0];
function sys = mdlOutputs(t,x,u)
xd1 = cos(t);
d_xd1 = -sin(t);
dd_xd1 = -cos(t);
xd2 = sin(t);
d_xd2 = cos(t);
dd_xd2 = -sin(t);
sys(1) = xd1;
sys(2) = d_xd1;
sys(3) = dd_xd1;
sys(4) = xd2;
sys(5) = d_xd2;
sys(6) = dd_xd2;
```

(3) 控制器及被控对象 S 函数：chap9_2system.m。

```
function [sys,x0,str,ts] = s_function(t,x,u,flag)
switch flag,
case 0,
    [sys,x0,str,ts] = mdlInitializeSizes;
case 1,
    sys = mdlDerivatives(t,x,u);
case 3,
    sys = mdlOutputs(t,x,u);
```

```

case {2, 4, 9 }
    sys = [];
otherwise
    error(['Unhandled flag = ', num2str(flag)]);
end
function [sys,x0,str,ts]=mdlInitializeSizes
global J Fx
sizes = simsizes;
sizes.NumContStates    = 4;
sizes.NumDiscStates    = 0;
sizes.NumOutputs       = 8;
sizes.NumInputs        = 6;
sizes.DirFeedthrough   = 1;
sizes.NumSampleTimes   = 0;
sys = simsizes(sizes);
x0 = [1 0 1 0];
str = [];
ts = [];
J = 0; Dx = 0; Cx = 0; Gx = 0; Fx = [0 0];
function sys = mdlDerivatives(t,x,u)
global J Fx
xd1 = u(1);
d_xd1 = u(2);
dd_xd1 = u(3);
xd2 = u(4);
d_xd2 = u(5);
dd_xd2 = u(6);

l1 = 1; l2 = 1;
P = [1.66 0.42 0.63 3.75 1.25];
g = 9.8;
L = [l1^2 l2^2 l1 * l2 l1 l2];

p1 = 0.5;

M = P + p1 * L;
Q = (x(1)^2 + x(3)^2 - l1^2 - l2^2)/(2 * l1 * l2);
q2 = acos(Q);
dq2 = - 1/sqrt(1 - Q^2);

A = x(3)/x(1);
p1 = atan(A);
d_p1 = 1/(1 + A^2);

B = sqrt(x(1)^2 + x(3)^2 + l1^2 - l2^2)/(2 * l1 * sqrt(x(1)^2 + x(3)^2));
p2 = acos(B);
d_p2 = - 1/sqrt(1 - B^2);

if q2 > 0
    q1 = p1 - p2;
    dq1 = d_p1 - d_p2;

```

```

else
    q1 = p1 + p2;
    dq1 = d_p1 + d_p2;
end
J = [ -sin(q1) - sin(q1 + q2) - sin(q1 + q2);
      cos(q1) + cos(q1 + q2) cos(q1 + q2)];
d_J = [ -dq1 * cos(q1) - (dq1 + dq2) * cos(q1 + q2) - (dq1 + dq2) * cos(q1 + q2);
        -dq1 * sin(q1) - (dq1 + dq2) * sin(q1 + q2) - (dq1 + dq2) * sin(q1 + q2)];

D = [M(1) + M(2) + 2 * M(3) * cos(q2) M(2) + M(3) * cos(q2);
      M(2) + M(3) * cos(q2) M(2)];
C = [ -M(3) * dq2 * sin(q2) - M(3) * (dq1 + dq2) * sin(q2);
      M(3) * dq1 * sin(q2) 0];
G = [M(4) * g * cos(q1) + M(5) * g * cos(q1 + q2);
      M(5) * g * cos(q1 + q2)];

Dx = (inv(J))' * D * inv(J);
Cx = (inv(J))' * (C - D * inv(J) * d_J) * inv(J);
Gx = (inv(J))' * G;

e1 = xd1 - x(1);
e2 = xd2 - x(3);
de1 = d_xd1 - x(2);
de2 = d_xd2 - x(4);
e = [e1; e2];
de = [de1; de2];

Hur = 15 * eye(2);
r = de + Hur * e;

dxd = [d_xd1; d_xd2];
dxr = dxd + Hur * e;
ddxd = [dd_xd1; dd_xd2];
ddxr = ddxd + Hur * de;

K = 30 * eye(2);
epc = 0.10;
xite = 12;
Fx = Dx * ddxr + Cx * dxr + Gx + K * r + xite * tanh(r/epc);

Delta = 10 * sin(t);
dx = [x(2); x(4)];
S = inv(Dx) * (Fx - Cx * dx - Gx - Delta);

sys(1) = x(2);
sys(2) = S(1);
sys(3) = x(4);
sys(4) = S(2);
function sys = mdlOutputs(t, x, u)
global J Fx

```

```
tol = J' * Fx;
```

```
sys(1) = x(1);
```

```
sys(2) = x(2);
```

```
sys(3) = x(3);
```

```
sys(4) = x(4);
```

```
sys(5:6) = Fx(1:2);
```

```
sys(7:8) = tol(1:2);
```

(4) 作图程序: chap9_2plot.m。

```
close all;
```

```
figure(1);
```

```
subplot(211);
```

```
plot(t, xd(:,1), 'r', t, x(:,1), 'b--', 'linewidth', 2);
```

```
xlabel('time(s)'); ylabel('position tracking of x axis');
```

```
legend('ideal x', 'practical x');
```

```
subplot(212);
```

```
plot(t, xd(:,4), 'r', t, x(:,3), 'b--', 'linewidth', 2);
```

```
xlabel('time(s)'); ylabel('position tracking of y axis');
```

```
legend('ideal y', 'practical y');
```

```
figure(2);
```

```
subplot(211);
```

```
plot(t, xd(:,2), 'r', t, x(:,2), 'b--', 'linewidth', 2);
```

```
xlabel('time(s)'); ylabel('velocity tracking of x axis');
```

```
legend('ideal dx', 'practical dx');
```

```
subplot(212);
```

```
plot(t, xd(:,5), 'r', t, x(:,4), 'b--', 'linewidth', 2);
```

```
xlabel('time(s)'); ylabel('velocity tracking of y axis');
```

```
legend('ideal dy', 'practical dy');
```

```
figure(3);
```

```
subplot(211);
```

```
plot(t, x(:,5), 'r', t, x(:,6), 'b--', 'linewidth', 2);
```

```
xlabel('time(s)'); ylabel('control input Fx1 and Fx2');
```

```
legend('Fx of first link', 'Fx of second link');
```

```
subplot(212);
```

```
plot(t, x(:,7), 'r', t, x(:,8), 'b--', 'linewidth', 2);
```

```
xlabel('time(s)'); ylabel('control input tol1 and tol2');
```

```
legend('tol of first link', 'tol of second link');
```

```
figure(4);
```

```
plot(xd(:,1), xd(:,4), 'r', 'linewidth', 2);
```

```
hold on;
```

```
plot(x(:,1), x(:,3), 'b--', 'linewidth', 1);
```

```
xlabel('x'); ylabel('y');
```

```
legend('ideal trajectory', 'practical trajectory');
```

9.3 基于角度动力学模型的机械手末端轨迹滑模控制

由于机械手通常是以关节角度进行动力学建模的,通过设计执行机构施加的关节扭矩 τ ,实现关节角度和关节角速度的跟踪。

然而,在实际工程中,通常需要针对机械手末端轨迹的控制,这就需要建立工作空间关节末端节点直角坐标 (x_1, x_2) 与关节角度之间的关系^[4]。本节讨论针对角度动力学模型设计控制器,实现末端节点的位置跟踪。

9.3.1 机械手在工作空间的建模

考虑一个刚性 n 关节机械手,其动态特性为

$$D(q)\ddot{q} + C(q, \dot{q})\dot{q} + G(q) = \tau - d \quad (9.14)$$

其中, $q \in \mathbf{R}^n$ 是表示关节变量的向量, $\tau \in \mathbf{R}^n$ 是执行机构施加的关节扭矩向量, $d \in \mathbf{R}^n$ 为加在控制输入上的扰动, $d = [d_1, d_2]$, $D(q) \in \mathbf{R}^{n \times n}$ 为对称正定惯性矩阵, $C(q, \dot{q}) \in \mathbf{R}^{n \times n}$ 为哥氏力和离心力向量, $G(q) \in \mathbf{R}^n$ 为重力向量。

与9.2节中针对位置模型式(9.12)设计控制器不同,本节讨论通过对关节角度的控制实现末端位置的跟踪。

9.3.2 工作空间直角坐标与关节角位置的转换

针对工作空间中机械手末端位置轨迹控制问题,由于跟踪轨迹为工作空间中的直角坐标,而不是关节空间中的角位置,因此需要将工作空间中的给定的关节末端节点直角坐标 (x_1, x_2) 转换为相应的关节角位置 (q_1, q_2) ,解决机器人的逆向运动学问题。末端节点直角坐标 (x_1, x_2) 和相应关节角位置 (q_1, q_2) 的转换采用9.2节中式(9.6)~式(9.8)的形式。

9.3.3 滑模控制器的设计

针对式(9.14),取误差 $\tilde{q}(t) = q(t) - q_d(t)$,定义

$$\dot{\tilde{q}}_r = \dot{q}_d - \Lambda \tilde{q}, \quad \ddot{\tilde{q}}_r = \ddot{q}_d - \Lambda \dot{\tilde{q}} \quad (9.15)$$

其中, $\Lambda = \begin{bmatrix} \lambda_1 & 0 \\ 0 & \lambda_2 \end{bmatrix}$, $\lambda_i > 0, i=1, 2$ 。

滑模函数为

$$s = \dot{\tilde{q}} + \Lambda \tilde{q} \quad (9.16)$$

设计控制器为

$$\tau = D(q)\ddot{\tilde{q}}_r + C(q, \dot{\tilde{q}})\dot{\tilde{q}}_r + G(q) - K_D s - \eta \text{sgns} \quad (9.17)$$

其中, $K_D = \begin{bmatrix} k_{d1} & 0 \\ 0 & k_{d2} \end{bmatrix}$, $k_{di} > 0, \eta \geq \max(|d_1|, |d_2|)$ 。

由于 H 为正定阵,设计Lyapunov函数为

$$V = \frac{1}{2} s^T D s$$

则有

$$\begin{aligned}\dot{V} &= s^T \dot{D}s + \frac{1}{2} s^T \dot{D}s = s^T (D\ddot{q} - D\ddot{q}_r) + \frac{1}{2} s^T \dot{D}s \\ &= s^T (\tau - d - C\dot{q} - G - D\ddot{q}_r) + \frac{1}{2} s^T \dot{D}s \\ &= s^T (\tau - d - C(s + \dot{q}_r) - G - D\ddot{q}_r) + \frac{1}{2} s^T \dot{D}s\end{aligned}$$

将控制律式(9.17)代入上式,得

$$\begin{aligned}\dot{V} &= s^T (D\ddot{q}_r + C\dot{q}_r + G - K_D s - \eta \operatorname{sgn}s - d - \\ &\quad C(s + \dot{q}_r) - G - D\ddot{q}_r) + \frac{1}{2} s^T \dot{D}s \\ &= s^T (-K_D s - \eta \operatorname{sgn}s - Cs - d) + \frac{1}{2} s^T \dot{D}s \\ &= -s^T K_D s - \eta \|s\| - s^T d + \frac{1}{2} s^T (\dot{D} - 2C)s\end{aligned}$$

则

$$\dot{V} \leq -s^T K_D s \leq -\mu V$$

其中, $\mu = \frac{2\lambda_{K_{D\min}}}{\lambda_{D\max}}$, $\lambda_{K_{D\min}}$ 和 $\lambda_{D\max}$ 分别为 K_D 和 D 的最小和最大特征值。

采用不等式求解引理 9.3, 不等式方程 $\dot{V} \leq -\mu V$ 的解为

$$V(t) \leq e^{-\mu(t-t_0)} V(t_0) \quad (9.18)$$

从而可得, 当 $t \rightarrow \infty$ 时, 滑模函数 s 趋近于零, 即 $\tilde{q} \rightarrow 0$, $\dot{\tilde{q}} \rightarrow 0$ 且指数收敛, 收敛精度取决于参数 μ 值。

9.3.4 仿真实例

考虑平面两关节机械手, 机器人的动力学方程为

$$D(q)\ddot{q} + C(q, \dot{q})\dot{q} + G(q) = \tau$$

其中,

$$\begin{aligned}D(q) &= \begin{bmatrix} m_1 + m_2 + 2m_3 \cos q_2 & m_2 + m_3 \cos q_2 \\ m_2 + m_3 \cos q_2 & m_2 \end{bmatrix} \\ C(q, \dot{q}) &= \begin{bmatrix} -m_3 \dot{q}_2 \sin q_2 & -m_3 (\dot{q}_1 + \dot{q}_2) \sin q_2 \\ m_3 \dot{q}_1 \sin q_2 & 0.0 \end{bmatrix} \\ G(q) &= \begin{bmatrix} m_4 g \cos q_1 + m_5 g \cos(q_1 + q_2) \\ m_5 g \cos(q_1 + q_2) \end{bmatrix}\end{aligned}$$

式中, m_i 值由式 $M = P + p_L L$ 给出, 有

$$\begin{aligned}M &= [m_1 \quad m_2 \quad m_3 \quad m_4 \quad m_5]^T \\ P &= [p_1 \quad p_2 \quad p_3 \quad p_4 \quad p_5]^T\end{aligned}$$

$$\mathbf{L}=[l_1^2 \quad l_2^2 \quad l_1l_2 \quad l_1 \quad l_2]^T$$

其中, p_l 为负载, l_1 和 l_2 分别为关节 1 和关节 2 的长度, \mathbf{P} 是机器人自身的参数向量。机械力臂实际参数为 $p_l=0.50$, $\mathbf{P}=[1.66 \quad 0.42 \quad 0.63 \quad 3.75 \quad 1.25]^T$, $l_1=l_2=0.25$ 。

笛卡儿坐标平面内的期望轨迹如表 9-1 所示。

表 9-1 笛卡儿坐标平面内的期望轨迹

x 轴期望轨迹	y 轴期望轨迹
$x_d=-\frac{1}{4}\cos\frac{\pi}{2}t$	$y_d=\frac{1}{5}(1-\cos\pi t)$
$\dot{x}_d=\frac{\pi}{8}\sin\frac{\pi}{2}t$	$\dot{y}_d=\frac{\pi}{5}\sin\pi t$
$\ddot{x}_d=\frac{\pi^2}{16}\cos\frac{\pi}{2}t$	$\ddot{y}_d=\frac{\pi^2}{5}\cos\pi t$

针对工作空间中机械手末端的轨迹控制问题, 由于被控对象给定理想位置为坐标值, 而被控对象模型采用的是角度值, 为此必须将理想坐标值转化为理想角度值。根据式(9.7), 可得

$$q_{2d}=\arccos\left(\frac{x_d^2+y_d^2-l_1^2-l_2^2}{2l_1l_2}\right) \tag{9.19}$$

取 $\alpha_0=\arctan\frac{y_d}{x_d}(x_d\geqslant 0)$ 或 $\alpha_0=\pi+\arctan\frac{y_d}{x_d}(x_d<0)$, $\beta_0=\arccos\frac{x_d^2+y_d^2+l_1^2-l_2^2}{2l_1\sqrt{x_d^2+y_d^2}}$, 根据式(9.8), 可得

$$q_{1d}=\begin{cases} \alpha_0-\beta_0, & q_{2d}>0 \\ \alpha_0+\beta_0, & q_{2d}\leqslant 0 \end{cases} \tag{9.20}$$

由此可求出机械臂各关节 q_1 和 q_2 的期望轨迹 $\mathbf{q}_d(t)=\begin{bmatrix} q_{1d}(t) \\ q_{2d}(t) \end{bmatrix}$ 。在控制律式(9.17)中, 需要对 $\mathbf{q}_d(t)$ 求一次和二次导数, 而该求导过程过于复杂, 为了简单起见, 可采用如下三阶积分链式微分器实现 $\dot{\mathbf{q}}_d(t)$ 和 $\ddot{\mathbf{q}}_d(t)$ [13]:

$$\begin{cases} \dot{x}_1=x_2 \\ \dot{x}_2=x_3 \\ \dot{x}_3=-\frac{k_1}{\epsilon^3}(x_1-\theta_d)-\frac{k_2}{\epsilon^2}x_2-\frac{k_3}{\epsilon}x_3 \end{cases} \tag{9.21}$$

微分器的输出 x_1 和 x_2 为 $\dot{\mathbf{q}}_d(t)$ 和 $\ddot{\mathbf{q}}_d(t)$ 。为了抑制微分器中的峰值现象, 在初始时刻 $0\leqslant t\leqslant 1.0$ 时, 取

$$\epsilon=\frac{1}{100}(1-e^{-2t})$$

按式(9.19)和式(9.20)将工作空间中的关节末端直角坐标 (x_d, y_d) 转换为关节角位置 (q_{1d}, q_{2d}) 。采用式(9.6)实现末端实际坐标点坐标 (x_1, x_2) 的描述, 滑模控制器取式(9.17), 控制器的增益选为 $\mathbf{K}_D=\begin{bmatrix} 130 & 0 \\ 0 & 130 \end{bmatrix}$, $\mathbf{\Delta}=\begin{bmatrix} 50 & 0 \\ 0 & 50 \end{bmatrix}$ 。仿真结果如图 9-11~图 9-15 所示。

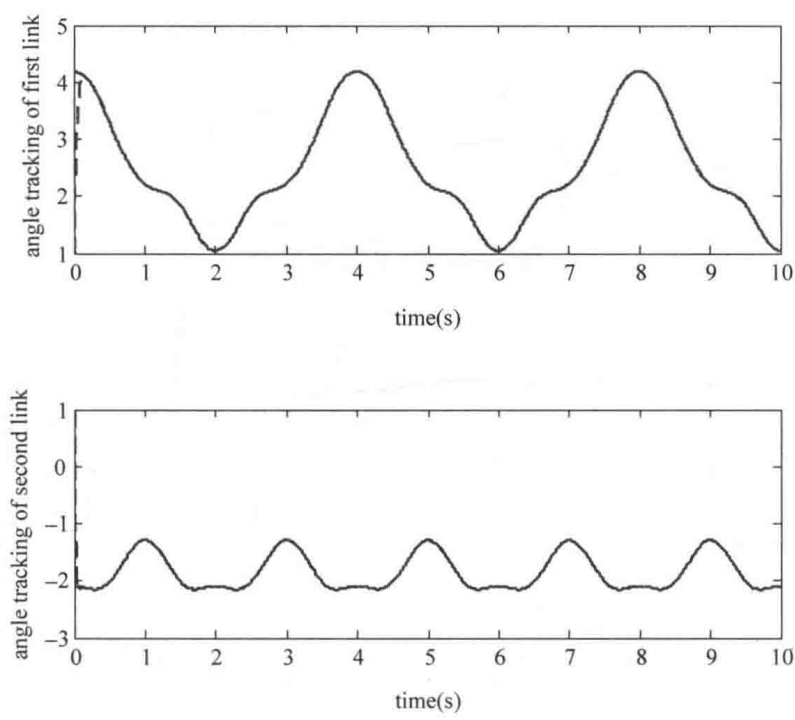


图 9-11 关节的角度跟踪

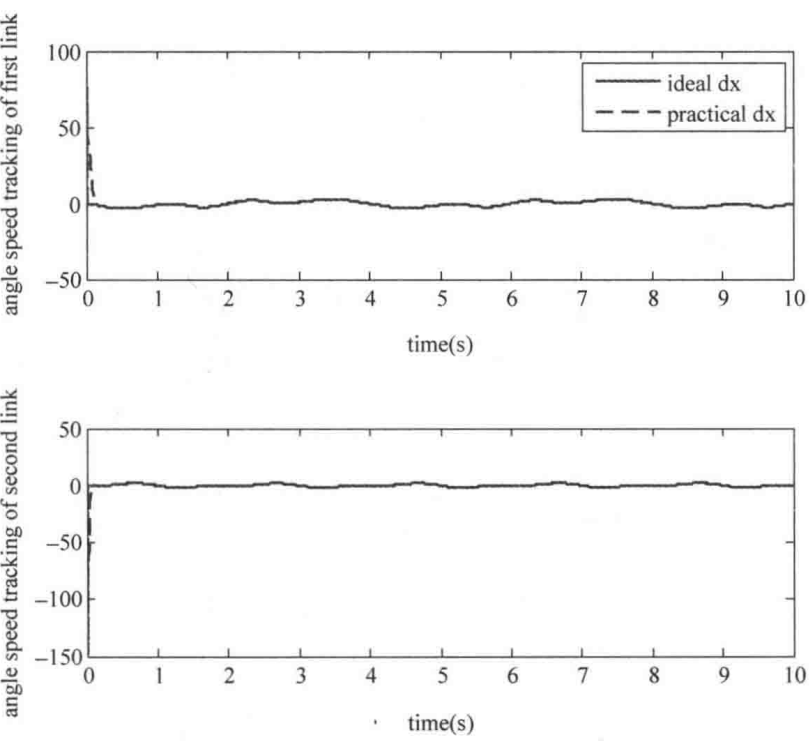


图 9-12 关节角速度跟踪

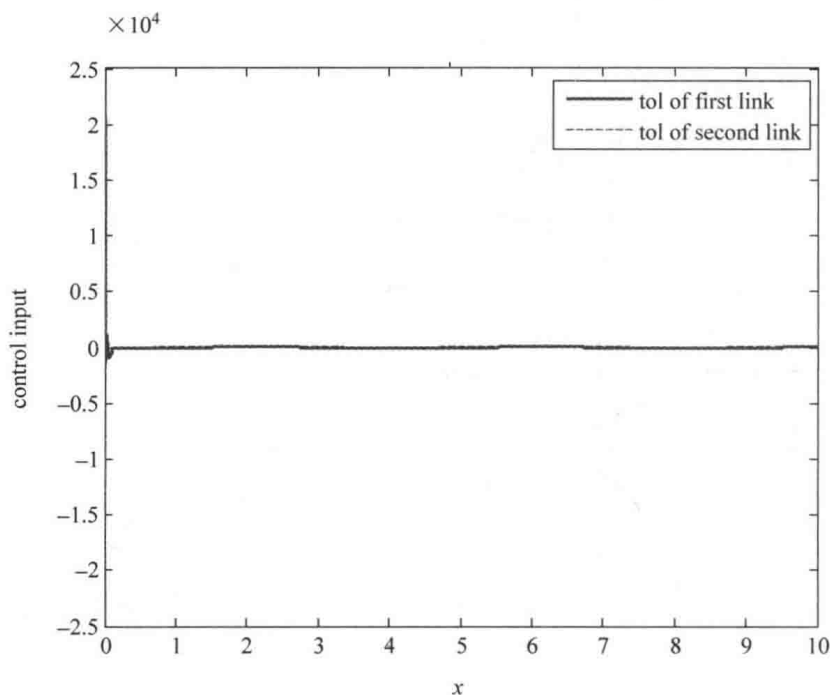


图 9-13 控制输入

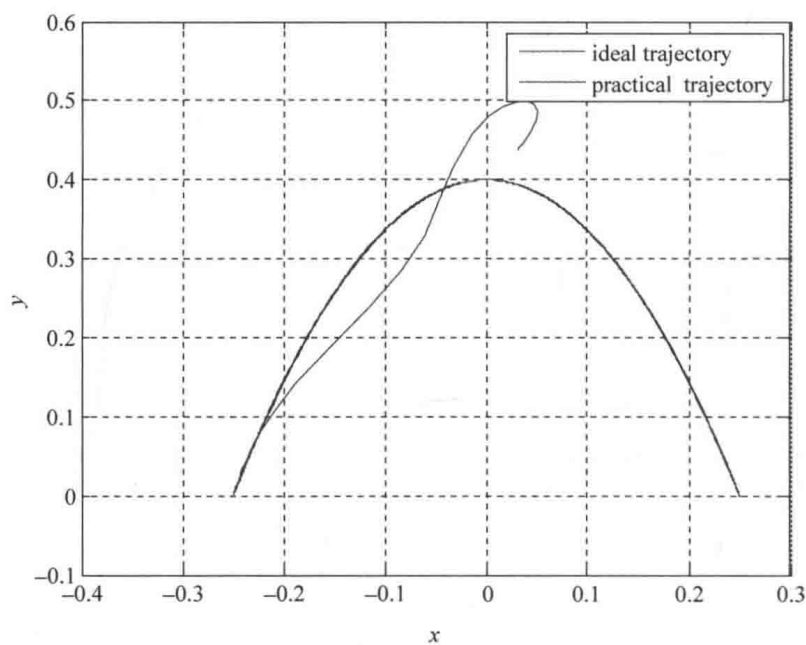


图 9-14 机械臂末端轨迹跟踪

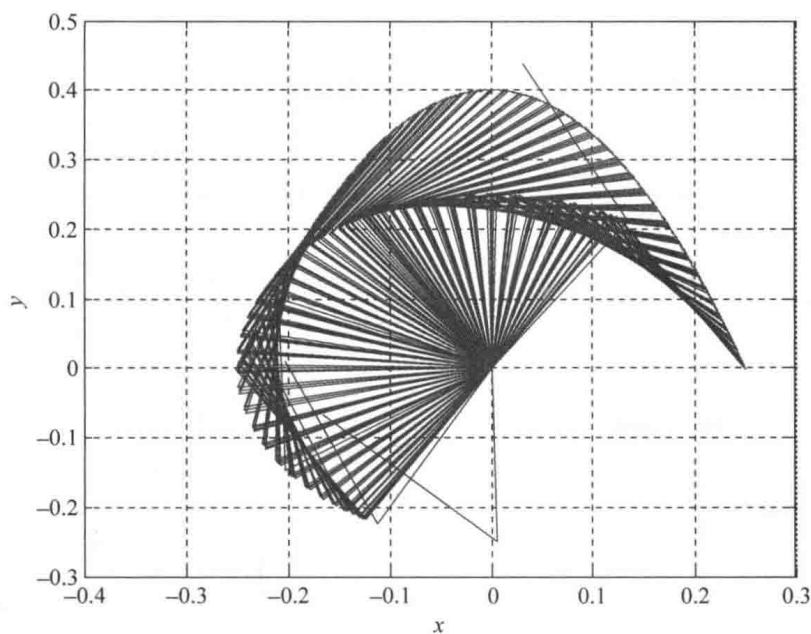
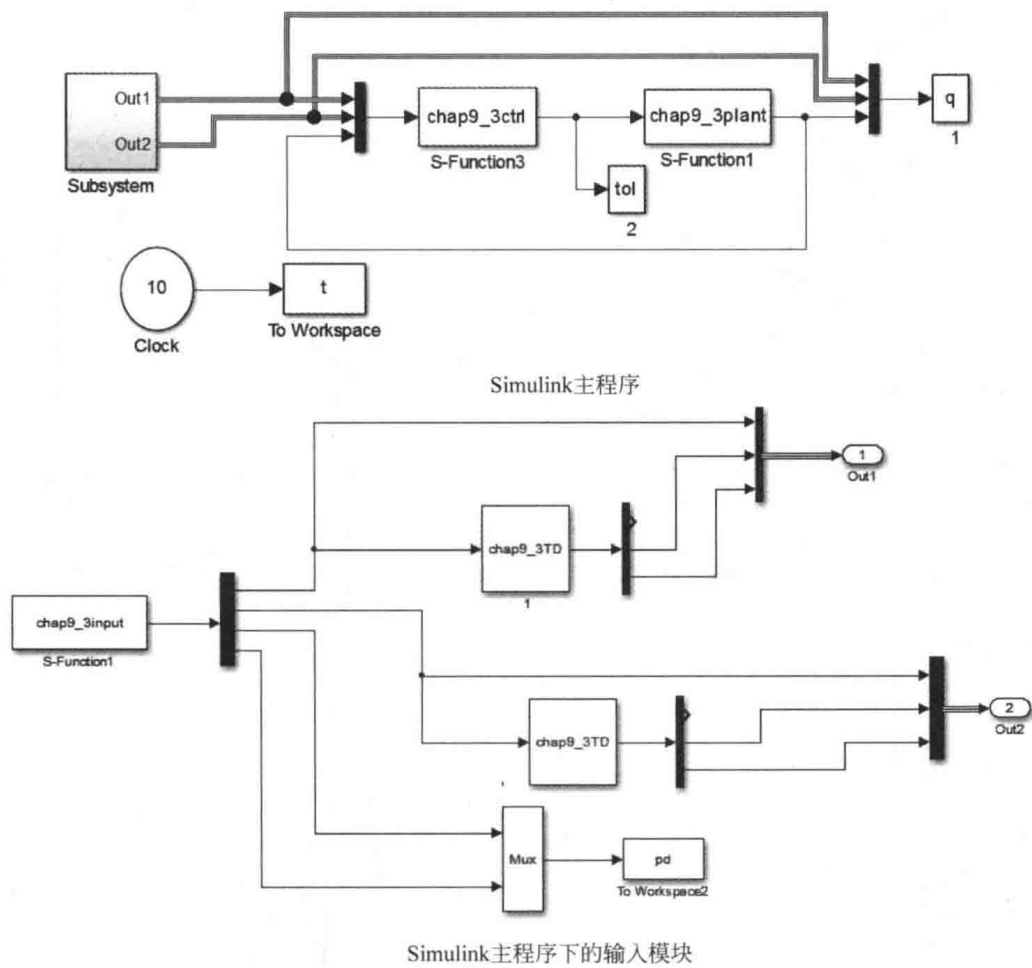


图 9-15 机械臂位姿运动轨迹

仿真程序如下：

(1) Simulink 主程序：chap9_3sim.mdl(包括以下两个部分)。



(2) 输入指令 S 函数: chap9_3input.m。

```
function [sys,x0,str,ts] = inputsignal(t,x,u,flag)
switch flag,
case 0,
    [sys,x0,str,ts] = mdlInitializeSizes;
case 3,
    sys = mdlOutputs(t,x,u);
case {2,4,9}
    sys = [];
otherwise
    error(['Unhandled flag = ',num2str(flag)]);
end
function [sys,x0,str,ts] = mdlInitializeSizes
sizes = simsizes;
sizes.NumOutputs      = 4;
sizes.NumInputs       = 0;
sizes.DirFeedthrough  = 0;
sizes.NumSampleTimes  = 1;
sys = simsizes(sizes);
x0 = [];
str = [];
ts = [0 0];
function sys = mdlOutputs(t,x,u)
l1 = 0.25;l2 = 0.25;

xd = -0.25 * cos(pi/2 * t);
yd = 0.2 * (1 - cos(pi * t));
dxd = 0.25 * pi/2 * sin(pi/2 * t);
dyd = 0.2 * pi * sin(pi * t);

if(xd >= 0)
    alfa0 = atan(yd/xd);
else
    alfa0 = pi + atan(yd/xd);
end
beta0 = acos((xd^2 + yd^2 + l1^2 - l2^2)/(2 * l1 * sqrt(xd^2 + yd^2)));
qd2 = -acos((xd^2 + yd^2 - (l1^2 + l2^2))/(2 * l1 * l2));

if(qd2 > 0)
    qd1 = alfa0 - beta0;
else
    qd1 = alfa0 + beta0;
end
sys(1) = qd1;
sys(2) = qd2;
sys(3) = xd;
sys(4) = yd;
```

(3) 控制器 S 函数: chap9_3ctrl.m。

```
function [sys,x0,str,ts] = spacemodel(t,x,u,flag)
switch flag,
case 0,
    [sys,x0,str,ts] = mdlInitializeSizes;
case 1,
    sys = mdlDerivatives(t,x,u);
case 3,
    sys = mdlOutputs(t,x,u);
case {2,4,9}
    sys = [];
otherwise
    error(['Unhandled flag = ',num2str(flag)]);
end
function [sys,x0,str,ts] = mdlInitializeSizes
sizes = simsizes;
sizes.NumContStates = 0;
sizes.NumDiscStates = 0;
sizes.NumOutputs = 2;
sizes.NumInputs = 10;
sizes.DirFeedthrough = 1;
sizes.NumSampleTimes = 1;
sys = simsizes(sizes);
x0 = [];
str = [];
ts = [0 0];
function sys = mdlOutputs(t,x,u)
qd1 = u(1);
dq1 = u(2);
ddqd1 = u(3);
qd2 = u(4);
dq2 = u(5);
ddqd2 = u(6);

q1 = u(7);dq1 = u(8);
q2 = u(9);dq2 = u(10);
dq = [dq1 dq2]';

l1 = 0.25;l2 = 0.25;
P = [1.66 0.42 0.63 3.75 1.25];
g = 9.8;
L = [l1^2 l2^2 l1 * l2 l1 l2];
p1 = 0.5;
M = P + p1 * L;

D = [M(1) + M(2) + 2 * M(3) * cos(q2) M(2) + M(3) * cos(q2);
      M(2) + M(3) * cos(q2) M(2)];
C = [-M(3) * dq2 * sin(q2) -M(3) * (dq1 + dq2) * sin(q2);
      M(3) * dq1 * sin(q2) 0];
G = [M(4) * g * cos(q1) + M(5) * g * cos(q1 + q2);
```

```

M(5) * g * cos(q1 + q2)];

e1 = q1 - qd1;
e2 = q2 - qd2;
de1 = dq1 - dqd1;
de2 = dq2 - dqd2;
e = [e1; e2];
de = [de1; de2];

Hur = 50 * eye(2);
s = de + Hur * e;

dqd = [dqd1; dqd2];
dqr = dqd - Hur * e;
ddqd = [ddqd1; ddqd2];
ddqr = ddqd - Hur * de;

KD = 130 * eye(2);
tol = D * ddqr + C * dqr + G - KD * s;

sys(1:2) = tol(1:2);

```

(4) 微分器 S 函数: chap9_3TD.m。

```

function [sys,x0,str,ts] = spacemodel(t,x,u,flag)
switch flag,
case 0,
    [sys,x0,str,ts] = mdlInitializeSizes;
case 1,
    sys = mdlDerivatives(t,x,u);
case 3,
    sys = mdlOutputs(t,x,u);
case {2,4,9}
    sys = [];
otherwise
    error(['Unhandled flag = ',num2str(flag)]);
end
function [sys,x0,str,ts] = mdlInitializeSizes
sizes = simsizes;
sizes.NumContStates = 3;
sizes.NumDiscStates = 0;
sizes.NumOutputs = 3;
sizes.NumInputs = 1;
sizes.DirFeedthrough = 1;
sizes.NumSampleTimes = 1;
sys = simsizes(sizes);
x0 = [0 0 0];
str = [];
ts = [0 0];
function sys = mdlDerivatives(t,x,u)
v = u(1);

```

```

a1 = 9; b1 = 27; c1 = 27;
kexi = 0.01;
if t <= 1
    kexi = 1/(100 * (1 - exp(-2 * t)));
end
sys(1) = x(2);
sys(2) = x(3);
sys(3) = -a1 * (x(1) - v)/kexi^3 - b1 * x(2)/kexi^2 - c1 * x(3)/kexi;
function sys = mdlOutputs(t, x, u)
v = u(1);
sys(1) = v;
sys(2) = x(2);
sys(3) = x(3);

```

(5) 被控对象 S 函数: chap9_3plant.m。

```

function [sys, x0, str, ts] = s_function(t, x, u, flag)
switch flag,
case 0,
    [sys, x0, str, ts] = mdlInitializeSizes;
case 1,
    sys = mdlDerivatives(t, x, u);
case 3,
    sys = mdlOutputs(t, x, u);
case {2, 4, 9}
    sys = [];
otherwise
    error(['Unhandled flag = ', num2str(flag)]);
end
function [sys, x0, str, ts] = mdlInitializeSizes
sizes = simsizes;
sizes.NumContStates = 4;
sizes.NumDiscStates = 0;
sizes.NumOutputs = 4;
sizes.NumInputs = 2;
sizes.DirFeedthrough = 1;
sizes.NumSampleTimes = 0;
sys = simsizes(sizes);
x0 = [1 0 1 0];
str = [];
ts = [];
function sys = mdlDerivatives(t, x, u)
l1 = 0.25; l2 = 0.25;
P = [1.66 0.42 0.63 3.75 1.25];
g = 9.8;
L = [l1^2 l2^2 l1 * l2 l1 l2];
pl = 0.5;
M = P + pl * L;

q1 = x(1); dq1 = x(2);
q2 = x(3); dq2 = x(4);

```

```

dq = [dq1 dq2]';

D = [M(1) + M(2) + 2 * M(3) * cos(q2) M(2) + M(3) * cos(q2);
      M(2) + M(3) * cos(q2) M(2)];
C = [-M(3) * dq2 * sin(q2) -M(3) * (dq1 + dq2) * sin(q2);
      M(3) * dq1 * sin(q2) 0];
G = [M(4) * g * cos(q1) + M(5) * g * cos(q1 + q2);
      M(5) * g * cos(q1 + q2)];

```

```

tol = [u(1) u(2)]';
S = inv(D) * (tol - C * dq - G);

```

```

sys(1) = x(2);
sys(2) = S(1);
sys(3) = x(4);
sys(4) = S(2);
function sys = mdlOutputs(t,x,u)

```

```

sys(1) = x(1);
sys(2) = x(2);
sys(3) = x(3);
sys(4) = x(4);

```

(6) 作图程序: chap9_3plot.m。

```

close all;

figure(1);
subplot(211);
plot(t,q(:,1), 'r', t,q(:,7), 'b-- ', 'linewidth', 2);
xlabel('time(s)'); ylabel('angle tracking of first link');
subplot(212);
plot(t,q(:,4), 'r', t,q(:,9), 'b-- ', 'linewidth', 2);
xlabel('time(s)'); ylabel('angle tracking of second link');

figure(2);
subplot(211);
plot(t,q(:,2), 'r', t,q(:,8), 'b-- ', 'linewidth', 2);
xlabel('time(s)'); ylabel('angle speed tracking of first link');
legend('ideal dx', 'practical dx');
subplot(212);
plot(t,q(:,5), 'r', t,q(:,10), 'b-- ', 'linewidth', 2);
xlabel('time(s)'); ylabel('angle speed tracking of second link');

figure(3);
plot(t,tol(:,1), 'r', 'linewidth', 2);
hold on;
plot(t,tol(:,2), 'b-- ', 'linewidth', 1);
xlabel('x'); ylabel('control input');
legend('tol of first link', 'tol of second link');

```

```

figure(4);
plot(pd(:,1),pd(:,2),'r');
l1 = 0.25;l2 = 0.25;
q_1 = q(:,7);
q_2 = q(:,9);
x = l1 * cos(q_1) + l2 * cos(q_1 + q_2);
y = l1 * sin(q_1) + l2 * sin(q_1 + q_2);

hold on;
plot(x(:),y(:),'b');
xlabel('x');ylabel('y');
grid on
legend('ideal trajectory','practical trajectory');

```

9.4 工作空间中双关节机械手末端的阻抗滑模控制

9.4.1 问题的提出

工业机器人可以完成的任务可以分为两类:一类是非接触性作业,即机器人在自由空间中搬运、操作目标物等任务,对于这一类作业,仅仅运用位置控制便可以胜任;另一类是接触性作业,如抛光、打磨等,对于这一类任务,单纯的位置控制已经不能胜任了,因为在这类任务中对接触力的大小是有要求的,并且机器人末端微小的位置偏差就可能导致巨大的接触力,会对机器人和目标物造成损害,所以必须添加接触力的控制功能来提高机器人的有效作业精度。

Hongan 提出机器人的阻抗控制方法^[8,9],机器人阻抗控制就是间接地控制机器人和环境间的作用力,其设计思想是建立机器人末端作用力与其位置之间的动态关系,通过控制机器人位移而达到控制末端作用力的目的,保证了机器人在受约束的方向保持期望的接触力。自阻抗控制概念被提出以来,涌现出很多不同的具体应用方法。由于工业机器人都匹配有高性能的位置控制器,所以基于位置的阻抗控制策略得到了广泛的应用。

带有阻力约束的双关节机械手示意图如图 9-16 所示^[10],机械手末端接触到障碍物后,沿着垂直 x_1 的方向滑下,然后继续跟踪指令 x_d 。阻抗控制就是在阻力约束下的机械手末端位置控制。

设 x 为机械手末端位置向量,关节角度 q 与机械手末端位置向量 x 关系为

$$x = h(q) \quad (9.22)$$

且

$$\dot{x} = J(q)\dot{q} \quad (9.23)$$

其中, $J(q)$ 为机械手末端的 Jacobian 信息。

机械手末端的接触阻力为 F_e , F_e 与位置误差 $x_c - x$ 有关,动力学描述为

$$M_m(\ddot{x}_c - \ddot{x}) + B_m(\dot{x}_c - \dot{x}) + K_m(x_c - x) = F_e \quad (9.24)$$

其中, x_c 为接触位置的指令轨迹, $x(0) = x_c(0)$, M_m 、 B_m 和 K_m 分别为质量、阻尼和刚度系数矩阵。

由于阻尼控制是在笛卡儿坐标系下实现,为了实现理想接触位置 x_c 的轨迹跟踪,为此

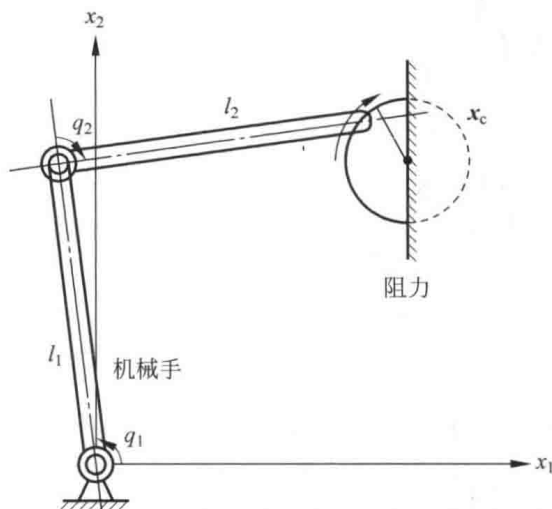


图 9-16 带有阻力约束的双关节机械手

需要通过角度动力学方程求得笛卡儿坐标系下动力学方程,针对末端位置双关节动力学模型式(9.12),在带有阻力 F_e 的笛卡儿坐标系下转换为

$$D_x(q)\ddot{x} + C_x(q, \dot{q})\dot{x} + G_x(q) + F_e + \Delta(q, \dot{q}, \ddot{q}) = F_x \quad (9.25)$$

其中, $D_x(q) = J^{-T}(q)D(q)J^{-1}(q)$, $C_x(q, \dot{q}) = J^{-T}(q)(C(q, \dot{q}) - D(q)J^{-1}(q)\dot{J}(q))J^{-1}(q)$, $G_x(q) = J^{-T}(q)G(q)$, $\|\Delta(q, \dot{q}, \ddot{q})\| \leq \eta$, $J(q)$ 和 $\dot{J}(q)$ 表达式见式(9.9)。

9.4.2 阻抗模型的建立

在阻抗模型中,阻抗控制目标为 x 跟踪理想的阻抗轨迹 x_d , x_d 可由下述模型求得

$$M_m\ddot{x}_d + B_m\dot{x}_d + K_mx_d = -F_e + M_m\ddot{x}_c + B_m\dot{x}_c + K_mx_c \quad (9.26)$$

其中, $x_d(0) = x_c(0)$, $\dot{x}_d(0) = \dot{x}_c(0)$ 。

根据工作空间直角坐标与关节角位置的转换及工作空间末端节点直角坐标 (x_1, x_2) 的动力学模型,设计加在关节末端节点的控制律 F_x ,并通过 F_x 与 τ 之间的映射关系,求出实际的关节扭矩 τ 。

机械手动态方程具有下面特性^[3]:

- (1) 惯性矩阵 $D_x(q)$ 对称正定。
- (2) 矩阵 $\dot{D}_x(q) - 2C_x(q, \dot{q})$ 是斜对称的。

9.4.3 滑模控制器的设计

设 $x_d(t)$ 是在工作空间中的理想轨迹,则 $\dot{x}_d(t)$ 和 $\ddot{x}_d(t)$ 分别是理想的速度和加速度。定义

$$e(t) = x_d(t) - x(t)$$

$$\dot{x}_r(t) = \dot{x}_d(t) + \Lambda e(t)$$

$$s(t) = \dot{x}_r(t) - \dot{x}(t) = \dot{e}(t) + \Lambda e(t)$$

其中, Λ 是一个正定矩阵。

控制器设计为

$$\mathbf{F}_x = \mathbf{D}_x(\mathbf{q})\ddot{\mathbf{x}}_r + \mathbf{C}_x(\mathbf{q}, \dot{\mathbf{q}})\dot{\mathbf{x}}_r + \mathbf{G}_x(\mathbf{q}) + \mathbf{F}_e + \mathbf{K}\mathbf{s} + \eta \tanh\left(\frac{\mathbf{s}}{\epsilon}\right) \quad (9.27)$$

其中, $\mathbf{K} > 0, \epsilon > 0$ 。

将控制律式(9.27)代入式(9.25),得

$$\begin{aligned} & \mathbf{D}_x(\mathbf{q})\ddot{\mathbf{x}} + \mathbf{C}_x(\mathbf{q}, \dot{\mathbf{q}})\dot{\mathbf{x}} + \mathbf{G}_x(\mathbf{q}) + \Delta(\mathbf{q}, \dot{\mathbf{q}}, \ddot{\mathbf{q}}) \\ &= \mathbf{D}_x(\mathbf{q})\ddot{\mathbf{x}}_r + \mathbf{C}_x(\mathbf{q}, \dot{\mathbf{q}})\dot{\mathbf{x}}_r + \mathbf{G}_x(\mathbf{q}) + \mathbf{K}\mathbf{s} + \eta \tanh\left(\frac{\mathbf{s}}{\epsilon}\right) \end{aligned}$$

将 $\dot{\mathbf{x}} = \dot{\mathbf{x}}_r - \mathbf{s}, \ddot{\mathbf{x}} = \ddot{\mathbf{x}}_r - \dot{\mathbf{s}}$ 代入上式得:

$$\mathbf{D}_x(\mathbf{q})\dot{\mathbf{s}} + \mathbf{C}_x(\mathbf{q}, \dot{\mathbf{q}})\mathbf{s} + \mathbf{K}\mathbf{s} + \eta \tanh\left(\frac{\mathbf{s}}{\epsilon}\right) - \Delta(\mathbf{q}, \dot{\mathbf{q}}, \ddot{\mathbf{q}}) = 0$$

由于 $\mathbf{D}_x(\mathbf{q})$ 为对称正定,则可定义 Lyapunov 函数

$$V = \frac{1}{2} \mathbf{s}^T \mathbf{D}_x(\mathbf{q}) \mathbf{s}$$

则

$$\dot{V} = \mathbf{s}^T \mathbf{D}_x \dot{\mathbf{s}} + \frac{1}{2} \mathbf{s}^T \dot{\mathbf{D}}_x \mathbf{s}$$

由于矩阵 $\dot{\mathbf{D}}_x(\mathbf{q}) - 2\mathbf{C}_x(\mathbf{q}, \dot{\mathbf{q}})$ 是斜对称的,则 $\mathbf{s}^T (\dot{\mathbf{D}}_x - 2\mathbf{C}) \mathbf{s} = 0$, 即 $\frac{1}{2} \mathbf{s}^T \dot{\mathbf{D}}_x \mathbf{s} = \mathbf{s}^T \mathbf{C}_x \mathbf{s}$, 代入上式得

$$\dot{V} = \mathbf{s}^T \mathbf{D}_x \dot{\mathbf{s}} + \mathbf{s}^T \mathbf{C}_x \mathbf{s} = \mathbf{s}^T (\mathbf{D}_x \dot{\mathbf{s}} + \mathbf{C}_x \mathbf{s}) = \mathbf{s}^T \left(-\mathbf{K}\mathbf{s} - \eta \tanh \frac{\mathbf{s}}{\epsilon} + \Delta(\mathbf{q}, \dot{\mathbf{q}}, \ddot{\mathbf{q}}) \right)$$

根据引理 9.1 和引理 9.2, 有

$$\begin{aligned} \mathbf{s}^T \left(-\eta \tanh \frac{\mathbf{s}}{\epsilon} + \Delta(\mathbf{q}, \dot{\mathbf{q}}, \ddot{\mathbf{q}}) \right) &= -\eta \mathbf{s}^T \tanh\left(\frac{\mathbf{s}}{\epsilon}\right) + \mathbf{s}^T \Delta(\mathbf{q}, \dot{\mathbf{q}}, \ddot{\mathbf{q}}) \\ &\leq -\eta \|\mathbf{s}\| + \eta \mu \epsilon + \mathbf{s}^T \Delta(\mathbf{q}, \dot{\mathbf{q}}, \ddot{\mathbf{q}}) \leq \eta \mu \epsilon \end{aligned}$$

其中, $\mu = 0.2785$ 。

则

$$\begin{aligned} \dot{V} &\leq -\mathbf{s}^T \mathbf{K} \mathbf{s} + \eta \mu \epsilon \leq -\lambda_{\min}(\mathbf{K}) \mathbf{s}^T \mathbf{s} + \eta \mu \epsilon \\ &= -\frac{2\lambda_{\min}(\mathbf{K})}{\lambda_{\max}(\mathbf{D}_x)} \frac{1}{2} \lambda_{\max}(\mathbf{D}_x) \mathbf{s}^T \mathbf{s} + \eta \mu \epsilon \leq -2\lambda V + b \end{aligned}$$

其中, $\lambda_{\max}(\mathbf{D}_x)$ 和 $\lambda_{\min}(\mathbf{K})$ 分别为 \mathbf{D}_x 和 \mathbf{K} 的最大特征值, $\lambda = \frac{\lambda_{\min}(\mathbf{K})}{\lambda_{\max}(\mathbf{D}_x)}, b = \eta \mu \epsilon$ 。

根据 $\dot{V} \leq -2\lambda V + b$, 采用引理 9.3, 可得

$$\begin{aligned} V(t) &\leq e^{-2\lambda(t-t_0)} V(t_0) + b e^{-2\lambda t} \int_{t_0}^t e^{2\lambda \tau} d\tau = e^{-2\lambda(t-t_0)} V(t_0) + \frac{b e^{-2\lambda t}}{2\lambda} (e^{2\lambda t} - e^{2\lambda t_0}) \\ &= e^{-2\lambda(t-t_0)} V(t_0) + \frac{b}{2\lambda} (1 - e^{-2\lambda(t-t_0)}) \end{aligned}$$

则

$$\lim_{t \rightarrow \infty} V(t) \leq \frac{\eta \mu \epsilon}{2\lambda} \quad (9.28)$$

根据式(9.28),跟踪误差和误差导数渐进收敛,收敛精度取决于 ϵ, λ 和 η ,即 ϵ 越小、 K 越大、 Δ 越小,收敛效果越好。

9.4.4 仿真实例

仿真对象为9.2节的对象,考虑平面两关节机械手,机器人的动力学方程为

$$D(q)\ddot{q} + C(q, \dot{q})\dot{q} + G(q) = \tau$$

其中,

$$D(q) = \begin{bmatrix} m_1 + m_2 + 2m_3 \cos q_2 & m_2 + m_3 \cos q_2 \\ m_2 + m_3 \cos q_2 & m_2 \end{bmatrix}$$

$$C(q, \dot{q}) = \begin{bmatrix} -m_3 \dot{q}_2 \sin q_2 & -m_3 (\dot{q}_1 + \dot{q}_2) \sin q_2 \\ m_3 \dot{q}_1 \sin q_2 & 0.0 \end{bmatrix}$$

$$G(q) = \begin{bmatrix} m_4 g \cos q_1 + m_5 g \cos(q_1 + q_2) \\ m_5 g \cos(q_1 + q_2) \end{bmatrix}$$

上式中 m_i 值由式 $M = P + p_i L$ 给出,有

$$M = [m_1 \quad m_2 \quad m_3 \quad m_4 \quad m_5]^T$$

$$P = [p_1 \quad p_2 \quad p_3 \quad p_4 \quad p_5]^T$$

$$L = [l_1^2 \quad l_2^2 \quad l_1 l_2 \quad l_1 \quad l_2]^T$$

其中, p_i 为负载, l_1 和 l_2 分别为关节1和关节2的长度, P 是机器人自身的参数向量。机械力臂实际参数为 $p_i = 0.50$, $P = [1.66 \quad 0.42 \quad 0.63 \quad 3.75 \quad 1.25]^T$, $l_1 = l_2 = 1$ 。

在笛卡儿空间中的理想跟踪轨迹取 $x_{c1} = 1.0 - 0.2 \cos t$, $x_{c2} = 1.0 + 0.2 \sin t$,则 $x_{c1}(0) = 0.8$, $\dot{x}_{c1}(0) = 0$, $x_{c1}(0) = 1.0$, $\dot{x}_{c2}(0) = 0.2$,该轨迹为一个半径为0.2、圆心在 $(x_1, x_2) = (1.0, 1.0)$ 的圆。初始条件为 $x(0) = [0.85 \quad 1.05]^T$, $\dot{x}(0) = [0.0 \quad 0.0]^T$ 。

由于跟踪轨迹为工作空间中的直角坐标,而不是关节空间中的角位置,应按9.2节式(9.7)和式(9.8)将工作空间中的关节末端直角坐标 (x_1, x_2) 转换为关节角位置 (q_1, q_2) 。

采用式(9.9)求 $J(q)$ 和 $\dot{J}(q)$,采用式(9.11)可将 F_r 转换为实际控制输入 τ ,用于作图。

仿真中,首先通过式(9.24)求 F_e ,通过式(9.25)求 x ,然后由式(9.26)求 x_d 。接触面在 $x_1 = 1.0$ 处,存在以下两种情况:

(1) 当 $x_1 \leq 1.0$ 时,机械手末端没有接触障碍物, $F_e = [0 \quad 0]^T$ 。

(2) 当 $x_1 < 1.0$ 时,机械手末端点停留在触障碍物上,此时 $x_1 = 1.0$, $\dot{x}_1 = 1.0$, $\ddot{x}_1 = 1.0$;

障碍物的阻尼参数为 $M_m = \text{diag}[1.0]$, $B_m = \text{diag}[10]$ 和 $K_m = \text{diag}[50]$ 。考虑 $\Delta(q, \dot{q}, \ddot{q}) = \sin t$,滑模控制器取式(9.27),控制器的增益选为 $K = \begin{bmatrix} 150 & 0 \\ 0 & 150 \end{bmatrix}$, $\Lambda = \begin{bmatrix} 30 & 0 \\ 0 & 30 \end{bmatrix}$, $\eta = 1.2$, $\epsilon = 0.50$ 。仿真结果如图9-17~图9-21所示。

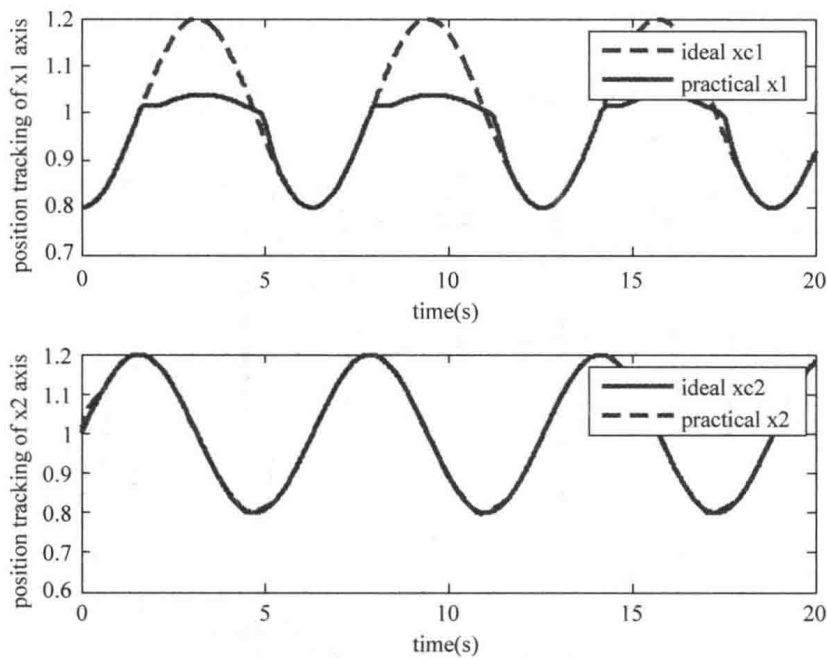


图 9-17 末关节节点的位置跟踪

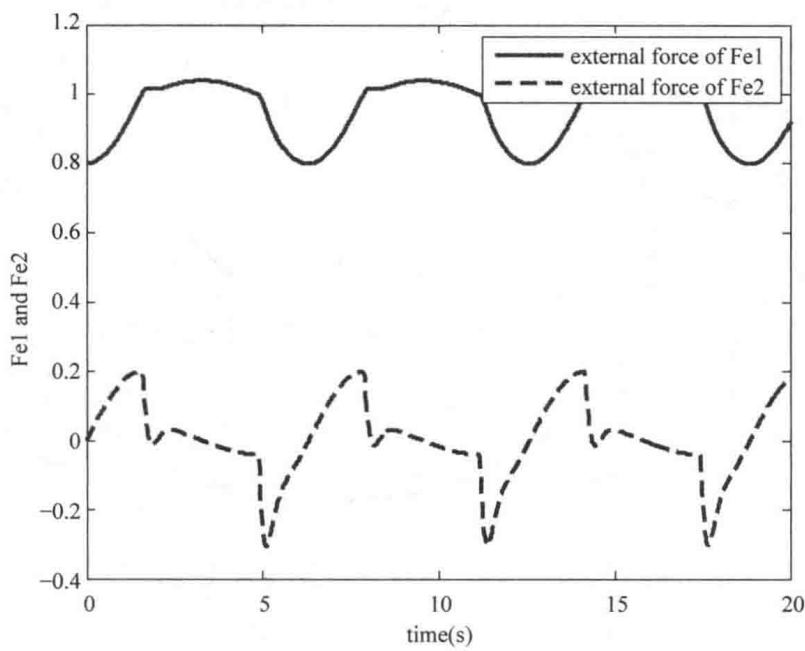


图 9-18 末关节节点的外力

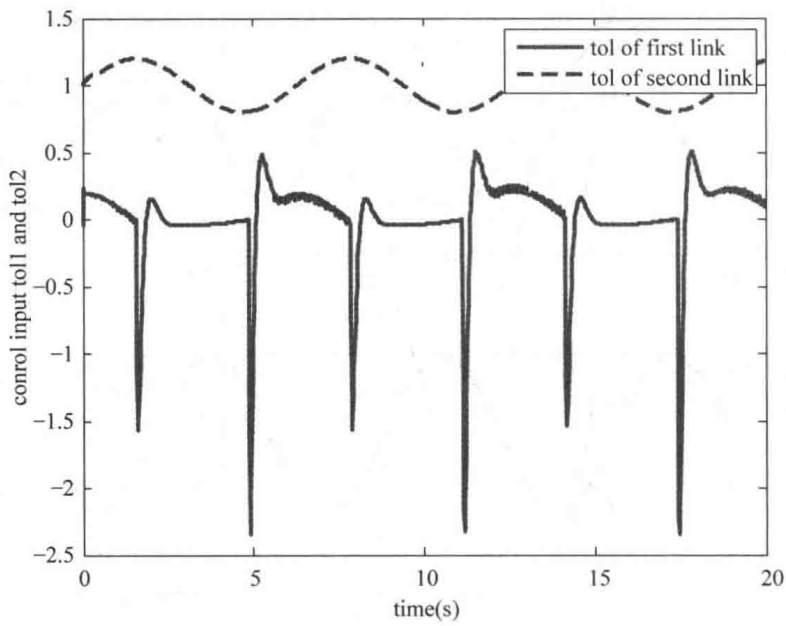


图 9-19 关节实际控制输入 τ

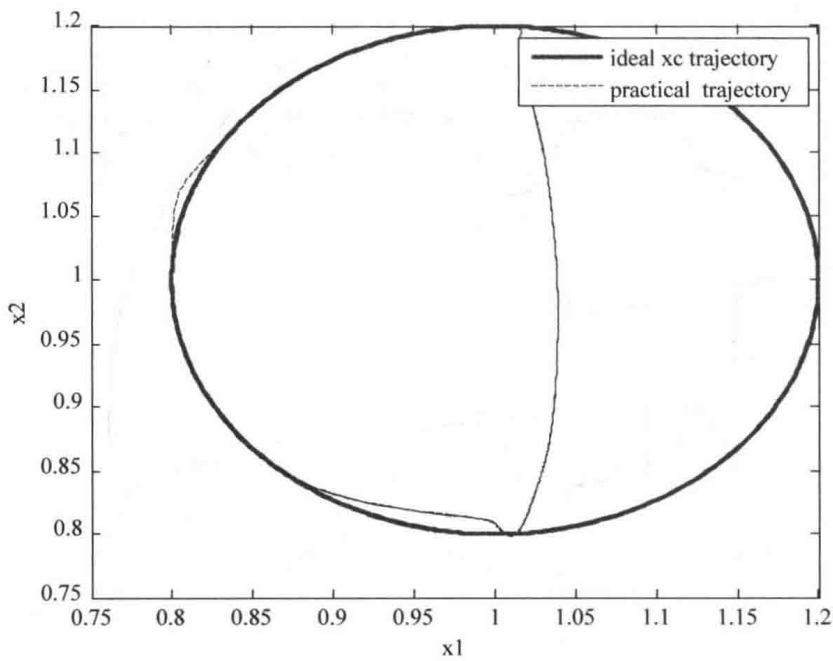
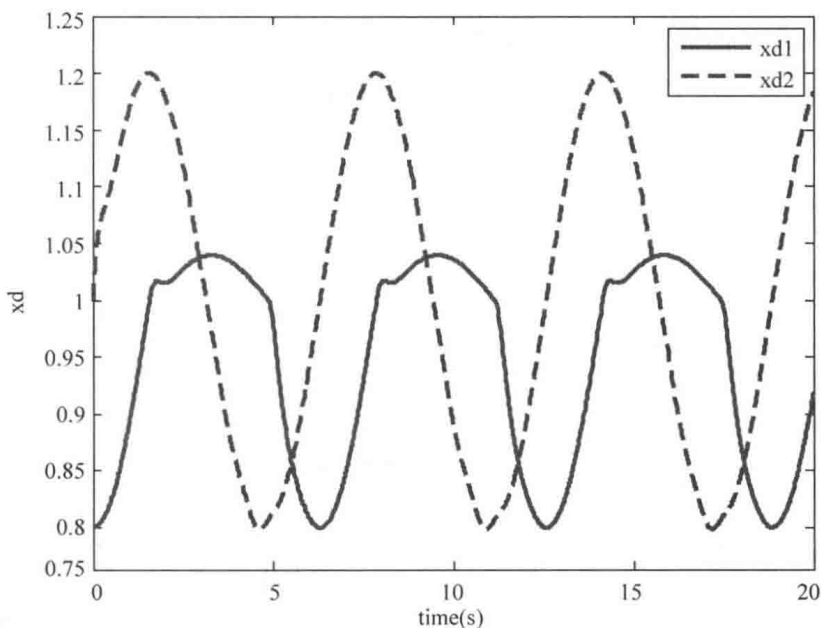


图 9-20 对 x_c 的轨迹跟踪效果

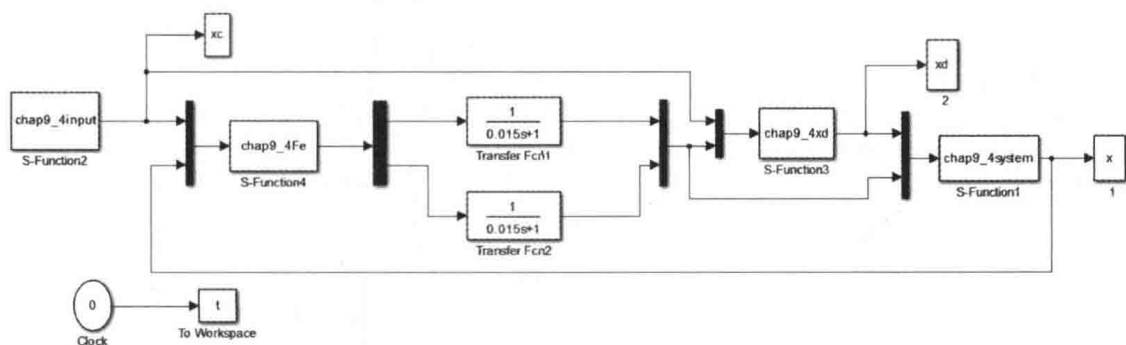

 图 9-21 由式(9.26)生成的 x_d 轨迹

9.4.5 仿真中的代数环问题

代数环是控制系统 MATLAB 仿真中不可避免的现象,之所以称为代数环,是因为输入和输出信号是同时发生的,这才形成了代数环。一般情况下不必理会代数环,让 Simulink 去自行求解代数方程即可,但有时代数环会造成 Simulink 求解出现困难,导致仿真中止。如果能让这两个信号不同时发生,则可以避免代数环。避免代数环的方法有许多种:一种有效的方法是在输出信号后面接一个延迟环节,将其作为输入信号馈入环中的另一个模块,如果这个延迟的时间常数足够小,则有望用这种方法避开代数环;另一种方法是在输出模块后接一个低通滤波器,避免直馈现象,如果时间常数 T 足够小,则可以很好地避开代数环^[14]。在仿真中,如果按正常的方式仿真,可以发现 S 函数模块子程序 chap9_4Fe.m 陷入了代数环,出现仿真中止的现象。解决的办法是在出现代数环的模块后面引入小延迟 e^{-s} 或低通滤波器 $\frac{1}{Ts+1}$ 的近似方法,可以很好地避开代数环的问题。在本仿真中,为了克服代数环,在 S 函数模块子程序 chap9_4Fe.m 后面引入低通滤波器 $\frac{1}{Ts+1}$,取 $T=0.015$,见 Simulink 主程序 chap9_4sim.mdl。

仿真程序如下:

(1) Simulink 主程序: chap9_4sim.mdl。



(2) 输入指令 S 函数: chap9_4input.m。

```
function [sys,x0,str,ts] = spacemodel(t,x,u,flag)
switch flag,
case 0,
    [sys,x0,str,ts] = mdlInitializeSizes;
case 1,
    sys = mdlDerivatives(t,x,u);
case 3,
    sys = mdlOutputs(t,x,u);
case {2,4,9}
    sys = [];
otherwise
    error(['Unhandled flag = ',num2str(flag)]);
end
function [sys,x0,str,ts] = mdlInitializeSizes
sizes = simsizes;
sizes.NumContStates = 0;
sizes.NumDiscStates = 0;
sizes.NumOutputs = 6;
sizes.NumInputs = 0;
sizes.DirFeedthrough = 1;
sizes.NumSampleTimes = 1;
sys = simsizes(sizes);
x0 = [];
str = [];
ts = [0 0];
function sys = mdlOutputs(t,x,u)
xc1 = 1 - 0.2 * cos(t);
dxc1 = 0.2 * sin(t);
ddxc1 = 0.2 * cos(t);
xc2 = 1 + 0.2 * sin(t);
dxc2 = 0.2 * cos(t);
ddxc2 = -0.2 * sin(t);
sys(1) = xc1;
sys(2) = dxc1;
sys(3) = ddxc1;
sys(4) = xc2;
sys(5) = dxc2;
sys(6) = ddxc2;
```

(3) 描述阻力 F_e 的 S 函数: chap9_4Fe.m。

```
function [sys,x0,str,ts] = s_function(t,x,u,flag)
switch flag,
case 0,
    [sys,x0,str,ts] = mdlInitializeSizes;
case 3,
    sys = mdlOutputs(t,x,u);
case {1,2, 4, 9 }
    sys = [];
otherwise
```

```

    error(['Unhandled flag = ', num2str(flag)]);
end
function [sys,x0,str,ts] = mdlInitializeSizes
sizes = simsizes;
sizes.NumDiscStates = 0;
sizes.NumOutputs = 2;
sizes.NumInputs = 14;
sizes.DirFeedthrough = 1;
sizes.NumSampleTimes = 0;
sys = simsizes(sizes);
x0 = [];
str = [];
ts = [];
function sys = mdlOutputs(t,x,u)
xc = [u(1) u(4)]';
dxc = [u(2) u(5)]';
ddxc = [u(3) u(6)]';

Mm = [1 0; 0 1];
Bm = [10 0; 0 10];
Km = [40 0; 0 40];

x1 = u(7); dx1 = u(8); ddx1 = u(9);
x2 = u(10); dx2 = u(11); ddx2 = u(12);

xp = [x1 x2]';
d xp = [dx1 dx2]';
dd xp = [ddx1 ddx2]';
if x1 >= 1.0
    xp = [1.0 xp(2)]'; d xp = [0 d xp(2)]'; ddx xp = [0 ddx xp(2)]';
end

Fe = Mm * (ddxc - ddxp) + Bm * (dxc - d xp) + Km * (xc - xp); % (9.24)
if x1 < 1.0
    Fe = [0 0]';
end

sys(1) = Fe(1);
sys(2) = Fe(2);

```

(4) 阻抗轨迹 x_d 生成 S 函数: chap9_4xd.m。

```

function [sys,x0,str,ts] = s_function(t,x,u,flag)
switch flag,
case 0,
    [sys,x0,str,ts] = mdlInitializeSizes;
case 1,
    sys = mdlDerivatives(t,x,u);
case 3,
    sys = mdlOutputs(t,x,u);
case {2, 4, 9}
    sys = [];
otherwise
    error(['Unhandled flag = ', num2str(flag)]);

```



```

end
function [sys,x0,str,ts] = mdlInitializeSizes
sizes = simsizes;
sizes.NumContStates = 4;
sizes.NumDiscStates = 0;
sizes.NumOutputs = 6;
sizes.NumInputs = 8;
sizes.DirFeedthrough = 1;
sizes.NumSampleTimes = 0;
sys = simsizes(sizes);
x0 = [0.8 0 1.0 0.2 * pi]; % xd(0) = xc(0), dxd(0) = dxc(0)
str = [];
ts = [];
function sys = mdlDerivatives(t,x,u)
xc = [u(1) u(4)]';
dxc = [u(2) u(5)]';
ddxc = [u(3) u(6)]';

Mm = [1 0; 0 1];
Bm = [10 0; 0 10];
Km = [50 0; 0 50];

Fe = [u(7) u(8)]'; % (9.24)

xd = [x(1); x(3)];
dxd = [x(2); x(4)];
ddxd = inv(Mm) * ((- Fe + Mm * ddxc + Bm * dxc + Km * xc) - Bm * dxd - Km * xd); % (9.26)

sys(1) = x(2);
sys(2) = ddxd(1);
sys(3) = x(4);
sys(4) = ddxd(2);

function sys = mdlOutputs(t,x,u)
xc = [u(1) u(4)]';
dxc = [u(2) u(5)]';
ddxc = [u(3) u(6)]';

Mm = [1 0; 0 1];
Bm = [10 0; 0 10];
Km = [40 0; 0 40];

Fe = [u(7) u(8)]'; % (9.24)

xd = [x(1); x(3)];
dxd = [x(2); x(4)];
S = inv(Mm) * ((- Fe + Mm * ddxc + Bm * dxc + Km * xc) - Bm * dxd - Km * xd); % ddxd

sys(1) = x(1); % xd
sys(2) = x(2);
sys(3) = S(1);
sys(4) = x(3);
sys(5) = x(4);
sys(6) = S(2);

```

(5) 控制器及被控对象 S 函数: chap9_4system.m。

```
function [sys,x0,str,ts] = s_function(t,x,u,flag)
switch flag,
case 0,
    [sys,x0,str,ts] = mdlInitializeSizes;
case 1,
    sys = mdlDerivatives(t,x,u);
case 3,
    sys = mdlOutputs(t,x,u);
case {2, 4, 9}
    sys = [];
otherwise
    error(['Unhandled flag = ',num2str(flag)]);
end
function [sys,x0,str,ts] = mdlInitializeSizes
sizes = simsizes;
sizes.NumContStates = 4;
sizes.NumDiscStates = 0;
sizes.NumOutputs = 8;
sizes.NumInputs = 8;
sizes.DirFeedthrough = 1;
sizes.NumSampleTimes = 0;
sys = simsizes(sizes);
x0 = [0.8 0 1.0 0]; % x(0) = xc(0)
str = [];
ts = [];
function sys = mdlDerivatives(t,x,u)
xd1 = u(1); dxd1 = u(2); dxd1 = u(3);
xd2 = u(4); dxd2 = u(5); dxd2 = u(6);

Fe1 = u(7); Fe2 = u(8);
Fe = [Fe1 Fe2]';

l1 = 1; l2 = 1;
P = [1.66 0.42 0.63 3.75 1.25];
g = 9.8;
L = [l1^2 l2^2 l1 * l2 l1 l2];

p1 = 0.5;

M = P + p1 * L;
Q = (x(1)^2 + x(3)^2 - l1^2 - l2^2)/(2 * l1 * l2);
q2 = acos(Q);
dq2 = -1/sqrt(1 - Q^2);

A = x(3)/x(1);
p1 = atan(A);
d_p1 = 1/(1 + A^2);

B = sqrt(x(1)^2 + x(3)^2 + l1^2 - l2^2)/(2 * l1 * sqrt(x(1)^2 + x(3)^2));
```

```

p2 = acos(B);
d_p2 = -1/sqrt(1 - B^2);

if q2 > 0
    q1 = p1 - p2;
    dq1 = d_p1 - d_p2;
else
    q1 = p1 + p2;
    dq1 = d_p1 + d_p2;
end

J = [ -sin(q1) - sin(q1 + q2) - sin(q1 + q2);
      cos(q1) + cos(q1 + q2) cos(q1 + q2) ];
d_J = [ -dq1 * cos(q1) - (dq1 + dq2) * cos(q1 + q2) - (dq1 + dq2) * cos(q1 + q2);
        -dq1 * sin(q1) - (dq1 + dq2) * sin(q1 + q2) - (dq1 + dq2) * sin(q1 + q2) ];

D = [ M(1) + M(2) + 2 * M(3) * cos(q2) M(2) + M(3) * cos(q2);
      M(2) + M(3) * cos(q2) M(2) ];
C = [ -M(3) * dq2 * sin(q2) - M(3) * (dq1 + dq2) * sin(q2);
      M(3) * dq1 * sin(q2) 0 ];
G = [ M(4) * g * cos(q1) + M(5) * g * cos(q1 + q2);
      M(5) * g * cos(q1 + q2) ];

Dx = (inv(J))' * D * inv(J);
Cx = (inv(J))' * (C - D * inv(J) * d_J) * inv(J);
Gx = (inv(J))' * G;

e1 = xd1 - x(1);
e2 = xd2 - x(3);
de1 = dxd1 - x(2);
de2 = dxd2 - x(4);
e = [e1; e2];
de = [de1; de2];

Hur = 30 * eye(2);
r = de + Hur * e;

dxd = [dxd1; dxd2];
dxr = dxd + Hur * e;
ddxd = [ddxd1; ddxd2];
ddxr = ddxd + Hur * de;

K = 150 * eye(2);
epc = 0.50;
xite = 1.2;
Fx = Dx * ddxr + Cx * dxr + Gx + K * r + Fe + xite * tanh(r/epc);

Delta = [sin(t) sin(t)]';
dx = [x(2); x(4)];

S = inv(Dx) * (Fx - Cx * dx - Gx - Delta - Fe);

```

```

sys(1) = x(2);
sys(2) = S(1);
sys(3) = x(4);
sys(4) = S(2);
function sys = mdlOutputs(t,x,u)
xd1 = u(1);dxd1 = u(2);ddxd1 = u(3);
xd2 = u(4);dxd2 = u(5);ddxd2 = u(6);

Fe1 = u(7);Fe2 = u(8);
Fe = [Fe1 Fe2]';

l1 = 1;l2 = 1;
P = [1.66 0.42 0.63 3.75 1.25];
g = 9.8;
L = [l1^2 l2^2 l1 * l2 l1 l2];

p1 = 0.5;

M = P + p1 * L;
Q = (x(1)^2 + x(3)^2 - l1^2 - l2^2)/(2 * l1 * l2);
q2 = acos(Q);
dq2 = -1/sqrt(1 - Q^2);

A = x(3)/x(1);
p1 = atan(A);
d_p1 = 1/(1 + A^2);

B = sqrt(x(1)^2 + x(3)^2 + l1^2 - l2^2)/(2 * l1 * sqrt(x(1)^2 + x(3)^2));
p2 = acos(B);
d_p2 = -1/sqrt(1 - B^2);

if q2 > 0
    q1 = p1 - p2;
    dq1 = d_p1 - d_p2;
else
    q1 = p1 + p2;
    dq1 = d_p1 + d_p2;
end

J = [ -sin(q1) - sin(q1 + q2) - sin(q1 + q2);
      cos(q1) + cos(q1 + q2) cos(q1 + q2)];
d_J = [ -dq1 * cos(q1) - (dq1 + dq2) * cos(q1 + q2) - (dq1 + dq2) * cos(q1 + q2);
        -dq1 * sin(q1) - (dq1 + dq2) * sin(q1 + q2) - (dq1 + dq2) * sin(q1 + q2)];

D = [M(1) + M(2) + 2 * M(3) * cos(q2) M(2) + M(3) * cos(q2);
      M(2) + M(3) * cos(q2) M(2)];
C = [ -M(3) * dq2 * sin(q2) - M(3) * (dq1 + dq2) * sin(q2);
      M(3) * dq1 * sin(q2) 0];
G = [M(4) * g * cos(q1) + M(5) * g * cos(q1 + q2);
      M(5) * g * cos(q1 + q2)];

Dx = (inv(J))' * D * inv(J);

```

```

Cx = (inv(J))' * (C - D * inv(J) * d_J) * inv(J);
Gx = (inv(J))' * G;

e1 = xd1 - x(1);
e2 = xd2 - x(3);
de1 = dxd1 - x(2);
de2 = dxd2 - x(4);
e = [e1; e2];
de = [de1; de2];

Hur = 30 * eye(2);
r = de + Hur * e;

dxd = [dxd1; dxd2];
dxr = dxd + Hur * e;
ddxd = [ddxd1; ddxd2];
ddxr = ddxd + Hur * de;

K = 150 * eye(2);
epc = 0.50;
xite = 1.2;
Fx = Dx * ddxr + Cx * dxr + Gx + K * r + Fe + xite * tanh(r/epc);

Delta = 1.0 * sin(t);
dx = [x(2); x(4)];

S = inv(Dx) * (Fx - Cx * dx - Gx - Delta - Fe);
tol = J' * Fx;

sys(1) = x(1);
sys(2) = x(2);
sys(3) = S(1);
sys(4) = x(3);
sys(5) = x(4);
sys(6) = S(2);
sys(7:8) = tol(1:2);

(6) 作图程序：chap9_4plot.m。

close all;

figure(1);
subplot(211);
plot(t, xc(:,1), 'r--', t, x(:,1), 'b', 'linewidth', 2);
xlabel('time(s)'); ylabel('position tracking of x1 axis');
legend('ideal xc1', 'practical x1');
subplot(212);
plot(t, xc(:,4), 'r', t, x(:,4), 'b--', 'linewidth', 2);
xlabel('time(s)'); ylabel('position tracking of x2 axis');
legend('ideal xc2', 'practical x2');

figure(2);

```

```

plot(t, xd(:,1), 'r', t, xd(:,2), 'b--', 'linewidth', 2);
xlabel('time(s)'); ylabel('Fe1 and Fe2');
legend('external force of Fe1', 'external force of Fe2');

figure(3);
plot(t, x(:,3), 'r', t, x(:,4), 'b--', 'linewidth', 2);
xlabel('time(s)'); ylabel('control input tol1 and tol2');
legend('tol of first link', 'tol of second link');

figure(4);
plot(xc(:,1), xc(:,4), 'r', 'linewidth', 2);
hold on;
plot(x(:,1), x(:,4), 'b--', 'linewidth', 1);
xlabel('x1'); ylabel('x2');
legend('ideal xc trajectory', 'practical trajectory');

figure(5);
plot(t, xd(:,1), 'r', t, xd(:,4), 'b--', 'linewidth', 2);
xlabel('time(s)'); ylabel('xd');
legend('xd1', 'xd2');

```

9.5 受约束条件下双关节机械手末端力及关节角度的滑模控制

受约束机器人的运动控制包含两方面的内容：机械手的位置控制和末端与约束面之间的接触力控制。一般而言，位置控制较容易实现，例如采用传统的独立关节 PD 控制等，接触力控制则相对较难。机械手力/位置混合控制相关研究成果较多，代表性的成果见文献 [10, 11, 12]。

9.5.1 问题的提出

带有垂直约束的双关节机械手示意图如图 9-22 所示^[10]。

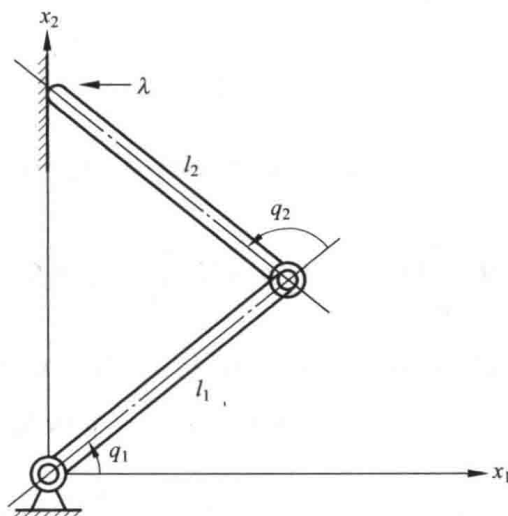


图 9-22 带有垂直约束的双关节机械手

设 \mathbf{x} 为机械手末端位置向量,约束方程为 $\phi(\mathbf{x})=0$,取 $\mathbf{x}=\mathbf{h}(\mathbf{q})$,则约束方程变为

$$\Phi(\mathbf{q})=\phi(\mathbf{h}(\mathbf{q}))=0 \quad (9.29)$$

约束方程的 Jacobian 信息为

$$\mathbf{J}_\phi(\mathbf{q})=\frac{\partial \Phi(\mathbf{q})}{\partial \mathbf{q}}=\frac{\partial \phi(\mathbf{x})}{\partial \mathbf{x}} \frac{\partial \mathbf{x}}{\partial \mathbf{q}}=\frac{\partial \phi(\mathbf{x})}{\partial \mathbf{x}} \frac{\partial \mathbf{h}(\mathbf{q})}{\partial \mathbf{q}} \quad (9.30)$$

双关节机械手方程为

$$\mathbf{D}(\mathbf{q})\ddot{\mathbf{q}}+\mathbf{C}(\mathbf{q},\dot{\mathbf{q}})\dot{\mathbf{q}}+\mathbf{G}(\mathbf{q})+\boldsymbol{\tau}_f=\boldsymbol{\tau} \quad (9.31)$$

其中, $\mathbf{q}=[q_1 \quad q_2]^T$, $\mathbf{D}(\mathbf{q})$ 为 2×2 阶正定惯性矩阵, $\mathbf{C}(\mathbf{q},\dot{\mathbf{q}})$ 为 2×2 阶离心和哥氏力项, $\mathbf{G}(\mathbf{q})$ 为 2×1 阶重力项, $\boldsymbol{\tau}_f$ 为约束力。

9.5.2 模型的降阶

由于机械手动力学模型是约束的,因此需要利用约束条件对模型进行降阶。约束力表示为

$$\boldsymbol{\tau}_f=\mathbf{J}_\phi^T(\mathbf{q})\lambda \quad (9.32)$$

由式(9.29)求导,可得

$$\mathbf{J}_\phi(\mathbf{q})\dot{\mathbf{q}}=0 \quad (9.33)$$

由图 9-22 可见,由于双关节机械手受到一个力的约束,故双关节机械手自由度由 2 个变为 1 个,不妨取 q_1 为描述约束运动的变量, q_2 为剩余的冗余变量,则 q_2 可由 q_1 表示为

$$q_2=\Psi(q_1) \quad (9.34)$$

则

$$\dot{\mathbf{q}}=\begin{bmatrix} \dot{q}_1 \\ \dot{q}_2 \end{bmatrix}=\begin{bmatrix} \dot{q}_1 \\ \frac{\partial \Psi(q_1)}{\partial q_1} \dot{q}_1 \end{bmatrix}=\mathbf{L}(q_1)\dot{q}_1$$

$$\ddot{\mathbf{q}}=\dot{\mathbf{L}}(q_1)\dot{q}_1+\mathbf{L}(q_1)\ddot{q}_1$$

$$\text{其中, } \mathbf{L}(q_1)=\begin{bmatrix} 1 \\ \frac{\partial \Psi(q_1)}{\partial q_1} \end{bmatrix}。$$

将上式代入式(9.31)可得

$$\mathbf{D}(\mathbf{q})(\dot{\mathbf{L}}(q_1)\dot{q}_1+\mathbf{L}(q_1)\ddot{q}_1)+\mathbf{C}(\mathbf{q},\dot{\mathbf{q}})\mathbf{L}(q_1)\dot{q}_1+\mathbf{G}(\mathbf{q})+\boldsymbol{\tau}_f=\boldsymbol{\tau}$$

即

$$\mathbf{D}(\mathbf{q})\mathbf{L}(q_1)\ddot{q}_1+(\mathbf{D}(\mathbf{q})\dot{\mathbf{L}}(q_1)+\mathbf{C}(\mathbf{q},\dot{\mathbf{q}})\mathbf{L}(q_1))\dot{q}_1+\mathbf{G}(\mathbf{q})+\mathbf{J}_\phi^T(\mathbf{q})\lambda=\boldsymbol{\tau}$$

则带有约束的双关节机械手方程又可写为

$$\mathbf{D}_1(q_1)\ddot{q}_1+\mathbf{C}_1(q_1,\dot{q}_1)\dot{q}_1+\mathbf{G}_1(q_1)+\mathbf{J}_\phi^T(q_1)\lambda=\boldsymbol{\tau} \quad (9.35)$$

其中, $\mathbf{D}_1(q_1)=\mathbf{D}(\mathbf{q})\mathbf{L}(q_1)$, $\mathbf{C}_1(q_1,\dot{q}_1)=\mathbf{D}(\mathbf{q})\dot{\mathbf{L}}(q_1)+\mathbf{C}(\mathbf{q},\dot{\mathbf{q}})\mathbf{L}(q_1)$, $\mathbf{G}_1(q_1)=\mathbf{G}(\mathbf{q})$, $\mathbf{J}_\phi^T(q_1)=\mathbf{J}_\phi^T(\mathbf{q})$ 。

由于 $\mathbf{J}_\phi(q_1)\mathbf{L}(q_1)=\mathbf{L}^T(q_1)\mathbf{J}_\phi^T(q_1)=0$,说明式(9.35)生成的两个方程为线性相关,因此,在仿真中通过式(9.35)求 λ ,可得

$$\mathbf{J}_\phi^T(q_1)\lambda = \boldsymbol{\tau} - \mathbf{D}_1(q_1)\ddot{q}_1 - \mathbf{C}_1(q_1, \dot{q}_1)\dot{q}_1 - \mathbf{G}_1(q_1)$$

在仿真中,采用如下三种情况求力 λ 值:

(1) 当 $\mathbf{J}_\phi = 0$ 时,则可根据 $\mathbf{J}_\phi^T(q_1)$ 的表达取 λ 值。

(2) 当 $\mathbf{J}_\phi(1) \neq 0$ 时,则可取

$$\lambda = \frac{1}{\mathbf{J}_\phi(1)}(\boldsymbol{\tau}(1) - \mathbf{D}_1(1)\ddot{q}_1 - \mathbf{C}_1(1)\dot{q}_1 - \mathbf{G}_1(1)) \quad (9.36)$$

(3) 当 $\mathbf{J}_\phi(2) \neq 0$ 时,则可取

$$\lambda = \frac{1}{\mathbf{J}_\phi(2)}(\boldsymbol{\tau}(2) - \mathbf{D}_1(2)\ddot{q}_1 - \mathbf{C}_1(2)\dot{q}_1 - \mathbf{G}_1(2)) \quad (9.37)$$

由于式(9.38)生成的两个方程为线性相关,相关系数为 $\mathbf{L}^T(q_1)$,则由式(9.36)和式(9.37)求得的 λ 相等。

需要说明的是,在实际工程中,力 λ 的值通过力传感器测得。

式(9.35)的左右两边分别乘以 $\mathbf{L}^T(q_1)$,可得

$$\mathbf{L}^T(q_1)\mathbf{D}_1(q_1)\ddot{q}_1 + \mathbf{L}^T(q_1)\mathbf{C}_1(q_1, \dot{q}_1)\dot{q}_1 + \mathbf{L}^T(q_1)\mathbf{G}_1(q_1) + \mathbf{L}^T(q_1)\mathbf{J}_\phi^T(q_1)\lambda = \mathbf{L}^T(q_1)\boldsymbol{\tau}$$

即

$$\mathbf{D}_L(q_1)\ddot{q}_1 + \mathbf{C}_L(q_1, \dot{q}_1)\dot{q}_1 + \mathbf{G}_L(q_1) = \mathbf{L}^T\boldsymbol{\tau} \quad (9.38)$$

式(9.38)即为降阶后的双关节机械手模型。式(9.38)满足如下几个性质^[11]:

(1) 定义 $\mathbf{D}_L(q_1) = \mathbf{L}^T(q_1)\mathbf{D}_1(q_1) = \mathbf{L}^T(q_1)\mathbf{D}(q)\mathbf{L}(q_1)$, $\mathbf{D}_L(q_1) > 0$ 。

(2) 定义 $\mathbf{C}_L(q_1, \dot{q}_1) = \mathbf{L}^T(q_1)\mathbf{C}_1(q_1, \dot{q}_1) = \mathbf{L}^T(q_1)(\mathbf{D}(q)\dot{\mathbf{L}}(q_1) + \mathbf{C}(q, \dot{q})\mathbf{L}(q_1))$, 则 $\dot{\mathbf{D}}_L(q_1) - 2\mathbf{C}_L(q_1, \dot{q}_1)$ 具有斜对称特性。

(3) $\mathbf{J}_\phi(q_1)\mathbf{L}(q_1) = \mathbf{L}^T(q_1)\mathbf{J}_\phi^T(q_1) = 0$ 。

设 $\mathbf{q}_d(t)$ 为理想的角度指令, $\boldsymbol{\tau}_f^d$ 为理想的受约束力,且满足 $\Phi(\mathbf{q}_d) = 0$, $\boldsymbol{\tau}_f^d = \mathbf{J}_\phi^T(\mathbf{q}_d)\lambda_d$ 。控制目标为 $\mathbf{q}(t)$ 跟踪 $\mathbf{q}_d(t)$ 和 $\boldsymbol{\tau}_f$ 跟踪 $\boldsymbol{\tau}_f^d$ 。

9.5.3 控制律的设计

由于 $q_2(t)$ 为 $q_1(t)$ 的函数,则 $\mathbf{q}(t)$ 跟踪 $\mathbf{q}_d(t)$,即 $q_1(t)$ 跟踪 $q_{d1}(t)$ 。定义

$$\begin{aligned} e_1 &= q_{d1} - q_1 \\ \dot{q}_{r1} &= \dot{q}_{d1} + \Lambda e_1 \\ r_1 &= \dot{q}_{r1} - \dot{q}_1 = \ddot{e}_1 + \Lambda e_1 \\ e_\lambda &= \lambda_d - \lambda \\ r_{L1} &= \mathbf{L}(q_1)r_1 \end{aligned}$$

其中, $\Lambda > 0$ 。

控制律设计为

$$\boldsymbol{\tau} = \mathbf{D}_1(q_1)\ddot{q}_{r1} + \mathbf{C}_1(q_1, \dot{q}_1)\dot{q}_{r1} + \mathbf{G}_1(q_1) + \mathbf{K}_p r_{L1} + \mathbf{J}_\phi^T(q_1)\lambda_r \quad (9.39)$$

其中, $\mathbf{K}_p > 0$ 。

用于控制力的项为

$$\lambda_r = \lambda_d + K_\lambda e_\lambda$$

其中, $K_\lambda > 0$ 。

于是

$$\lambda_r - \lambda = e_\lambda + K_\lambda e_\lambda = (1 + K_\lambda) e_\lambda \quad (9.40)$$

将控制律式(9.39)代入式(9.35)中,得

$$\begin{aligned} & D_1(q_1)\ddot{q}_1 + C_1(q_1, \dot{q}_1)\dot{q}_1 + \dot{G}_1(q_1) + J_\phi^T(q_1)\lambda \\ &= D_1(q_1)\ddot{q}_{r1} + C_1(q_1, \dot{q}_1)\dot{q}_{r1} + G_1(q_1) + K_p r_{L1} + J_\phi^T(q_1)\lambda_r \end{aligned}$$

则

$$D_1(q_1)\dot{r}_1 + C_1(q_1, \dot{q}_1)r_1 + K_p r_{L1} = J_\phi^T(q_1)(\lambda - \lambda_r) \quad (9.41)$$

左右两边都乘以 $L^T(q_1)$, 可得

$$L^T(q_1)(D_1(q_1)\dot{r}_1 + C_1(q_1, \dot{q}_1)r_1 + K_p r_{L1}) = L^T(q_1)J_\phi^T(q_1)(\lambda - \lambda_r)$$

根据性质(1)~性质(3), 可得

$$D_L(q_1)\dot{r}_1 + C_L(q_1, \dot{q}_1)r_1 + L^T(q_1)K_p r_{L1} = 0 \quad (9.42)$$

9.5.4 稳定性分析

Lyapunov 函数取为

$$V = \frac{1}{2} D_L(q_1) r_1^2 \quad (9.43)$$

则

$$\dot{V} = r_1 \left(D_L(q_1)\dot{r}_1 + \frac{1}{2} \dot{D}_L(q_1)r_1 \right)$$

考虑到 $\dot{D}_L(q_1) - 2C_L(q_1, \dot{q}_1)$ 的斜对称特性, 并将式(9.42)代入上式, 有

$$\dot{V} = r_1(D_L(q_1)\dot{r}_1 + C_L(q_1, \dot{q}_1)r_1) = r_1(-L^T(q_1)K_p r_{L1}) = -r_{L1}^T K_p r_{L1} \leq 0$$

由于 \dot{V} 是半负定的, 且 K_p 为正定, 则当 $\dot{V} \equiv 0$ 时, 有 $r_{L1} \equiv 0, \dot{r}_{L1} \equiv 0$; 即 $r_1 \equiv 0, \dot{r}_1 \equiv 0, \ddot{e}_1 \equiv e_1 \equiv 0$ 。由 LaSalle 定理可知, $t \rightarrow \infty$ 时, $e_1 \rightarrow 0, \ddot{e}_1 \rightarrow 0$ 。

由于 $r_{L1} \equiv 0, r_1 \equiv 0, \dot{r}_1 \equiv 0$, 根据式(9.41)可知, $\lambda - \lambda_r \equiv 0$, 再根据式(9.40)可知, $e_\lambda \equiv 0$, 由 LaSalle 定理知, $t \rightarrow \infty$ 时, $\lambda \rightarrow \lambda_d$, 其收敛速度取决于 $(1 + K_\lambda)$ 。

9.5.5 仿真实例

选二关节机器人系统(不考虑摩擦力和干扰), 其动力学模型为

$$D(q)\ddot{q} + C(q, \dot{q})\dot{q} + G(q) + \tau_f = \tau$$

其中,

$$\begin{aligned} D(q) &= \begin{bmatrix} p_1 + p_2 + 2p_3 \cos q_2 & p_2 + p_3 \cos q_2 \\ p_2 + p_3 \cos q_2 & p_2 \end{bmatrix} \\ C(q, \dot{q}) &= \begin{bmatrix} -p_3 \dot{q}_2 \sin q_2 & -p_3 (\dot{q}_1 + \dot{q}_2) \sin q_2 \\ p_3 \dot{q}_1 \sin q_2 & 0 \end{bmatrix} \end{aligned}$$

$$G(q) = \begin{bmatrix} p_4 g \cos q_1 + p_5 g \cos(q_1 + q_2) \\ p_5 g \cos(q_1 + q_2) \end{bmatrix}$$

取 $p = [2.90 \quad 0.76 \quad 0.87 \quad 3.04 \quad 0.87]^T$ 。

如图 9-22 所示,末端在工作空间中的位置为

$$x_1 = 0$$

$$x_2 = \sqrt{l_1^2 + l_2^2 - 2l_1 l_2 \cos(2q_1)}$$

如图 9-22 所示,约束函数为 $x_1 = \phi(x) = 0$,即

$$\phi(q_1) = l_1 \cos q_1 + l_2 \cos(q_1 + q_2) = 0$$

由于约束方程为 $\Phi(q) = \phi(h(q)) = \phi(q_1) = l_1 \cos q_1 + l_2 \cos(q_1 + q_2)$,则根据式(9.30),可得

$$J_\phi(q) = \frac{\partial \Phi(q)}{\partial q} = [-l_1 \sin q_1 - l_2 \sin(q_1 + q_2) \quad -l_2 \sin(q_1 + q_2)]$$

当 $q_1 + q_2 = \pi$ 时, $q_1 = 0, q_2 = \pi$, 则 $J_\phi(q) = 0$, 由图 9-22 可见,此时两个机械臂横向重叠放置,显然,此时 $\lambda = 0$ 。

当 $q_1 + q_2 \neq \pi$ 时, $J_\phi(1) \neq 0, J_\phi(2) \neq 0$, 则可按式(9.36)或式(9.37)求 λ 。

取 $l_1 = l_2 = 1.0$, 则由 $\phi(q_1) = l_1 \cos q_1 + l_2 \cos(q_1 + q_2) = 0$ 可得 $\cos q_1 + \cos(q_1 + q_2) = 0$, 根据图 9-22 可知

$$q_1 + q_2 < \pi, \quad 0 < q_1 \leq \frac{\pi}{2}, \quad 0 \leq q_2 < \pi$$

则

$$\cos(q_1 + q_2) = \cos(\pi - q_1)$$

根据上式可得 $q_1 + q_2 = \pi - q_1$, 即

$$q_2 = \pi - 2q_1$$

由于 $q_2 = \Psi(q_1)$, 则 $\Psi(q_1) = \pi - 2q_1$, 从而

$$L(q_1) = \begin{bmatrix} 1 \\ \frac{\partial \Psi(q_1)}{\partial q_1} \end{bmatrix} = \begin{bmatrix} 1 \\ -2 \end{bmatrix}$$

可对性质(3)进行验证:

$$\begin{aligned} J_\phi(q_1)L(q_1) &= [-l_1 \sin q_1 - l_2 \sin(q_1 + q_2) \quad -l_2 \sin(q_1 + q_2)] \begin{bmatrix} 1 \\ -2 \end{bmatrix} \\ &= -l_1 \sin q_1 - l_2 \sin(q_1 + q_2) + 2l_2 \sin(q_1 + q_2) \\ &= -l_1 \sin q_1 + l_2 \sin(q_1 + q_2) \\ &= -l_1 \sin q_1 + l_2 \sin(\pi - q_1) = 0 \end{aligned}$$

被控对象为式(9.38),被控对象 q_1 及 \dot{q}_1 初始状态为 $[1.4 \quad 0]$ 。位置指令为 $q_{d1} = 0.8 + 0.5 \cos t$, 理想的约束力为 $\lambda_d = 10 \sin t$ 。采用控制器式(9.39), 控制器参数为 $K_p =$

$$\begin{bmatrix} 10 & 0 \\ 0 & 10 \end{bmatrix}, K_\lambda = 0.8, \Lambda = 5.0。仿真结果如图 9-23 \sim 图 9-25 所示。$$

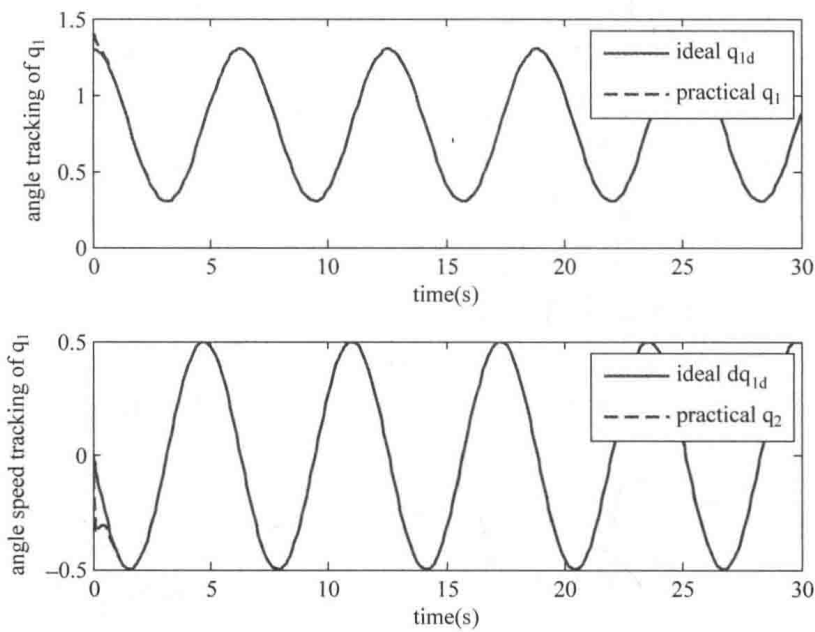


图 9-23 关节 1 的角度及角速度跟踪

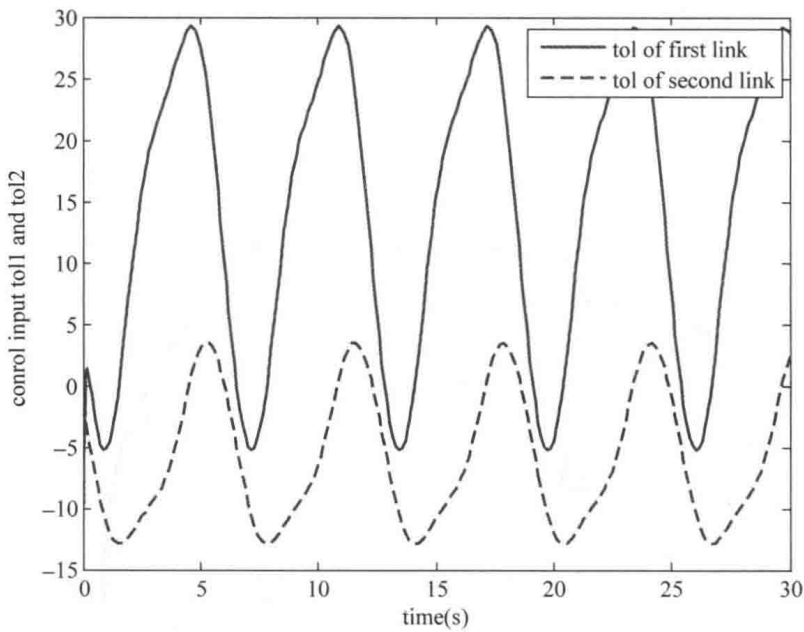


图 9-24 关节 1 和关节 2 的控制输入

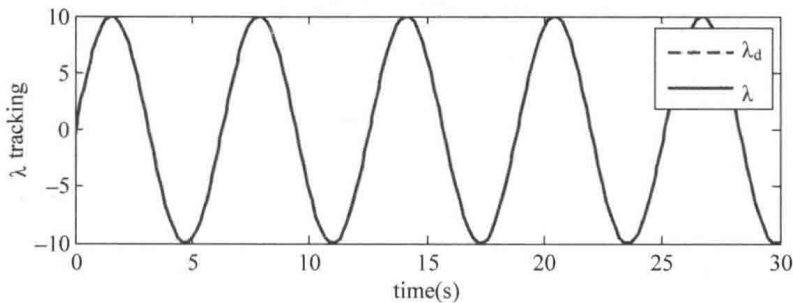


图 9-25 约束力的跟踪及跟踪误差

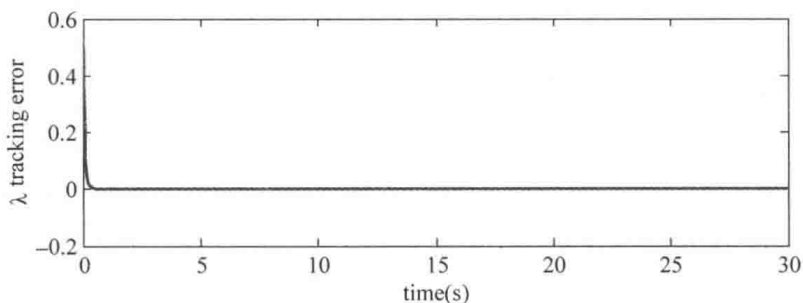
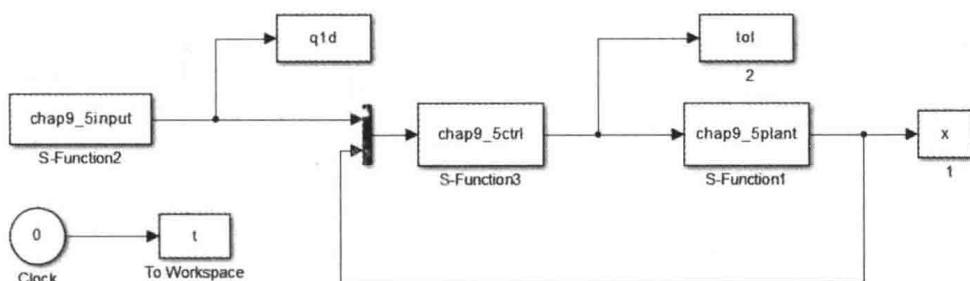


图 9-25 (续)

仿真程序如下：

(1) Simulink 主程序：chap9_5sim.mdl。



(2) 位置指令子程序：chap9_5input.m。

```
function [sys,x0,str,ts] = spacemodel(t,x,u,flag)
switch flag,
case 0,
    [sys,x0,str,ts] = mdlInitializeSizes;
case 1,
    sys = mdlDerivatives(t,x,u);
case 3,
    sys = mdlOutputs(t,x,u);
case {2,4,9}
    sys = [];
otherwise
    error(['Unhandled flag = ',num2str(flag)]);
end
function [sys,x0,str,ts] = mdlInitializeSizes
sizes = simsizes;
sizes.NumContStates = 0;
sizes.NumDiscStates = 0;
sizes.NumOutputs = 1;
sizes.NumInputs = 0;
sizes.DirFeedthrough = 1;
sizes.NumSampleTimes = 1;
sys = simsizes(sizes);
x0 = [];
str = [];
ts = [0 0];
function sys = mdlOutputs(t,x,u)
q1d = 0.8 + 0.5 * cos(t);
```

```
sys(1) = q1d;
```

(3) 控制器子程序：chap9_5ctrl.m。

```
function [sys,x0,str,ts] = s_function(t,x,u,flag)
switch flag,
case 0,
    [sys,x0,str,ts] = mdlInitializeSizes;
case 3,
    sys = mdlOutputs(t,x,u);
case {1,2, 4, 9 }
    sys = [];
otherwise
    error(['Unhandled flag = ',num2str(flag)]);
end
function [sys,x0,str,ts] = mdlInitializeSizes
sizes = simsizes;
sizes.NumContStates = 0;
sizes.NumDiscStates = 0;
sizes.NumOutputs = 3;
sizes.NumInputs = 6;
sizes.DirFeedthrough = 1;
sizes.NumSampleTimes = 0;
sys = simsizes(sizes);
x0 = [];
str = [];
ts = [];
function sys = mdlOutputs(t,x,u)
q1d = u(1);
q1 = u(2);
dq1 = u(3);
q2 = u(4);
dq2 = u(5);

dq1d = -0.5 * sin(t);
ddq1d = -0.5 * cos(t);

l1 = 1;l2 = 1;
p = [2.9 0.76 0.87 3.04 0.87];
g = 9.8;

D = [p(1) + p(2) + 2 * p(3) * cos(q2) p(2) + p(3) * cos(q2);
      p(2) + p(3) * cos(q2) p(2)];
C = [-p(3) * dq2 * sin(q2) -p(3) * (dq1 + dq2) * sin(q2);
      p(3) * dq1 * sin(q2) 0];
G = [p(4) * g * cos(q1) + p(5) * g * cos(q1 + q2);
      p(5) * g * cos(q1 + q2)];

J = [-l1 * sin(q1) - l2 * sin(q1 + q2) - l2 * sin(q1 + q2)];

L = [1 -2]';
```

```

D1 = D * L;
C1 = C * L;
G1 = G;

e1 = qd1 - q1;
del = dqd1 - dq1;

Fai = 5.0;
dqr1 = dqd1 + Fai * e1;
ddqr1 = ddq1 + Fai * del;
r1 = del + Fai * e1;

lambda = u(6);
lambda_d = 10 * sin(t);

e_lambda = lambda_d - u(6);
r_L1 = L * r1;

K_lambda = 10;
lambda_r = lambda_d + K_lambda * e_lambda;
%%%%%%%%%%%%%%%%%%%%%%%%%%%%%%%%%%%%%%%%%%%%%%%%%%%%%%%%%%%%%%%%%%%%%%%%

Kp = [5 0; 0 5];
tol = D1 * ddqr1 + C1 * dqr1 + G1 + Kp * r_L1 + J' * lambda_r;

tolf = J' * lambda;

sys(1) = tol(1);
sys(2) = tol(2);
sys(3) = lambda;

```

(4) 被控对象子程序: chap9_5plant.m。

```

function [sys,x0,str,ts] = s_function(t,x,u,flag)
switch flag,
case 0,
    [sys,x0,str,ts] = mdlInitializeSizes;
case 1,
    sys = mdlDerivatives(t,x,u);
case 3,
    sys = mdlOutputs(t,x,u);
case {2, 4, 9}
    sys = [];
otherwise
    error(['Unhandled flag = ',num2str(flag)]);
end
function [sys,x0,str,ts] = mdlInitializeSizes
sizes = simsizes;
sizes.NumContStates = 2;
sizes.NumDiscStates = 0;
sizes.NumOutputs = 5;

```

```

sizes.NumInputs      = 3;
sizes.DirFeedthrough = 1;
sizes.NumSampleTimes = 0;
sys = simsizes(sizes);
x0 = [1.4 0];
str = [];
ts = [];
function sys = mdlDerivatives(t,x,u)
tol = u(1:2);

q1 = x(1);q2 = pi - 2 * x(1);

dq1 = x(2);dq2 = - 2 * dq1;

p = [2.9 0.76 0.87 3.04 0.87];
g = 9.8;

D = [p(1) + p(2) + 2 * p(3) * cos(q2) p(2) + p(3) * cos(q2);
      p(2) + p(3) * cos(q2) p(2)];
C = [- p(3) * dq2 * sin(q2) - p(3) * (dq1 + dq2) * sin(q2);
      p(3) * dq1 * sin(q2) 0];
G = [p(4) * g * cos(q1) + p(5) * g * cos(q1 + q2);
      p(5) * g * cos(q1 + q2)];

L = [1 - 2]';

DL = L' * D * L;
CL = L' * C * L;
GL = L' * G;

ddq1 = (L' * tol - CL * dq1 - GL)/DL;

sys(1) = dq1;
sys(2) = ddq1;
function sys = mdlOutputs(t,x,u)
l1 = 1;l2 = 1;
tol = u(1:2);

q1 = x(1);q2 = pi - 2 * x(1);

dq1 = x(2);dq2 = - 2 * dq1;

p = [2.9 0.76 0.87 3.04 0.87];
g = 9.8;

D = [p(1) + p(2) + 2 * p(3) * cos(q2) p(2) + p(3) * cos(q2);
      p(2) + p(3) * cos(q2) p(2)];
C = [- p(3) * dq2 * sin(q2) - p(3) * (dq1 + dq2) * sin(q2);
      p(3) * dq1 * sin(q2) 0];
G = [p(4) * g * cos(q1) + p(5) * g * cos(q1 + q2);
      p(5) * g * cos(q1 + q2)];

```

```

L = [1 -2]';

DL = L' * D * L;
CL = L' * C * L;
GL = L' * G;

ddq1 = DL \ (L' * tol - CL * dq1 - GL);

D1 = D * L;
C1 = C * L;
G1 = G;

J = [-l1 * sin(q1) - l2 * sin(q1 + q2) - l2 * sin(q1 + q2)];
temp = tol - D1 * ddq1 - C1 * dq1 - G1;

if q1 + q2 == pi
    lambda = 0;
else
    lambda1 = temp(1)/J(1); lambda2 = temp(2)/J(2);    % lambda1 = lambda2
    lambda = lambda1;
end
sys(1) = x(1);
sys(2) = x(2);
sys(3) = pi - 2 * x(1);                                % q2
sys(4) = -2 * x(2);                                    % dq2
sys(5) = lambda;

```

(5) 绘图子程序: chap9_5plot.m。

```

close all;

figure(1);
subplot(211);
plot(t, q1d(:,1), 'r', t, x(:,1), 'b--', 'linewidth', 2);
xlabel('time(s)'); ylabel('angle tracking of q1');
legend('ideal q1d', 'practical q1');
subplot(212);
dq1 = -0.5 * sin(t);
plot(t, dq1, 'r', t, x(:,2), 'b--', 'linewidth', 2);
xlabel('time(s)'); ylabel('angle speed tracking of q1');
legend('ideal dq_1_d', 'practical q_2');

figure(2);
plot(t, tol(:,1), 'r', t, tol(:,2), 'b--', 'linewidth', 2);
xlabel('time(s)'); ylabel('control input tol1 and tol2');
legend('tol of first link', 'tol of second link');

figure(3);
subplot(211);
plot(t, 10 * sin(t), 'r--', t, x(:,5), 'b', 'linewidth', 2);

```



```
xlabel('time(s)');ylabel('\lambda tracking');  
legend('\lambda d', '\lambda');  
subplot(212);  
plot(t, 10 * sin(t) - x(:,5), 'r', 'linewidth', 2);  
xlabel('time(s)');ylabel('\lambda tracking error');
```

参考文献

- [1] Aghababa M P, Akbari M E. A chattering-free robust adaptive sliding mode controller for synchronization of two different chaotic systems with unknown uncertainties and external disturbances [J]. Applied Mathematics and Computation, 2012, 218: 5757-5768.
- [2] Polycarpou M M, Ioannou P A. A robust adaptive nonlinear control design [J]. Automatica, 1996, 32(3): 423-427.
- [3] Ioannou P A, Sun J. Robust Adaptive Control [M]. Upper Saddle River: PTR Prentice-Hall, 1996, 75-76.
- [4] Ge S S, Hang C C, Woon L C. Adaptive Neural Network Control of Robot Manipulators in Task Space [J]. IEEE Transactions on Industrial Electronics, 1997, 44(6): 746-752.
- [5] 申铁龙. 机器人鲁棒控制基础 [M]. 北京: 清华大学出版社, 2004.
- [6] 大熊繁. 机器人控制 [M]. 卢伯英, 译. 北京: 科学出版社, 2002.
- [7] Ortega R, Spong M W. Adaptive motion control of rigid robots [J]. Automatica, 1989, 25(6): 877-888.
- [8] Hogan N. Impedance control: an approach to manipulation-Part I: Theory; Part II: Implementation; Part III: Applications, Trans [J]. ASME J. Dynamic Systems, Measurement and Control, 1985, 107(1): 1-24.
- [9] Hogan N. On the stability of manipulators performing contact tasks [J]. IEEE Journal of Robotics and Automation, 1988, 4(6): 667-686.
- [10] Ge S S, Lee T H, Harris C J. Adaptive Neural Network Control of Robotic Manipulators [M]. London: World Scientific, 1998.
- [11] Su C Y, Leung T P, Zhou Q J. Force/motion control of constrained robots using sliding mode [J]. IEEE Trans. Automatic Control, 1992, 37(5): 668-672.
- [12] Karayiannidis Y, Rovithakis G, Doulgeri Z. Force position tracking for a robotic manipulator in compliant contact with a surface using neuro-adaptive control [J]. Automatica, 2007, 43: 1281-1288.
- [13] 王新华, 刘金琨. 微分器设计与应用——信号滤波与求导 [M]. 北京: 电子工业出版社, 2010.
- [14] 薛定宇. 薛定宇教授大讲堂(卷 VI), Simulink 建模与仿真 [M]. 北京: 清华大学出版社, 2021.

重复控制的基本原理及 设计方法

10.1 重复控制的基本原理

20 世纪 80 年代开始,重复控制方法在日本兴起。重复控制(Repetitive Control)最先由日本学者内山(日本东北大学)在一篇有关机器人控制的文章中提出^[1]。

重复控制方法的目标是设计一个针对周期信号的跟踪控制器或者扰动补偿器,只需基于过去周期的误差信号,除了使用当前控制误差外,还“重复”使用了上一周期的误差,并与当前控制误差叠加在一起,作为偏差控制信号。重复控制方法能够大大提高系统跟踪周期信号的能力,抑制周期性的干扰,具有较好的跟踪鲁棒性能。

重复控制最直接的解决方案是应用内模原理构造内模控制器。在控制器中包含周期信号的模型,以获得无差的渐进跟踪特性。如果输入信号模型具有无穷的谐波成分(例如方波信号),则控制器必须包含无穷维的信号模型。在知道信号周期的情况下,通过具有延迟环节的正反馈回路形成信号模型,能够获得信号中的各种谐波频率成分。

重复控制方法的出现,为伺服系统的设计及解决重复轨迹高精度跟踪问题提供了新的手段。重复控制方法具有较强的实践基础,而且工程实现简单,重复控制方法在高精度伺服系统中得到了成功的应用,其研究成果在机器人控制中有着良好的应用前景。

10.1.1 重复控制的理论基础

重复控制方法是内模原理的一种应用,内模原理是指:如果控制系统的开环传递函数包含参考信号的模型,那么系统闭环输出的稳态误差为零。例如, v 型反馈系统跟踪 $v-1$ 阶参考输入信号无稳态误差,是因为其开环传递函数中包含了 $\frac{1}{s^v}$,恰好是 $v-1$ 阶输入信号的模型。

在工业应用中,时常会遇到指令信号或扰动信号是周期的例子。例如,工业机器人固定的运动轨迹,可以看作是在周期指令信号控制下完成的(如 CD-ROM 中盘片不规则部分造成周期性扰动)。

对于周期性指令输入或干扰,如果将周期信号的产生模型引入系统闭环中,根据内模原理,便可实现重复控制。从频域的角度来看,重复控制方法是内模原理的一种应用,适于跟踪周期信号或抑制周期干扰。

周期信号的产生模型如图 10-1 所示,周期信号 $R_0(t)$ 通过一个纯延迟环节(延迟 L 秒)构成正反馈,形成周期为 L ,波形如 $R(t)$ 的周期信号。

由图 10-1 可知

$$R(s)e^{-sL} + R_0(s) = R(s)$$

该信号模型的传递函数为

$$D(s) = \frac{R(s)}{R_0(s)} = \frac{1}{1 - e^{-sL}} \quad (10.1)$$

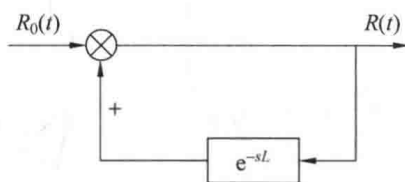


图 10-1 周期信号发生器

10.1.2 基本的重复控制系统结构

考虑一个 SISO 线性时不变系统,设被控对象为 $P(s)$ 。将图 10-1 中的周期信号模型串联到控制回路中,构成基本重复控制系统,如图 10-2 所示。

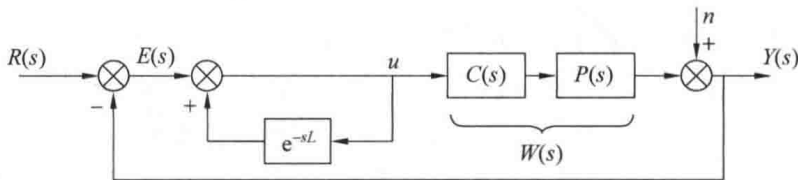


图 10-2 基本重复控制系统

图 10-2 中, $C(s)$ 为基本控制器, $R(s)$ 为周期参考信号,周期为 L , $n(s)$ 为相同周期的干扰信号。通常称闭环系统 $\frac{C(s)P(s)}{1+C(s)P(s)}$ 为基本系统。

图 10-2 中的周期信号模型的前向通道是一个纯延迟环节,对闭环系统特性不利。因此,如果给周期信号模型并联一个前向通道,其上串比例环节或稳定的传递函数 $\alpha(s)$,则有利于改善系统的稳定性和快速性。

10.1.3 基本重复控制系统稳定性分析

1. 基本重复控制系统的等效系统

图 10-2 中,基本控制系统开环传递函数为

$$W(s) = C(s)P(s) \quad (10.2)$$

基本闭环系统传递函数为

$$G(s) = \frac{C(s)P(s)}{1 + C(s)P(s)} \quad (10.3)$$

则

$$E(s) = R(s) - Y(s) \quad (10.4)$$

$$Y(s) = W(s)U(s) + N(s) \quad (10.5)$$

$$U(s) = E(s) + e^{-sL}U(s) \quad (10.6)$$

由式(10.6)得

$$U(s) = \frac{E(s)}{1 - e^{-sL}}$$

由式(10.4)和式(10.5)得

$$\begin{aligned} E(s) &= R(s) - W(s)U(s) - N(s) \\ &= R(s) - W(s) \frac{E(s)}{1 - e^{-sL}} - N(s) \end{aligned}$$

即

$$E(s) \left(1 + W(s) \frac{1}{1 - e^{-sL}} \right) = R(s) - N(s) \quad (10.7)$$

由式(10.2)和式(10.3)得

$$G(s) = \frac{W(s)}{1 + W(s)}$$

即

$$W(s) = \frac{G(s)}{1 - G(s)} \quad (10.8)$$

将式(10.8)代入式(10.7),得

$$E(s) = (1 - G(s))(1 - e^{-sL}) \frac{1}{1 - (1 - G(s))e^{-sL}} (R(s) - N(s)) \quad (10.9)$$

由式(10.9)可得到图 10-2 的等效系统,如图 10-3 所示。

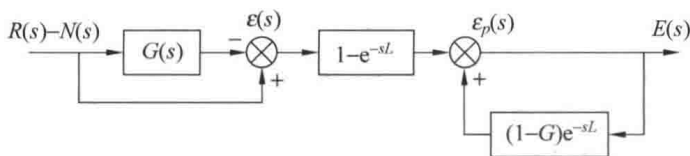


图 10-3 基本重复控制系统的等效系统

其中,图 10-3 中的第 1 个回路传递函数为 $1 - G(s)$,第 2 个回路传递函数为

$\frac{1}{1 - (1 - G(s))e^{-sL}}$,故可看出图 10-3 为式(10.9)的示意图,即为图 10-2 的等效系统。

2. 小增益定理的描述

定理 10.1^[1] 在如图 10-4 所示的系统中, $A(s)$ 、 $B(s)$ 都是稳定的,但所组成的闭环系统不一定稳定。如果有

$$\sup_{-\infty < \omega < \infty} |A(j\omega)| \cdot |B(j\omega)| < 1 \quad (10.10)$$

则图 10-4 所示的闭环系统稳定。

小增益定理也可描述为:“如果闭环系统的开环增益小于 1,则对应有限输入,输出有界。”

3. 基本重复控制系统稳定性证明

对于图 10-3 所示的等效系统,应用小增益定理,可得到基本重复控制系统的稳定性充分条件。

对图 10-3 所示的重复控制系统,若满足条件:

$$(1) G(s) = \frac{C(s)P(s)}{1 + C(s)P(s)} \text{ 渐进稳定。}$$

$$(2) \sup_{\omega} |1 - G(j\omega)| < 1。$$

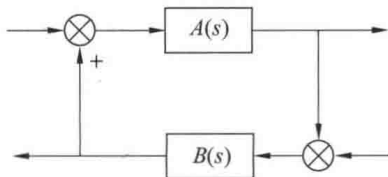


图 10-4 闭环系统

则图 10-2 所示的基本重复控制系统稳定。

对该闭环系统稳定性分析如下：首先，图 10-3 中第一个回路传递函数为 $1-G(s)$ ，由条件(2)可知，第一个回路稳定。图 10-3 中的输入 $R(s)$ 和 $n(s)$ 都是周期为 L 的有界周期信号。注意 $1-e^{-sL}$ 是稳定的， $|e^{-j\omega L}|=1$ 。图 10-3 中第二项传递函数为 $1-e^{-sL}$ ，则第二项稳定。

最后，图 10-3 中第二个回路传递函数为 $\frac{1}{1-(1-G(s))e^{-sL}}$ ，则根据小增益定理，有

$$\begin{aligned}\sup_{-\infty < \omega < \infty} |A(j\omega)| \cdot |B(j\omega)| &= \sup_{\omega} |1| \cdot |(1-G(s))e^{-sL}| \\ &= \sup_{\omega} |1-G(s)| \cdot |e^{-sL}| < 1\end{aligned}$$

则第二个回路稳定。

通过上述分析可见，图 10-2 中的基本重复控制系统稳定。

10.1.4 仿真实例

被控对象为

$$P(s) = \frac{133}{s^2 + 25s}$$

采用图 10-3 所示的重复控制系统结构，设计基本控制器为

$$C(s) = s^2 + 10s$$

从以下两个方面证明所设计的重复控制系统的稳定性。

(1) 证明闭环系统 $G(s)$ 渐进稳定。

基本控制系统开环传递函数为

$$W(s) = C(s)P(s) = 133 \frac{s^2 + 10s}{s^2 + 25s}$$

基本闭环系统传递函数为

$$G(s) = \frac{W(s)}{1+W(s)} = \frac{133s^4 + 4655s^3 + 33250s^2}{134s^4 + 4705s^3 + 33875s^2} = \frac{0.99254s^2(s+25)(s+10)}{s^2(s+25)(s+10.11)}$$

通过闭环系统稳定性测试程序 chap10_1test.m 也可以得到上述结论。由上式的极点分布可知，基本闭环系统 $G(s)$ 渐进稳定。

(2) 证明 $\sup_{\omega} |1-G(j\omega)| < 1$ 。

由于 $1-G(s) = 1 - \frac{W(s)}{1+W(s)} = \frac{1}{1+W(s)}$ ，则

$$\sup_{\omega} |1-G(j\omega)| = \frac{1}{\sup_{\omega} |1+W(j\omega)|}$$

由于 $1+W(s) = 1 + 133 \frac{s^2 + 10s}{s^2 + 25s} = \frac{134s + 1355}{s + 25}$ ，则

$$|1+W(s)|_{s=j\omega} = \frac{|134j\omega + 1355|}{|j\omega + 25|} = \frac{\sqrt{(134\omega)^2 + 1355^2}}{\sqrt{\omega^2 + 25^2}} > 1$$

即 $\sup_{\omega} |1+W(j\omega)| > 1$ ，从而 $\sup_{\omega} |1-G(j\omega)| < 1$ 。

从以上两个方面分析可见，所设计的控制系统满足重复控制的稳定条件(1)和(2)，即所

设计的重复控制系统是稳定的。

指令信号是频率 $F=0.5\text{Hz}$, 幅值为 0.5 的正弦信号。为保证 $LF=1$, 重复控制回路的延迟时间为 $L=\frac{1}{F}=2$ 。取仿真时间为 20, 仿真结果如图 10-5 和图 10-6 所示。

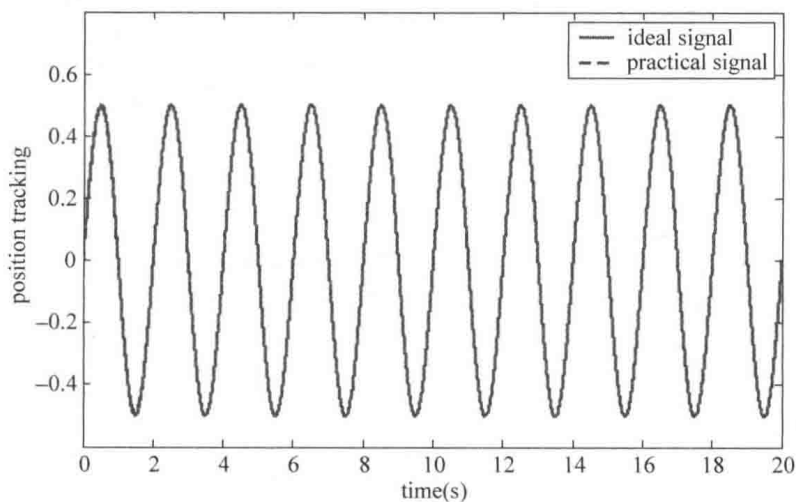


图 10-5 位置跟踪

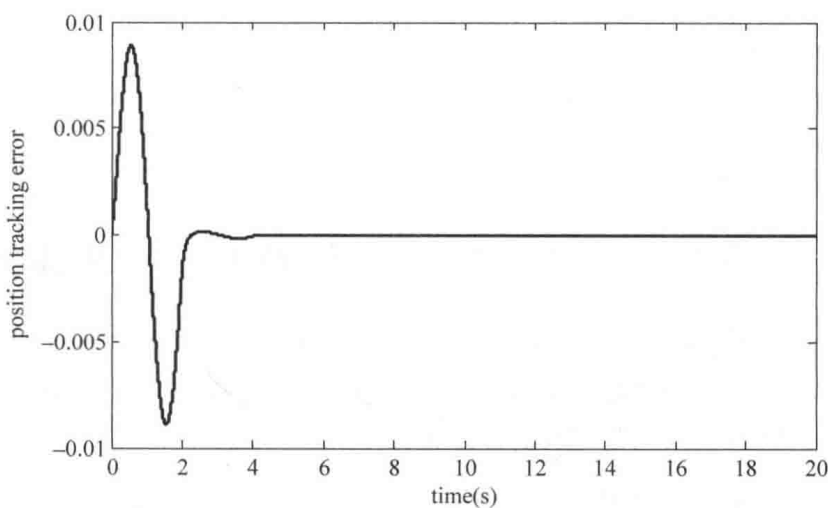


图 10-6 位置跟踪误差

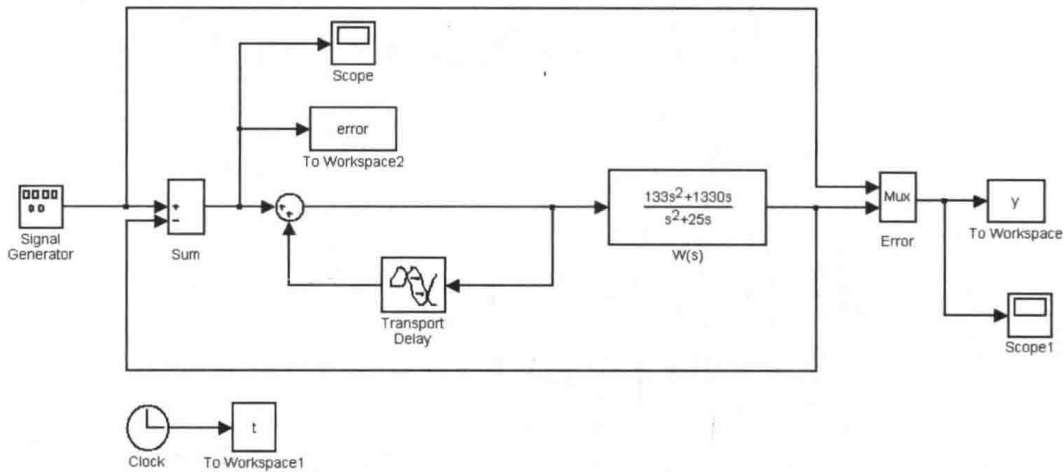
仿真程序如下:

(1) 闭环系统稳定性测试程序: chap10_1test.m。

```
% Repetitive Control for Servo System
clear all;close all;

P=tf([133],[1,25,0]);
C=tf([1 10 0],[1]);
W=C*P
G=W/(1+W);
zpk(G)
```

(2) Simulink 主程序：chap10_1sim.mdl。



(3) 作图程序：chap10_1plot.m。

```
close all;

figure(1);
plot(t,y(:,1),'r',t,y(:,2),'b');
xlabel('time(s)');ylabel('position tracking');
legend('ideal signal','practical signal');

figure(2);
plot(t,error(:,1),'r');
xlabel('time(s)');ylabel('position tracking error');
```

10.2 一种具有多路周期指令信号的数字重复控制

将重复控制方法应用于实际伺服系统的数字控制中^[2,3],可实现伺服系统的高精度控制。本节通过对文献[2]的控制方法进行详细推导及仿真分析,研究一种具有多路周期指令信号的数字重复控制的设计、分析及仿真方法。

10.2.1 系统的结构

多路重复控制器相当于在控制系统的闭环回路中并行嵌入了多个重复控制回路。各个重复控制回路只针对特定基频信号进行设计,因此整个重复控制系统所需的延时周期要远远小于只有一个重复控制回路的系统。同时,随着延时周期的减小,调节频率加快,误差收敛速度提高。多路重复控制器的结构如图 10-7 所示。

如图 10-7 所示,输入指令信号或扰动信号为周期信号,被制对象 $G(z)$ 为一个 SISO 线性离散系统:

$$Y(z) = G(z)U(z)$$

其中, $G(z)$ 是最小相位系统。

设采样周期为 T ,重复控制回路 i 的延迟周期频率为 F_i ,为保证 $N_i F_i T = 1$,重复控制回路 i 的延迟周期个数为

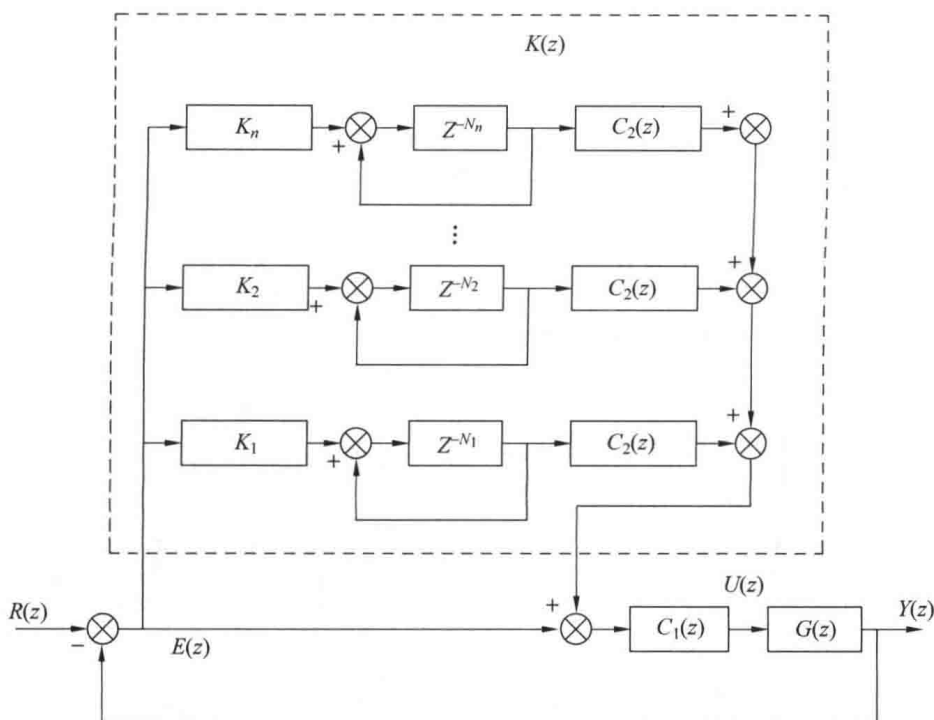


图 10-7 数字多路重复控制系统

$$N_i = \frac{1}{F_i T}, \quad i = 1, 2, \dots, n \quad (10.11)$$

图 10-7 给出的数字重复控制系统,虚线内部为多回路重复控制器,可表示为

$$K(z) = C_2(z) \left(\sum_{i=1}^n K_i \frac{z^{-N_i}}{1 - z^{-N_i}} \right) \quad (10.12)$$

图 10-7 中的 $C_1(z)$ 为串联补偿环节,通过设计 $C_1(z)$,可保证由 $G(z)$ 和 $C_1(z)$ 构成的反馈回路为渐进稳定的最小相位系统:

$$H(z) \triangleq \frac{C_1(z)G(z)}{1 + C_1(z)G(z)} \quad (10.13)$$

理论上,存在 $H(z)$ 的逆系统 $C_2(z)$,使下式成立:

$$C_2(z)H(z) = 1 \quad (10.14)$$

式(10.14)是控制器 $C_2(z)$ 设计的依据。

10.2.2 控制器的设计方法

然而,在实际工程中,存在模型不确定性等因素,因此式(10.14)应表示为

$$C_2(z)H(z) = 1 + \Delta(z) \quad (10.15)$$

其中, $|\Delta(z)| \leq \epsilon, \epsilon > 0$ 。

定理 10.2^[2] 如果各个重复控制回路的增益 K_i 满足不等式

$$K_i > 0, \quad i = 1, 2, \dots, n \quad \text{且} \quad \sum_{i=1}^n K_i < \frac{2}{1 + \epsilon} \quad (10.16)$$

其中, $\epsilon > 0$ 。

图 10-7 所示闭环系统渐进稳定。

对该定理的稳定性分析如下：图 10-7 所示的数字多路重复控制系统中，闭环系统的传递函数为

$$G_c(z) = \frac{(1+K(z))C_1(z)G(z)}{1+(1+K(z))C_1(z)G(z)} \quad (10.17)$$

由式(10.13)得

$$C_1(z)G(z) = \frac{H(z)}{1-H(z)} \quad (10.18)$$

将式(10.18)代入式(10.17)式中，并将式(10.15)代入，可得

$$\begin{aligned} G_c(z) &= \frac{(1+K(z)) \frac{H(z)}{1-H(z)}}{1+(1+K(z)) \frac{H(z)}{1-H(z)}} = \frac{H(z)(1+K(z))}{1-H(z)+(1+K(z))H(z)} \\ &= \frac{H(z)(1+K(z))}{1+H(z)K(z)} = \frac{H(z)(1+K(z))}{1+H(z)C_2(z) \sum_{i=1}^n K_i \frac{z^{-N_i}}{1-z^{-N_i}}} \\ &= \frac{H(z) \left(1 + C_2(z) \sum_{i=1}^n K_i \frac{z^{-N_i}}{1-z^{-N_i}} \right)}{1 + (1+\Delta(z)) \sum_{i=1}^n K_i \frac{z^{-N_i}}{1-z^{-N_i}}} \end{aligned} \quad (10.19)$$

对于离散系统，如果分母的零点在单位圆之内，则系统稳定。利用这一原理，通过证明式(10.19)分母所有零点在单位圆之内，来证明图 10-7 所示的闭环系统渐进稳定。

取 $z = r \cos \varphi + i \cdot r \sin \varphi$ ，则

$$\begin{aligned} z^{N_i} &= r^{N_i} \cos(N_i \varphi) + i \cdot r^{N_i} \sin(N_i \varphi) \\ \frac{z^{N_i}}{1-z^{-N_i}} &= \frac{1}{z^{N_i} - 1} = \frac{1}{r^{N_i} \cos(N_i \varphi) + i \cdot r^{N_i} \sin(N_i \varphi) - 1} \\ &= \frac{r^{N_i} \cos(N_i \varphi) - 1 - i \cdot r^{N_i} \sin(N_i \varphi)}{(r^{N_i} \cos(N_i \varphi) - 1)^2 + (r^{N_i} \sin(N_i \varphi))^2} \end{aligned}$$

从而得到 $\frac{z^{-N_i}}{1-z^{-N_i}}$ 的实部为

$$\begin{aligned} \operatorname{Re} \left(\frac{z^{-N_i}}{1-z^{-N_i}} \right) &= \frac{r^{N_i} \cos(N_i \varphi) - 1}{(r^{N_i} \cos(N_i \varphi) - 1)^2 + (r^{N_i} \sin(N_i \varphi))^2} \\ &= \frac{r^{N_i} \cos(N_i \varphi) - 1}{r^{2N_i} - 2r^{N_i} \cos(N_i \varphi) + 1} \end{aligned}$$

由 $|z| \geq 1$ 可知， $|r| \geq 1$ 即 $r^{2N_i} \geq 1$ ，则

$$2(r^{N_i} \cos(N_i \varphi) - 1) \geq -(r^{2N_i} - 2r^{N_i} \cos(N_i \varphi) + 1)$$

即

$$\frac{r^{N_i} \cos(N_i \varphi) - 1}{r^{2N_i} - 2r^{N_i} \cos(N_i \varphi) + 1} \geq -\frac{1}{2}$$

也即

$$\operatorname{Re}\left(\frac{z^{-N_i}}{1-z^{-N_i}}\right) \geq -\frac{1}{2}$$

考虑式(10.16)和 $|\Delta(z)| \leq \epsilon$, 则有

$$\begin{aligned} \min_{|z| \geq 1} \operatorname{Re}\left[\sum_{i=1}^n K_i z^{-N_i} / (1-z^{-N_i})\right] &= \min_{|z| \geq 1} \sum_{i=1}^n K_i \operatorname{Re}[z^{-N_i} / (1-z^{-N_i})] \\ &\geq -\frac{1}{2} \min_{|z| \geq 1} \sum_{i=1}^n K_i > -\frac{1}{2} \frac{2}{1+\epsilon} \\ &\geq -\left|\frac{1}{1+\Delta(z)}\right|, \quad \forall |z| \geq 1 \end{aligned}$$

即

$$\min_{|z| \geq 1} \operatorname{Re}\left[\sum_{i=1}^n K_i z^{-N_i} / (1-z^{-N_i})\right] + \left|\frac{1}{1+\Delta(z)}\right| > 0, \quad \forall |z| \geq 1$$

于是可得

$$\frac{1}{1+\Delta(z)} + \sum_{i=1}^n K_i z^{-N_i} / (1-z^{-N_i}) \neq 0, \quad \forall |z| \geq 1$$

反过来, 可得最终结论:

$$\frac{1}{1+\Delta(z)} + \sum_{i=1}^n K_i z^{-N_i} / (1-z^{-N_i}) = 0, \quad \forall |z| < 1$$

定理 10.3^[3] 若图 10-7 所示的闭环系统是渐进稳定的, 则误差渐进收敛到零。

对该定理的稳定性分析如下: 将式(10.12)、式(10.13)、式(10.18)和式(10.15)代入, 则图 10-7 所示的闭环系统的误差传递函数为

$$\begin{aligned} T(z) &= \frac{E(z)}{R(z)} = \frac{1}{1 + (1 + K(z))C_1(z)G(z)} = \frac{1}{1 + \left(1 + C_2(z)\left(\sum_{i=1}^n K_i \frac{z^{-N_i}}{1-z^{-N_i}}\right)\right) \frac{H(z)}{1-H(z)}} \\ &= \frac{1-H(z)}{1-H(z) + \left(1 + C_2(z)\left(\sum_{i=1}^n K_i \frac{z^{-N_i}}{1-z^{-N_i}}\right)\right) H(z)} = \frac{1 - \frac{C_1(z)G(z)}{1+C_1(z)G(z)}}{1 + C_2(z)H(z)\left(\sum_{i=1}^n K_i \frac{z^{-N_i}}{1-z^{-N_i}}\right)} \\ &= \frac{1}{1+C_1(z)G(z)} \times \frac{1}{1 + (1+\Delta(z))\left(\sum_{i=1}^n K_i \frac{z^{-N_i}}{1-z^{-N_i}}\right)} \quad (10.20) \end{aligned}$$

由式(10.20)可见, $T(z)$ 的分母由 $H(z)$ 分母和 $G_c(z)$ 分母相乘而得。由于 $H(z)$ 和 $G_c(z)$ 是渐进稳定的, 即 $H(z)$ 和 $G_c(z)$ 分母的零点都在单位圆内, 从而 $T(z)$ 分母的零点都在单位圆内, $T(z)$ 渐进稳定。

于是

$$|T(z)| = 0, \quad \forall z^{N_i} = 1$$

即误差渐进收敛到零。

10.2.3 仿真实例

假设机械手某关节电机带机械臂的模型为

$$G(s) = \frac{133}{s^2 + 25s}$$

设计 $C_1(s)$ 为

$$C_1(s) = s^2 + 100s$$

则

$$C_1G(s) = C_1(s)G(s) = 133 \frac{s^2 + 100s}{s^2 + 25s}$$

取采样周期 $T=0.001$, 则

$$C_1G(z) = \frac{133 - 119.9z^{-1}}{1 - 0.9753z^{-1}}$$

根据式(10.13), 有

$$H(z) = \frac{C_1G(z)}{1 + C_1G(z)} = \frac{133 - 249.6z^{-1} + 116.9z^{-2}}{134 - 251.5z^{-1} + 117.9z^{-2}}$$

假设模型不匹配项为 $\Delta(s) = \frac{1 + \frac{s}{2293}}{1 + \frac{s}{2751}} - 1$, 将其离散化得 $\Delta(z) = \frac{0.8408 - 0.8408z^{-1}}{1 + 0.1581z^{-1}}$, 则由

式(10.15)得

$$C_2(z) = \frac{1 + \Delta(z)}{H(z)} = \frac{145.3 - 262.8z^{-1} + 109.2z^{-2} + 8.72z^{-3}}{133 - 228.6z^{-1} + 77.45z^{-2} + 18.48z^{-3}}$$

指令信号由频率为 2Hz、2.5Hz 和 4Hz 三个正弦信号组成。则根据式(10.11), 有 $N_1 = 500, N_2 = 400, N_3 = 250$ 。根据式(10.16), 各个重复控制回路的增益取 $K_1 = K_2 = K_3 = 0.15$, 取仿真时间为 20s, 仿真结果如图 10-8 和图 10-9 所示, 取仿真时间为 120, 仿真结果如图 10-10 所示。

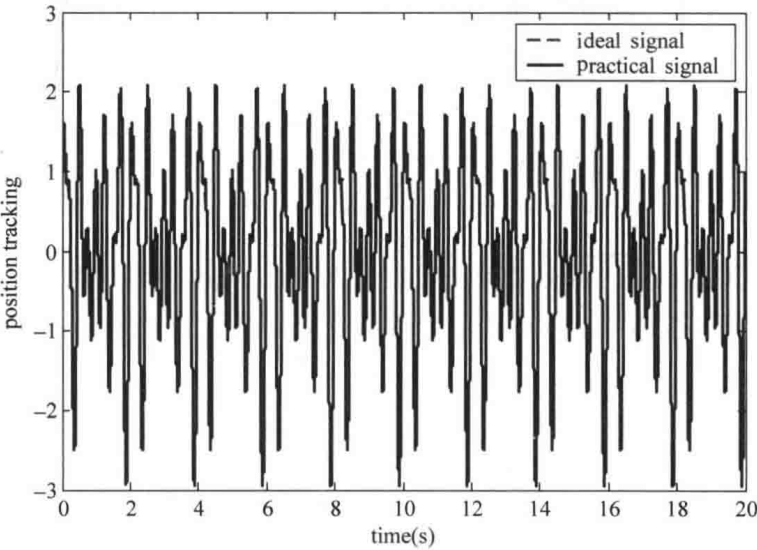


图 10-8 位置跟踪

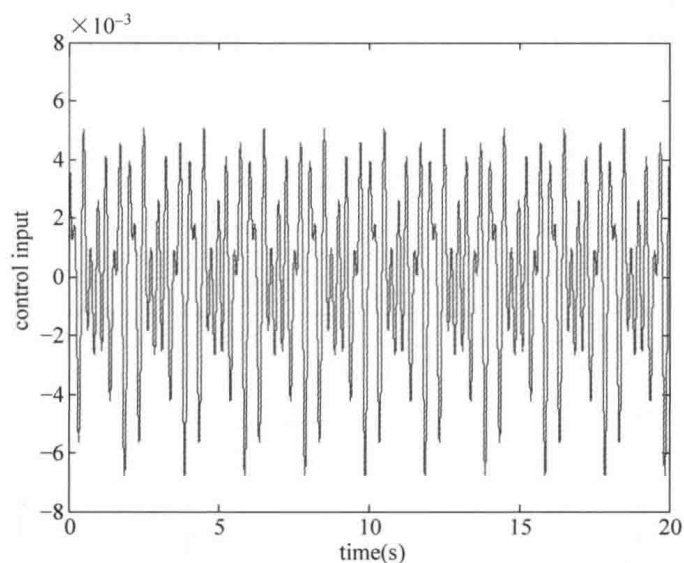


图 10-9 仿真时间为 20 的位置跟踪误差

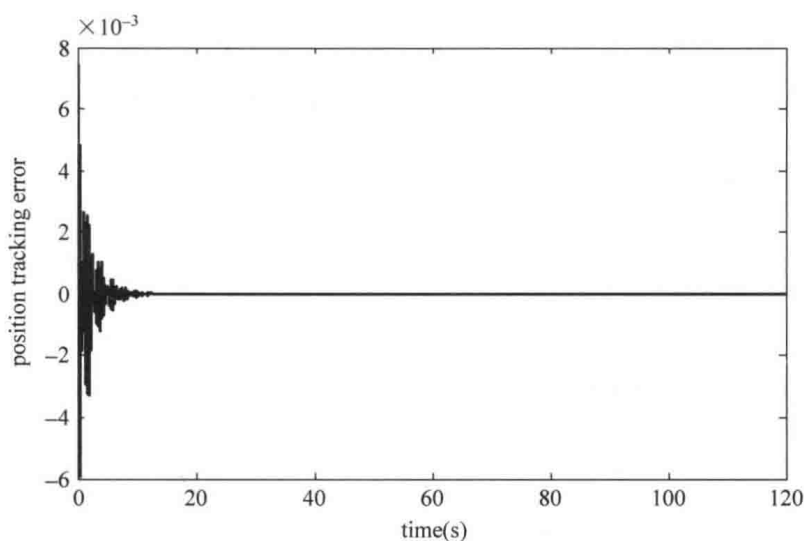


图 10-10 仿真时间为 120 的位置跟踪误差

仿真程序如下：

(1) 初始化程序：chap10_2int.m。

```
% Repetitive Control for Multi-route Input
clear all;close all;
ts=0.001;

G=tf([133],[1,25,0]);

C1=tf([1 100 0],[1]);
sys=C1*G;
dsys=c2d(sys,ts,'z');
[num,den]=tfdata(dsys,'v');
```

```
H = sys/(1 + sys);
Hz = c2d(H, ts, 'z');
zpk(Hz) % Zero point must be inside unit circle

delta_s = tf([1/2293 1],[1/2751,1]);
delta_z = c2d(delta_s, ts, 'tustin') - 1;

C2z = (1 + delta_z)/Hz;
[numc, denc] = tfdata(C2z, 'v');

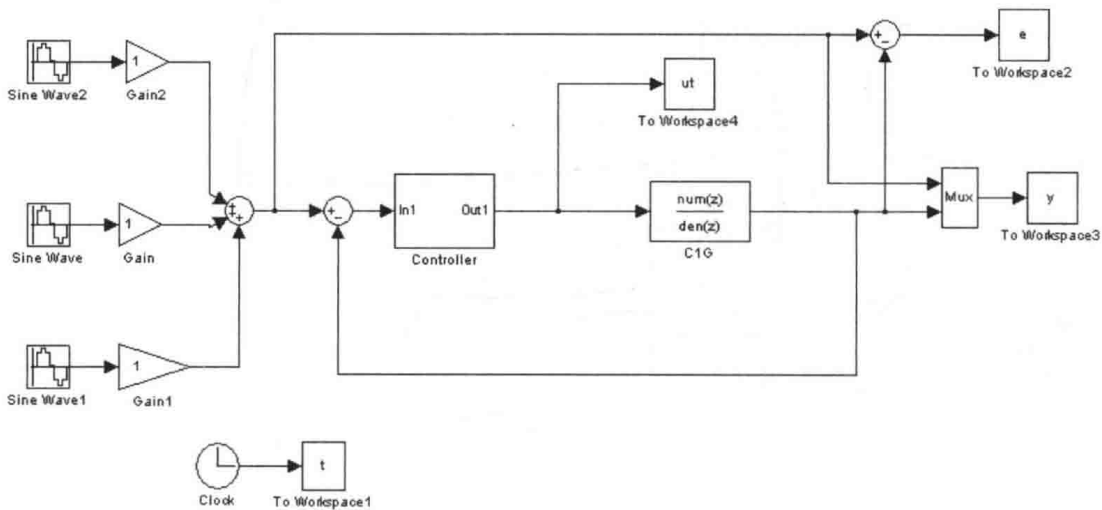
F1 = 2; N1 = 1/F1 * 1/ts;
F2 = 2.5; N2 = 1/F2 * 1/ts;
F3 = 4; N3 = 1/F3 * 1/ts;
% N1 = 1/F1 * 1/ts = 500
% N2 = 1/F2 * 1/ts = 400
% N3 = 1/F3 * 1/ts = 250

k1 = 0.15; k2 = 0.15; k3 = 0.15;

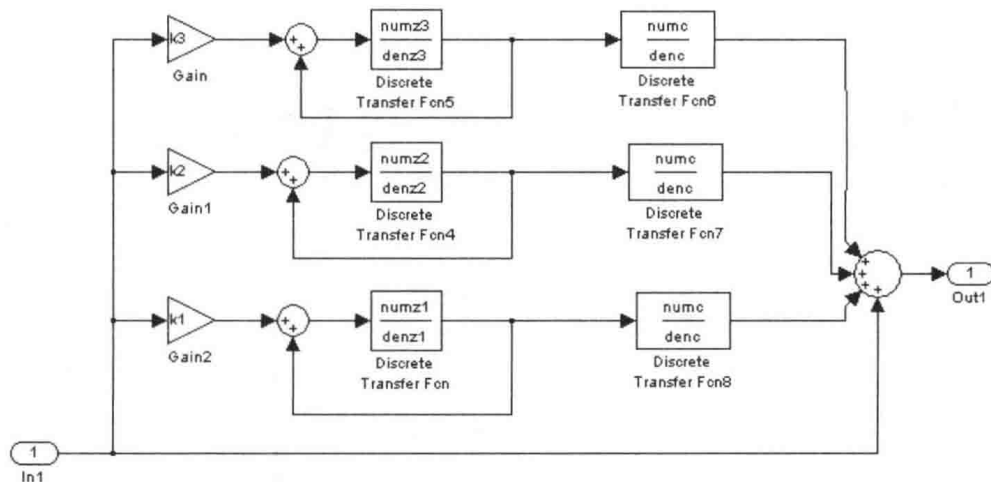
z1 = tf([1],[1 zeros(1, N1)], ts);
z2 = tf([1],[1 zeros(1, N2)], ts);
z3 = tf([1],[1 zeros(1, N3)], ts);

[numz1, denz1] = tfdata(z1, 'v');
[numz2, denz2] = tfdata(z2, 'v');
[numz3, denz3] = tfdata(z3, 'v');
```

(2) Simulink 主程序：chap10_2sim.mdl。



其中,Simulink 主程序中的控制器子模块如下：



(3) 作图程序: chap10_2plot.m。

```
close all;
```

```
figure(1);
```

```
plot(t,y(:,1),'r',t,y(:,2),'b');
```

```
xlabel('time(s)');ylabel('position tracking');
```

```
legend('ideal signal','practical signal');
```

```
figure(2);
```

```
plot(t,ut(:,1),'r');
```

```
xlabel('time(s)');ylabel('control input');
```

```
figure(3);
```

```
plot(t,e(:,1),'r');
```

```
xlabel('time(s)');ylabel('position tracking error');
```

参考文献

- [1] Inoue T, Nakano M, Iwai S. High accuracy control of servomechanism for repeated contouring[C]// Proc. of 10th. Annual Symposium on Incremental Motion Control System and Devices, 1981, 285-292.
- [2] Chang W S, Suh I H, Oh J H. Synthesis and analysis of digital multiple repetitive control systems [C]// American Control Conference. Proceedings of the 1998, 5: 2687-2691.
- [3] 刘金琨, 尔联洁. 飞行模拟转台高精度数字重复控制器的设计[J]. 航空学报, 2004, 25(1): 59-61.

在控制系统中,当系统的执行器发生故障时,传统的反馈控制设计会导致不满意的性能,甚至整个闭环系统失去稳定性,从而控制系统的容错控制研究得到了广泛的重视。研究控制系统的容错控制具有重要意义。

11.1 执行器容错的输入受限控制

在控制系统中,由于其自身的物理特性而引起的执行机构输出幅值是有限的,即输入受限问题,由于控制输入受限的存在,可能导致整个控制系统发散,进而导致整个控制系统失控。即使系统不发散,长时间高强度的振荡也会导致控制系统的结构损坏,从而导致故障。所以,控制输入受限控制是多年来研究的热门课题。本节考虑执行器故障和控制输入受限同时存在下的控制律设计。

11.1.1 系统描述

针对如下系统

$$\begin{cases} \dot{x}_1 = x_2 \\ \dot{x}_2 = u + d \end{cases} \quad (11.1)$$

其中, x_1 和 x_2 为状态,控制输入为 u ,控制输入扰动为 d , $|d| \leq D$ 。

执行器的容错控制律取

$$u = \theta v \quad (11.2)$$

其中, θ 为容错系统, $0 < \theta_L < \theta \leq 1$, v 为有界且可人为设定。

控制目标为: ①设计有界控制律 v , 使得闭环系统内所有信号有界; ② $t \rightarrow \infty$ 时, $x_1 \rightarrow 0$, $x_2 \rightarrow 0$ 。

11.1.2 控制器的设计及分析

取 $p = \frac{1}{\theta}$, $\tilde{p} = \hat{p} - p$, 考虑函数 $\cosh x = \frac{e^{-x} + e^x}{2} \geq 1$, $\ln(\cosh x) \geq 0$, 且 $x = 0$ 时,

$\ln(\cosh x) = 0$ 。为了证明当 $t \rightarrow \infty$ 时, 有 $x_1 \rightarrow 0$ 和 $x_2 \rightarrow 0$, 定义 Lyapunov 函数为

$$V = \alpha \ln(\cosh(kx_1 + lx_2)) + \beta \ln(\cosh(lx_2)) + \frac{1}{2}x_2^2 + \frac{\theta}{2\gamma}\bar{p}^2 \quad (11.3)$$

其中, $\alpha > 0, \beta > 0, k > 0, l > 0, \gamma > 0$, 则

$$\begin{aligned} \dot{V} &= \alpha \frac{\sinh(kx_1 + lx_2)}{\cosh(kx_1 + lx_2)}(kx_2 + l\dot{x}_2) + \beta \frac{\sinh(lx_2)}{\cosh(lx_2)}l\dot{x}_2 + kx_2\dot{x}_2 + \frac{\theta}{\gamma}\bar{p}\dot{\bar{p}} \\ &= \alpha(kx_2 + l\dot{x}_2)\tanh(kx_2 + lx_2) + \beta l\dot{x}_2\tanh(lx_2) + kx_2\dot{x}_2 + \frac{\theta}{\gamma}\bar{p}\dot{\bar{p}} \\ &= (\alpha l\tanh(kx_2 + lx_2) + \beta l\tanh(lx_2) + kx_2)\dot{x}_2 + \alpha kx_2\tanh(kx_2 + lx_2) + \frac{\theta}{\gamma}\bar{p}\dot{\bar{p}} \\ &= (\alpha l\tanh(kx_2 + lx_2) + \beta l\tanh(lx_2) + kx_2)(\theta v + d) + \alpha kx_2\tanh(kx_2 + lx_2) + \frac{\theta}{\gamma}\bar{p}\dot{\bar{p}} \\ &= \theta(\alpha l\tanh(kx_2 + lx_2) + \beta l\tanh(lx_2) + kx_2)\left(v + \frac{d}{\theta}\right) + \alpha kx_2\tanh(kx_2 + lx_2) + \frac{\theta}{\gamma}\bar{p}\dot{\bar{p}} \end{aligned}$$

取控制律为

$$v = \hat{p}(-\alpha \tanh(kx_1 + lx_2) - \beta \tanh(lx_2)) + v_s \quad (11.4)$$

$$v_s = -\frac{D}{\theta_L} \operatorname{sgn}(\alpha l \tanh(kx_2 + lx_2) + \beta l \tanh(lx_2) + kx_2) \quad (11.5)$$

由于

$$\begin{aligned} & -\theta(\alpha l \tanh(kx_2 + lx_2) + \beta l \tanh(lx_2) + kx_2) \frac{D}{\theta_L} \operatorname{sgn}(\alpha l \tanh(kx_2 + lx_2) + \beta l \tanh(lx_2) + kx_2) \\ &= -\theta \frac{D}{\theta_L} |\alpha l \tanh(kx_2 + lx_2) + \beta l \tanh(lx_2) + kx_2| \\ &\leq -\theta(\alpha l \tanh(kx_2 + lx_2) + \beta l \tanh(lx_2) + kx_2) \frac{d}{\theta} \end{aligned}$$

即

$$\theta(\alpha l \tanh(kx_2 + lx_2) + \beta l \tanh(lx_2) + kx_2)\left(v_s + \frac{d}{\theta}\right) \leq 0$$

代入式(11.3), 令 $t_2 = \tanh(kx_1 + lx_2)$, $t_1 = \tanh(lx_2)$, 可得

$$\begin{aligned} \dot{V} &\leq -\theta \hat{p}(\alpha l \tanh(kx_2 + lx_2) + \beta l \tanh(lx_2) + kx_2)(\alpha \tanh(kx_1 + lx_2) + \beta \tanh(lx_2)) + \\ &\quad \alpha kx_2 \tanh(kx_2 + lx_2) + \frac{\theta}{\gamma}\bar{p}\dot{\bar{p}} \\ &= -\theta(p + \bar{p})(\alpha lt_2 + \beta lt_1 + kx_2)(\alpha t_2 + \beta t_1) + \alpha kx_2 t_2 + \frac{\theta}{\gamma}\bar{p}\dot{\bar{p}} \\ &= -(\alpha lt_2 + \beta lt_1 + kx_2)(\alpha t_2 + \beta t_1) - \theta \bar{p}\left((\alpha lt_2 + \beta lt_1 + kx_2)(\alpha t_2 + \beta t_1) - \frac{1}{\gamma}\dot{\bar{p}}\right) + \alpha kx_2 t_2 \end{aligned}$$

取自适应律为

$$\dot{\bar{p}} = \gamma(\alpha lt_2 + \beta lt_1 + kx_2)(\alpha t_2 + \beta t_1)$$

为了实现输入受限, 需要保证 \hat{p} 有界, 考虑到 p 是有界的, 设计投影映射算子, 取

$$\dot{\hat{p}} = \text{Proj}_{\hat{p}} \quad (11.6)$$

其中,

$$\text{Proj}_{\hat{p}} = \begin{cases} 0, & \hat{p} \geq p_{\max} \text{ 且 } \gamma(\alpha l t_2 + \beta l t_1 + k x_2)(\alpha t_2 + \beta t_1) > 0 \\ 0, & \hat{p} \leq p_{\min} \text{ 且 } \gamma(\alpha l t_2 + \beta l t_1 + k x_2)(\alpha t_2 + \beta t_1) < 0 \\ \gamma(\alpha l t_2 + \beta l t_1 + k x_2)(\alpha t_2 + \beta t_1), & \text{其他} \end{cases}$$

由于 $\theta p = 1, x \tanh x = x \frac{e^x - e^{-x}}{e^x + e^{-x}} \geq 0$, 则 $x_2 \tanh(l x_2) \geq 0, k \beta x_2 t_2 \geq 0$, 则

$$\begin{aligned} \dot{V} &= -(\alpha l t_2 + \beta l t_1 + k x_2)(\alpha t_2 + \beta t_1) + \alpha k x_2 t_2 \\ &= -l(\alpha t_2 + \beta t_1)^2 - k x_2(\alpha t_2 + \beta t_1) + \alpha k x_2 t_2 \\ &= -l(\alpha t_2 + \beta t_1)^2 - k x_2 \beta t_1 \leq 0 \end{aligned}$$

当且仅当 $\alpha t_2 + \beta t_1 = 0, x_2 t_1 = 0$ 时, $\dot{V} = 0$ 。

考虑 $\tanh x$ 为单调递增函数, 由于 $x_2 t_1 = x_2 \tanh(l x_2) = 0$, 则 $x_2 = 0$, 从而 $t_1 = 0$, 则 $t_2 = 0$ 。根据 $t_2 = \tanh(k x_1 + l x_2)$, 则 $k x_1 + l x_2 = 0$, 从而 $x_1 = 0$ 。

根据 LaSalle 不变性原理, 闭环系统渐进稳定, 即当 $t \rightarrow \infty$ 时, $x_1 \rightarrow 0, x_2 \rightarrow 0$ 。由式(11.4)和式(11.5), 控制输入幅值取决于 $\hat{p}_{\max}, \alpha, \beta$ 。

由于 $\tanh x = \frac{e^x - e^{-x}}{e^x + e^{-x}} \in [-1, +1]$, 则

$$|v| = |\hat{p}(-\alpha \tanh(k x_1 + l x_2) - \beta \tanh(l x_2))| + \frac{D}{\theta_L} \leq \hat{p}_{\max}(\alpha + \beta) + \frac{D}{\theta_L}$$

因此, 如果针对模型式(11.1)的结构, 按式(11.4)设计控制律, 并按式(11.6)设计自适应律, 便可以实现控制输入的受限。

11.1.3 仿真实例

考虑被控对象为式(11.1), 初始状态为 $[0.5 \ 0]$, 取 $d = 3 \sin t$ 。按式(11.4)设计控制律, 考虑执行器容错范围为 $0.2 < \theta \leq 1$, 则 $1 \leq p < 5$, 取 $\hat{p}_{\min} = 1, \hat{p}_{\max} = 5$, 按式(11.6)设计自适应控制律, 取 $\gamma = 0.10, \alpha = 10, \beta = 10, k = 10, l = 10$, 则

$$|v| \leq \hat{p}_{\max}(\alpha + \beta) + \frac{D}{\theta_L} = 5(10 + 10) + 15 = 115$$

考虑 $u = \theta v, 0 < \theta \leq 1$, 则 $|u| \leq 115$ 。仿真时, 取 $\theta = 0.5$ 。在控制律式(11.5)中, 为了消除抖振, 采用饱和函数方法, 取边界层厚度 Δ 为 0.10。仿真结果如图 11-1~图 11-3 所示。

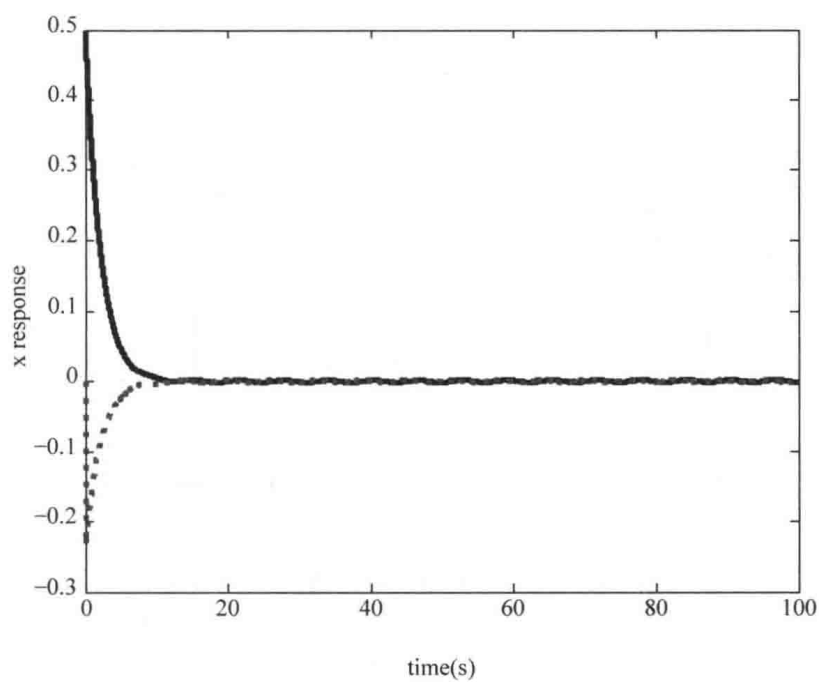


图 11-1 状态响应

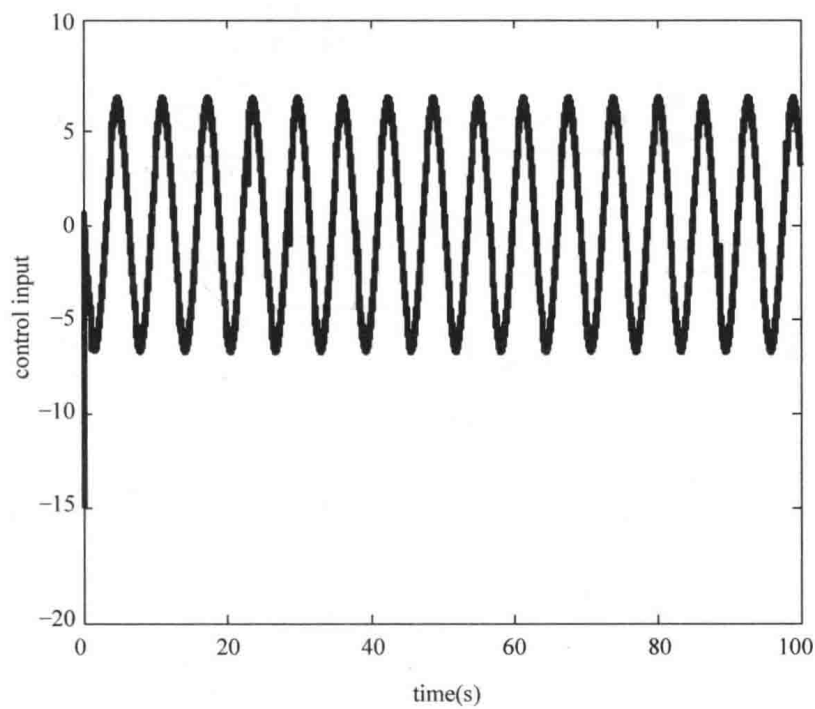


图 11-2 控制输入

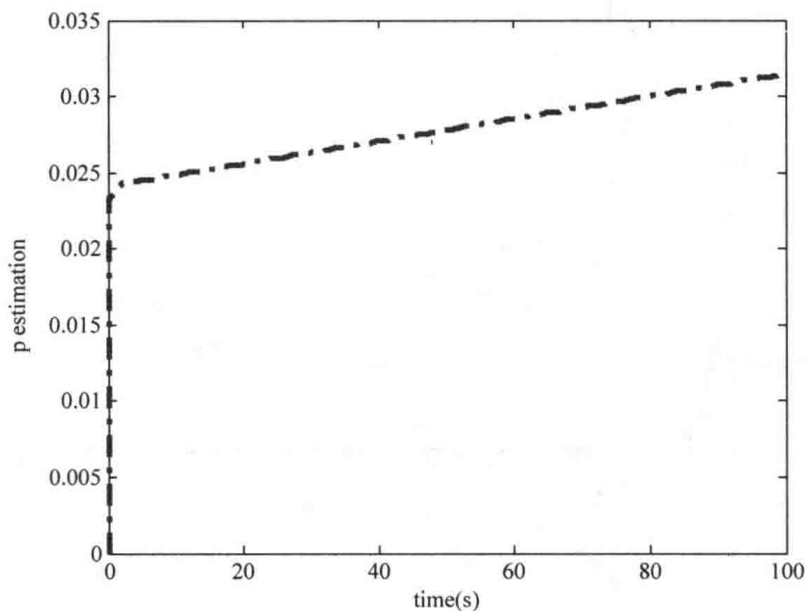
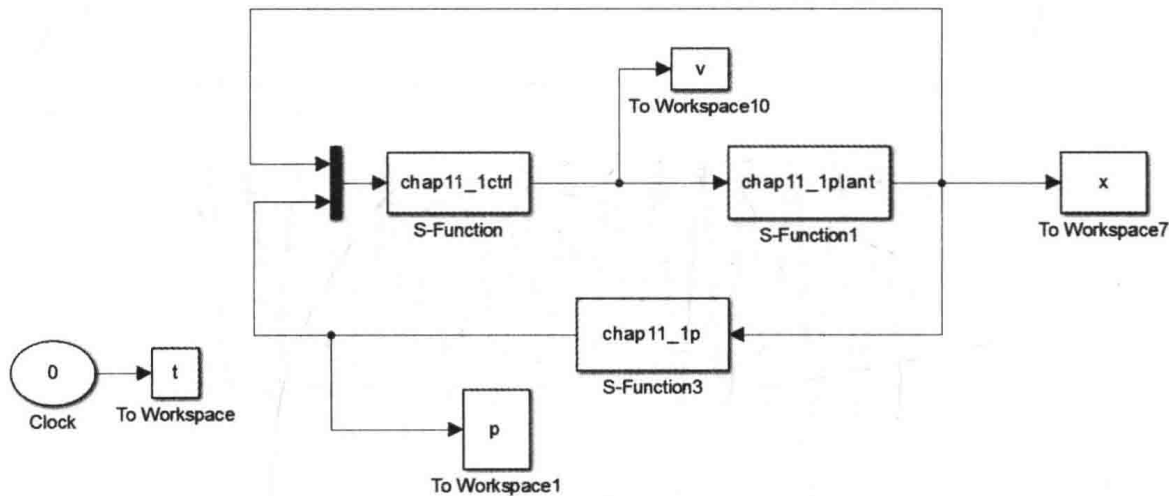


图 11-3 参数 p 及其自适应变化

仿真程序如下：
(1) Simulink 主程序：chap11_1sim.mdl。



(2) 控制器程序：chap11_1ctrl.m。

```
function [sys,x0,str,ts] = spacemodel(t,x,u,flag)
switch flag,
case 0,
    [sys,x0,str,ts] = mdlInitializeSizes;
case 3,
    sys = mdlOutputs(t,x,u);
case {2,4,9}
    sys = [];
otherwise
    error(['Unhandled flag = ',num2str(flag)]);
end
```

```

function [sys,x0,str,ts] = mdlInitializeSizes
sizes = simsizes;
sizes.NumContStates = 0;
sizes.NumDiscStates = 0;
sizes.NumOutputs = 1;
sizes.NumInputs = 3;
sizes.DirFeedthrough = 1;
sizes.NumSampleTimes = 0;
sys = simsizes(sizes);
x0 = [];
str = [];
ts = [];
function sys = mdlOutputs(t,x,u)
x1 = u(1);
x2 = u(2);
p1 = u(3);

alfa = 10; beta = 10; k = 1.0; l = 1.0;
D = 3.0;
thetaL = 0.20;

s = ((1 * (alfa * tanh(k * x1 + l * x2) + beta * tanh(l * x2)) + k * x2));
% vs = - D/thetaL * sign(s);
fai = 0.10;
if abs(s) <= fai
    sat_s = s/fai;
else
    sat_s = sign(s);
end
vs = - D/thetaL * sat_s;
% vs = 0;
vt = p1 * ( - alfa * tanh(k * x1 + l * x2) - beta * tanh(l * x2)) + vs;
sys(1) = vt;

```

(3) 被控对象程序: chap1_11plant.m。

```

function [sys,x0,str,ts] = s_function(t,x,u,flag)
switch flag,
case 0,
    [sys,x0,str,ts] = mdlInitializeSizes;
case 1,
    sys = mdlDerivatives(t,x,u);
case 3,
    sys = mdlOutputs(t,x,u);
case {2, 4, 9}
    sys = [];
otherwise
    error(['Unhandled flag = ', num2str(flag)]);
end
function [sys,x0,str,ts] = mdlInitializeSizes

```

```

sizes = simsizes;
sizes.NumContStates = 2;
sizes.NumDiscStates = 0;
sizes.NumOutputs = 2;
sizes.NumInputs = 1;
sizes.DirFeedthrough = 0;
sizes.NumSampleTimes = 0;
sys = simsizes(sizes);
x0 = [0.5 0];
str = [];
ts = [];
function sys = mdlDerivatives(t,x,u)
vt = u(1);
theta = 0.5;
ut = theta * vt;
d = 3 * sin(t);
sys(1) = x(2);
sys(2) = ut + d;
function sys = mdlOutputs(t,x,u)
sys(1) = x(1);
sys(2) = x(2);

```

(4) 参数估计程序: chap11_lp.m。

```

function [sys,x0,str,ts] = NDO(t,x,u,flag)
switch flag,
case 0,
    [sys,x0,str,ts] = mdlInitializeSizes;
case 1,
    sys = mdlDerivatives(t,x,u);
case 3,
    sys = mdlOutputs(t,x,u);
case {2, 4, 9}
    sys = [];
otherwise
    error(['Unhandled flag = ',num2str(flag)]);
end
function [sys,x0,str,ts] = mdlInitializeSizes
sizes = simsizes;
sizes.NumContStates = 1;
sizes.NumDiscStates = 0;
sizes.NumOutputs = 1;
sizes.NumInputs = 2;
sizes.DirFeedthrough = 1;
sizes.NumSampleTimes = 0;
sys = simsizes(sizes);
x0 = [0];
str = [];
ts = [];

```

```

function sys = mdlDerivatives(t,x,u)
x1 = u(1);
x2 = u(2);
alfa = 10;beta = 10;k = 1.0;l = 1.0;
gama = 0.10;
t2 = tanh(k * x1 + l * x2);
t1 = tanh(l * x2);
dp = gama * (alfa * l * t2 + beta * l * t1 + k * x2) * (alfa * t2 + beta * t1);

p = x(1);
pmin = 1;pmax = 5;
    if p >= pmax & dp > 0
        sys(1) = 0;
    elseif p <= pmin & dp < 0
        sys(1) = 0;
    else
        sys(1) = dp;
    end
function sys = mdlOutputs(t,x,u)
p = x(1);
sys(1) = p;

```

(5) 作图程序: chap11_lplot.m。

```

close all;

figure(1);
plot(t,x(:,1),'k',t,x(:,2),'r','linewidth',2);
xlabel('time(s)');ylabel('x response');

figure(2);
plot(t,v(:,1),'k','linewidth',2);
xlabel('time(s)');ylabel('control input');

figure(3);
plot(t,p(:,1),'- .b','linewidth',2);
xlabel('time(s)');ylabel('p estimation');

```

11.2 传感器和执行器同时容错的反演自适应控制

11.2.1 系统描述

考虑如下系统:

$$\begin{cases} \dot{x}_1 = x_2 \\ \dot{x}_2 = u + d \end{cases} \quad (11.7)$$

传感器和执行器的容错取

$$x_i^F = \rho_i x_i, \quad i = 1, 2 \quad (11.8)$$

$$u = \rho_0 v \quad (11.9)$$

其中, d 为加在输入上的扰动, $|d| \leq D$, ρ_0 和 ρ_i 为未知常数, $0 < \rho_{i0} \leq \rho_i \leq 1$, $0 < \rho_{00} \leq \rho_0 \leq 1$ 。

输出 x_1 指令为 y_d , 传感器实测输出为 x_1^F 和 x_2^F 。控制目标为: ①设计控制律 v , 使得闭环系统内所有信号有界; ② $t \rightarrow \infty$ 时, $x_1^F \rightarrow y_d$, $x_2^F \rightarrow \dot{y}_d$ 。

11.2.2 控制器的设计与分析

采用反演控制算法设计控制律。

(1) 定义 $z_1 = x_1^F - y_d$, $z_2 = x_2^F - \alpha_1 - \dot{y}_d$, 则

$$\dot{z}_1 = \rho_1 x_2 - \dot{y}_d$$

$$z_2 = \rho_2 x_2 - \alpha_1 - \dot{y}_d$$

设计如下 Lyapunov 函数:

$$V_1 = \frac{1}{2} z_1^2$$

则

$$\dot{V}_1 = z_1 \dot{z}_1 = z_1 (\rho_1 x_2 - \dot{y}_d)$$

由于 $x_2 = \frac{1}{\rho_2} (z_2 + \alpha_1 + \dot{y}_d)$, 则

$$\dot{V}_1 = z_1 \left(\frac{\rho_1}{\rho_2} (z_2 + \alpha_1 + \dot{y}_d) - \dot{y}_d \right)$$

由于 $0 < \rho_{20} \leq \rho_2 \leq 1$, 则 $\rho_{20} \leq \frac{\rho_2}{\rho_1}$, 即 $\frac{\rho_1}{\rho_2} \leq \frac{1}{\rho_{20}}$, 则

$$\frac{\rho_1}{\rho_2} z_1 z_2 \leq \frac{1}{2} \left(\frac{\rho_1}{\rho_2} z_1 \right)^2 + \frac{1}{2} z_2^2 \leq \frac{1}{2\rho_{20}^2} z_1^2 + \frac{1}{2} z_2^2$$

定义 $\alpha_1 = -c_1 z_1$, $c_1 > 0$, 则

$$\begin{aligned} \dot{V}_1 &= \frac{\rho_1}{\rho_2} z_1 (z_2 - c_1 z_1 + \dot{y}_d) - \dot{y}_d z_1 \leq \frac{1}{2\rho_{20}^2} z_1^2 + \frac{1}{2} z_2^2 - c_1 \frac{\rho_1}{\rho_2} z_1^2 + \frac{\rho_1}{\rho_2} z_1 \dot{y}_d + \frac{1}{2} (\dot{y}_d^2 + z_1^2) \\ &= \left(\frac{1}{2\rho_{20}^2} - c_1 \frac{\rho_1}{\rho_2} + \frac{1}{2} \right) z_1^2 + \frac{1}{2} z_2^2 + \frac{\rho_1}{2\rho_2} (\dot{y}_d^2 + z_1^2) + \frac{1}{2} \dot{y}_d^2 \\ &\leq \left(\frac{1}{2\rho_{20}^2} - c_1 \rho_{10} + \frac{1}{2} + \frac{\rho_1}{2\rho_2} \right) z_1^2 + \frac{1}{2} z_2^2 + \left(\frac{1}{2} + \frac{\rho_1}{2\rho_2} \right) \dot{y}_d^2 \end{aligned}$$

其中, $\rho_{10} \leq \frac{\rho_1}{\rho_2}$ 。

(2) 由定义可得

$$\dot{z}_2 = \rho_2 \dot{x}_2 - (-c_1 \dot{z}_1) - \ddot{y}_d = \rho_2 (u + d) + c_1 \dot{z}_1 - \ddot{y}_d = \rho_2 (\rho_0 v + d) + c_1 (\rho_1 x_2 - \dot{y}_d) - \ddot{y}_d$$

设计如下 Lyapunov 函数

$$V_2 = V_1 + \frac{1}{2} z_2^2$$

由于 $\rho_{10} \leq \frac{\rho_1}{\rho_2} \leq \frac{1}{\rho_{20}}, x_2 = \frac{1}{\rho_2} x_2^F$, 则

$$\begin{aligned}\dot{V}_2 &= \dot{V}_1 + z_2 \dot{z}_2 \\ &\leq -\left(-\frac{1}{2\rho_{20}^2} + c_1 \rho_{10} - \frac{1}{2} - \frac{1}{2\rho_{20}}\right) z_1^2 + \frac{1}{2} z_2^2 + \left(\frac{1}{2} + \frac{1}{2\rho_{20}}\right) \dot{y}_d^2 + \\ &\quad z_2 \left(\rho_2 \rho_0 v + \rho_2 d + c_1 \left(\rho_1 \frac{1}{\rho_2} x_2^F - \dot{y}_d\right) - \ddot{y}_d\right) \\ &= -\mu_1 z_1^2 + \frac{1}{2} z_2^2 + z_2 (\mu_2 v + \rho_2 d + \phi x_2^F) + z_2 (-c_1 \dot{y}_d) + \left(\frac{1}{2} + \frac{1}{2\rho_{20}}\right) \dot{y}_d^2 + \frac{1}{2} z_2^2 + \frac{1}{2} \ddot{y}_d^2 \\ &\leq -\mu_1 z_1^2 + \frac{3}{2} z_2^2 + z_2 (\mu_2 v + \rho_2 d + \phi x_2^F) + C_1\end{aligned}$$

其中, $\mu_1 = -\frac{1}{2\rho_{20}^2} + c_1 \rho_{10} - \frac{1}{2} - \frac{1}{2\rho_{20}}, \mu_2 = \rho_2 \rho_0, \phi = c_1 \frac{\rho_1}{\rho_2}, C_1 = \frac{1}{2} (-c_1 \dot{y}_d)^2 + \left(\frac{1}{2} + \frac{1}{2\rho_{20}}\right) \dot{y}_d^2 + \frac{1}{2} \ddot{y}_d^2, |\rho_2 d| \leq D$ 。

由于 $\phi = c_1 \frac{\rho_1}{\rho_2}$ 为未知常数, 需要采用自适应方法。

设计 Lyapunov 函数如下

$$V = V_2 + \frac{1}{2\gamma_1} \bar{\phi}^2$$

其中, $\bar{\phi} = \hat{\phi} - \phi, \gamma_1 > 0$ 。

则

$$\dot{V} = \dot{V}_2 + \frac{1}{\gamma_1} \dot{\bar{\phi}} \bar{\phi} \leq -\mu_1 z_1^2 + \frac{3}{2} z_2^2 + z_2 (\mu_2 v + \rho_2 d + \phi x_2^F) + C_1 + \frac{1}{\gamma_1} \dot{\bar{\phi}} \bar{\phi}$$

由于 $\mu_3 = \rho_2 \rho_0$ 未知, 设计控制律为

$$\alpha = k_1 z_2 + \hat{\phi} x_2^F - \ddot{y}_d + \eta \operatorname{sgn} z_2, \quad k_1 > 0, \quad \eta \geq \epsilon_N + D \quad (11.10)$$

$$\bar{v} = -k_2 z_2 - \alpha \quad (11.11)$$

$$v = N(k) \bar{v} \quad (11.12)$$

$$\dot{k} = \gamma_2 z_2 \bar{v}, \quad \gamma_2 > 0 \quad (11.13)$$

$$\dot{V} \leq -\mu_1 z_1^2 + \frac{3}{2} z_2^2 + z_2 (\alpha - (k_1 z_2 + \hat{\phi} x_2^F - \ddot{y}_d + \eta \operatorname{sgn} z_2) + \mu_2 N(k) \bar{v} + \rho_2 d + \phi x_2^F) +$$

$$C_1 + \frac{1}{\gamma_1} \dot{\bar{\phi}} \bar{\phi} - \frac{1}{\gamma_2} \dot{k} + \frac{1}{\gamma_2} \dot{k}$$

$$= -\mu_1 z_1^2 + \frac{3}{2} z_2^2 + z_2 (\alpha - k_1 z_2 - \bar{\phi} x_2^F + \ddot{y}_d - \eta \operatorname{sgn} z_2 + \mu_2 N(k) \bar{v} + \rho_2 d) +$$

$$C_1 + \frac{1}{\gamma_1} \dot{\bar{\phi}} \bar{\phi} - \frac{1}{\gamma_2} \dot{k} + z_2 (-k_2 z_2 - \alpha)$$

设计自适应律为

$$\dot{\hat{\phi}} = \gamma_1 z_2 x_2^F \quad (11.14)$$

由 $\frac{1}{\gamma_2} \dot{k} = z_2 \bar{v}$, 则

$$\begin{aligned} \dot{V} &\leq -\mu_1 z_1^2 + \frac{3}{2} z_2^2 + z_2 (-k_1 z_2 + \ddot{y}_d - \eta \operatorname{sgn} z_2 + \mu_2 N(k) \bar{v} + \rho_2 d) + C_1 - \frac{1}{\gamma_2} \dot{k} + z_2 (-k_2 z_2) \\ &\leq -\mu_1 z_1^2 + \frac{3}{2} z_2^2 - k_1 z_2^2 + z_2 \ddot{y}_d + \mu_2 N(k) \frac{1}{\gamma_2} \dot{k} + C_1 - \frac{1}{\gamma_2} \dot{k} - k_2 z_2^2 \\ &\leq -\mu_1 z_1^2 + \left(\frac{3}{2} - k_1 - k_2\right) z_2^2 + \frac{1}{2} z_2^2 + \frac{1}{2} \ddot{y}_d^2 + \mu_2 N(k) \frac{1}{\gamma_2} \dot{k} + C_1 - \frac{1}{\gamma_2} \dot{k} \\ &= -\mu_1 z_1^2 - (k_1 + k_2 - 2) z_2^2 + C_2 + \mu_2 N(k) \frac{1}{\gamma_2} \dot{k} - \frac{1}{\gamma_2} \dot{k} \\ &\leq -\lambda V + \mu_3 N(k) \frac{1}{\gamma_2} \dot{k} - \frac{1}{\gamma_2} \dot{k} + C_{2\max} \end{aligned}$$

其中, $C_2 = C_1 + \frac{1}{2} \ddot{y}_d^2$, $\lambda = \min\{\mu_1, k_1 + k_2 - 2\}$ 。

由于 $\rho_{10} \leq \frac{\rho_1}{\rho_2} \leq \frac{1}{\rho_{20}}$, 取 $y_d = \sin t$, 则

$$C_{2\max} = \frac{1}{2} c_1^2 + \frac{1}{2} + \frac{1}{2\rho_{20}} + \frac{1}{2} + \frac{1}{2} = \frac{1}{2} c_1^2 + \frac{3}{2} + \frac{1}{2\rho_{20}}$$

根据引理 11.2, 可得

$$V(t) \leq e^{-\lambda t} V(t_0) + \int_{t_0}^t e^{-\lambda(t-\tau)} (\mu_3 N(k) \frac{1}{\gamma_2} \dot{k} - \frac{1}{\gamma_2} \dot{k}) d\tau + \int_0^t C_{2\max} e^{-\lambda(t-\tau)} d\tau$$

即

$$\begin{aligned} V(t) &\leq e^{-\lambda t} V(0) + e^{-\lambda t} \frac{1}{\gamma_2} \int_{t_0}^t (\mu_3 N(k) - 1) \dot{k} e^{\sigma \tau} d\tau + \frac{C_{2\max}}{\lambda} (1 - e^{-\lambda t}) \\ &\leq c_0 + e^{-\lambda t} V(0) + e^{-\lambda t} \frac{1}{\gamma_2} \int_{t_0}^t (\mu_3 N(k) - 1) \dot{k} e^{\sigma \tau} d\tau \end{aligned}$$

其中, $c_0 = \frac{C_{2\max}}{\lambda}$ 。

则根据引理 11.1^[2], $V(t)$ 在 $\forall t \in [0, t_f)$ 上有界, 从而 z_1, z_2 和 \tilde{W} 在 $\forall t \in [0, t_f)$ 上有界。通过取足够大的 λ 和 γ_2 值, 可保证 $t \rightarrow \infty$ 时, z_1, z_2 足够小, 从而 $x_1^F \rightarrow y_d, x_2^F \rightarrow \dot{y}_d$ 。

11.2.3 仿真实例

考虑模型式(11.7), 指令取 $y_d = \sin t$, 取 $d = \sin \pi t, \rho_0 = 0.50, \rho_1 = 0.95, \rho_2 = 0.95$ 。

为满足 $\lambda = \min\{\mu_1, k_1 + k_2 - 2\} > 0, \mu_1 = -\frac{1}{2\rho_{20}^2} + c_1 \rho_{10} - \frac{1}{2} - \frac{1}{2\rho_{20}} > 0$, 取 $k_1 = 4$,

$k_2 = 1, c_1 = 20$ 。

根据定义 11.1, 取 $N(k) = k^2 \cos k$, 采用控制律式(11.10)~式(11.13)和自适应律式(11.14), 取 $\gamma_1 = \gamma_2 = 1.0, \eta = D + 0.10 = 1.1$ 。自适应律式(11.7)中的初值取 1.0。自适应律式(11.14)中的初值取 0.10。

为了防止抖振, 控制器中采用饱和函数 $\operatorname{sat} z_2$ 代替符号函数 $\operatorname{sgn} z_2$, 即

$$\text{sat}z_2 = \begin{cases} 1, & z_2 > \Delta \\ Mz_2, & |z_2| \leq \Delta, \quad M = 1/\Delta \\ -1, & z_2 < -\Delta \end{cases}$$

其中, Δ 为边界层, 取 $\Delta = 0.05$ 。

仿真结果如图 11-4 和图 11-5 所示。

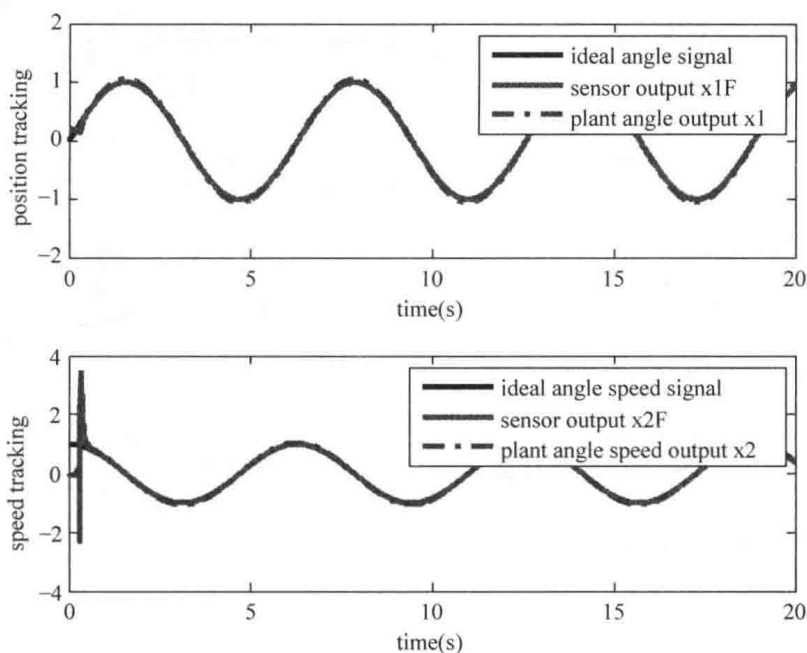


图 11-4 角度、角速度响应

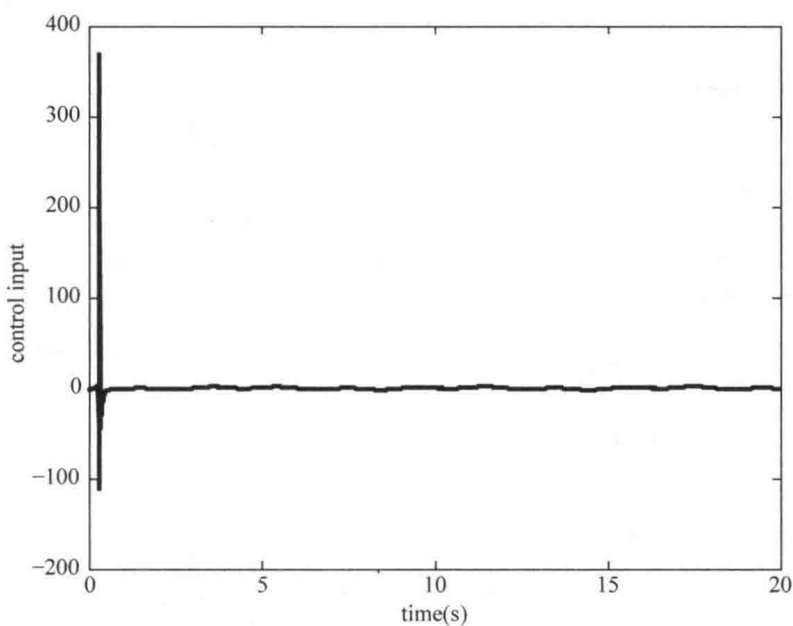
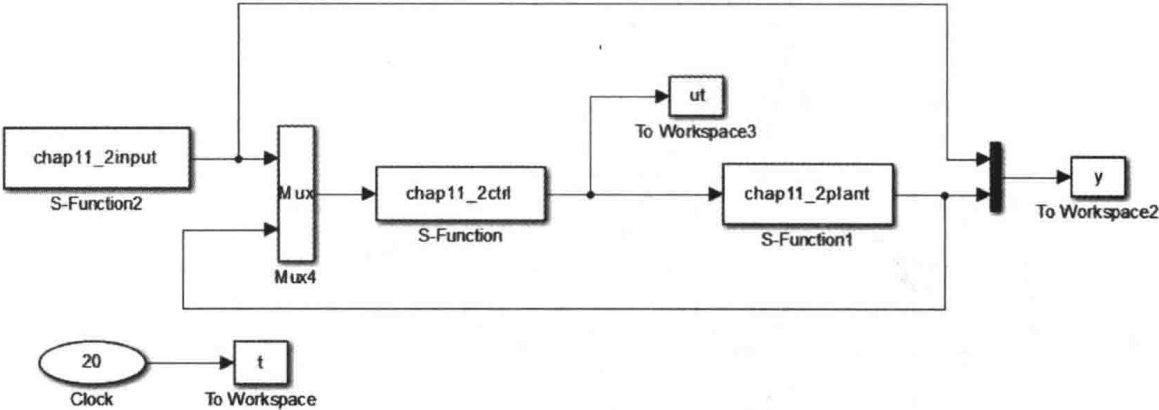


图 11-5 控制输入

仿真程序如下：

(1) Simulink 主程序：chap11_2sim.mdl。



(2) 输入指令 S 函数：chap11_2input.m。

```
function [sys,x0,str,ts] = spacemodel(t,x,u,flag)
switch flag,
case 0,
    [sys,x0,str,ts] = mdlInitializeSizes;
case 3,
    sys = mdlOutputs(t,x,u);
case {2,4,9}
    sys = [];
otherwise
    error(['Unhandled flag = ',num2str(flag)]);
end
```

```
function [sys,x0,str,ts] = mdlInitializeSizes
sizes = simsizes;
sizes.NumContStates = 0;
sizes.NumDiscStates = 0;
sizes.NumOutputs = 1;
sizes.NumInputs = 0;
sizes.DirFeedthrough = 0;
sizes.NumSampleTimes = 1;
sys = simsizes(sizes);
x0 = [];
str = [];
ts = [0 0];
function sys = mdlOutputs(t,x,u)
sys(1) = sin(t);
```

(3) 控制器 S 函数：chap11_2ctrl.m。

```
function [sys,x0,str,ts] = spacemodel(t,x,u,flag)
switch flag,
case 0,
    [sys,x0,str,ts] = mdlInitializeSizes;
case 1,
```

```

        sys = mdlDerivatives(t,x,u);
case 3,
    sys = mdlOutputs(t,x,u);
case {2,4,9}
    sys = [];
otherwise
    error(['Unhandled flag = ',num2str(flag)]);
end
function [sys,x0,str,ts] = mdlInitializeSizes
sizes = simsizes;
sizes.NumContStates = 2;
sizes.NumDiscStates = 0;
sizes.NumOutputs = 1;
sizes.NumInputs = 3;
sizes.DirFeedthrough = 1;
sizes.NumSampleTimes = 1;
sys = simsizes(sizes);
x0 = [0.1 1.0];
str = [];
ts = [0 0];
function sys = mdlDerivatives(t,x,u)
yd = u(1);dyd = cos(t);ddyd = -sin(t);
x1 = u(2);x2 = u(3);

rou1 = 0.95;rou2 = 0.95;
x1F = rou1 * x1;x2F = rou2 * x2;

c1 = 20;
z1 = x1F - yd;
alfal = -c1 * z1;
z2 = x2F - alfa1 - dyd;

faip = x(1);
k1 = 4;k2 = 1;
xite = 0.10;
alfa = k1 * z2 + faip * x2F - ddyd + xite * sign(z2);
vb = -k2 * z2 - alfa;

gama1 = 1.0;
dfai = gama1 * z2 * x2F;

gama2 = 1.0;
dk = gama2 * z2 * vb;
sys(1) = dfai;
sys(2) = dk;
function sys = mdlOutputs(t,x,u)
yd = u(1);dyd = cos(t);ddyd = -sin(t);
x1 = u(2);x2 = u(3);

rou1 = 0.95;rou2 = 0.95;
x1F = rou1 * x1;x2F = rou2 * x2;

```

```

c1 = 20;
z1 = x1F - yd;
alfa1 = - c1 * z1;
z2 = x2F - alfa1 - dyd;

k1 = 4; k2 = 1;
D = 1.0;
xite = D + 0.10;

delta = 0.05;
M = 1/delta;

if abs(z2) > delta
    satz2 = sign(z2);
else
    satz2 = M * z2;
end
faip = x(1);
alfa = k1 * z2 + faip * x2F - ddyd + xite * satz2;

vb = - k2 * z2 - alfa;
k = x(2);
Nk = k^2 * cos(k);
vt = Nk * vb;

rou0 = 0.50;
ut = rou0 * vt;
sys(1) = ut;

```

(4) 被控对象 S 函数: chap11_2plant.m。

```

function [sys,x0,str,ts] = spacemodel(t,x,u,flag)
switch flag,
case 0,
    [sys,x0,str,ts] = mdlInitializeSizes;
case 1,
    sys = mdlDerivatives(t,x,u);
case 3,
    sys = mdlOutputs(t,x,u);
case {2,4,9}
    sys = [];
otherwise
    error(['Unhandled flag = ',num2str(flag)]);
end
function [sys,x0,str,ts] = mdlInitializeSizes
sizes = simsizes;
sizes.NumContStates = 2;
sizes.NumDiscStates = 0;
sizes.NumOutputs = 2;
sizes.NumInputs = 1;

```

```

sizes.DirFeedthrough = 1;
sizes.NumSampleTimes = 1;
sys = simsizes(sizes);
x0 = [0.20;0];
str = [];
ts = [0 0];
function sys = mdlDerivatives(t,x,u)
ut = u(1);
dt = sin(pi * t);

sys(1) = x(2);
sys(2) = ut + dt;
function sys = mdlOutputs(t,x,u)
sys(1) = x(1);
sys(2) = x(2);

```

(5) 作图程序: chap11_2plot.m。

```

close all;

rou1 = 0.95;rou2 = 0.95;
x1F = rou1 * y(:,2);x2F = rou2 * y(:,3);

figure(1);
subplot(211);
plot(t,sin(t),'k',t,x1F(:,1),'r',t,y(:,2),'- .b','linewidth',2);
xlabel('time(s)');ylabel('position tracking');
legend('ideal angle signal','sensor output x1F','plant angle output x1');
subplot(212);
plot(t,cos(t),'k',t,x2F(:,1),'r',t,y(:,3),'- .b','linewidth',2);
xlabel('time(s)');ylabel('speed tracking');
legend('ideal angle speed signal','sensor output x2F','plant angle speed output x2');

figure(2);
plot(t,ut(:,1),'k','linewidth',2);
xlabel('time(s)');ylabel('control input');

```

11.3 传感器和执行器同时容错的 RBF 网络输入受限控制

11.3.1 系统描述

针对如下系统

$$\begin{aligned}\dot{x}_1 &= x_2 \\ \dot{x}_2 &= u + f(x_1, x_2)\end{aligned}\quad (11.15)$$

其中, x_1 和 x_2 为状态, u 为控制输入, $f(x_1, x_2)$ 为未知有界函数。

传感器实测输出为 x_1^F 和 x_2^F , $x_i^F = \eta_i x_i^F$, $1 < \eta_i < 1$, $i = 1, 2$ 。控制目标为: ①设计有界控制律 u , 使得闭环系统内所有信号有界; ② $t \rightarrow \infty$ 时, $x_1 \rightarrow 0$, $x_2 \rightarrow 0$ 。

11.3.2 RBF 神经网络逼近

采用 RBF 网络可实现未知函数 $f(\mathbf{x})$ 的逼近, RBF 网络算法为

$$f = \mathbf{W}^T \mathbf{h}(\mathbf{x}) + \epsilon$$

其中, \mathbf{x} 为网络的输入, $\mathbf{h} = [h_1, h_2, \dots, h_n]^T$ 为高斯函数的输出, \mathbf{W} 为网络的理想权值, ϵ 为网络的逼近误差, $|\epsilon| \leq \epsilon_N$, $\mathbf{W} = [W_1 \ W_2 \ \dots \ W_n]^T$, $W_{\min} \leq |W_j| \leq W_{\max}$, $j = 1, 2, \dots, n$ 。

采用 RBF 逼近未知函数 $f(x_1, x_2)$, 由于 $1 < \eta_i < 1$ 为未知常数, 故网络输入可取 $\mathbf{x} = [x_1^F \ x_2^F]^T$, 则 RBF 网络的输出为

$$\hat{f}(\mathbf{x}) = \hat{\mathbf{W}}^T \mathbf{h}(\mathbf{x}) \quad (11.16)$$

则

$$\tilde{f}(\mathbf{x}) = f(\mathbf{x}) - \hat{f}(\mathbf{x}) = \mathbf{W}^T \mathbf{h}(\mathbf{x}) + \epsilon - \hat{\mathbf{W}}^T \mathbf{h}(\mathbf{x}) = \tilde{\mathbf{W}}^T \mathbf{h}(\mathbf{x}) + \epsilon$$

并定义 $\tilde{\mathbf{W}} = \mathbf{W} - \hat{\mathbf{W}}$ 。

由于未知函数 $f(\mathbf{x})$ 有界, 则 $\hat{f}(\mathbf{x})$ 有界, 可令 $|\hat{f}(\mathbf{x})| \leq \hat{f}_{\max}$ 。

11.3.3 控制器的设计及分析

设计辅助控制律为

$$v = -\alpha \tanh(kx_1^F + lx_2^F) - \beta \tanh(lx_2^F) \quad (11.17)$$

其中, $x_i^F = \eta_i x_i$, $i = 1, 2$, $1 < \eta_i < 1$, $\alpha, \beta, k, l > 0$ 。

取控制律为

$$u = v - \hat{f}(\mathbf{x}) \quad (11.18)$$

其中, $\hat{f}(\mathbf{x})$ 为 RBF 网络对函数 $f(\mathbf{x})$ 的逼近项。

则模型变为

$$\begin{aligned} \dot{x}_1 &= x_2 \\ \dot{x}_2 &= -\alpha \tanh(kx_1^F + lx_2^F) - \beta \tanh(lx_2^F) + \tilde{f}(\mathbf{x}) \end{aligned}$$

其中, $\tilde{f}(\mathbf{x}) = f(\mathbf{x}) - \hat{f}(\mathbf{x})$ 。

定义 Lyapunov 函数为

$$V = \alpha \ln(\cosh(kx_1^F + lx_2^F)) + \beta \ln(\cosh(lx_2^F)) + \frac{\eta}{2\gamma} \tilde{\mathbf{W}}^T \tilde{\mathbf{W}} \quad (11.19)$$

其中, $\gamma > 0$ 。

则

$$\begin{aligned} \dot{V} &= \alpha \frac{\sinh(kx_1^F + lx_2^F)}{\cosh(kx_1^F + lx_2^F)} (k\eta x_2 + l\eta \dot{x}_2) + \beta \frac{\sinh(lx_2^F)}{\cosh(lx_2^F)} l\eta \dot{x}_2 - \frac{\eta}{\gamma} \tilde{\mathbf{W}}^T \dot{\tilde{\mathbf{W}}} \\ &= \alpha \eta (kx_2 + l\dot{x}_2) \tanh(kx_1^F + lx_2^F) + \beta l \eta \dot{x}_2 \tanh(lx_2^F) - \frac{\eta}{\gamma} \tilde{\mathbf{W}}^T \dot{\tilde{\mathbf{W}}} \end{aligned}$$

令 $t_1 = \tanh(kx_1^F + lx_2^F)$, $t_2 = \tanh(lx_2^F)$, 则 $\dot{x}_2 = -\alpha t_1 - \beta t_2 + \tilde{f}(x)$, 则上式可写为

$$\begin{aligned}\dot{V} &= \alpha\eta(kx_2 + l(-\alpha t_1 - \beta t_2 + \tilde{f}(x)))t_1 + \beta l\eta(-\alpha t_1 - \beta t_2 + \tilde{f}(x))t_2 - \frac{\eta}{\gamma}\tilde{\mathbf{W}}^T\dot{\hat{\mathbf{W}}} \\ &= \alpha\eta kx_2t_1 - \eta l(\alpha^2t_1^2 + 2\alpha\beta t_2t_1 + \beta^2t_2^2) + \eta(\tilde{\mathbf{W}}^T\mathbf{h}(x) + \epsilon)(\alpha t_1 + \beta t_2) - \frac{\eta}{\gamma}\tilde{\mathbf{W}}^T\dot{\hat{\mathbf{W}}} \\ &= \alpha\eta kx_2t_1 - \eta l(\alpha t_1 + \beta t_2)^2 + \eta\tilde{\mathbf{W}}^T\mathbf{h}(x)(\alpha t_1 + \beta t_2) + \eta\epsilon(\alpha t_1 + \beta t_2) - \frac{\eta}{\gamma}\tilde{\mathbf{W}}^T\dot{\hat{\mathbf{W}}} \\ &= \alpha\eta kx_2t_1 - \eta l(\alpha t_1 + \beta t_2)^2 + \eta\tilde{\mathbf{W}}^T(\mathbf{h}(x)(\alpha t_1 + \beta t_2) - \frac{1}{\gamma}\dot{\hat{\mathbf{W}}}) + \eta\epsilon(\alpha t_1 + \beta t_2)\end{aligned}$$

采用一般的设计自适应律, 可设计为 $\dot{\hat{\mathbf{W}}} = \gamma\mathbf{h}(x)l(\alpha t_1 + \beta t_2)$, $\gamma > 0$ 。由于 $f(x)$ 有界, 为了实现该函数的有界逼近, 采用神经网络有界映射自适应律。首先设计投影映射算子, 考虑 $\tilde{\mathbf{W}} = \mathbf{W} - \hat{\mathbf{W}}$, 定义 $\boldsymbol{\xi} = \mathbf{h}(x)(\alpha t_1 + \beta t_2)$, 为了保证 $\tilde{\mathbf{W}}^T(\boldsymbol{\xi} - \frac{1}{\gamma}\dot{\hat{\mathbf{W}}}) \leq 0$, 且 $W_{\min} \leq |\hat{\mathbf{W}}_j| \leq W_{\max}$, 取

$$\dot{\hat{\mathbf{W}}}_j = \gamma \text{Proj}_{\hat{\mathbf{W}}_j}(\boldsymbol{\xi}_j)$$

其中,

$$\text{Proj}_{\hat{\mathbf{W}}_j}(\boldsymbol{\xi}_j) = \begin{cases} 0, & \hat{\mathbf{W}}_j \geq W_{\max} \text{ 且 } \boldsymbol{\xi}_j > 0 \\ 0, & \hat{\mathbf{W}}_j \leq W_{\min} \text{ 且 } \boldsymbol{\xi}_j < 0 \\ \boldsymbol{\xi}_j, & \text{其他} \end{cases} \quad (11.20)$$

取 $\text{Proj}_{\hat{\mathbf{W}}}(\boldsymbol{\xi}) = \{\text{Proj}_{\hat{\mathbf{W}}_j}(\boldsymbol{\xi}_j)\}$, 则有界映射自适应律为

$$\dot{\hat{\mathbf{W}}} = \gamma \text{proj}_{\hat{\mathbf{W}}}(\boldsymbol{\xi}) \quad (11.21)$$

采用自适应律式(11.20), 可保证

$$\tilde{\mathbf{W}}^T\left(\boldsymbol{\xi} - \frac{1}{\gamma}\text{Proj}_{\hat{\mathbf{W}}}(\boldsymbol{\xi})\right) \leq 0$$

则

$$\dot{V} \leq -l(\alpha t_1 + \beta t_2)^2 - k\beta x_2 t_2 + \epsilon(\alpha t_1 + \beta t_2)$$

由于 $x \tanh x = x \frac{e^x - e^{-x}}{e^x + e^{-x}} \geq 0$, 则 $x_2 \tanh(lx_2) \geq 0$, 则 $k\beta x_2 t_2 \geq 0$, 从而

$$\begin{aligned}\dot{V} &\leq -l(\alpha t_1 + \beta t_2)^2 + \epsilon l(\alpha t_1 + \beta t_2) \\ &= -l(\alpha t_1 + \beta t_2)^2 + \epsilon l(\alpha t_1 + \beta t_2) - \frac{1}{4}l\epsilon^2 + \frac{1}{4}l\epsilon^2 \\ &\leq -l\left((\alpha t_1 + \beta t_2) - \frac{1}{2}\epsilon\right)^2 + \frac{1}{4}l\epsilon_N^2\end{aligned}$$

由于 $\tanh x$ 为单调递增函数, 考虑 $t_1 = \tanh(kx_1 + lx_2)$, $t_2 = \tanh(lx_2)$, $\alpha, \beta > 0$, 故 $(\alpha t_1 + \beta t_2)$ 也为单调递增函数, 因此对于任意的 $\delta > 0$, 存在一个有限时间 t_δ , 当 $|\alpha t_1 + \beta t_2| \geq \delta$, 使

得 $\dot{V} \leq 0$ 成立。因此 x_1 和 x_2 在有限时间内收敛到半径为 δ 的紧集内,并且保持在该紧集内,系统的收敛速度取决于 α, β, k, l 。

由于 $\tanh x = \frac{e^x - e^{-x}}{e^x + e^{-x}} \in [-1 \quad +1]$, 则可得控制输入幅值为

$$|u| = |-\alpha \tanh(kx_1 + lx_2) - \beta \tanh(lx_2) - \hat{f}(x)| \leq \alpha + \beta + \hat{f}_{\max}$$

因此,如果针对模型式(11.15)的结构,按式(11.18)设计控制律,并按式(11.21)设计自适应律,便可以实现控制输入的受限。

11.3.4 仿真实例

考虑被控对象为式(11.15),初始状态为[0.5,0]。

RBF 网络采用 5 个隐含层节点,即 $n=5$, 则 $\hat{f}_{\max}(x) = \hat{W}^T h(x) \leq \| \hat{W} \| \| h(x) \| \leq 5W$ 。根据网络输入 x_2 的实际范围设计高斯基函数的参数,参数 c_i 和 b_i 取值分别为 $[-1 \quad -0.5 \quad 0 \quad 0.5 \quad 1]$ 和 3.0。网络权值中各个元素的初始值取 0.10。

按式(11.21)设计自适应律,取 $W_{\min} = -1.0, W_{\max} = 1.0, \gamma = 0.10$, 按式(11.18)设计控制律,取 $\alpha = 10, \beta = 10, k = 10, l = 10$, 则

$$\begin{aligned} |u| &= |-\alpha \tanh(kx_1 + lx_2) - \beta \tanh(lx_2) - \hat{f}(x)| \\ &\leq \alpha + \beta + \hat{f}_{\max} = 10 + 10 + 5 = 25 \end{aligned}$$

仿真结果如图 11-6~图 11-8 所示。

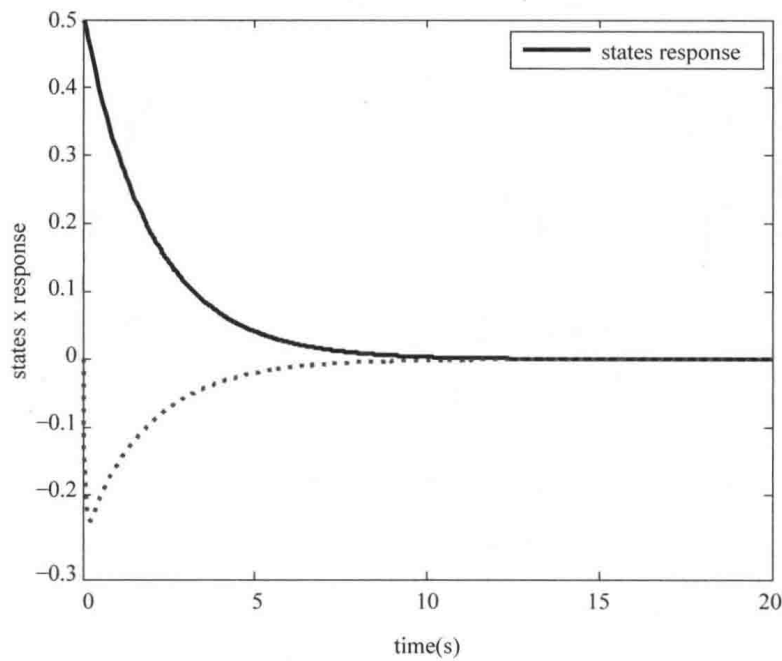


图 11-6 状态响应

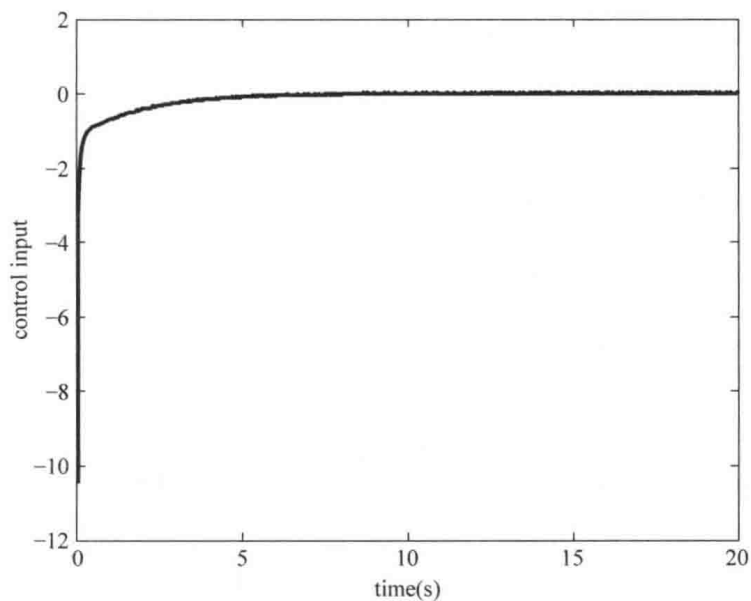


图 11-7 控制输入

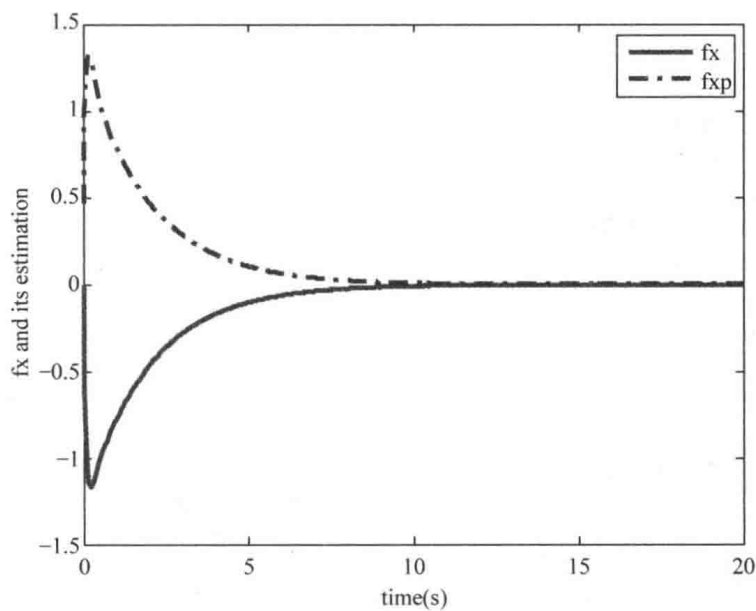
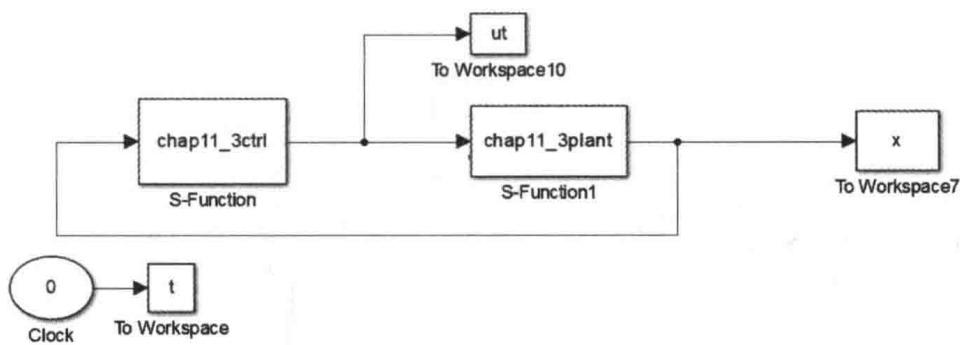


图 11-8 $f(x)$ 及其逼近效果

仿真程序如下：

(1) Simulink 主程序：chap11_3sim.mdl。



(2) 控制器程序：chap11_3ctrl.m。

```
function [sys,x0,str,ts] = spacemodel(t,x,u,flag)
switch flag,
case 0,
    [sys,x0,str,ts] = mdlInitializeSizes;
case 1,
    sys = mdlDerivatives(t,x,u);
case 3,
    sys = mdlOutputs(t,x,u);
case {2,4,9}
    sys = [];
otherwise
    error(['Unhandled flag = ',num2str(flag)]);
end
function [sys,x0,str,ts] = mdlInitializeSizes
global bj cij
cij = 0.5 * [-2 -1 0 1 2;
            -2 -1 0 1 2];
bj = 3.0;

sizes = simsizes;
sizes.NumContStates = 5;
sizes.NumDiscStates = 0;
sizes.NumOutputs = 2;
sizes.NumInputs = 3;
sizes.DirFeedthrough = 1;
sizes.NumSampleTimes = 0;
sys = simsizes(sizes);
x0 = [0.1 0.1 0.1 0.1 0.1];
str = [];
ts = [];
function sys = mdlDerivatives(t,x,u)
global bj cij

x1 = u(1);x2 = u(2);
xite = 0.80;
x1F = xite * x1;
x2F = xite * x2;

xi = [x1F;x2F];

h = zeros(5,1);
for j = 1:1:5
    h(j) = exp(-norm(xi - cij(:,j))^2/(2 * bj^2));
end

alfa = 10;beta = 10;k = 10;l = 10;
t1 = tanh(k * x1F + l * x2F);
t2 = tanh(l * x2F);
```

```

gama = 0.10;

W = [x(1) x(2) x(3) x(4) x(5)];
Wmin = -1; Wmax = 1;

for j = 1:1:5
    M = 2;
    if M == 1
        dw(j) = gama * h(j) * l * (alfa * t1 + beta * t2);
        sys(j) = dw(j);
    end

    if M == 2
        Kesi(j) = h(j) * l * (alfa * t1 + beta * t2);
        dw(j) = gama * Kesi(j);
        if W(j) >= Wmax & Kesi(j) > 0
            sys(j) = 0;
        elseif W(j) <= Wmin & Kesi(j) < 0
            sys(j) = 0;
        else
            sys(j) = dw(j);
        end
    end

end

function sys = mdlOutputs(t, x, u)
global bj cij

x1 = u(1); x2 = u(2);
xite = 0.80;
x1F = xite * x1;
x2F = xite * x2;

xi = [x1F; x2F];

W = [x(1) x(2) x(3) x(4) x(5)];
xi = [x1; x2];

h = zeros(5, 1);
for j = 1:1:5
    h(j) = exp(-norm(xi - cij(:, j))^2 / (2 * bj^2));
end
fp = W * h;

alfa = 10; beta = 10;
k = 10; l = 10;

t1 = tanh(k * x1F + l * x2F);
t2 = tanh(l * x2F);

ut = - alfa * t1 - beta * t2 - fp;

```

```
sys(1) = ut;    % Umax = alfa + beta + fp_max + ddx_d_max) = 10 + 10 + 4 + 1 = 25
sys(2) = fp;
```

(3) 被控对象程序：chap11_3plant.m。

```
function [sys,x0,str,ts] = s_function(t,x,u,flag)
switch flag,
case 0,
    [sys,x0,str,ts] = mdlInitializeSizes;
case 1,
    sys = mdlDerivatives(t,x,u);
case 3,
    sys = mdlOutputs(t,x,u);
case {2, 4, 9}
    sys = [];
otherwise
    error(['Unhandled flag = ',num2str(flag)]);
end
function [sys,x0,str,ts] = mdlInitializeSizes
sizes = simsizes;
sizes.NumContStates = 2;
sizes.NumDiscStates = 0;
sizes.NumOutputs = 3;
sizes.NumInputs = 2;
sizes.DirFeedthrough = 0;
sizes.NumSampleTimes = 0;
sys = simsizes(sizes);
x0 = [0.5 0];
str = [];
ts = [];
function sys = mdlDerivatives(t,x,u)
ut = u(1);
fx = 5 * tanh(x(2));
sys(1) = x(2);
sys(2) = ut - fx;
function sys = mdlOutputs(t,x,u)
fx = 5 * tanh(x(2));

sys(1) = x(1);
sys(2) = x(2);
sys(3) = fx;
```

(4) 作图程序：chap11_3plot.m。

```
close all;

figure(1);
plot(t,x(:,1),'k',t,x(:,2),'r','linewidth',2);
legend('states response');
xlabel('time(s)');ylabel('states x response');

figure(2);
```

```

plot(t, ut(:,1), 'k', 'linewidth', 2);
xlabel('time(s)'); ylabel('control input');

figure(3);
plot(t, x(:,3), 'r', t, ut(:,2), '-.b', 'linewidth', 2);
xlabel('time(s)'); ylabel('fx and its estimation');
legend('fx', 'fxp');

```

附录

定义 11.1^[1] 如果函数 $N(\chi)$ 满足下面条件, 则 $N(\chi)$ 为 Nussbaum 函数。Nussbaum 函数满足如下双边特性

$$\limsup_{k \rightarrow \pm\infty} \frac{1}{k} \int_0^k N(s) ds = \infty$$

$$\liminf_{k \rightarrow \pm\infty} \frac{1}{k} \int_0^k N(s) ds = -\infty$$

根据 Nussbaum 函数定义^[1], 定义 Nussbaum 函数为

$$N(k) = k^2 \cos(k)$$

其中, k 为实数。

引理 11.1^[2] 如果 $V(t)$ 和 $k(\cdot)$ 在 $\forall t \in [0, t_f)$ 上为光滑函数, $V(t) \geq 0$, $N(\cdot)$ 为光滑的 N 函数, θ_0 为非零常数, 如果满足

$$V(t) \leq c_0 + e^{-c_1 t} \int_0^t (\theta_0(\tau) N(k(\tau)) - 1) \dot{k}(\tau) e^{c_1 \tau} d\tau, \quad \forall t \in [0, t_f)$$

其中, $c_1 > 0$, c_0 为常数, $\theta_0(t)$ 为未知时变参数。

则 $V(t)$ 、 $k(t)$ 和 $\int_0^t (\theta_0(\tau) N(k(\tau)) - 1) \dot{k}(\tau) d\tau$ 在 $\forall t \in [0, t_f)$ 上有界。

引理 11.2^[3] 不等式方程 $\dot{V} \leq -\alpha V + f, \forall t \geq t_0 \geq 0$ 的解为

$$V(t) \leq e^{-\alpha(t-t_0)} V(t_0) + \int_{t_0}^t e^{-\alpha(t-\tau)} f(\tau) d\tau$$

其中, α 为任意常数。

参考文献

- [1] Nussbaum R D. Some remark on the conjecture in parameter adaptive control[J]. Systems and Control Letters, 1983, 3(4): 243-246.
- [2] Chen C, Wen C, Liu Z, et al. Adaptive asymptotic control of multivariable systems based on a one-parameter estimation approach[J]. Automatica, 2017, 83: 124-132.
- [3] Ioannou P A, Sun J. Robust adaptive control[M]. PTR Prentice-Hall, 1996: 75-76.

随着通信技术和传感器技术的发展,20 世纪 90 年代出现了事件驱动控制的概念。事件驱动控制的基本思想是基于测量信号的通信数据只有当事件驱动策略的设计条件得到满足时才会被发送。在事件驱动中,当某个事件(通常是一组策略、函数、算法或条件)超过给定阈值时,就执行采样或更新控制输入。通过采用事件驱动策略,可以大大节省信号的通信量。事件驱动控制理论目前是网络控制理论研究的热点。

12.1 基于固定阈值的事件驱动反演控制

12.1.1 基本原理

被控对象为

$$\begin{cases} \dot{x}_1 = x_1 \\ \dot{x}_2 = f(x, t) + g(x, t)u \end{cases} \quad (12.1)$$

其中, $g(x, t) \neq 0$ 。

定义 x_1 为角度, x_2 为角速度, 定义角度误差 $z_1 = x_1 - z_d$, 其中, z_d 为指令信号, 则

$$\dot{z}_1 = \dot{x}_1 - \dot{z}_d = x_2 - \dot{z}_d$$

控制目标是 $t \rightarrow \infty$ 时, $x_1 \rightarrow z_d, x_2 \rightarrow \dot{z}_d$ 。

12.1.2 控制器的设计与分析

采用反演控制方法设计控制律, 设计步骤为:

(1) 定义 Lyapunov 函数

$$V_1 = \frac{1}{2} z_1^2$$

则

$$\dot{V}_1 = z_1 \dot{z}_1 = z_1 (x_2 - \dot{z}_d)$$

取 $x_2 = -c_1 z_1 + \dot{z}_d + z_2$, 其中, $c_1 > 0$, z_2 为虚拟控制量, 即 $z_2 = x_2 + c_1 z_1 - \dot{z}_d$, 则

$$\dot{V}_1 = -c_1 z_1^2 + z_1 z_2$$

如果 $z_2=0$, 则 $\dot{V}_1 \leq 0$, 为此, 需要进行下一步设计。

(2) 定义 Lyapunov 函数

$$V_2 = V_1 + \frac{1}{2} z_2^2$$

由于 $\dot{z}_2 = f(x, t) + g(x, t)u + c_1 \dot{z}_1 - \ddot{z}_d$, 则

$$\dot{V}_2 = \dot{V}_1 + z_2 \dot{z}_2 = -c_1 z_1^2 + z_1 z_2 + z_2 (f(x, t) + g(x, t)u + c_1 \dot{z}_1 - \ddot{z}_d)$$

为使 $\dot{V}_2 \leq 0$, 设计

$$\omega = \frac{1}{g(x, t)} (-f(x, t) - c_1 \dot{z}_1 + \ddot{z}_d - c_2 z_2 - z_1) - \bar{m} \tanh\left(\frac{g(x, t) z_2 \bar{m}}{\epsilon}\right) \quad (12.2)$$

其中, c_2, \bar{m}, ϵ 为正常数, 且可设定。

事件驱动策略为:

$$u = \omega(t_k), \quad \forall t \in [t_k, t_{k+1}) \quad (12.3)$$

$$t_{k+1} = \inf\{t \in R, |e(t)| \geq m\}, \quad t_1 = 0 \quad (12.4)$$

其中, $0 < m < \bar{m}, e(t) = \omega(t) - u(t)$ 。

针对事件驱动策略式(12.3)和式(12.4), 可分析如下: 当 $t \in [t_k, t_{k+1})$ 时, $u = \omega(t_k)$, 其中, $t = t_{k+1}$ 的值由 $|e(t)| \geq m$ 确定; 当 $|e(t)| < m$ 时, 不传输控制输入信号, 控制器的值保持不变。

综上所述, 存在一个连续时变系数 $\lambda(t)$, 满足 $\lambda(t_k) = 0, \lambda(t_{k+1}) = \pm 1$, 且 $|\lambda(t)| \leq 1$ 使 $\omega(t) = u(t) + \lambda(t)m$, 即

$$u(t) = \omega(t) - \lambda(t)m \quad (12.5)$$

式(12.5)包括以下3种情况:

(1) 当 $\lambda(t) = 0$ 时, $e(t) = \omega(t) - u(t) = 0$, 此时 $t = t_k, u = \omega(t_k)$ 。

(2) 当 $|\lambda(t)| < 1$ 时, $|e(t)| = |\omega(t) - u(t)| < m$, 此时 $t \in [t_k, t_{k+1})$ 。

(3) 当 $|\lambda(t)| = 1$ 时, $|e(t)| = m$, 确定当前时刻为 $t = t_{k+1}$, 此时 $u = \omega(t_{k+1})$ 。

对于 $t \in [t_{k+1}, t_{k+2}]$ 的分析同上。因此, 对于任意时刻, 都满足 $\omega(t) = u(t) + \lambda(t)m$, 其中, $\lambda(t)$ 满足 $\lambda(t_k) = 0, \lambda(t_{k+1}) = \pm 1$, 且 $|\lambda(t)| \leq 1$ 。

则

$$\begin{aligned} \dot{V}_2 &= -c_1 z_1^2 + z_1 z_2 + z_2 [f(x, t) + g(x, t)(\omega(t) - \lambda(t)m) + c_1 \dot{z}_1 - \ddot{z}_d] \\ &= -c_1 z_1^2 - c_2 z_2^2 - z_2 g(x, t) \bar{m} \tanh\left(\frac{g(x, t) z_2 \bar{m}}{\epsilon}\right) - z_2 g(x, t) \lambda(t) m \\ &\leq -c_1 z_1^2 - c_2 z_2^2 - z_2 g(x, t) \bar{m} \tanh\left(\frac{g(x, t) z_2 \bar{m}}{\epsilon}\right) + |z_2 g(x, t)| \bar{m} \end{aligned}$$

由于^[1]

$$0 \leq |z_2 g(x, t)| \bar{m} - z_2 g(x, t) \bar{m} \tanh\left(\frac{g(x, t) z_2 \bar{m}}{\epsilon}\right) \leq 0.2785\epsilon$$

则

$$\dot{V}_2 \leq -c_1 z_1^2 - c_2 z_2^2 + 0.2785\epsilon$$

即

$$\dot{V}_2 \leq -\eta V_2 + d$$

其中, $\eta = 2\max(c_1, c_2)$, $d = 0.2785\epsilon$ 。

从而得到指数收敛的形式

$$V_2(t) \leq V_2(0)e^{-\eta t} + \frac{d}{\eta}$$

由于 $V_2 = \frac{1}{2}z_1^2 + \frac{1}{2}z_2^2$, 则 z_1, z_2 有界且收敛到 $2\sqrt{\frac{d}{\eta}}$, 如果 $2\sqrt{\frac{d}{\eta}}$ 足够小, 当 $t \rightarrow \infty$ 时, $x_1 \rightarrow z_d, x_2 \rightarrow \dot{z}_d$ 。

12.1.3 时间驱动有限次触发分析

由于事件驱动不能无限次触发, 因此需要进行有限次触发进行分析证明。通过以下两点进行分析:

(1) 由于对 $\forall t \in [t_k, t_{k+1})$, $u = \omega(t_k)$, 则 $e(t) = \omega(t) - u(t) = \omega(t) - \omega(t_k)$, $\omega(t_k)$ 为常数, 则 $\dot{e}(t) = \dot{\omega}(t)$ 。因此 $\frac{d}{dt}|e| = \text{sign}(e)\dot{e} = \text{sign}(e)\dot{\omega} \leq |\dot{\omega}|$ 在 $\forall t \in [t_k, t_{k+1})$ 上恒成立。

由于 $g(x, t)$ 和 $f(x, t)$ 和其一阶导数连续且 \ddot{z}_d 连续, 因此 $\dot{\omega}$ 连续。又因为 $\dot{\omega}$ 是 z_1 和 z_2 的函数, 且 z_1 和 z_2 有界, 因此一定存在一个正常数 k 使 $|\dot{\omega}| \leq k$ 。

(2) 当 $t \in [t_k, t_{k+1})$ 时, $u = \omega(t_k)$, 其中, $t = t_{k+1}$ 的值由 $|e(t)| \geq m$ 确定, 则 $e(t_k) = 0$ 且 $\lim_{t \rightarrow t_{k+1}} |e(t)| \geq m$, 由 $\frac{d}{dt}|e| \leq |\dot{\omega}| \leq k$ 可得 $\frac{\lim_{t \rightarrow t_{k+1}} |e(t)| - |e(t_k)|}{t_{k+1} - t_k} = \frac{\lim_{t \rightarrow t_{k+1}} |e(t)|}{t_{k+1} - t_k} \leq k$, 则

$k(t_{k+1} - t_k) \geq \lim_{t \rightarrow t_{k+1}} |e(t)| \geq m$, 即 $t_{k+1} - t_k \geq \frac{m}{k}$, 则一定存在正常数 $t^* > 0$ 使 $t_{k+1} - t_k \geq t^*$,

$t^* \geq \frac{m}{k}$, 因此可以避免无限次触发, 即 Zeno behavior 现象^[2-3], 即相邻两次触发时间间隔之间存在一个下界, 从而在有限时间内不能无限次触发。

12.1.4 仿真实例

被控对象取式(12.1), 取 $f(x, t) = -25x_2, g(x, t) = 133$ 。取 $z_d = \sin(2\pi t)$, 取 $\epsilon = 10$, $m = 0.50, \bar{m} = 1.0, c_1 = 35, c_2 = 35$, 控制律取式(12.3)~式(12.4), 仿真结果如图 12-1 和图 12-2 所示。

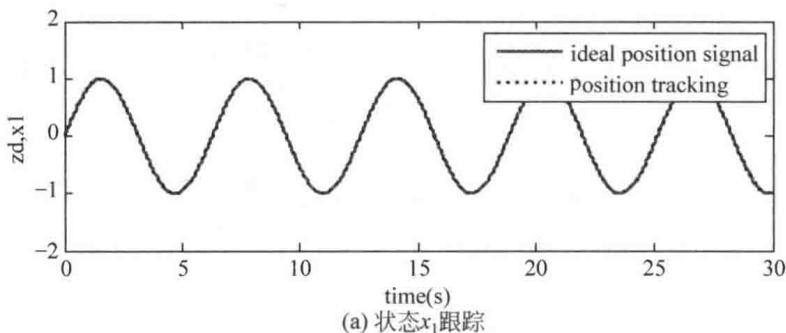


图 12-1 状态跟踪

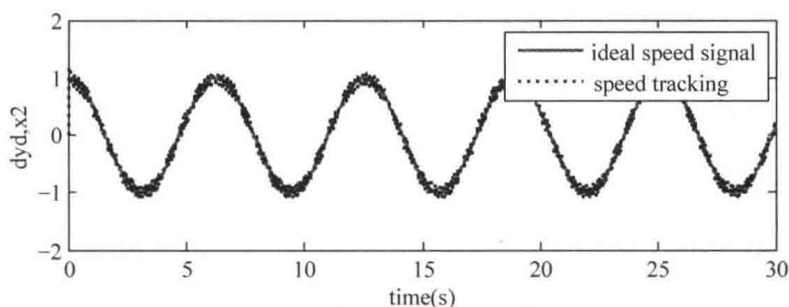
(b) 状态 x_2 跟踪

图 12-1 (续)

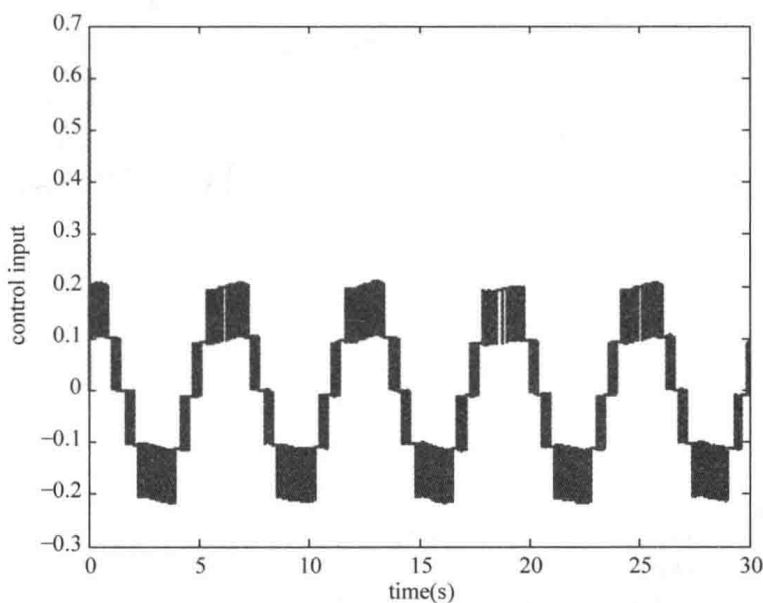


图 12-2 控制输入

仿真程序如下：

(1) 主程序：chap12_1main.m。

```
% Discrete controller for continuous plant
clear all;
close all;

ts = 0.001; % Sampling time
xk = zeros(2,1);
u_1 = 0;
for k = 1:1:2000
    time(k) = k * ts;

    zd(k) = sin(2 * pi * k * ts);
    dzd(k) = 2 * pi * cos(2 * pi * k * ts);
    ddzd(k) = -(2 * pi)^2 * sin(2 * pi * k * ts);

    para = u_1;
    tSpan = [0 ts];
    [tt, xx] = ode45('chap12_1plant', tSpan, xk, [], para);
    xk = xx(length(xx), :);
    x1(k) = xk(1);
```

```

x2(k) = xk(2);

z1(k) = x1(k) - zd(k);
% dz1(k) = (z1(k) - z1_1)/ts;

fx(k) = -25 * x2(k);
gx(k) = 133;
c1 = 35; c2 = 35;

z1(k) = x1(k) - zd(k);
z2(k) = x2(k) + c1 * z1(k) - dzd(k);
dz1(k) = x2(k) - dzd(k);

epc = 10;
m = 0.5; mb = 1.0;
w(k) = 1/gx(k) * (-fx(k) - c1 * dz1(k) + ddzd(k) - c2 * z2(k) - z1(k)) - mb * tanh(gx(k) * z2(k) * mb/epc);

e(k) = w(k) - u_1;
if abs(e(k)) >= m
    u(k) = w(k);
    u_1 = w(k);
else
    u(k) = u_1;
end

end
figure(1);
subplot(211);
plot(time, zd, 'r', time, x1, 'k:', 'linewidth', 2);
xlabel('time(s)'); ylabel('zd, x1');
legend('Ideal position signal', 'Position tracking');
subplot(212);
plot(time, dzd, 'r', time, x2, 'k:', 'linewidth', 2);
xlabel('time(s)'); ylabel('dyd, x2');
legend('ideal speed signal', 'speed tracking');

figure(2);
plot(time, u, 'r', 'linewidth', 2);
xlabel('time(s)'); ylabel('control input');

```

(2) 被控对象程序: chap12_1plant.m。

```

function dx = PlantModel(t, x, flag, para)
dx = zeros(2, 1);
u = para;

dx(1) = x(2);
dx(2) = -25 * x(2) + 133 * u;

```

12.2 基于时变阈值的事件驱动反演控制

在常规方法中,用于事件驱动的阈值 m 为固定值,而在实际控制中,当控制输入信号值较大时,为了节省通信量,此时应该采用较大的 m 值,当控制输入信号值趋近于零时,为了

提高控制精度,此时应该采用较小的 m 值,因而需要阈值 m 为时变的。

12.2.1 基本原理

被控对象为

$$\begin{cases} \dot{x}_1 = x_2 \\ \dot{x}_2 = f(x, t) + g(x, t)u \end{cases} \quad (12.6)$$

其中, $g(x, t) > 0$ 。

定义 x_1 为角度, x_2 为角速度, 定义角度误差 $z_1 = x_1 - z_d$, 其中, z_d 为指令信号, 则

$$\dot{z}_1 = \dot{x}_1 - \dot{z}_d = x_2 - \dot{z}_d$$

控制目标是 $t \rightarrow \infty$ 时, $x_1 \rightarrow z_d, x_2 \rightarrow \dot{z}_d$ 。

12.2.2 控制器的设计与分析

反演控制方法设计步骤为:

(1) 定义 Lyapunov 函数

$$V_1 = \frac{1}{2} z_1^2$$

则

$$\dot{V}_1 = z_1 \dot{z}_1 = z_1 (x_2 - \dot{z}_d)$$

取 $x_2 = -c_1 z_1 + \dot{z}_d + z_2$, 其中, $c_1 > 0, z_2$ 为虚拟控制量, 即 $z_2 = x_2 + c_1 z_1 - \dot{z}_d$, 则

$$\dot{V}_1 = -c_1 z_1^2 + z_1 z_2$$

如果 $z_2 = 0$, 则 $\dot{V}_1 \leq 0$ 。为此, 需要进行下一步设计。

(2) 定义 Lyapunov 函数

$$V_2 = V_1 + \frac{1}{2} z_2^2$$

由于 $\dot{z}_2 = f(x, t) + g(x, t)u + c_1 \dot{z}_1 - \ddot{z}_d$, 则

$$\dot{V}_2 = \dot{V}_1 + z_2 \dot{z}_2 = -c_1 z_1^2 + z_1 z_2 + z_2 (f(x, t) + g(x, t)u + c_1 \dot{z}_1 - \ddot{z}_d)$$

为使 $\dot{V}_2 \leq 0$, 设计

$$\omega = -\frac{1+\delta}{g(x, t)} v \tanh\left(\frac{z_2 v}{\epsilon}\right) - \bar{m}_1 (1+\delta) \tanh\left(\frac{g(x, t) z_2 \bar{m}_1}{\epsilon}\right) \quad (12.7)$$

其中, \bar{m}_1, ϵ 为正常数, $0 < \delta < 1, v = -f(x, t) - c_1 \dot{z}_1 + \ddot{z}_d - c_2 z_2 - z_1, c_2 > 0$ 。

基于时变阈值的事件驱动策略为

$$u = \omega(t_k), \quad \forall t \in [t_k, t_{k+1}) \quad (12.8)$$

$$t_{k+1} = \inf\{t \in R, |e(t)| \geq \delta |u| + m_1\} \quad (12.9)$$

其中, $m_1 > 0, \bar{m}_1 > \frac{m_1}{1-\delta}, e(t) = \omega(t) - u(t)$ 。

由式(12.9)可知: 存在一个连续时变系数 $\lambda_2(t)$, 满足 $\lambda_2(t_k) = 0, \lambda_2(t_{k+1}) = \pm 1$, 且 $|\lambda_2(t)| \leq 1$, 使得

$$\begin{aligned}\omega(t) &= u(t) + \lambda_2(t)(\delta |u| + m_1) \\ &= u(t) + \lambda_2(t)\delta u(t)\text{sgn}(u(t)) + \lambda_2(t)m_1 \\ &= (1 + \lambda_2(t)\text{sgn}(u(t))\delta)u(t) + \lambda_2(t)m_1 \\ &= (1 + \lambda_1(t)\delta)u(t) + \lambda_2(t)m_1\end{aligned}$$

其中, $\lambda_1(t) = \lambda_2(t)\text{sgn}(u(t))$ 。由于 $|\lambda_2(t)| \leq 1$ 且 $|\text{sgn}(u(t))| \leq 1$, 则 $|\lambda_1(t)| = |\lambda_2(t)\text{sgn}(u(t))| \leq 1$ 。

即

$$\omega(t) = (1 + \lambda_1(t)\delta)u(t) + \lambda_2(t)m_1, \quad \forall t \in [t_k, t_{k+1})$$

其中, $|\lambda_1(t)| \leq 1, |\lambda_2(t)| \leq 1$ 。

则

$$u(t) = \frac{\omega(t) - \lambda_2(t)m_1}{1 + \lambda_1(t)\delta}$$

$$\dot{V}_2 = -c_1 z_1^2 + z_1 z_2 + z_2 \left(f(x, t) + g(x, t) \frac{\omega(t)}{1 + \lambda_1(t)\delta} - g(x, t) \frac{\lambda_2(t)m_1}{1 + \lambda_1(t)\delta} + c_1 \dot{z}_1 - \ddot{z}_d \right)$$

由于 $-\alpha \tanh\left(\frac{\alpha}{\epsilon}\right) \leq 0$, 则 $z_2 \omega(t) \leq 0$, 从而

$$z_2 \frac{\omega(t)}{1 + \lambda_1(t)\delta} \leq z_2 \frac{\omega(t)}{1 + \delta}$$

由于 $|\lambda_2(t)m_1| \leq m_1, 1 - \delta \leq |1 + \lambda_1(t)\delta|$, 则

$$\left| \frac{\lambda_2(t)m_1}{1 + \lambda_1(t)\delta} \right| \leq \frac{m_1}{1 - \delta}$$

考虑 $f(x, t) + c_1 \dot{z}_1 - \ddot{z}_d = -v - c_2 z_2 - z_1$, 则

$$\begin{aligned}\dot{V}_2 &\leq -c_1 z_1^2 + z_1 z_2 + z_2 \left(f(x, t) + g(x, t) \frac{\omega(t)}{1 + \delta} + c_1 \dot{z}_1 - \ddot{z}_d \right) + \left| \frac{g(x, t)z_2 m_1}{1 - \delta} \right| \\ &= -c_1 z_1^2 + z_1 z_2 + z_2 \left(f(x, t) - v \tanh\left(\frac{z_2 v}{\epsilon}\right) - g(x, t) \bar{m}_1 \tanh\left(\frac{g(x, t)z_2 \bar{m}_1}{\epsilon}\right) + c_1 \dot{z}_1 - \ddot{z}_d \right) + \\ &\quad \left| \frac{g(x, t)z_2 m_1}{1 - \delta} \right| \\ &= -c_1 z_1^2 + z_1 z_2 + z_2 (-v - c_2 z_2 - z_1) - z_2 v \tanh\left(\frac{z_2 v}{\epsilon}\right) - g(x, t)z_2 \bar{m}_1 \tanh\left(\frac{g(x, t)z_2 \bar{m}_1}{\epsilon}\right) + \\ &\quad \left| \frac{g(x, t)z_2 m_1}{1 - \delta} \right| \\ &\leq -c_1 z_1^2 - c_2 z_2^2 + |z_2 v| - z_2 v \tanh\left(\frac{z_2 v}{\epsilon}\right) - g(x, t)z_2 \bar{m}_1 \tanh\left(\frac{g(x, t)z_2 \bar{m}_1}{\epsilon}\right) + \\ &\quad |g(x, t)z_2 \bar{m}_1| \end{aligned}$$

由于

$$|z_2 v| - z_2 v \tanh\left(\frac{z_2 v}{\epsilon}\right) \leq 0.2785\epsilon$$

$$0 \leq |z_2 g(x, t)| \bar{m}_1 - z_2 g(x, t) \bar{m}_1 \tanh\left(\frac{g(x, t) z_2 \bar{m}_1}{\epsilon}\right) \leq 0.2785\epsilon$$

则

$$\dot{V}_2 \leq -c_1 z_1^2 - c_2 z_2^2 + 0.557\epsilon$$

即

$$\dot{V}_2 \leq -\eta V_2 + d$$

其中, $\eta = 2\max(c_1, c_2)$, $d = 0.557\epsilon$ 。

从而得到指数收敛的形式

$$V_2(t) \leq V_2(0)e^{-\eta t} + \frac{d}{\eta}$$

由于 $V_2 = \frac{1}{2}z_1^2 + \frac{1}{2}z_2^2$, 则 z_1, z_2 有界且收敛到 $2\sqrt{\frac{d}{\eta}}$, 如果 $2\sqrt{\frac{d}{\eta}}$ 足够小, 当 $t \rightarrow \infty$ 时,

$x_1 \rightarrow z_d, x_2 \rightarrow \dot{z}_d$ 。

本节算法的时间驱动有限次触发分析方法可参考 12.1.3 节的分析过程。

12.2.3 仿真实例

被控对象为单力臂机械手, 即

$$\ddot{\theta} = -\frac{1}{I}(d\dot{\theta} + mgl\cos\theta) + \frac{1}{I}\tau$$

取 $x_1 = \theta, x_2 = \dot{\theta}$, 则 $f(x, t) = -\frac{1}{I}(dx_2 + mgl\cos x_1)$, $g(x, t) = \frac{1}{I}$, 取机械臂的质量

$m = 1$, 机械臂长度 $l = 0.25$, $d = 2.0$, 则转动惯量 $I = \frac{4}{3}ml^2$ 。

取 $z_d = \sin(2\pi t)$, 取 $\epsilon = 10$, $m_1 = 1.0$, $\bar{m}_1 = 2.0$, $c_1 = 35$, $c_2 = 35$, 控制律取式 (12.7) ~ 式 (12.9), 仿真结果如图 12-3 和图 12-4 所示。

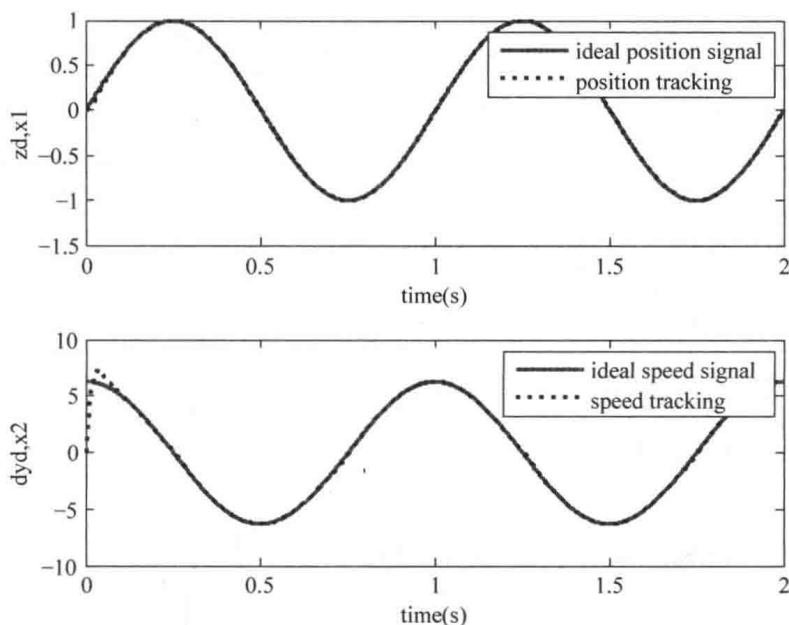


图 12-3 状态跟踪

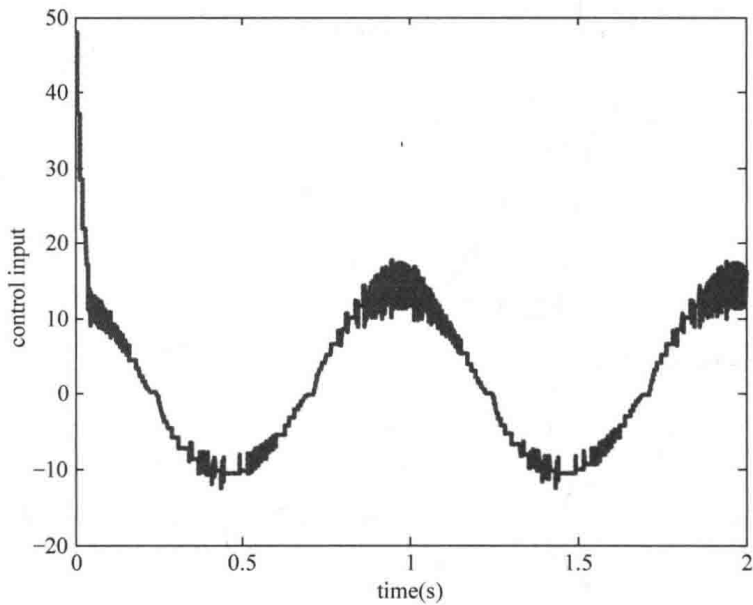


图 12-4 控制输入

仿真程序如下：

(1) 主程序：chap12_2main.m。

```
% Discrete controller for continuous plant
clear all;
close all;

ts = 0.001; % Sampling time
xk = zeros(2,1);
u_1 = 0;
for k = 1:1:2000
    time(k) = k * ts;

    zd(k) = sin(2 * pi * k * ts);
    dzd(k) = 2 * pi * cos(2 * pi * k * ts);
    ddzd(k) = -(2 * pi)^2 * sin(2 * pi * k * ts);

    para = u_1;
    tSpan = [0 ts];
    [tt,xx] = ode45('chap12_2plant',tSpan,xk,[],para);
    xk = xx(length(xx),:);
    x1(k) = xk(1);
    x2(k) = xk(2);

    z1(k) = x1(k) - zd(k);
    % dz1(k) = (z1(k) - z1_1)/ts;
    g = 9.8;
    m = 1; l = 0.25; d = 2.0; I = 4/3 * m * l^2;
    fx(k) = -1/I * (d * x2(k) + m * g * l * cos(x1(k)));
    gx(k) = 1/I;
```

```

c1 = 35; c2 = 35;

z1(k) = x1(k) - zd(k);
z2(k) = x2(k) + c1 * z1(k) - dzd(k);
dz1(k) = x2(k) - dzd(k);

epc = 10;
delta = 0.20;
m1 = 0.15; m1b = 0.20;
v(k) = -fx(k) - c1 * dz1(k) + ddzd(k) - c2 * z2(k) - z1(k);
w(k) = -(1 + delta)/gx(k) * v(k) * tanh(z2(k) * v(k)/epc) - m1b * (1 + delta) * tanh(gx(k) * z2(k) * m1b/epc);

e(k) = w(k) - u_1;
if abs(e(k)) >= delta * abs(u_1) + m1
    u(k) = w(k);
    u_1 = w(k);
else
    u(k) = u_1;
end

end

figure(1);
subplot(211);
plot(time, zd, 'r', time, x1, 'k:', 'linewidth', 2);
xlabel('time(s)'); ylabel('zd, x1');
legend('ideal position signal', 'position tracking');
subplot(212);
plot(time, dzd, 'r', time, x2, 'k:', 'linewidth', 2);
xlabel('time(s)'); ylabel('dyd, x2');
legend('ideal speed signal', 'speed tracking');

figure(2);
plot(time, u, 'r', 'linewidth', 2);
xlabel('time(s)'); ylabel('control input');

```

(2) 被控对象程序: chap12_2plant.m。

```

function dx = PlantModel(t, x, flag, para)
dx = zeros(2, 1);
u = para;

x1 = x(1); x2 = x(2);
g = 9.8;
m = 1; l = 0.25; d = 2.0; I = 4/3 * m * l^2;
fx = -1/I * (d * x2 + m * g * l * cos(x1));
gx = 1/I;

dx(1) = x(2);
dx(2) = fx + gx * u;

```


参考文献

- [1] Ren B, San P P, Ge S S, et al. Adaptive dynamic surface control for a class of strict-feedback nonlinear systems with unknown backlash-like hysteresis[C]//Proc. ACC, 2009: 4482-4487.
- [2] Johansson K H, Egerstedt M, Lygeros J, et al. On the regularization of Zeno hybrid automata[J]. System Control Letters, 1999, 38(3): 141-150.
- [3] Xing L, Wen C, Liu Z, et al. Event-triggered adaptive control for a class of uncertain nonlinear systems [J]. IEEE Transactions on Automatic Control, 2017, 62(4): 2071-2076.

13.1 带有输入延迟的输入受限控制

13.1.1 系统描述

考虑具有控制输入延迟的模型为

$$\ddot{q} + a\dot{q} + bq = u(t - \tau) \quad (13.1)$$

其中, $\tau > 0$ 为时间延迟常数。

控制目标为: 当 $t \rightarrow \infty$ 时, $q \rightarrow 0, \dot{q} \rightarrow 0$ 。

13.1.2 控制器的设计与分析

定义辅助变量为

$$\begin{aligned} r &= -\dot{q} - q - e_z \\ e_z &= \int_{t-\tau}^t u(\theta) d\theta \end{aligned} \quad (13.2)$$

则

$$\begin{aligned} \dot{r} &= -\ddot{q} - \dot{q} - \dot{e}_z \\ &= -u(t - \tau) - (1 - a)\dot{q} + bq - u + u(t - \tau) \\ &= -(1 - a)\dot{q} + bq - u \end{aligned} \quad (13.3)$$

设计控制律为

$$u = k \tanh r \quad (13.4)$$

其中, $k > 0$ 。

将式(13.4)代入式(13.3), 可得

$$\dot{r} = -(1 - a)\dot{q} + bq - k \tanh r$$

设计 Lyapunov 函数为

$$V = \frac{1}{2} \eta_1 r^2 + \frac{1}{2} \eta_2 q^2 + P \quad (13.5)$$

其中, $P = \omega \int_{t-\tau}^t \left(\int_s^t u^2(\theta) d\theta \right) ds, \eta_1 > 0, \eta_2 > 0, \omega > 0$ 。

根据引理 13.1(见本章附录), 对 P 求导, 得

$$\dot{P} = \omega \tau u^2 - \omega \int_{t-\tau}^t u^2(\theta) d\theta \quad (13.6)$$

由于双曲正切函数满足 $|\tanh x| \leq |x|^{[1]}$, 由于 $x \tanh(x) = x \frac{e^x - e^{-x}}{e^x + e^{-x}} \geq 0$, 则有

$$0 \leq \tanh^2 x \leq x \tanh x \quad (13.7)$$

对 V 求导可得

$$\begin{aligned} \dot{V} &= \eta_1 r \dot{r} + \eta_2 q \dot{q} + \dot{P} = \eta_1 r (-(1-a)\dot{q} + bq - k \tanh r) + \eta_2 q \dot{q} + \dot{P} \\ &\leq -(1-a)\eta_1 \dot{q} r + b\eta_1 q r - k\eta_1 \tanh^2 r + \eta_2 q \dot{q} + \omega \tau k^2 \tanh^2 r - \omega \int_{t-\tau}^t u^2(\theta) d\theta \\ &= -(k\eta_1 - \omega \tau k^2) \tanh^2 r - (1-a)\eta_1 \dot{q} (-\dot{q} - q - e_z) + \\ &\quad b\eta_1 q (-\dot{q} - q - e_z) + \eta_2 q \dot{q} - \omega \int_{t-\tau}^t u^2(\theta) d\theta \\ &= -(k\eta_1 - \omega \tau k^2) \tanh^2 r + (1-a)\eta_1 \dot{q}^2 + ((1-a)\eta_1 - b\eta_1 + \eta_2) \dot{q} q + \\ &\quad (1-a)\eta_1 \dot{q} e_z - b\eta_1 q^2 - b\eta_1 q e_z - \omega \int_{t-\tau}^t u^2(\theta) d\theta \end{aligned} \quad (13.8)$$

根据 Cauchy-Schwartz 不等式

$$e_z^2 \leq \tau \int_{t-\tau}^t u^2(\theta) d\theta \quad (13.9)$$

则

$$-\omega \int_{t-\tau}^t u^2(\theta) d\theta \leq -\frac{\omega}{\tau} e_z^2 \quad (13.10)$$

将式(13.10)代入式(13.8), 可得

$$\begin{aligned} \dot{V} &\leq -(k\eta_1 - \omega \tau k^2) \tanh^2 r + (1-a)\eta_1 \dot{q}^2 + ((1-a)\eta_1 - b\eta_1 + \eta_2) \dot{q} q + \\ &\quad (1-a)\eta_1 \dot{q} e_z - b\eta_1 q^2 - b\eta_1 q e_z - \frac{\omega}{\tau} e_z^2 \end{aligned}$$

上式可写为二次型的形式

$$\dot{V} \leq \beta^T W \beta$$

其中, $\beta = [\tanh r \quad q \quad \dot{q} \quad e_z]^T$,

$$W = \begin{bmatrix} -(k\eta_1 - \omega \tau k^2) & 0 & 0 & 0 \\ 0 & -b\eta_1 & \frac{1}{2}((1-a)\eta_1 - b\eta_1 + \eta_2) & -\frac{1}{2}b\eta_1 \\ 0 & \frac{1}{2}((1-a)\eta_1 - b\eta_1 + \eta_2) & (1-a)\eta_1 & \frac{1}{2}(1-a)\eta_1 \\ 0 & -\frac{1}{2}b\eta_1 & \frac{1}{2}(1-a)\eta_1 & -\frac{\omega}{\tau} \end{bmatrix} \quad (13.11)$$

如果能选取 k, η_1, η_2 和 ω 使 $W < 0$, 即 W 特征值均为负, 则 W 负定, 则

$$\dot{V} \leq 0$$

由于 $V \geq 0$, 根据 $\dot{V} \leq 0$, 则 V 有界。根据式 $\dot{V} \leq \beta^T W \beta$, 当 $\dot{V} \equiv 0$ 时, $q = 0, \dot{q} = 0$, 根据

LaSalle 不变引理, 当 $t \rightarrow \infty$ 时, $q \rightarrow 0, \dot{q} \rightarrow 0$ 。且由双曲正切函数性质可知 $|u| \leq |k| |\tanh r| \leq k$ 。

Fmincon 是用于求解非线性多元函数最小值的 MATLAB 函数, 优化工具箱提供 Fmincon 函数用于对有约束优化问题进行求解。针对本问题, 在参数满足一定约束范围条件, 且 W 特征值均为负的条件下, 采用 Fmincon 函数求解式 (13.11) 中的 k, η_1, η_2 和 ω 。

13.1.3 仿真实例

针对模型式 (13.1), 取 $a=2, b=2, \tau=6$ 。 k, η_1, η_2 和 ω 均满足约束 $[0 \ 10]$, 采用 Fmincon 函数求解式 (13.11), Fmincon 函数按满足参数约束范围及 W 为负定来进行优化求解, 可得 $k=0.0335$, 此时 W 的特征值得最大值为 -0.03 , 满足 W 负定。采用控制律式 (13.4), 仿真结果如图 13-1 和图 13-2 所示。

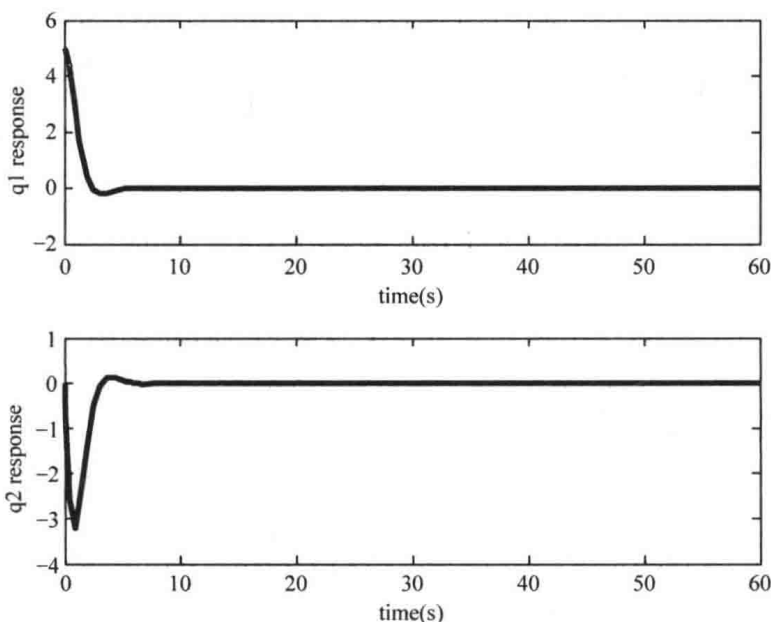


图 13-1 位置和速度响应

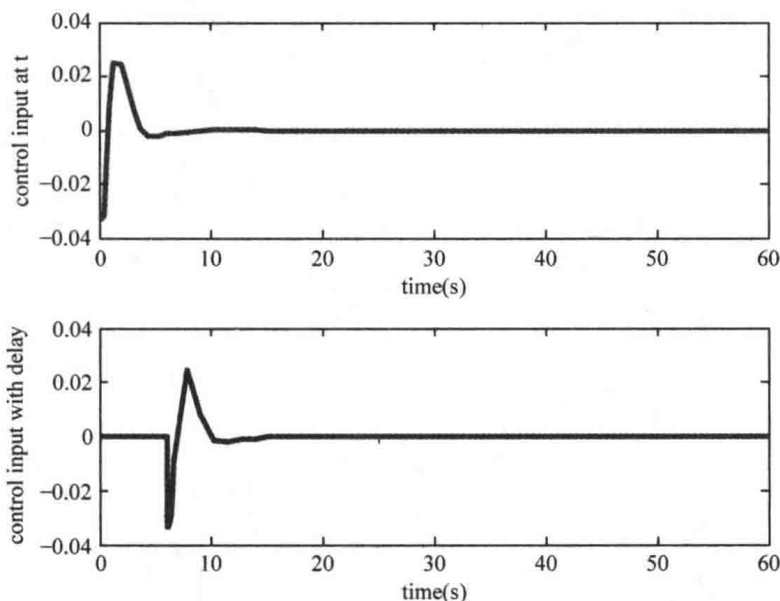


图 13-2 控制输入

仿真实例如下：

1. Fmincon 求解程序

(1) 主程序：chap13_1main.m。

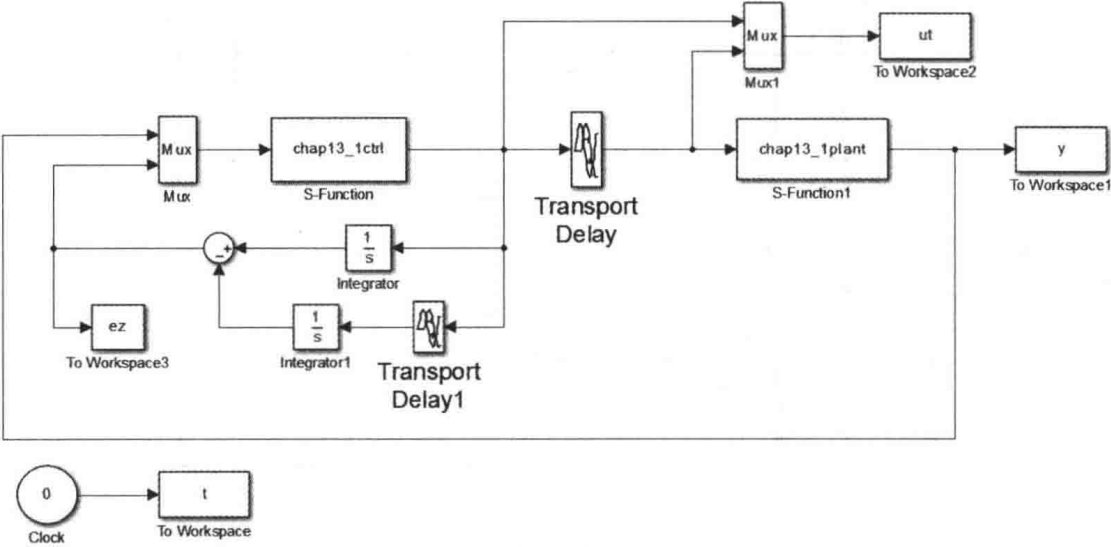
```
clear all;
close all;
% 初始值
x0 = [1,1,1,1];
% 四个参数 xite1,xite2,w,k 的范围,分别为最小值和最大值
x_min = [0 0 0 0];
x_max = [10 10 10 10];
kk = fmincon(@(x)chap13_1func(x),x0,[],[],[],[],x_min,x_max);
chap13_1func(kk) % 最大特征值
save delay_file1 kk;
```

(2) 子程序：chap13_1func.m。

```
function eig_max = max_eig_func(x);
a = 2;
b = 2;
tau = 6;
xite1 = x(1);
xite2 = x(2);
w = x(3);
k = x(4);
W1 = [ -(k*xite1-w*tau*k^2) 0 0 0];
W2 = [ 0 -b*xite1 0.5*((1-a)*xite1-b*xite1+xite2) -0.5*b*xite1];
W3 = [ 0 0.5*((1-a)*xite1-b*xite1+xite2) (1-a)*xite1 0.5*(1-a)*xite1];
W4 = [ 0 -0.5*b*xite1 0.5*(1-a)*xite1 -w/tau];
W = [W1;W2;W3;W4];
eig_value = eig(W);
eig_max = max(real(eig_value));
end
```

2. Simulink 仿真程序

(1) 控制系统 Simulink 主程序：chap13_1sim.mdl。



(2) 控制器 S 函数程序: chap13_lctrl. m。

```
function [sys,x0,str,ts] = spacemodel(t,x,u,flag)
switch flag,
case 0,
    [sys,x0,str,ts] = mdlInitializeSizes;
case 1,
    sys = mdlDerivatives(t,x,u);
case 3,
    sys = mdlOutputs(t,x,u);
case {2,4,9}
    sys = [];
otherwise
    error(['Unhandled flag = ',num2str(flag)]);
end
function [sys,x0,str,ts] = mdlInitializeSizes
sizes = simsizes;
sizes.NumContStates = 0;
sizes.NumDiscStates = 0;
sizes.NumOutputs = 1;
sizes.NumInputs = 3;
sizes.DirFeedthrough = 1;
sizes.NumSampleTimes = 1;
sys = simsizes(sizes);
x0 = [];
str = [];
ts = [0 0];
```

```
function sys = mdlOutputs(t,x,u)
persistent kk
if t==0
    load delay_file1;
end
th = u(1);dth = u(2);
ez = u(3);
r = -dth - th - ez;
k = kk(4);
ut = k * tanh(r);
sys(1) = ut;
```

(3) 被控对象 S 函数程序: chap13_lplant. m。

```
function [sys,x0,str,ts] = s_function(t,x,u,flag)
switch flag,
case 0,
    [sys,x0,str,ts] = mdlInitializeSizes;
case 1,
    sys = mdlDerivatives(t,x,u);
case 3,
```

```

        sys = mdlOutputs(t,x,u);
    case {2, 4, 9 }
        sys = [];
    otherwise
        error(['Unhandled flag = ',num2str(flag)]);
    end
function [sys,x0,str,ts] = mdlInitializeSizes
    sizes = simsizes;
    sizes.NumContStates = 2;
    sizes.NumDiscStates = 0;
    sizes.NumOutputs = 2;
    sizes.NumInputs = 1;
    sizes.DirFeedthrough = 0;
    sizes.NumSampleTimes = 0;
    sys = simsizes(sizes);
    x0 = [5.0 0];
    str = [];
    ts = [];
    function sys = mdlDerivatives(t,x,u)
        a = 2;b = 2;
        ut = u(1);

        sys(1) = x(2);
        sys(2) = ut - a * x(2) - b * x(1);
    function sys = mdlOutputs(t,x,u)
        sys(1) = x(1);
        sys(2) = x(2);

```

(4) 作图程序: chap13_lplot.m。

```

close all;

figure(1);
subplot(211);
plot(t,y(:,1),'k','linewidth',2);
xlabel('time(s)');ylabel('q1 response');
subplot(212);
plot(t,y(:,2),'k','linewidth',2);
xlabel('time(s)');ylabel('q2 response');

figure(2);
subplot(211);
plot(t,ut(:,1),'r','linewidth',2);
xlabel('time(s)');ylabel('control input at t');
subplot(212);
plot(t,ut(:,2),'r','linewidth',2);
xlabel('time(s)');ylabel('control input with delay');

```

13.2 基于干扰观测器且带有输入延迟的输入受限控制

13.2.1 系统描述

考虑带扰动的具有控制输入延迟的模型

$$\ddot{q} + a\dot{q} + bq = u(t - \tau) + d \quad (13.12)$$

其中, $\tau > 0$ 时间延迟常数, d 为扰动, $|d| \leq D$ 。

控制目标为: 当 $t \rightarrow \infty$ 时, $q \rightarrow 0, \dot{q} \rightarrow 0$ 。

假设 1: 扰动是慢时变的, 假设 $\dot{d} = 0$ 。

13.2.2 控制器的设计与分析

定义辅助变量如下:

$$\begin{cases} r = -k_1(\dot{q} + e_z) - k_2q \\ e_z = \int_{t-\tau}^t v(\theta) d\theta \end{cases} \quad (13.13)$$

其中, $v(\theta) = k \tanh r$ 。

设计扰动观测器为:

$$\begin{cases} \dot{z} = K(a\dot{q} + bq - u(t - \tau)) - K\hat{d} \\ \hat{d} = z + K\dot{q} \end{cases} \quad (13.14)$$

其中, \hat{d} 为 d 的估计值, 且 $K > 0$ 。

定义 $\bar{d} = d - \hat{d}$, 则

$$\begin{aligned} \dot{\bar{d}} &= -\dot{\hat{d}} = -\dot{z} - K\ddot{q} = -K(a\dot{q} + bq - u(t - \tau)) + K\hat{d} - K\ddot{q} \\ &= -K(\ddot{q} + a\dot{q} + bq - u(t - \tau)) + K\hat{d} \\ &= -K(d - \hat{d}) = -K\bar{d} \end{aligned}$$

设计

$$V_{ob} = \frac{1}{2} \bar{d}^2$$

则

$$\dot{V}_{ob} = -K\bar{d}^2 \leq -2KV_{ob}$$

因此干扰观测器指数收敛, 即 $t \rightarrow \infty$ 时, $\bar{d} \rightarrow 0$ 且指数收敛。

设计控制律为

$$u(t) = \dot{v}(t) - \hat{d}(t) \quad (13.15)$$

其中, $\lambda > 0$ 。

则

$$\dot{r} = -k_1(\ddot{q} + \dot{e}_z) - k_2\dot{q}$$

$$\begin{aligned}
&= -k_1(-a\dot{q} - bq + u(t - \tau) + d + v(t) - v(t - \tau)) - k_2\dot{q} \\
&= -k_1(-a\dot{q} - bq + v(t - \tau) - \hat{d}(t - \tau) + d(t) + v(t) - v(t - \tau)) - k_2\dot{q} \\
&= -k_1(-a\dot{q} - bq + v(t) - \hat{d}(t - \tau) + \hat{d}(t) - \hat{d}(t) + d(t)) - k_2\dot{q} \\
&= -k_1(-a\dot{q} - bq + v(t) - \hat{d}(t - \tau) + \hat{d}(t) + \bar{d}(t)) - k_2\dot{q} \\
&= (ak_1 - k_2)\dot{q} + bk_1q - k_1k \tanh r - k_1\bar{d}(t) - k_1(\hat{d}(t) - \hat{d}(t - \tau))
\end{aligned}$$

设计 Lyapunov 函数为

$$V = \frac{1}{2}\eta_1 r^2 + \frac{1}{2}\eta_2 q^2 + P + \frac{1}{2}\eta_3 \bar{d}^2 \quad (13.16)$$

其中, $P = \omega \int_{t-\tau}^t \left(\int_s^t v^2(\theta) d\theta \right) ds$, $\eta_1 > 0, \eta_2 > 0, \eta_3 > 0, \omega > 0$ 。

根据引理 13.1(见本章附录), 对 P 求导得

$$\dot{P} = \omega \tau v^2 - \omega \int_{t-\tau}^t v^2(\theta) d\theta \quad (13.17)$$

则

$$\begin{aligned}
\dot{V} &= \eta_1 r \dot{r} + \eta_2 q \dot{q} + \dot{P} + \eta_3 \bar{d} \dot{\bar{d}} \\
&= \eta_1 r [(ak_1 - k_2)\dot{q} + bk_1q - k_1k \tanh r - k_1\bar{d}(t) - k_1(\hat{d}(t) - \hat{d}(t - \tau))] + \\
&\quad \eta_2 q \dot{q} + \omega \tau v^2 - \omega \int_{t-\tau}^t v^2(\theta) d\theta - K\eta_3 \bar{d}^2 \\
&\leq -\eta_1 k_1 k \tanh^2 r + \eta_1 r ((ak_1 - k_2)\dot{q} + bk_1q - k_1\bar{d}) - \eta_1 k_1 r (\hat{d}(t) - \hat{d}(t - \tau)) + \\
&\quad \eta_2 q \dot{q} + \omega \tau v^2 - \omega \int_{t-\tau}^t v^2(\theta) d\theta - K\eta_3 \bar{d}^2 \\
&= -\eta_1 k_1 k \tanh^2 r + \eta_1 (-k_1(\dot{q} + e_z) - k_2q)((ak_1 - k_2)\dot{q} + bk_1q - k_1\bar{d}) + \\
&\quad \eta_2 q \dot{q} + \omega \tau v^2 - \omega \int_{t-\tau}^t v^2(\theta) d\theta - K\eta_3 \bar{d}^2 - \eta_1 k_1 r (\hat{d}(t) - \hat{d}(t - \tau))
\end{aligned}$$

其中,

$$\begin{aligned}
&\eta_1 (-k_1(\dot{q} + e_z) - k_2q)((ak_1 - k_2)\dot{q} + bk_1q - k_1\bar{d}) \\
&= -\eta_1 k_1 (ak_1 - k_2)\dot{q}^2 - [\eta_1 k_2 (ak_1 - k_2) + \eta_1 b k_1^2] \dot{q} q - \eta_1 k_1 (ak_1 - k_2) \dot{q} e_z + \\
&\quad \eta_1 k_1^2 \dot{q} \bar{d} - \eta_1 b k_1 k_2 q^2 - \eta_1 b k_1^2 q e_z + \eta_1 k_1 k_2 q \bar{d} + \eta_1 k_1^2 e_z \bar{d}
\end{aligned}$$

根据 Cauchy-Schwartz 不等式

$$e_z^2 \leq \tau \int_{t-\tau}^t v^2(\theta) d\theta \quad (13.18)$$

则

$$\begin{aligned}
&-\omega \int_{t-\tau}^t v^2(\theta) d\theta \leq -\frac{\omega}{\tau} e_z^2 \\
\dot{V} &\leq -\eta_1 k_1 k \tanh^2 r - \eta_1 k_1 (ak_1 - k_2)\dot{q}^2 - [\eta_1 k_2 (ak_1 - k_2) + \eta_1 b k_1^2] \dot{q} q - \\
&\quad \eta_1 k_1 (ak_1 - k_2) \dot{q} e_z + \eta_1 k_1^2 \dot{q} \bar{d} - \eta_1 b k_1 k_2 q^2 - \eta_1 b k_1^2 q e_z + \eta_1 k_1 k_2 q \bar{d} + \eta_1 k_1^2 e_z \bar{d} + \\
&\quad \eta_2 q \dot{q} + \omega \tau v^2 - \omega \int_{t-\tau}^t v^2(\theta) d\theta - K\eta_3 \bar{d}^2 - \eta_1 k_1 r (\hat{d}(t) - \hat{d}(t - \tau))
\end{aligned}$$

$$\begin{aligned} \leq & -\eta_1 k_1 k \tanh^2 r - \eta_1 k_1 (ak_1 - k_2) \dot{q}^2 - [\eta_1 k_2 (ak_1 - k_2) + \eta_1 b k_1^2] \dot{q} \dot{q} - \\ & \eta_1 k_1 (ak_1 - k_2) \dot{q} e_z + \eta_1 k_1^2 \dot{q} \tilde{d} - \eta_1 b k_1 k_2 q^2 - \eta_1 b k_1^2 q e_z + \eta_1 k_1 k_2 q \tilde{d} + \eta_1 k_1^2 e_z \tilde{d} + \\ & \eta_2 q \dot{q} + \omega \tau v^2 - \frac{\omega}{\tau} e_z^2 - K \eta_3 \tilde{d}^2 - \eta_1 k_1 r (\hat{d}(t) - \hat{d}(t - \tau)) \end{aligned}$$

由于 $\omega \tau v^2 = \omega \tau k^2 \tanh^2 r$, 则

$$\begin{aligned} \dot{V} \leq & -\eta_1 k_1 k \tanh^2 r - \eta_1 k_1 (ak_1 - k_2) \dot{q}^2 - [\eta_1 k_2 (ak_1 - k_2) + \eta_1 b k_1^2] \dot{q} \dot{q} - \\ & \eta_1 k_1 (ak_1 - k_2) \dot{q} e_z + \eta_1 k_1^2 \dot{q} \tilde{d} - \eta_1 b k_1 k_2 q^2 - \eta_1 b k_1^2 q e_z + \eta_1 k_1 k_2 q \tilde{d} + \eta_1 k_1^2 e_z \tilde{d} + \\ & \eta_2 q \dot{q} + \omega \tau k^2 \tanh^2 r - \frac{\omega}{\tau} e_z^2 - K \eta_3 \tilde{d}^2 - \eta_1 k_1 r (\hat{d}(t) - \hat{d}(t - \tau)) \\ = & (\omega \tau k^2 - \eta_1 k_1 k) \tanh^2 r - \eta_1 k_1 (ak_1 - k_2) \dot{q}^2 - \\ & [\eta_1 k_2 (ak_1 - k_2) + \eta_1 b k_1^2 + \eta_2] \dot{q} \dot{q} - \eta_1 k_1 (ak_1 - k_2) \dot{q} e_z + \eta_1 k_1^2 \dot{q} \tilde{d} - \\ & \eta_1 b k_1 k_2 q^2 - \eta_1 b k_1^2 q e_z + \eta_1 k_1 k_2 q \tilde{d} - \frac{\omega}{\tau} e_z^2 + \eta_1 k_1^2 e_z \tilde{d} - K \eta_3 \tilde{d}^2 - \\ & \eta_1 k_1 r (\hat{d}(t) - \hat{d}(t - \tau)) \end{aligned}$$

则

$$\dot{V} \leq \beta^T W \beta - \eta_1 k_1 r (\hat{d}(t) - \hat{d}(t - \tau))$$

$$\beta = [\tanh r \quad \dot{q} \quad q \quad e_z \quad \tilde{d}]^T$$

$$W = \begin{bmatrix} \omega \tau k^2 - \eta_1 k_1 k & 0 & 0 & 0 & 0 \\ 0 & -\eta_1 k_1 (ak_1 - k_2) & -[\eta_1 k_2 (ak_1 - k_2) + \eta_1 b k_1^2 - \eta_2] & -\eta_1 k_1 (ak_1 - k_2) & \eta_1 k_1^2 \\ 0 & 0 & -\eta_1 b k_1 k_2 & -\eta_1 b k_1^2 & \eta_1 k_1 k_2 \\ 0 & 0 & 0 & -\frac{\omega}{\tau} & \eta_1 k_1^2 \\ 0 & 0 & 0 & 0 & -K \eta_3 \end{bmatrix} \quad (13.19)$$

若存在 $\eta_1, \eta_2, \eta_3 > 0, \omega > 0, K > 0, k_1, k_2, k$ 使得 W 负定, 则可实现有界收敛。由于 $t \rightarrow \infty$ 时, $\tilde{d} \rightarrow 0$ 且指数收敛, 如果扰动为常值或慢时变, 则 $\hat{d}(t) - \hat{d}(t - \tau) \approx 0$, 从而 $\hat{d}(t) - \hat{d}(t - \tau) \approx 0$, 则

$$\dot{V} \leq \beta^T W \beta - \eta_1 k_1 r (\hat{d}(t) - \hat{d}(t - \tau)) = \beta^T W \beta \leq 0$$

由于 $V \geq 0$, 根据 $\dot{V} \leq 0$, 则 V 有界。根据 $\dot{V} \leq \beta^T W \beta \leq 0$, 如果 W 负定, 当 $\dot{V} = 0$ 时, $\beta = 0$, 根据 LaSalle 不变引理, 当 $t \rightarrow \infty$ 时, $\beta = [\tanh r \quad \dot{q} \quad q \quad e_z \quad \tilde{d}]^T \rightarrow 0$, 且由双曲正切函数性质可知 $|u| \leq |k| |\tanh r| + |\hat{d}|_{\max} \leq k + D + |\tilde{d}(0)|$ 。

针对本问题, 在参数满足一定约束范围条件, 采用 Fmincon 函数进行优化求解, 取 W 的最大特征值作为优化指标, 从而得到满足 W 特征值均为负的 $\eta_1, \eta_2, \eta_3, \omega, K, k_1, k_2, k$ 。

13.2.3 仿真实例

针对模型式 (13.12), 取 $a = 2, b = 2, \tau = 6, d = 3 + 0.3 \sin(0.1t)$ 。被控对象初值取

$[1 \ 0]$,观测器式(13.14)中,初始值取 $\hat{d}(0)=0$ 。参数 $\eta_1, \eta_2, \eta_3, \omega$ 和 K 约束取 $[0 \ 10]$, k_1, k_2 和 k 约束取 $[0 \ 1]$,采用Fmincon函数按满足参数约束范围及 W 为负定来进行优化求解,可得 $[\eta_1, \eta_2, \eta_3, \omega, K, k_1, k_2, k]=[9.4103 \ 5.0000 \ 5.0000 \ 4.4254 \ 5.0000 \ 0.9410 \ 0.5000 \ 0.3441]$,从而可得 $k=0.3441$,且 $|u| \leq 3+3.3=6.3$ 。

此时 W 特征值的最大值为 -1.4751 ,满足 W 负定。采用控制律式(13.15),仿真结果如图13-3~图13-5所示。

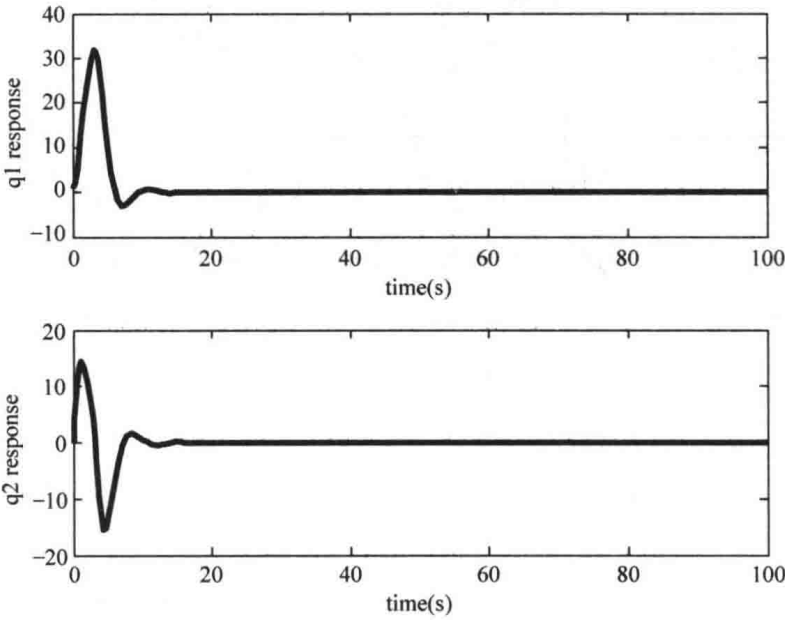


图 13-3 位置和速度响应

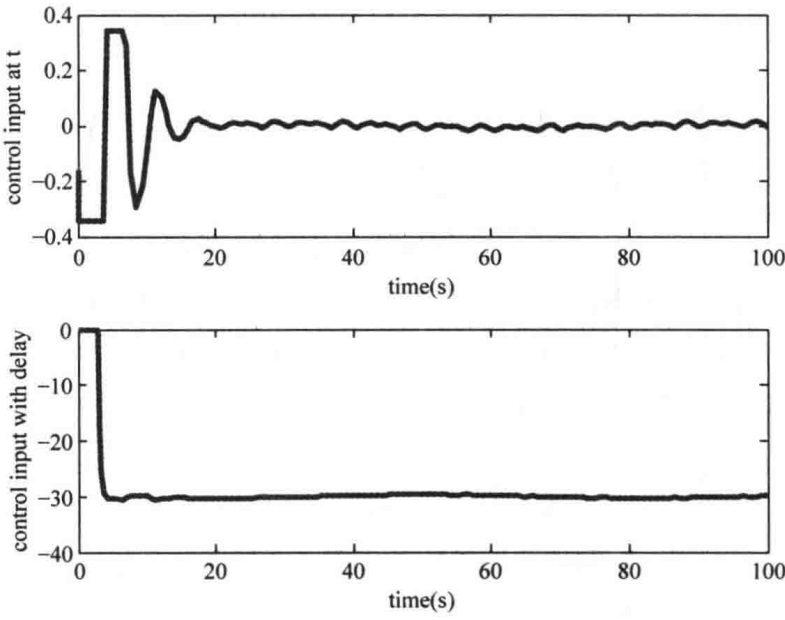
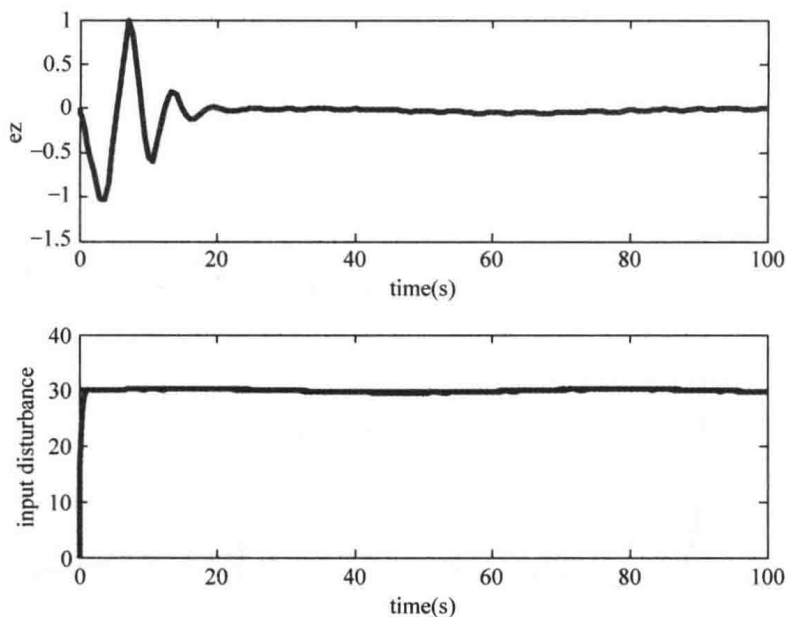


图 13-4 控制输入

图 13-5 e_z 及扰动的变化

仿真实例如下。

1. Fmincon 求解程序

(1) 主程序: chap13_2main. m。

```
clear all;
close all;

a = 1.2;
b = 1;
tau = 3;
% 初始值 xite1,xite2,xite3,w,K,k1,k2,k
k0 = [0 0 0 0 0 0 0 0];
% 三个参数的范围, 分别的最小值和最大值
k_min = [0 0 0 0 0 0 0 0];
k_max = [10 10 10 10 10 1 1 1];
p = [a,b,tau];
kk = fmincon(@(k)chap13_2func(p,k),k0,[],[],[],[],k_min,k_max)
chap13_2func(p,kk)
save delay_file2 kk;
```

(2) 子程序: chap13_2func. m。

```
function eig_max = max_eig_new(p1,x);
a = p1(1);
b = p1(2);
tau = p1(3);

xite1 = x(1);
xite2 = x(2);
xite3 = x(3);
```

```
w = x(4); % k4
K = x(5); % k5

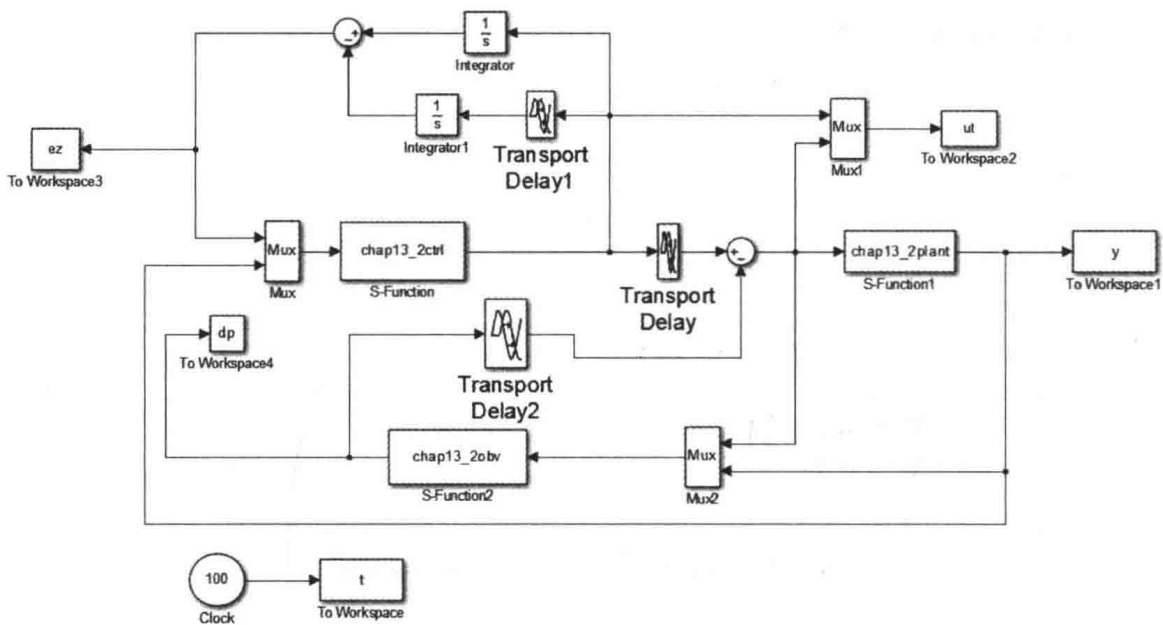
k1 = x(6);
k2 = x(7);
k = x(8);

W1 = [w * tau * k^2 - xite1 * k1 * k 0 0 0 0];
W2 = [0 - xite1 * k1 * (a * k1 - k2) - xite1 * k2 * (a * k1 - k2) - xite1 * b * k1^2 + xite2 - xite1
* k1 * (a * k1 - k2) xite1 * k1^2];
W3 = [0 0 - xite1 * b * k1 * k2 - xite1 * b * k1^2 xite1 * k1 * k2];
W4 = [0 0 0 - w/tau xite1 * k1^2];
W5 = [0 0 0 0 - K * xite3];
W = [W1;W2;W3;W4;W5];

eig_value = eig(W);
eig_max = max(real(eig_value)); % optimum objective
end
```

2. 控制系统仿真程序

(1) Simulink 主程序: chap13_2sim.mdl。



(2) 控制器 S 函数程序: chap13_2ctrl.m。

```
function [sys,x0,str,ts] = spacemodel(t,x,u,flag)
switch flag,
case 0,
    [sys,x0,str,ts] = mdlInitializeSizes;
case 1,
    sys = mdlDerivatives(t,x,u);
case 3,
    sys = mdlOutputs(t,x,u);
case {2,4,9}
```

```

    sys = [];
otherwise
    error(['Unhandled flag = ', num2str(flag)]);
end
function [sys,x0,str,ts] = mdlInitializeSizes
sizes = simsizes;
sizes.NumContStates = 0;
sizes.NumDiscStates = 0;
sizes.NumOutputs = 1;
sizes.NumInputs = 4;
sizes.DirFeedthrough = 1;
sizes.NumSampleTimes = 1;
sys = simsizes(sizes);
x0 = [];
str = [];
ts = [0 0];
function sys = mdlOutputs(t,x,u)
persistent kk
ez = u(1);
q = u(2);
dq = u(3);

if t == 0
    load delay_file2;
end

k1 = kk(6);
k2 = kk(7);
k = kk(8);

r = -k1 * (dq + ez) - k2 * q;
namna = 0;
vt = k * tanh(r) + namna * sign(r);
% ut = vt - dp;
sys(1) = vt;

```

(3) 观测器 S 函数程序: chap13_2obv. m。

```

function [sys,x0,str,ts] = s_function(t,x,u,flag)
switch flag,
case 0,
    [sys,x0,str,ts] = mdlInitializeSizes;
case 1,
    sys = mdlDerivatives(t,x,u);
case 3,
    sys = mdlOutputs(t,x,u);
case {2, 4, 9 }
    sys = [];
otherwise
    error(['Unhandled flag = ', num2str(flag)]);
end

```

```

function [sys,x0,str,ts] = mdlInitializeSizes
sizes = simsizes;
sizes.NumContStates = 1;
sizes.NumDiscStates = 0;
sizes.NumOutputs = 1;
sizes.NumInputs = 4;
sizes.DirFeedthrough = 1;
sizes.NumSampleTimes = 0;
sys = simsizes(sizes);
x0 = [0];
str = [];
ts = [];
function sys = mdlDerivatives(t,x,u)
persistent kk
if t==0
    load delay_file2;
end
K = kk(5);

a = 1.2;b = 1.0;
u_tol = u(1);
q = u(2);
dq = u(3);

z = x(1);
dp = z + K * dq;

sys(1) = K * (a * dq + b * q - u_tol) - K * dp;
function sys = mdlOutputs(t,x,u)
persistent kk
if t==0
    load delay_file2;
end
K = kk(5);
u_tol = u(1);
q = u(2);
dq = u(3);
z = x(1);
dp = z + K * dq;
sys(1) = dp;

```

(4) 被控对象 S 函数程序：chap13_2plant.m。

```

function [sys,x0,str,ts] = s_function(t,x,u,flag)
switch flag,
case 0,
    [sys,x0,str,ts] = mdlInitializeSizes;
case 1,
    sys = mdlDerivatives(t,x,u);
case 3,
    sys = mdlOutputs(t,x,u);

```

```

case {2, 4, 9 }
    sys = [];
otherwise
    error(['Unhandled flag = ', num2str(flag)]);
end
function [sys,x0,str,ts] = mdlInitializeSizes
sizes = simsizes;
sizes.NumContStates = 2;
sizes.NumDiscStates = 0;
sizes.NumOutputs = 3;
sizes.NumInputs = 1;
sizes.DirFeedthrough = 0;
sizes.NumSampleTimes = 0;
sys = simsizes(sizes);
x0 = [1.0 0];
str = [];
ts = [];
function sys = mdlDerivatives(t,x,u)
a = 1.2;
b = 1.0;
u_tol = u(1);

dt = 3 + 0.0 * sin(0.1 * t);
sys(1) = x(2);
sys(2) = -a * x(2) - b * x(1) + u_tol + dt;
function sys = mdlOutputs(t,x,u)
dt = 3 + 0.0 * sin(0.1 * t);
sys(1) = x(1);
sys(2) = x(2);
sys(3) = dt;

```

(5) 作图程序: chap13_2plot. m。

```

close all;

figure(1);
subplot(211);
plot(t,y(:,1),'k','linewidth',2);
xlabel('time(s)');ylabel('q1 response');
subplot(212);
plot(t,y(:,2),'k','linewidth',2);
xlabel('time(s)');ylabel('q2 response');

figure(2);
subplot(211);
plot(t,ut(:,1),'r','linewidth',2);
xlabel('time(s)');ylabel('control input at t');
subplot(212);
plot(t,ut(:,2),'r','linewidth',2);
xlabel('time(s)');ylabel('control input with delay');

```



```
figure(3);
subplot(211);
plot(t,ez(:,1),'r','linewidth',2);
xlabel('time(s)');ylabel('ez');
subplot(212);
plot(t,y(:,3),'r',t,dp(:,1),'b','linewidth',2);
xlabel('time(s)');ylabel('input disturbance');
```

13.3 基于状态观测器的输入延迟控制

13.3.1 系统描述

考虑具有控制输入延迟的系统如下：

$$\ddot{q} + a\dot{q} + bq = u(t - \tau) \quad (13.20)$$

其中, $\tau > 0$, τ 为延迟时间常数。

考虑具有控制输入延迟的系统：

$$\begin{cases} \dot{q} = Aq + Bu(t - \tau) \\ y = Cq \end{cases} \quad (13.21)$$

其中, $q = [q_1 \quad q_2]^T$, $\tau > 0$ 为时间延迟常数, $A = \begin{bmatrix} 0 & 1 \\ -b & -a \end{bmatrix}$, $B = [0 \quad 1]^T$, $C = [1 \quad 0]$ 。

控制目标为：在只有 q_1 为可测时, 当 $t \rightarrow \infty$ 时, $q \rightarrow 0$ 。

13.3.2 控制器的设计与分析

为了实现无需 q_2 的控制, 设计状态观测器为：

$$\dot{z} = Az + Bu(t - \tau) + L(y - z_1) \quad (13.22)$$

其中, $z = [z_1 \quad z_2]^T$, $L = [l_1 \quad l_2]^T$ 。

令 $e = q - z$, 则

$$\begin{aligned} \dot{z} &= Az + Bu(t - \tau) + LCe \\ \dot{e} &= Ae - LCe = (A - LC)e = A_L e \end{aligned}$$

其中, $A_L = A - LC$ 。

按负定设计 A_L , 便可以实现 $t \rightarrow \infty$ 时, $e \rightarrow 0$, 即 $z_1 \rightarrow q_1$, $z_2 \rightarrow q_2$ 。

定义辅助变量如下：

$$r = -K^T(z + Be_z) \quad (13.23)$$

其中, $K = [k_1 \quad k_2]^T$, $k_i > 0$, $i = 1, 2$ 。

定义

$$e_z = \int_{t-\tau}^t u(\theta) d\theta \quad (13.24)$$

设计控制律为

$$u(t) = k \tanh r \quad (13.25)$$

其中, $k > 0$ 。

则

$$\begin{aligned}\dot{r} &= -\mathbf{K}^T(\dot{z} + \mathbf{B}\dot{e}_z) \\ &= -\mathbf{K}^T[\mathbf{A}z + \mathbf{B}u(t-\tau) + \mathbf{L}\mathbf{C}e + \mathbf{B}u(t) - \mathbf{B}u(t-\tau)] \\ &= -\mathbf{K}^T[\mathbf{A}z + \mathbf{L}\mathbf{C}e + \mathbf{B}u(t)] \\ &= -\mathbf{K}^T[\mathbf{A}z + \mathbf{L}\mathbf{C}e + \mathbf{B}k \tanh(r)]\end{aligned}$$

设计 Lyapunov 函数为

$$V = \frac{1}{2}\eta r^2 + \frac{1}{2}\mathbf{e}^T \mathbf{R} \mathbf{e} + P \quad (13.26)$$

其中, $P = \omega \int_{t-\tau}^t \left(\int_s^t u^2(\theta) d\theta \right) ds$, $\eta > 0$, $\mathbf{R} > 0$, $\omega > 0$ 。

根据引理 13.1(见本章附录),对 P 求导得

$$\dot{P} = \omega \tau u^2 - \omega \int_{t-\tau}^t u^2(\theta) d\theta \quad (13.27)$$

对 V 求导,可得

$$\begin{aligned}\dot{V} &= \eta r \dot{r} + \mathbf{e}^T \mathbf{R} \dot{\mathbf{e}} + \dot{P} \\ &= -\eta r \mathbf{K}^T(\mathbf{A}z + \mathbf{L}\mathbf{C}e + \mathbf{B}k \tanh r) + \mathbf{e}^T \mathbf{R} \mathbf{A}_L \mathbf{e} + \omega \tau u^2 - \omega \int_{t-\tau}^t u^2(\theta) d\theta \\ &= -\eta \mathbf{K}^T \mathbf{B} k r \tanh r - \eta r \mathbf{K}^T(\mathbf{A}z + \mathbf{L}\mathbf{C}e) + \mathbf{e}^T \mathbf{R} \mathbf{A}_L \mathbf{e} + \omega \tau u^2 - \omega \int_{t-\tau}^t u^2(\theta) d\theta\end{aligned}$$

由于双曲正切函数满足 $|\tanh x| \leq |x|^{[1]}$, $x \tanh x = x \frac{e^x - e^{-x}}{e^x + e^{-x}} \geq 0$, 则有

$$0 \leq \tanh^2 r \leq r \tanh r$$

根据 Cauchy-Schwartz 不等式,有

$$e_z^2 \leq \tau \int_{t-\tau}^t u^2(\theta) d\theta \quad (13.28)$$

则

$$-\omega \int_{t-\tau}^t u^2(\theta) d\theta \leq -\frac{\omega}{\tau} e_z^2$$

$$\begin{aligned}\dot{V} &\leq -\eta k \mathbf{K}^T \mathbf{B} \tanh^2 r - \eta r \mathbf{K}^T(\mathbf{A}z + \mathbf{L}\mathbf{C}e) + \mathbf{e}^T \mathbf{R} \mathbf{A}_L \mathbf{e} + \omega \tau k^2 \tanh^2 r - \frac{\omega}{\tau} e_z^2 \\ &= (\omega \tau k^2 - \eta k \mathbf{K}^T \mathbf{B}) \tanh^2 r - \eta [-\mathbf{K}^T(z + \mathbf{B}e_z)] \mathbf{K}^T(\mathbf{A}z + \mathbf{L}\mathbf{C}e) + \mathbf{e}^T \mathbf{R} \mathbf{A}_L \mathbf{e} - \frac{\omega}{\tau} e_z^2 \\ &= (\omega \tau k^2 - \eta k \mathbf{K}^T \mathbf{B}) \tanh^2 r + \eta (z + \mathbf{B}e_z)^T \mathbf{K} \mathbf{K}^T(\mathbf{A}z + \mathbf{L}\mathbf{C}e) + \mathbf{e}^T \mathbf{R} \mathbf{A}_L \mathbf{e} - \frac{\omega}{\tau} e_z^2 \\ &= (\omega \tau k^2 - \eta k \mathbf{K}^T \mathbf{B}) \tanh^2 r + \eta z^T \mathbf{K} \mathbf{K}^T \mathbf{A}z + \eta z^T \mathbf{K} \mathbf{K}^T \mathbf{L}\mathbf{C}e + \\ &\quad \eta e_z^T \mathbf{B}^T \mathbf{K} \mathbf{K}^T \mathbf{A}z + \eta e_z^T \mathbf{B}^T \mathbf{K} \mathbf{K}^T \mathbf{L}\mathbf{C}e + \mathbf{e}^T \mathbf{R} \mathbf{A}_L \mathbf{e} - \frac{\omega}{\tau} e_z^2\end{aligned}$$

由于

$$\begin{aligned}\eta e_z^T \mathbf{B}^T \mathbf{K} \mathbf{K}^T \mathbf{A}z &= \eta z^T \mathbf{A}^T \mathbf{K} \mathbf{K}^T \mathbf{B} e_z \\ \eta e_z^T \mathbf{B}^T \mathbf{K} \mathbf{K}^T \mathbf{L}\mathbf{C}e &= \eta e^T \mathbf{C}^T \mathbf{L}^T \mathbf{K} \mathbf{K}^T \mathbf{B} e_z\end{aligned}$$

则

$$\begin{aligned}\dot{V} \leq & (\omega\tau k^2 - \eta k K^T B) \tanh^2 r + \eta z^T K K^T A z + \eta z^T K K^T L C e + \\ & \eta z^T A^T K K^T B e_z + \eta e^T C^T L^T K K^T B e_z + e^T R A_L e - \frac{\omega}{\tau} e_z^2\end{aligned}$$

从而

$$\begin{aligned}\dot{V} & \leq \beta^T W \beta \\ \beta & = [\tanh r \quad z^T \quad e^T \quad e_z^T]^T \\ W & = \begin{bmatrix} \omega\tau k^2 - \eta k K^T B & 0 & 0 & 0 \\ 0 & \eta K K^T A & \eta K K^T L C & \eta A^T K K^T B \\ 0 & 0 & R A_L & \eta C^T L^T K K^T B \\ 0 & 0 & 0 & -\frac{\omega}{\tau} \end{bmatrix}\end{aligned}\quad (13.29)$$

若存在 $\eta > 0, \omega > 0, K > 0, R$ 正定, $k > 0$ 使得 W 负定, 则存在 $\kappa > 0$, 使 $\dot{V} \leq -\kappa \|\beta\|^2$ 。根据 Lyapunov-Krasovskii 稳定性定理得, z 和 e 都为渐进稳定, 则状态变量 $q = z + e$ 全局一致渐进稳定, $\tau \rightarrow \infty$ 时, $q \rightarrow 0$ 。

由 W 的表达式可见, 参数 η, ω, R, K 和 k 的选取会影响系统的收敛性。

13.3.3 仿真实例

针对模型式(13.20), 取 $a = 1.2, b = 0.1, \tau = 3.0$, 被控对象初值取 $[1 \quad 0]$ 。状态观测器采用式(13.22), 初始值取 $[0 \quad 0]$ 。

采用 fmincon 函数进行优化, 参数 $[\eta, R_{11}, R_{12}, R_{21}, R_{22}, \omega, l_1, l_2, k_1, k_2, k]$ 的约束都取 $[0 \quad 10]$, 采用 fmincon 函数按满足参数约束范围及 W 为负定来进行优化求解, 可得满足 W 负定的一组参数为: $[\eta_1, \eta_2, \eta_3, \omega, K, k_1, k_2, k] = [1.1089 \quad 1.0266 \quad 1.0266 \quad 1.0266 \quad 1.0266 \quad 0.8197 \quad 0.4601 \quad 0.4601 \quad 0.4601 \quad 0.5527 \quad 0.2261]$, 此时 W 特征值的最大值为 -1.2527 。从而可得 $k = 0.2261$, 采用控制律式(13.25), 则 $|u| \leq 0.2261$ 。仿真结果如图 13-6 和图 13-7 所示。

仿真实例如下。

1. fmincon 求解程序

(1) 主程序: chap13_3main.m。

```
clear all;
close all;

a = 1.2;
b = 0.1;
tau = 0.10;
% 初始值 xite, R11, R12, R21, R22, w, L1, L2, k1, k2, k
x0 = zeros(11,1);
% 三个参数的范围, 分别的最小值和最大值
x_min = zeros(11,1);
x_max = 10 * ones(11,1);
x_max(end-4:end) = ones(5,1);
```

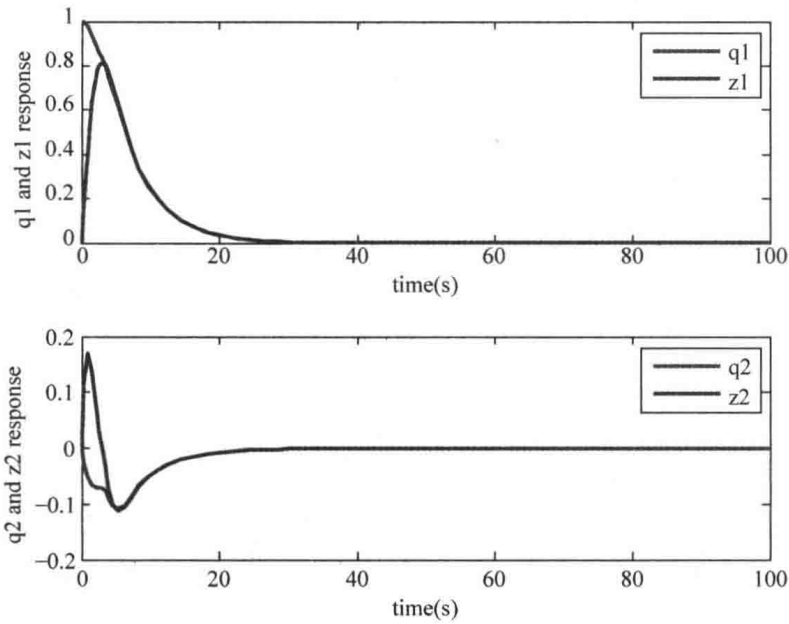


图 13-6 状态观测及状态响应

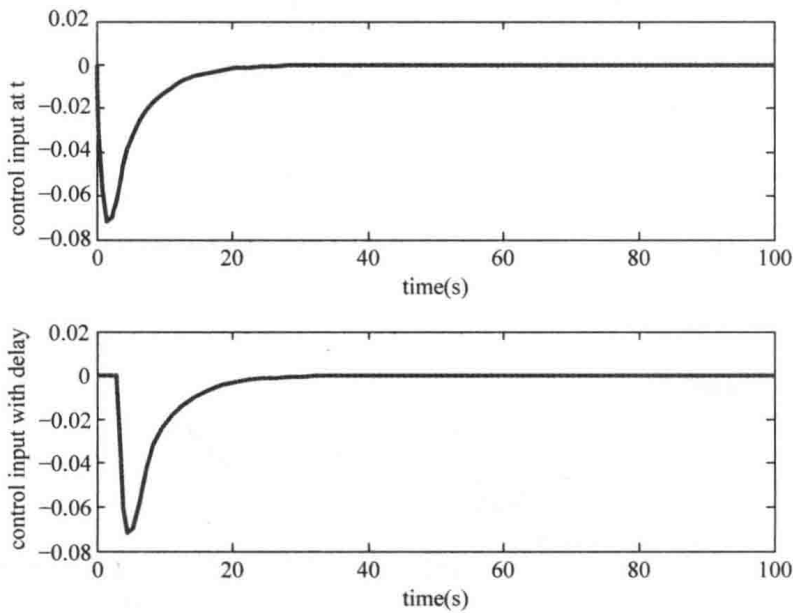


图 13-7 控制输入

```
p = [a,b,tau];
kk = fmincon(@(x)chap13_3func(p,x),x0,[],[],[],[],x_min,x_max)
chap13_3func(p,kk)

save delay_file3 kk;
```

(2) 子程序: chap13_3func.m。

```
function eig_max = max_eig_new(p1,x);
a = p1(1);
```

```

b = p1(2);
tau = p1(3);

A = [0 1; -b -a];
B = [0;1];
C = [1 0];

xite = x(1);
R = [x(2) x(3);x(4) x(5)];
w = x(6);
L = [x(7);x(8)];
K = [x(9);x(10)];
k = x(11);
AL = A - L * C;
ei_AL = eig(AL);

W0_2_2 = zeros(2,2);
W0_2_1 = zeros(2,1);
W0_1_2 = zeros(1,2);

W1 = [w * tau * k^2 - xite * k * K' * B W0_1_2 W0_1_2 0];
W2 = [W0_2_1 xite * K * K' * A xite * K * K' * L * C xite * A' * K * K' * B];
W3 = [W0_2_1 W0_2_2 R * AL xite * C' * L' * K * K' * B];
W4 = [0 W0_1_2 W0_1_2 -w/tau];

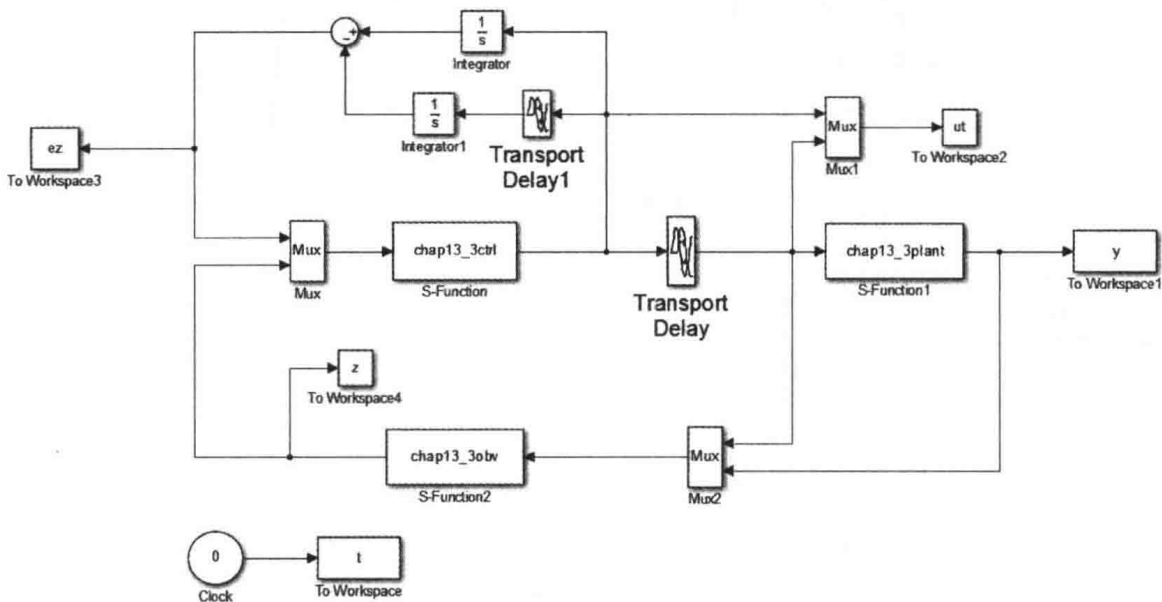
W = [W1;W2;W3;W4];

eig_value = eig(W);
eig_max = max(real(eig_value));
end

```

2. 控制系统仿真程序

(1) 控制系统 Simulink 主程序：chap13_3sim.mdl。



(2) 控制器 S 函数程序: chap13_3ctrl.m。

```
function [sys,x0,str,ts] = spacemodel(t,x,u,flag)
switch flag,
case 0,
    [sys,x0,str,ts] = mdlInitializeSizes;
case 1,
    sys = mdlDerivatives(t,x,u);
case 3,
    sys = mdlOutputs(t,x,u);
case {2,4,9}
    sys = [];
otherwise
    error(['Unhandled flag = ',num2str(flag)]);
end
function [sys,x0,str,ts] = mdlInitializeSizes
sizes = simsizes;
sizes.NumContStates = 0;
sizes.NumDiscStates = 0;
sizes.NumOutputs = 1;
sizes.NumInputs = 3;
sizes.DirFeedthrough = 1;
sizes.NumSampleTimes = 1;
sys = simsizes(sizes);
x0 = [];
str = [];
ts = [0 0];
function sys = mdlOutputs(t,x,u)
persistent kk
ez = u(1);
z = [u(2);u(3)];

if t==0
    load delay_file;
end
B = [0;1];
K = [kk(9); kk(10)];
k = kk(11);

r = -K' * (z + B * ez);
ut = k * tanh(r);
% ut = r;

sys(1) = ut;
```

(3) 观测器 S 函数程序: chap13_3obv.m。

```
function [sys,x0,str,ts] = s_function(t,x,u,flag)
switch flag,
case 0,
    [sys,x0,str,ts] = mdlInitializeSizes;
```

```

case 1,
    sys = mdlDerivatives(t,x,u);
case 3,
    sys = mdlOutputs(t,x,u);
case {2, 4, 9}
    sys = [];
otherwise
    error(['Unhandled flag = ',num2str(flag)]);
end
function [sys,x0,str,ts] = mdlInitializeSizes
sizes = simsizes;
sizes.NumContStates = 2;
sizes.NumDiscStates = 0;
sizes.NumOutputs = 2;
sizes.NumInputs = 3;
sizes.DirFeedthrough = 1;
sizes.NumSampleTimes = 0;
sys = simsizes(sizes);
x0 = [0 0];
str = [];
ts = [];
function sys = mdlDerivatives(t,x,u)
persistent kk
if t == 0
    load delay_file;
end
L = [kk(7);kk(8)];

a = 1.2;
b = 0.1;
A = [0 1; -b -a];

B = [0;1];
C = [1 0];

z = [x(1);x(2)];
u_tol = u(1);
q = [u(2);u(3)];

e = q - z;

dz = A * z + B * u_tol + L * C * e;
sys(1) = dz(1);
sys(2) = dz(2);
function sys = mdlOutputs(t,x,u)

sys(1) = x(1);
sys(2) = x(2);

```

(4) 被控对象 S 函数程序: chap13_3plant.m。

```
function [sys,x0,str,ts] = s_function(t,x,u,flag)
switch flag,
case 0,
    [sys,x0,str,ts] = mdlInitializeSizes;
case 1,
    sys = mdlDerivatives(t,x,u);
case 3,
    sys = mdlOutputs(t,x,u);
case {2, 4, 9 }
    sys = [];
otherwise
    error(['Unhandled flag = ',num2str(flag)]);
end
function [sys,x0,str,ts] = mdlInitializeSizes
sizes = simsizes;
sizes.NumContStates = 2;
sizes.NumDiscStates = 0;
sizes.NumOutputs = 2;
sizes.NumInputs = 1;
sizes.DirFeedthrough = 0;
sizes.NumSampleTimes = 0;
sys = simsizes(sizes);
x0 = [1.0 0];
str = [];
ts = [];
function sys = mdlDerivatives(t,x,u)
a = 1.2;
b = 0.1;
u_tol = u(1);

sys(1) = x(2);
sys(2) = -a * x(2) - b * x(1) + u_tol;
function sys = mdlOutputs(t,x,u)
sys(1) = x(1);
sys(2) = x(2);
```

(5) 作图程序: chap13_3plot.m。

```
close all;

figure(1);
subplot(211);
plot(t,y(:,1),'r',t,z(:,1),'b','linewidth',2);
xlabel('time(s)');ylabel('q1 and z1 response');
legend('q1','z1');
subplot(212);
plot(t,y(:,2),'r',t,z(:,2),'b','linewidth',2);
xlabel('time(s)');ylabel('q2 and z2 response');
legend('q2','z2');
```



```
figure(2);
subplot(211);
plot(t, ut(:,1), 'r', 'linewidth', 2);
xlabel('time(s)'); ylabel('control input at t');
subplot(212);
plot(t, ut(:,2), 'r', 'linewidth', 2);
xlabel('time(s)'); ylabel('control input with delay');
```

附录

针对如下含有参变数积分限的积分

$$\psi(u) = \int_{p(u)}^{q(u)} f(x, u) dx$$

有如下引理:

引理 13.1^[2] 如果函数 f 和 $\frac{\partial f}{\partial u}$ 都在闭矩形 $I = [a, b] \times [\alpha, \beta]$ 上连续, 函数 $p(u)$, $q(u)$ 都在 $[\alpha, \beta]$ 上可微, 而且当 $\alpha \leq u \leq \beta$ 时, $a \leq p(u) \leq b$, $a \leq q(u) \leq b$, 那么由上式确定的函数 ψ 在 $[\alpha, \beta]$ 上可微, 而且

$$\psi'(u) = \int_{p(u)}^{q(u)} \frac{\partial f(x, u)}{\partial u} dx + f(q(u), u)q'(u) - f(p(u), u)p'(u)$$

取 $V = \omega \int_{t-\tau}^t \left(\int_s^t u^2(\xi) d\xi \right) ds$, 令 $A(s) = \int_s^t u^2(\xi) d\xi$, 则 $V = \omega \int_{t-\tau}^t A(s) ds$

$$\dot{V} = \omega \int_{t-\tau}^t \left[\frac{\partial}{\partial t} A(s) \right] ds + \omega A(t) \frac{d}{dt}(t) - \omega A(t-\tau) \frac{d}{dt}(t-\tau)$$

$$= \omega \int_{t-\tau}^t u^2(t) ds - \omega \int_{t-\tau}^t u^2(\xi) d\xi + 0$$

$$= \omega \tau u^2(t) - \omega \int_{t-\tau}^t u^2(\xi) d\xi$$

其中, $A(t-\tau) \frac{d}{dt}(t-\tau) = A(t-\tau) = \int_{t-\tau}^t u^2(\xi) d\xi$ 。

参考文献

- [1] Fischer N, Dani A, Sharma N, et al. Saturated control of an uncertain Euler-Lagrange system with input delay [C]//2011 50th IEEE Conference on Decision and Control and European Control Conference, 2011: 7587-7592.
- [2] 常庚哲, 史济怀. 数学分析教程(下册)[M]. 北京: 高等教育出版社, 2003.

网络控制是控制理论的发展热点,在网络控制中,信道容量约束会产生量化等一系列问题,经量化后的系统应在通信速率尽可能小的情况下,仍能保持系统稳定并满足可接受的控制精度。量化控制系统设计通过将控制与通信相结合来解决大量运用网络信息技术的现代运动系统相关控制问题。采用量化控制方法,通过将控制与通信相结合,可以解决运用网络技术进行信号传输的控制问题。

14.1 基于执行器容错的控制输入量化控制

14.1.1 系统描述

考虑如下模型

$$\begin{cases} \dot{x}_1 = x_2 \\ \dot{x}_2 = \tau \end{cases} \quad (14.1)$$

其中, $\tau = Q(u)$, $Q(u)$ 为控制输入 u 的量化值。

采用随机量化器^[1,2]

$$Q(u) = k \text{round}\left(\frac{u}{k}\right) \quad (14.2)$$

其中, k 为量化水平, $k > 0$ 。

考虑到执行器存在部分失效的情况,实际控制输入为

$$\tau = \eta Q(u), \quad \eta \in (0, 1) \quad (14.3)$$

取 x_1 的指令为 $x_d = \sin t$, 则误差及其导数为 $e = x_1 - \sin t$, $\dot{e} = x_2 - \cos t$ 。控制目标为位置及速度跟踪, 即当 $t \rightarrow \infty$ 时, $e \rightarrow 0$, $\dot{e} \rightarrow 0$ 。

14.1.2 量化控制器的设计与分析

令 $Q(u) = q_1(t)u + q_2(t)$ ^[3], 取

$$q_1(t) = \begin{cases} \frac{Q(u(t))}{u(t)}, & |u(t)| \geq a \\ 1, & |u(t)| < a \end{cases} \quad (14.4)$$

$$q_2(t) = \begin{cases} 0, & |u(t)| \geq a \\ Q(u(t)) - u(t), & |u(t)| < a \end{cases} \quad (14.5)$$

针对量化器,有以下两点说明:

(1) 由于量化过程符号不变,则根据式(14.3)可知 $q_1(t) > 0$ 。

(2) 由于当 $|u(t)| < a$ 时, $Q(u)$ 有界, $q_1(t) = 1$, 从而 $q_2(t)$ 有界, 可取 $|q_2(t)| \leq \bar{q}_2$ 。

取滑模函数为

$$s = ce + \dot{e}$$

其中, $c > 0$ 。

则

$$\begin{aligned} \dot{s} &= c\dot{e} + \ddot{e} = \tau(Q) - \ddot{x}_d + c\dot{e} = \eta Q - \ddot{x}_d + c\dot{e} = \eta q_1 u + \eta q_2 - \ddot{x}_d + c\dot{e} \\ &= \theta u + \eta q_2 - \ddot{x}_d + c\dot{e} \end{aligned}$$

其中, $\theta = \eta q_1$ 。

$$\begin{aligned} s\dot{s} &= s(\theta u + \eta q_2 - \ddot{x}_d + c\dot{e}) = s\theta u + s\eta q_2 + s(c\dot{e} - \ddot{x}_d) \\ &\leq s\theta u + c_1 s^2 + \frac{1}{c_1} \bar{q}_2^2 + s(c\dot{e} - \ddot{x}_d) = s(-ls + ls + c_1 s + c\dot{e} - \ddot{x}_d) + s\theta u + \frac{1}{c_1} \bar{q}_2^2 \end{aligned}$$

其中, $s\eta q_2 \leq c_1 s^2 + \frac{1}{4c_1} \bar{q}_2^2$, $c_1 > 0$ 用于调节收敛误差。

取 $\bar{u} = ls + \frac{1}{c_1} s + c\dot{e} - \ddot{x}_d$, $l > 0$, 则

$$s\dot{s} \leq -ls^2 + s\bar{u} + s\theta u + \frac{1}{4c_1} \bar{q}_2^2$$

针对上式分析如下:

(1) 由于 θ 未知, 为此要对 θ 进行估计。

(2) 针对时变参数 $\theta = \sigma q_1$ 的自适应估计, 由于该参数无法求导, 需要对其界进行估计。

针对时变增益 $\theta = \sigma q_1$, 取 $\mu = \frac{1}{\theta_{\min}}$, 其中, θ_{\min} 为 θ 的下界, 设计如下 Lyapunov 函数为

$$V = \frac{1}{2} s^2 + \frac{1}{2\gamma\mu} \bar{\mu}^2$$

其中, $\gamma > 0$, $\bar{\mu} = \hat{\mu} - \mu$, 由 $\theta > 0$ 可知 $\mu > 0$ 。

则

$$\dot{V} = s\dot{s} + \frac{1}{\gamma\mu} \bar{\mu} \dot{\bar{\mu}} \leq -ls^2 + s\bar{u} + s\theta u + \frac{1}{4c_1} \bar{q}_2^2 + \frac{1}{\gamma\mu} \bar{\mu} \dot{\bar{\mu}}$$

设计控制律和自适应律为

$$u = - \frac{s\hat{\mu}^2 \bar{u}^2}{|s\hat{\mu}\bar{u}| + \rho} \quad (14.6)$$

$$\dot{\hat{\mu}} = \gamma s \bar{u} - \gamma \alpha \hat{\mu} \quad (14.7)$$

其中, $\rho > 0, \alpha > 0$ 。

则

$$\dot{V} \leq -ls^2 + s\bar{u} - \theta \frac{s^2 \hat{\mu}^2 \bar{u}^2}{|s\hat{\mu}\bar{u}| + \rho} + \frac{1}{4c_1} \bar{q}_2^2 + \frac{1}{\gamma\mu} (\gamma s\bar{u} - \gamma\alpha\hat{\mu})$$

由于 $|a| - \frac{a^2}{\rho + |a|} = \frac{\rho|a|}{\rho + |a|} < \rho$, 则 $-\frac{a^2}{\rho + |a|} < \rho - |a| \leq \rho \pm a$, 取 $a = s\hat{\mu}\bar{u}$, 则

$$-\frac{(s\hat{\mu}\bar{u})^2}{\rho + |s\hat{\mu}\bar{u}|} \leq \rho - s\hat{\mu}\bar{u}$$

考虑到 $\theta \geq \theta_{\min} = \frac{1}{\mu} > 0$, 则

$$\begin{aligned} -\theta \frac{s^2 \hat{\mu}^2 \bar{u}^2}{|s\hat{\mu}\bar{u}| + \rho} &\leq \frac{1}{\mu} (\rho - s\hat{\mu}\bar{u}) \\ \dot{V} &\leq -ls^2 + s\bar{u} + \frac{1}{\mu} (\rho - s\hat{\mu}\bar{u}) + \frac{1}{4c_1} \bar{q}_2^2 + \frac{1}{\mu} \bar{\mu}s\bar{u} - \frac{1}{\mu} \bar{\mu}\alpha\hat{\mu} \\ &= -ls^2 + s\bar{u} + \frac{1}{4c_1} \bar{q}_2^2 + \frac{1}{\mu} \rho - \frac{1}{\mu} (\hat{\mu}s\bar{u} - \bar{\mu}s\bar{u}) - \frac{1}{\mu} \bar{\mu}\alpha\hat{\mu} \\ &= -ls^2 + \frac{1}{4c_1} \bar{q}_2^2 + \frac{1}{\mu} \rho - \frac{1}{\mu} \bar{\mu}\alpha\hat{\mu} \end{aligned}$$

由于

$$-\bar{\mu}\hat{\mu} = -\bar{\mu}(\bar{\mu} + \mu) = -\bar{\mu}^2 - \bar{\mu}\mu \leq -\bar{\mu}^2 + \frac{1}{2}\bar{\mu}^2 + \frac{1}{2}\mu^2 = -\frac{1}{2}\bar{\mu}^2 + \frac{1}{2}\mu^2$$

则 $-\frac{1}{\mu} \bar{\mu}\alpha\hat{\mu} = -\frac{\alpha}{2\mu} \bar{\mu}^2 + \frac{\alpha}{2}\mu$, 从而

$$\dot{V} \leq -ls^2 + \frac{1}{c_1} \bar{q}_2^2 + \frac{1}{\mu} \rho - \frac{1}{2\mu} \alpha \bar{\mu}^2 + \frac{1}{2} \alpha \mu \leq -ls^2 - \frac{1}{2\mu} \alpha \bar{\mu}^2 + d \leq -cV + d$$

其中, $d = \frac{1}{4c_1} \bar{q}_2^2 + \frac{1}{\mu} \rho + \frac{1}{2} \alpha \mu$, $\lambda = \min\{2l, \gamma\alpha\}$ 。

求解不等式 $\dot{V} \leq -\lambda V + d$, 可得

$$0 \leq V(t) \leq \left(V(0) - \frac{d}{\lambda}\right) e^{-\lambda t} + \frac{d}{\lambda}$$

取极限可得

$$\lim_{t \rightarrow +\infty} V(t) \leq \frac{d}{\lambda} \quad (14.8)$$

可见, 如果 λ 足够大 d 足够小, 则 $t \rightarrow \infty$ 时, $V(t) \rightarrow 0$, 从而 $S \rightarrow 0, e \rightarrow 0, \dot{e} \rightarrow 0$ 。

14.1.3 仿真实例

被控对象取式(14.1), 位置指令为 $x_d = \sin t$, 采用量化器式(14.2)实现控制输入的量化, $k = 5.0$ 。采用控制器式(14.3)、式(14.6)和自适应律式(14.7), 取 $\hat{\mu}(0) = 0$, 取 $c = 15, l = 15, c_1 = 10, \rho = 0.02, \alpha = 0.20, \gamma = 2.0, \eta = 0.40$, 仿真结果如图 14-1~图 14-3 所示。

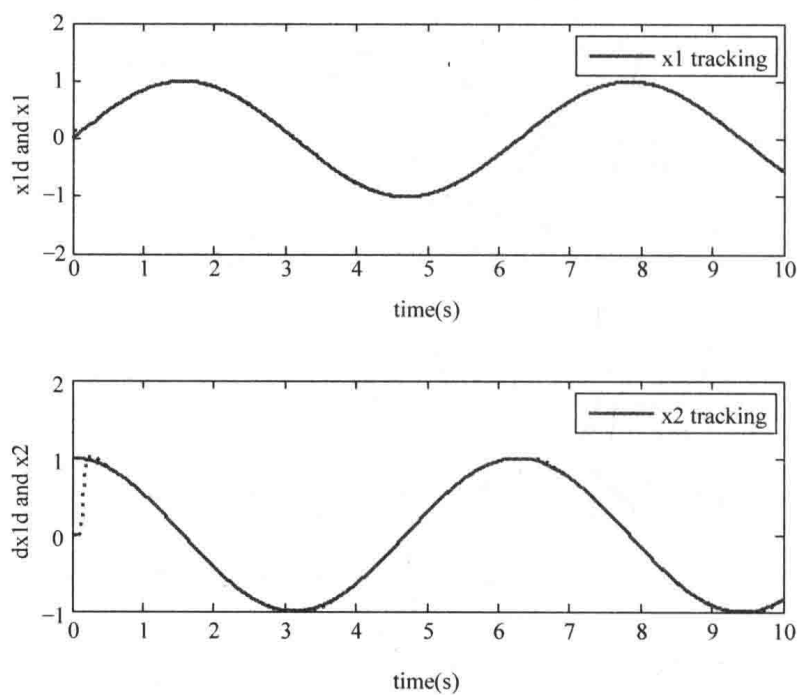


图 14-1 状态的跟踪

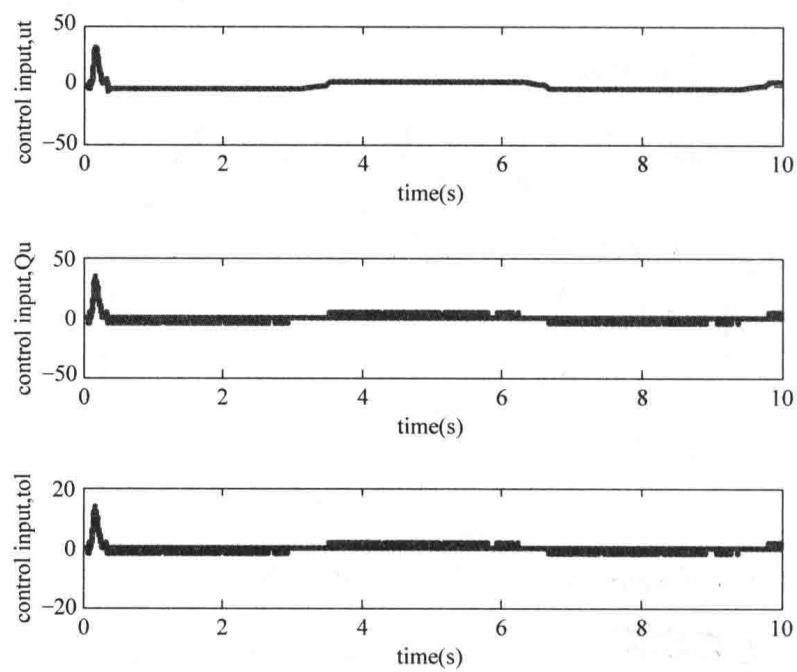


图 14-2 控制输入及量化输入变化

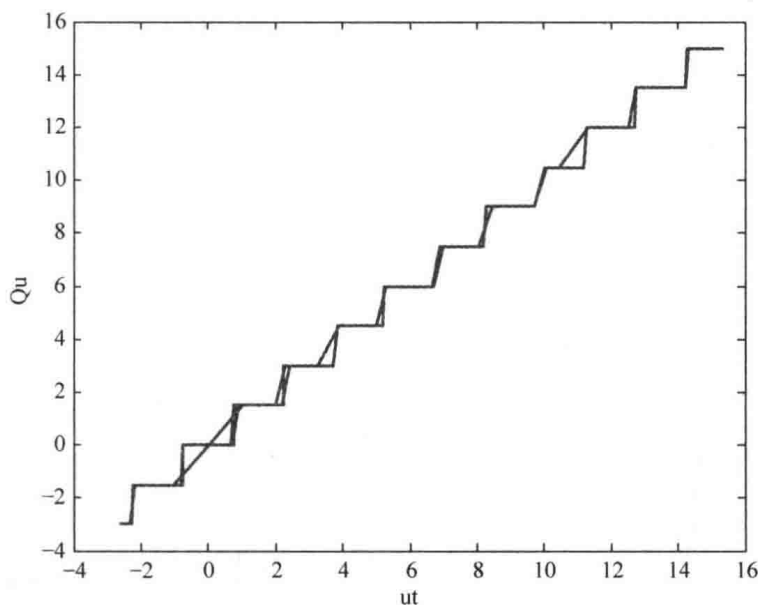
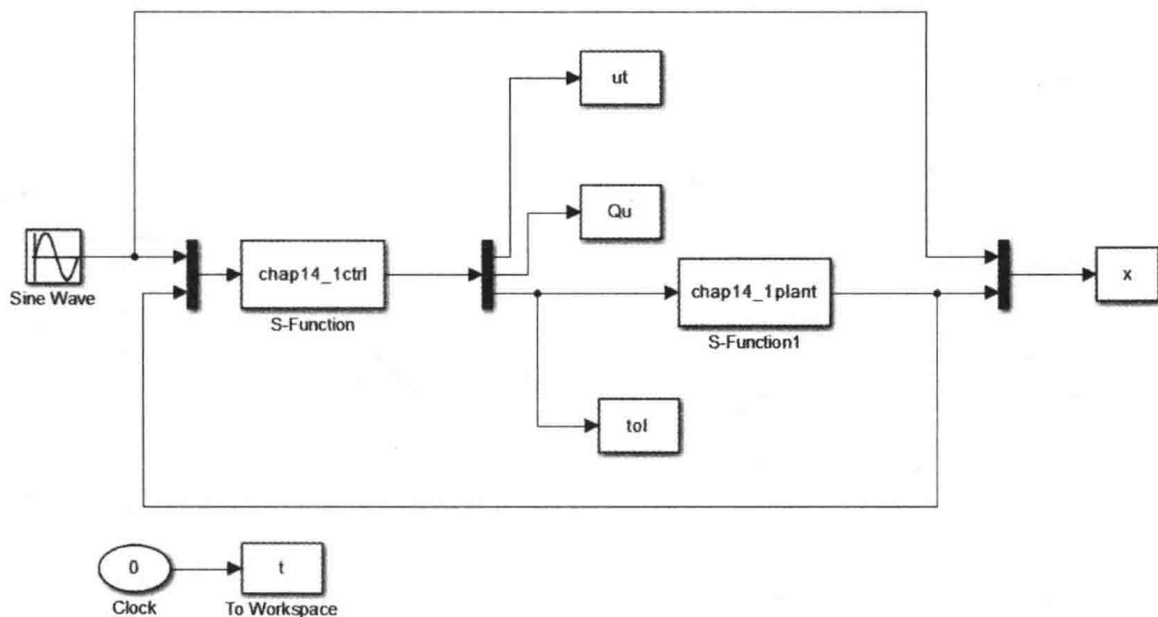


图 14-3 控制输入和量化输入之间的关系

仿真程序如下：

(1) Simulink 主程序：chap14_1sim.mdl。



(2) 控制器子程序：chap14_1ctrl.m。

```
function [sys,x0,str,ts] = model(t,x,u,flag)
switch flag,
case 0,
    [sys,x0,str,ts] = mdlInitializeSizes;
case 1,
    sys = mdlDerivatives(t,x,u);
case 3,
```

```

        sys = mdlOutputs(t,x,u);
    case {1,2,4,9}
        sys = [];
    otherwise
        error(['Unhandled flag = ',num2str(flag)]);
    end
function [sys,x0,str,ts] = mdlInitializeSizes
global c l
sizes = simsizes;
sizes.NumContStates = 1;
sizes.NumDiscStates = 0;
sizes.NumOutputs = 3;
sizes.NumInputs = 3;
sizes.DirFeedthrough = 1;
sizes.NumSampleTimes = 0;
sys = simsizes(sizes);
x0 = [0];
str = [];
ts = [];
c = 15;l = 15;
function sys = mdlDerivatives(t,x,u)
global c l
xd = u(1);
dxd = cos(t);ddxd = -sin(t);

x1 = u(2);x2 = u(3);
e = x1 - xd;
de = x2 - dxd;
s = c * e + de;

gama = 2;
alfa = 0.20;

c1 = 2.0;
u_bar = l * s + 1/c1 * s + c * de - ddxd;

dmiu = gama * s * u_bar - gama * alfa * x(1);
sys(1) = dmiu;
function sys = mdlOutputs(t,x,u)
global c l
xd = u(1);
dxd = cos(t);ddxd = -sin(t);

x1 = u(2);x2 = u(3);
e = x1 - xd;
de = x2 - dxd;
s = c * e + de;

c1 = 2.0;
u_bar = l * s + 1/c1 * s + c * de - ddxd;
rho = 0.020;

```

```
ut = -s * x(1)^2 * u_bar^2 / (abs(s * x(1) * u_bar) + rho);
```

```
k = 5;
```

```
Qu = k * round(ut/k);
```

```
xite = 0.40;
```

```
tol = xite * Qu;
```

```
sys(1) = ut;
```

```
sys(2) = Qu;
```

```
sys(3) = tol;
```

(3) 被控对象子程序: chap14_1plant.m。

```
function [sys,x0,str,ts] = s_function(t,x,u,flag)
```

```
switch flag,
```

```
case 0,
```

```
    [sys,x0,str,ts] = mdlInitializeSizes;
```

```
case 1,
```

```
    sys = mdlDerivatives(t,x,u);
```

```
case 3,
```

```
    sys = mdlOutputs(t,x,u);
```

```
case {2, 4, 9 }
```

```
    sys = [];
```

```
otherwise
```

```
    error(['Unhandled flag = ',num2str(flag)]);
```

```
end
```

```
function [sys,x0,str,ts] = mdlInitializeSizes
```

```
sizes = simsizes;
```

```
sizes.NumContStates = 2;
```

```
sizes.NumDiscStates = 0;
```

```
sizes.NumOutputs = 2;
```

```
sizes.NumInputs = 1;
```

```
sizes.DirFeedthrough = 0;
```

```
sizes.NumSampleTimes = 0;
```

```
sys = simsizes(sizes);
```

```
x0 = [0.150 0];
```

```
str = [];
```

```
ts = [];
```

```
function sys = mdlDerivatives(t,x,u)
```

```
Qu = u(1);
```

```
sys(1) = x(2);
```

```
sys(2) = Qu;
```

```
function sys = mdlOutputs(t,x,u)
```

```
sys(1) = x(1);
```

```
sys(2) = x(2);
```

(4) 作图子程序: chap14_1plot.m。

```
close all;
```

```
figure(1);
```

```
subplot(211);
```



```

plot(t,x(:,1),'r',t,x(:,2),':','linewidth',2);
xlabel('time(s)');ylabel('x1d and x1');
legend('x1 tracking');
subplot(212);
plot(t,cos(t),'r',t,x(:,3),':','linewidth',2);
xlabel('time(s)');ylabel('dx1d and x2');
legend('x2 tracking');

figure(2);
subplot(311);
plot(t,ut(:,1),'r','linewidth',2);
xlabel('time(s)');ylabel('control input,ut');
subplot(312);
plot(t,Qu(:,1),'r','linewidth',2);
xlabel('time(s)');ylabel('control input,Qu');
subplot(313);
plot(t,tol(:,1),'r','linewidth',2);
xlabel('time(s)');ylabel('control input,tol');

figure(3);
plot(ut(:,1),Qu(:,1),'r','linewidth',2);
xlabel('ut');ylabel('Qu');

```

14.2 基于状态观测器的输入量化反馈控制

14.2.1 系统描述

考虑如下模型

$$\begin{aligned}
 \dot{x}_1 &= x_2 \\
 \dot{x}_2 &= \tau \\
 y &= x_1
 \end{aligned} \tag{14.9}$$

其中, $\tau = Q(u)$, $Q(u)$ 为控制输入 u 的量化值。

采用随机量化器^[1-2]

$$Q(u) = \delta \text{round}\left(\frac{u}{\delta}\right) \tag{14.10}$$

其中, δ 为量化水平, $\delta > 0$ 。

针对输入量化问题, 假设只考虑输出 x_1 为可测, 实际控制输入为 $\tau = Q(u)$, u 为待设计的控制输入。取 $\mathbf{x} = [x_1 \ x_2]^T$, 控制目标为 $t \rightarrow \infty$ 时, $\mathbf{x} \rightarrow 0$ 。

14.2.2 控制器的设计与分析

引理 14.1 针对量化器 $Q(z)$, 有

$$|Q(z) - z| \leq |z| \tag{14.11}$$

引理 14.2 对于正定矩阵 P_1 和 P_2 , $A - Lc^T$ 和 $A - bK^T$ 满足 Hurwitz 条件, 则

$$(A - Lc^T)^T P_1 + P_1 (A - Lc^T) = -Q_1$$

$$(\mathbf{A} - \mathbf{b}\mathbf{K}^T)^T \mathbf{P}_2 + \mathbf{P}_2 (\mathbf{A} - \mathbf{b}\mathbf{K}^T) = -\mathbf{Q}_2 \quad (14.12)$$

其中, \mathbf{Q}_1 和 \mathbf{Q}_2 为正定矩阵, \mathbf{A} 、 \mathbf{L} 、 \mathbf{b} 、 \mathbf{c} 、 \mathbf{K} 满足引理 14.2 和式(14.19)。

设计状态观测器

$$\begin{cases} \dot{\hat{x}}_1 = \hat{x}_2 + l_1(x_1 - \hat{x}_1) \\ \dot{\hat{x}}_2 = v + l_2(x_1 - \hat{x}_1) \end{cases} \quad (14.13)$$

定义观测器增益 $\mathbf{L} = [l_1 \quad l_2]^T$ 。

设计控制律为

$$\begin{aligned} u &= -\mathbf{K}\hat{\mathbf{x}} \\ \tau &= \mathbf{Q}(u) \end{aligned} \quad (14.14)$$

其中, 控制增益 $\mathbf{K} = [k_1 \quad k_2]^T$, $\hat{\mathbf{x}} = [\hat{x}_1 \quad \hat{x}_2]^T$ 。

取 $\mathbf{e} = \mathbf{x} - \hat{\mathbf{x}}$, 则 $e_1 = x_1 - \hat{x}_1$, $e_2 = x_2 - \hat{x}_2$, 且

$$\begin{cases} \dot{e}_1 = e_2 - l_1 e_1 \\ \dot{e}_2 = \mathbf{Q}(u) - u - l_2 e_1 \end{cases}$$

即

$$\begin{bmatrix} \dot{e}_1 \\ \dot{e}_2 \end{bmatrix} = \begin{bmatrix} -l_1 & 1 \\ -l_2 & 0 \end{bmatrix} \begin{bmatrix} e_1 \\ e_2 \end{bmatrix} + \begin{bmatrix} 0 \\ 1 \end{bmatrix} (\mathbf{Q}(u) - u)$$

由于 $\mathbf{A} - \mathbf{L}\mathbf{c}^T = \begin{bmatrix} 0 & 1 \\ 0 & 0 \end{bmatrix} - \begin{bmatrix} l_1 \\ l_2 \end{bmatrix} \begin{bmatrix} 1 & 0 \end{bmatrix} = \begin{bmatrix} -l_1 & 1 \\ -l_2 & 0 \end{bmatrix}$, 从而

$$\dot{\mathbf{e}} = (\mathbf{A} - \mathbf{L}\mathbf{c}^T)\mathbf{e} + \mathbf{b}(\mathbf{Q}(u) - u) \quad (14.15)$$

其中, $\mathbf{A} = \begin{bmatrix} 0 & 1 \\ 0 & 0 \end{bmatrix}$, $\mathbf{L} = [l_1 \quad l_2]^T$, $\mathbf{b} = \begin{bmatrix} 0 \\ 1 \end{bmatrix}$, $\mathbf{c} = \begin{bmatrix} 1 \\ 0 \end{bmatrix}$ 。

由于 $\mathbf{L}(x_1 - \hat{x}_1) = \mathbf{L}e_1$, 且 $\begin{bmatrix} 0 & 1 \\ -k_1 & -k_2 \end{bmatrix} = \mathbf{A} - \mathbf{b}\mathbf{K}^T$, 则

$$\dot{\hat{\mathbf{x}}} = (\mathbf{A} - \mathbf{b}\mathbf{K}^T)\hat{\mathbf{x}} + \mathbf{L}e_1 \quad (14.16)$$

定义闭环系统 Lyapunov 函数为

$$V = V_1 + V_2$$

为了实现 $\mathbf{e} \rightarrow 0$, 定义第一个 Lyapunov 函数

$$V_1 = \mathbf{e}^T \mathbf{P}_1 \mathbf{e}$$

其中, \mathbf{P}_1 为对称正定矩阵。

由于

$$\begin{aligned} \dot{\mathbf{e}}^T \mathbf{P}_1 \mathbf{e} + \mathbf{e}^T \mathbf{P}_1 \dot{\mathbf{e}} &= [\mathbf{e}^T (\mathbf{A} - \mathbf{L}\mathbf{c}^T)^T + (\mathbf{Q}(u) - u)\mathbf{b}^T] \mathbf{P}_1 \mathbf{e} + \mathbf{e}^T \mathbf{P}_1 [(\mathbf{A} - \mathbf{L}\mathbf{c}^T)\mathbf{e} + \mathbf{b}(\mathbf{Q}(u) - u)] \\ &= \mathbf{e}^T [(\mathbf{A} - \mathbf{L}\mathbf{c}^T)^T \mathbf{P}_1 + \mathbf{P}_1 (\mathbf{A} - \mathbf{L}\mathbf{c}^T)] \mathbf{e} + 2\mathbf{e}^T \mathbf{P}_1 \mathbf{b} (\mathbf{Q}(u) - u) \end{aligned}$$

根据引理 14.2, 可得

$$\dot{V}_1 = -\mathbf{e}^T \mathbf{Q}_1 \mathbf{e} + 2\mathbf{e}^T \mathbf{P}_1 \mathbf{b} (\mathbf{Q}(u) - u) \quad (14.17)$$

为了实现 $\hat{\mathbf{x}} \rightarrow 0$, 定义第二个 Lyapunov 函数

$$V_2 = \hat{\mathbf{x}}^T \mathbf{P}_2 \hat{\mathbf{x}}$$

其中, P_2 为对称正定矩阵。

则根据引理 14.2, 可得

$$\begin{aligned}\dot{V}_2 &= \dot{\hat{x}}^T P_2 \hat{x} + \hat{x}^T P_2 \dot{\hat{x}} = ((A - bK^T) \hat{x} + Le_1)^T P_2 \hat{x} + \hat{x}^T P_2 ((A - bK^T) \hat{x} + Le_1) \\ &= \hat{x}^T [(A - bK^T)^T P_2 + P_2 (A - bK^T)] \hat{x} + 2\hat{x}^T P_2 Le_1 = -\hat{x}^T Q_2 \hat{x} + 2\hat{x}^T P_2 Le_1\end{aligned}\quad (14.18)$$

由于

$$2\hat{x}^T P_2 Le_1 \leq \|\hat{x}\|^2 + \|P_2 L\|^2 \|e\|^2$$

根据引理 14.1, 可得

$$Q(u) - u \leq |u| = |-k_1 \hat{x}_1 - k_2 \hat{x}_2| \leq |k_1 \hat{x}_1| + |k_2 \hat{x}_2| = \|K^T \hat{x}\| \leq \|K\| \|\hat{x}\|$$

则

$$2e^T P_1 b (Q(u) - u) \leq 2\|P_1 b\| \|e\| \|K\| \|\hat{x}\| \leq \|P_1 b\| \|K\| (\|\hat{x}\|^2 + \|e\|^2)$$

式(14.17)和式(14.18)变为

$$\dot{V}_1 \leq -\lambda_{\min}(Q_1) \|e\|^2 + \|P_1 b\| \|K\| \|\hat{x}\|^2 + \|P_1 b\| \|K\| \|e\|^2$$

$$\dot{V}_2 \leq -\lambda_{\min}(Q_2) \|\hat{x}\|^2 + \|\hat{x}\|^2 + \|P_2 L\|^2 \|e\|^2$$

其中, $\lambda_{\min}(Q_1)$ 为 Q_1 的最小特征值, $\lambda_{\min}(Q_2)$ 为 Q_2 的最小特征值。

则

$$\begin{aligned}\dot{V} &= \dot{V}_1 + \dot{V}_2 \\ &\leq -\lambda_{\min}(Q_1) \|e\|^2 + \|P_1 b\| \|K\| \|\hat{x}\|^2 + \|P_1 b\| \|K\| \|e\|^2 - \\ &\quad \lambda_{\min}(Q_2) \|\hat{x}\|^2 + \|\hat{x}\|^2 + \|P_2 L\|^2 \|e\|^2 \\ &= -(\lambda_{\min}(Q_1) - \|P_1 b\| \|K\| - \|P_2 L\|^2) \|e\|^2 - (\lambda_{\min}(Q_2) - \\ &\quad \|P_1 b\| \|K\| - 1) \|\hat{x}\|^2\end{aligned}$$

选取 K 和 L , 使如下不等式成立

$$\begin{aligned}\lambda_{\min}(Q_2) - \|P_1 b\| \|K\| - 1 &\geq \epsilon > 0 \\ \lambda_{\min}(Q_1) - \|P_1 b\| \|K\| - \|P_2 L\|^2 &\geq \epsilon > 0\end{aligned}\quad (14.19)$$

则

$$\dot{V} \leq -\epsilon (\|e\|^2 + \|\hat{x}\|^2) \leq 0$$

根据 $V = e^T P_1 e + \hat{x}^T P_2 \hat{x}$, 有

$$V \leq \lambda_{\max}(P_1) \|e\|^2 + \lambda_{\max}(P_2) \|\hat{x}\|^2 \leq \beta (\|e\|^2 + \|\hat{x}\|^2)$$

其中, $\beta = \max\{\lambda_{\max}(P_1), \lambda_{\max}(P_2)\}$ 。

从而

$$-\beta (\|e\|^2 + \|\hat{x}\|^2) \leq -V$$

$$\dot{V} \leq -\epsilon (\|e\|^2 + \|\hat{x}\|^2) = -\frac{\epsilon}{\beta} \beta (\|e\|^2 + \|\hat{x}\|^2) \leq -\frac{\epsilon}{\beta} V$$

由于不等式 $\dot{V} \leq -\alpha V$ 的解为 $V(t) \leq e^{-\alpha t} V(0)$, 如果 α 为正实数, 则 $V(t)$ 以指数形式收敛于零。则

$$V(t) \leq e^{-\frac{\epsilon}{\beta} t} V(0)$$

闭环系统为指数收敛, 即当 $t \rightarrow \infty$ 时, $e \rightarrow 0$, $\hat{x} \rightarrow 0$ 且指数收敛, 从而当 $t \rightarrow \infty$ 时 $x_1 \rightarrow 0$, $x_2 \rightarrow 0$ 且指数收敛。系统的收敛速度取决于 ϵ 和 β 。

14.2.3 仿真实例

被控对象取式(14.9), 采用量化器式(14.10)、观测器式(14.13)、控制律式(14.14), 观测器初始状态取 $\hat{x}(0) = [0.1 \ 0.2]$, 被控对象初始状态取 $x(0) = [0.5 \ 0.5]$ 。

控制器取 $k_1 = 300$, $k_2 = 30$, 观测器取 $l_1 = 10$, $l_2 = 20$, 控制输入量化器取 $\delta = 15$, 仿真结果如图 14-4~图 14-7 所示。

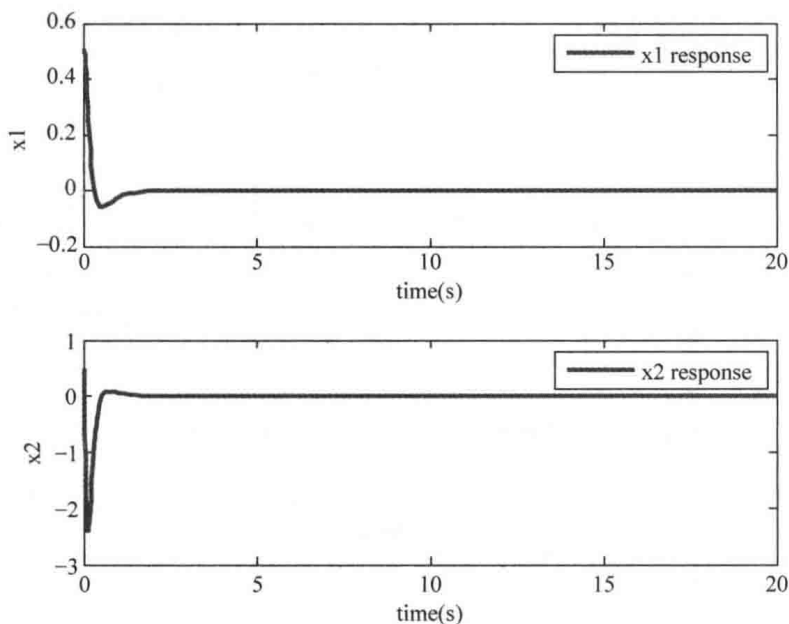


图 14-4 状态的响应

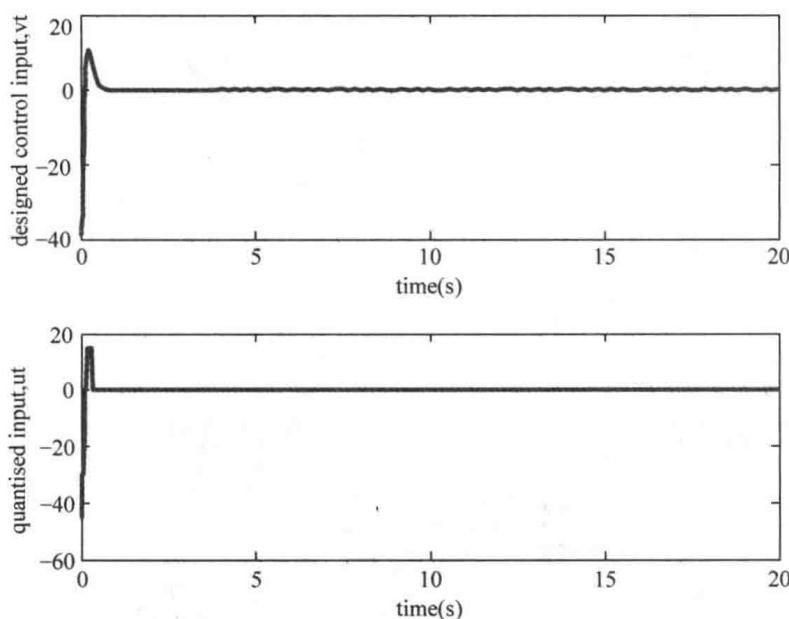


图 14-5 控制输入及量化输入变化

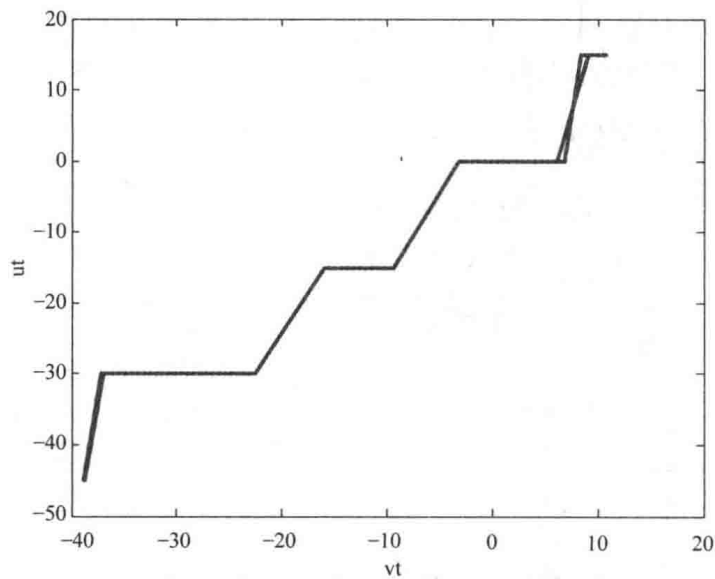


图 14-6 控制输入和量化输入之间的关系

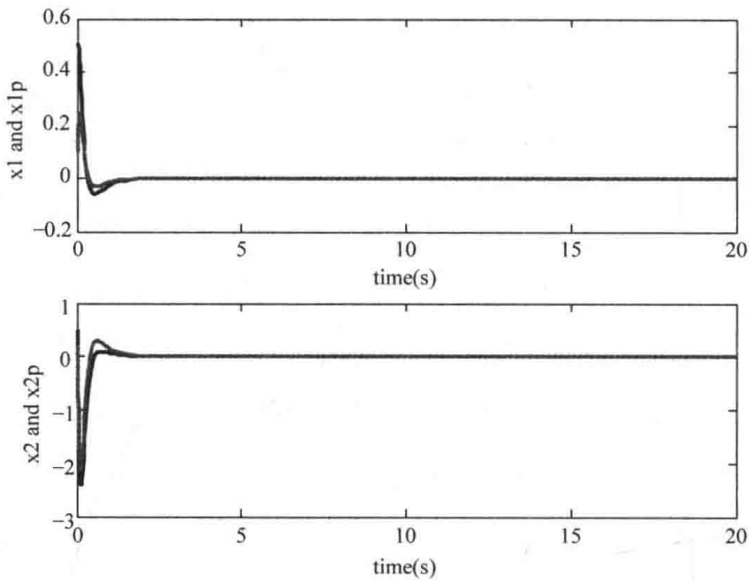
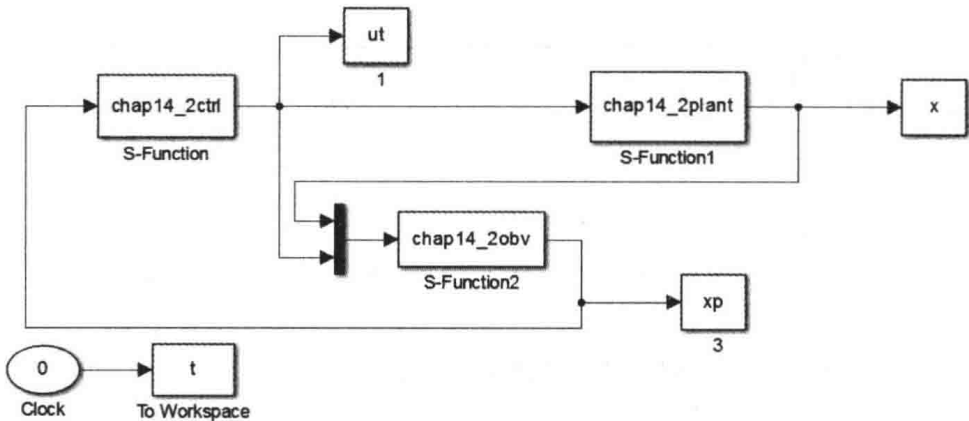


图 14-7 观测器观测结果

仿真程序如下：
(1) 主程序：chap14_2sim.mdl。



(2) 控制器程序: chap14_2ctrl.m。

```
function [sys,x0,str,ts] = model(t,x,u,flag)
switch flag,
case 0,
    [sys,x0,str,ts] = mdlInitializeSizes;
case 3,
    sys = mdlOutputs(t,x,u);
case {1,2,4,9}
    sys = [];
otherwise
    error(['Unhandled flag = ',num2str(flag)]);
end
function [sys,x0,str,ts] = mdlInitializeSizes
sizes = simsizes;
sizes.NumDiscStates = 0;
sizes.NumOutputs = 2;
sizes.NumInputs = 2;
sizes.DirFeedthrough = 1;
sizes.NumSampleTimes = 0;
sys = simsizes(sizes);
x0 = [];
str = [];
ts = [];
function sys = mdlOutputs(t,x,u)
k1 = 300;k2 = 30;

x1p = u(1);x2p = u(2);
vt = -k1 * x1p - k2 * x2p;

delta = 1.0;
ut = delta * round(vt/delta);

sys(1) = vt;
sys(2) = ut;
```

(3) 观测器程序: chap14_2obv.m。

```
function [sys,x0,str,ts] = model(t,x,u,flag)
switch flag,
case 0,
    [sys,x0,str,ts] = mdlInitializeSizes;
case 1,
    sys = mdlDerivatives(t,x,u);
case 3,
    sys = mdlOutputs(t,x,u);
case {1,2,4,9}
    sys = [];
otherwise
    error(['Unhandled flag = ',num2str(flag)]);
end
```

```

function [sys,x0,str,ts]=mdlInitializeSizes
sizes = simsizes;
sizes.NumContStates = 2;
sizes.NumDiscStates = 0;
sizes.NumOutputs = 2;
sizes.NumInputs = 4;
sizes.DirFeedthrough = 1;
sizes.NumSampleTimes = 0;
sys = simsizes(sizes);
x0 = [0.1 0.2];
str = [];
ts = [];
function sys = mdlDerivatives(t,x,u)
x1 = u(1);
x2 = u(2);
y = x1;
qy = y;

delta = 0.05;
qy = delta * round(y/delta);

vt = u(3);

l1 = 10;l2 = 20;
x1p = x(1);x2p = x(2);

sys(1) = x(2) + l1 * (qy - x1p);
sys(2) = vt + l2 * (qy - x1p);
function sys = mdlOutputs(t,x,u)
x1p = x(1);x2p = x(2);
sys(1) = x1p;
sys(2) = x2p;

```

(4) 作图程序: chap14_2plot.m。

```

close all;
figure(1);
subplot(211);
plot(t,x(:,1),'r','linewidth',2);
xlabel('time(s)');ylabel('x1');
legend('x1 response');
subplot(212);
plot(t,x(:,2),'r','linewidth',2);
xlabel('time(s)');ylabel('x2');
legend('x2 response');

figure(2);
subplot(211);
plot(t,ut(:,1),'r','linewidth',2);
xlabel('time(s)');ylabel('designed control input,vt');
subplot(212);

```

```

plot(t, ut(:,2), 'r', 'linewidth', 2);
xlabel('time(s)'); ylabel('quantised input, ut');

figure(3);
plot(ut(:,1), ut(:,2), 'r', 'linewidth', 2);
xlabel('vt'); ylabel('ut');

figure(4);
subplot(211);
plot(t, x(:,1), 'k', t, xp(:,1), 'r', 'linewidth', 2);
xlabel('time(s)'); ylabel('x1 and x1p');
subplot(212);
plot(t, x(:,2), 'k', t, xp(:,2), 'r', 'linewidth', 2);
xlabel('time(s)'); ylabel('x2 and x2p');

```

14.3 基于状态观测器的输入输出量化反馈控制

14.3.1 系统描述

考虑如下模型

$$\begin{cases} \dot{x}_1 = x_2 \\ \dot{x}_2 = u \\ y = x_1 \end{cases} \quad (14.20)$$

假设只有 x_1 为可测, 同时考虑输入输出量化, 模型的输出量化为 $q(y)$, 控制输入量化为 $u = q(v)$, v 为待设计的控制输入。

量化器定义如下^[1-2]

$$q(z) = \delta \text{round}\left(\frac{z}{\delta}\right) \quad (14.21)$$

其中, δ 为量化水平, $\delta > 0$ 。

取 $\mathbf{x} = [x_1 \ x_2]^T$, 控制目标为 $t \rightarrow \infty$ 时, $\mathbf{x} \rightarrow 0$ 。

14.3.2 控制器的设计与分析

引理 14.3 针对 $q(z)$, 有

$$|q(z) - z| \leq |z| \quad (14.22)$$

引理 14.4 对于正定矩阵 P_1 和 P_2 , $A - Lc^T$ 和 $A - bK^T$ 满足 Hurwitz 条件, 则

$$\begin{cases} (A - Lc^T)^T P_1 + P_1 (A - Lc^T) = -Q_1 \\ (A - bK^T)^T P_2 + P_2 (A - bK^T) = -Q_2 \end{cases} \quad (14.23)$$

其中, Q_1 和 Q_2 为正定矩阵, A, L, b, c, K 由下面定义。

设计状态观测器为

$$\begin{cases} \dot{\hat{x}}_1 = \hat{x}_2 + l_1(q(y) - \hat{x}_1) \\ \dot{\hat{x}}_2 = v + l_2(q(y) - \hat{x}_1) \end{cases} \quad (14.24)$$

定义观测器增益 $\mathbf{L} = [l_1 \quad l_2]^T$, \mathbf{L} 满足引理 14.4。

设计控制律为

$$\begin{cases} v = -\mathbf{K}\hat{\mathbf{x}} \\ u = q(v) \end{cases} \quad (14.25)$$

其中, 控制增益 $\mathbf{K} = [k_1 \quad k_2]^T$, $\hat{\mathbf{x}} = [\hat{x}_1 \quad \hat{x}_2]^T$, \mathbf{K} 满足引理 14.4。

取 $\mathbf{e} = \mathbf{x} - \hat{\mathbf{x}}$, 则 $e_1 = x_1 - \hat{x}_1$, $e_2 = x_2 - \hat{x}_2$, 且

$$\begin{aligned} \dot{e}_1 &= e_2 - l_1(q(y) - \hat{x}_1) = e_2 - l_1(q(y) - y + y - \hat{x}_1) \\ &= -l_1 e_1 + e_2 - l_1(q(y) - y) \\ \dot{e}_2 &= u - v - l_2(q(y) - \hat{x}_1) = u - v - l_2(q(y) - y + y - \hat{x}_1) \\ &= q(v) - v - l_2 e_1 - l_2(q(y) - y) \end{aligned}$$

从而

$$\begin{cases} \dot{e}_1 = -l_1 e_1 + e_2 - l_1(q(y) - y) \\ \dot{e}_2 = q(v) - v - l_2 e_1 - l_2(q(y) - y) \end{cases}$$

即

$$\begin{bmatrix} \dot{e}_1 \\ \dot{e}_2 \end{bmatrix} = \begin{bmatrix} -l_1 & 1 \\ -l_2 & 0 \end{bmatrix} \begin{bmatrix} e_1 \\ e_2 \end{bmatrix} - \begin{bmatrix} l_1 \\ l_2 \end{bmatrix} (q(y) - y) + \begin{bmatrix} 0 \\ 1 \end{bmatrix} (q(v) - v)$$

由于 $\mathbf{A} - \mathbf{Lc}^T = \begin{bmatrix} 0 & 1 \\ 0 & 0 \end{bmatrix} - \begin{bmatrix} l_1 \\ l_2 \end{bmatrix} \begin{bmatrix} 1 & 0 \end{bmatrix} = \begin{bmatrix} -l_1 & 1 \\ -l_2 & 0 \end{bmatrix}$, 从而

$$\dot{\mathbf{e}} = (\mathbf{A} - \mathbf{Lc}^T)\mathbf{e} - \mathbf{L}(q(y) - y) + \mathbf{b}(q(v) - v) \quad (14.26)$$

其中, $\mathbf{A} = \begin{bmatrix} 0 & 1 \\ 0 & 0 \end{bmatrix}$, $\mathbf{L} = [l_1 \quad l_2]^T$, $\mathbf{b} = \begin{bmatrix} 0 \\ 1 \end{bmatrix}$, $\mathbf{c} = \begin{bmatrix} 1 \\ 0 \end{bmatrix}$ 。

由于 $\mathbf{L}(q(y) - \hat{x}_1) = \mathbf{L}(x_1 - \hat{x}_1 + q(y) - y) = \mathbf{L}e_1 + \mathbf{L}(q(y) - y)$, 且 $\begin{bmatrix} 0 & 1 \\ -k_1 & -k_2 \end{bmatrix} =$

$\mathbf{A} - \mathbf{bK}^T$, 则

$$\dot{\hat{\mathbf{x}}} = (\mathbf{A} - \mathbf{bK}^T)\hat{\mathbf{x}} + \mathbf{L}e_1 + \mathbf{L}(q(y) - y) \quad (14.27)$$

定义闭环系统 Lyapunov 函数为

$$V = V_1 + V_2$$

为了实现 $\mathbf{e} \rightarrow 0$, 定义第一个 Lyapunov 函数

$$V_1 = \mathbf{e}^T \mathbf{P}_1 \mathbf{e}$$

其中, \mathbf{P}_1 为对称正定矩阵。

由于

$$\begin{aligned} \dot{\mathbf{e}}^T \mathbf{P}_1 \mathbf{e} + \mathbf{e}^T \mathbf{P}_1 \dot{\mathbf{e}} &= [\mathbf{e}^T (\mathbf{A} - \mathbf{Lc}^T)^T - (q(y) - y)\mathbf{L}^T + (q(v) - v)\mathbf{b}^T] \mathbf{P}_1 \mathbf{e} + \\ &\quad \mathbf{e}^T \mathbf{P}_1 [(\mathbf{A} - \mathbf{Lc}^T)\mathbf{e} - \mathbf{L}(q(y) - y) + \mathbf{b}(q(v) - v)] \\ &= \mathbf{e}^T [(\mathbf{A} - \mathbf{Lc}^T)^T \mathbf{P}_1 + \mathbf{P}_1 (\mathbf{A} - \mathbf{Lc}^T)] \mathbf{e} - 2\mathbf{e}^T \mathbf{P}_1 \mathbf{L}(q(y) - y) + \\ &\quad 2\mathbf{e}^T \mathbf{P}_1 \mathbf{b}(q(v) - v) \end{aligned}$$

根据引理 14.4, 可得

$$\dot{V}_1 = -e^T Q_1 e - 2e^T P_1 L(q(y) - y) + 2e^T P_1 b(q(v) - v) \quad (14.28)$$

为了实现 $\hat{x} \rightarrow 0$, 定义第二个 Lyapunov 函数

$$V_2 = \hat{x}^T P_2 \hat{x}$$

其中, P_2 为对称正定矩阵。

则根据引理 14.4, 可得

$$\begin{aligned} \dot{V}_2 &= \dot{\hat{x}}^T P_2 \hat{x} + \hat{x}^T P_2 \dot{\hat{x}} = ((A - bK^T)\hat{x} + Le_1 + L(q(y) - y))^T P_2 \hat{x} + \\ &\quad \hat{x}^T P_2 ((A - bK^T)\hat{x} + Le_1 + L(q(y) - y)) \\ &= \hat{x}^T [(A - bK^T)^T P_2 + P_2 (A - bK^T)] \hat{x} + 2\hat{x}^T P_2 Le_1 + 2\hat{x}^T P_2 L(q(y) - y) \\ &= -\hat{x}^T Q_2 \hat{x} + 2\hat{x}^T P_2 Le_1 + 2\hat{x}^T P_2 L(q(y) - y) \end{aligned}$$

则

$$2\hat{x}^T P_2 Le \leq \| \hat{x} \|^2 + \| P_2 L \|^2 \| e \|^2$$

根据引理 14.3, 可得

$$q(y) - y \leq |y| = |x_1| = |\hat{x}_1 + e_1| \leq |\hat{x}_1| + |e_1|$$

$$q(v) - v \leq |v| = |-k_1 \hat{x}_1 - k_2 \hat{x}_2| \leq |k_1 \hat{x}_1| + |k_2 \hat{x}_2| = |K^T \hat{x}| \leq \|K\| \| \hat{x} \|$$

由于

$$\begin{aligned} 2\| \hat{x} \| (|\hat{x}_1| + |e_1|) &= 2\| \hat{x} \| |\hat{x}_1| + 2\| \hat{x} \| |e_1| \leq \| \hat{x} \|^2 + |\hat{x}_1|^2 + \| \hat{x} \|^2 + |e_1|^2 \leq 3\| \hat{x} \|^2 + |e_1|^2 \\ 2\| e \| (|\hat{x}_1| + |e_1|) &\leq \| e \|^2 + (|\hat{x}_1| + |e_1|)^2 \\ &= \| e \|^2 + |\hat{x}_1|^2 + 2|\hat{x}_1||e_1| + |e_1|^2 \\ &\leq \| e \|^2 + |\hat{x}_1|^2 + |\hat{x}_1|^2 + |e_1|^2 + |e_1|^2 \\ &\leq 3\| e \|^2 + 2|\hat{x}_1|^2 \end{aligned}$$

则

$$\begin{aligned} -2e^T P_1 L(q(y) - y) &\leq 2\| P_1 L \| \| e \| (|\hat{x}_1| + |e_1|) \leq 3\| P_1 L \| \| e \|^2 + 2\| P_1 L \| |\hat{x}_1|^2 \\ 2\hat{x}^T P_2 L(q(y) - y) &\leq 2\| P_2 L \| \| \hat{x} \| (|\hat{x}_1| + |e_1|) \leq 3\| P_2 L \| \| \hat{x} \|^2 + \| P_2 L \| |e_1|^2 \\ 2e^T P_1 b(q(v) - v) &\leq 2\| P_1 b \| \| e \| \| K \| \| \hat{x} \| \leq \| P_1 b \| \| K \| (\| \hat{x} \|^2 + \| e \|^2) \end{aligned}$$

从而有

$$\begin{aligned} \dot{V}_1 &\leq -\lambda_{\min}(Q_1) \| e \|^2 + 3\| P_1 L \| \| e \|^2 + 2\| P_1 L \| |\hat{x}_1|^2 + \| P_1 b \| \| K \| \| \hat{x} \|^2 + \\ &\quad \| P_1 b \| \| K \| \| e \|^2 \\ &\leq (2\| P_1 L \| + \| P_1 b \| \| K \|) \| \hat{x} \|^2 + (-\lambda_{\min}(Q_1) + 3\| P_1 L \| + \| P_1 b \| \| K \|) \| e \|^2 \\ \dot{V}_2 &\leq -\lambda_{\min}(Q_2) \| \hat{x} \|^2 + \| \hat{x} \|^2 + \| P_2 L \|^2 \| e \|^2 + 3\| P_2 L \| \| \hat{x} \|^2 + \| P_2 L \| |e_1|^2 \\ &= (-\lambda_{\min}(Q_2) + 1 + 3\| P_2 L \|) \| \hat{x} \|^2 + (\| P_2 L \|^2 + \| P_2 L \|) \| e \|^2 \end{aligned}$$

其中, $\lambda_{\min}(Q_2)$ 为 Q_2 的最小特征值, $\lambda_{\min}(Q_1)$ 为 Q_1 的最小特征值。

则

$$\begin{aligned} \dot{V} &= \dot{V}_1 + \dot{V}_2 \leq -(-2\| P_1 L \| - \| P_1 b \| \| K \| + \lambda_{\min}(Q_2) - 1 - 3\| P_2 L \|) \| \hat{x} \|^2 - \\ &\quad (\lambda_{\min}(Q_1) - 3\| P_1 L \| - \| P_1 b \| \| K \| - \| P_2 L \|^2 - \| P_2 L \|) \| e \|^2 \end{aligned}$$

选取 K 和 L , 使如下不等式成立

$$\begin{aligned} \lambda_{\min}(Q_2) - 2 \|P_1 L\| - 3 \|P_2 L\| - \|P_1 b\| \|K\| - 1 &\geq \epsilon > 0 \\ \lambda_{\min}(Q_1) - 3 \|P_1 L\| - \|P_2 L\| - \|P_2 L\|^2 - \|P_1 b\| \|K\| &\geq \epsilon > 0 \end{aligned} \tag{14.29}$$

则

$$\dot{V} \leq -\epsilon (\|e\|^2 + \|\hat{x}\|^2) \leq 0$$

根据 $V = e^T P_1 e + \hat{x}^T P_2 \hat{x}$, 有

$$V \leq \lambda_{\max}(P_1) \|e\|^2 + \lambda_{\max}(P_2) \|\hat{x}\|^2 \leq \beta (\|e\|^2 + \|\hat{x}\|^2)$$

其中, $\beta = \max\{\lambda_{\max}(P_1), \lambda_{\max}(P_2)\}$ 。

由于 $-\beta (\|e\|^2 + \|\hat{x}\|^2) \leq -V$, 则

$$\dot{V} \leq -\epsilon (\|e\|^2 + \|\hat{x}\|^2) = -\frac{\epsilon}{\beta} \beta (\|e\|^2 + \|\hat{x}\|^2) \leq -\frac{\epsilon}{\beta} V$$

由于不等式 $\dot{V} \leq -\alpha V$ 的解为 $V(t) \leq e^{-\alpha t} V(0)$, 如果 α 为正实数, 则 $V(t)$ 以指数形式收敛于零。则

$$V(t) \leq e^{-\frac{\epsilon}{\beta} t} V(0)$$

闭环系统为指数收敛, 即当 $t \rightarrow \infty$ 时, $e \rightarrow 0, \hat{x} \rightarrow 0$ 且指数收敛, 从而当 $t \rightarrow \infty$ 时 $x_1 \rightarrow 0, x_2 \rightarrow 0$ 且指数收敛。系统的收敛速度取决于 β 和 ϵ 。

14.3.3 仿真实例

被控对象取式(14.20), 被控对象初始状态取 $x(0) = [0.5 \ 0.5]$ 。

采用量化器式(14.21)、观测器式(14.24)、控制律式(14.25), 观测器初始状态取 $\hat{x}(0) = [0.1 \ 0.2]$ 。控制器取 $k_1 = 300, k_2 = 30$, 观测器取 $l_1 = 10, l_2 = 20$, 控制输入量化器取 $\delta = 0.02$, 输出量化器取 $\delta = 0.01$, 仿真结果如图 14-8~图 14-11 所示。

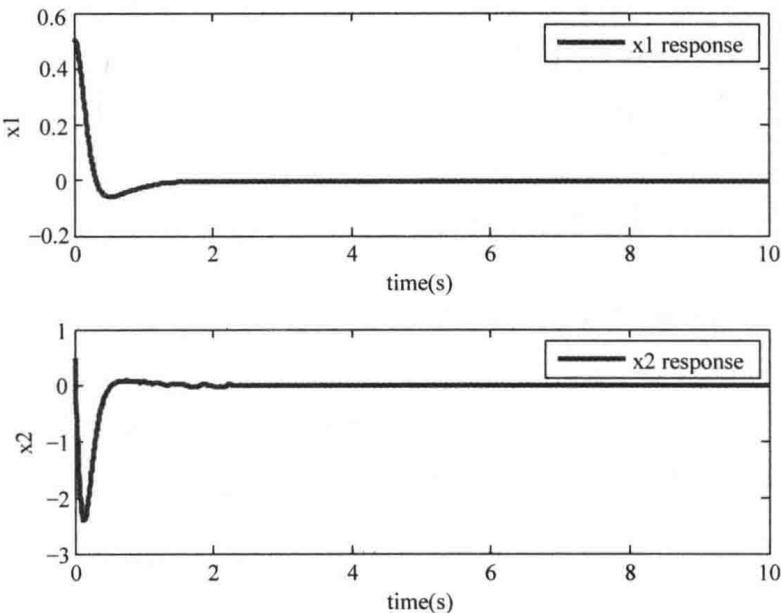


图 14-8 状态的响应

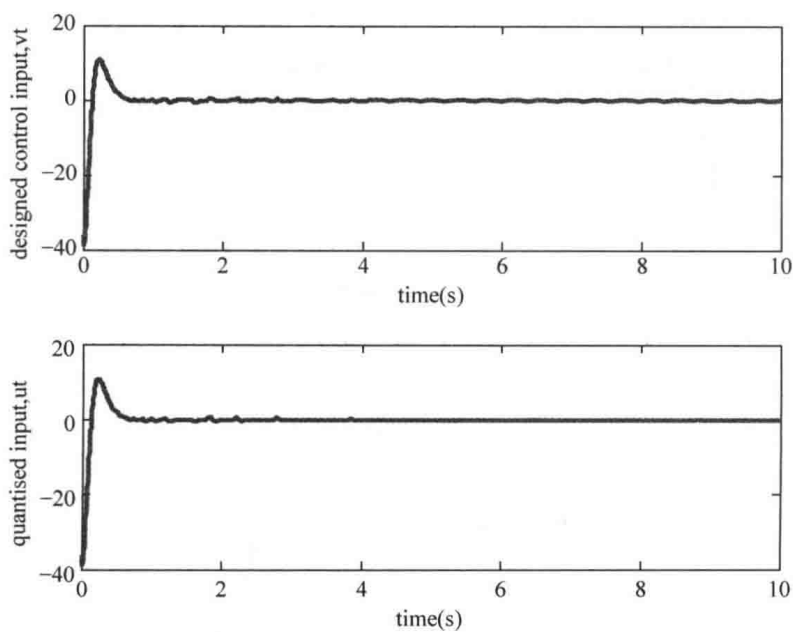


图 14-9 控制输入及量化输入变化

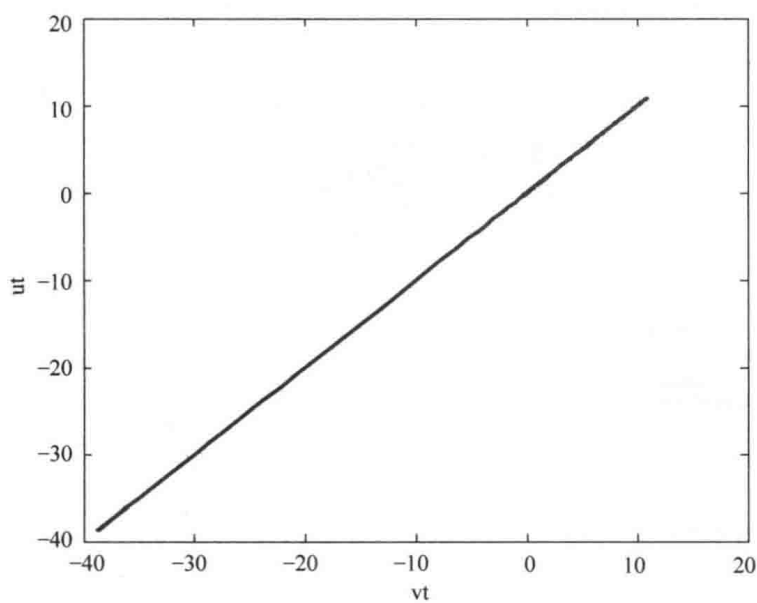


图 14-10 控制输入和量化输入之间的关系

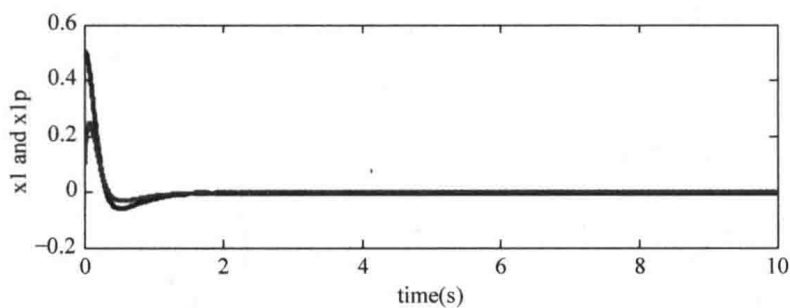


图 14-11 观测器观测结果

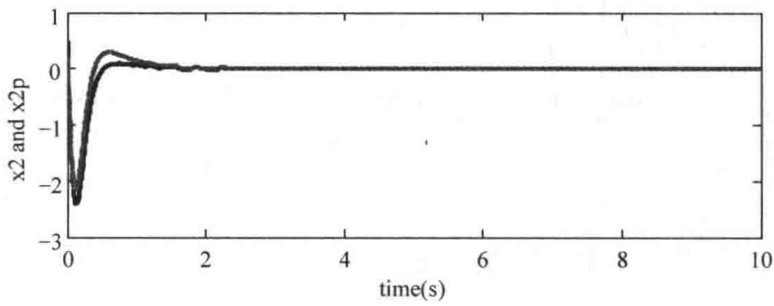
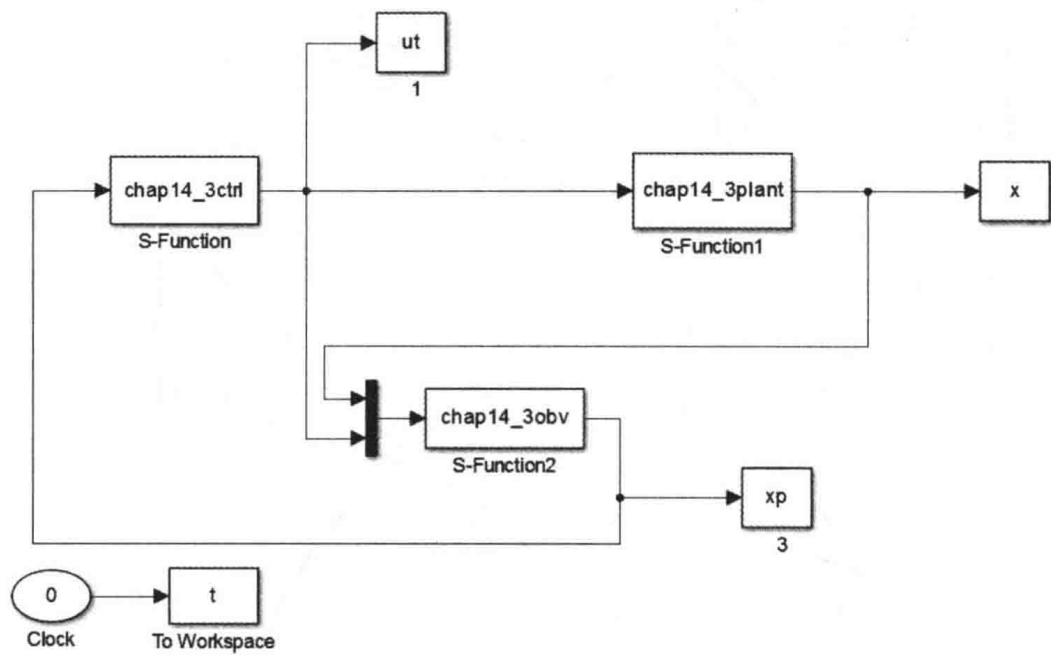


图 14-11 （续）

仿真程序如下：

(1) 主程序：chap14_3sim.mdl。



(2) 控制器程序：chap14_3ctrl.m。

```
function [sys,x0,str,ts] = model(t,x,u,flag)
switch flag,
case 0,
    [sys,x0,str,ts] = mdlInitializeSizes;
case 3,
    sys = mdlOutputs(t,x,u);
case {1,2,4,9}
    sys = [];
otherwise
    error(['Unhandled flag = ',num2str(flag)]);
end
function [sys,x0,str,ts] = mdlInitializeSizes
sizes = simsizes;
sizes.NumDiscStates = 0;
sizes.NumOutputs = 2;
```

```

sizes.NumInputs      = 2;
sizes.DirFeedthrough = 1;
sizes.NumSampleTimes = 0;
sys = simsizes(sizes);
x0  = [];
str = [];
ts  = [];
function sys = mdlOutputs(t,x,u)
k1 = 300;k2 = 30;

```

```

x1 = u(1);x2 = u(2);
vt = - k1 * x1 - k2 * x2;

```

```

delta = 0.02;
ut = delta * round(vt/delta);

```

```

sys(1) = vt;
sys(2) = ut;

```

(3) 被控对象程序: chap14_3plant. m。

```

function [sys,x0,str,ts] = s_function(t,x,u,flag)
switch flag,
case 0,
    [sys,x0,str,ts] = mdlInitializeSizes;
case 1,
    sys = mdlDerivatives(t,x,u);
case 3,
    sys = mdlOutputs(t,x,u);
case {2, 4, 9 }
    sys = [];
otherwise
    error(['Unhandled flag = ',num2str(flag)]);
end
function [sys,x0,str,ts] = mdlInitializeSizes
sizes = simsizes;
sizes.NumContStates = 2;
sizes.NumDiscStates = 0;
sizes.NumOutputs     = 2;
sizes.NumInputs      = 2;
sizes.DirFeedthrough = 0;
sizes.NumSampleTimes = 0;
sys = simsizes(sizes);
x0  = [0.5 0.5];
str = [];
ts  = [];
function sys = mdlDerivatives(t,x,u)
ut = u(1);
sys(1) = x(2);
sys(2) = ut;
function sys = mdlOutputs(t,x,u)

```

```
sys(1) = x(1);
sys(2) = x(2);
```

(4) 观测器程序：chap14_3obv.m。

```
function [sys,x0,str,ts] = model(t,x,u,flag)
switch flag,
case 0,
    [sys,x0,str,ts] = mdlInitializeSizes;
case 1,
    sys = mdlDerivatives(t,x,u);
case 3,
    sys = mdlOutputs(t,x,u);
case {1,2,4,9}
    sys = [];
otherwise
    error(['Unhandled flag = ',num2str(flag)]);
end
function [sys,x0,str,ts] = mdlInitializeSizes
sizes = simsizes;
sizes.NumContStates = 2;
sizes.NumDiscStates = 0;
sizes.NumOutputs = 2;
sizes.NumInputs = 4;
sizes.DirFeedthrough = 1;
sizes.NumSampleTimes = 0;
sys = simsizes(sizes);
x0 = [0.1 0.2];
str = [];
ts = [];
function sys = mdlDerivatives(t,x,u)
x1 = u(1);x2 = u(2);

delta = 0.01;
y = delta * round(x1/delta);
vt = u(3);

l1 = 10;l2 = 20;
x1p = x(1);x2p = x(2);

sys(1) = x(2) + l1 * (y - x1p);
sys(2) = vt + l2 * (y - x1p);
function sys = mdlOutputs(t,x,u)
x1p = x(1);
x2p = x(2);
sys(1) = x1p;
sys(2) = x2p;
```

(5) 作图程序：chap14_3plot.m。

```
close all;
figure(1);
```

```

subplot(211);
plot(t,x(:,1),'r','linewidth',2);
xlabel('time(s)');ylabel('x1');
legend('x1 response');
subplot(212);
plot(t,x(:,2),'r','linewidth',2);
xlabel('time(s)');ylabel('x2');
legend('x2 response');

figure(2);
subplot(211);
plot(t,ut(:,1),'r','linewidth',2);
xlabel('time(s)');ylabel('designed control input, vt');
subplot(212);
plot(t,ut(:,2),'r','linewidth',2);
xlabel('time(s)');ylabel('quantised input, ut');

figure(3);
plot(ut(:,1),ut(:,2),'r','linewidth',2);
xlabel('vt');ylabel('ut');

figure(4);
subplot(211);
plot(t,x(:,1),'k',t,xp(:,1),'r','linewidth',2);
xlabel('time(s)');ylabel('x1 and x1p');
subplot(212);
plot(t,x(:,2),'k',t,xp(:,2),'r','linewidth',2);
xlabel('time(s)');ylabel('x2 and x2p');

```

参考文献

- [1] 郑柏超,郝立颖.滑模变结构控制——量化反馈控制方法[M].北京:科学出版社,2016.
- [2] Zheng B C, Yang G H. Quantized output feedback stabilization of uncertain systems with input nonlinearities via sliding mode control[J]. International Journal of Robust and Nonlinear Control, 2014, 24: 228-246.
- [3] Wang C L, Wen C Y, Lin Y, et al. Decentralized adaptive tracking control for a class of interconnected nonlinear systems with input quantization[J]. Automatica, 2017, 81: 359-368.
- [4] Li G Q, Lin Y. Adaptive output feedback control for a class of nonlinear systems with quantised input and output[J]. International Journal of Control, 2017, 90(2): 239-248.

控制方向未知的问题是一个有意义的控制问题。当系统中存在未知控制方向时,会使得控制器的设计变得复杂,Nussbaum 增益技术是处理控制方向未知问题的一种有效方法^[1-2]。

15.1 基本知识

定义^[1] 如果函数 $N(\chi)$ 满足下面条件,则 $N(\chi)$ 为 Nussbaum 函数,简称 N 函数。Nussbaum 函数满足如下双边特性

$$\limsup_{k \rightarrow \pm\infty} \frac{1}{k} \int_0^k N(s) ds = \infty$$

$$\liminf_{k \rightarrow \pm\infty} \frac{1}{k} \int_0^k N(s) ds = -\infty$$

根据 Nussbaum 函数定义^[1],定义 Nussbaum 函数为

$$N(k) = k^2 \cos(k) \quad (15.1)$$

其中, k 为实数。

引理 15.1^[2] 如果 $V(t)$ 和 $k(\cdot)$ 在 $\forall t \in [0, t_f)$ 上为光滑函数, $V(t) \geq 0$, $N(\cdot)$ 为光滑的 N 函数, θ_0 为非零常数,如果满足

$$V(t) \leq \int_0^t (\theta_0 N(k(\tau)) + 1) \dot{k}(\tau) d\tau + \text{const} \quad \forall t \in [0, t_f)$$

则 $V(t)$ 、 $k(t)$ 和 $\int_0^t (\theta_0 N(k(\tau)) + 1) \dot{k}(\tau) d\tau$ 在 $\forall t \in [0, t_f)$ 上有界。

引理 15.2 (即 Barbalat 引理)^[3] 如果 $f \in L_\infty$, $\dot{f} \in L_\infty$ 且 $f \in L_p$, $p \in [1, \infty)$, 则当 $t \rightarrow \infty$ 时, $f(t) \rightarrow 0$ 。

15.2 基于控制方向未知的状态跟踪

15.2.1 系统描述

被控对象为

$$\dot{x}_1 = x_2$$

$$\dot{x}_2 = \theta u + d \quad (15.2)$$

其中, θ 为正负符号未知的有界常数, d 为扰动, $|d| \leq D$ 。

取 x_d 为指令信号, 控制目标为 $t \rightarrow \infty$ 时, $x_1 \rightarrow x_d, x_2 \rightarrow \dot{x}_d$ 。

15.2.2 控制律的设计

定义跟踪误差为 $e = x_1 - x_d$, 则 $\dot{e} = x_2 - \dot{x}_d$, 定义滑模函数为 $s = ce + \dot{e}, c > 0$, 则

$$\dot{s} = c\dot{e} + \ddot{e} = c\dot{e} + \dot{x}_2 - \ddot{x}_d = c\dot{e} + \theta u + d - \ddot{x}_d$$

定义 Lyapunov 函数

$$V = \frac{1}{2}s^2$$

则

$$\dot{V} = s\dot{s} = s(c\dot{e} + \theta u + d(t) - \ddot{x}_d)$$

取

$$\alpha = k_1 s + c\dot{e} - \ddot{x}_d + \eta \operatorname{sgn}s, \quad k_1 > 0, \quad \eta \geq D + \eta_0, \quad \eta_0 > 0 \quad (15.3)$$

$$\bar{u} = -k_2 s + \alpha, \quad k_2 > k_1 \quad (15.4)$$

$$u = N(k)\bar{u} \quad (15.5)$$

$$\dot{k} = \gamma s \bar{u}, \quad \gamma > 0 \quad (15.6)$$

根据文献[1-2], 式(15.5)中的 N 函数可取 $N(k) = k^2 \cos(k)$ 。

由上面定义可知 $c\dot{e} - \ddot{x}_d = \alpha - k_1 s - \eta \operatorname{sgn}s, \frac{1}{\gamma}\dot{k} = s\bar{u} = s(-k_2 s + \alpha)$, 则

$$\begin{aligned} \dot{V} &= s(\alpha - k_1 s - \eta \operatorname{sgn}s + d + \theta N(k)\bar{u}) + \frac{1}{\gamma}\dot{k} - \frac{1}{\gamma}\dot{k} \\ &= s(\alpha - k_1 s + \theta N(k)\bar{u}) - \eta |s| + sd + \frac{1}{\gamma}\dot{k} - s(-k_2 s + \alpha) \\ &\leq s(\alpha - k_1 s + \theta N(k)\bar{u}) + \frac{1}{\gamma}\dot{k} - s(-k_2 s + \alpha) \end{aligned}$$

则

$$\dot{V} \leq s(\theta N(k)\bar{u}) + \frac{1}{\gamma}\dot{k} + (k_2 - k_1)s^2$$

由于 $s\bar{u} = \frac{1}{\gamma}\dot{k}$, 则

$$\dot{V} \leq \frac{1}{\gamma}\theta N(k)\dot{k} + \frac{1}{\gamma}\dot{k} + (k_2 - k_1)s^2$$

两边积分可得

$$V(t) - V(0) \leq \int_0^t \frac{1}{\gamma} \theta N(k(\tau)) \dot{k}(\tau) d\tau + \int_0^t \frac{1}{\gamma} \dot{k}(\tau) d\tau - \int_0^t (k_2 - k_1) s^2(\tau) d\tau$$

即

$$V(t) + \int_0^t (k_2 - k_1) s^2(\tau) d\tau \leq \frac{1}{\gamma} \int_0^t (\theta N(k(\tau)) + 1) \dot{k}(\tau) d\tau + V(0)$$

根据引理 15.1, $V(t) + \int_0^t (k_2 - k_1)s^2(\tau)d\tau$ 有界, 则 s^2 、 $\int_0^t s^2 dt$ 有界, 则由引理 15.2(Barbalat 引理), 当 $t \rightarrow \infty$ 时, $s \rightarrow 0$, 从而 $e \rightarrow 0, \dot{e} \rightarrow 0$ 。

15.2.3 仿真实例

被控对象取式(15.2), 对象的初始状态为 $[0.2, 0]$, $d = \sin t, \theta = 10$, 取位置指令为 $x_d = \sin t$, 采用控制律式(15.3)~式(15.5)和自适应律式(15.6), 取 $c = 10, k(0) = 1.0, k_1 = 1, k_2 = 1.5, \gamma = 10, \eta = 1.1$, 仿真结果如图 15-1 和图 15-2 所示。

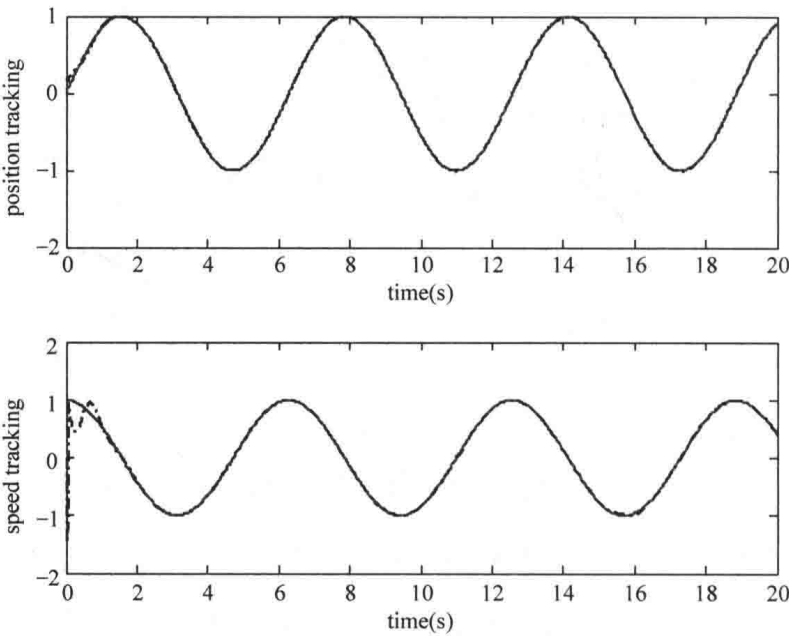


图 15-1 位置和速度跟踪

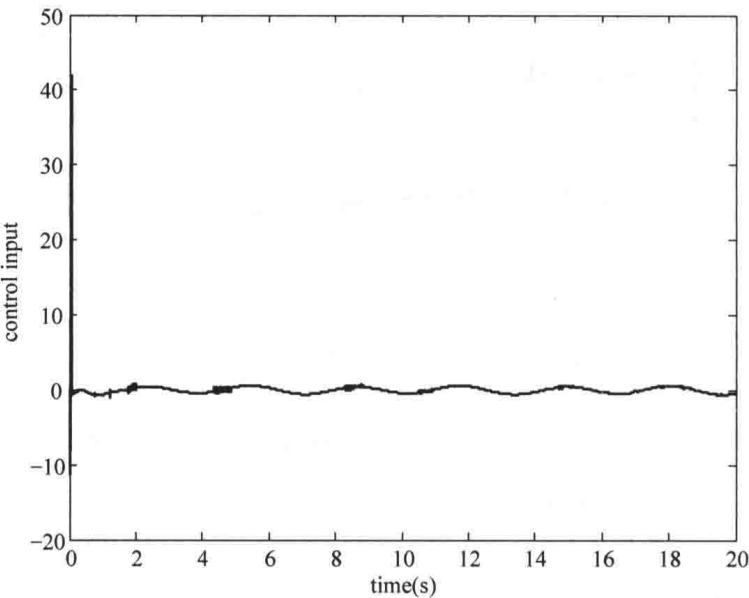


图 15-2 控制输入

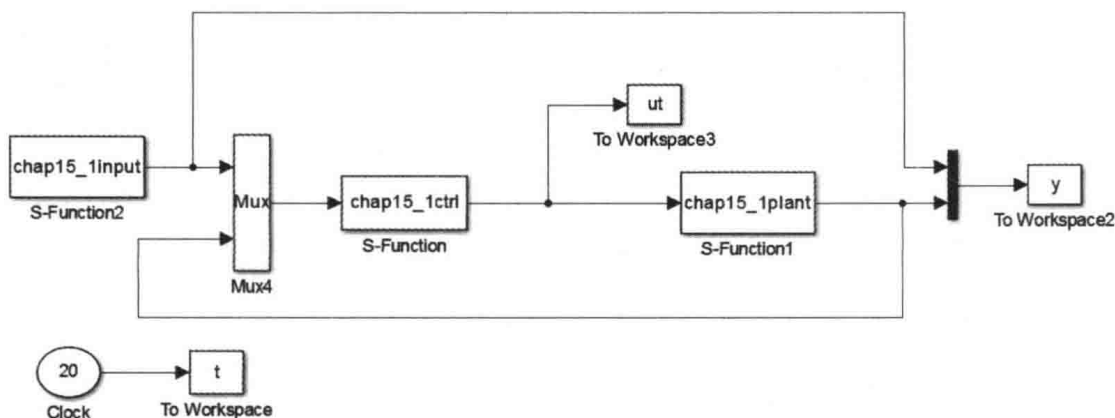
仿真程序如下：

(1) 输入信号程序：chap15_linput.mdl。

```
function [sys,x0,str,ts] = spacemodel(t,x,u,flag)
switch flag,
case 0,
    [sys,x0,str,ts] = mdlInitializeSizes;
case 3,
    sys = mdlOutputs(t,x,u);
case {2,4,9}
    sys = [];
otherwise
    error(['Unhandled flag = ',num2str(flag)]);
end
```

```
function [sys,x0,str,ts] = mdlInitializeSizes
sizes = simsizes;
sizes.NumContStates = 0;
sizes.NumDiscStates = 0;
sizes.NumOutputs = 1;
sizes.NumInputs = 0;
sizes.DirFeedthrough = 0;
sizes.NumSampleTimes = 1;
sys = simsizes(sizes);
x0 = [];
str = [];
ts = [0 0];
function sys = mdlOutputs(t,x,u)
sys(1) = sin(t);
```

(2) Simulink 主程序：chap15_1sim.mdl。



(3) 被控对象 S 函数：chap15_1plant.m。

```
function [sys,x0,str,ts] = spacemodel(t,x,u,flag)
switch flag,
case 0,
    [sys,x0,str,ts] = mdlInitializeSizes;
case 1,
```

```

        sys = mdlDerivatives(t,x,u);
    case 3,
        sys = mdlOutputs(t,x,u);
    case {2,4,9}
        sys = [];
    otherwise
        error(['Unhandled flag = ',num2str(flag)]);
    end
function [sys,x0,str,ts] = mdlInitializeSizes
    sizes = simsizes;
    sizes.NumContStates = 2;
    sizes.NumDiscStates = 0;
    sizes.NumOutputs = 2;
    sizes.NumInputs = 1;
    sizes.DirFeedthrough = 1;
    sizes.NumSampleTimes = 1;
    sys = simsizes(sizes);
    x0 = [0.20;0];
    str = [];
    ts = [0 0];
function sys = mdlDerivatives(t,x,u)
    ut = u(1);
    dt = sin(t);

    th = -10;
    % th = 10;

    sys(1) = x(2);
    sys(2) = th * ut + dt;
function sys = mdlOutputs(t,x,u)
    sys(1) = x(1);
    sys(2) = x(2);

```

(4) 控制器的 S 函数: chap15_1ctrl.m。

```

function [sys,x0,str,ts] = spacemodel(t,x,u,flag)
switch flag,
case 0,
    [sys,x0,str,ts] = mdlInitializeSizes;
case 1,
    sys = mdlDerivatives(t,x,u);
case 3,
    sys = mdlOutputs(t,x,u);
case {2,4,9}
    sys = [];
otherwise
    error(['Unhandled flag = ',num2str(flag)]);
end
function [sys,x0,str,ts] = mdlInitializeSizes
    sizes = simsizes;
    sizes.NumContStates = 1;

```

```

sizes.NumDiscStates = 0;
sizes.NumOutputs     = 1;
sizes.NumInputs      = 3;
sizes.DirFeedthrough = 1;
sizes.NumSampleTimes = 1;
sys = simsizes(sizes);
x0 = [1.0];
str = [];
ts = [0 0];
function sys = mdlDerivatives(t,x,u)
xd = u(1); dxd = cos(t); ddx = -sin(t);
x1 = u(2); x2 = u(3);

c = 10;
e = x1 - xd;
de = x2 - dxd;
s = c * e + de;

k1 = 1; k2 = 1.5;
xite = 0.10;
alfa = k1 * s + c * de - ddx + xite * sign(s);

ub = -k2 * s + alfa;

gama = 10;
dk = gama * s * ub;

sys(1) = dk;
function sys = mdlOutputs(t,x,u)
xd = u(1); dxd = cos(t); ddx = -sin(t);
x1 = u(2); x2 = u(3);

c = 10;
e = x1 - xd;
de = x2 - dxd;
s = c * e + de;

k1 = 1; k2 = 1.5;
xite = 1.1;
alfa = k1 * s + c * de - ddx + xite * sign(s);

ub = -k2 * s + alfa;
k = x(1);
Nk = k^2 * cos(k);
ut = Nk * ub;

sys(1) = ut;

```

(5) 作图程序: chap15_1plot.m。

```
close all;
```

```

figure(1);
subplot(211);
plot(t,sin(t),'r',t,y(:,2),'- .k','linewidth',2);
xlabel('time(s)');ylabel('position tracking');
subplot(212);
plot(t,cos(t),'r',t,y(:,3),'- .k','linewidth',2);
xlabel('time(s)');ylabel('speed tracking');

figure(2);
plot(t,ut(:,1),'k','linewidth',2);
xlabel('time(s)');ylabel('control input');

```

15.3 控制方向未知的反演控制

15.3.1 系统描述

被控对象为

$$\begin{cases} \dot{x}_1 = x_1 + x_2 \\ \dot{x}_2 = \theta u \end{cases} \quad (15.7)$$

其中, θ 为正负符号未知的有界常数。

控制目标为 $t \rightarrow \infty$ 时, $x_1 \rightarrow 0, x_2 \rightarrow 0$ 。

15.3.2 控制律的设计及分析

针对式(15.7)的结构,需要采用反演设计的控制方法。定义 $z_1 = x_1$, 设计 Lyapunov 函数为 $V_1 = \frac{1}{2}z_1^2$, 则

$$\dot{V}_1 = z_1 \dot{z}_1 = z_1(x_2 + z_1)$$

取 $z_2 = x_2 - \alpha_1$, α_1 为虚拟项, 则

$$\dot{V}_1 = z_1 \dot{z}_1 = z_1(z_2 + \alpha_1 + z_1)$$

令 $\alpha_1 = -c_1 z_1 - z_1$, 则

$$\dot{V}_1 = -c_1 z_1^2 + z_1 z_2$$

定义 Lyapunov 函数 $V_2 = V_1 + \frac{1}{2}z_2^2$, 则

$$\begin{aligned} \dot{V}_2 &= -c_1 z_1^2 + z_1 z_2 + z_2(\theta u - \dot{\alpha}_1) \\ &= -c_1 z_1^2 + z_2(\theta u - \dot{\alpha}_1 + z_1) \end{aligned}$$

设计控制律为

$$u = v(k)(z_2 - \dot{\alpha}_1 + z_1) \quad (15.8)$$

则

$$\begin{aligned} \dot{V}_2 &= -c_1 z_1^2 + z_2(\theta v(k)(z_2 - \dot{\alpha}_1 + z_1) - \dot{\alpha}_1 + z_1) \\ &= -c_1 z_1^2 - z_2^2 + z_2^2 + z_2 \theta v(k)(z_2 - \dot{\alpha}_1 + z_1) + z_2(-\dot{\alpha}_1 + z_1) \end{aligned}$$

$$\begin{aligned}
&= -c_1 z_1^2 - z_2^2 + z_2^2 + z_2^2 \theta v(k) + z_2 \theta v(k) (-\dot{\alpha}_1 + z_1) + z_2 (-\dot{\alpha}_1 + z_1) \\
&= -c_1 z_1^2 - z_2^2 + z_2^2 (\theta v(k) + 1) + (\theta v(k) + 1) (-\dot{\alpha}_1 + z_1) z_2 \\
&= -c_1 z_1^2 - z_2^2 + (\theta v(k) + 1) (z_2^2 + (-\dot{\alpha}_1 + z_1) z_2)
\end{aligned}$$

取自适应律

$$\dot{k} = z_2^2 + (-\dot{\alpha}_1 + z_1) z_2 \quad (15.9)$$

则

$$\dot{V}_2 = -c_1 z_1^2 - z_2^2 + (\theta v(k) + 1) \dot{k}$$

两边积分可得

$$V_2(t) - V_2(0) = -\int_0^t (c_1 z_1^2 + z_2^2) d\tau + \int_0^t (\theta v(k(\tau)) + 1) \dot{k}(\tau) d\tau$$

即

$$V_2(t) + \int_0^t (c_1 z_1^2 + z_2^2) d\tau = \int_0^t (\theta v(k(\tau)) + 1) \dot{k}(\tau) d\tau + V_2(0)$$

上式中, $v(k(\tau))$ 按 N 函数进行设计^[1-2], 根据式(15.1), 取

$$v(k) = k^2 \cos(k) \quad (15.10)$$

根据引理 15.1, 则 $V_2(t) + \int_0^t (c_1 z_1^2 + z_2^2) d\tau$ 有界, 则 $(c_1 z_1^2 + z_2^2)$ 和 $\int_0^t (c_1 z_1^2 + z_2^2) dt$ 有界, 则由引理 15.2 (Barbalat 引理), 当 $t \rightarrow \infty$ 时, $c_1 z_1^2 + z_2^2 \rightarrow 0$, 即 $z_1 \rightarrow 0, z_2 \rightarrow 0$, 从而 $x_1 \rightarrow 0, x_2 \rightarrow 0$ 。

15.3.3 仿真实例

针对被控对象式(15.7), 取 $\theta = 10$, 被控对象的初始值为 $[0.20, 0]$, 采用控制律式(15.8)和自适应律式(15.9), 取 $c_1 = 10, k(0) = 1.0$, 仿真结果如图 15-3 和图 15-4 所示。

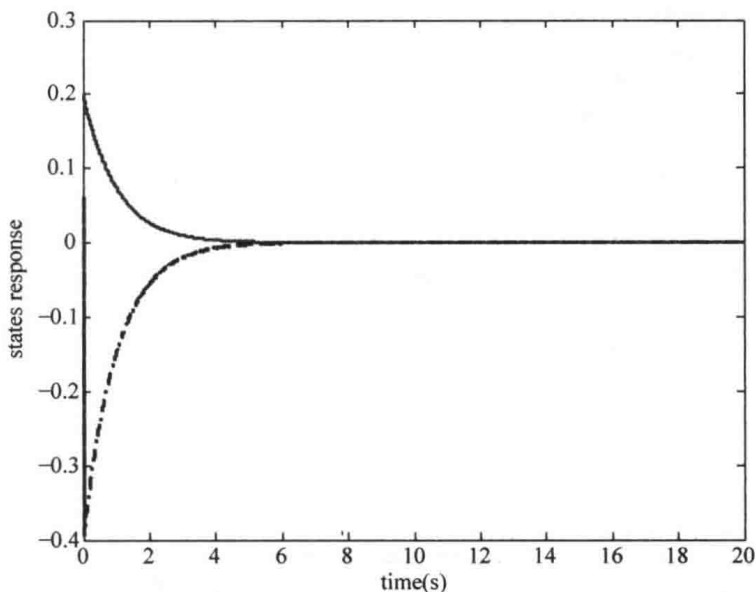


图 15-3 状态响应

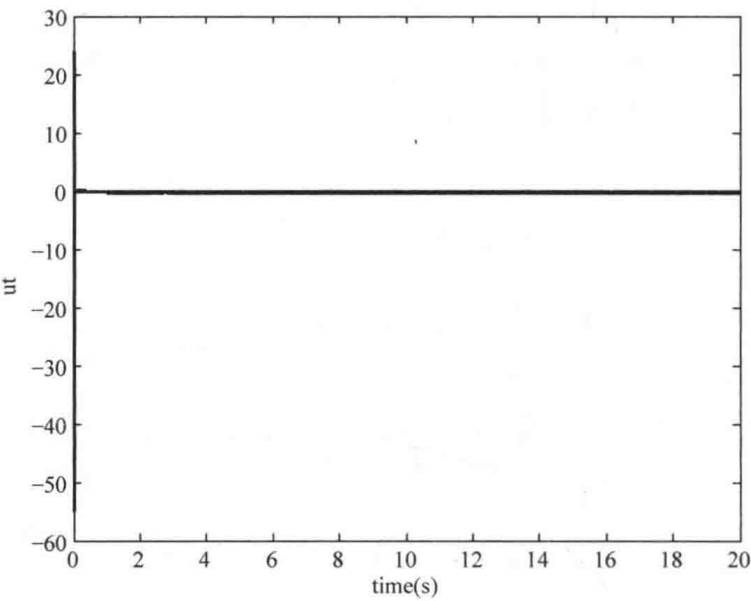
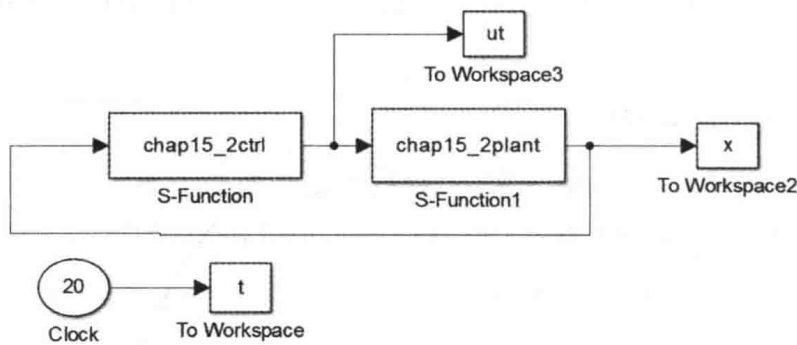


图 15-4 控制输入

仿真程序如下：

(1) Simulink 主程序：chap15_2sim.mdl。



(2) 被控对象 S 函数：chap15_2plant.m。

```
function [sys,x0,str,ts] = spacemodel(t,x,u,flag)
switch flag,
case 0,
    [sys,x0,str,ts] = mdlInitializeSizes;
case 1,
    sys = mdlDerivatives(t,x,u);
case 3,
    sys = mdlOutputs(t,x,u);
case {2,4,9}
    sys = [];
otherwise
    error(['Unhandled flag = ',num2str(flag)]);
end
function [sys,x0,str,ts] = mdlInitializeSizes
sizes = simsizes;
sizes.NumContStates = 2;
```

```

sizes.NumDiscStates = 0;
sizes.NumOutputs     = 2;
sizes.NumInputs      = 1;
sizes.DirFeedthrough = 0;
sizes.NumSampleTimes = 1;
sys = simsizes(sizes);
x0 = [0.20;0];
str = [];
ts = [0 0];
function sys = mdlDerivatives(t,x,u)
ut = u(1);
th2 = 10;

```

```

sys(1) = x(1) + x(2);
sys(2) = th2 * ut;
function sys = mdlOutputs(t,x,u)
sys(1) = x(1);
sys(2) = x(2);

```

(3) 控制器的 S 函数: chap15_2ctrl.m。

```

function [sys,x0,str,ts] = spacemodel(t,x,u,flag)
switch flag,
case 0,
    [sys,x0,str,ts] = mdlInitializeSizes;
case 1,
    sys = mdlDerivatives(t,x,u);
case 3,
    sys = mdlOutputs(t,x,u);
case {2,4,9}
    sys = [];
otherwise
    error(['Unhandled flag = ',num2str(flag)]);
end
function [sys,x0,str,ts] = mdlInitializeSizes
sizes = simsizes;
sizes.NumContStates = 1;
sizes.NumDiscStates = 0;
sizes.NumOutputs     = 1;
sizes.NumInputs      = 2;
sizes.DirFeedthrough = 1;
sizes.NumSampleTimes = 1;
sys = simsizes(sizes);
x0 = [1.0];
str = [];
ts = [0 0];
function sys = mdlDerivatives(t,x,u)
x1 = u(1);x2 = u(2);
c1 = 10;

```

```

z1 = x1;
dz1 = x1 + x2;
alfa1 = - c1 * z1 - z1;
dalfa1 = - c1 * dz1 - dz1;
z2 = x2 - alfa1;

dk = z2^2 + ( - dalfa1 + z1) * z2;
sys(1) = dk;
function sys = mdlOutputs(t,x,u)
x1 = u(1);x2 = u(2);
c1 = 10;

```

```

z1 = x1;
dz1 = x1 + x2;
alfa1 = - c1 * z1 - z1;
dalfa1 = - c1 * dz1 - dz1;
z2 = x2 - alfa1;
k = x(1);
vk = k^2 * cos(k);

ut = vk * (z2 - dalfa1 + z1);

```

```
sys(1) = ut;
```

(4) 作图程序: chap15_2plot. m。

```

close all;

figure(1);
plot(t,x(:,1), 'r',t,x(:,2), '-.k', 'linewidth',2);
xlabel('time(s)');ylabel('states response');

figure(2);
plot(t,ut(:,1), 'k', 'linewidth',2);
xlabel('time(s)');ylabel('ut');

```

15.4 控制方向未知的自适应反演控制

15.4.1 系统描述

被控对象为

$$\begin{cases} \dot{x}_1 = \theta_1 x_2 + x_1 \\ \dot{x}_2 = \theta_2 u \end{cases} \quad (15.11)$$

其中, u 为控制输入, θ_1 和 θ_2 为正负未知的未知有界常数。

控制目标为 $t \rightarrow \infty$ 时, $x_1 \rightarrow 0, x_2 \rightarrow 0$ 。

15.4.2 控制律的设计与分析

本节参考文献[2], 针对式(15.11)模型结构, 探讨基于反演控制的方法进行控制器的设计和分析。

(1) 定义 $z_1 = x_1$, 定义 Lyapunov 函数

$$V_1 = \frac{1}{2} z_1^2$$

则

$$\dot{V}_1 = z_1 \dot{z}_1 = z_1 (\theta_1 x_2 + z_1)$$

取

$$\alpha_1 = 2N(k_1)z_1, \quad \dot{k}_1 = 2\gamma_1 z_1^2 \quad (15.12)$$

其中, $\gamma_1 > 0$ 。

为了引入控制输入 u , 令 $z_2 = x_2 - \alpha_1$, 则

$$\begin{aligned} \dot{V}_1 &= z_1 \dot{z}_1 = z_1 (\theta_1 (z_2 + \alpha_1) + z_1) = z_1 (\theta_1 \alpha_1 + z_1) + \theta_1 z_1 z_2 \\ &= -z_1^2 + z_1^2 + z_1 (2\theta_1 N(k_1)z_1 + z_1) + \theta_1 z_1 z_2 \\ &= -z_1^2 + 2(\theta_1 N(k_1) + 1)z_1^2 + \theta_1 z_1 z_2 \\ &= -z_1^2 + \frac{1}{\gamma_1} (\theta_1 N(k_1) + 1) \dot{k}_1 + \theta_1 z_1 z_2 \\ &\leq -\frac{3}{4} z_1^2 + \frac{1}{\gamma_1} (\theta_1 N(k_1) + 1) \dot{k}_1 + \theta_1^2 z_2^2 \end{aligned}$$

即

$$\dot{V}_1 + \frac{3}{4} z_1^2 \leq \frac{1}{\gamma_1} (\theta_1 N(k_1) + 1) \dot{k}_1 + \theta_1^2 z_2^2$$

根据引理 15.1, 如果满足 z_2^2 可积且积分有界, 则 $V_1(t) + \frac{3}{4} \int_0^t z_1^2 d\tau$ 有界, 从而 z_1^2 和 $\int_0^t z_1^2 dt$ 有界, 由引理 15.2 (Barbalat 引理), 当 $t \rightarrow \infty$ 时, $z_1^2 \rightarrow 0$, 即 $z_1 \rightarrow 0$, 从而 $x_1 \rightarrow 0$ 。

(2) 证明 z_2^2 可积且积分有界。

定义 Lyapunov 函数

$$V_2 = \frac{1}{2} z_2^2 + \frac{1}{2} \tilde{\theta}_1^2$$

其中, $\hat{\theta}_1$ 为 θ_1 的估计值, $\tilde{\theta}_1 = \hat{\theta}_1 - \theta_1$ 。

取 N 函数 $N(k_1) = k_1^2 \cos k_1$, 则 $\alpha_1 = 2k_1^2 z_1 \cos k_1$, 且

$$\begin{aligned} \dot{\alpha}_1 &= 4k_1 \dot{k}_1 z_1 \cos k_1 - 2k_1^2 \dot{k}_1 z_1 \sin k_1 + 2k_1^2 (\theta_1 x_2 + x_1) \cos k_1 \\ &= 4\gamma_1 k_1 z_1^3 (2\cos k_1 - k_1 \sin k_1) + 2k_1^2 z_1 \cos k_1 + 2k_1^2 \theta_1 x_2 \cos k_1 \end{aligned}$$

令

$$\begin{aligned} \psi_1 &= -4\gamma_1 k_1 z_1^3 (2\cos k_1 - k_1 \sin k_1) \\ \psi_2 &= -2k_1^2 z_1 \cos k_1 = -2N(k_1)z_1 \\ \psi_3 &= -2k_1^2 x_2 \cos k_1 = -2N(k_1)x_2 \end{aligned} \quad (15.13)$$

则 $\dot{\alpha}_1 = -\psi_1 - \psi_2 - \psi_3 \theta_1$, 从而

$$\dot{z}_2 = \dot{x}_2 - \dot{\alpha}_1 = \theta_2 u + \psi_1 + \psi_2 + \psi_3 \theta_1$$

则

$$\dot{V}_2 = z_2 \dot{z}_2 + \hat{\theta}_1 \dot{\hat{\theta}}_1 = z_2 (\theta_2 u + \psi_1 + \psi_2 + \psi_3 \theta_1) + (\hat{\theta}_1 - \theta_1) \dot{\hat{\theta}}_1$$

设计控制律为

$$u = N(k_2)(z_2 + \psi_1 + \psi_2 + \psi_3 \hat{\theta}_1) \quad (15.14)$$

则

$$\begin{aligned} \dot{V}_2 &= z_2 (\theta_2 N(k_2)(z_2 + \psi_1 + \psi_2 + \psi_3 \hat{\theta}_1) + \psi_1 + \psi_2 + \psi_3 \theta_1) + (\hat{\theta}_1 - \theta_1) \dot{\hat{\theta}}_1 \\ &= -z_2^2 + (\theta_2 N(k_2) + 1)z_2^2 + z_2 \theta_2 N(k_2)(\psi_1 + \psi_2 + \psi_3 \hat{\theta}_1) + z_2(\psi_1 + \psi_2) + \\ &\quad z_2 \psi_3 \theta_1 + (\hat{\theta}_1 - \theta_1) \dot{\hat{\theta}}_1 \end{aligned}$$

取自适应律为

$$\dot{\hat{\theta}}_1 = z_2 \psi_3 \quad (15.15)$$

$$\dot{k}_2 = \gamma_2 (z_2^2 + z_2(\psi_1 + \psi_2 + \psi_3 \hat{\theta}_1)) \quad (15.16)$$

其中, $\gamma_2 > 0$ 。

则

$$\begin{aligned} (\hat{\theta}_1 - \theta_1) \dot{\hat{\theta}}_1 + z_2 \psi_3 \theta_1 &= z_2 \psi_3 \hat{\theta}_1 \\ \dot{V}_2 &= -z_2^2 + (\theta_2 N(k_2) + 1)z_2^2 + z_2 \theta_2 N(k_2)(\psi_1 + \psi_2 + \psi_3 \hat{\theta}_1) + z_2(\psi_1 + \psi_2) + z_2 \psi_3 \hat{\theta}_1 \\ &= -z_2^2 + (\theta_2 N(k_2) + 1)z_2^2 + z_2(\theta_2 N(k_2) + 1)(\psi_1 + \psi_2 + \psi_3 \hat{\theta}_1) \\ &= -z_2^2 + (\theta_2 N(k_2) + 1)(z_2^2 + z_2(\psi_1 + \psi_2 + \psi_3 \hat{\theta}_1)) \\ &= -z_2^2 + \frac{1}{\gamma_2}(\theta_2 N(k_2) + 1)\dot{k}_2 \end{aligned}$$

即

$$\dot{V}_2 + z_2^2 \leq \frac{1}{\gamma_2}(\theta_2 N(k_2) + 1)\dot{k}_2$$

两边积分可得

$$V_2(t) + \int_0^t z_2^2 d\tau \leq \int_0^t \frac{1}{\gamma_2}(\theta_2 N(k_2) + 1)\dot{k}_2 d\tau + V_2(0)$$

根据引理 15.1, $V_2(t) + \int_0^t z_2^2 d\tau$ 有界, 则 z_2^2 和 $\int_0^t z_2^2 dt$ 有界, 则由引理 15.2(Barbalat 引理),

当 $t \rightarrow \infty$ 时, $z_2^2 \rightarrow 0$, 即 $z_2 \rightarrow 0$, 从而 $x_2 \rightarrow 0$ 。

综上所述可得, 当 $t \rightarrow \infty$ 时, $x_1 \rightarrow 0, x_2 \rightarrow 0$ 。

15.4.3 仿真实例

针对被控对象式(15.11), 取 $\theta_1 = 10, \theta_2 = 10$, 被控对象的初始值为 $[0.20, 0]$, N 函数取 $N(k) = k^2 \cos k$, 取 $\gamma_1 = 30, \gamma_2 = 30$, 采用控制律为式(15.14), 自适应律为式(15.12)、式(15.15)和式(15.16), 取 $k_1(0) = 1.0, k_2(0) = 1.0, \hat{\theta}_1(0) = 1.0$, 仿真结果如图 15-5 和图 15-6 所示。

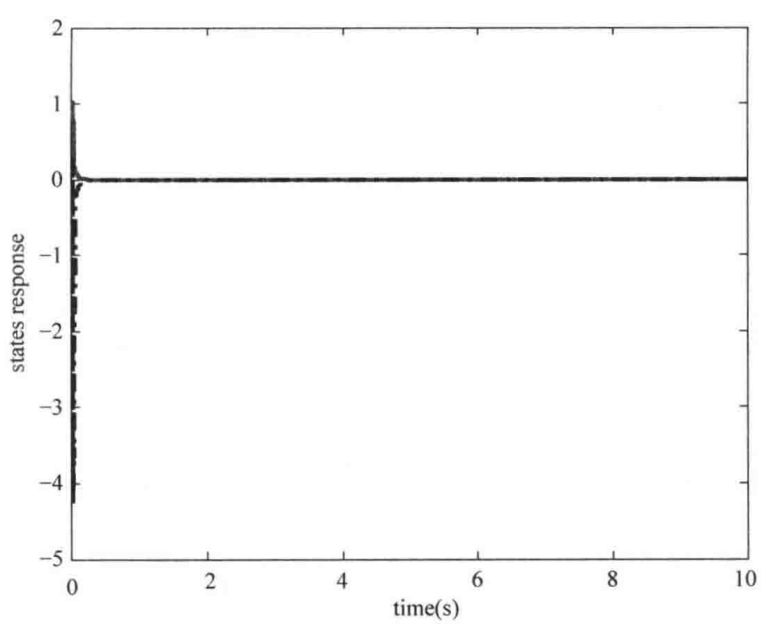


图 15-5 状态响应

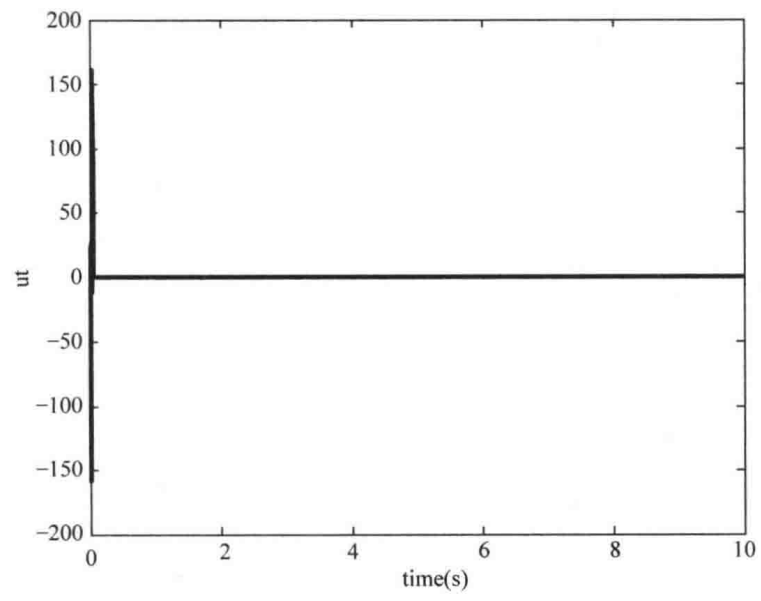
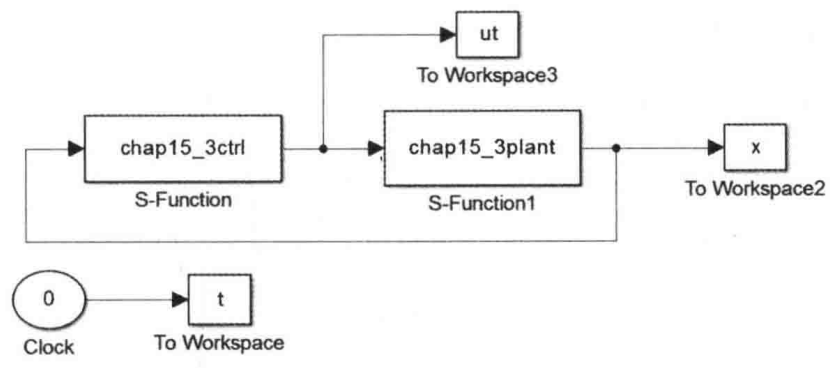


图 15-6 控制输入

仿真程序如下：

(1) Simulink 主程序：chap15_3sim.mdl。



(2) 被控对象 S 函数: chap15_3plant.m。

```
function [sys,x0,str,ts] = spacemodel(t,x,u,flag)
switch flag,
case 0,
    [sys,x0,str,ts] = mdlInitializeSizes;
case 1,
    sys = mdlDerivatives(t,x,u);
case 3,
    sys = mdlOutputs(t,x,u);
case {2,4,9}
    sys = [];
otherwise
    error(['Unhandled flag = ',num2str(flag)]);
end
function [sys,x0,str,ts] = mdlInitializeSizes
sizes = simsizes;
sizes.NumContStates = 2;
sizes.NumDiscStates = 0;
sizes.NumOutputs = 2;
sizes.NumInputs = 1;
sizes.DirFeedthrough = 0;
sizes.NumSampleTimes = 1;
sys = simsizes(sizes);
x0 = [1.0;0];
str = [];
ts = [0 0];
function sys = mdlDerivatives(t,x,u)
ut = u(1);
th1 = 10;th2 = 10;

sys(1) = th1 * x(2) + x(1);
sys(2) = th2 * ut;
function sys = mdlOutputs(t,x,u)
sys(1) = x(1);
sys(2) = x(2);
```

(3) 控制器的 S 函数: chap15_3ctrl.m。

```
function [sys,x0,str,ts] = spacemodel(t,x,u,flag)
switch flag,
case 0,
    [sys,x0,str,ts] = mdlInitializeSizes;
case 1,
    sys = mdlDerivatives(t,x,u);
case 3,
    sys = mdlOutputs(t,x,u);
case {2,4,9}
    sys = [];
otherwise
    error(['Unhandled flag = ',num2str(flag)]);
```

```

end
function [sys,x0,str,ts]=mdlInitializeSizes
sizes = simsizes;
sizes.NumContStates = 3;
sizes.NumDiscStates = 0;
sizes.NumOutputs = 1;
sizes.NumInputs = 2;
sizes.DirFeedthrough = 1;
sizes.NumSampleTimes = 1;
sys = simsizes(sizes);
x0 = [1,1,1];
str = [];
ts = [0 0];
function sys=mdlDerivatives(t,x,u)
x1 = u(1);x2 = u(2);

z1 = x1;
k1 = x(1);k2 = x(2);th1p = x(3);

Nk1 = k1^2 * cos(k1);
alfa1 = 2 * Nk1 * z1;

z2 = x2 - alfa1;

Fai1 = - 4 * z1^3 * k1 * (2 * cos(k1) - k1 * sin(k1));
Fai2 = - 2 * Nk1 * z1;
Fai3 = - 2 * Nk1 * x2;

gama1 = 30;
gama2 = 30;
dk1 = 2 * gama1 * z1^2;
dk2 = gama2 * (z2^2 + z2 * (Fai1 + Fai2 + Fai3 * th1p));
dth1p = Fai3 * z2;
sys(1) = dk1;
sys(2) = dk2;
sys(3) = dth1p;
function sys = mdlOutputs(t,x,u)
x1 = u(1);x2 = u(2);

z1 = x1;
k1 = x(1);k2 = x(2);th1p = x(3);

Nk1 = k1^2 * cos(k1);
alfa1 = 2 * Nk1 * z1;

z2 = x2 - alfa1;

Fai1 = - 4 * k1 * z1^3 * (2 * cos(k1) - k1 * sin(k1));
Fai2 = - 2 * Nk1 * z1;
Fai3 = - 2 * Nk1 * x2;

```



```
Nk2 = k2^2 * cos(k2);
```

```
ut = Nk2 * (z2 + Fai1 + Fai2 + Fai3 * th1p);
```

```
sys(1) = ut;
```

(4)作图程序: chap15_3plot.m。

```
close all;
```

```
figure(1);
```

```
plot(t, x(:,1), 'r', t, x(:,2), '-.k', 'linewidth', 2);
```

```
xlabel('time(s)'); ylabel('states response');
```

```
figure(2);
```

```
plot(t, ut(:,1), 'k', 'linewidth', 2);
```

```
xlabel('time(s)'); ylabel('ut');
```

参考文献

- [1] Nussbaum R D. Some remark on the conjecture in parameter adaptive control[J]. Systems and Control Letters, 1983, 3(4): 243-246.
- [2] Ye X D, Jiang J P. Adaptive nonlinear design without a priori knowledge of control directions[J]. IEEE Transactions on Automatic Control, 1998, 43(11): 1617-1621.
- [3] Ioannou P A, Sun J. Robust adaptive control[M]. Englewood: Prentice-Hall, 1996, 75-76.

多智能体系统一致性控制的 设计与分析

16.1 多智能体系统介绍

多智能体系统(Multi-Agent System, MAS)是当今人工智能中的前沿学科,是分布式人工智能研究的一个重要分支,其目标是将大的复杂系统(软硬件系统)建造成小的、彼此相互通信及协调的、易于管理的系统。多智能体的研究涉及智能体的知识、目标、技能、规划以及如何使智能体协调行动解决问题等。

1989 年举行的第一届国际多智能体欧洲学术会议,标志着该技术受到了研究者的广泛重视。1993 年首次召开了智能体形式化模型国际会议,1994 年又召开了第一届智能体理论、体系结构和语言国际会议,这表明多智能体技术获得了越来越多的关注。

16.1.1 多智能体系统特点

多智能体系统在表达实际系统时,通过各智能体间的通信、合作、互解、协调、调度、管理及控制来表达系统的结构、功能及行为特性。多智能体系统具有自主性、分布性、协调性,并具有自组织能力、学习能力和推理能力。采用多智能体系统解决实际问题,具有很强的鲁棒性和可靠性,并具有较高的问题求解效率。

多智能体系统有以下特点:

- (1) 每个智能体具有独立性和自主性,能够解决给定的子问题,自主地推理和规划并选择适当的策略。
- (2) 多智能体系统具有良好的模块性、易于扩展性和设计灵活性,克服了建设一个庞大的系统所造成的管理和扩展的困难,能有效地降低系统成本。
- (3) 各智能体通过互相协调去解决大规模的复杂问题,并可将各子系统的信息集成在一起,完成复杂系统的集成,能有效地提高问题求解的能力。

16.1.2 多智能体系统应用领域

1) 智能机器人

在智能机器人中,各机器人通过共享信息、相互协调,来有效地完成总体任务。利用多智能体系统,将每个机器人作为一个智能体,建立多智能体机器人协调系统,可实现多个机器人间的相互协调与合作,完成复杂的并行作业任务。

2) 交通控制

由于交通控制拓扑结构的分布式特性,多智能体技术很适合应用于交通控制,尤其对于具有剧烈变化的交通情况,多智能体的分布式处理和协调技术更为适合。

3) 柔性制造

在制造系统中,各加工单元可看作智能体,从而使加工过程构成一个半自治的多智能体制造系统,完成单元内加工任务的监督和控制。多智能体技术可用于制造系统的调度。

4) 分布式预测、监控及诊断

利用多智能体的联合意图机制可实现联合行动,从而实现分布式预测与监控。

5) 分布式计算

用多智能体技术建立分布式计算环境的基本目标是建立各种客户/服务器应用,其核心是基于智能体的服务请求代理机制,它分为两部分:由客户应用和服务请求智能体组成的客户环境和由一组服务智能体组成的服务环境。

6) 产品设计

产品设计问题涉及多目标的约束求解和设计过程的协调。利用多智能体系统的并行处理技术将不同的任务分解,分别分布在不同的智能体上,可以降低设计费用,提高设计的速度。

7) 控制系统设计

利用多智能体技术可建立一个多智能体控制系统框架,包括三层:最底层为控制层,具有实时控制能力;中间层为管理层;最上层为多智能体协调与通信层。该框架可解决实际系统的控制问题,框架内每个智能体负责各自的控制任务。

16.1.3 多智能体系统在机器人控制中的应用

目前,美国、英国、法国和澳大利亚等国家都在从事基于多智能体系统的机器人方向研究,我国也将这方面的研究列入国防科工委“八五”预研项目。在智能机器人中,信息集成和协调是一项关键性技术,它直接关系到机器人的性能和智能化程度。一个智能机器人应包括多种信息处理子系统,如二维或三维视觉处理、信息融合、规划决策以及自动驾驶等。各子系统是相互依赖、互为条件的,它们需要共享信息、相互协调,才能有效地完成总体任务,其目标是用来结合、协调、集成智能机器人系统的各种关键技术及功能子系统,使之成为一个整体以执行各种自主任务。文献[3]中,作者设计了单个机器人多智能体系统,采用实时黑板智能体作为框架的核心,实现了分布式黑板结构,并采用分布式问题求解、实时知识库及实时推理技术,以提高机器人的实时响应速度,该机器人已成功地应用于自主式水下车辆的声纳信号解释。在多机器人系统中,当多个机器人同时从事同一项或多项工作时,很容易出现冲突^[4]。利用多智能体技术,将每个机器人作为一个智能体,建立多智能体机器人协调系统,可实现多个机器人的相互协调与合作,完成复杂的并行作业任务。文献[5]中,作者提出了一种用于火星编队保持和运动轨迹跟踪的多智能体系统一致性控制器的设计和分析方法。文献[6]描述了一个移动机器人协作的多智能体系统结构,并设计了模糊逻辑的控制方法。文献[7]讨论了多机器人控制系统中的多智能体系统设计及人机交互问题。

16.1.4 多智能体控制展望

作为分布式人工智能的重要组成部分,多智能体控制技术的理论与应用研究刚刚起步,还有不少问题有待解决,主要集中在以下几方面:多智能体控制系统的实时性、鲁棒性、自适应性和稳定性;网络环境下的多智能体控制系统的约束和优化问题;多智能体控制系统的协调问题;逻辑符号与数学计算相结合的多智能体系统。

多智能体技术是目前人工智能领域中重要的研究方向之一。随着网络技术的发展,多智能体技术的应用领域不断扩大,现已面向社会领域的各个方面。如何将多智能体技术应用于机器人控制领域已成为当前最为迫切的任务之一。相信基于多智能体技术的分布式智能控制将成为智能控制的一个重要的研究方向,多智能体技术将为复杂系统的综合集成提供一条新的途径。

16.2 一阶多智能体系统的一致性控制

16.2.1 系统描述

考虑如下一阶多智能体系统

$$\dot{\mathbf{r}}_i = \mathbf{u}_i + \mathbf{d}_i \quad (16.1)$$

其中, $i = 1, 2, \dots, n$, \mathbf{u}_i 为第 i 个智能体的控制输入, \mathbf{d}_i 为加在控制输入上的扰动, $\|\mathbf{d}_i\| \leq D_i$ 。

在该一阶动态模型中, \mathbf{r}_i 是第 i 个跟随者智能体的位置, \mathbf{u}_i 是控制输入。假设领导者智能体为 0 号智能体, 其位置和速度分别为 \mathbf{r}_0 和 $\dot{\mathbf{r}}_0$, 且 $\|\dot{\mathbf{r}}_0\| \leq \gamma_l$, 定义 $\tilde{\mathbf{r}}_i = \mathbf{r}_i - \mathbf{r}_0$ 。

定义 $\tilde{\mathbf{r}} = [\tilde{\mathbf{r}}_1 \ \dots \ \tilde{\mathbf{r}}_n]^T$, 假设虚拟领导者智能体的速度是时变的, 跟随者之间的图是无向连通图, 且至少有一个跟随者能获取领导者的位置信息。控制目标是在测量速度未知时, 设计控制器, 使得所有追随者智能体都以通过局部交互跟踪虚拟领导智能体, 即 $t \rightarrow \infty$ 时, $\tilde{\mathbf{r}} \rightarrow 0$ 。

16.2.2 控制器的设计

参考文献[8]的设计思路, 进一步考虑克服控制输入扰动的问题, 设计鲁棒控制器, 表示为

$$\mathbf{u}_i = -\alpha \sum_{j=0}^n a_{ij} (\mathbf{r}_i - \mathbf{r}_j) - \beta_i \operatorname{sgn} \left\{ \sum_{j=0}^n a_{ij} (\mathbf{r}_i - \mathbf{r}_j) \right\} \quad (16.2)$$

其中, α, β_i 都为正常数, $\beta_i > \gamma_l + D_i$, sgn 是符号函数。

定义 $\mathbf{S}_i = \sum_{j=0}^n a_{ij} (\mathbf{r}_i - \mathbf{r}_j)$, 则控制器可以表示为

$$\mathbf{u}_i = -\alpha \mathbf{S}_i - \beta_i \operatorname{sgn} \mathbf{S}_i$$

首先将控制器式(16.2)代入模型式(16.1), 可得

$$\dot{\tilde{\mathbf{r}}}_i = \dot{\mathbf{r}}_i - \dot{\mathbf{r}}_0 = \mathbf{u}_i + \mathbf{d}_i - \dot{\mathbf{r}}_0 = -\alpha \mathbf{S}_i - \beta_i \operatorname{sgn} \mathbf{S}_i + \mathbf{d}_i - \dot{\mathbf{r}}_0$$

由于 $\mathbf{r}_i - \mathbf{r}_0 = \tilde{\mathbf{r}}_i$, $\mathbf{r}_i - \mathbf{r}_j = \tilde{\mathbf{r}}_i - \tilde{\mathbf{r}}_j$, 则

$$S_i = \sum_{j=0}^n a_{ij} (\mathbf{r}_i - \mathbf{r}_j) = \sum_{j=1}^n a_{ij} (\mathbf{r}_i - \mathbf{r}_j) + a_{i0} (\mathbf{r}_i - \mathbf{r}_0) = \sum_{j=1}^n a_{ij} (\tilde{\mathbf{r}}_i - \tilde{\mathbf{r}}_j) + a_{i0} \tilde{\mathbf{r}}_i$$

定义 $\tilde{\mathbf{r}} = [\tilde{\mathbf{r}}_1 \quad \tilde{\mathbf{r}}_2 \quad \tilde{\mathbf{r}}_3]^T$, 则

$$\dot{\tilde{\mathbf{r}}}_i = -\alpha \left(\sum_{j=1}^n a_{ij} \tilde{\mathbf{r}}_i - \sum_{j=1}^n a_{ij} \tilde{\mathbf{r}}_j + a_{i0} \tilde{\mathbf{r}}_i \right) - \beta \text{sgn} \left(\sum_{j=1}^n a_{ij} \tilde{\mathbf{r}}_i - \sum_{j=1}^n a_{ij} \tilde{\mathbf{r}}_j + a_{i0} \tilde{\mathbf{r}}_i \right) + \mathbf{d}_i - \dot{\mathbf{r}}_0 \tag{16.3}$$

考虑取 $n=3$ 时, 将 S_i 展开可得

$$S_i = \sum_{j=1}^n a_{ij} \tilde{\mathbf{r}}_i - \sum_{j=1}^n a_{ij} \tilde{\mathbf{r}}_j + a_{i0} \tilde{\mathbf{r}}_i = (a_{i1} + a_{i2} + a_{i3}) \tilde{\mathbf{r}}_i - (a_{i1} \tilde{\mathbf{r}}_1 + a_{i2} \tilde{\mathbf{r}}_2 + a_{i3} \tilde{\mathbf{r}}_3) + a_{i0} \tilde{\mathbf{r}}_i$$

即

$$\begin{aligned} \mathbf{S} &= (a_{i1} + a_{i2} + a_{i3}) \tilde{\mathbf{r}}_i - (a_{i1} \tilde{\mathbf{r}}_1 + a_{i2} \tilde{\mathbf{r}}_2 + a_{i3} \tilde{\mathbf{r}}_3) + \begin{bmatrix} a_{10} & & \\ & a_{20} & \\ & & a_{30} \end{bmatrix} \tilde{\mathbf{r}} \\ &= \mathbf{L} \tilde{\mathbf{r}} + \text{diag}(a_{10}, a_{20}, a_{30}) \tilde{\mathbf{r}} = \mathbf{M} \tilde{\mathbf{r}} \end{aligned}$$

其中, $\mathbf{S} = \{S_i\}, i=1, 2, \dots, n, \mathbf{M} = \mathbf{L} + \text{diag}(a_{10}, a_{20}, \dots, a_{n0}), \mathbf{L}$ 为 Laplacian 矩阵, 该矩阵主要应用于图论中, 作为一个图的矩阵表示, \mathbf{L} 为半对称正定矩阵, \mathbf{M} 为对称正定矩阵, $\text{sgn}(\mathbf{M} \tilde{\mathbf{r}}) = \text{sgn}(\tilde{\mathbf{r}})$ 。定义 $\mathbf{L} = \{l_{ij}\} \in \mathbf{R}^{n \times n}$, 考虑到 $i=j$ 时, $a_{ij}=0$, 则可取

$$l_{ii} = \sum_{j=1, i \neq j}^n a_{ij}, \quad l_{ij} = -a_{ij} (i \neq j)$$

则式(16.3)可写为

$$\dot{\tilde{\mathbf{r}}} = -\alpha \mathbf{S} - \beta \text{sgn} \mathbf{S} + \mathbf{I} (\mathbf{d}_i - \dot{\mathbf{r}}_0)$$

即

$$\dot{\tilde{\mathbf{r}}} = -\alpha \mathbf{M} \tilde{\mathbf{r}} - \beta \text{sgn}(\mathbf{M} \tilde{\mathbf{r}}) + \mathbf{I} (\mathbf{d}_i - \dot{\mathbf{r}}_0) \tag{16.4}$$

16.2.3 稳定性分析

定义 Lyapunov 函数

$$V = \frac{1}{2} \tilde{\mathbf{r}}^T \mathbf{M} \tilde{\mathbf{r}}$$

则

$$\begin{aligned} \dot{V} &= \tilde{\mathbf{r}}^T \mathbf{M} \dot{\tilde{\mathbf{r}}} = \tilde{\mathbf{r}}^T \mathbf{M} (-\alpha \mathbf{M} \tilde{\mathbf{r}} - \beta \text{sgn} \mathbf{M} \tilde{\mathbf{r}} - \mathbf{I} (\mathbf{d}_i - \dot{\mathbf{r}}_0)) \\ &\leq -\alpha \tilde{\mathbf{r}}^T \mathbf{M}^2 \tilde{\mathbf{r}} - \beta \|\mathbf{M} \tilde{\mathbf{r}}\|_1 + |\mathbf{d}_i - \dot{\mathbf{r}}_0| \|\mathbf{M} \tilde{\mathbf{r}}\|_1 \\ &\leq -\alpha \tilde{\mathbf{r}}^T \mathbf{M}^2 \tilde{\mathbf{r}} - \beta \|\mathbf{M} \tilde{\mathbf{r}}\|_1 + \gamma_l \|\mathbf{M} \tilde{\mathbf{r}}\|_1 \leq -\alpha \tilde{\mathbf{r}}^T \mathbf{M}^2 \tilde{\mathbf{r}} \leq 0 \end{aligned}$$

则 $t \rightarrow \infty$ 时, $\tilde{\mathbf{r}} \rightarrow 0$ 。

16.2.4 仿真实例

智能体 i 位置表示为 $\mathbf{r}_i = [r_{ix} \quad r_{iy}]$, r_{ix} 和 r_{iy} 分别为智能体 i 在 x 方向和 y 方向的位置, 若智能体 i 和智能体 j 相连通, 则 $a_{ij}=1$, 否则 $a_{ij}=0$ 。

考虑由 1 个领导者智能体和 3 个跟随者智能体构成的多智能体系统,系统结构如图 16-1 所示, $i=1,2,3,j=1,2,3$ 。

图 16-1 中, L 为领导者智能体, $F1$ 、 $F2$ 、 $F3$ 为跟随者智能体。

根据图 16-1 及定义, $a_{10}=1,a_{20}=0,a_{30}=0$,可得 Laplacian 矩阵 L 表达式为

$$L = \{l_{ij}\} = \begin{bmatrix} 2 & -1 & -1 \\ -1 & 2 & -1 \\ -1 & -1 & 2 \end{bmatrix}$$

$$M = L + \text{diag}(1 \ 0 \ 0)$$

根据 MATLAB 命令,采用仿真程序 chap16_1L.m,可得 L 特征值为: $\text{eig}(L)=[0 \ 3 \ 3]$, M 特征值为: $\text{eig}(M)=[0.2679 \ 3.0000 \ 3.7321]$,满足设计要求。

取 $r_0(t)=[\cos t \ \sin t]^T$, $d_i=3\sin t$,采用控制器式(16.2),取 $\alpha=1,\gamma_l=1.414$,根据 $\beta_i>\gamma_l+D_i$,可取 $\beta=3.5$ 。

为了防止抖振,控制器中采用饱和函数 $\text{sat}x$ 代替符号函数 $\text{sgn}x$,设计如下

$$\text{sat}x = \begin{cases} 1, & x > \Delta \\ kx, & |x| \leq \Delta, \quad k=1/\Delta \\ -1, & x < -\Delta \end{cases}$$

其中, Δ 为边界层。

采用饱和函数控制实质为:在边界层之外,采用切换控制,使系统状态快速趋于收敛值,在边界层之内,采用反馈控制,以降低快速切换时产生的抖振。

控制律中,采用饱和函数代替符号函数,取 $\Delta=0.01$,所有智能体的一致性控制跟踪如图 16-2 所示, x 方向和 y 方向的位置跟踪误差如图 16-3 所示, x 方向和 y 方向的控制输入如图 16-4 所示。

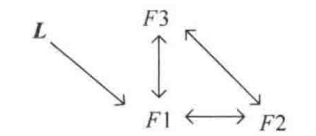


图 16-1 多智能体系统结构

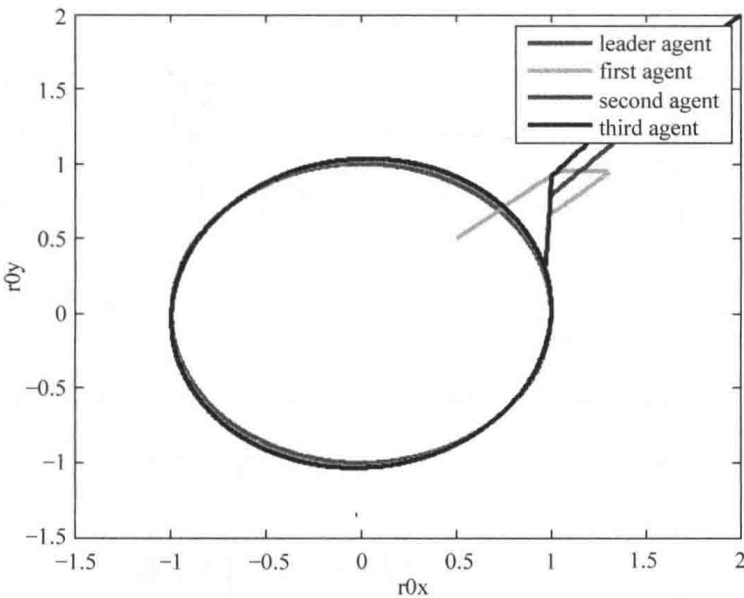


图 16-2 3 个智能体的跟踪

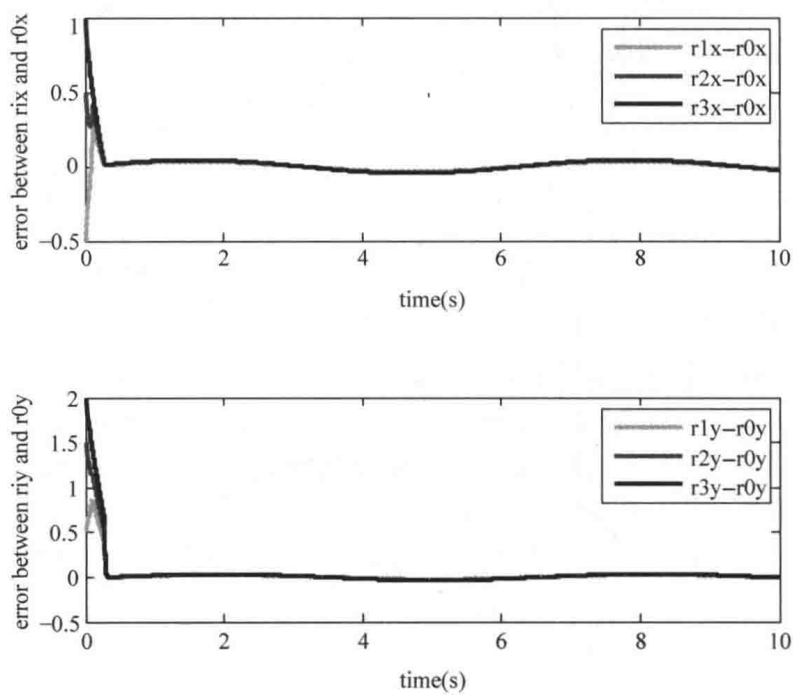


图 16-3 3 个智能体在 x 和 y 方向的响应

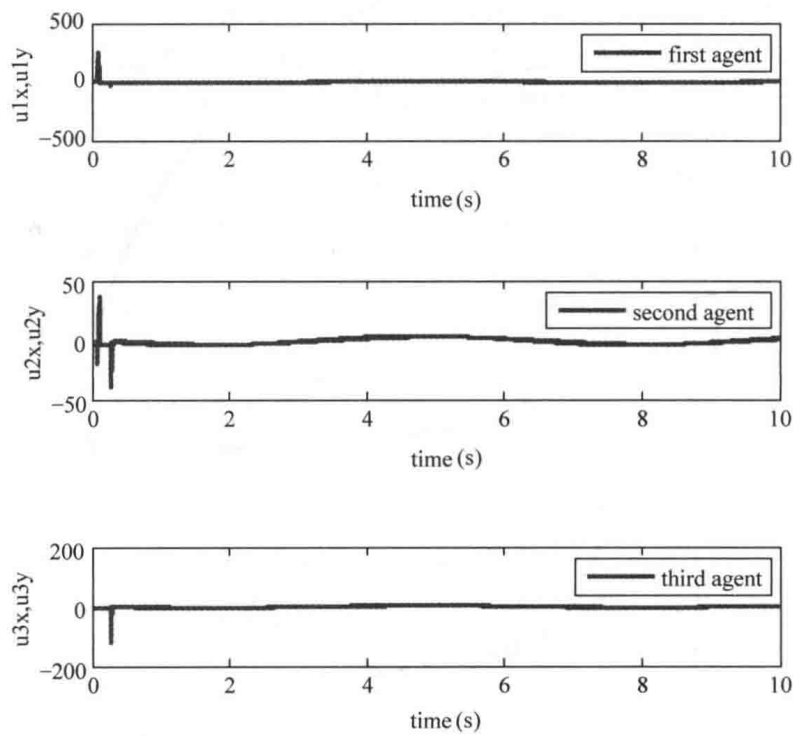
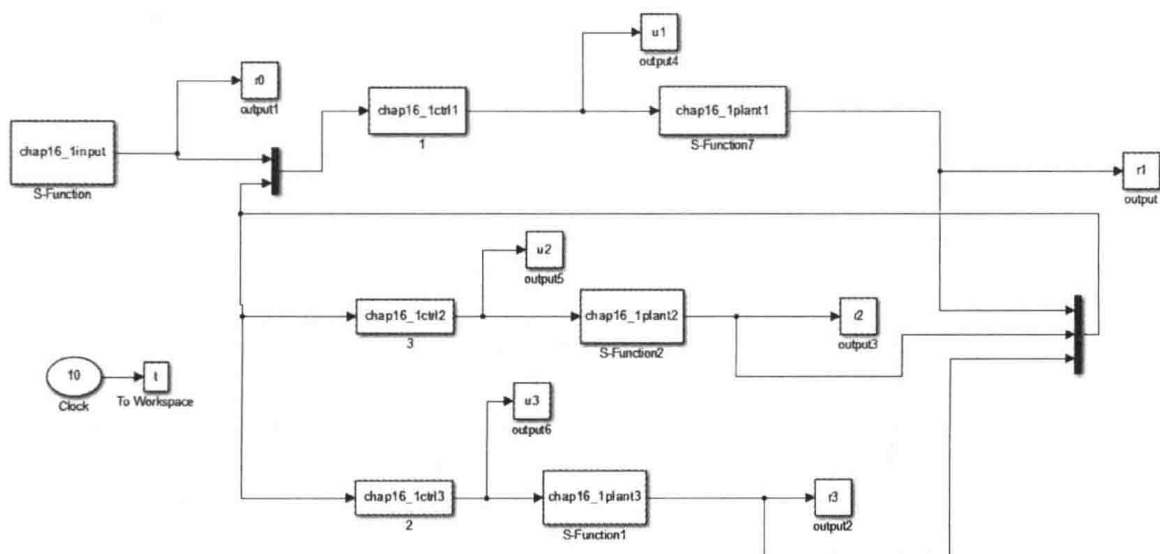


图 16-4 3 个智能体在 x 和 y 方向的控制输入

仿真程序如下:

(1) 主程序: chap16_1sim.mdl。



(2) 领导者智能体 L 子程序: chap16_1input.m。

```
function [sys,x0,str,ts] = func(t,x,u,flag)
switch flag,
case 0,
    [sys,x0,str,ts] = mdlInitializeSizes;
case 1,
    sys = mdlDerivatives(t,x,u);
case 3,
    sys = mdlOutputs(t,x,u);
case {2,4,9}
    sys = [];
otherwise
    error(['Unhandled flag = ',num2str(flag)]);
end
function [sys,x0,str,ts] = mdlInitializeSizes
sizes = simsizes;
sizes.NumContStates = 0;
sizes.NumDiscStates = 0;
sizes.NumOutputs = 2;
sizes.NumInputs = 0;
sizes.DirFeedthrough = 1;
sizes.NumSampleTimes = 1;
sys = simsizes(sizes);
x0 = [];
str = [];
ts = [0 0];
function sys = mdlOutputs(t,x,u)
r0 = [cos(t),sin(t)]';

sys(1) = r0(1);
sys(2) = r0(2);
```


(3) 跟随者智能体 F1 控制器子程序: chap16_lctrl1.m。

```
function [sys,x0,str,ts] = func(t,x,u,flag)
switch flag,
case 0,
    [sys,x0,str,ts] = mdlInitializeSizes;
case 1,
    sys = mdlDerivatives(t,x,u);
case 3,
    sys = mdlOutputs(t,x,u);
case {2,4,9}
    sys = [];
otherwise
    error(['Unhandled flag = ',num2str(flag)]);
end
function [sys,x0,str,ts] = mdlInitializeSizes
sizes = simsizes;
sizes.NumContStates = 0;
sizes.NumDiscStates = 0;
sizes.NumOutputs = 2;
sizes.NumInputs = 8;
sizes.DirFeedthrough = 1;
sizes.NumSampleTimes = 1;
sys = simsizes(sizes);
x0 = [];
str = [];
ts = [0 0];
function sys = mdlOutputs(t,x,u)
alfa = 1.0; beta = 3.5;
r0 = [u(1) u(2)]';
r1 = [u(3) u(4)]';
r2 = [u(5) u(6)]';
r3 = [u(7) u(8)]';

a01 = 1; a21 = 1; a31 = 1;
sum1 = a01 * (r1 - r0) + a21 * (r1 - r2) + a31 * (r1 - r3);

% Saturated function
delta = 0.01;
kk = 1/delta;
if abs(sum1) > delta
    sat1 = sign(sum1);
else
    sat1 = kk * sum1;
end
% u1 = - alfa * sum1 - beta * sign(sum1);
u1 = - alfa * sum1 - beta * sat1;

sys(1) = u1(1); % u1x;
sys(2) = u1(2); % u1y;
```

(4) 跟随者智能体 F1 被控对象子程序: chap16_1plant1.m。

```
function [sys,x0,str,ts] = Model(t,x,u,flag)
switch flag,
case 0,
    [sys,x0,str,ts] = mdlInitializeSizes;
case 1,
    sys = mdlDerivatives(t,x,u);
case 3,
    sys = mdlOutputs(t,x,u);
case {2, 4, 9}
    sys = [];
otherwise
    error(['Unhandled flag = ',num2str(flag)]);
end
function [sys,x0,str,ts] = mdlInitializeSizes
sizes = simsizes;
sizes.NumContStates = 2;
sizes.NumDiscStates = 0;
sizes.NumOutputs = 2;
sizes.NumInputs = 2;
sizes.DirFeedthrough = 0;
sizes.NumSampleTimes = 1;
sys = simsizes(sizes);
x0 = [0.5 0.5];
str = [];
ts = [-1 0];
function sys = mdlDerivatives(t,x,u)
ulx = u(1);
uly = u(2);

sys(1) = ulx;
sys(2) = uly;
function sys = mdlOutputs(t,x,u)
r1 = [x(1) x(2)];
sys(1) = r1(1);
sys(2) = r1(2);
```

(5) 作图子程序: chap16_1plot.m。

```
close all;
figure(1);
plot(r0(:,1),r0(:,2),'r','linewidth',2);
xlabel('r0x');ylabel('r0y');
hold on;
plot(r1(:,1),r1(:,2),'g','linewidth',2);
hold on;
plot(r2(:,1),r2(:,2),'b','linewidth',2);
hold on;
plot(r3(:,1),r3(:,2),'k','linewidth',2);
legend('leader agent','first agent','second agent','third agent');
```

```

figure(2);
subplot(211);
plot(t,r1(:,1)-r0(:,1),'g',t,r2(:,1)-r0(:,1),'b',t,r3(:,1)-r0(:,1),'k','linewidth',2);
xlabel('time(s)');ylabel('error between r1x and r0x');
legend('r1x-r0x','r2x-r0x','r3x-r0x');
subplot(212);
plot(t,r1(:,2)-r0(:,2),'g',t,r2(:,2)-r0(:,2),'b',t,r3(:,2)-r0(:,2),'k','linewidth',2);
xlabel('time(s)');ylabel('error between r1y and r0y');
legend('r1y-r0y','r2y-r0y','r3y-r0y');

figure(3);
subplot(311);
plot(t,u1(:,1),'b',t,u1(:,2),'r','linewidth',2);
xlabel('time(s)');ylabel('u1x,u1y');
legend('first agent');
subplot(312);
plot(t,u2(:,1),'b',t,u2(:,2),'r','linewidth',2);
xlabel('time(s)');ylabel('u2x,u2y');
legend('second agent');
subplot(313);
plot(t,u3(:,1),'b',t,u3(:,2),'r','linewidth',2);
xlabel('time(s)');ylabel('u3x,u3y');
legend('third agent');

```

(6) Laplacian 矩阵 L 和矩阵 M 的测试: chap16_1L.m。

```

close all;
n = 3;

a12 = 1;a13 = 1;a23 = 1;

L11 = a12 + a13;
L22 = a12 + a13;
L33 = a12 + a13;

L12 = -a12;
L21 = L12;

L13 = -a13;
L31 = L13;

L23 = -a23;
L32 = L23;

L = [L11 L12 L13;
     L21 L22 L23;
     L31 L32 L33];

% L = [2 -1 -1;
%      -1 2 -1;
%      -1 -1 2];

a10 = 1;a20 = 0;a30 = 0;
A = [a10 0 0;0 a20 0;0 0 a30];

```

$$M = L + A;$$

$$\text{eig_L} = \text{eig}(L)$$

$$\max(\text{eig_L})$$

$$\text{eig_M} = \text{eig}(M)$$

16.3 非线性多智能体系统一致性控制

16.3.1 问题描述

考虑一组具有如下—阶时变动态非线性智能体系统^[9]

$$\dot{x}_i = f_i(t, x_i) + g_i(t, x_i)u_i + d_i(t) \quad (16.5)$$

其中, $i=1, 2, \dots, n$, $x_i \in \mathbf{R}$ 表示第 i 个智能体的状态, $u_i \in \mathbf{R}$ 表示第 i 个智能体的控制输入, 函数 f_i 表示第 i 个智能体的非线性动态, 函数 g_i 表示与状态相关的控制方程, 函数 d_i 表示外部干扰, $|d_i(t)| \leq D_i$ 。

假设函数 f_i 和 g_i 均未知, 满足

$$|f_i(t, x_i)| \leq \rho_i(t, x_i), \quad g_i(t, x_i) \geq g_0 > 0 \quad (16.6)$$

其中, $\rho_i(t, x_i)$ 和 g_0 分别是已知的非负函数和正常数。

考虑一组非线性系统的通信拓扑为无向, 即若智能体 i 和智能体 j 可以进行双向通信, 则有 $a_{ij} = a_{ji} = 1$, 否则 $a_{ij} = a_{ji} = 0$, 且有 $a_{ii} = 0$, 取 $\mathbf{A} = [a_{ij}] \in \mathbf{R}^{n \times n}$ 。

16.3.2 控制器的设计与分析

针对式(16.5)描述的一组智能体系统, 设计如下控制器

$$u_i = -\frac{1}{g_0} \text{sgn} x_i (\rho_i(t, x_i) + D_i + \left| \sum_{j=1}^n [a_{ij}(x_i - x_j)] \right| + \eta_i) \quad (16.7)$$

其中, $\eta_i > 0$ 。

针对第 i 个智能体, 构造如下 Lyapunov 函数

$$V_i = \frac{1}{2} x_i^2$$

则

$$\begin{aligned} \dot{V}_i &= x_i \dot{x}_i \\ &= x_i (f_i(t, x_i) + g_i(t, x_i)u_i + d_i(t)) \\ &\leq |x_i \rho_i(t, x_i)| + g_i(t, x_i)x_i u_i + |x_i D_i| \\ &= |x_i \rho_i(t, x_i)| - \frac{g_i(t, x_i)}{g_0} x_i \text{sgn} x_i \left(\rho_i(t, x_i) + D_i + \left| \sum_{j=1}^n [a_{ij}(x_i - x_j)] \right| + \eta_i \right) + |x_i D_i| \\ &\leq |x_i \rho_i(t, x_i)| - |x_i| \left(|\rho_i(t, x_i)| + D_i + \left| \sum_{j=1}^n [a_{ij}(x_i - x_j)] \right| + \eta_i \right) + |x_i D_i| \\ &= -|x_i| \left(\left| \sum_{j=1}^n [a_{ij}(x_i - x_j)] \right| + \eta_i \right) \leq 0 \end{aligned}$$

当且仅当 $x_i=0$ 时, $\dot{V}_i=0$, 当 $t \rightarrow \infty$ 时, $x_i \rightarrow 0$, 且收敛速度取决于第 i 个智能体与相通信的智能体之间的间隔值。

16.3.3 仿真实例

考虑具有如图 16-5 所示通信拓扑的 4 个多智能体, 取 4 个多智能体初始状态为 $x_1(0)=-3, x_2(0)=-5, x_3(0)=5, x_4(0)=1$ 。图中相邻 2 个智能体之间均为无向图, 即

$$A = \begin{bmatrix} 0 & 1 & 0 & 1 \\ 1 & 0 & 1 & 0 \\ 0 & 1 & 0 & 1 \\ 1 & 0 & 1 & 0 \end{bmatrix}$$

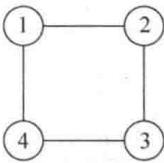


图 16-5 通信拓扑图

根据式(16.5), 考虑每个智能体的非线性动态为

$$\dot{x}_i = f_i(t, x_i) + g_i(t, x_i)u_i + d_i(t), \quad i = 1, 2, 3, 4$$

其中,

$$\begin{aligned} f_i(t, x_i) &= -0.1x_i + 0.2x_i^2 \sin(0.1t) \leq |0.1x_i| + 0.2x_i^2 \\ g_i(t, x_i) &= 0.1\cos^2 x_i + 0.2 \geq 0.2 \\ d_i(t) &= 0.1\cos(0.1t) \end{aligned}$$

则可取

$$\rho_i(t, x_i) = |0.1x_i| + 0.2x_i^2, \quad g_0 = 0.2, \quad D_i = 0.10, \quad \eta_i = 0.01$$

根据式(16.7), 控制律为

$$u_i = -\frac{1}{0.2} \operatorname{sgn} x_i \left(|0.1x_i| + 0.2x_i^2 + 0.10 + \left| \sum_{j=1}^n [a_{ij}(x_i - x_j)] \right| + 0.01 \right)$$

为了防止抖振, 控制器中采用饱和函数代替符号函数, 具体算法同 16.2 节, 取 $\Delta=0.001$, 仿真结果如图 16-6 和图 16-7 所示。

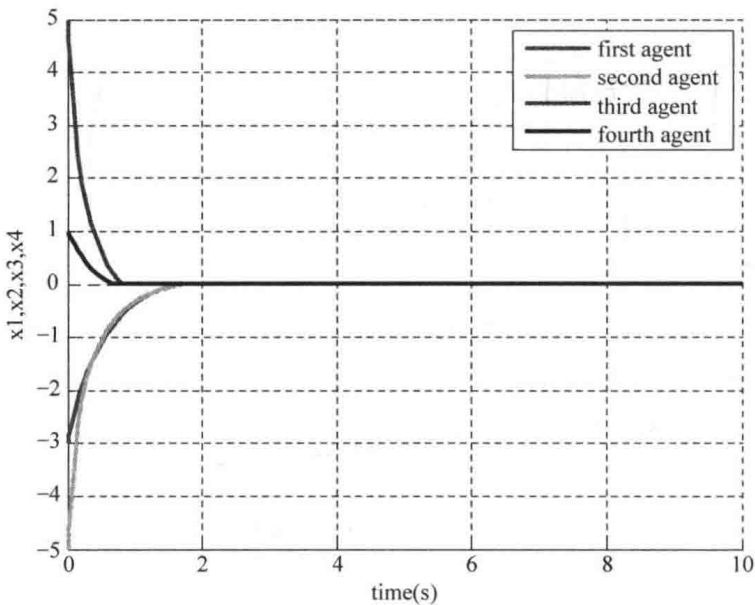


图 16-6 系统状态 x_i 收敛结果

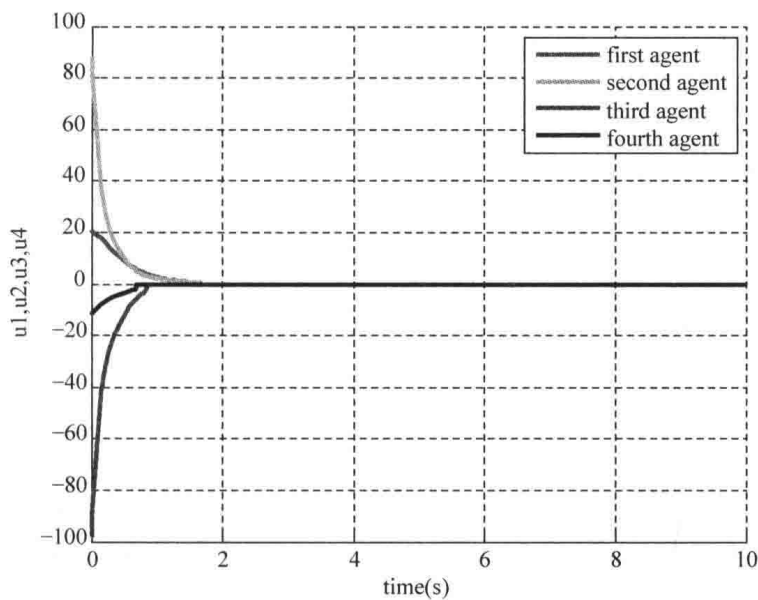
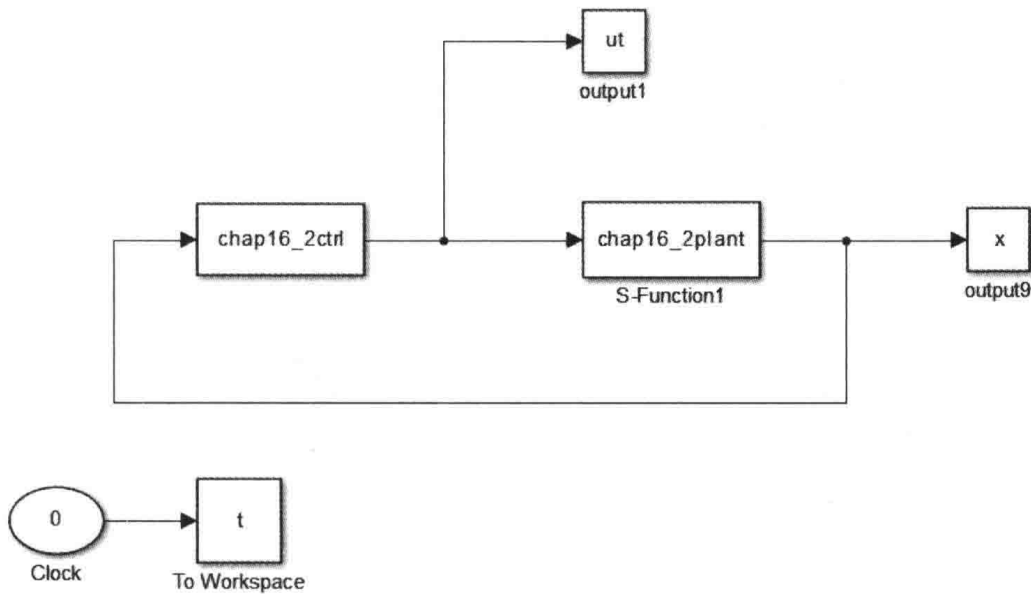


图 16-7 控制输入

Simulink 仿真程序如下：

(1) 主程序：chap16_2sim.mdl。



(2) 智能体控制器子程序：chap16_2ctrl.m。

```
function [sys,x0,str,ts] = Ma_ctrl(t,x,u,flag)
switch flag,
case 0,
    [sys,x0,str,ts] = mdlInitializeSizes;
case 3,
    sys = mdlOutputs(t,x,u);
case {1,2,4,9}
    sys = [];
```

```

otherwise
    error(['Unhandled flag = ', num2str(flag)]);
end
function [sys,x0,str,ts] = mdlInitializeSizes
sizes = simsizes;
sizes.NumContStates = 0;
sizes.NumDiscStates = 0;
sizes.NumOutputs = 4;
sizes.NumInputs = 4;
sizes.DirFeedthrough = 1;
sizes.NumSampleTimes = 0;
sys = simsizes(sizes);
x0 = [];
str = [];
ts = [];
function sys = mdlOutputs(t,x,u)
x1 = u(1);
x2 = u(2);
x3 = u(3);
x4 = u(4);
X = [x1 x2 x3 x4];

a12 = 1;a13 = 0;a14 = 1;
a21 = 1;a23 = 1;a24 = 0;
a31 = 0;a32 = 1;a34 = 1;
a41 = 1;a42 = 0;a43 = 1;
a11 = 0;a22 = 0;a33 = 0;a44 = 0;

g0 = 0.20;

% Saturated function
delta = 0.001;
kk = 1/delta;

for i = 1:4
    if abs(X(i)) > delta
        sat_x(i) = sign(X(i));
    else
        sat_x(i) = kk * X(i);
    end
end

sum1 = a12 * (x1 - x2) + a13 * (x1 - x3) + a14 * (x1 - x4);
sum2 = a21 * (x2 - x1) + a23 * (x2 - x3) + a24 * (x2 - x4);
sum3 = a31 * (x3 - x1) + a32 * (x3 - x2) + a34 * (x3 - x4);
sum4 = a41 * (x1 - x2) + a42 * (x4 - x2) + a43 * (x4 - x3);

xite = 0.01;
u1 = -1/g0 * sat_x(1) * (abs(0.1 * x1) + 0.2 * x1^2 + 0.1 + abs(sum1) + xite);
u2 = -1/g0 * sat_x(2) * (abs(0.1 * x2) + 0.2 * x2^2 + 0.1 + abs(sum2) + xite);
u3 = -1/g0 * sat_x(3) * (abs(0.1 * x3) + 0.2 * x3^2 + 0.1 + abs(sum3) + xite);

```

```
u4 = -1/g0 * sat_x(4) * (abs(0.1 * x4) + 0.2 * x4^2 + 0.1 + abs(sum4) + xite);
```

```
sys(1) = u1;
sys(2) = u2;
sys(3) = u3;
sys(4) = u4;
```

(3) 智能体被控对象子程序: chap16_2plant.m。

```
function [sys,x0,str,ts] = Ma_plant(t,x,u,flag)
switch flag,
case 0,
    [sys,x0,str,ts] = mdlInitializeSizes;
case 1,
    sys = mdlDerivatives(t,x,u);
case 3,
    sys = mdlOutputs(t,x,u);
case {2, 4, 9}
    sys = [];
otherwise
    error(['Unhandled flag = ',num2str(flag)]);
end
function [sys,x0,str,ts] = mdlInitializeSizes
sizes = simsizes;
sizes.NumContStates = 4;
sizes.NumDiscStates = 0;
sizes.NumOutputs = 4;
sizes.NumInputs = 4;
sizes.DirFeedthrough = 0;
sizes.NumSampleTimes = 0;
sys = simsizes(sizes);
x0 = [-3 -5 5 1];
str = [];
ts = [];
function sys = mdlDerivatives(t,x,u)
u1 = u(1);
u2 = u(2);
u3 = u(3);
u4 = u(4);

x1 = x(1);
x2 = x(2);
x3 = x(3);
x4 = x(4);

dt = 0.1 * cos(0.1 * t);
dx1 = -0.1 * x1 + 0.2 * (x1^2) * sin(0.1 * t) + (0.1 * (cos(x1).^2) + 0.2) * u1 + dt;
dx2 = -0.1 * x2 + 0.2 * (x2^2) * sin(0.1 * t) + (0.1 * (cos(x2).^2) + 0.2) * u2 + dt;
dx3 = -0.1 * x3 + 0.2 * (x3^2) * sin(0.1 * t) + (0.1 * (cos(x3).^2) + 0.2) * u3 + dt;
dx4 = -0.1 * x4 + 0.2 * (x4^2) * sin(0.1 * t) + (0.1 * (cos(x4).^2) + 0.2) * u4 + dt;
```



```

sys(1) = dx1;
sys(2) = dx2;
sys(3) = dx3;
sys(4) = dx4;
function sys = mdlOutputs(t,x,u)
sys(1) = x(1);
sys(2) = x(2);
sys(3) = x(3);
sys(4) = x(4);

```

(4) 作图子程序: chap16_2plot.m。

```

close all;
figure(1);
grid on;
xlabel('time(s)');ylabel('x1,x2,x3,x4');
hold on;
plot(t,x(:,1),'r','linewidth',2);
hold on;
plot(t,x(:,2),'g','linewidth',2);
hold on;
plot(t,x(:,3),'b','linewidth',2);
hold on;
plot(t,x(:,4),'k','linewidth',2);
legend('first agent','second agent','third agent','fourth agent');

figure(2);
grid on;
xlabel('time(s)');ylabel('u1,u2,u3,u4');
hold on;
plot(t,ut(:,1),'r','linewidth',2);
hold on;
plot(t,ut(:,2),'g','linewidth',2);
hold on;
plot(t,ut(:,3),'b','linewidth',2);
hold on;
plot(t,ut(:,4),'k','linewidth',2);
legend('first agent','second agent','third agent','fourth agent');

```

16.4 线性多智能体系统一致性控制

16.4.1 系统描述

针对如下二阶线性多智能体系统:

$$\begin{aligned}
 \dot{x}_{i1} &= x_{i2} \\
 \dot{x}_{i2} &= u_i + d_i \\
 y_i &= x_{i1}
 \end{aligned} \tag{16.8}$$

其中, $|d_i| \leq d_{i\max}$ 。

针对智能体 i 和智能体 j , $(j, i) \in E$ 表示智能体 i 可以获得智能体 j 的信息, 智能体 i 的相邻集合表示为 $\Delta_i = \{j \mid (j, i) \in E\}$ 。

智能体 i 与智能体 j 之间连接的标记取 a_{ij} , $a_{ij} = 1$ 时表示智能体 i 与智能体 j 之间有通信, 否则 $a_{ij} = 0$, 且有 $a_{ii} = 0$, $\mathbf{A} = [a_{ij}] \in \mathbf{R}^{N \times N}$ 。

定义 $\mathbf{\Xi} = \text{diag}\{\Xi_1, \dots, \Xi_N\}$, $\Xi_i = \sum_{j=1}^N a_{ij}$, 定义 Laplacian 矩阵为

$$\mathbf{L} = \mathbf{\Xi} - \mathbf{A}$$

一致性指令为 y_0 , 智能体 i 与指令 y_0 之间连接的标记取 μ_i , $\mu_i = 1$ 时表示智能体 i 可以获得指令 y_0 信息, 否则取 $\mu_i = 0$, 取

$$\boldsymbol{\mu} = \text{diag}\{\mu_1, \dots, \mu_N\}$$

控制目标为: $t \rightarrow \infty$ 时, $x_{i1} \rightarrow y_0$, $x_{i2} \rightarrow \dot{y}_0$ 。

16.4.2 控制律的设计

智能体 i 的跟踪误差为 $\epsilon_i = y_i - y_0$, 定义

$$\begin{aligned} \bar{\epsilon}_i &= \dot{\epsilon}_i + \epsilon_i \\ z_i &= \mu_i(y_i - y_0) + \sum_{j \in \Delta_i} (y_i - y_j) \end{aligned} \quad (16.9)$$

$$\bar{z}_i = \dot{z}_i + z_i$$

由于 $y_i - y_j = \epsilon_i - \epsilon_j$, 根据 a_{ij} 的定义, 有

$$z_i = \mu_i \epsilon_i + \sum_p a_{ip} (\epsilon_i - \epsilon_{jp}) = (\mu_i + \Xi_i) \epsilon_i - \sum_p a_{ip} \epsilon_p$$

由于 $\sum_p a_{ip} \epsilon_p = \mathbf{A} \boldsymbol{\epsilon}_i$, 则

$$\bar{\mathbf{z}} = (\boldsymbol{\mu} + \mathbf{\Xi}) \bar{\boldsymbol{\epsilon}} - \mathbf{A} \bar{\boldsymbol{\epsilon}} = (\mathbf{L} + \boldsymbol{\mu}) \bar{\boldsymbol{\epsilon}} \quad (16.10)$$

根据控制目标, 设计 Lyapunov 函数为

$$V = \frac{1}{2} \bar{\boldsymbol{\epsilon}}^T (\mathbf{L} + \boldsymbol{\mu}) \bar{\boldsymbol{\epsilon}} \quad (16.11)$$

则

$$\dot{V} = \bar{\boldsymbol{\epsilon}}^T (\mathbf{L} + \boldsymbol{\mu}) \dot{\bar{\boldsymbol{\epsilon}}} = \bar{\mathbf{z}}^T \dot{\bar{\boldsymbol{\epsilon}}}$$

由于

$$\begin{aligned} \dot{\bar{\epsilon}}_i &= \ddot{\epsilon}_i + \dot{\epsilon}_i = \ddot{y}_i - \ddot{y}_0 + \dot{y}_i - \dot{y}_0 = u_i + d_i + x_{i2} - \mu_i(\dot{y}_0 + \ddot{y}_0) + (\mu_i - 1)(\dot{y}_0 + \ddot{y}_0) \\ &= u_i + x_{i2} - \mu_i(\dot{y}_0 + \ddot{y}_0) + D_i \end{aligned}$$

其中, $D_i = d_i + (\mu_i - 1)(\dot{y}_0 + \ddot{y}_0)$, $D_{i\max} = d_{i\max} + \sup |\dot{y}_0 + \ddot{y}_0|$, 当智能体 i 可以获得指令 y_0 信息时, $\mu_i = 1$, 此时 $D_i = d_i$ 。

则

$$\dot{V} = \sum_{i=1}^N \bar{z}_i (u_i + x_{i2} - \mu_i(\dot{y}_0 + \ddot{y}_0) + D_i)$$

设计控制律为

$$u_i = -c_i \bar{z}_i - x_{i2} + \mu_i(\dot{y}_0 + \ddot{y}_0) - \eta_i \text{sgn} \bar{z}_i \quad (16.12)$$

其中, $\eta_i \geq D_{i\max}$ 。

则

$$\dot{V} = - \sum_{i=1}^N c_i \bar{z}_i^2 \leq 0$$

当 $t \rightarrow 0$ 时, $\bar{z}_i \rightarrow 0$, 根据式(16.10), $\bar{\epsilon}_i \rightarrow 0$, 从而 $\epsilon_i \rightarrow 0$ 且 $\dot{\epsilon}_i \rightarrow 0$ 。

16.4.3 仿真实例

考虑如图 16-8 所示的多智能体系统拓扑结构^[10], 只有第二个智能体与指令 y_0 相连, $\mu_2=1, y_0=\sin t$ 。针对多智能体系统式(16.8), $d_i=3\sin t, i=1,2,3,4$, 当 $i=2$ 时, $D_{i\max}=d_{i\max}$, 可取 $\eta_i \geq 3$; 当 $i=1,3,4$ 时, $D_{i\max}=d_{i\max}+\sup|\dot{y}_0+\ddot{y}_0|$, 可取 $\eta_i \geq 5$ 。

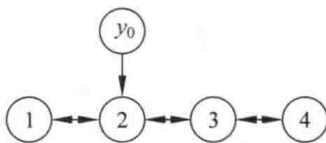


图 16-8 多智能体系统结构

根据式(16.12), 针对图 16-8 中的四个智能体的控制律设计如下:

$$u_i = -c_i \bar{z}_i - x_{i2} + \mu_i (\dot{y}_0 + \ddot{y}_0) - \eta_i \operatorname{sgn} \bar{z}_i$$

根据图 16-8, 只有第二个智能体与 y_0 相连, 则 $\mu_1=0, \mu_2=1, \mu_3=0, \mu_4=0$, 则

$$u_1 = -c_1 \bar{z}_1 - x_{12} - \eta_1 \operatorname{sgn} \bar{z}_1$$

$$u_2 = -c_2 \bar{z}_2 - x_{22} + \ddot{y}_0 + \dot{y}_0 - \eta_2 \operatorname{sgn} \bar{z}_2$$

$$u_3 = -c_3 \bar{z}_3 - x_{32} - \eta_3 \operatorname{sgn} \bar{z}_3$$

$$u_4 = -c_4 \bar{z}_4 - x_{42} - \eta_4 \operatorname{sgn} \bar{z}_4$$

考虑 $D_{i\max}=d_{i\max}+\sup|\dot{y}_0+\ddot{y}_0|$, 取 $\eta_1=\eta_3=\eta_4=5, \eta_2=3$ 。根据图 16-8 和式(16.9), 有

$$z_1 = y_1 - y_2$$

$$z_2 = (y_2 - y_0) + (y_2 - y_1) + (y_2 - y_3)$$

$$z_3 = (y_3 - y_2) + (y_3 - y_4)$$

$$z_4 = y_4 - y_3$$

根据式(16.9)可得 $\bar{z}_i = \dot{z}_i + z_i$, 取 $c_i=20, i=1,2,3,4$ 。为了防止抖振, 控制器式(16.12)中, 采用饱和函数 $\operatorname{sat}x$ 代替符号函数 $\operatorname{sgn}x$, 设计如下:

$$\operatorname{sat}x = \begin{cases} 1, & x > \Delta \\ kx, & |x| \leq \Delta, \quad k=1/\Delta \\ -1, & x < -\Delta \end{cases}$$

其中, Δ 为边界层。

取 $\Delta=0.003$, 运行 Simulink 仿真主程序 chap16_3sim.mdl, 仿真结果如图 16-9 ~ 图 16-11 所示。

采用 M 语言, 对模型进行离散化, 也可以实现多智能体控制系统的仿真, 仿真程序设计更加简单方便。不足之处是计算精度较差。取离散时间为 $T=0.001$, 离散仿真程序为 chap16_3dis.m。

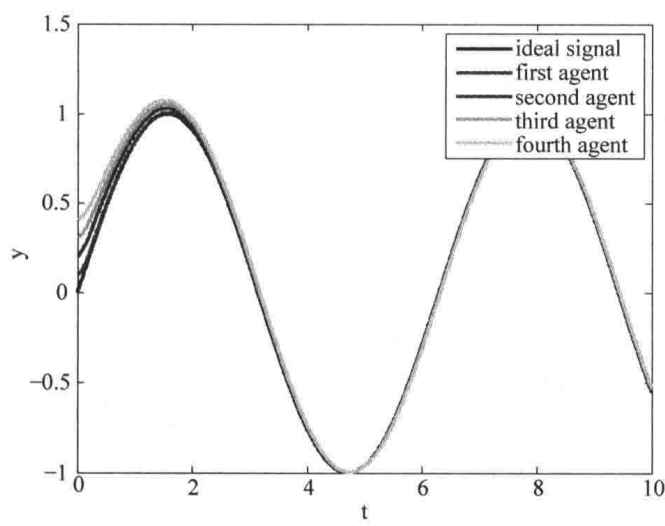


图 16-9 多智能体系统的位置一致性跟踪

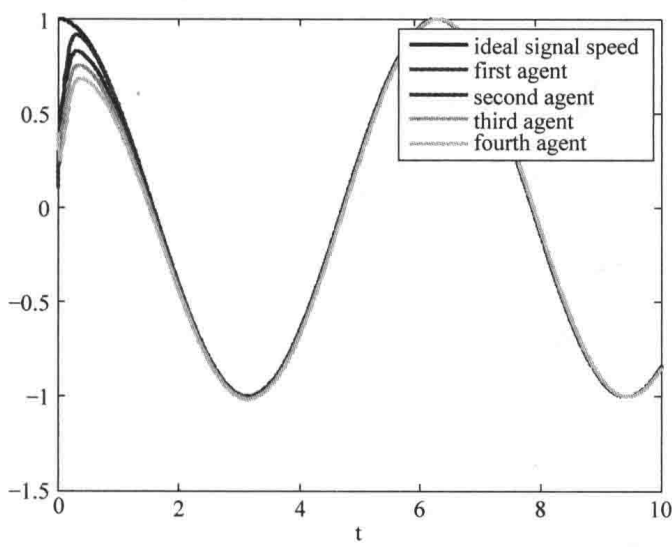


图 16-10 多智能体系统的速度一致性跟踪

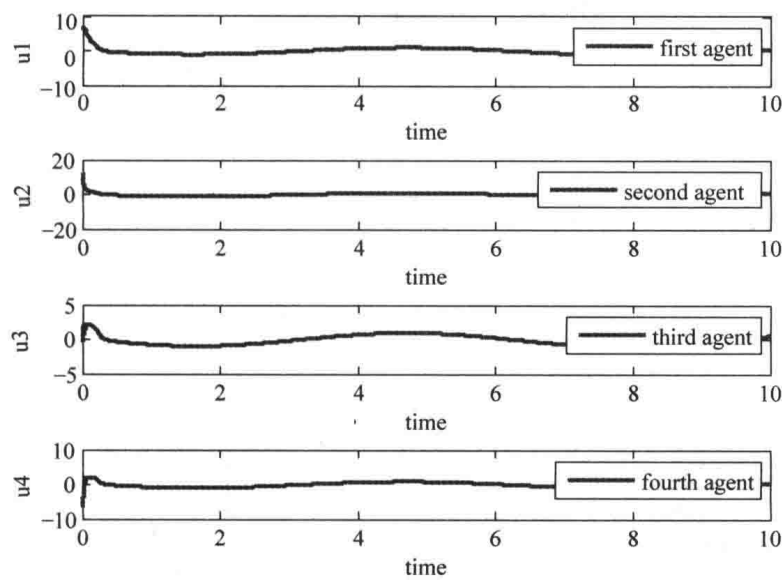


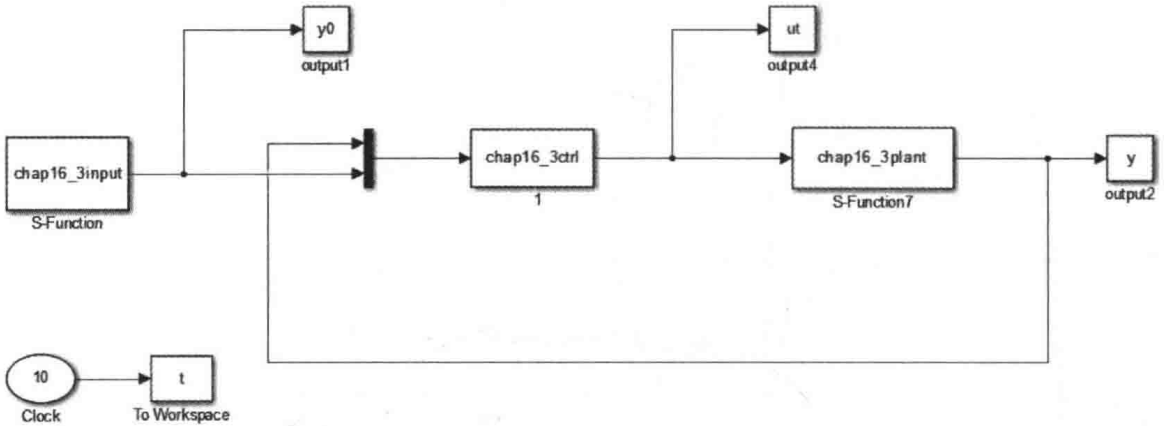
图 16-11 多智能体系统的控制输入

仿真程序：

1. 图 16-8 的 Laplacian 矩阵分析仿真程序 chap16_3L.m

2. Simulink 仿真程序

(1) 主程序：chap16_3sim.mdl。



(2) 智能体控制器子程序：chap16_3ctrl.m。

```
function [sys,x0,str,ts] = func(t,x,u,flag)
switch flag,
case 0,
    [sys,x0,str,ts] = mdlInitializeSizes;
case 1,
    sys = mdlDerivatives(t,x,u);
case 3,
    sys = mdlOutputs(t,x,u);
case {2,4,9}
    sys = [];
otherwise
    error(['Unhandled flag = ',num2str(flag)]);
end
function [sys,x0,str,ts] = mdlInitializeSizes
sizes = simsizes;
sizes.NumContStates = 0;
sizes.NumDiscStates = 0;
sizes.NumOutputs = 4;
sizes.NumInputs = 9;
sizes.DirFeedthrough = 1;
sizes.NumSampleTimes = 1;
sys = simsizes(sizes);
x0 = [];
str = [];
ts = [0 0];
function sys = mdlOutputs(t,x,u)
x11 = u(1);x12 = u(2);
x21 = u(3);x22 = u(4);
x31 = u(5);x32 = u(6);
x41 = u(7);x42 = u(8);
```

```

y0 = u(9); % sin(t);
dy0 = cos(t);
ddy0 = - sin(t);

% First agent
y1 = x11; y2 = x21; y3 = x31; y4 = x41;
dy1 = x12; dy2 = x22; dy3 = x32; dy4 = x42;

z1 = y1 - y2;
dy1 = x12;
dz1 = dy1 - dy2;
z1b = dz1 + z1;
xite1 = 5;
c1 = 20;

delta = 0.003;
kk = 1/delta;
if abs(z1b) > delta
    sat_z1b = sign(z1b);
else
    sat_z1b = kk * z1b;
end
ut1 = - c1 * z1b - x12 - xite1 * sat_z1b;
% Second agent
niu2 = 1;
z2 = niu2 * (y2 - y0) + (y2 - y1) + (y2 - y3);
dy2 = x22; dy3 = x32;
dz2 = dy2 - dy0 + dy2 - dy1 + dy2 - dy3;
z2b = dz2 + z2;
xite2 = 3;
c2 = 20;

delta = 0.003;
kk = 1/delta;
if abs(z2b) > delta
    sat_z2b = sign(z2b);
else
    sat_z2b = kk * z2b;
end
ut2 = - c2 * z2b - x22 + ddy0 + dy0 - xite2 * sat_z2b;
% Third agent
z3 = y3 - y2 + y3 - y4;
dz3 = dy3 - dy2 + dy3 - dy4;
z3b = dz3 + z3;
xite3 = 5;
c3 = 20;

delta = 0.003;
kk = 1/delta;
if abs(z3b) > delta
    sat_z3b = sign(z3b);

```

```

else
    sat_z3b = kk * z3b;
end
ut3 = -c3 * z3b - x32 - xite3 * sat_z3b;
% Fourth agent
z4 = y4 - y3;
dz4 = dy4 - dy3;
z4b = dz4 + z4;
xite4 = 5;
c4 = 20;

delta = 0.003;
kk = 1/delta;
if abs(z4b) > delta
    sat_z4b = sign(z4b);
else
    sat_z4b = kk * z4b;
end
ut4 = -c4 * z4b - x42 - xite4 * sat_z4b;

sys(1) = ut1;
sys(2) = ut2;
sys(3) = ut3;
sys(4) = ut4;

```

(3) 智能体被控对象子程序：chap16_3plant.m。

```

function [sys,x0,str,ts] = Model(t,x,u,flag)
switch flag,
case 0,
    [sys,x0,str,ts] = mdlInitializeSizes;
case 1,
    sys = mdlDerivatives(t,x,u);
case 3,
    sys = mdlOutputs(t,x,u);
case {2, 4, 9}
    sys = [];
otherwise
    error(['Unhandled flag = ',num2str(flag)]);
end
function [sys,x0,str,ts] = mdlInitializeSizes
sizes = simsizes;
sizes.NumContStates = 8;
sizes.NumDiscStates = 0;
sizes.NumOutputs = 8;
sizes.NumInputs = 4;
sizes.DirFeedthrough = 0;
sizes.NumSampleTimes = 1;
sys = simsizes(sizes);
x0 = [0.1 0.1 0.1 0.1 0.1 0.1 0.1 0.1];
str = [];

```

```

ts = [-1 0];
function sys = mdlDerivatives(t,x,u)
ut = [u(1) u(2) u(3) u(4)];
dt = [3 * sin(t) 3 * sin(t) 3 * sin(t) 3 * sin(t)];
sys(1) = x(2);
sys(2) = ut(1) + dt(1);
sys(3) = x(4);
sys(4) = ut(2) + dt(2);
sys(5) = x(6);
sys(6) = ut(3) + dt(3);
sys(7) = x(8);
sys(8) = ut(4) + dt(4);

```

```

function sys = mdlOutputs(t,x,u)
sys(1) = x(1);
sys(2) = x(2);
sys(3) = x(3);
sys(4) = x(4);
sys(5) = x(5);
sys(6) = x(6);
sys(7) = x(7);
sys(8) = x(8);

```

(4) 作图子程序: chap16_3plot.m。

```

close all;
figure(1);
plot(t,y0,'k',t,y(:,1),'r',t,y(:,3),'b',t,y(:,5),'g',t,y(:,7),'c','linewidth',2);
xlabel('t');ylabel('y');
legend('ideal signal','first agent','second agent','third agent','fourth agent');

figure(2);
plot(t,cos(t),'k',t,y(:,2),'r',t,y(:,4),'b',t,y(:,6),'g',t,y(:,8),'c','linewidth',2);
legend('ideal signal speed','first agent','second agent','third agent','fourth agent');

figure(3);
subplot(411);
plot(t,ut(:,1),'r','linewidth',2);
xlabel('time');ylabel('u1');
legend('first agent');
subplot(412);
plot(t,ut(:,2),'r','linewidth',2);
xlabel('time');ylabel('u2');
legend('second agent');
subplot(413);
plot(t,ut(:,3),'r','linewidth',2);
xlabel('time');ylabel('u3');
legend('third agent');
subplot(414);
plot(t,ut(:,4),'r','linewidth',2);
xlabel('time');ylabel('u4');

```



```
legend('fourth agent');
```

2. M 语言离散仿真程序 chap16_3dis.m

```
close all;
```

```
close all;
```

```
n = 4; % agent number
```

```
x = [0.1 0.2 0.3 0.4]';
```

```
dx = [0 0 0 0]';
```

```
u = zeros(n,1);
```

```
T = 0.001;
```

```
t_max = 10;
```

```
n_max = t_max/T;
```

```
miu = zeros(n,1);
```

```
miu(2) = 1;
```

```
miu = diag(miu);
```

```
% Laplacian matrix
```

```
L = [1  -1  0  0;
```

```
      -1  2  -1  0;
```

```
      0  -1  2  -1;
```

```
      0  0  -1  1];
```

```
c = 30 * eye(n);
```

```
xite = 3 * eye(n);
```

```
for i = 1:n_max-1
```

```
    y(i) = sin(T * i);
```

```
    dy(i) = cos(T * i);
```

```
    ddy(i) = -sin(T * i);
```

```
    di = 0.3 * sin(T * i) * ones(n,1);
```

```
    ei = x(:,end) - y(i);
```

```
    dei = dx(:,end) - dy(i);
```

```
    ei_b = ei + dei;
```

```
    zi_b = (L + miu) * ei_b;
```

```
% Saturated function
```

```
delta = 0.01;
```

```
kk = 1/delta;
```

```
for k = 1:1:n
```

```
    if abs(zi_b(k)) > delta
```

```
        sati(k) = sign(zi_b(k));
```

```
    else
```

```
        sati(k) = kk * zi_b(k);
```

```
    end
```

```
end
```

```
    ui = -c * zi_b - dx(:,end) + miu * ones(n,1) * (dy(i) + ddy(i)) - xite * sati';
```

```

% Plant
ddxi = ui + di;
dxi = dx(:,end) + ddxi * T;
xi = x(:,end) + dxi * T;

u = [u ui];
dx = [dx dxi];
x = [x xi];

end

T = T:T:t_max;

figure(1);
plot(T, sin(T), 'k', 'linewidth', 2);
hold on;
plot(T, x(1,:), 'r', 'linewidth', 2);
hold on;
plot(T, x(2,:), 'b', 'linewidth', 2);
hold on;
plot(T, x(3,:), 'g', 'linewidth', 2);
hold on;
plot(T, x(4,:), 'm', 'linewidth', 2);
legend('ideal', 'first', 'second', 'third', 'fourth');
ylabel('x tracking');

figure(2)
plot(T, cos(T), 'k', 'linewidth', 2);
hold on;
plot(T, dx(1,:), 'r', 'linewidth', 2);
hold on;
plot(T, dx(2,:), 'b', 'linewidth', 2);
hold on;
plot(T, dx(3,:), 'g', 'linewidth', 2);
hold on;
plot(T, dx(4,:), 'm', 'linewidth', 2);
legend('ideal', 'first', 'second', 'third', 'fourth');
ylabel('dx tracking');

figure(3);
plot(T, u(1,:), 'r', 'linewidth', 2);
hold on;
plot(T, u(2,:), 'b', 'linewidth', 2);
hold on;
plot(T, u(3,:), 'g', 'linewidth', 2);
hold on;
plot(T, u(4,:), 'm', 'linewidth', 2);
legend('first', 'second', 'third', 'fourth');
ylabel('control input');

```

附录

Laplacian 矩阵分析

根据图 16-8, 可得

$$\mathbf{A}=[a_{ij}]=\begin{bmatrix}0 & 1 & 0 & 0 \\ 1 & 0 & 1 & 0 \\ 0 & 1 & 0 & 1 \\ 0 & 0 & 1 & 0\end{bmatrix}, \quad \mathbf{E}=\begin{bmatrix}1 & 0 & 0 & 0 \\ 0 & 2 & 0 & 0 \\ 0 & 0 & 2 & 0 \\ 0 & 0 & 0 & 1\end{bmatrix}, \quad \boldsymbol{\mu}=\begin{bmatrix}0 & 0 & 0 & 0 \\ 0 & 1 & 0 & 0 \\ 0 & 0 & 0 & 0 \\ 0 & 0 & 0 & 0\end{bmatrix}$$

则

$$\begin{aligned} \mathbf{L}=\mathbf{E}-\mathbf{A} &= \begin{bmatrix}1 & 0 & 0 & 0 \\ 0 & 2 & 0 & 0 \\ 0 & 0 & 2 & 0 \\ 0 & 0 & 0 & 1\end{bmatrix} - \begin{bmatrix}0 & 1 & 0 & 0 \\ 1 & 0 & 1 & 0 \\ 0 & 1 & 0 & 1 \\ 0 & 0 & 1 & 0\end{bmatrix} = \begin{bmatrix}1 & -1 & 0 & 0 \\ -1 & 2 & -1 & 0 \\ 0 & -1 & 2 & -1 \\ 0 & 0 & -1 & 1\end{bmatrix} \\ \mathbf{L}+\boldsymbol{\mu} &= \begin{bmatrix}1 & -1 & 0 & 0 \\ -1 & 2 & -1 & 0 \\ 0 & -1 & 2 & -1 \\ 0 & 0 & -1 & 1\end{bmatrix} + \begin{bmatrix}0 & 0 & 0 & 0 \\ 0 & 1 & 0 & 0 \\ 0 & 0 & 0 & 0 \\ 0 & 0 & 0 & 0\end{bmatrix} = \begin{bmatrix}1 & -1 & 0 & 0 \\ -1 & 3 & -1 & 0 \\ 0 & -1 & 2 & -1 \\ 0 & 0 & -1 & 1\end{bmatrix} \end{aligned}$$

特征值为: $\text{eig}(\mathbf{L}+\boldsymbol{\mu})=[0.1729, 0.6617, 2.2091, 3.9563]$, 则 $\mathbf{L}+\boldsymbol{\mu}$ 为正定阵。根据式(16.10), $\bar{z}_i \rightarrow 0$ 时, $\bar{\epsilon}_i \rightarrow 0$ 。对应的程序为 chap16_3L.m。

16.5 基于 RBF 网络的多智能体系统一致性控制

16.5.1 系统描述

针对如下二阶线性多智能体系统:

$$\begin{aligned} \dot{x}_{i1} &= x_{i2} \\ \dot{x}_{i2} &= u_i + f(x_{i1}, x_{i2}) + d_i \\ y_i &= x_{i1} \end{aligned} \tag{16.13}$$

其中, $|d_i| \leq d_{i\max}$, $(j, i) \in E$ 表示智能体 i 可以获得智能体 j 的信息, $f(x_{i1}, x_{i2})$ 为连续可导的未知函数。智能体 i 的相邻集合表示为 $\Lambda_i = \{j | (j, i) \in E\}$ 。

智能体 i 与智能体 j 之间连接的标记取 a_{ij} , $a_{ij} = 1$ 时表示智能体 i 与智能体 j 之间有通信, 否则 $a_{ij} = 0$, 且有 $a_{ii} = 0$, $\mathbf{A}=[a_{ij}] \in \mathbf{R}^{N \times N}$ 。

定义 $\mathbf{E} = \text{diag}\{\mathbf{E}_1, \dots, \mathbf{E}_N\}$, $\mathbf{E}_i = \sum_{j=1}^N a_{ij}$, 定义 Laplacian 矩阵为

$$\mathbf{L}=\mathbf{E}-\mathbf{A} \tag{16.14}$$

指令为 y_0 , 智能体 i 与指令 y_0 之间连接的标记取 μ_i , $\mu_i = 1$ 时表示智能体 i 可以获得指令 y_0 信息, 否则取 $\mu_i = 0$, 取

$$\boldsymbol{\mu}=\text{diag}\{\mu_1, \dots, \mu_N\}$$

控制目标为: $t \rightarrow \infty$ 时, $x_{i1} \rightarrow y_0, x_{i2} \rightarrow \dot{y}_0$ 。

16.5.2 基于 RBF 网络逼近 $f(\cdot)$ 的滑模控制

采用 RBF 神经网络逼近 $f(\cdot)$, RBF 网络算法为

$$h_j = \exp\left(-\frac{\|\mathbf{x} - \mathbf{c}_j\|^2}{2b_j^2}\right)$$

$$f = \mathbf{W}^{*T} \mathbf{h}(\mathbf{x}) + \delta$$

其中, \mathbf{x} 为网络的输入, i 为网络的输入个数, j 为网络隐含层第 j 个节点, $\mathbf{h} = [h_j]^T$ 为高斯函数的输出, \mathbf{W}^* 为网络的理想权值, δ 为网络的逼近误差, 且 $|\delta| \leq \delta_N$ 。

网络的输入取 \mathbf{x} , 则 RBF 网络的输出为

$$\hat{f}(\mathbf{x}) = \hat{\mathbf{W}}^T \mathbf{h}(\mathbf{x}) \quad (16.15)$$

其中, $\mathbf{h}(\mathbf{x})$ 为 RBF 神经网络的高斯函数。

16.5.3 控制律的设计

智能体 i 的跟踪误差为 $\epsilon_i = y_i - y_0$, 定义

$$\bar{\epsilon}_i = \dot{\epsilon}_i + \epsilon_i$$

$$z_i = \mu_i(y_i - y_0) + \sum_{j \in \Lambda_i} (y_i - y_j) \quad (16.16)$$

$$\bar{z}_i = \dot{z}_i + z_i$$

由于 $y_i - y_j = \epsilon_i - \epsilon_j$, 根据 a_{ij} 的定义, 有

$$z_i = \mu_i \epsilon_i + \sum_p a_{ip} (\epsilon_i - \epsilon_{jp}) = (\mu_i + \Xi_i) \epsilon_i - \sum_p a_{ip} \epsilon_p$$

由于 $\sum_p a_{ip} \epsilon_p = \mathbf{A} \boldsymbol{\epsilon}_i$, 则

$$\bar{z} = (\boldsymbol{\mu} + \mathbf{B}) \bar{\boldsymbol{\epsilon}} - \mathbf{A} \bar{\boldsymbol{\epsilon}} = (\mathbf{L} + \boldsymbol{\mu}) \bar{\boldsymbol{\epsilon}} \quad (16.17)$$

根据控制目标, 设计 Lyapunov 函数为

$$V = \frac{1}{2} \bar{\boldsymbol{\epsilon}}^T (\mathbf{L} + \boldsymbol{\mu}) \bar{\boldsymbol{\epsilon}} + \frac{1}{2} \gamma \sum_{i=1}^N \tilde{\mathbf{W}}_i^T \tilde{\mathbf{W}}_i \quad (16.18)$$

其中, $\gamma > 0$ 。

则

$$\dot{V} = \bar{\boldsymbol{\epsilon}}^T (\mathbf{L} + \boldsymbol{\mu}) \dot{\bar{\boldsymbol{\epsilon}}} + \gamma \sum_{i=1}^N \tilde{\mathbf{W}}_i^T \dot{\tilde{\mathbf{W}}}_i = \bar{\mathbf{z}}^T \dot{\bar{\boldsymbol{\epsilon}}} - \gamma \sum_{i=1}^N \tilde{\mathbf{W}}_i^T \dot{\tilde{\mathbf{W}}}_i$$

由于

$$\begin{aligned} \dot{\bar{\boldsymbol{\epsilon}}}_i &= \ddot{\epsilon}_i + \dot{\epsilon}_i = \ddot{y}_i - \ddot{y}_0 + \dot{y}_i - \dot{y}_0 \\ &= u_i + f(x_{i1}, x_{i2}) + d_i + x_{i2} - \mu_i(\dot{y}_0 + \ddot{y}_0) + (\mu_i - 1)(\dot{y}_0 + \ddot{y}_0) \\ &= u_i + f(x_{i1}, x_{i2}) + x_{i2} - \mu_i(\dot{y}_0 + \ddot{y}_0) + D_i \end{aligned}$$

其中, $D_i = d_i + (\mu_i - 1)(\dot{y}_0 + \ddot{y}_0)$, $D_{i\max} = d_{i\max} + \sup |\dot{y}_0 + \ddot{y}_0|$ 。

定义 $\mathbf{x}_i = [x_{i1}, x_{i2}]$, 则

$$\dot{V} = \sum_{i=1}^N \bar{z}_i (u_i + f(\mathbf{x}_i) + x_{i2} - \mu_i (\dot{y}_0 + \ddot{y}_0) + D_i) - \gamma \sum_{i=1}^N \tilde{\mathbf{W}}_i^T \dot{\hat{\mathbf{W}}}_i$$

设计控制律为

$$u_i = -\lambda_i \bar{z}_i - \hat{f}(\mathbf{x}_i) - x_{i2} + \mu_i (\dot{y}_0 + \ddot{y}_0) - \eta_i \operatorname{sgn} \bar{z}_i \quad (16.19)$$

其中, $\eta_i \geq D_{i\max} + \delta_N$, $\lambda_i > 0$ 。

由于

$$f(\mathbf{x}_i) - \hat{f}(\mathbf{x}_i) = \mathbf{W}_i^{*T} \mathbf{h}(\mathbf{x}_i) + \delta_i - \hat{\mathbf{W}}_i^T \mathbf{h}(\mathbf{x}_i) = \tilde{\mathbf{W}}_i^T \mathbf{h}(\mathbf{x}_i) + \delta_i$$

其中, $\tilde{\mathbf{W}}_i = \mathbf{W}_i^* - \hat{\mathbf{W}}_i$ 。

则

$$\begin{aligned} \dot{V} &= \sum_{i=1}^N \bar{z}_i (-\lambda_i \bar{z}_i - \eta_i \operatorname{sgn} \bar{z}_i + \tilde{\mathbf{W}}_i^T \mathbf{h}(\mathbf{x}_i) + \delta_i + D_i) - \gamma \sum_{i=1}^N \tilde{\mathbf{W}}_i^T \dot{\hat{\mathbf{W}}}_i \\ &= \sum_{i=1}^N \bar{z}_i (-\lambda_i \bar{z}_i - \eta_i \operatorname{sgn} \bar{z}_i + \delta_i + D_i) + \tilde{\mathbf{W}}_i^T (\bar{z}_i \mathbf{h}(\mathbf{x}_i) - \gamma \dot{\hat{\mathbf{W}}}_i) \end{aligned}$$

设计自适应律为

$$\dot{\hat{\mathbf{W}}}_i = \frac{1}{\gamma} \bar{z}_i \mathbf{h}(\mathbf{x}_i) \quad (16.20)$$

$$\dot{V} = - \sum_{i=1}^N c_i \bar{z}_i^2 \leq 0$$

当 $t \rightarrow 0$ 时, $\bar{z}_i \rightarrow 0$, 根据式(16.17), $\bar{\epsilon}_i \rightarrow 0$, 从而 $\epsilon_i \rightarrow 0$ 且 $\dot{\epsilon}_i \rightarrow 0$ 。

16.5.4 仿真实例

考虑如图 16-8 所示的多智能体系统结构^[10], 只有第二个智能体与指令 y_0 相连, $\mu_2 = 1$, $y_0 = \sin t$ 。针对多智能体系统式(16.13), $f(x_{i1}, x_{i2}) = x_{i1}x_{i2}$, $d_i = 3\sin t$, $i = 1, 2, 3, 4$, 当 $i = 2$ 时, $D_{i\max} = d_{i\max}$, 可取 $\eta_i \geq 3$; 当 $i = 1, 3, 4$ 时, $D_{i\max} = d_{i\max} + \sup |\dot{y}_0 + \ddot{y}_0|$, 可取 $\eta_i \geq 5$ 。根据式(16.19), 针对图 16-8 中的四个智能体的控制律设计如下:

$$u_i = -\lambda_i \bar{z}_i - \hat{f}(\mathbf{x}_i) - x_{i2} + \mu_i (\dot{y}_0 + \ddot{y}_0) - \eta_i \operatorname{sgn} \bar{z}_i$$

根据图 16-8, 只有第二个智能体与 y_0 相连, 则 $\mu_1 = 0, \mu_2 = 1, \mu_3 = 0, \mu_4 = 0$, 则

$$u_1 = -\lambda_1 \bar{z}_1 - \hat{f}(\mathbf{x}_1) - x_{12} - \eta_1 \operatorname{sgn} \bar{z}_1$$

$$u_2 = -\lambda_2 \bar{z}_2 - \hat{f}(\mathbf{x}_2) - x_{22} + \ddot{y}_0 + \dot{y}_0 - \eta_2 \operatorname{sgn} \bar{z}_2$$

$$u_3 = -\lambda_3 \bar{z}_3 - \hat{f}(\mathbf{x}_3) - x_{32} - \eta_3 \operatorname{sgn} \bar{z}_3$$

$$u_4 = -\lambda_4 \bar{z}_4 - \hat{f}(\mathbf{x}_4) - x_{42} - \eta_4 \operatorname{sgn} \bar{z}_4$$

考虑 $D_{i\max} = d_{i\max} + \sup |\dot{y}_0 + \ddot{y}_0|$, 取 $\eta_1 = \eta_3 = \eta_4 = 5, \eta_2 = 3$ 。根据图 16-8 和式(16.9), 有

$$z_1 = y_1 - y_2$$

$$z_2 = (y_2 - y_0) + (y_2 - y_1) + (y_2 - y_3)$$

$$\begin{aligned} z_3 &= (y_3 - y_2) + (y_3 - y_4) \\ z_4 &= y_4 - y_3 \end{aligned}$$

根据式(16.16),可得 $\bar{z}_i = \dot{z}_i + z_i$,取 $\lambda_i = 20, i = 1, 2, 3, 4$ 。为了防止抖振,控制器中采用饱和函数 $\text{sat}x$ 代替符号函数 $\text{sgn}x$,设计如下:

$$\text{sat}x = \begin{cases} 1, & x > \Delta \\ kx, & |x| \leq \Delta, \quad k = 1/\Delta \\ -1, & x < -\Delta \end{cases}$$

其中, Δ 为边界层。仿真中取 $\Delta = 0.003$ 。

神经网络的结构取为 $2-5-1, c_i$ 和 b_i 分别设置为 $[-1.0 \quad -0.5 \quad 0 \quad 0.5 \quad 1.0]$ 和 $b_j = 0.20$,网络的初始权值为 0.0 。

采用控制律式(16.19)和自适应律式(16.20),自适应参数取 $\gamma = 0.15$ 。仿真结果如图 16-12~图 16-14 所示。

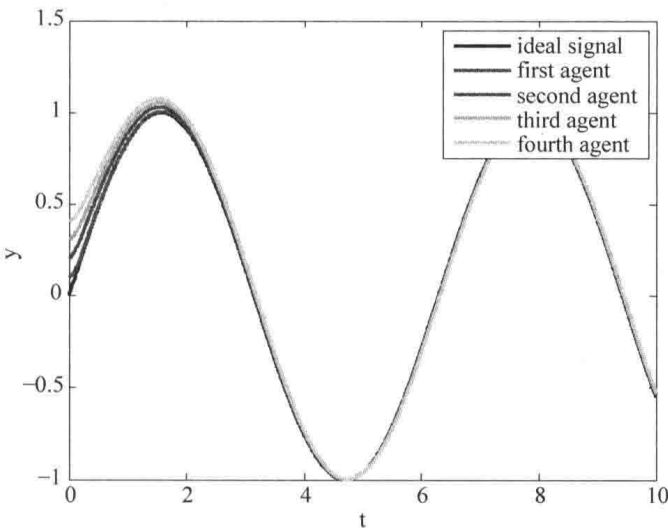


图 16-12 多智能体系统的位置一致性跟踪

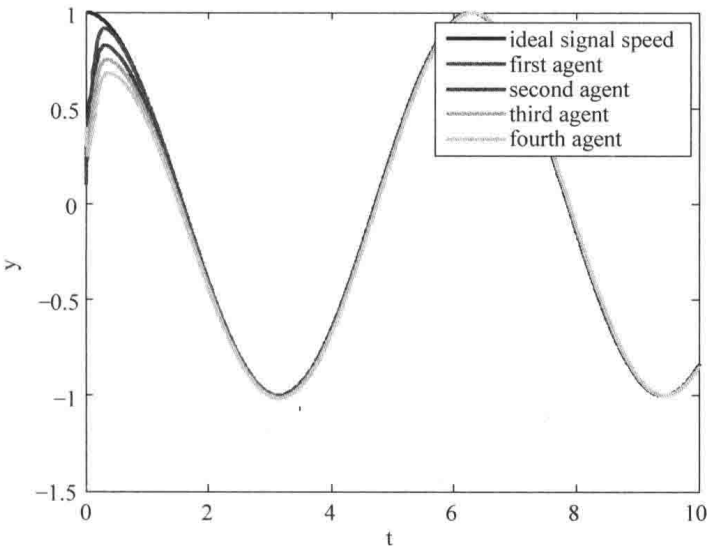


图 16-13 多智能体系统的速度一致性跟踪

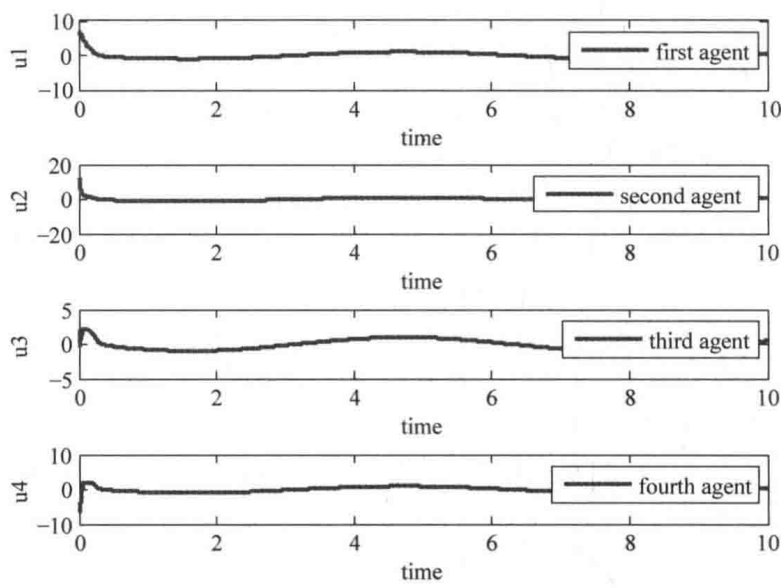
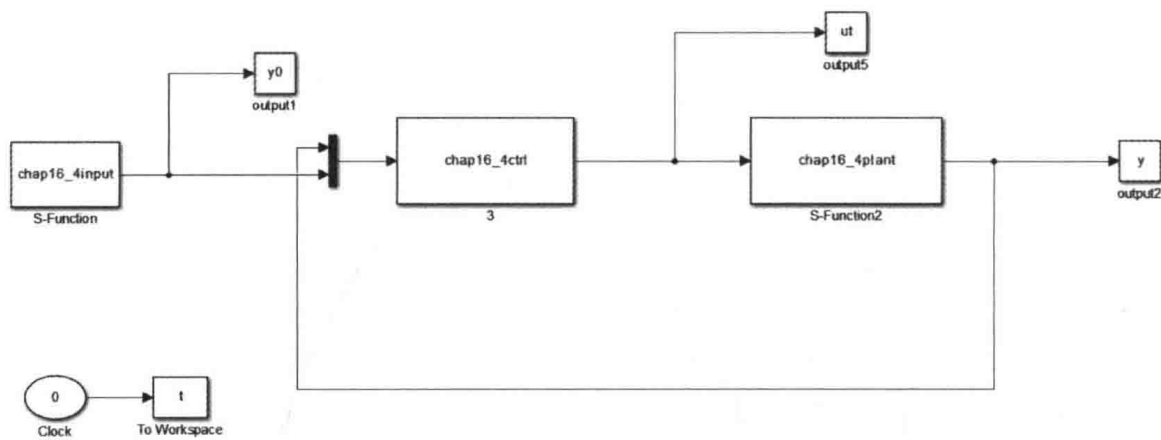


图 16-14 多智能体系统的控制输入

Simulink 仿真程序：

(1) 主程序：chap16_4sim.mdl。



(2) 智能体控制器子程序：chap16_4ctrl.m。

```
function [sys,x0,str,ts] = func(t,x,u,flag)
switch flag,
case 0,
    [sys,x0,str,ts] = mdlInitializeSizes;
case 1,
    sys = mdlDerivatives(t,x,u);
case 3,
    sys = mdlOutputs(t,x,u);
case {2,4,9}
    sys = [];
otherwise
    error(['Unhandled flag = ',num2str(flag)]);
end
```

```

function [sys,x0,str,ts] = mdlInitializeSizes
global cij bj
sizes = simsizes;
sizes.NumContStates = 20;
sizes.NumDiscStates = 0;
sizes.NumOutputs = 4;
sizes.NumInputs = 9;
sizes.DirFeedthrough = 1;
sizes.NumSampleTimes = 1;
sys = simsizes(sizes);
x0 = 0 * ones(1,20);
str = [];
ts = [0 0];
cij = [-1 -0.5 0 0.5 1;
        -1 -0.5 0 0.5 1];
bj = 0.20;
function sys = mdlDerivatives(t,x,u)
global cij bj
x11 = u(1);x12 = u(2);
x21 = u(3);x22 = u(4);
x31 = u(5);x32 = u(6);
x41 = u(7);x42 = u(8);
y1 = x11;y2 = x21;y3 = x31;y4 = x41;
dy1 = x12;dy2 = x22;dy3 = x32;dy4 = x42;

y0 = u(9); % sin(t);
dy0 = cos(t);
ddy0 = - sin(t);

% First agent
z1 = y1 - y2;
dy1 = x12;
dz1 = dy1 - dy2;
z1b = dz1 + z1;

xi1 = [x11;x12];
h1 = zeros(5,1);
for j = 1:1:5
    h1(j) = exp(- norm(xi1 - cij(:,j))^2/(2 * bj^2));
end

% Second agent
niu2 = 1;
z2 = niu2 * (y2 - y0) + (y2 - y1) + (y2 - y3);
dy2 = x22;dy3 = x32;
dz2 = dy2 - dy0 + dy2 - dy1 + dy2 - dy3;
z2b = dz2 + z2;

xi2 = [x21;x22];
h2 = zeros(5,1);
for j = 1:1:5

```



```

        h2(j) = exp(- norm(xi2 - cij(:,j))^2/(2 * bj^2));
    end

    % Third agent
    z3 = y3 - y2 + y3 - y4;
    dz3 = dy3 - dy2 + dy3 - dy4;
    z3b = dz3 + z3;

    xi3 = [x31;x32];
    h3 = zeros(5,1);
    for j = 1:1:5
        h3(j) = exp(- norm(xi3 - cij(:,j))^2/(2 * bj^2));
    end

    % Fourth agent
    z4 = y4 - y3;
    dz4 = dy4 - dy3;
    z4b = dz4 + z4;

    xi4 = [x41;x42];
    h4 = zeros(5,1);
    for j = 1:1:5
        h4(j) = exp(- norm(xi4 - cij(:,j))^2/(2 * bj^2));
    end

    gama = 0.15;
    for i = 1:1:5
        sys(i) = - 1/gama * z1b * h1(i);
        sys(i + 5) = - 1/gama * z2b * h2(i);
        sys(i + 10) = - 1/gama * z3b * h3(i);
        sys(i + 15) = - 1/gama * z4b * h4(i);
    end

    function sys = mdlOutputs(t,x,u)
    global cij bj
    x11 = u(1);x12 = u(2);
    x21 = u(3);x22 = u(4);
    x31 = u(5);x32 = u(6);
    x41 = u(7);x42 = u(8);
    y1 = x11;y2 = x21;y3 = x31;y4 = x41;
    dy1 = x12;dy2 = x22;dy3 = x32;dy4 = x42;

    y0 = u(9); % sin(t);
    dy0 = cos(t);
    ddy0 = - sin(t);

    % First agent
    z1 = y1 - y2;
    dy1 = x12;
    dz1 = dy1 - dy2;
    z1b = dz1 + z1;

```

```

xite1 = 5;
Lambdal = 20;

W1 = [x(1) x(2) x(3) x(4) x(5)]';
xi1 = [x11;x12];
h1 = zeros(5,1);
for j = 1:1:5
    h1(j) = exp(- norm(xi1 - cij(:,j))^2/(2 * bj^2));
end
f1n = W1' * h1;

delta = 0.003;
kk = 1/delta;
if abs(z1b) > delta
    sat_z1b = sign(z1b);
else
    sat_z1b = kk * z1b;
end
u1 = -Lambdal * z1b - f1n - x12 - xite1 * sat_z1b;

% Second agent
niu2 = 1;
z2 = niu2 * (y2 - y0) + (y2 - y1) + (y2 - y3);
dy2 = x22; dy3 = x32;
dz2 = dy2 - dy0 + dy2 - dy1 + dy2 - dy3;
z2b = dz2 + z2;
xite2 = 3;
Lambda2 = 20;
W2 = [x(6) x(7) x(8) x(9) x(10)]';
xi2 = [x21;x22];
h2 = zeros(5,1);
for j = 1:1:5
    h2(j) = exp(- norm(xi2 - cij(:,j))^2/(2 * bj^2));
end
f2n = W2' * h2;

delta = 0.003;
kk = 1/delta;
if abs(z2b) > delta
    sat_z2b = sign(z2b);
else
    sat_z2b = kk * z2b;
end
u2 = -Lambda2 * z2b - f2n - x22 + ddy0 + dy0 - xite2 * sat_z2b;

% Third agent
z3 = y3 - y2 + y3 - y4;
dz3 = dy3 - dy2 + dy3 - dy4;
z3b = dz3 + z3;
xite3 = 5;
Lambda3 = 20;

```

```

W3 = [x(11) x(12) x(13) x(14) x(15)]';
xi3 = [x31;x32];
h3 = zeros(5,1);
for j = 1:1:5
    h3(j) = exp(- norm(xi3 - cij(:,j))^2/(2 * bj^2));
end
f3n = W3' * h3;

delta = 0.003;
kk = 1/delta;
if abs(z3b)> delta
    sat_z3b = sign(z3b);
else
    sat_z3b = kk * z3b;
end
u3 = - Lambda3 * z3b - f3n - x32 - xite3 * sat_z3b;

% Fourth agent
z4 = y4 - y3;
dz4 = dy4 - dy3;
z4b = dz4 + z4;
xite4 = 5;
Lambda4 = 20;

W4 = [x(16) x(17) x(18) x(19) x(20)]';
xi4 = [x41;x42];
h4 = zeros(5,1);
for j = 1:1:5
    h4(j) = exp(- norm(xi4 - cij(:,j))^2/(2 * bj^2));
end
f4n = W4' * h4;

delta = 0.003;
kk = 1/delta;
if abs(z4b)> delta
    sat_z4b = sign(z4b);
else
    sat_z4b = kk * z4b;
end
u4 = - Lambda4 * z4b - f4n - x42 - xite4 * sat_z4b;

sys(1) = u1;
sys(2) = u2;
sys(3) = u3;
sys(4) = u4;

```

(3) 智能体被控对象子程序：chap16_4plant.m。

```

function [sys,x0,str,ts] = Model(t,x,u,flag)
switch flag,
case 0,

```

```

[sys,x0,str,ts]=mdlInitializeSizes;
case 1,
    sys = mdlDerivatives(t,x,u);
case 3,
    sys = mdlOutputs(t,x,u);
case {2, 4, 9 }
    sys = [];
otherwise
    error(['Unhandled flag = ',num2str(flag)]);
end
function [sys,x0,str,ts]=mdlInitializeSizes
sizes = simsizes;
sizes.NumContStates = 8;
sizes.NumDiscStates = 0;
sizes.NumOutputs = 8;
sizes.NumInputs = 4;
sizes.DirFeedthrough = 0;
sizes.NumSampleTimes = 1;
sys = simsizes(sizes);
x0 = [0.1 0.1 0.1 0.1 0.1 0.1 0.1 0.1];
str = [];
ts = [-1 0];
function sys = mdlDerivatives(t,x,u)
ut1 = u(1);
fx1 = x(1) * x(2);
d1 = 3 * sin(t);
ut2 = u(2);
fx2 = x(1) * x(2);
d2 = 3 * sin(t);
ut3 = u(3);
fx3 = x(1) * x(2);
d3 = 3 * sin(t);
ut4 = u(4);
fx4 = x(1) * x(2);
d4 = 3 * sin(t);
sys(1) = x(2);
sys(2) = ut1 + fx1 + d1;
sys(3) = x(4);
sys(4) = ut2 + fx3 + d2;
sys(5) = x(6);
sys(6) = ut3 + fx3 + d3;
sys(7) = x(8);
sys(8) = ut4 + fx4 + d4;
function sys = mdlOutputs(t,x,u)
sys(1) = x(1);
sys(2) = x(2);
sys(3) = x(3);
sys(4) = x(4);

```

```
sys(5) = x(5);  
sys(6) = x(6);  
sys(7) = x(7);  
sys(8) = x(8);
```

(4) 作图子程序: chap16_4plot.m。

```
close all;  
figure(1);  
plot(t,y0,'k',t,y(:,1),'r',t,y(:,3),'b',t,y(:,5),'g',t,y(:,7),'c','linewidth',2);  
xlabel('t');ylabel('y');  
legend('ideal signal','first agent','second agent','third agent','fourth agent');  
  
figure(2);  
plot(t,cos(t),'k',t,y(:,2),'r',t,y(:,4),'b',t,y(:,6),'g',t,y(:,8),'c','linewidth',2);  
xlabel('t');ylabel('y');  
legend('ideal signal speed','first agent','second agent','third agent','fourth agent');  
  
figure(3);  
subplot(411);  
plot(t,ut(:,1),'r','linewidth',2);  
xlabel('time');ylabel('u1');  
legend('first agent');  
subplot(412);  
plot(t,ut(:,2),'r','linewidth',2);  
xlabel('time');ylabel('u2');  
legend('second agent');  
subplot(413);  
plot(t,ut(:,3),'r','linewidth',2);  
xlabel('time');ylabel('u3');  
legend('third agent');  
subplot(414);  
plot(t,ut(:,4),'r','linewidth',2);  
xlabel('time');ylabel('u4');  
legend('fourth agent');
```

参考文献

- [1] 陈杰,方浩,辛斌.多智能体系统的协同群集运动控制[M].北京:科学出版社,2017.
- [2] 刘金琨,尔联洁.多智能体技术应用综述[J].控制与决策,2001,16(2): 134-140.
- [3] Lane D M, Mcfadzean A G. Distributed problem solving and real-time mechanisms in robot architectures[J]. Engineering Applications of Artificial Intelligence,1994,7(2): 105-117.
- [4] Cohen G. Concurrent system to resolve real-time conflicts in multi-robot systems[J]. Engineering Applications of Artificial Intelligence,1995,8(2): 169-175.
- [5] Wu Z,Guan Z,Wu X,et al. Consensus based formation control and trajectory tracing of multi-agent robot systems[J]. Journal of Intelligent & Robotic Systems,2007,48(3): 397-410.
- [6] Innocenti B,López B,Salvi J. A multi-agent architecture with cooperative fuzzy control for a mobile

- robot[J]. *Robotics & Autonomous Systems*, 2007, 55(12): 881-891.
- [7] Chen J, Barnes M J. Human-agent teaming for multirobot control: A review of human factors issues [J]. *IEEE Transactions on Human-Machine Systems*, 2017, 44(1): 13-29.
- [8] Cao Y, Wei R. Distributed coordinated tracking with reduced interaction via a variable structure approach[J]. *IEEE Transactions on Automatic Control*, 2011, 57(1): 33-48.
- [9] Xie W, Ma B. Average consensus control of nonlinear uncertain multiagent systems[C]//2017 36th Chinese Control Conference (CCC). IEEE, 2017: 8299-8303.
- [10] Wang C, Wen C, Guo L. Adaptive Consensus Control for Nonlinear Multi-Agent Systems With Unknown Control Directions and Time-Varying Actuator Faults [J]. *IEEE Transactions on Automatic Control*, 2020, (99): 1-8.

本书主要以机械手为被控对象，系统地论述了机器人控制系统设计的基本设计方法，包括先进PD控制、神经网络自适应控制、模糊自适应控制、迭代学习控制、反演控制、滑模控制、自适应鲁棒控制、末端轨迹及力的连续切换滑膜控制、重复控制、传感器和执行器容错控制、事件驱动控制、输入延迟控制、执行器量化控制、控制方向未知的控制和多智能体系统一致性控制的设计与分析。每种方法都给出了算法推导、实例分析和相应的MATLAB设计仿真程序。本书特点如下：

- 机器人控制系统的控制算法重点在于基础理论分析，针对机械手基本控制算法进行了深入剖析。
- 所有控制算法均给出了完整的MATLAB仿真程序，也给出了程序的说明和仿真结果，具有很强的可读性。
- 从应用的角度出发，理论联系实际，面向广大科研与工程技术人员，具有很高的工程实用价值。
- 控制算法及应用实例的程序结构设计简单明了，便于读者学习和二次开发。

资源下载·扩展阅读



书 圈

清华大学出版社



官 方 微 信 号

上架指导：机器人/仿真

ISBN 978-7-302-59240-2



9 787302 592402 >

定价：108.00元

[General Information]

书名=机器人控制系统的设计与MATLAB仿真 基本设计方法 第2版

页数=439

SS号=15126300